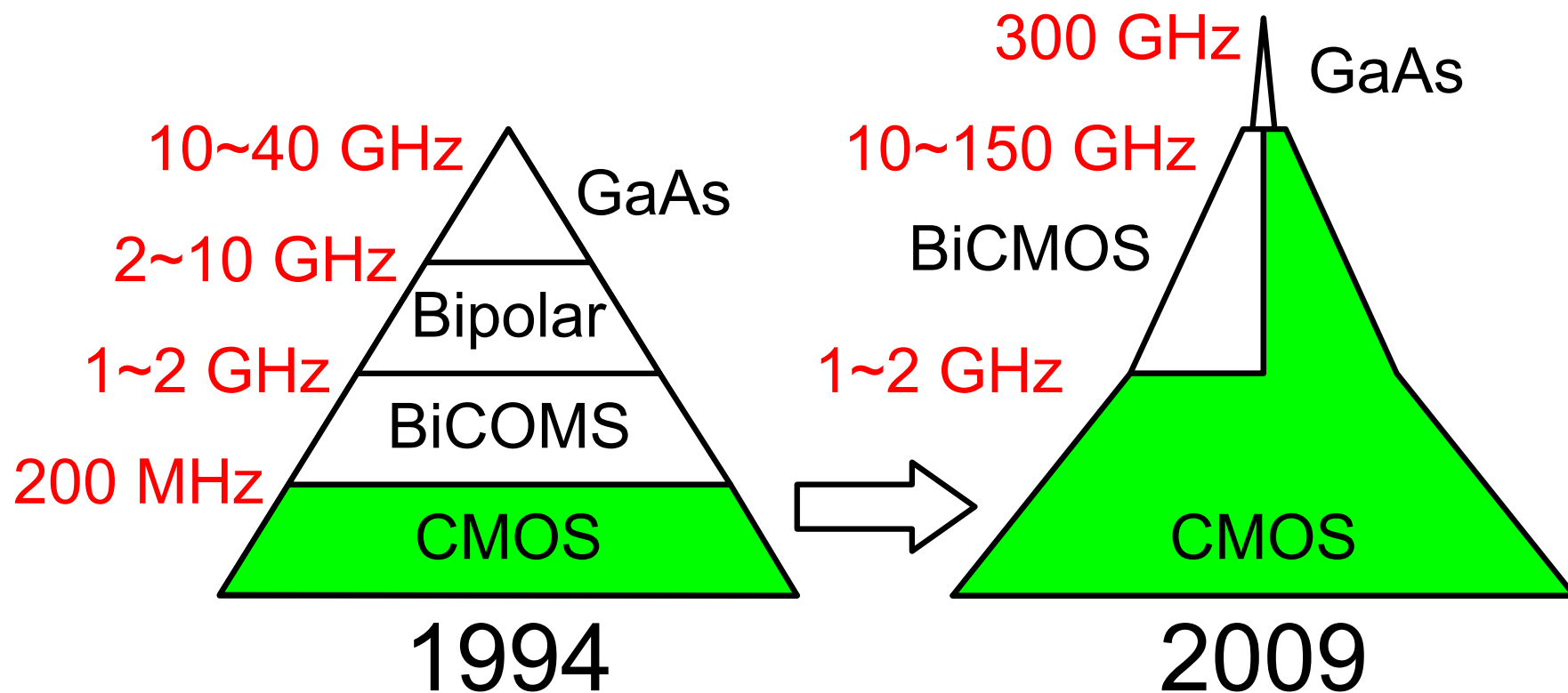


从双极型到MOS晶体管



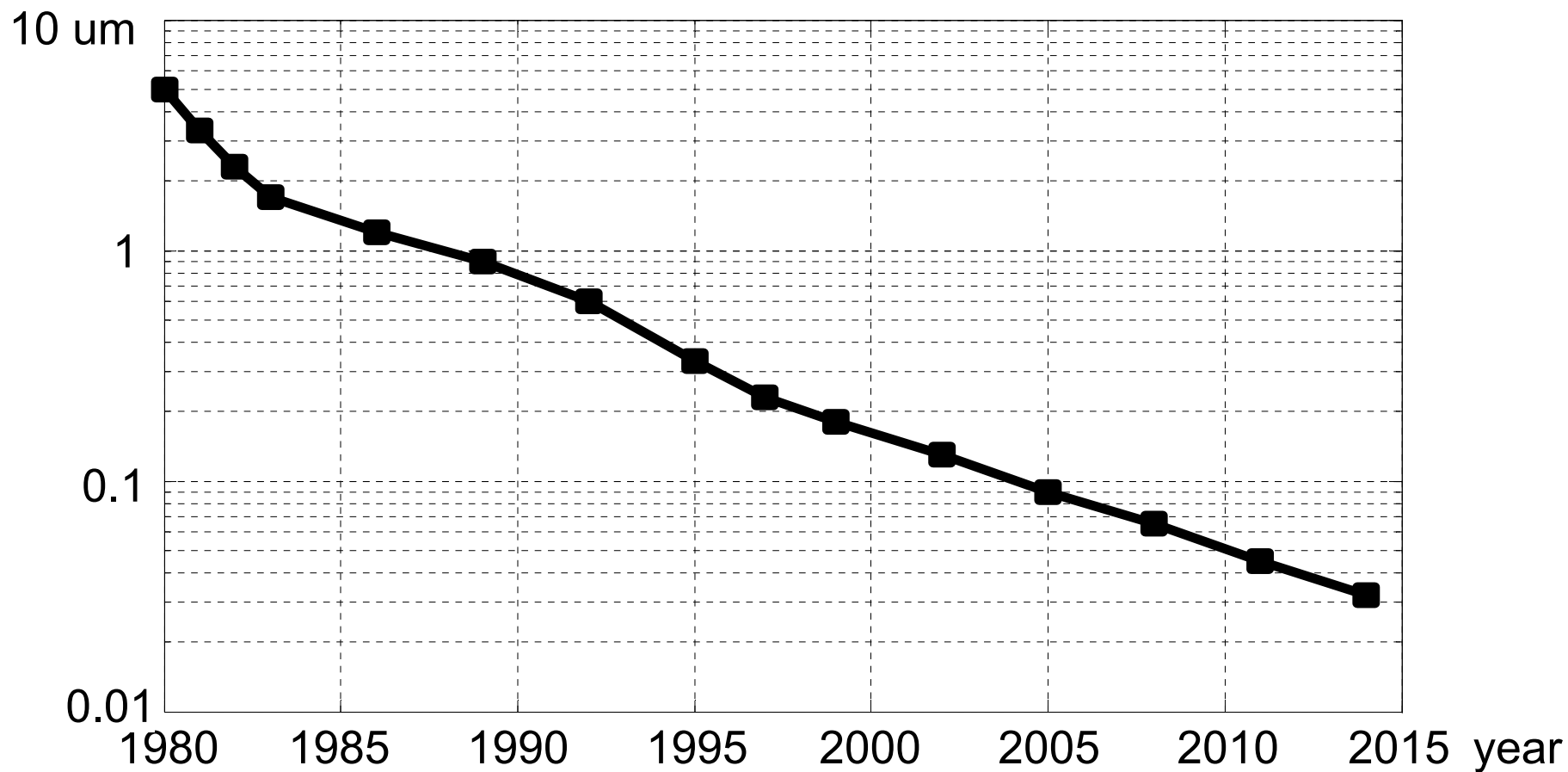
Ref.: Toshiba & ISSCC2009

SIA线路图

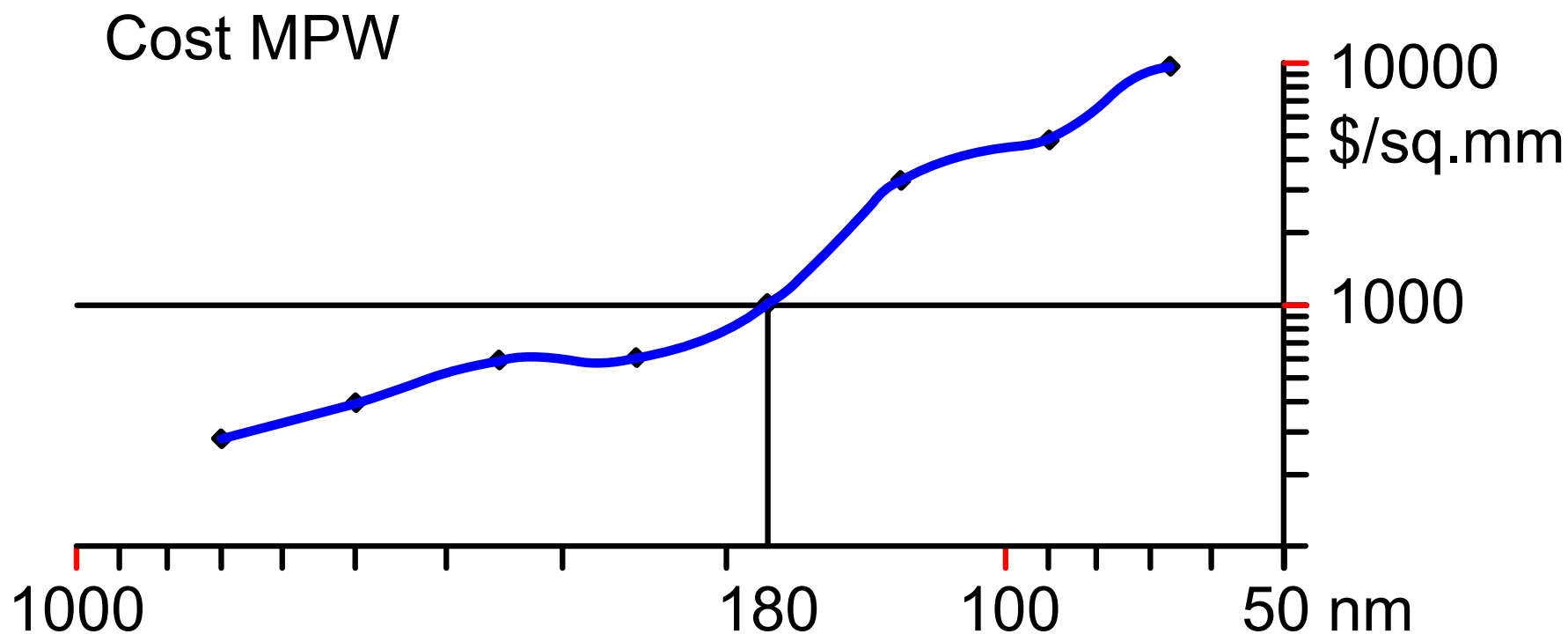
Year	L_{\min} μm	Bits/chip Gb/chip	Trans/chip millions/chip	Clock MHz	Wiring
1995	0.35	0.064	4	300	4-5
1998	0.25	0.256	7	450	5
2001	0.18	1	13	600	5-6
2004	0.13	4	25	800	6
2007	0.09	16	50	1000	6-7
2010	0.065	64	90	1100	7-8
2013	0.045				
2016	0.032				

Semiconductor Industry Association

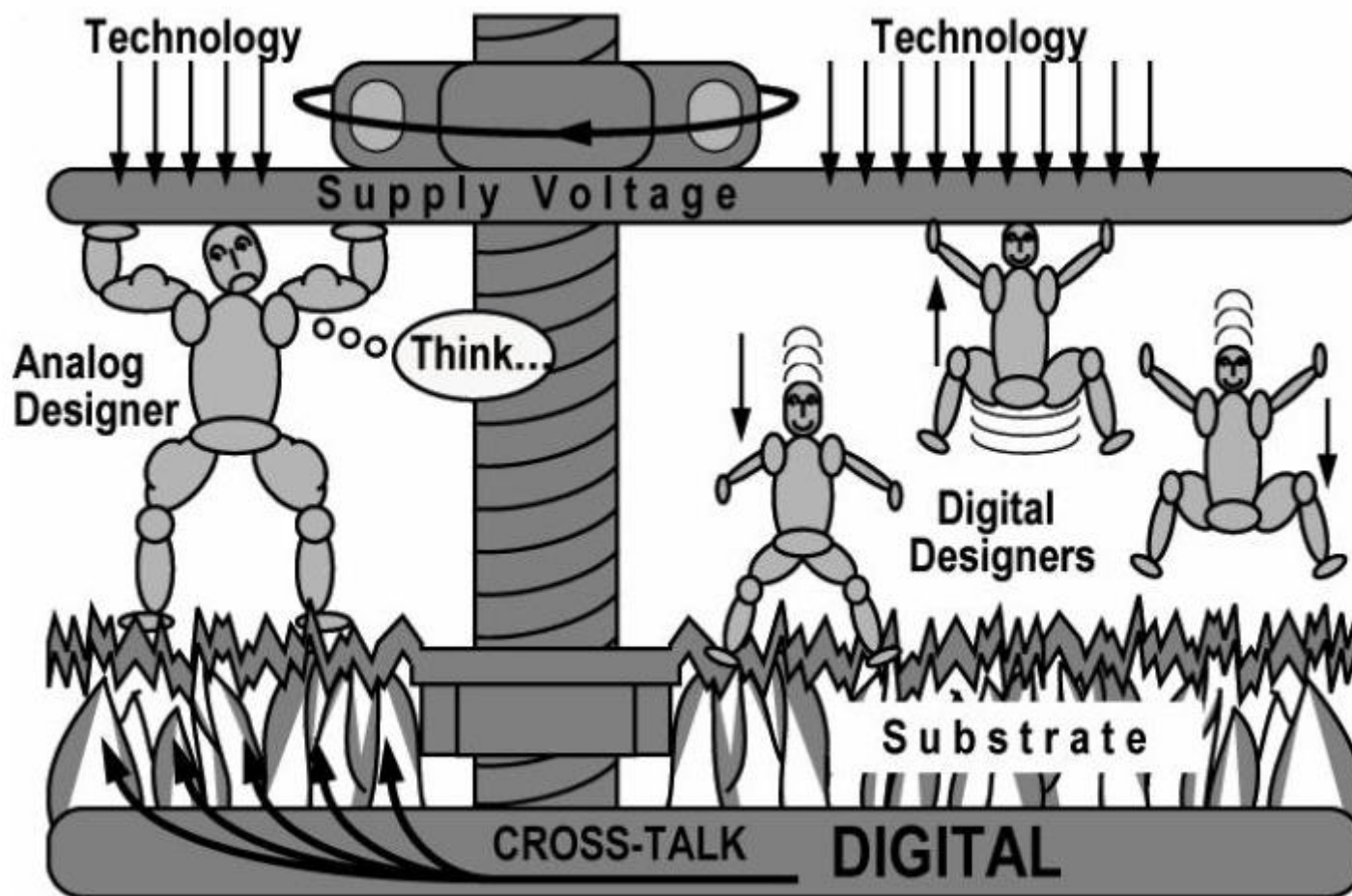
摩尔定律(The law of Moore)



使用不同特征尺寸的MPW价格

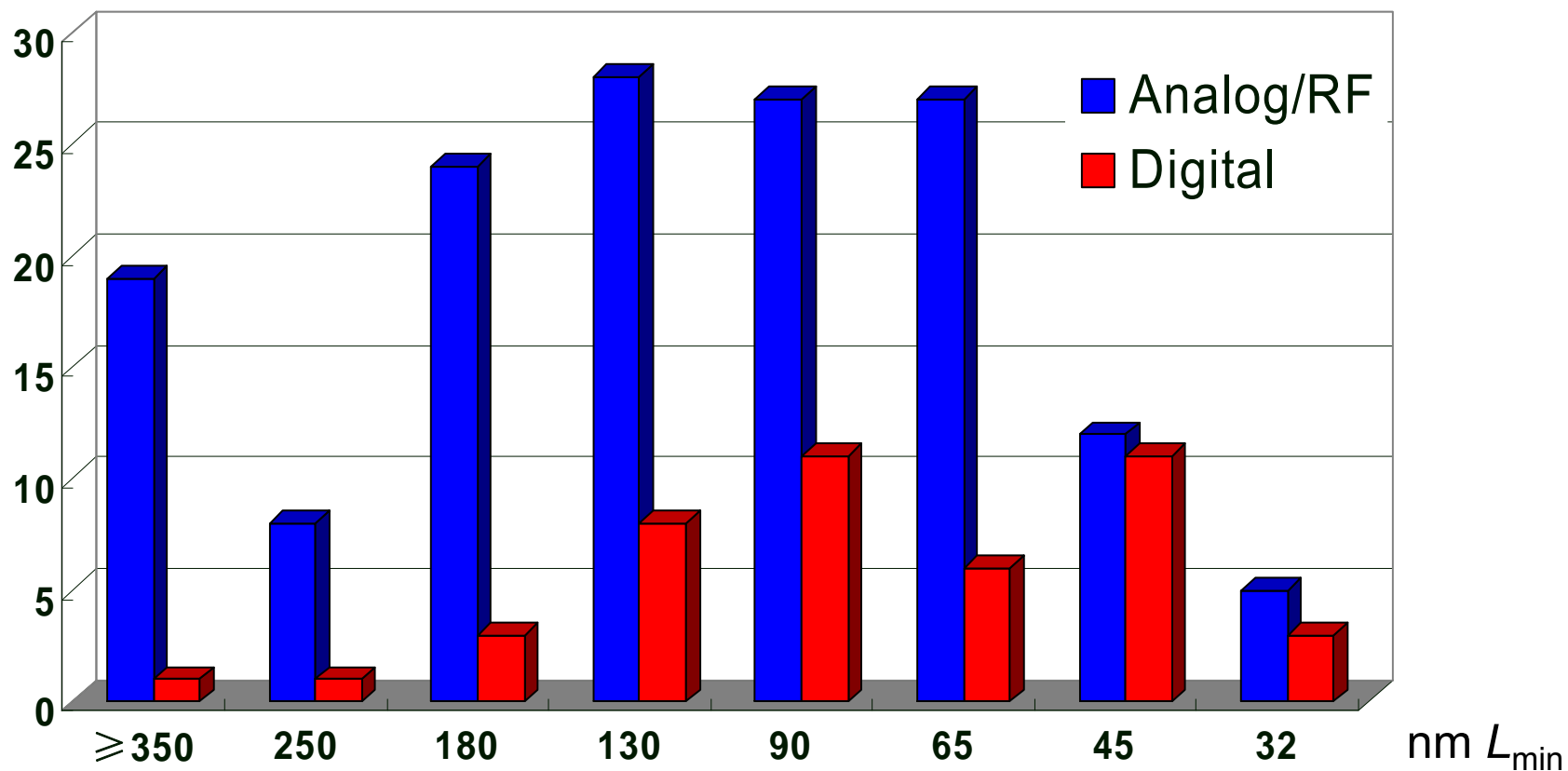


在深亚微米工艺下模拟设计的挑战

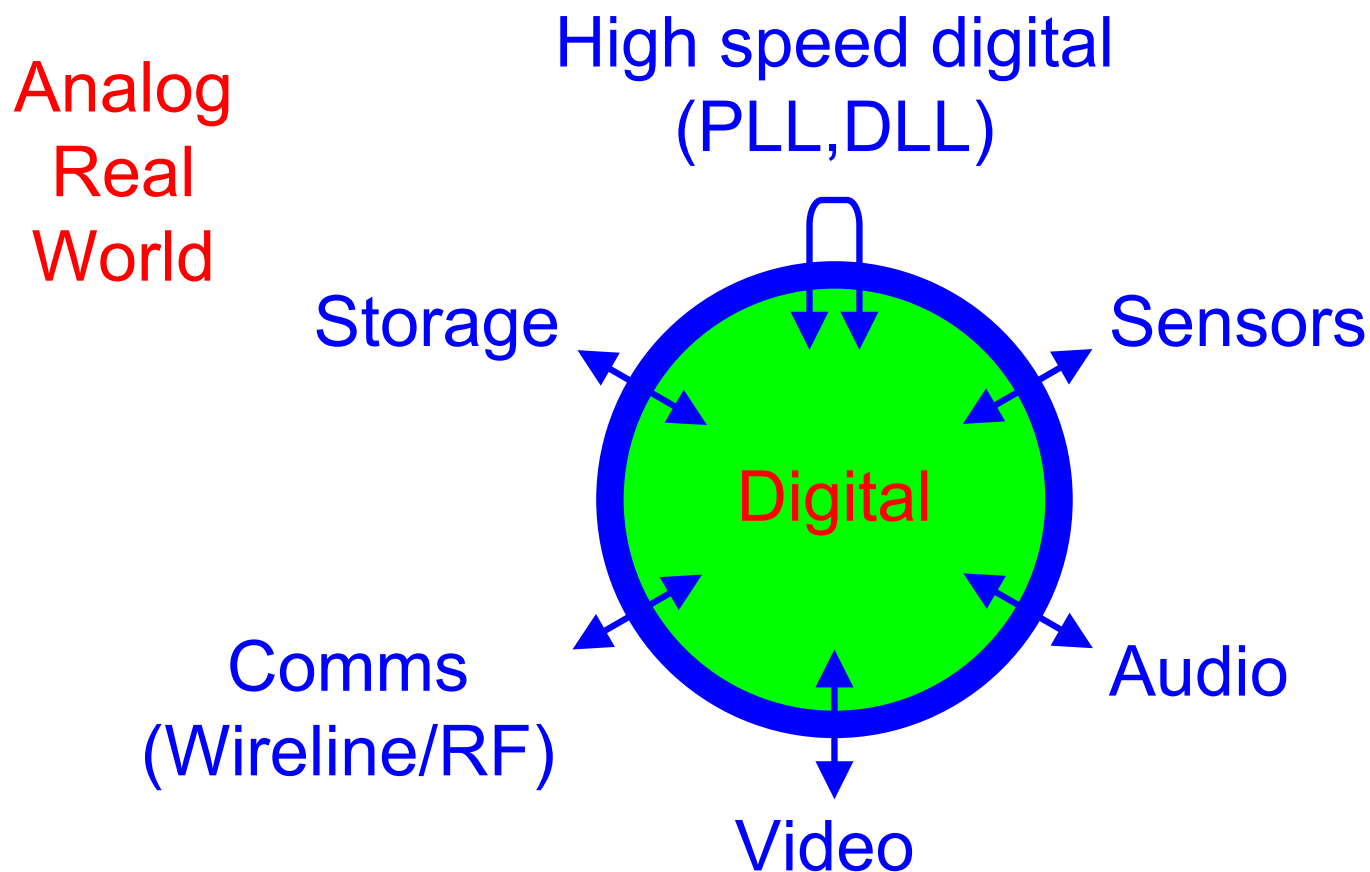


Ref.: SNUG2004, San Jose

ISSCC 2009论文分布情况



混合信号“蛋壳”



Ref.: SNUG2004, San Jose

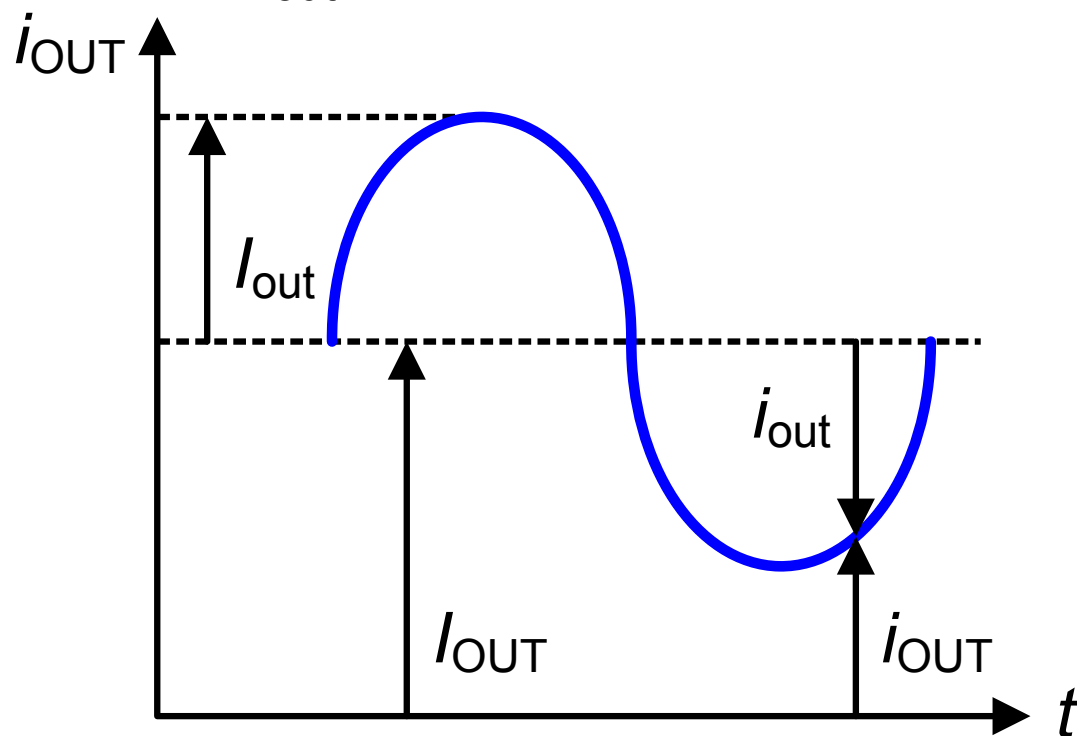
符号说明

i_{OUT} total instantaneous value

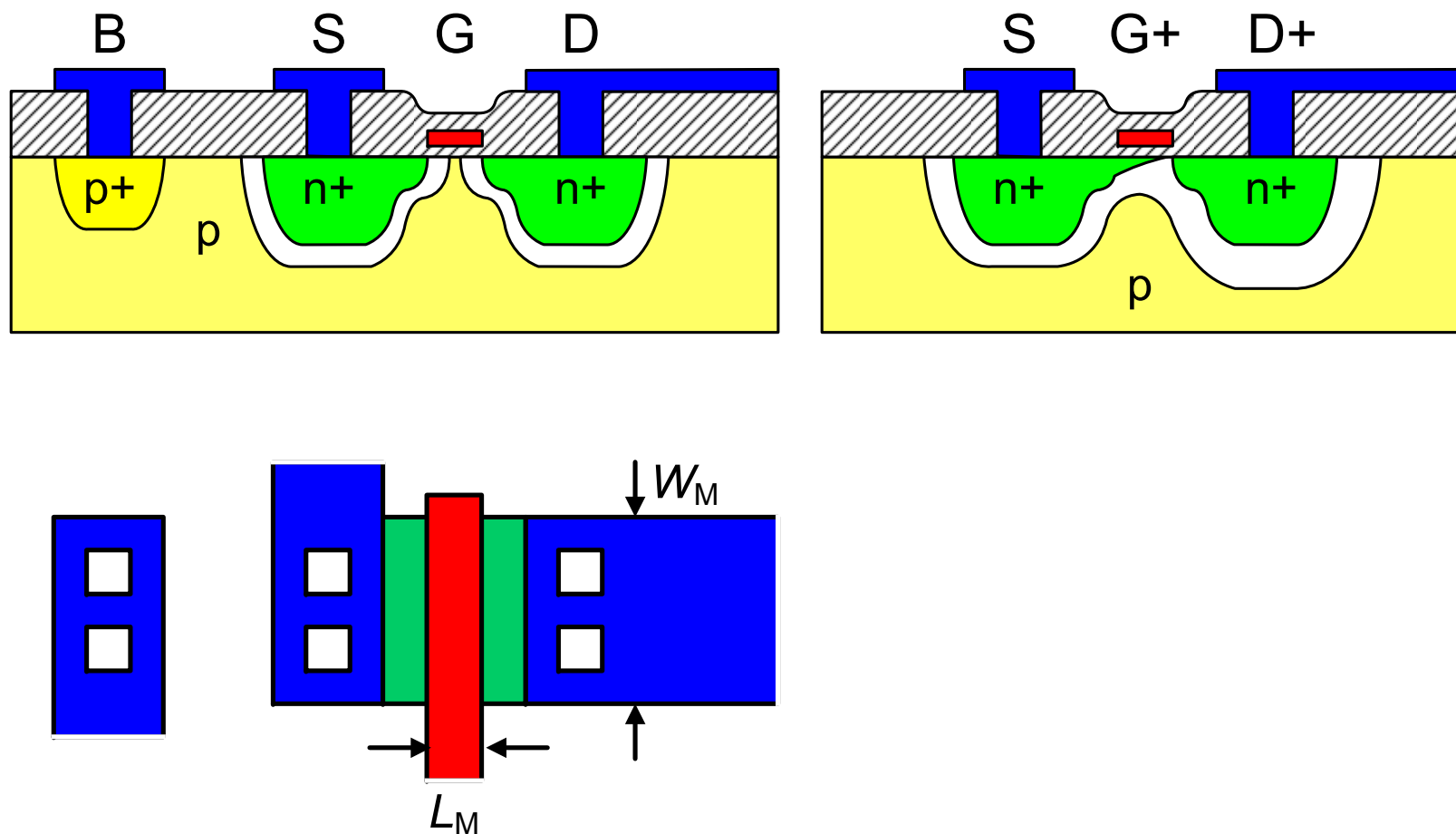
I_{OUT} DC or average value

I_{out} amplitude of AC value

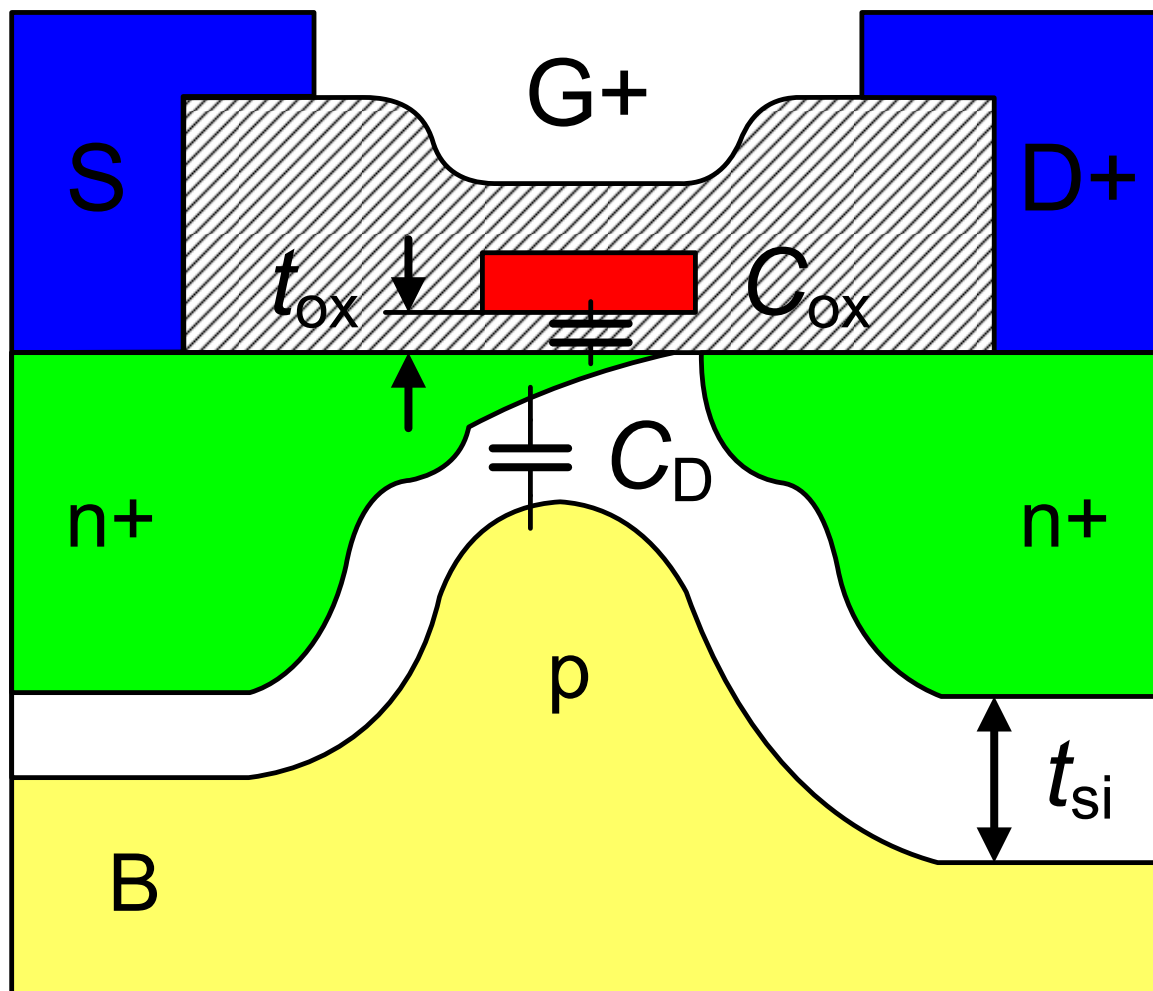
i_{out} instantaneous value of AC component



MOST版图



MOST版图： C_{ox} 和 C_D



$$C_D = \frac{\epsilon_{si}}{t_{si}}$$

$$C_{ox} = \frac{\epsilon_{ox}}{t_{ox}}$$

$$\frac{C_D}{C_{ox}} = n-1$$

MOST版图： C_{ox} 和 C_D 的值

$$C_D = \frac{\epsilon_{si}}{t_{si}} \quad t_{si} = \sqrt{\frac{2\epsilon_{si}(\phi - V_{BD})}{qN_B}}$$

$$\epsilon_{si} = 1 \text{ pF/cm}$$

$$\epsilon_{ox} = 0.34 \text{ pF/cm}$$

$$N_B = 4 \times 10^{17} \text{ cm}^{-3}$$

$$\phi \approx 0.6 \text{ V}$$

$$q = 1.6 \times 10^{-19} \text{ C}$$

例如： $L = 0.35 \text{ } \mu\text{m}$ $W/L = 8$

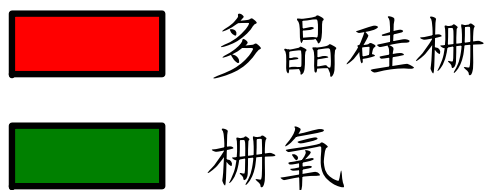
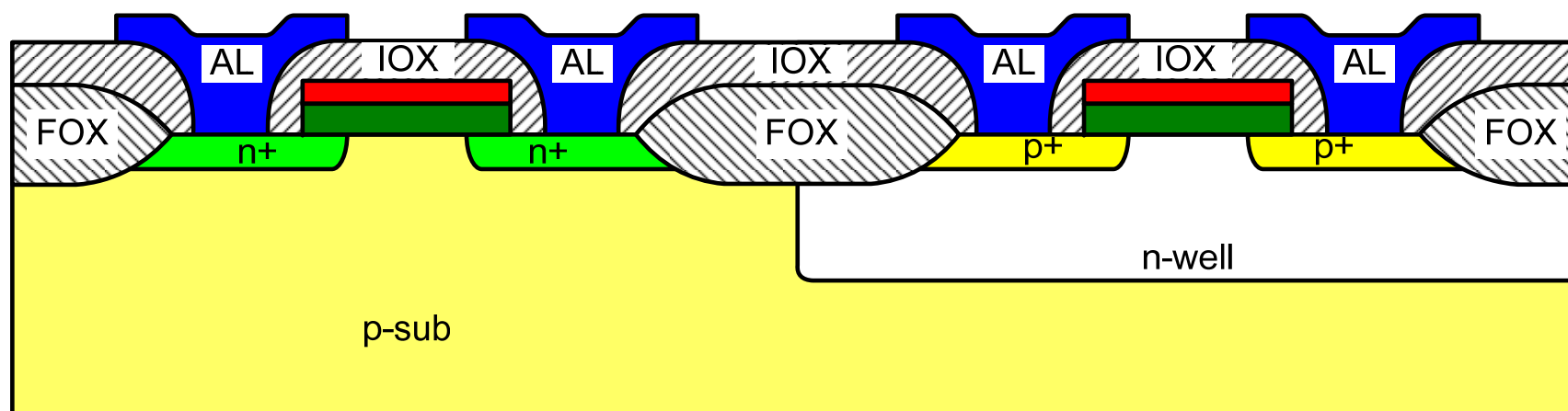
$$V_{BD} = -3.3 \text{ V}$$

$$t_{si} = 0.11 \text{ } \mu\text{m} \quad \Rightarrow \quad C_D \approx 1 \times 10^{-7} \text{ F/cm}^2 = 1 \text{ fF/}\mu\text{m}^2$$

$$t_{ox} = \frac{L_{min}}{50} \Rightarrow t_{ox} = 7 \text{ nm} \Rightarrow C_{ox} = 5 \times 10^{-7} \text{ F/cm}^2 = 5 \text{ fF/}\mu\text{m}^2$$

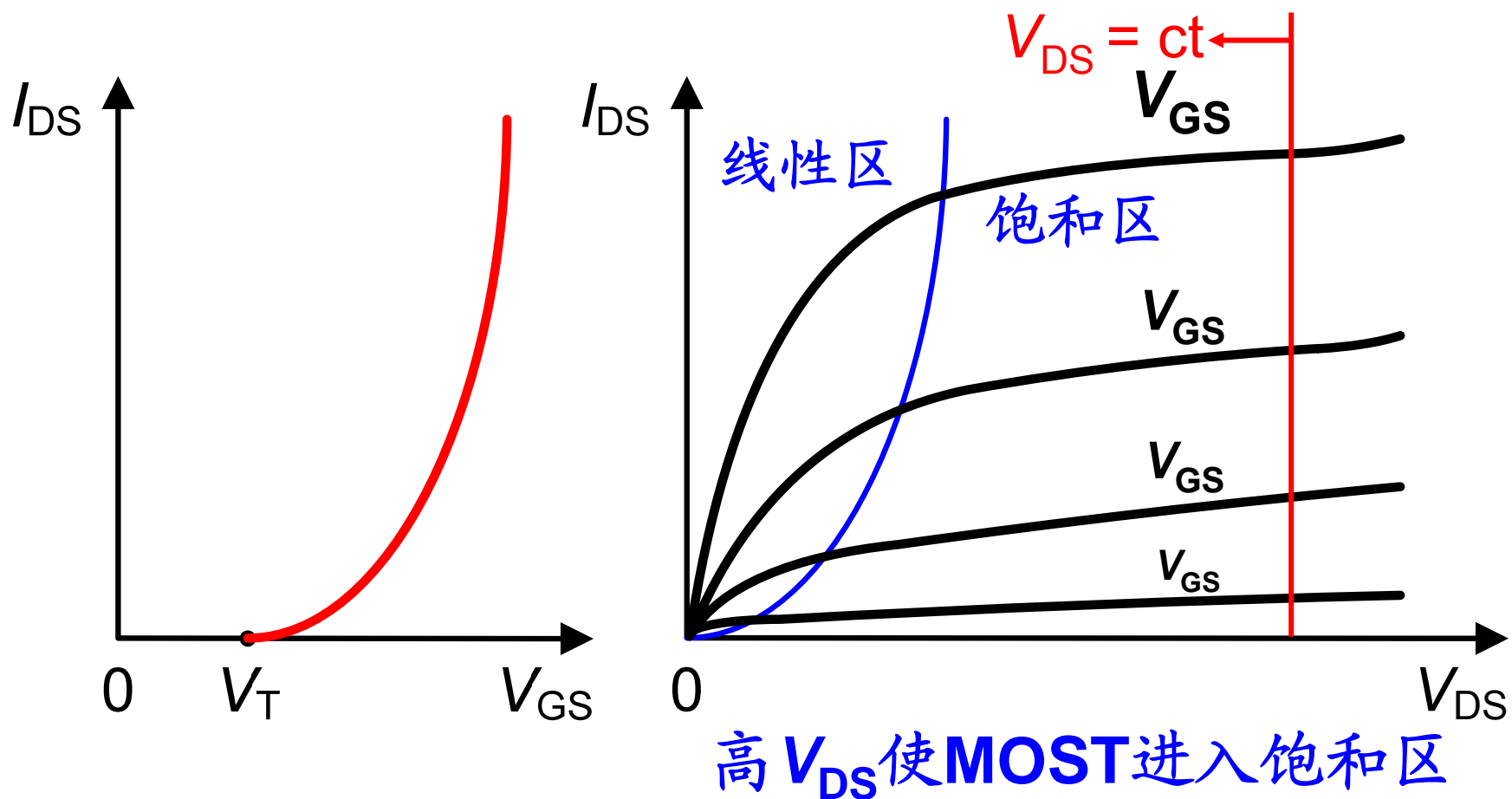
$$\frac{C_D}{C_{ox}} = n-1 \approx 0.2$$

N阱CMOS工艺



$$N_{n\text{-well}} \gg N_{p\text{-sub}}, \quad n_{p\text{mos}} > n_{n\text{mos}}!$$

MOST的 I_{DS} 与 V_{GS} 和 V_{DS} 的关系



目录

- MOS晶体管模型

- 线性区：MOST线性电阻和模拟开关

- 强反型区：MOST放大器

- 弱反型与强反型的转换点

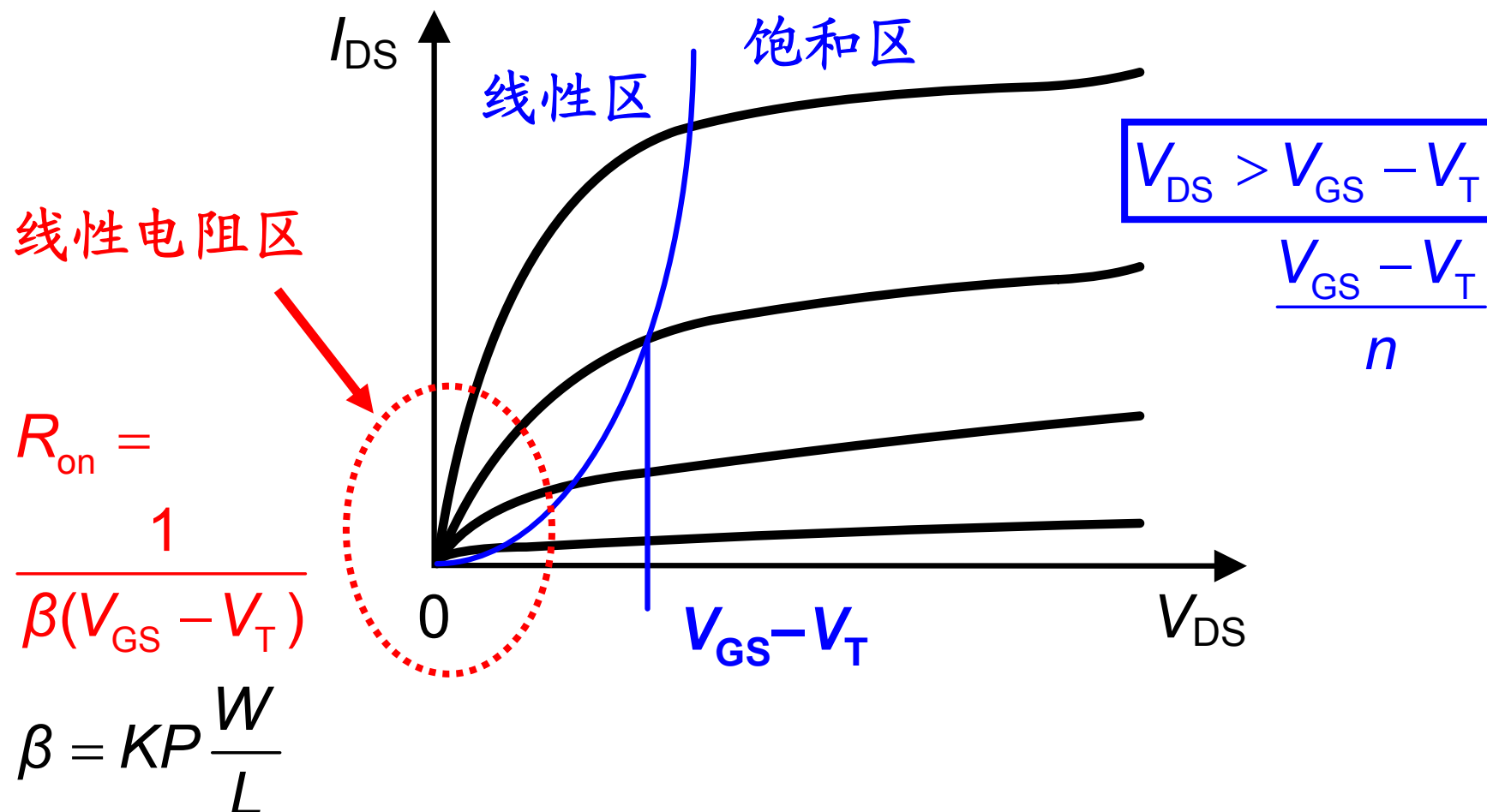
- 强反型与速度饱和的转换点

- 寄生电容与特征频率 f_T

- 双极型晶体管模型

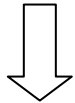
- MOST与双极型晶体管的比较

MOST的 V_{DS} 与 I_{DS} 的关系

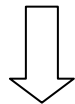


MOST的参数 β 、 KP 、 C_{ox} 等

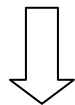
$$\beta = KP \frac{W}{L}$$



$$KP = \mu C_{ox}$$



$$C_{ox} = \frac{\epsilon_{ox}}{t_{ox}}$$



$$t_{ox} = \frac{L_{min}}{50}$$

$$KP_p \approx 125 \mu A/V^2$$

$$KP_n \approx 300 \mu A/V^2$$

$$C_{ox} \approx 5 \times 10^{-7} F/cm^2$$

$$\epsilon_{si} = 1 pF/cm$$

$$\epsilon_{ox} = 0.34 pF/cm$$

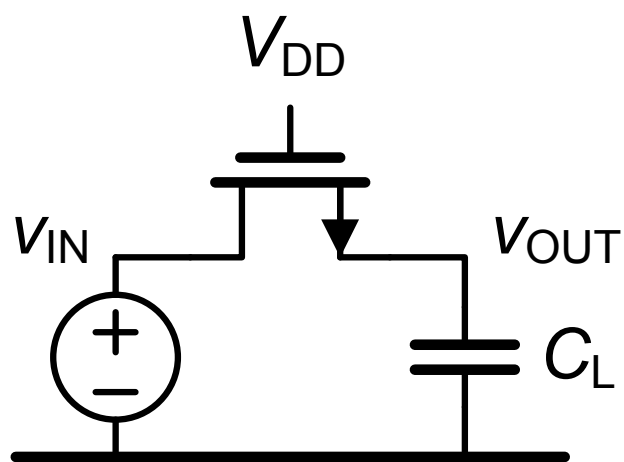
$$t_{ox} = 7 nm$$

$$L = 0.35 \mu m$$

$$\mu_p = 250 cm^2/Vs$$

$$\mu_n = 600 cm^2/Vs$$

例：连接电容 C_L 的模拟开关

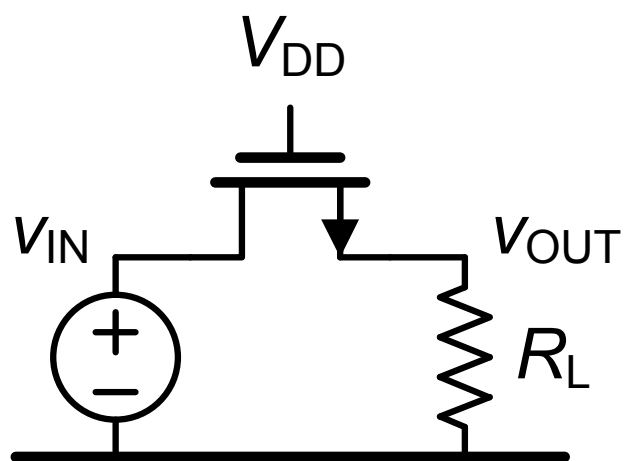


将0.6 V电压源连接到4 pF负载电容 C_L 。希望转换速度较快，时间常数为0.5 ns。

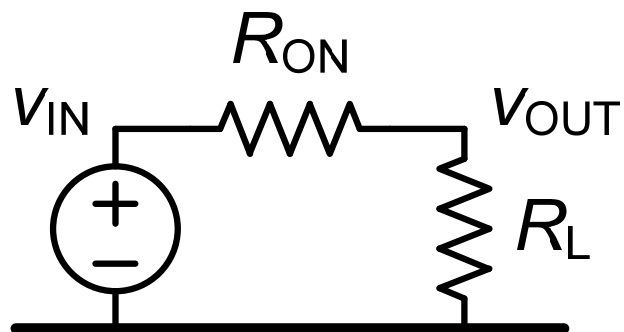
$V_{DD}=2.5$ V， $V_T=0.5$ V。使用0.35 μm 标准CMOS工艺。

选择最小栅长，求 v_{GS} 平均值。

例：连接电阻 R_L 的模拟开关



将0.6 V电压源连接到5 k Ω 负载电阻 R_L 。 $W/L=8$ ， $V_{DD}=2.5$ V， $V_T=0.5$ V。使用0.35 μm 标准CMOS工艺。



选择最小栅长，求 V_{OUT} ， R_{ON} 。

体效应：寄生的结型场效应管(JFET)

$$V_T = V_{T0} + \gamma(\sqrt{|2\phi_F| - V_{BS}} - \sqrt{|2\phi_F|})$$

$$\gamma = \frac{\sqrt{2\epsilon_{si}qN_{SUB}}}{C_{ox}} = \frac{C_D}{C_{ox}} 2\sqrt{|2\phi_F| - V_{BS}}$$

$$|2\phi_F| \approx 0.6 \text{ V}$$

$$n \approx 1.2 \sim 1.5$$

$$\gamma \approx 0.5 \sim 0.8 \text{ V}^{1/2}$$

$$\phi = 2\phi_F$$

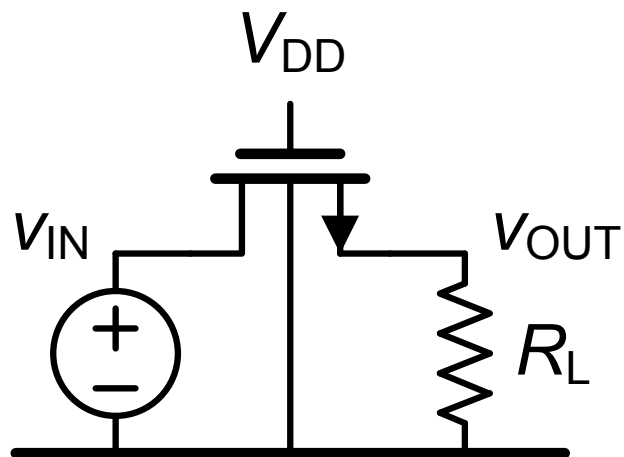
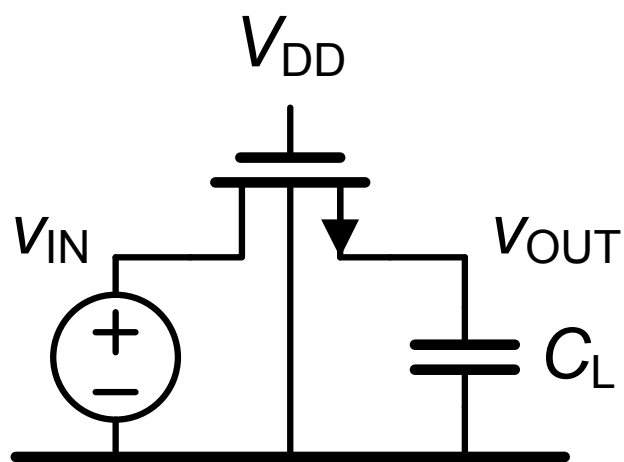
$$n - 1 = \frac{C_D}{C_{ox}} = \frac{\gamma}{2\sqrt{|2\phi_F| - V_{BS}}}$$

反向偏置 V_{BS} 增加, $|V_T|$ 增加, $|i_{DS}|$ 减小。

$n = 1/\kappa$ 为亚阈值栅耦合系数。

Ref.: Tsividis

例： $V_{BS} \neq 0$ 的模拟开关



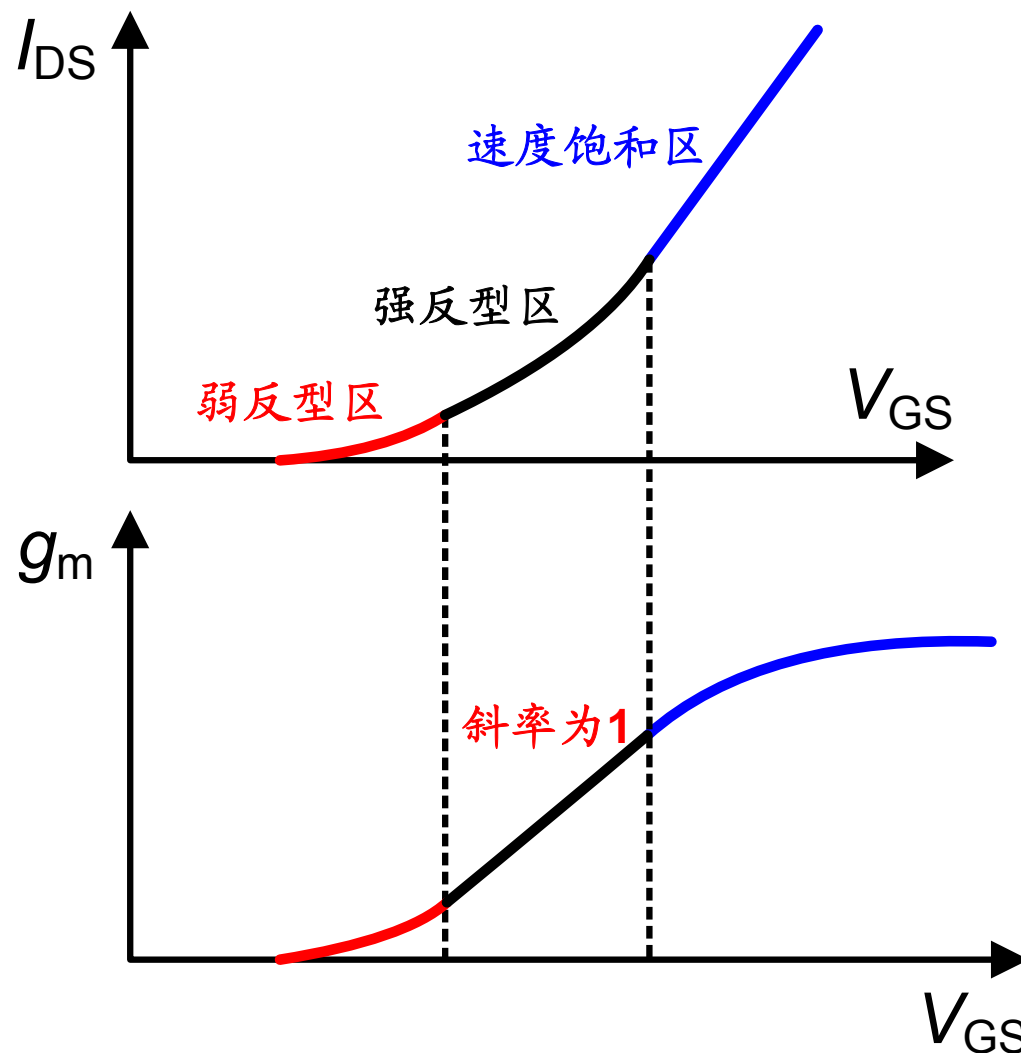
将0.6 V电压源连接到4 pF
负载电容 C_L 或5 k Ω 负载电阻
 R_L 。 $W/L=8$ ($V_{BS}=0$ V时，
 R_{on} 为125 Ω)。 $V_{DD}=2.5$ V，
 $V_{T0}=0.5$ V， $\mu=0.5$ V $^{-1}$ 。使
用0.35 μ m标准CMOS工艺。

求 V_{OUT} 。

目录

- MOS晶体管模型
 - 线性区：MOST线性电阻和模拟开关
 - 强反型区：MOST放大器
 - 弱反型与强反型的转换点
 - 强反型与速度饱和的转换点
 - 寄生电容与特征频率 f_T
- 双极型晶体管模型
- MOST与双极型晶体管的比较

MOST I_{DS} 与 V_{GS} 的关系：强反型区



$$I_{DS} \sim (V_{GS} - V_T)$$

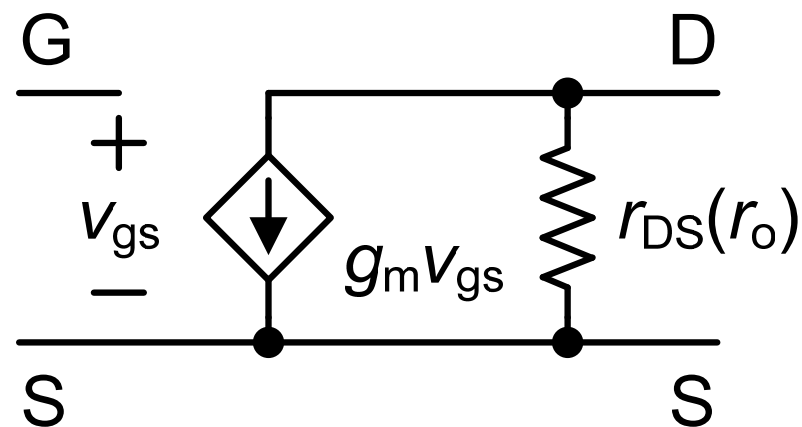
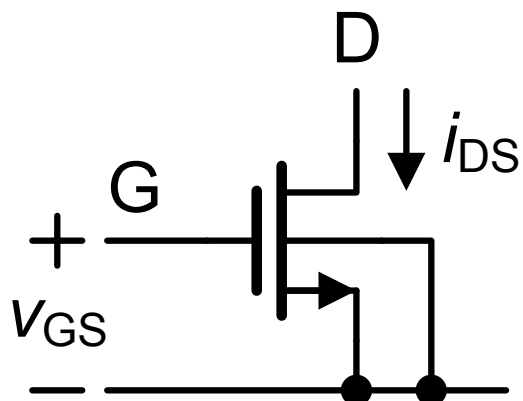
$$I_{DS} = K' \frac{W}{L} (V_{GS} - V_T)^2$$

$$K' = \frac{KP}{2n} \boxed{n ??}$$

$$K'_n \approx 100 \mu A/V^2$$

$$K'_p \approx 40 \mu A/V^2$$

MOST的小信号模型： g_m 和 r_{DS}



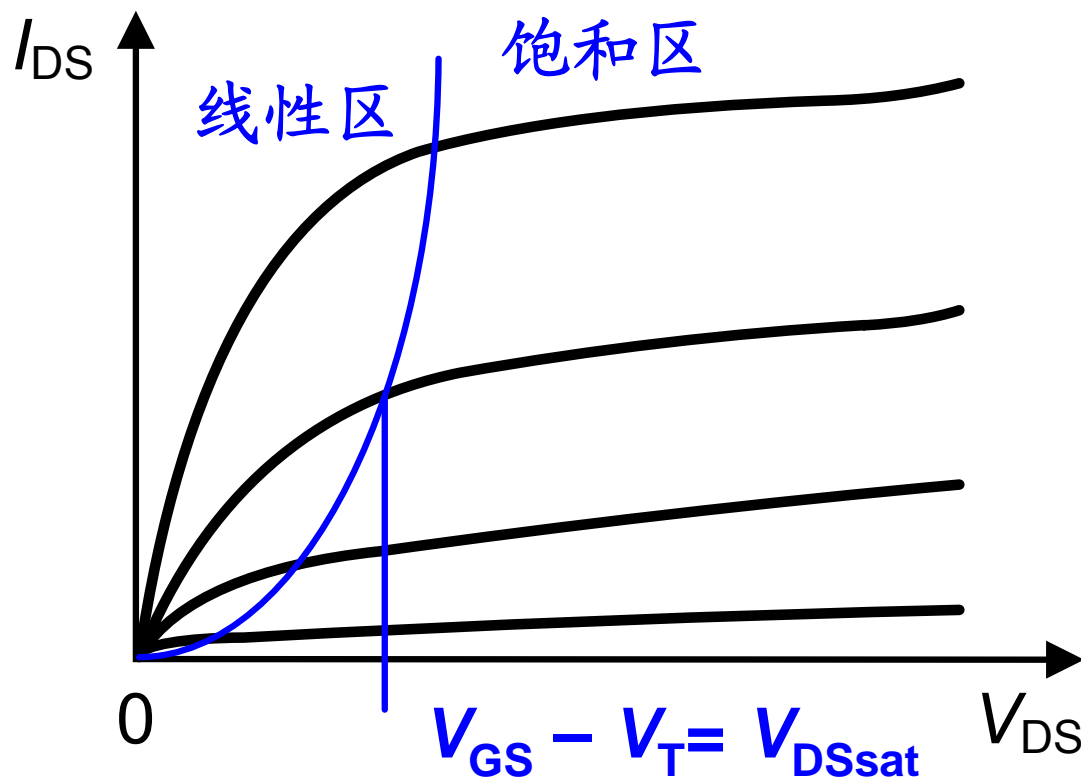
$$g_m = \frac{di_{DS}}{dv_{GS}}$$

$$g_m = 2K'_n \frac{W}{L} (V_{GS} - V_T) = 2\sqrt{K'_n \frac{W}{L} I_{DS}} = \frac{2I_{DS}}{V_{GS} - V_T}$$

跨导 g_m

g_m 正比于 $\sqrt{I_{DS}}$ ，还是 I_{DS} ？

MOST的小信号模型： r_{DS}



$$r_{DS} = r_o = \frac{V_E L}{I_{DS}}$$

$$\lambda = \frac{1}{V_E L}$$

$$V_{En} = 4 \text{ V}/\mu\text{m}$$

$$L = 1 \mu\text{m}$$

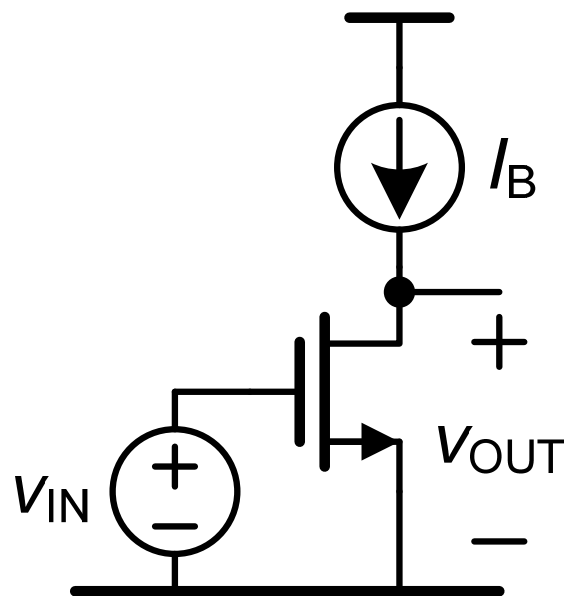
$$I_{DS} = 100 \mu\text{A}$$

$$r_{DS} = 40 \text{ k}\Omega$$

$$I_{DS} = K'_n \frac{W}{L} (V_{GS} - V_T)^2 (1 + \lambda_n V_{DS})$$

$$\frac{1}{r_{DS}} = \frac{di_{DS}}{dv_{DS}} \doteq \lambda I_{DS}$$

MOST单管增益 A_V



$$\begin{aligned}
 A_V &= g_m r_{DS} \\
 &= \frac{2I_{DS}}{V_{GS} - V_T} \cdot \frac{V_E L}{I_{DS}} \\
 &= \frac{2V_E L}{V_{GS} - V_T}
 \end{aligned}$$

如果 $V_{GS} - V_T = 0.2 \text{ V}$ 、 $V_E L \approx 10 \text{ V}$ ，则 $A_V \approx 100$ 。

高增益设计

	高增益	高速
$V_{GS} - V_T$	低(0.2 V)	
L	高	

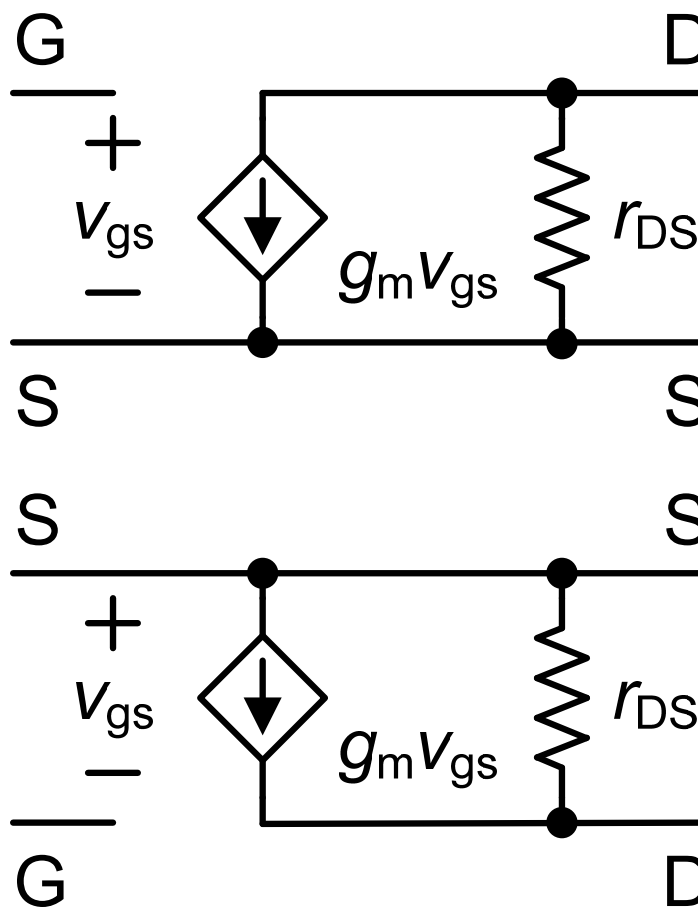
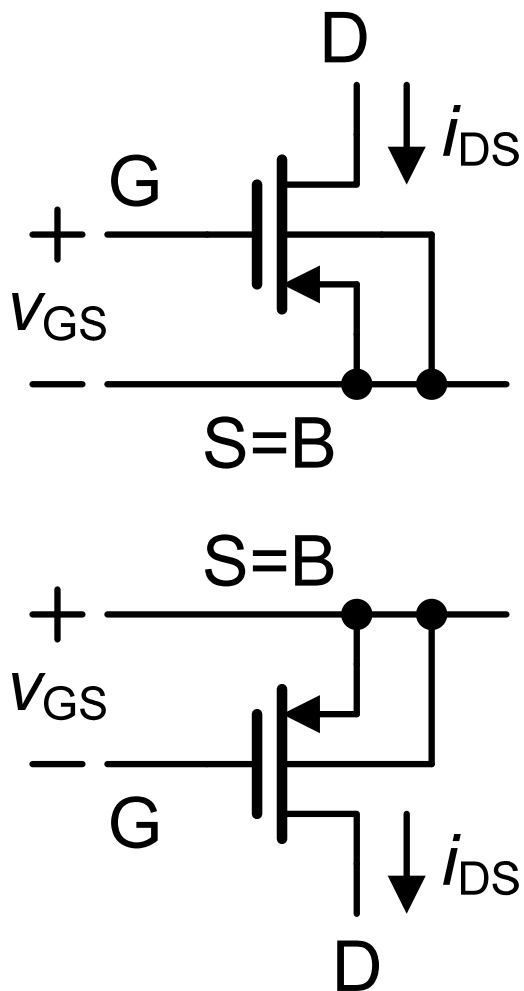
$V_{GS} - V_T$ 决定 g_m/I_{DS} 的比率，能效比！

例：单管放大器

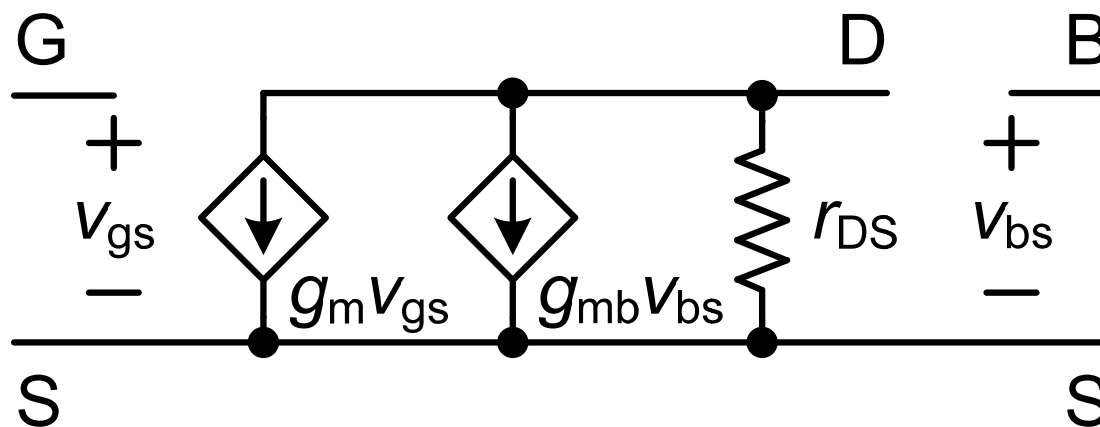
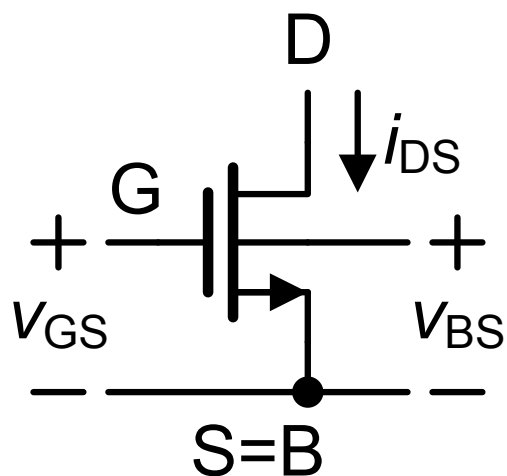
用三个单管串联的结构，实现总增益为10,000的三级放大器。 $V_{GS} - V_T = 0.2 \text{ V}$ 。

使用先进的65 nm CMOS工艺($V_{En} = 4 \text{ V}/\mu\text{m}$)，求最小栅长。

pMOST的小信号模型



MOST的小信号模型： g_m 和 g_{mb}



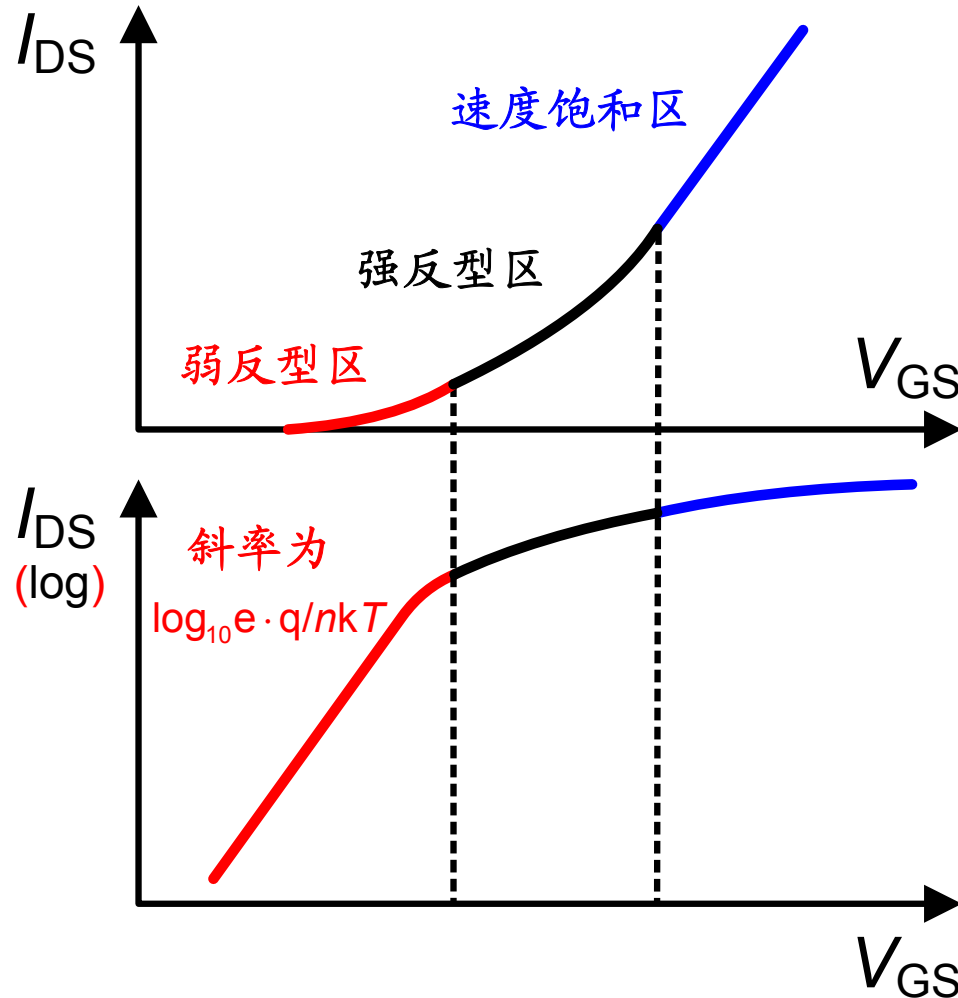
$$g_m = \frac{di_{DS}}{dv_{GS}} \quad g_{mb} = \frac{di_{DS}}{dv_{BS}}$$

$$\frac{g_{mb}}{g_m} = \frac{C_D}{C_{ox}} = n - 1$$

目录

- MOS晶体管模型
 - 线性区：MOST线性电阻和模拟开关
 - 强反型区：MOST放大器
 - 弱反型与强反型的转换点
 - 强反型与速度饱和的转换点
 - 寄生电容与特征频率 f_T
- 双极型晶体管模型
- MOST与双极型晶体管的比较

I_{DS} 和 g_m 与 V_{GS} 的关系：弱反型区



wi: 弱反型区

$$I_{DSwi} = I_{D0} \frac{W}{L} e^{\frac{V_{GS}}{nkT/q}}$$

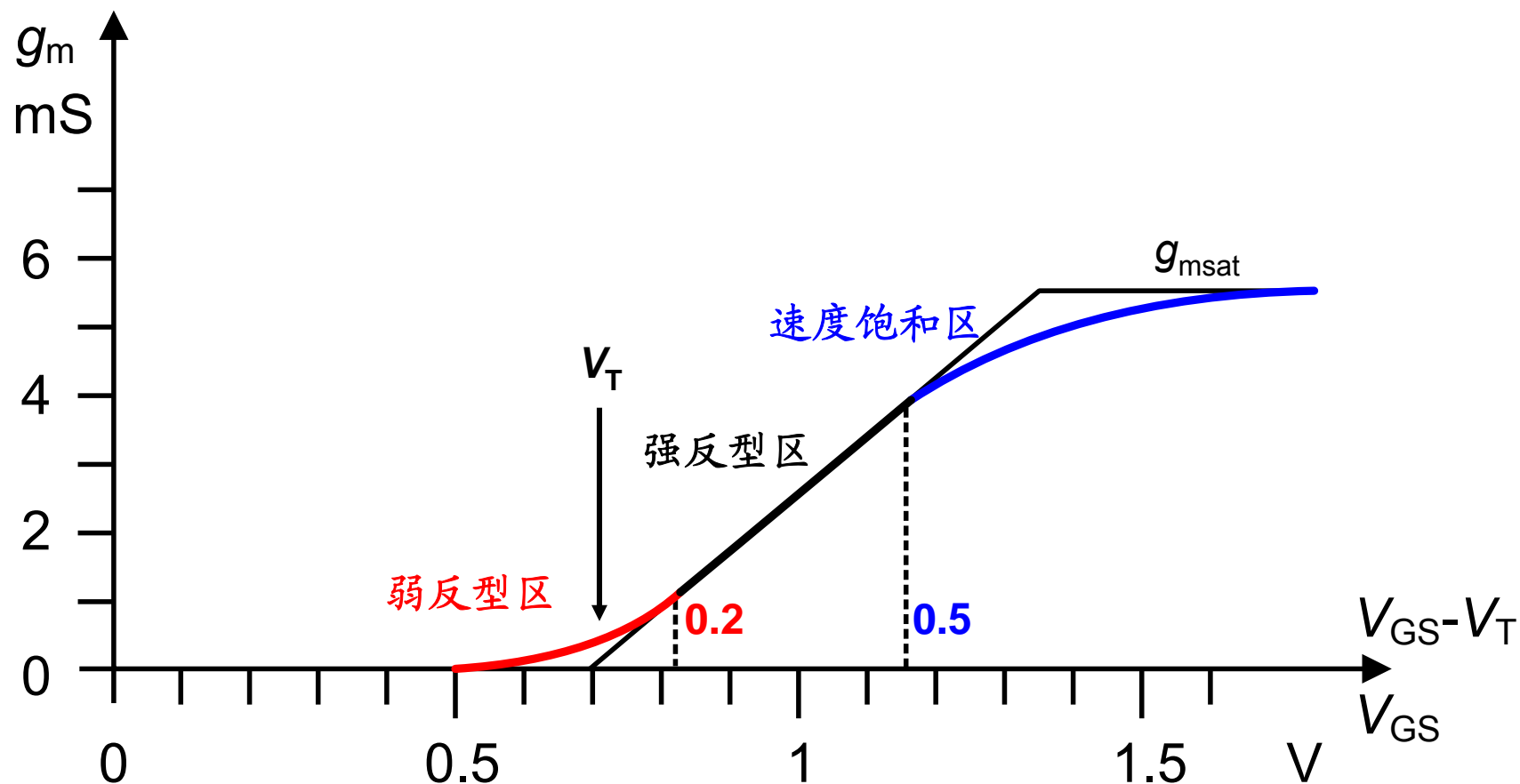
$$g_{mwi} = \frac{I_{DSwi}}{nkT/q}$$

$$k = 1.38 \times 10^{-23} \text{ J/K}$$

$$q = 1.6 \times 10^{-19} \text{ C}$$

$$kT/q = 26 \text{ mV} @ T = 300 \text{ K}$$

跨导 g_m 与 V_{GS} 的关系



wi与si转换点电压 V_{GS_t}

$$I_{DSwi} = I_{D0} \frac{W}{L} e^{\frac{V_{GS}}{nkT/q}}$$

$$g_{mwi} = \frac{I_{DSwi}}{nkT/q}$$

$$\frac{g_{mwi}}{I_{DSwi}} = \frac{1}{nkT/q}$$

$$I_{DS} = K'_n \frac{W}{L} (V_{GS} - V_T)^2$$

$$g_m = \frac{2I_{DS}}{V_{GS} - V_T}$$

$$\frac{g_m}{I_{DS}} = \frac{2}{V_{GS} - V_T}$$

$$(V_{GS} - V_T)_t = 2n \frac{kT}{q}$$

转换点电压 V_{GSt} : 与沟道长度 L 无关

$$(V_{GS} - V_T)_t = 2n \frac{kT}{q}$$

$$(V_{GS} - V_T)_t = 2n \frac{kT}{q} \approx 70 \text{ mV}$$

与沟道长度 L 无关，
很长时间内仍然遵循这一规律！

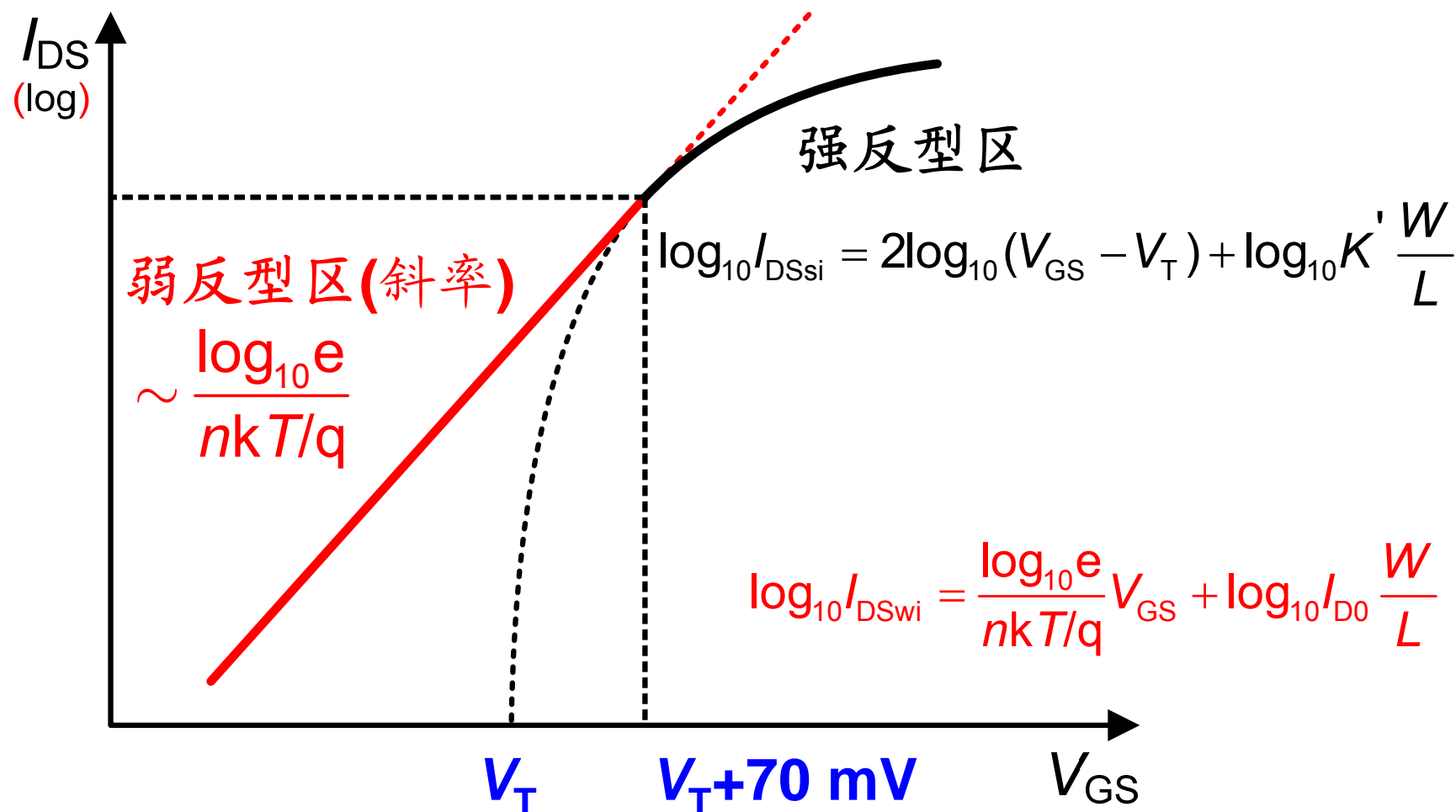
$$K'_n \approx 100 \mu\text{A}/\text{V}^2$$

$$K'_p \approx 40 \mu\text{A}/\text{V}^2$$

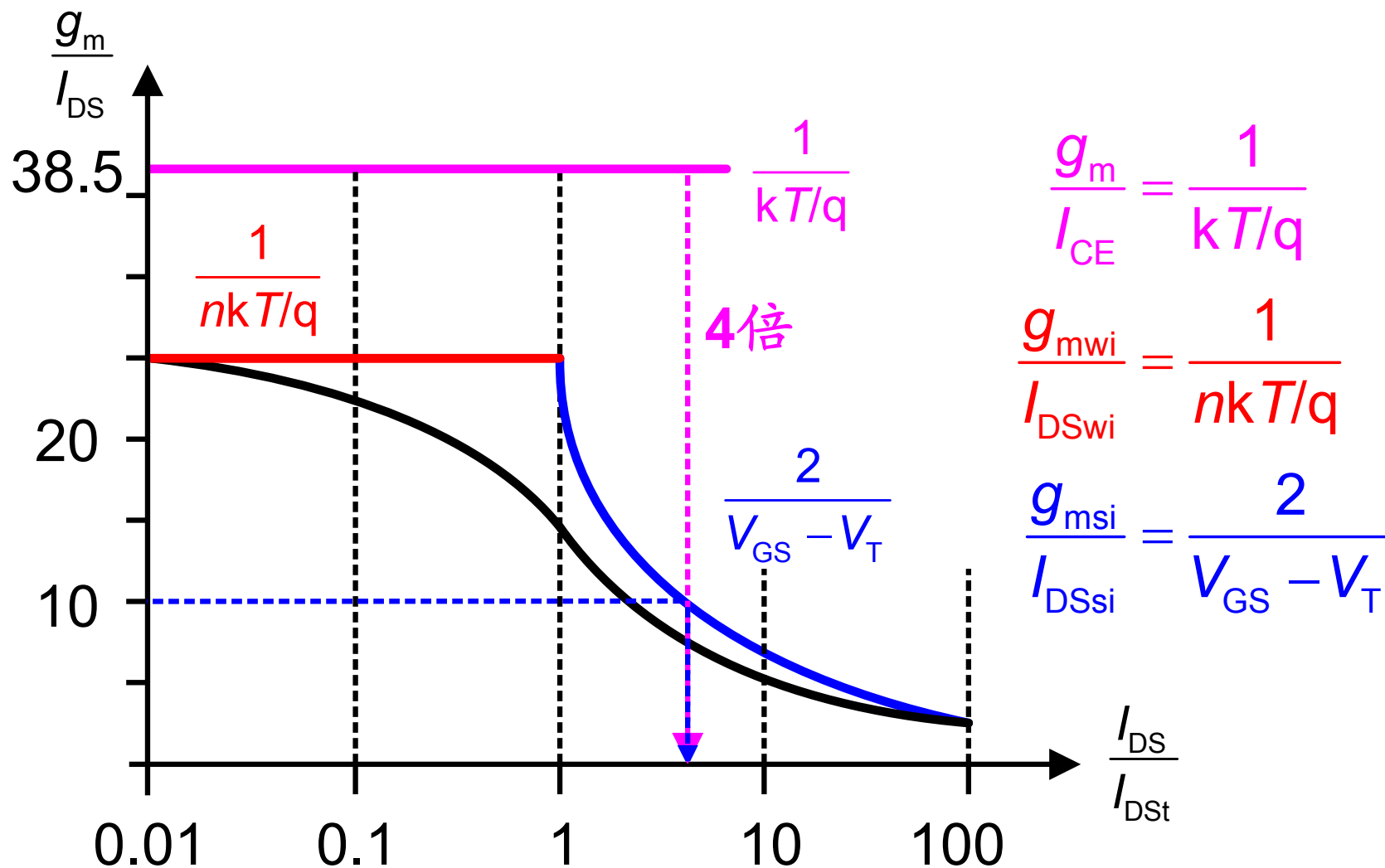
例如，当 $\frac{W}{L} = 10$ 时，NMOS 的 $I_{DSt} \approx 5 \mu\text{A}$ ；

PMOS 的 $I_{DSt} \approx 2 \mu\text{A}$ 。

wi与si的转换点



wi与si转换点的能效比 g_m/I_{DS}



wi与si平滑过渡的EKV模型

$$I_{DS} = K' \frac{W}{L} V_{GSTt}^2 [\ln(1 + e^v)]^2 \quad V_{GST} = V_{GS} - V_T \quad K' = \frac{KP}{2n}$$

$$v = \frac{V_{GST}}{V_{GSTt}} \quad V_{GSTt} = (V_{GS} - V_T)_t = 2n \frac{kT}{q} \approx 70 \text{ mV}$$

当 v 较小时: $\ln(1 + e^v) \approx e^v$

$$I_{DS} = K' \frac{W}{L} V_{GSTt}^2 e^{2v} = K' \frac{W}{L} V_{GSTt}^2 e^{\frac{V_{GS} - V_T}{nkT/q}} = I_{DSt} e^{\frac{V_{GS} - V_T}{nkT/q}}$$

当 v 较大时: $\ln(1 + e^v) \approx v$

$$I_{DS} = K' \frac{W}{L} V_{GSTt}^2 v^2 = K' \frac{W}{L} (V_{GS} - V_T)^2$$

Ref.: Enz, AICSP '95,83-114
Cunha, JSSC Oct.98
1510-1519

wi与si转换点电流 I_{DSt}

$$I_{DSt} = K' \frac{W}{L} V_{GSTt}^2$$

$$i = \frac{I_{DS}}{I_{DSt}} = [\ln(1 + e^v)]^2 \quad \text{反型系数}$$

$$v = \ln(e^{\sqrt{i}} - 1)$$

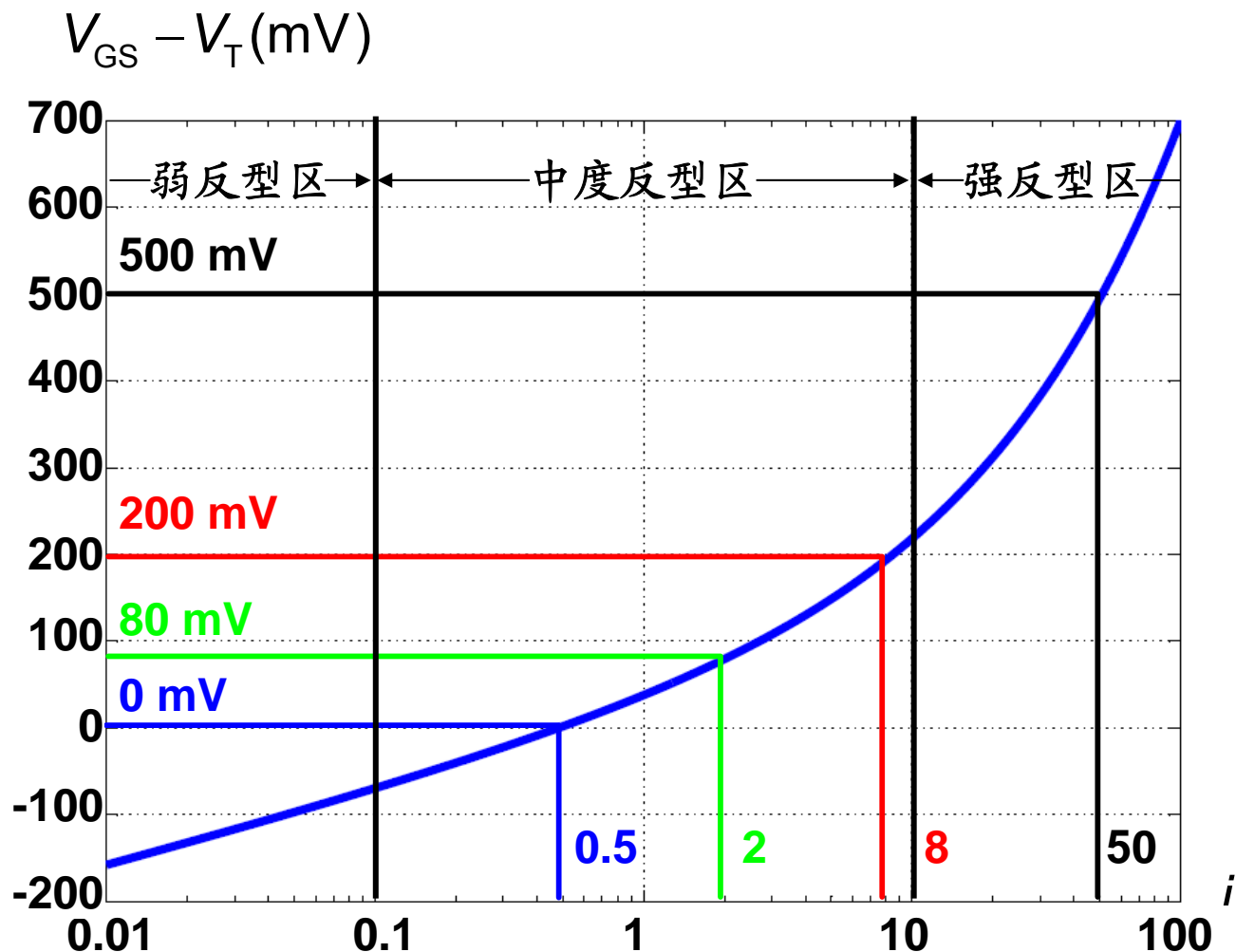
$$V_{GS} - V_T = V_{GSTt} \ln(e^{\sqrt{i}} - 1) \quad V_{GSTt} = 2n \frac{kT}{q} \approx 70 \text{ mV}$$

$$i = 1 \quad v = \ln(e^{\sqrt{1}} - 1) = 0.54 \quad V_{GS} - V_T \approx 38 \text{ mV}$$

$$v = 1 \quad i = [\ln(1 + e^1)]^2 = 1.72$$

$$v = 0 \quad i = [\ln(1 + e^0)]^2 = 0.48$$

$V_{GS} - V_T$ 与反型系数 i 的关系



$$V_{GS} - V_T = V_{GSTt} \ln(e^{\sqrt{i}} - 1)$$

$$V_{GSTt} = 2n \frac{kT}{q}$$

$$i = \frac{I_{DS}}{I_{DSt}}$$

wi与si之间的跨导 g_m ：归一化GM

$$i = \frac{I_{DS}}{I_{DSst}} = [\ln(1 + e^v)]^2$$

$$g_m \approx \dots$$

$$GM = \frac{\frac{g_m}{I_{DS}}}{\frac{1}{nkT/q}} = \frac{g_m}{I_{DS}} \frac{nkT}{q}$$

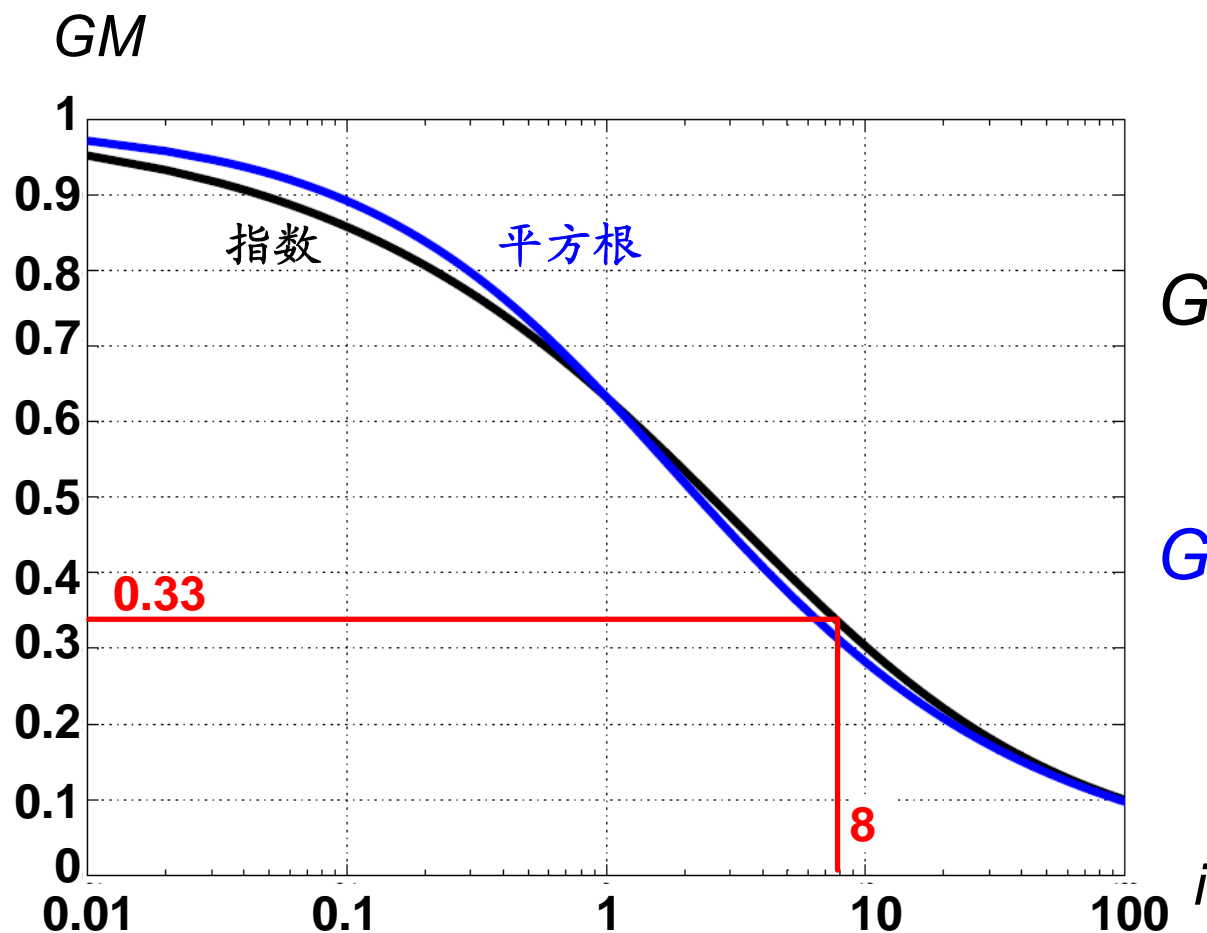
$$(1) GM = \frac{1 - e^{-\sqrt{i}}}{\sqrt{i}}$$

$$\text{大 } i : GM = \frac{1}{\sqrt{i}} \quad \text{小 } i : GM = 1 - \frac{\sqrt{i}}{2}$$

$$(2) GM = \frac{1}{\sqrt{1 + 0.5\sqrt{i} + i}}$$

$$\text{大 } i : GM = \frac{1}{\sqrt{i}} \quad \text{小 } i : GM = 1 - \frac{\sqrt{i}}{4}$$

归一化跨导 GM 与反型系数 i 的关系



$$GM = \frac{g_m}{I_{DS}} \frac{nkT}{q}$$

$$GM = \frac{1 - e^{-\sqrt{i}}}{\sqrt{i}} \quad (\text{指数})$$

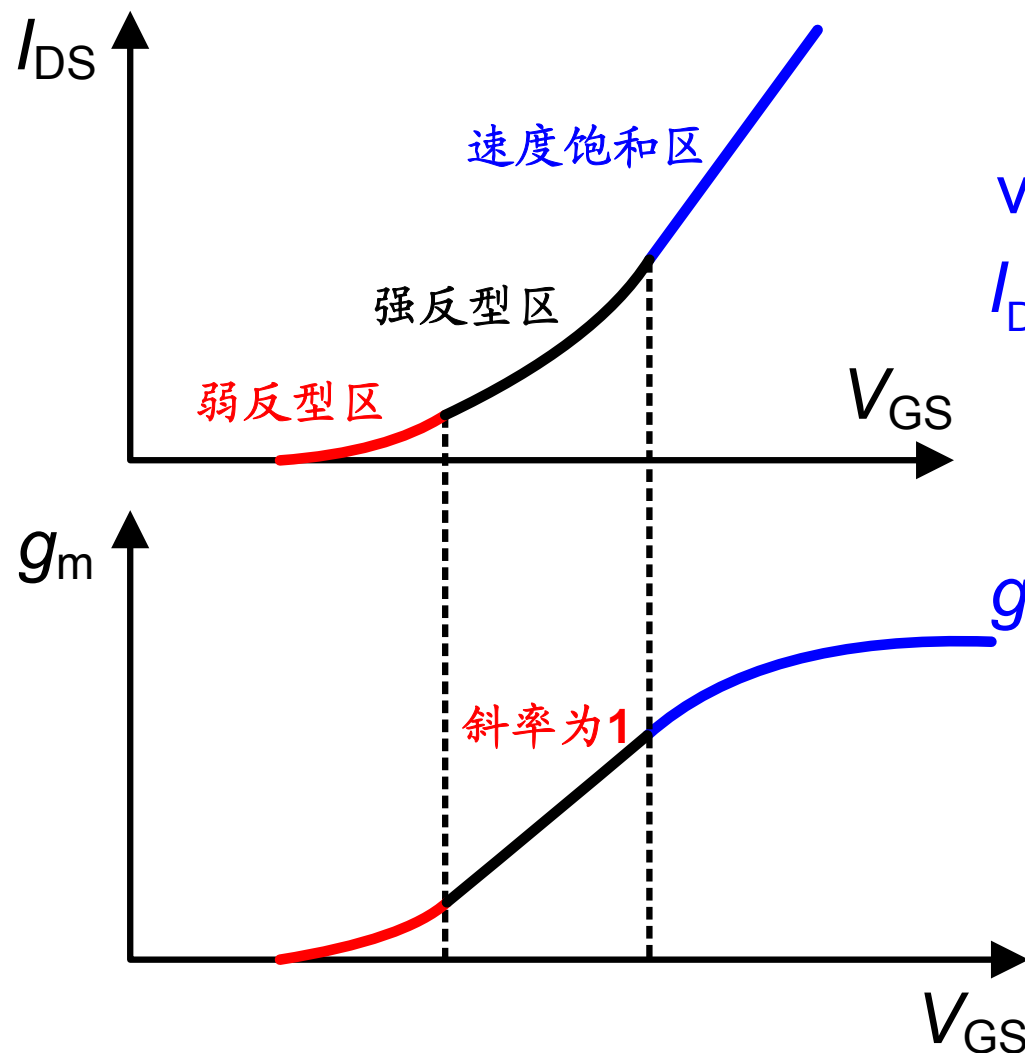
$$GM = \frac{1}{\sqrt{1 + 0.5\sqrt{i} + i}} \quad (\text{平方根})$$

$$i = \frac{I_{DS}}{I_{DSt}}$$

目录

- MOS晶体管模型
 - 线性区：MOST线性电阻和模拟开关
 - 强反型区：MOST放大器
 - 弱反型与强反型的转换点
 - 强反型与速度饱和的转换点
 - 寄生电容与特征频率 f_T
- 双极型晶体管模型
- MOST与双极型晶体管的比较

I_{DS} 和 g_m 与 V_{GS} 的关系：速度饱和区



VS: 速度饱和区

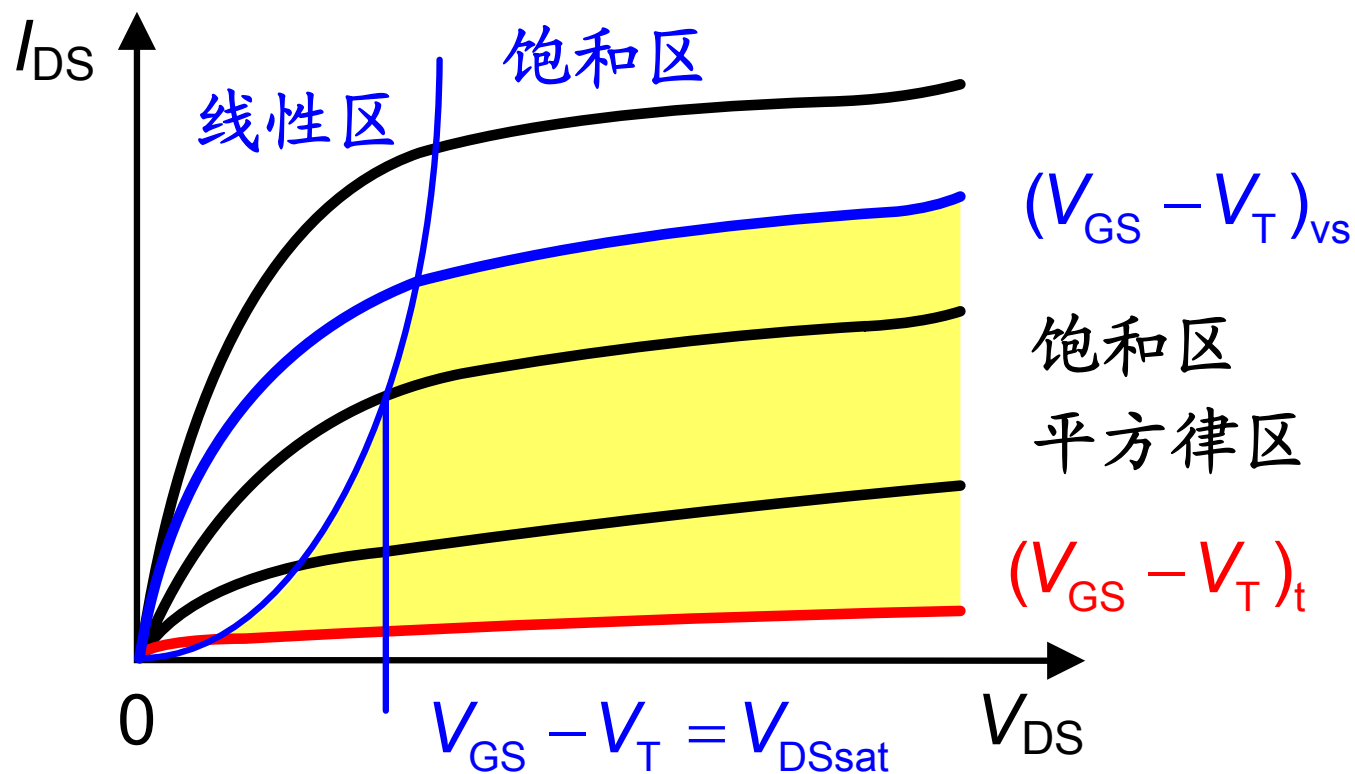
$$I_{DSvs} = WC_{ox} v_{sat} (V_{GS} - V_T)$$

$$v_{sat} \approx 10^7 \text{ cm/s}$$

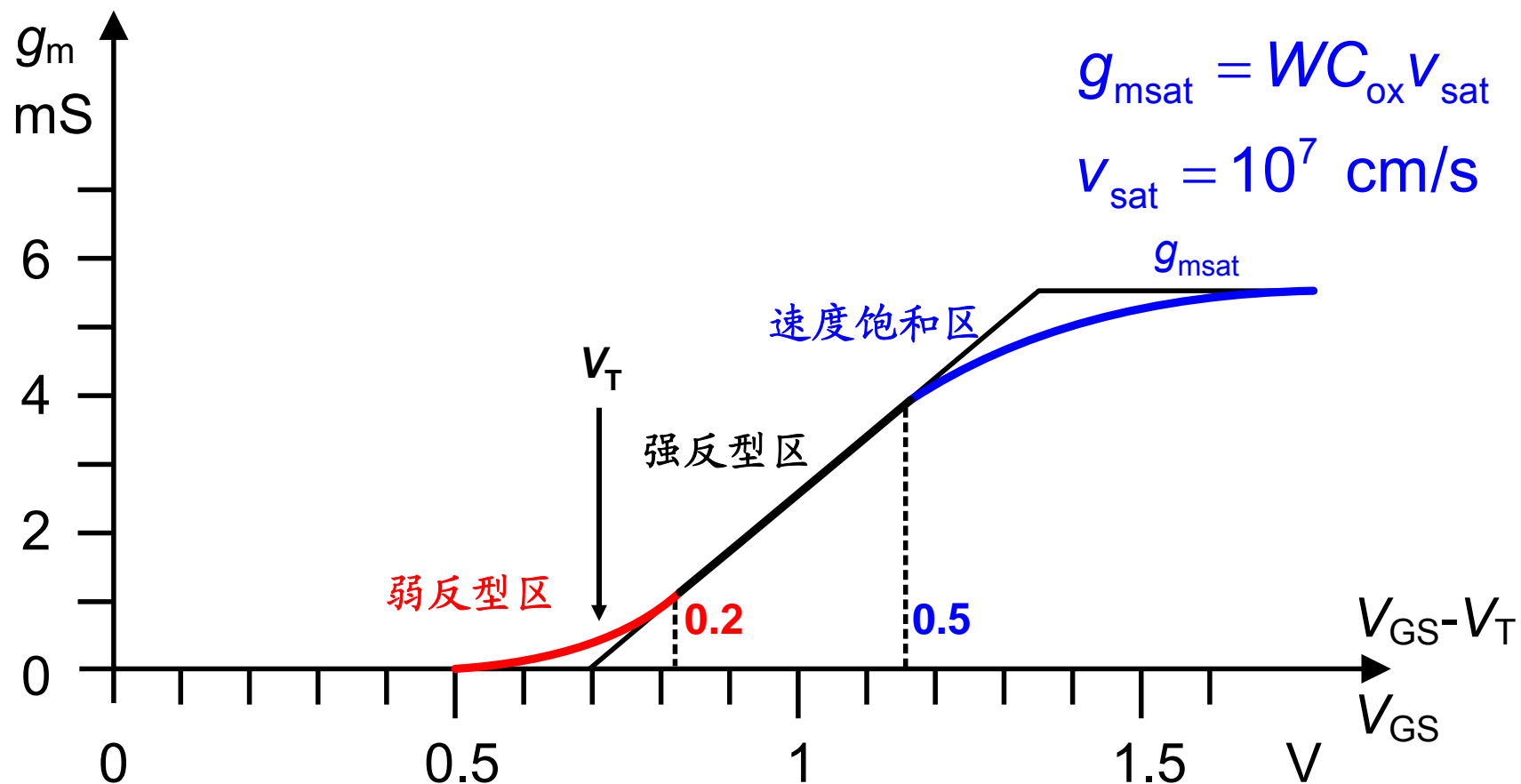
$$g_{msat} = WC_{ox} v_{sat}$$

g_{msat} 达到最大值，
不再增加。

饱和区和速度饱和区



跨导 g_m 与 V_{GS} 的关系



速度饱和区： v_{sat} 和 θ

$$I_{\text{DS}} = \frac{K' \frac{W}{L} (V_{\text{GS}} - V_{\text{T}})^2}{1 + \theta(V_{\text{GS}} - V_{\text{T}})}$$

$$g_{\text{msat}} \approx 2K' \frac{W}{L} (V_{\text{GS}} - V_{\text{T}}) \frac{1 + \frac{\theta}{2}(V_{\text{GS}} - V_{\text{T}})}{[1 + \theta(V_{\text{GS}} - V_{\text{T}})]^2}$$

$$\theta L = \frac{\mu}{2n} \frac{1}{v_{\text{sat}}} = \frac{1}{E_{\text{c}}} \quad E_{\text{c}} \text{垂直临界场强}$$

$$\approx \frac{K'}{\theta} \frac{W}{L} (V_{\text{GS}} - V_{\text{T}})$$

↓

$$\approx \frac{K'}{\theta} \frac{W}{L}$$

$$= WC_{\text{ox}} v_{\text{sat}}$$

$$\theta_{\text{n}} L \approx 0.200 \mu\text{m/V} \quad \text{当 } L = 0.13 \mu\text{m}, \quad \theta_{\text{n}} \approx 1.54 \text{ V}^{-1}$$

$$\theta_{\text{p}} L \approx 0.083 \mu\text{m/V} \quad \theta_{\text{p}} \approx 0.64 \text{ V}^{-1}$$

速度饱和区： v_{sat} 、 R_S 和 θ

$$I_{\text{DS}} = \frac{K' \frac{W}{L} (V_{\text{GS}} - V_{\text{T}})^2}{1 + \theta (V_{\text{GS}} - V_{\text{T}})}$$

$$g_{\text{msat}} \approx \frac{K'}{\theta} \frac{W}{L}$$

$$g_{\text{mRs}} = \frac{g_{\text{m}}}{1 + g_{\text{m}} R_{\text{S}}} \approx \frac{1}{R_{\text{S}}}$$

$$R_{\text{S}} = \frac{\theta}{K' W/L}$$

$$R_{\text{S}} \approx \frac{\mu}{2n} \frac{1}{W K' v_{\text{sat}}} \approx \frac{1}{W C_{\text{ox}} v_{\text{sat}}}$$

si与vs转换点电压 V_{GSTvs}

$$I_{DS} = \frac{K' \frac{W}{L} (V_{GS} - V_T)^2}{1 + \theta(V_{GS} - V_T)}$$

$$I_{DS} = WC_{ox} v_{sat} (V_{GS} - V_T)$$

$$g_{msat} = WC_{ox} v_{sat} \approx \frac{K'}{\theta} \frac{W}{L}$$

$$(V_{GS} - V_T)_{vs} = \frac{1}{\theta} \approx 2nL \frac{v_{sat}}{\mu_n} \quad \text{正比于沟道长度 } L!!!$$

$$\approx 5L$$

$$v_{sat} = 10^7 \text{ cm/s}$$

$$n = 1.4$$

$$\text{当 } L = 0.13 \text{ } \mu\text{m} \text{ 时, } (V_{GS} - V_T)_{vs} \approx 0.65 \text{ V} \quad \mu_n = 500 \text{ cm}^2/\text{Vs}$$

si与vs转换点电流 I_{DSvs}

$$I_{DSvs} \approx K'_n \frac{W}{L} \left(\frac{2nL v_{sat}}{\mu_n} \right)^2 \approx 100n \epsilon_{ox} W \frac{v_{sat}^2}{\mu_n}$$

$$K'_n = \frac{\mu_n C_{ox}}{2n} \quad C_{ox} = \frac{\epsilon_{ox}}{t_{ox}} \quad t_{ox} = \frac{L_{min}}{50}$$

$$\frac{I_{DSvs}}{W} \approx 10 \text{ A/cm}$$

$$\epsilon_{ox} = 0.34 \text{ pF/cm}$$

$$v_{sat} = 10^7 \text{ cm/s}$$

$$n = 1.4$$

$$\mu_n = 500 \text{ cm}^2/\text{Vs}$$

当 $W = 2.6 \text{ } \mu\text{m}$, $L_{min} = 0.13 \text{ } \mu\text{m}$ 时, $I_{DSvs} \approx 2.6 \text{ mA}$ 。

si与vs转换点跨导 g_m

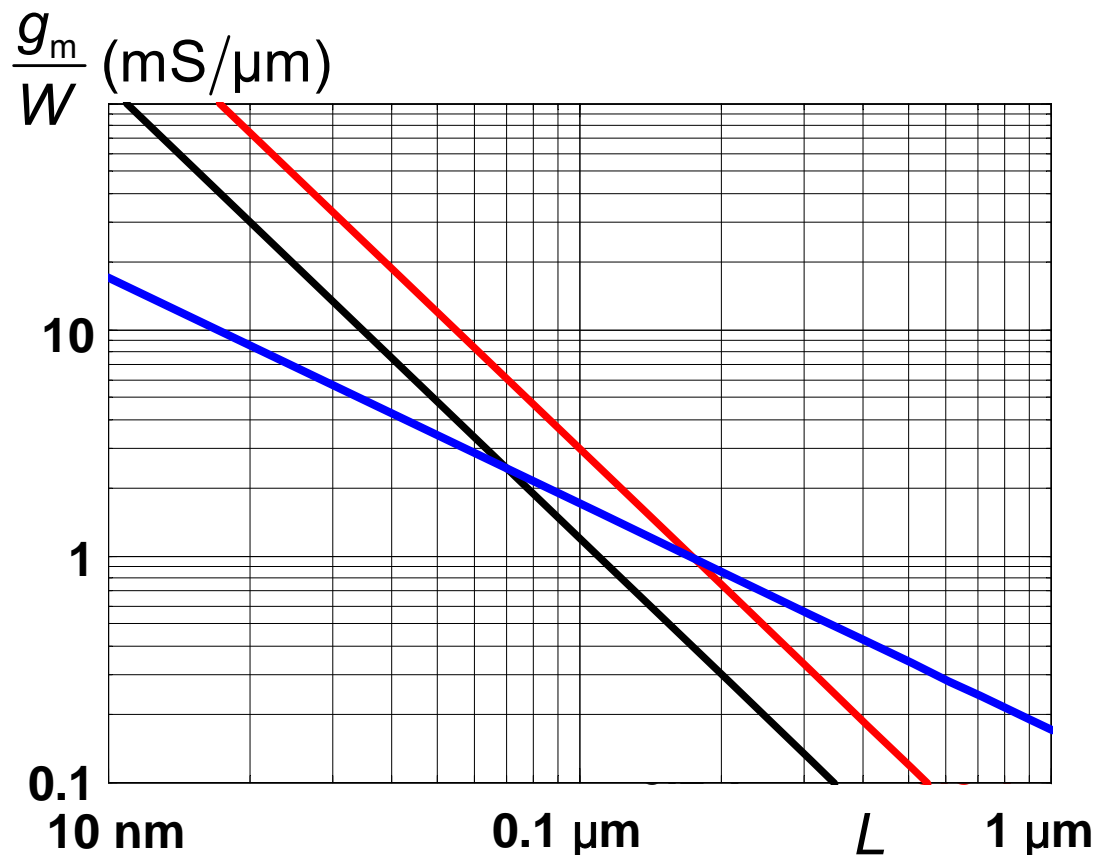
$$g_{msat} = WC_{ox} v_{sat} = 50\epsilon_{ox} v_{sat} \frac{W}{L_{min}} = 17 \times 10^{-5} W/L_{min} \text{ (S)}|_{cm}$$

$$\begin{aligned} g_{msi} &= 2K'_n \frac{W}{L_{min}} (V_{GS} - V_T) \\ &= \frac{50\mu_n \epsilon_{ox}}{n} \frac{W}{L_{min}^2} V_{GST} = 6 \times 10^{-9} V_{GST} W/L_{min}^2 \text{ (S)}|_{cm} \end{aligned}$$

$$\frac{1}{g_m} = \frac{1}{g_{msat}} + \frac{1}{g_{msi}} \approx \frac{W}{L_{min}} \frac{17 \times 10^{-5}}{1 + 2.8 \times 10^4 L_{min} / V_{GST}}$$

$$g_{msat} = g_{msi} \quad L_{min} = \frac{\mu_n V_{GST}}{n v_{sat}} \doteq 0.4 V_{GST} (\mu m) \quad L_{min} \text{ 的单位为 cm}$$

速度饱和区？强反型区？



当 $V_{GST}=0.2$ V, $L_{min}<65$ nm;

或 $V_{GST}=0.5$ V, $L_{min}<0.18$ μm 时, 晶体管进入速度饱和区

$$V_{GS} - V_T \approx 0.2 \text{ V}$$

$$\frac{g_{msi}}{W} = \frac{2K'_n (0.5 \text{ V})}{L_{min}} (V_{GS} - V_T)$$

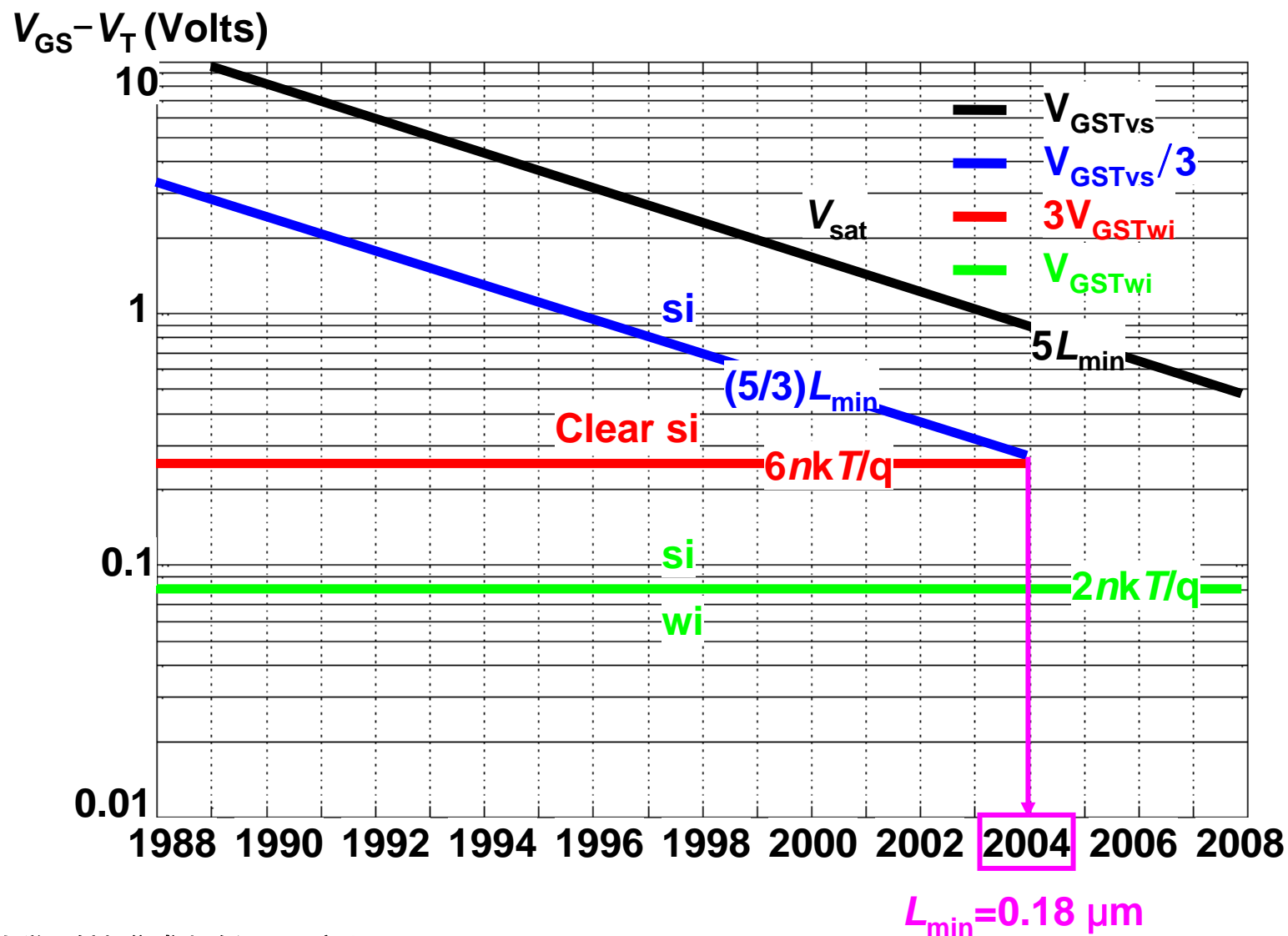
$$\frac{g_{msi}}{W} \approx \frac{0.06 V_{GST}}{L_{min}^2}$$

L 的单位为 μm

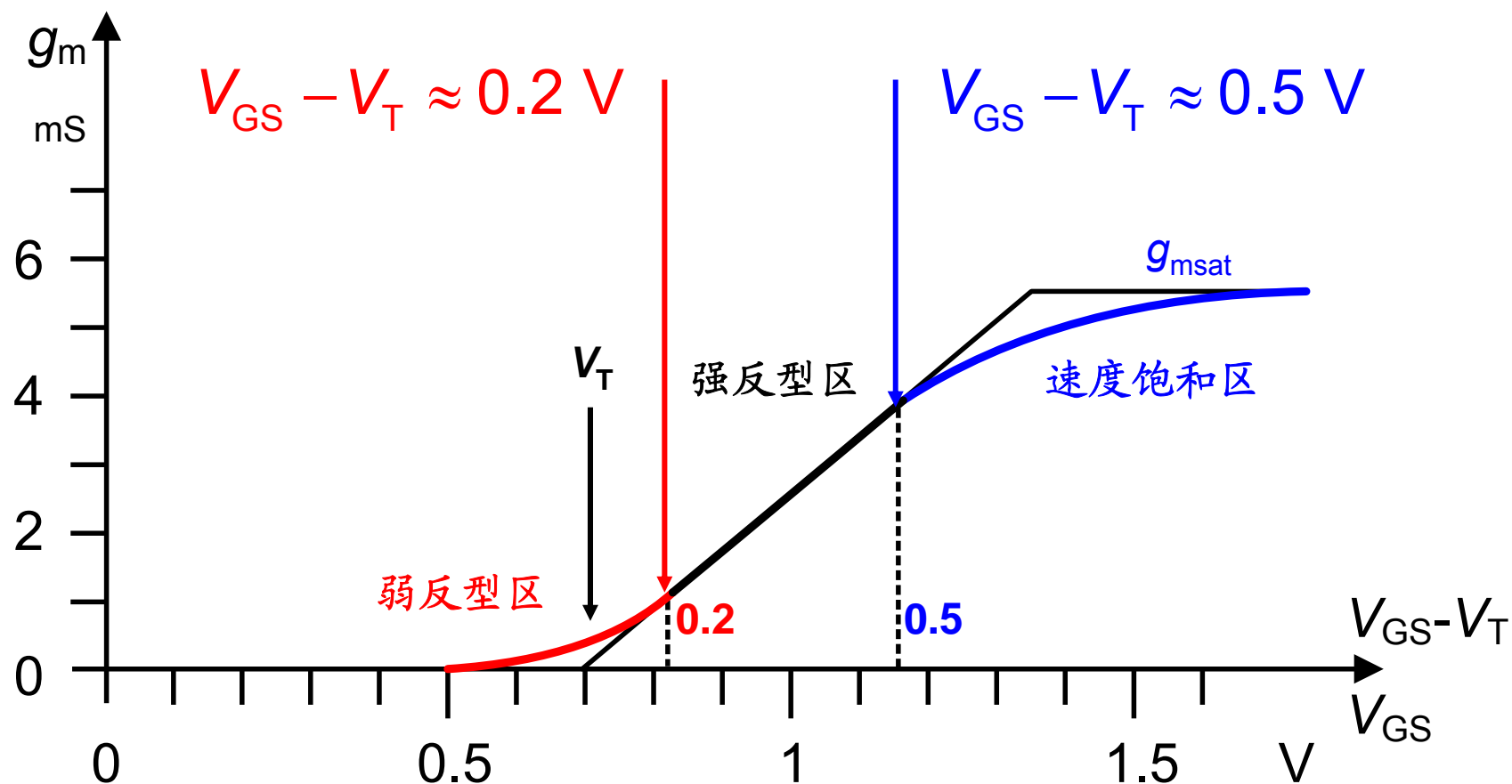
$$\frac{g_{msat}}{W} = C_{ox} v_{sat}$$

$$\frac{g_{msat}}{W} \approx \frac{0.17}{L_{min}} \quad L \text{ 的单位为 } \mu\text{m}$$

强反型区 $V_{GS} - V_T$ 的有效范围

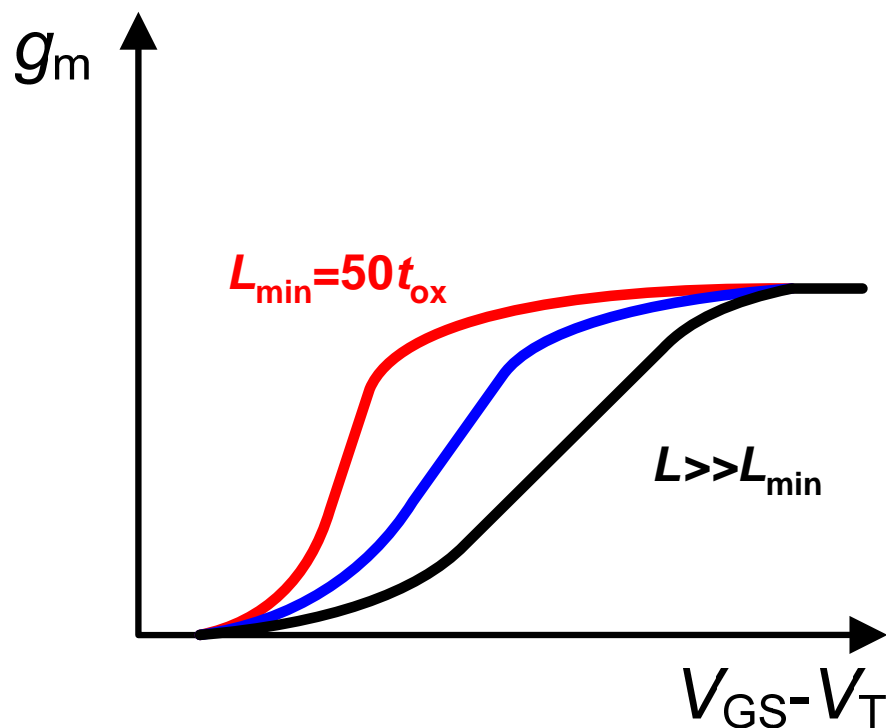


在强反型区MOST的工作范围

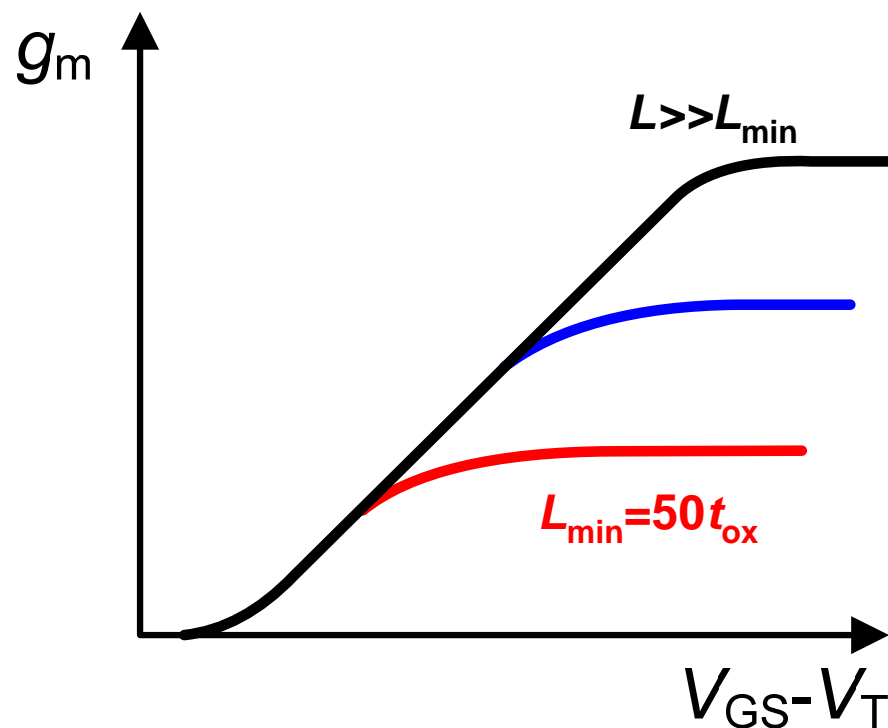


相同工艺下，不同 L 值， g_m vs. V_{GS}

相同 t_{ox} 值!



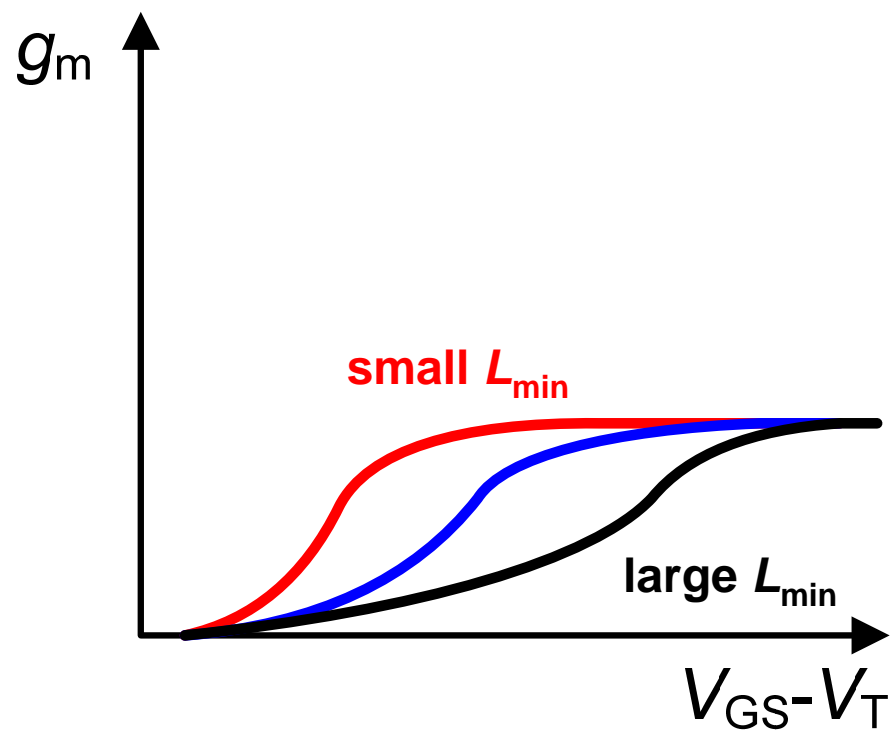
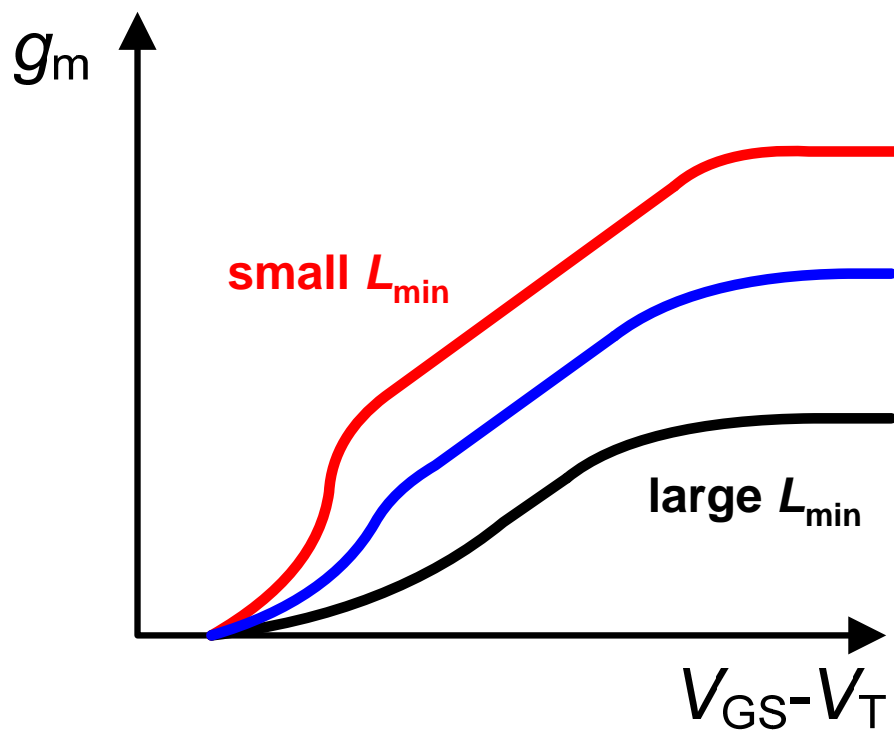
$$W = ct$$



$$\frac{W}{L} = ct$$

不同工艺下， L_{\min} 值， g_m vs. V_{GS}

不同 t_{ox} 值!



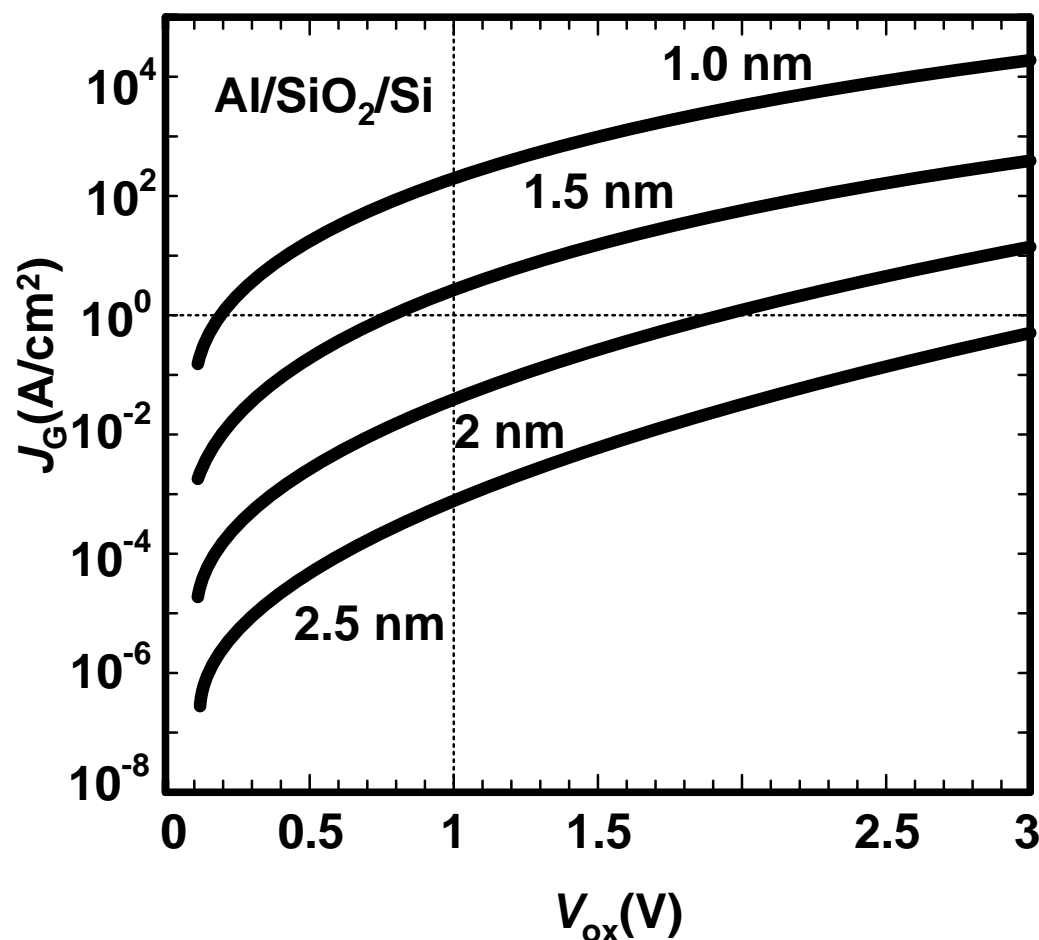
MOST的 I_{DS} 、 g_m 和 g_m/I_{DS}

摘要：关于 I_{DS} 、 g_m 和 g_m/I_{DS} 的公式

	I_{DS}	g_m	$\frac{g_m}{I_{DS}} = f(V_{GS} - V_T)$	$\frac{g_m}{I_{DS}} = f(I_{DS})$
Wi	$I_{D0} \frac{W}{L} e^{\frac{V_{GS}}{nkT/q}}$ (1-25a)	$\frac{I_{D0}}{nkT/q} \frac{W}{L} e^{\frac{V_{GS}}{nkT/q}}$ (1-25b)	$\frac{1}{nkT/q}$ (1-26b)	$\frac{1}{nkT/q}$ (1-26b)
WS			$(V_{GS} - V_T)_{ws} = 2n \frac{kT}{q}$	$I_{DSws} = \frac{KP}{2n} \frac{W}{L} (2n \frac{kT}{q})^2$
Si	$\frac{KP}{2n} \frac{W}{L} (V_{GS} - V_T)^2$ (1-18c)	$2 \frac{KP}{2n} \frac{W}{L} (V_{GS} - V_T)$ (1-22a)	$\frac{2}{V_{GS} - V_T}$ (1-26a)	$2 \sqrt{K'_n \frac{W}{L} \frac{1}{I_{DS}}}$ (1-26a)
SV	$I_{DSsi} = I_{DSvs}$ \longrightarrow	$g_{msi} = g_{mvs}$ \longrightarrow	$(V_{GS} - V_T)_{sv} = \frac{2nLC_{ox}v_{sat}}{KP}$	$I_{DSsv} = \frac{2nWLC_{ox}^2v_{sat}^2}{KP}$
VS	$WC_{ox}v_{sat}(V_{GS} - V_T)$ (1-38b)	$WC_{ox}v_{sat}$ (1-39)	$\frac{1}{V_{GS} - V_T}$	$\frac{WC_{ox}v_{sat}}{I_{DSvs}}$

Ref.: Laker, Sansen : Design of analog ..., MacGrawHill 1994; Table 1-4

栅极漏电流



0.1 μm COMS:

$$t_{\text{ox}} \approx 2 \text{ nm}$$

$$J_G \approx 4 \times 10^{-2} \text{ A/cm}^2$$

10 \times 0.5 μm :

$$I_G \approx 2 \text{ nA}$$

$$J_G \text{ (A/cm}^2\text{)}$$

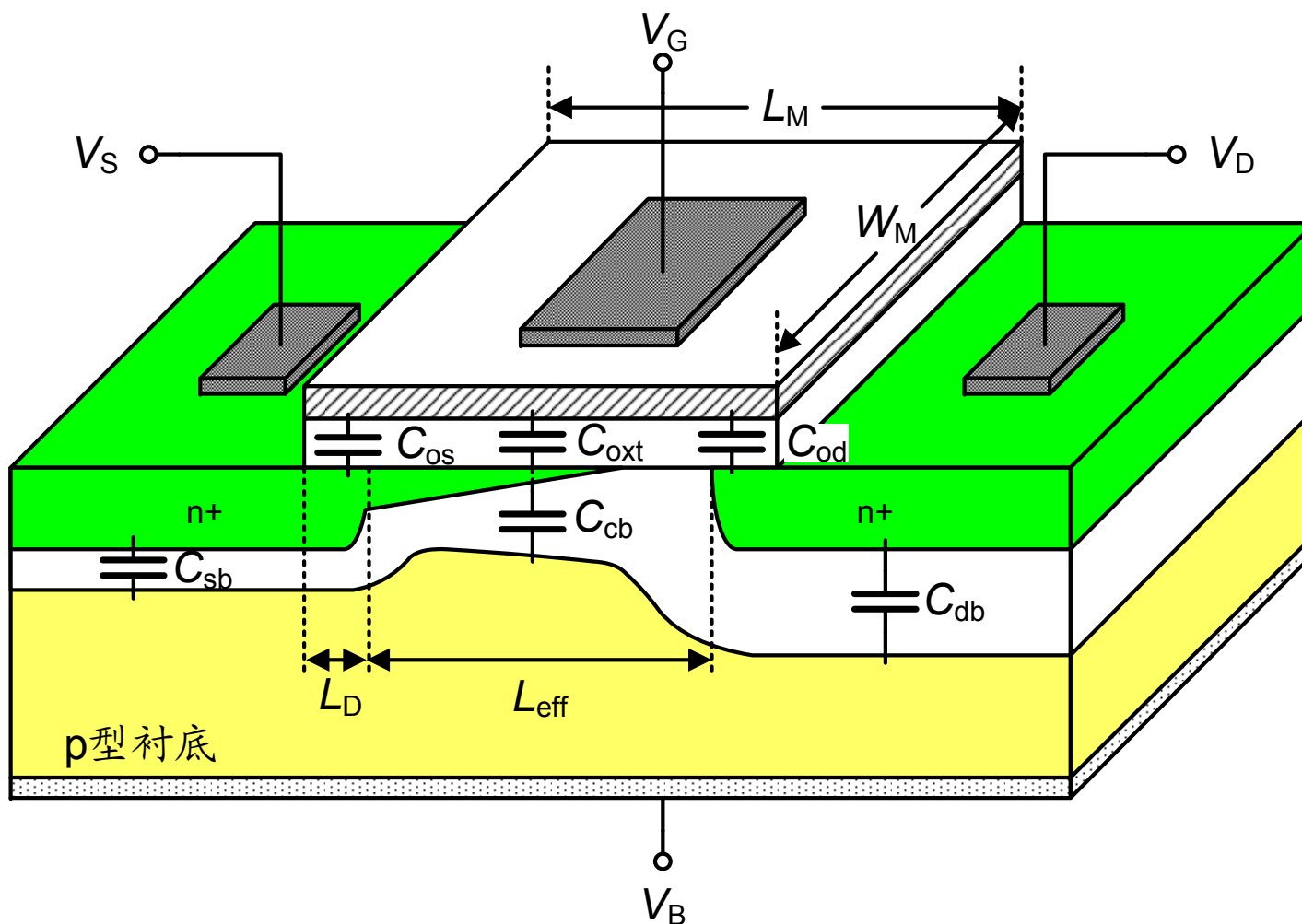
$$\approx 4.5 \times 10^5 \exp\left(-\frac{L}{6.5}\right)$$

L_{min} 的单位为 nm

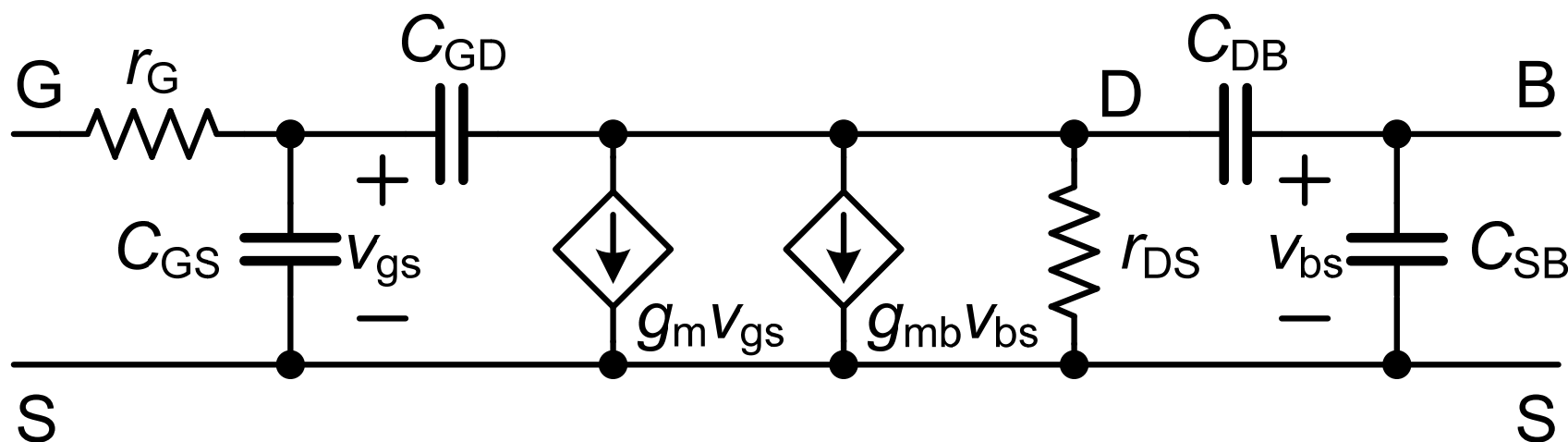
目录

- MOS晶体管模型
 - 线性区：MOST线性电阻和模拟开关
 - 强反型区：MOST放大器
 - 弱反型与强反型的转换点
 - 强反型与速度饱和的转换点
 - 寄生电容与特征频率 f_T
- 双极型晶体管模型
- MOST与双极型晶体管的比较

MOST电容



MOST电容 C_{GS} 和 C_{GD}



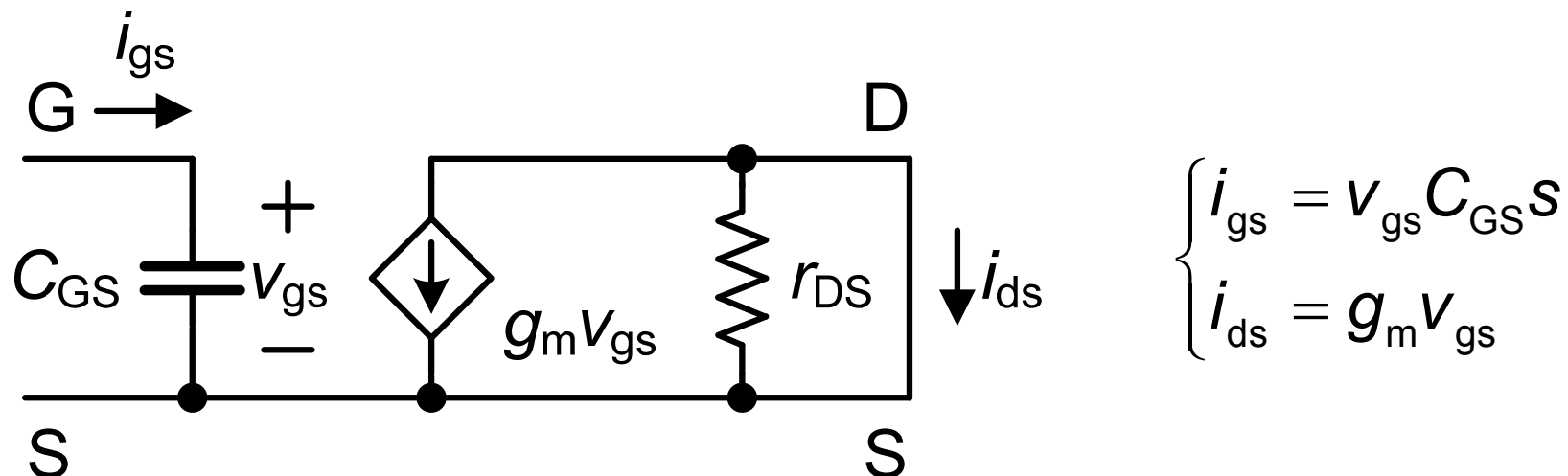
$$C_{GS} \approx \frac{2}{3} W L C_{ox}$$

当 $L=L_{min}$ 时, $C_{GS} \approx 2W \text{ fF}$

$$L_{min} C_{ox} \approx L_{min} \frac{\epsilon_{ox}}{t_{ox}} \approx 50 \epsilon_{ox} \approx 2 \text{ fF}/\mu\text{m}$$

$$C_{GD} = W C_{gdo}$$

当 $i_{ds} = i_{gs}$ 时，MOST的特征频率 f_T



$$C_{GS} = \frac{2}{3} W L C_{ox} \quad g_m = 2K' \frac{W}{L} (V_{GS} - V_T) \quad K' = \frac{\mu C_{ox}}{2n}$$

$$f_T = \frac{g_m}{2\pi C_{GS}} = \frac{1}{2\pi} \frac{3}{2n} \frac{\mu}{L^2} (V_{GS} - V_T)$$

$$\frac{1}{2\pi \cdot L/v_{sat}} = \boxed{\frac{v_{sat}}{2\pi L}} \times \frac{3}{2} ?$$

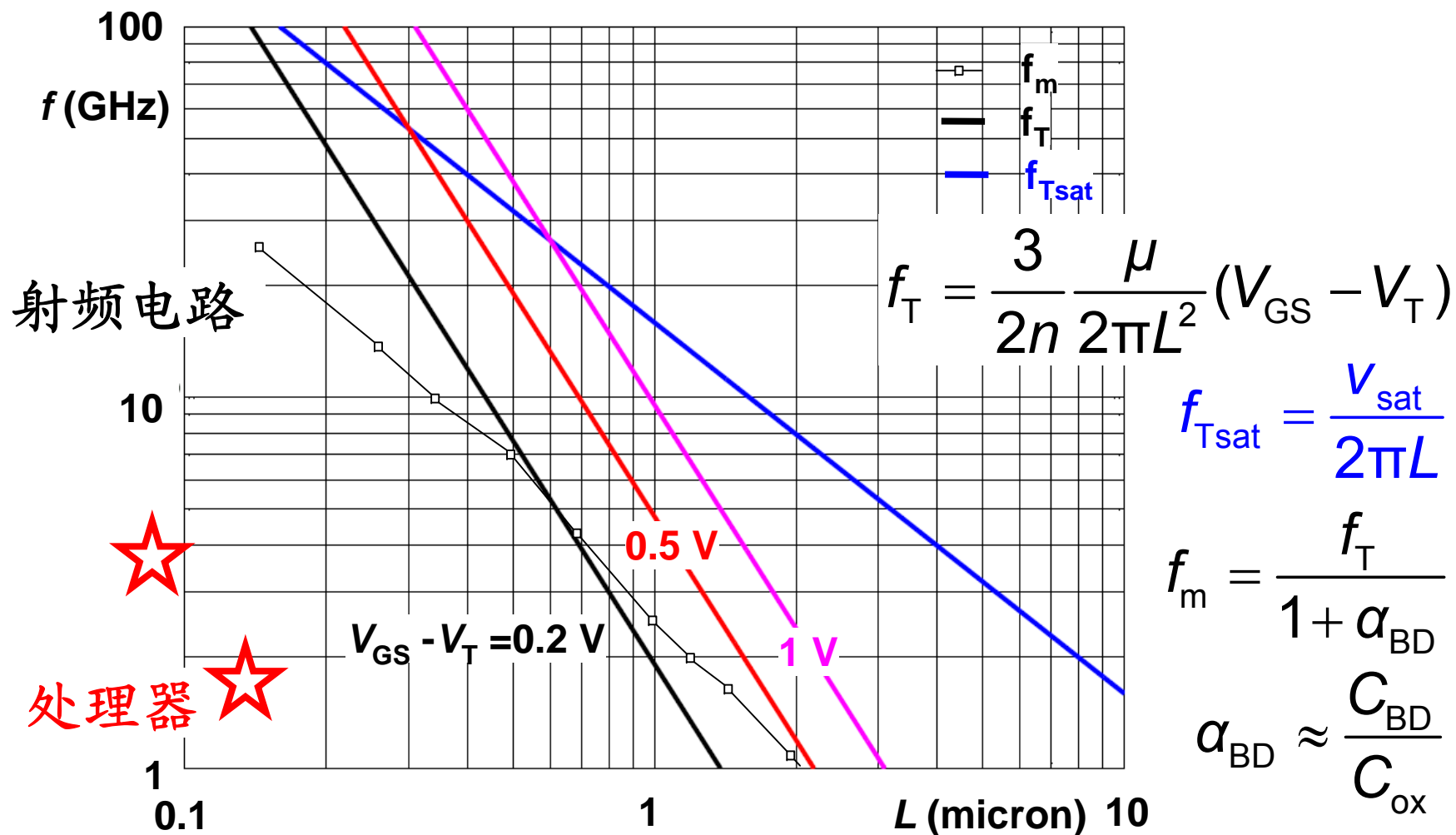
$$g_m = W C_{ox} v_{sat}$$

高速设计

	高增益	高速
$V_{GS} - V_T$	低(0.2 V)	高(0.5 V)
L	高	低

$V_{GS} - V_T$ 决定 g_m/I_{DS} 的比率，能效比！

最大特征频率 f_T 与沟道长度 L 的关系



强反型区和速度饱和区的特征频率 f_T

$$f_T = \frac{g_m}{2\pi C_{GS}} \quad C_{GS} = kW \quad k = 2 \text{ fF}/\mu\text{m} = 2 \times 10^{-11} \text{ F/cm}$$

$$g_m = \frac{W}{L_{\min}} \frac{17 \times 10^{-5}}{1 + 2.8 \times 10^4 L_{\min} / V_{GST}} \quad L \text{ 的单位为 cm}$$

$$f_T = \frac{1}{L_{\min}} \frac{13.5}{1 + 2.8 L_{\min} / V_{GST}} \text{ GHz}$$

L 的单位为 μm

当 $V_{GST} = 0.2 \text{ V}$, $L_{\min} < 65 \text{ nm}$;

或 $V_{GST} = 0.5 \text{ V}$, $L_{\min} < 0.18 \mu\text{m}$ 时, 晶体管进入速度饱和区

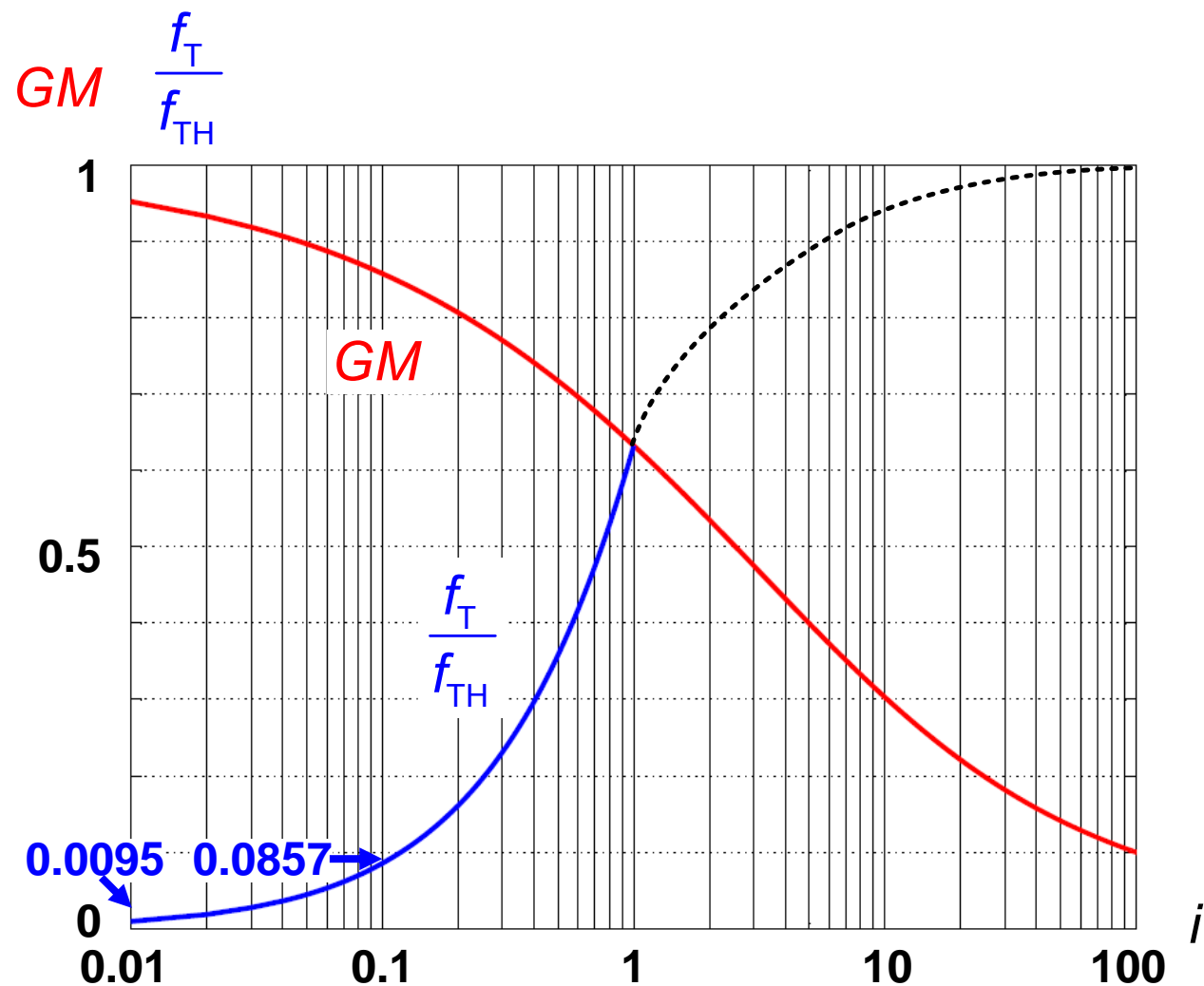
强反型区和弱反型区的特征频率 f_T

$$\left. \begin{aligned} GM &= \frac{1 - e^{-\sqrt{i}}}{\sqrt{i}} \\ I_{DS} &= i \times I_{DSt} \end{aligned} \right\} \quad \left. \begin{aligned} f_T &= \frac{g_m}{2\pi C_{GS}} \\ g_m &= \frac{I_{DSt}}{nkT/q} \sqrt{i}(1 - e^{-\sqrt{i}}) \\ \frac{f_T}{f_{TH}} &= \sqrt{i}(1 - e^{-\sqrt{i}}) \end{aligned} \right\}$$

$$f_{TH} = \frac{I_{DSt}}{2\pi C_{GS} nkT/q} = \frac{K' \frac{W}{L} V_{GSTt}^2}{2\pi \frac{2}{3} WLC_{ox} nkT/q} = \frac{3}{2\pi} \frac{\mu kT/q}{L^2}$$

当 i 较小时: $\frac{f_T}{f_{TH}} = \sqrt{i}(1 - e^{-\sqrt{i}}) \approx i$

特征频率 f_T 与反型系数 i 的关系



$$\frac{f_T}{f_{TH}} = \sqrt{i}(1 - e^{-\sqrt{i}})$$

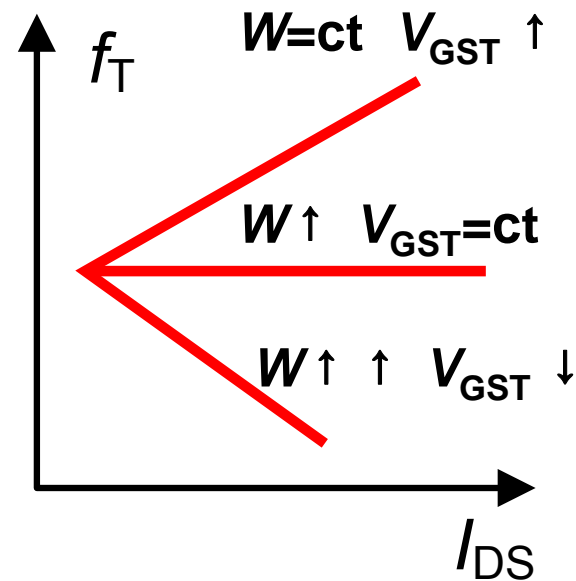
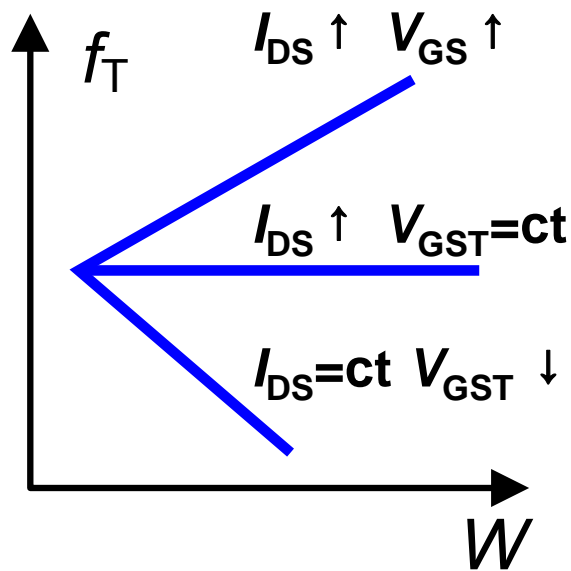
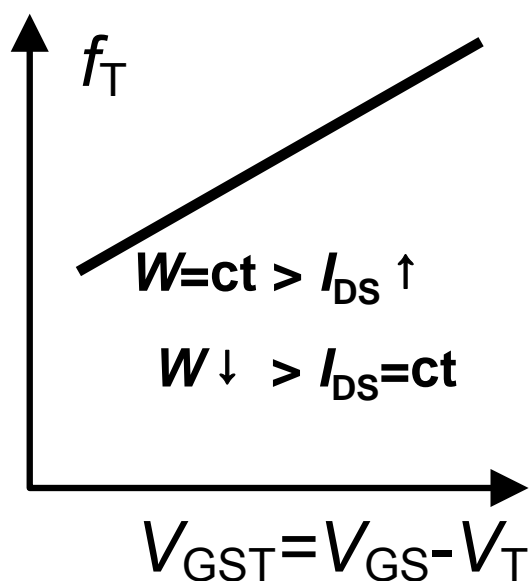
$$GM = \frac{1 - e^{-\sqrt{i}}}{\sqrt{i}}$$

$$i = \frac{I_{DS}}{I_{DSt}}$$

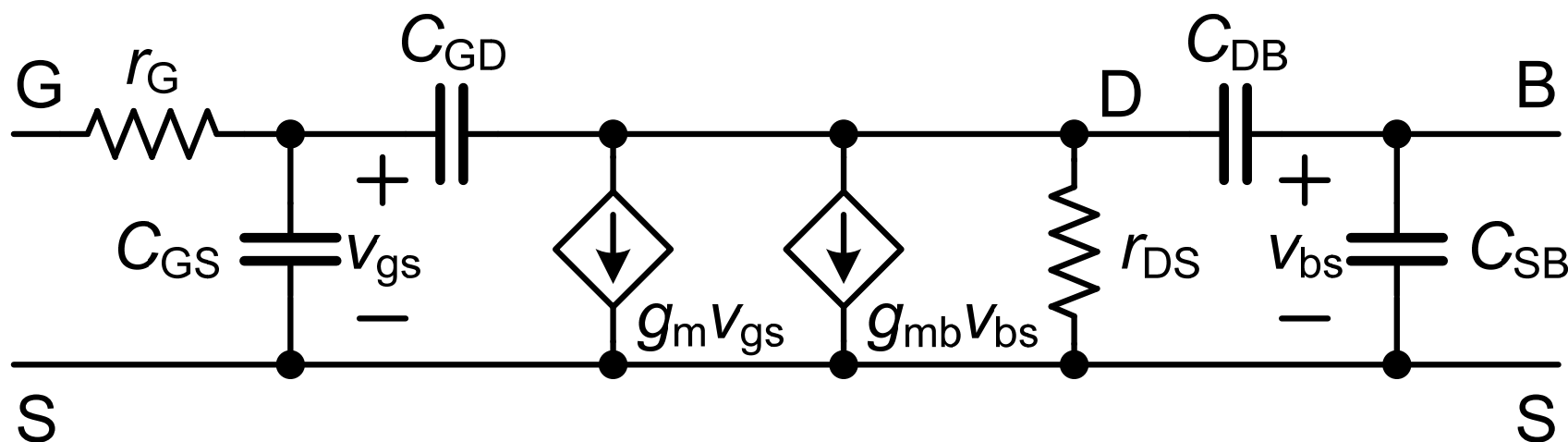
练习： MOST的特征频率 f_T ？

所有 $L=L_{\min}$

$$f_T = \frac{1}{2\pi} \frac{3}{2n} \frac{\mu}{L_{\min}^2} (V_{GS} - V_T) = \frac{3}{2} \frac{\sqrt{K'} I_{DS}}{\pi C_{ox} \sqrt{WL_{\min}^3}} = \frac{3}{2} \frac{I_{DS}}{\pi WL_{\min} C_{ox} (V_{GS} - V_T)}$$



MOST的电容 C_{SB} 和 C_{DB}

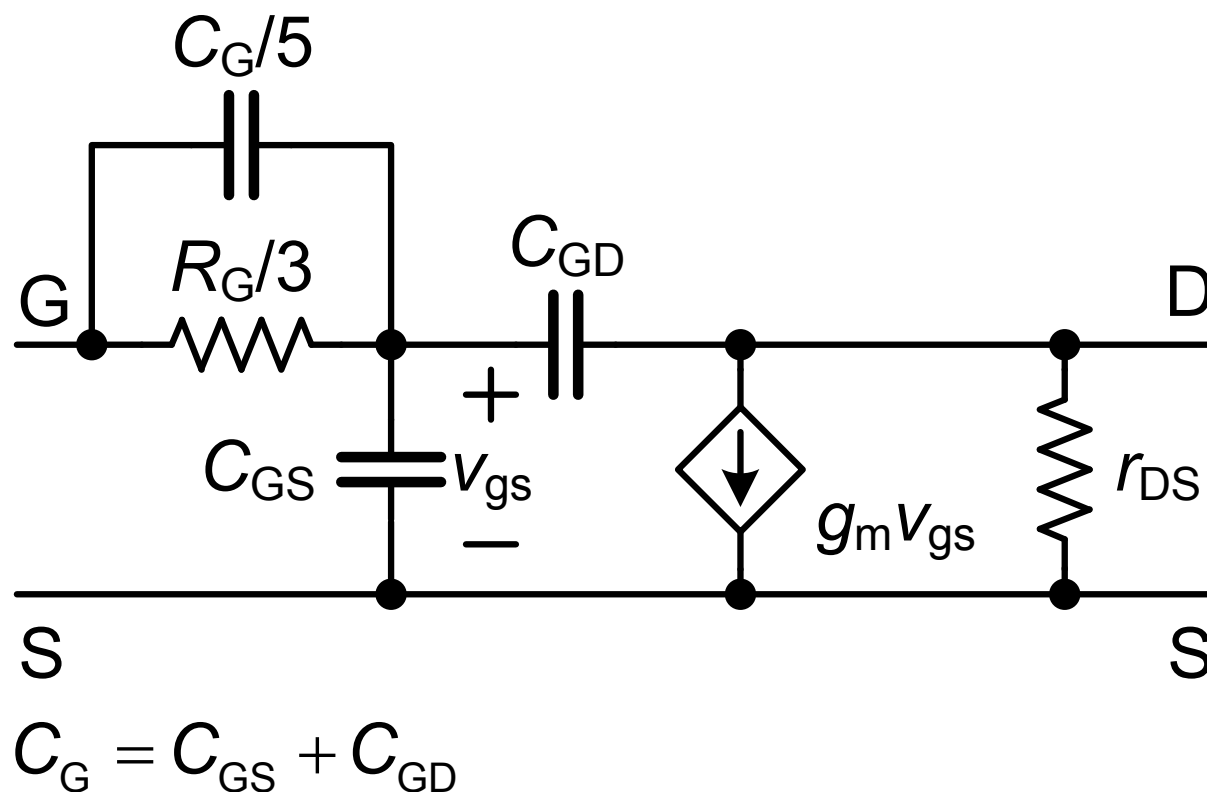


$$C_{SB} = \frac{C_{jSB0}}{\sqrt{1 + V_{SB}/\varphi_{jS}}}$$

$$C_{DB} = \frac{C_{jDB0}}{\sqrt{1 + V_{DB}/\varphi_{jD}}}$$

$$\varphi_{jS} \approx \varphi_{jD} \approx 0.5 \sim 0.7 \text{ V}$$

RF MOST模型



Ref.: Tin, Tr. CAD, April 1998, 372

Ref.: Sansen, etal, ACD, XDSL, RFMOS models, Kluwer 1999

“单页” MOST模型

$$I_{DS} = K' \frac{W}{L} (V_{GS} - V_T)^2$$

$$V_{GS} - V_T \approx 0.2 \text{ V}$$

$$K'_n \approx 100 \text{ } \mu\text{A/V}^2$$

$$K'_p \approx 40 \text{ } \mu\text{A/V}^2$$

$$g_m = 2K' \frac{W}{L} (V_{GS} - V_T) = 2\sqrt{K' \frac{W}{L} I_{DS}} = \frac{2I_{DS}}{V_{GS} - V_T}$$

$$r_{DS} = r_o = \frac{V_E L}{I_{DS}}$$

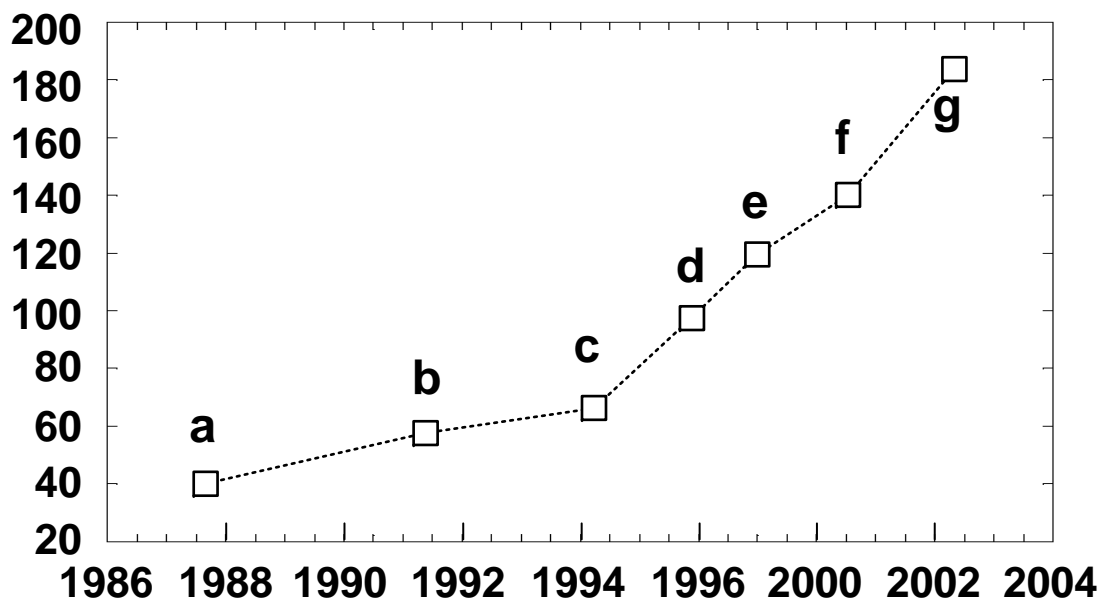
$$V_{En} \approx 5 \text{ V/}\mu\text{m}$$

$$V_{Ep} \approx 8 \text{ V/}\mu\text{m}$$

$$f_T = \frac{1}{2\pi} \frac{3}{2n} \frac{\mu}{L^2} (V_{GS} - V_T) \approx \frac{V_{sat}}{2\pi L}$$

$$v_{sat} \approx 10^7 \text{ cm/s}$$

参量数目的增加



- a: BSIM1
- b: BSIM2
- c: BSIM3 version 2.0
- d: BSIM3 version 3.0
- e: BSIM3 version 3.1
- f: BSIM3 version 3.2.2
- g: BSIM4 4.0.0

BSIM4 : http://www-device.eecs.berkeley.edu/~bsim3/bsim_ent.html

Model 11 : http://en-origin.nxp.com/models/mos_models/model11/index.html

EKV : <http://legwww.epfl.ch/ekv/model.html>

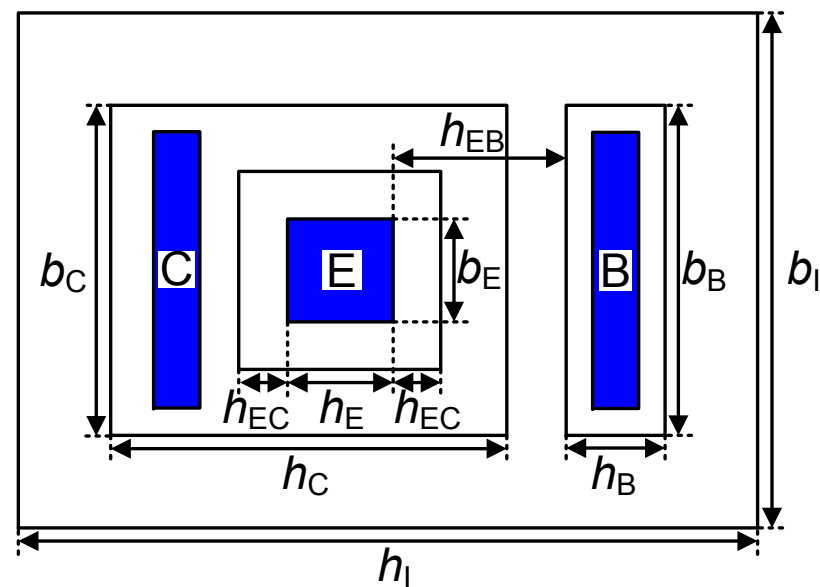
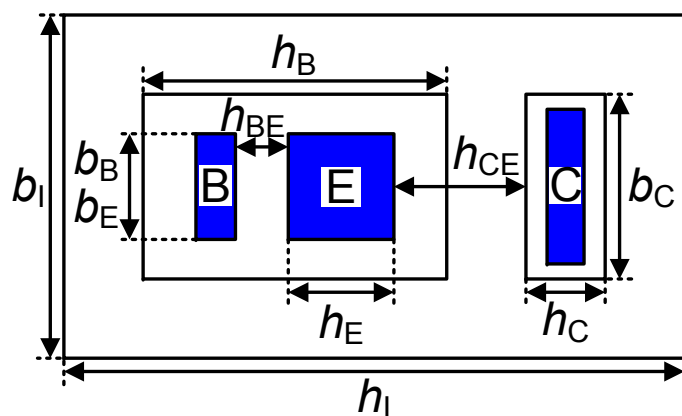
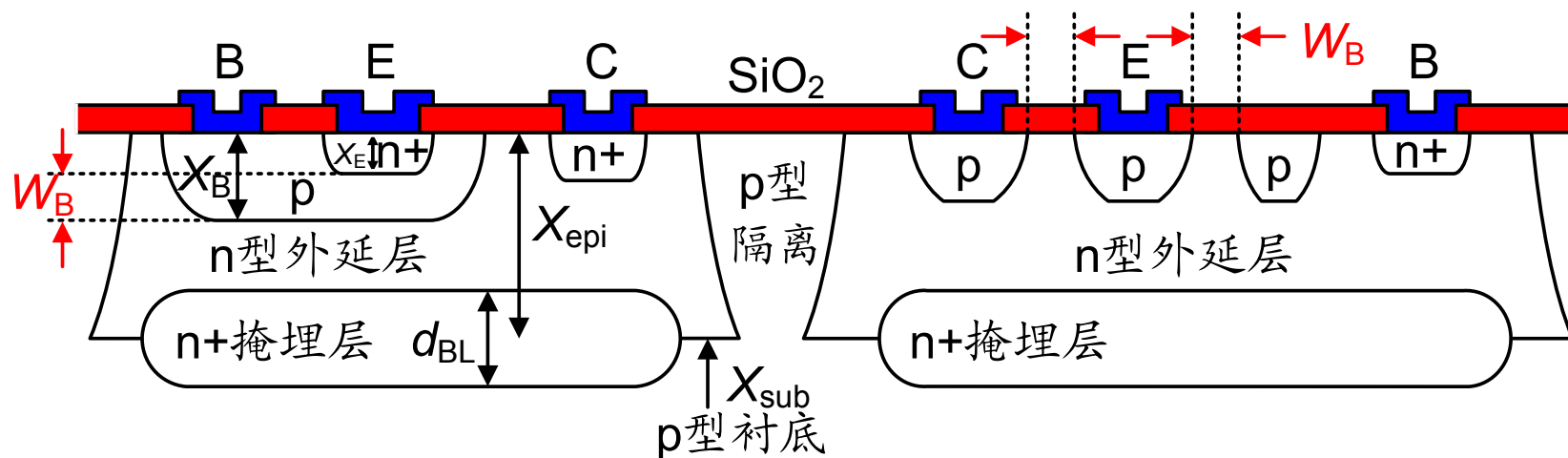
基准测试

1. 弱反型转换点的 I_{DS} 和能效比 g_m/I_{DS}
2. 速度饱和转换点的 I_{DS} 和能效比 g_m/I_{DS}
3. 在 V_{DSsat} 附近的输出导纳
4. V_{DS} 等于零时，电流和电容的连续性
5. 热噪声和 $1/f$ 噪声
6. 高频时的输入阻抗(s_{11})和跨导(s_{21})

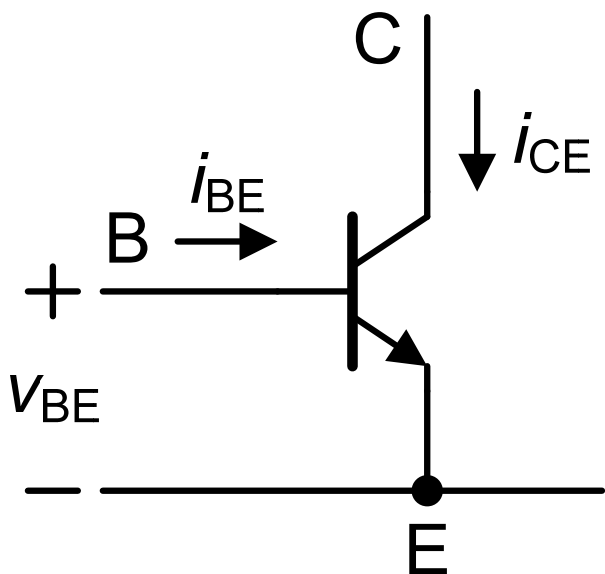
目录

- MOS晶体管模型
- 双极型晶体管模型
- MOS与双极型晶体管的比较

双极型晶体管



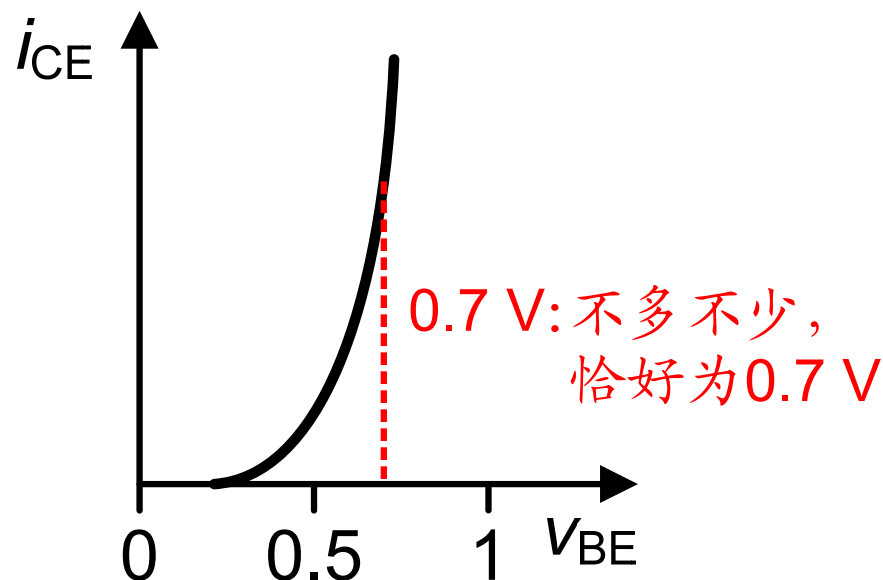
双极型晶体管的 I_{CE} 与 V_{BE} 的关系



$$I_{CE} = I_S e^{\frac{V_{BE}}{kT/q}}$$

$$I_S \approx 10^{-15} \text{ A}$$

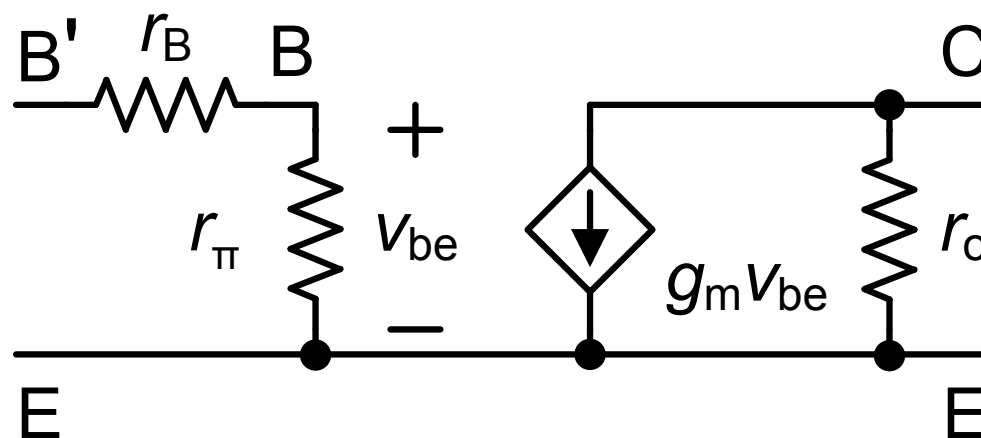
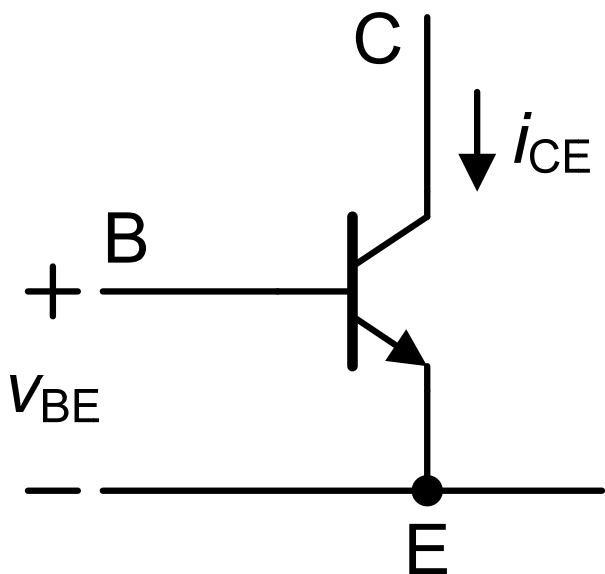
当 $k = 300 \text{ K}$ 时, $kT/q = 26 \text{ mV}$



$$I_{BE} = \frac{I_{CE}}{\beta}$$

$$\beta \approx 10 \sim 1000$$

双极型晶体管的小信号模型: g_m 和 r_o



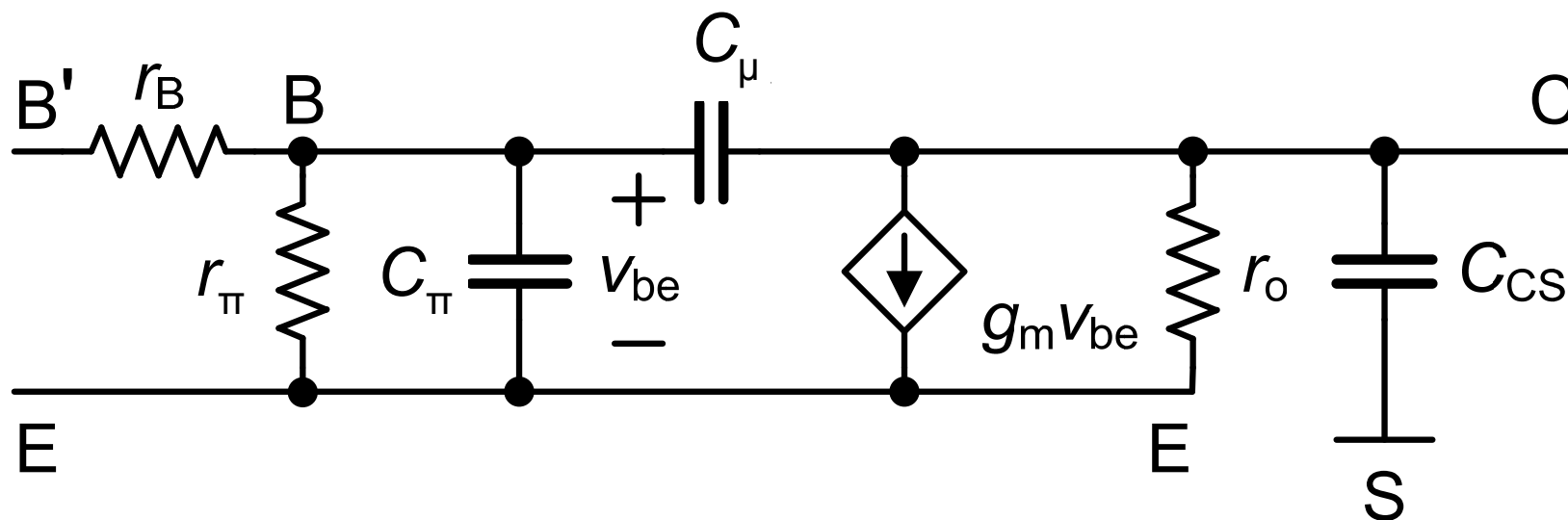
$$g_m = \frac{di_{CE}}{dv_{BE}} = \frac{I_{CE}}{kT/q}$$

$$\frac{g_m}{I_{CE}} = \frac{1}{kT/q} \approx 40 \text{ V}^{-1}$$

$$r_{\pi} = \frac{dv_{BE}}{di_{BE}} = \beta \frac{dv_{BE}}{di_{CE}} = \frac{\beta}{g_m}$$

$$r_o = \frac{V_E}{I_{CE}} \quad \begin{matrix} V_{En} \approx 20 \text{ V} \\ V_{Ep} \approx 10 \text{ V} \end{matrix}$$

双极型晶体管的电容 C_{π}

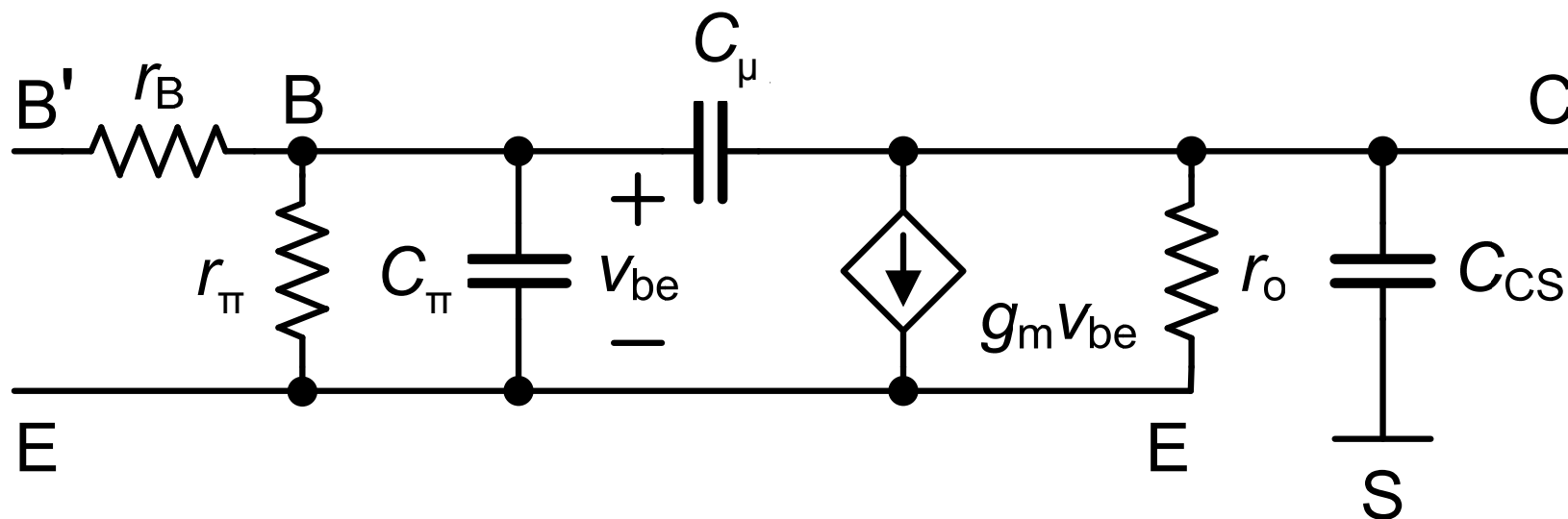


$$C_{\pi} = C_{jBE} + C_D$$

$$C_{jBE} = \frac{1}{\sqrt{1 - V_{BE}/\varphi_{jE}}} \quad \varphi_{jE} \approx 0.7 \text{ V}$$

C_D 为扩散电容

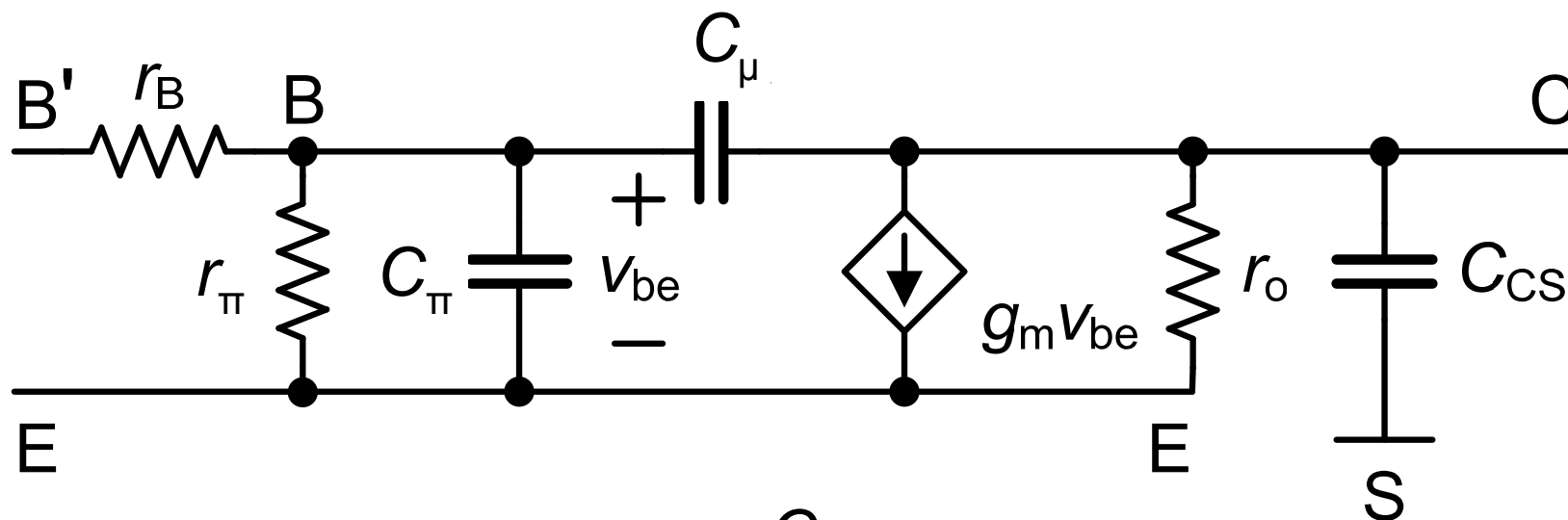
扩散电容 C_D



$$C_D = \frac{Q_B}{V_{BE}} = \tau_F \frac{di_{CE}}{dv_{BE}} = \tau_F g_m = \tau_F \frac{I_{CE}}{kT/q}$$

基区穿越时间 $\tau_F = \frac{W_B^2}{2D_n}$ 现在 $\approx \frac{W_B}{V_{sat}} \approx 10 \sim 200 \text{ ps}$

双极型晶体管的电容 C_μ 和 C_{CS}

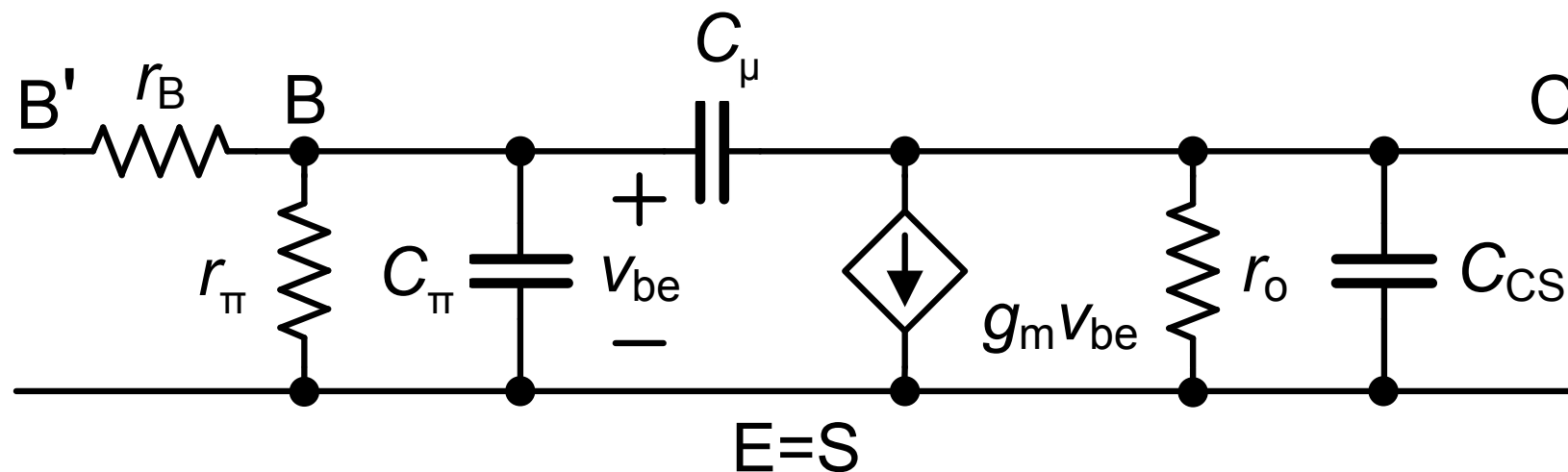


$$C_\mu = C_{jBC} \quad C_{jBC} = \frac{C_{jBC0}}{\sqrt{1 - V_{BC}/\varphi_{jC}}}$$

$$C_{CS} = C_{jCS} \quad C_{jCS} = \frac{C_{jCS0}}{\sqrt{1 + V_{CS}/\varphi_{jS}}}$$

$$\varphi_{jC} \approx \varphi_{jS} \approx 0.5 \text{ V}$$

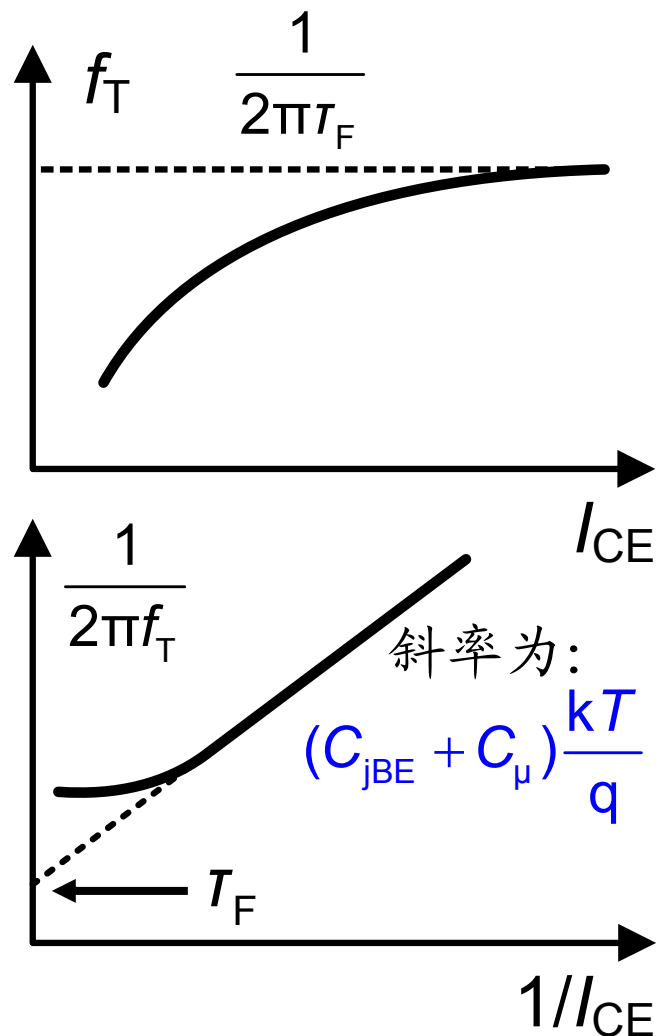
双极型晶体管的特征频率 f_T



$$f_T = \frac{g_m}{2\pi(C_\pi + C_\mu)} = \frac{1}{2\pi} \frac{1}{\tau_F + \frac{C_{jBE} + C_\mu}{g_m}} \approx \frac{V_{sat}}{2\pi W_B}$$

电流增益为1!

双极型晶体管的 f_T 与 I_{CE} 的关系



$$f_T = \frac{1}{2\pi(\tau_F + \frac{C_{jBE} + C_{\mu}}{g_m})}$$

$$\frac{1}{2\pi f_T} = \tau_F + (C_{jBE} + C_{\mu}) \frac{kT}{q} \frac{1}{I_{CE}}$$

“单页”双极型晶体管模型

$$I_{CE} = I_S e^{\frac{V_{BE}}{kT/q}}$$

$$g_m = \frac{I_{CE}}{kT/q}$$

$$r_o = \frac{V_E}{I_{CE}}$$

$$f_T = \frac{1}{2\pi} \frac{1}{t_F + \frac{C_{jBE} + C_\mu}{g_m}}$$

$$I_S \approx 10^{-15} \text{ A}$$

当 $k=300 \text{ K}$ 时, $kT/q = 26 \text{ mV}$

$$V_{En} \approx 20 \text{ V}$$

$$V_{Ep} \approx 10 \text{ V}$$

$$\text{或} \approx \frac{V_{sat}}{2\pi W_B}$$

目录

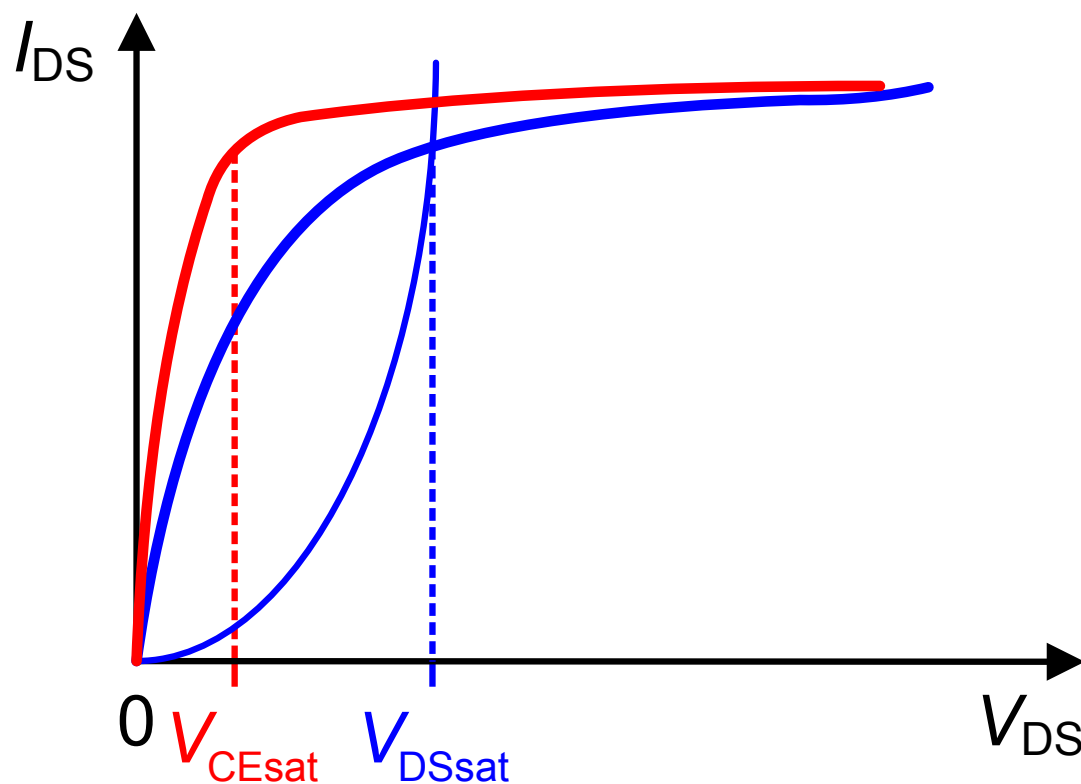
- MOS晶体管模型
- 双极型晶体管模型
- MOS与双极型晶体管的比较

MOST与双极型晶体管的比较

表2-8 MOST与双极型晶体管的比较

Specification	MOST	Bipolar transistor
1. I_{IN} R_{IN}	0 ∞	I_C/β $r_{\pi} + r_B$ $\beta ?$
2. V_{DSsat}	$V_{GS} - V_T = \sqrt{\frac{I_{DS}}{K' W/L}}$	few kT/q
3. $\frac{g_m}{I}$	<div>wi $\frac{1}{nkT/q}$</div> <div>si $\frac{2}{V_{GS} - V_T}$</div> <div>vs $\frac{1}{V_{GS} - V_T}$</div>	<div>$\frac{1}{kT/q}$</div> <div>$\frac{1}{kT/q}$</div> <div>$\frac{1}{kT/q}$</div> <div>$n = 1 + \frac{C_D}{C_{ox}}$</div> <div>4...6 X</div>

MOST-Bipolar的比较：最小 V_{DS}



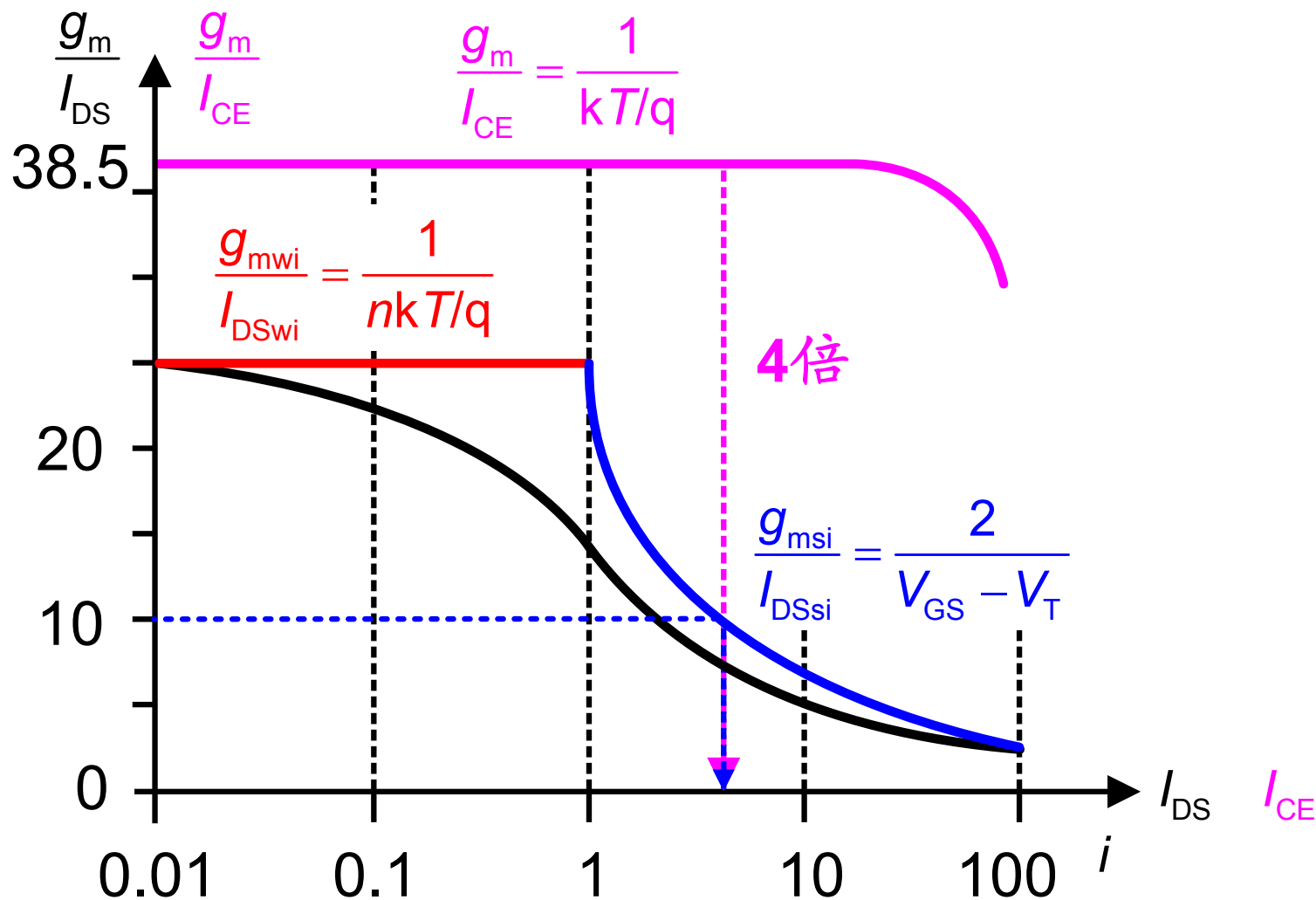
$$V_{DSsat} \approx V_{GS} - V_T$$

$$V_{GS} - V_T \approx \sqrt{\frac{I_{DS}}{K' \frac{W}{L}}}$$

$$V_{CEsat} \approx kT/q's$$

Ref.: Laker Sansen Table 2-8

MOST-Bipolar的比较：能效比 g_m/I_{DS}



g_m 的设计流程

$$I_{DS} = K' \frac{W}{L} (V_{GS} - V_T)^2$$

$$g_m = 2K' \frac{W}{L} (V_{GS} - V_T) = 2\sqrt{K' \frac{W}{L} I_{DS}} = \frac{2I_{DS}}{V_{GS} - V_T}$$

2个方程，4个变量 >> 2个变量不受约束

选择 $V_{GS} - V_T$ 和 L !

MOST与双极型晶体管的比较

表2-8 MOST与双极型晶体管的比较

Specification	MOST	Bipolar transistor
4.Design planning	$\frac{W}{L}, V_{GS} - V_T$	kT/q
5. I -range	1 decade	7 decade
6. Max f_T	low / C_{GS}, C_{GD} high / v_{sat}/L_{eff}	C_{jBE}, C_{μ} v_{sat}/W_B
7. Noise $\overline{dv_i^2}$	Therm. $4kT(\frac{2/3}{g_m} + R_G)$ 1/f 10X	$4kT(\frac{1/2}{g_m} + R_B)$
Offset	10X	$v_{sat} \approx 10^7 \text{ cm/s}$

关于晶体管模型的参考书目

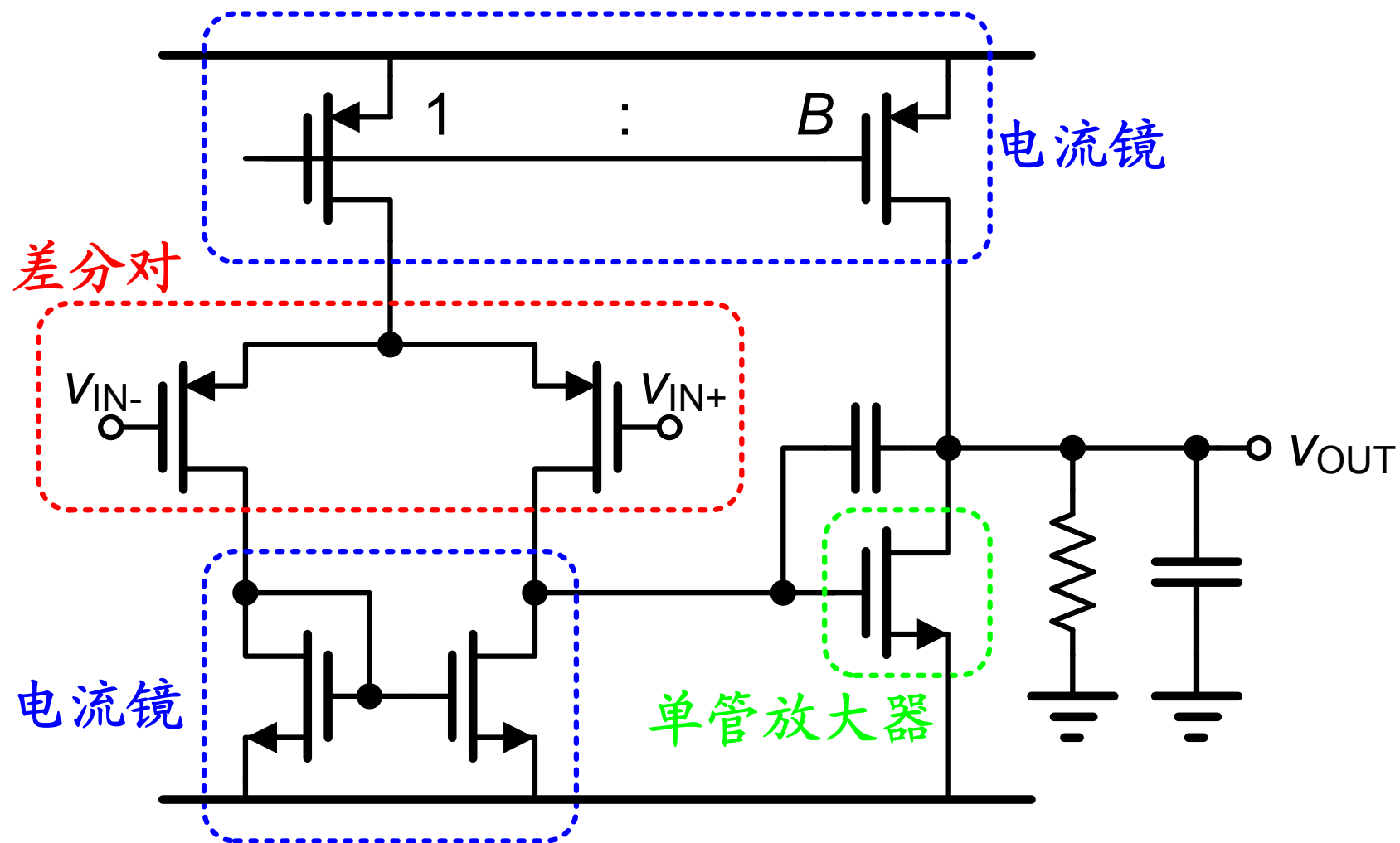
- ◆ T. Fjeldly, T. Ytterdal, M. Shur, “*Introduction to Device Modeling and Circuit Simulation*”, Wiley 1998.
- ◆ D. Foty, “*MOSFET Modeling with SPICE*”, Prentice Hall
- ◆ K. Laker, W.Sansen, “*Design of Analog Integrated Circuits and Systems*”, MacGrawHill. NY., Febr.1994.
- ◆ A. Sedra, K.Smith, “*Microelectronic Circuits*”, CBS College Publishing, 2004.
- ◆ Y. Taur, T. Ning, “*Fundamentals of Modern VLSI Devices*” Cambridge Univ. Press, 1998.
- ◆ Y. Tsividis, “*Operation and modeling of the MOS transistor*”, McGraw-Hill, 2004.
- ◆ A. Vladimirescu “*The SPICE book*”, Wiley, 1994

关于模拟电路设计的参考书目

- ◆ P.Allen, D.Holberg, “*CMOS Analog Circuit Design*”, Holt, Rinehart and Winston. 1987,Oxford Press 2002
- ◆ P.Gray, P.Hurst, S. Lewis, R.Meyer, “*Analysis and Design of Analog Integrated Circuits*”, Wiley, 1977/84/93/01
- ◆ R.Gregorian, G.Temes, “*Analog MOS Int. Circuits for Signal Processing*”, Wiley, 1986.
- ◆ Huijsing, Van de Plassche, Sansen, “*Analog Circuit Design*”, Kluwer Ac.Publ.1993/4/5....
- ◆ D.Johns, K.Martin, “*Analog integrated circuit design*”, Wiley 1997.
- ◆ K.Laker, W.Sansen, “*Design of Analog Integrated Circuits and Systems*”, McGraw Hill. NY., Febr.1994.
- ◆ H.W.Ott, “*Noise reduction techniques in Electronic Systems*”, Wiley, 1988.
- ◆ B. Razavi, “*Design of analog CMOS integrated circuits*”, McGraw Hill. NY., 2000.
- ◆ A.Sedra, K.Smith, “*Microelectronic Circuits*”, CBS College Publishing, 1987.

共源放大器， 源极跟随器和共栅放大器

运算放大器(Opamp)

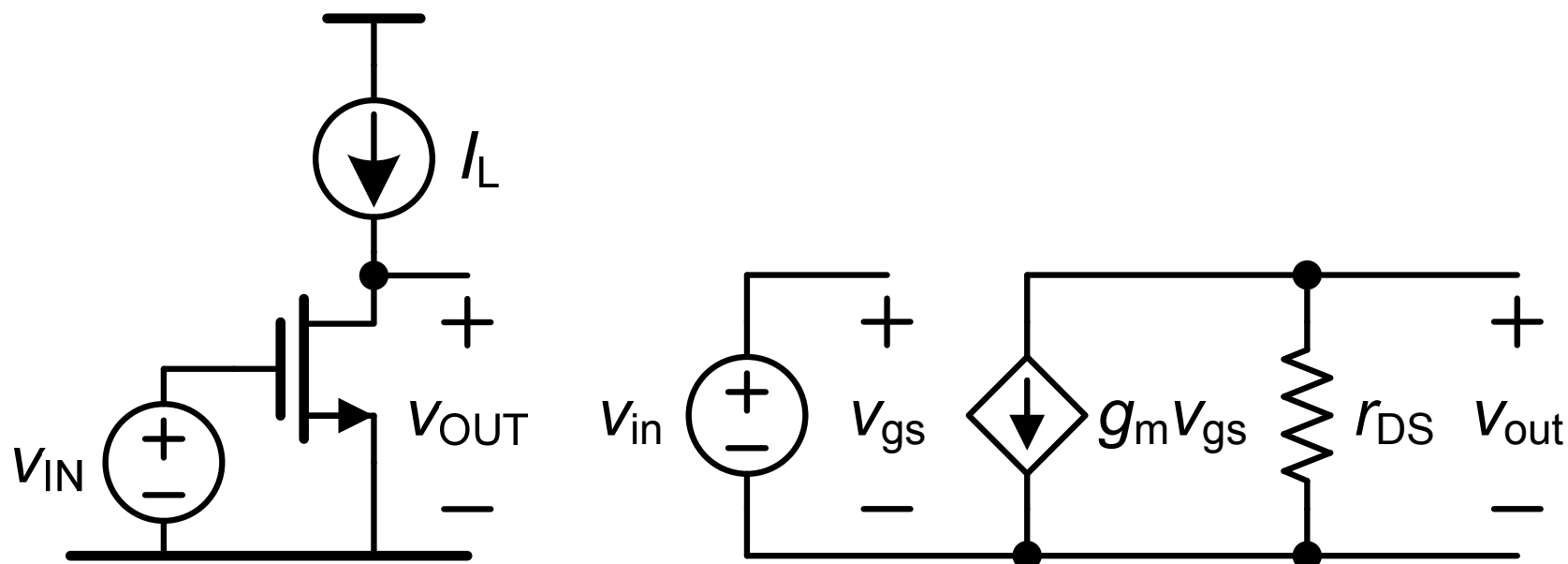


目录

- 共源放大器
- 源极跟随器
- 共栅放大器

Ref.: W. Sansen : Analog Design Essentials, Springer 2006

共源放大器 1



$$A_V = g_m r_{DS} = \frac{2I_{DS}}{V_{GS} - V_T} \frac{V_E L}{I_{DS}} = \frac{2V_E L}{V_{GS} - V_T}$$

如果 $V_{GS} - V_T = 0.2 \text{ V}$ 、 $V_E L \approx 10 \text{ V}$ ，则 $A_V \approx 100$ 。

共源放大器 2

高增益？

小($V_{GS}-V_T$)，大 L !!!

0.15~0.2 V 4~5 L_{min}

MOST或双极型晶体管放大器？

MOST:
$$A_V = \frac{V_E L}{(V_{GS} - V_T)/2}$$

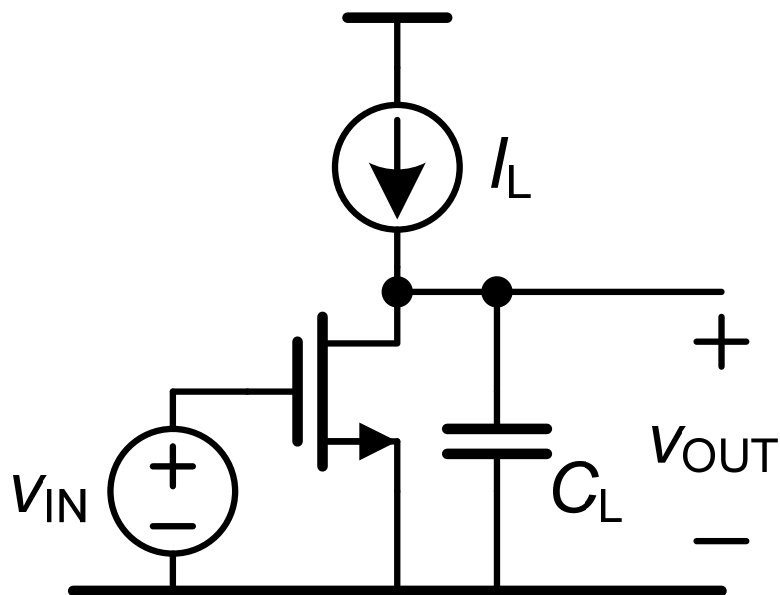
如果 $V_{GS} - V_T = 0.2 \text{ V}$ 、 $V_E L \approx 10 \text{ V}$ ，则 $A_V \approx 100$ 。

Bipolar:
$$A_V = \frac{V_E}{kT/q}$$

如果 $V_E \approx 26 \text{ V}$ 、 $kT/q \approx 26 \text{ mV}$ ，则 $A_V \approx 1000$ 。

放大 10^6 倍， **MOST** 需要 **3** 级， **双极型晶体管** 只需要 **2** 级

增益带宽乘积：输出负载电容 C_L



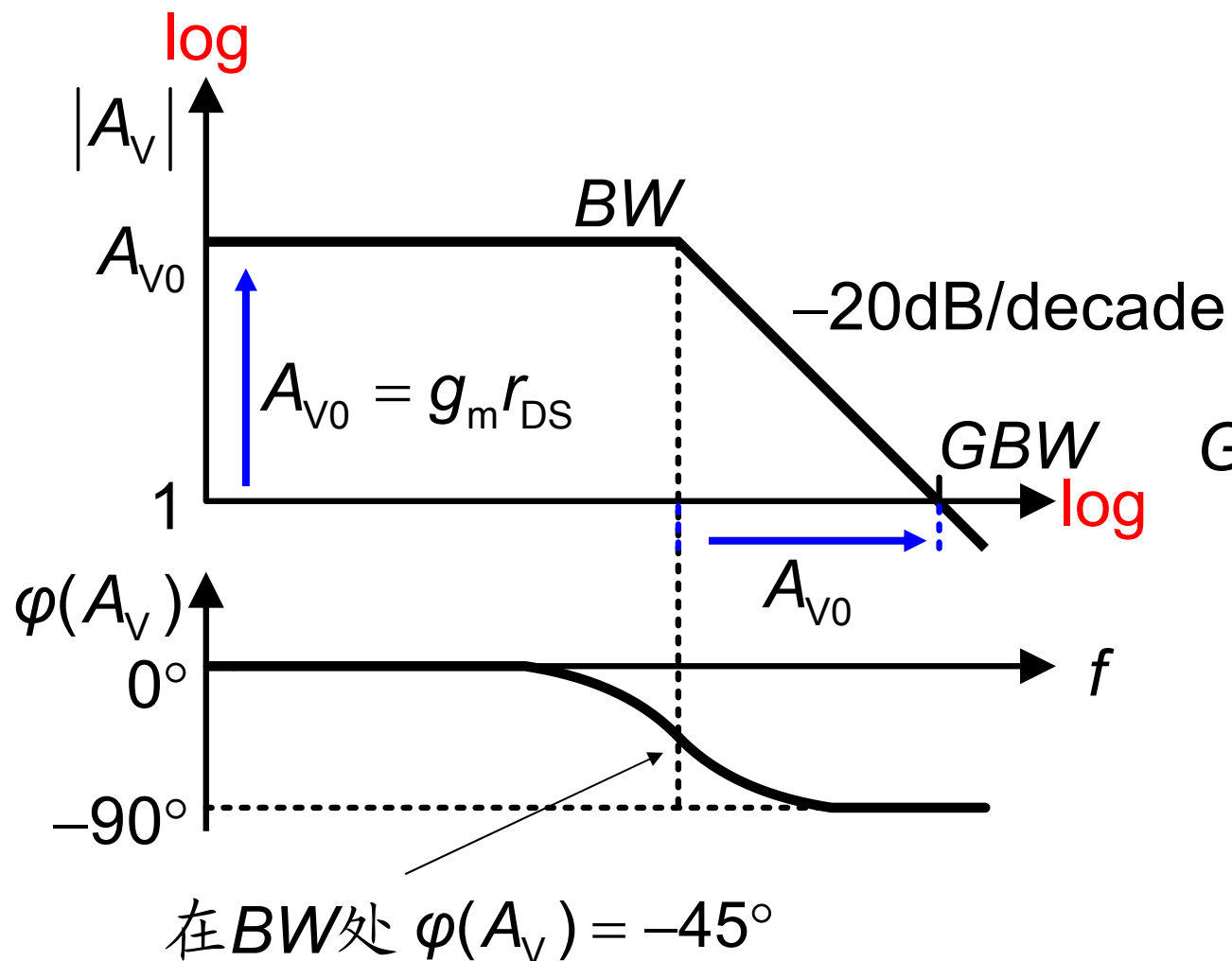
$$A_{V0} = g_m r_{DS}$$

$$BW = \frac{1}{2\pi r_{DS} C_L}$$

适用于所有的单级运算放大器 →

$$GBW = \frac{g_m}{2\pi C_L}$$

增益 A_{V0} 、 BW 和 GBW



$$A_V = \frac{A_{V0}}{1 + j \frac{f}{BW}}$$

$$GBW = \frac{g_m}{2\pi C_L}$$

练习

已知： $GBW=100$ MHz, $C_L=3$ pF

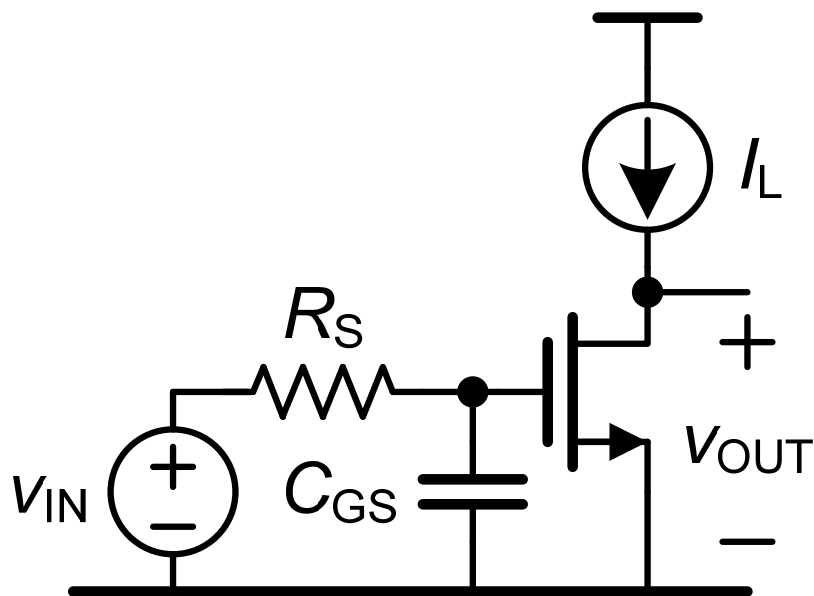
求： I_{DS} 、 L 、 W 、 $\frac{GBW \cdot C_L}{I_{DS}}$

$$K'_n \approx 50 \mu A/V^2$$

$$L_{min} = 0.5 \mu m$$

$$FOM = \frac{GBW \cdot C_L}{I_{DS}}$$

增益带宽乘积：输入电容 C_{GS}



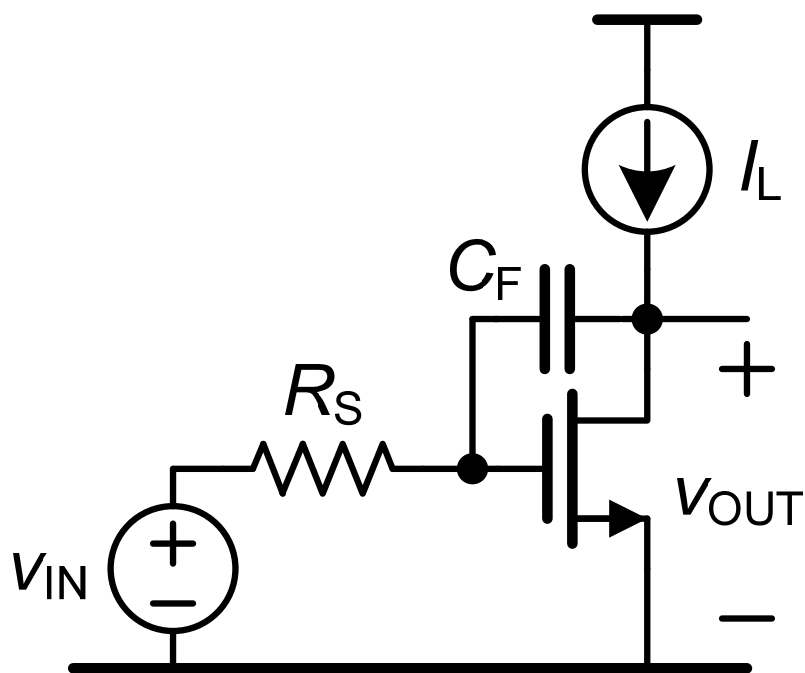
$$A_{V0} = g_m r_{DS}$$

$$BW = \frac{1}{2\pi R_S C_{GS}}$$

$$GBW = \frac{g_m}{2\pi C_{GS}} \frac{r_{DS}}{R_S} = f_T \frac{r_{DS}}{R_S} \sim \frac{1}{WC_{ox}} \frac{1}{V_{GS} - V_T}$$

$W?$ $L?$ $V_{GS} - V_T?$

增益带宽乘积：密勒电容 C_F

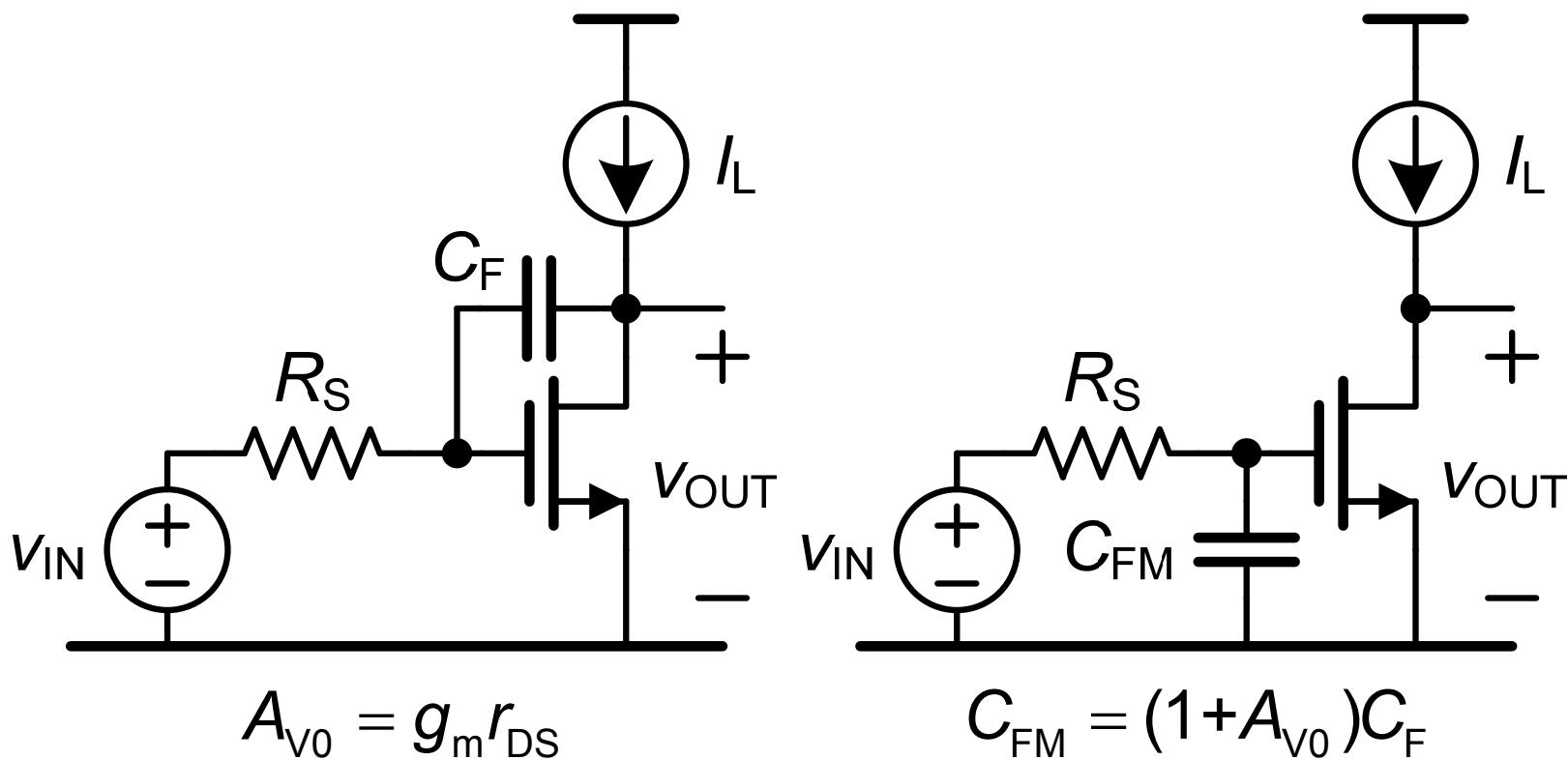


$$A_{v0} = g_m r_{DS}$$

$$BW = \frac{1}{2\pi R_S A_{v0} C_F}$$

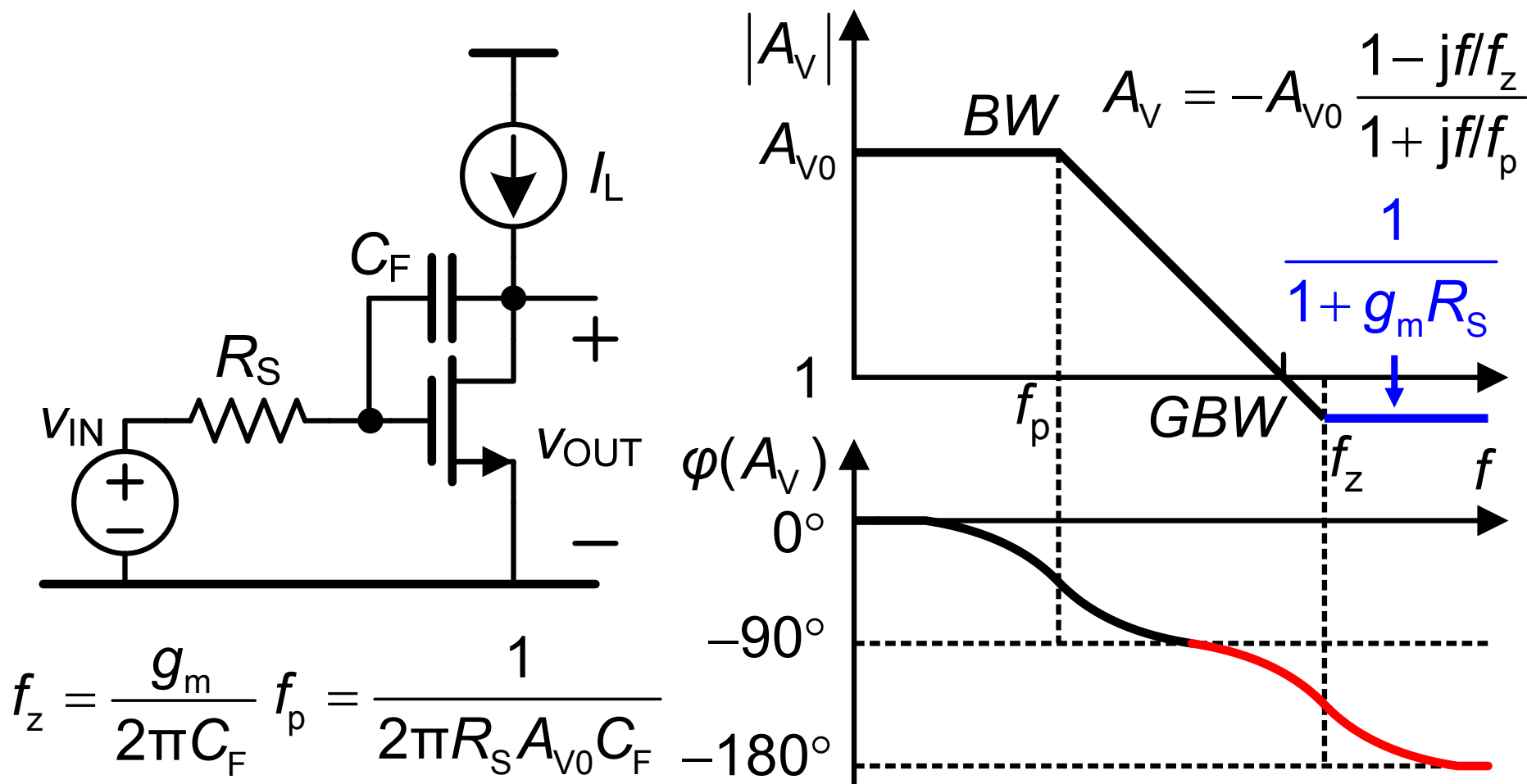
$$GBW = \frac{1}{2\pi R_S C_F}$$

密勒效应

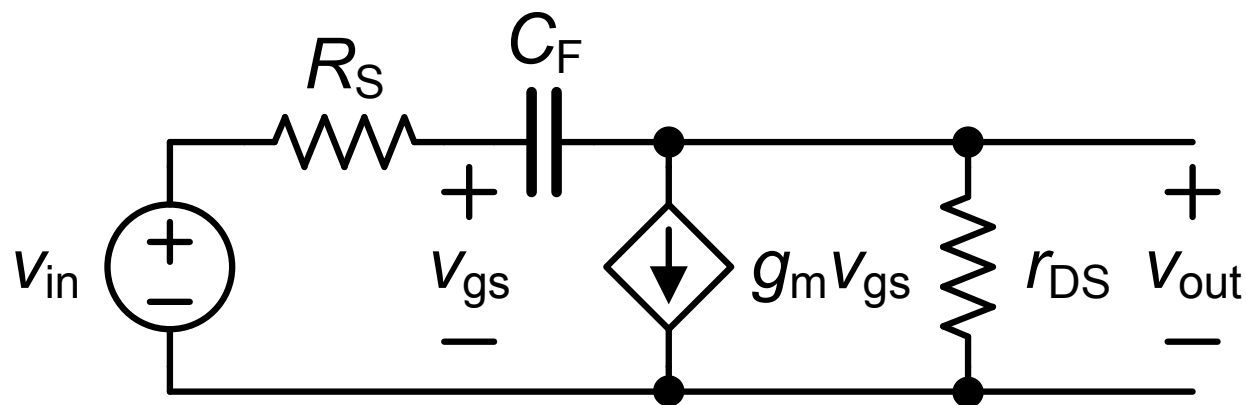


Ref.: Miller, Dependence of the input impedance of a three-electrode vacuum tube upon the load in the plate circuit, Scient. Papers Bur. Standards, 1920, 367-385.

密勒电容的反馈效应



就相位而言，一个正零点相当于一个负极点!!!



$$\frac{V_{in} - V_{gs}}{R_S} = \frac{V_{gs} - V_{out}}{\frac{1}{sC_F}} \quad (1)$$

$$g_m V_{gs} = \frac{V_{gs} - V_{out}}{\frac{1}{sC_F}} - \frac{V_{out}}{r_{DS}} \quad (2)$$

由(1)得 $V_{gs} = \frac{\frac{1}{sC_F} V_{in} + R_S V_{out}}{R_S + \frac{1}{sC_F}}$, 代入(2)得

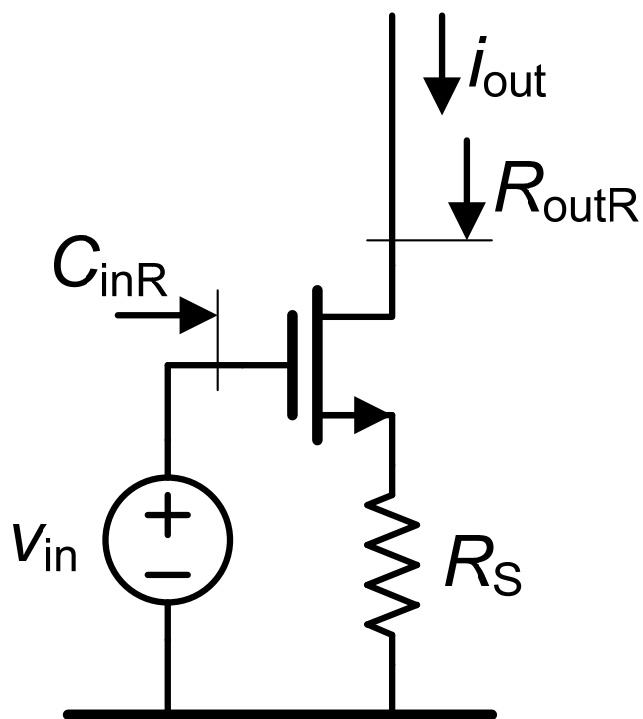
$$A_V = \frac{V_{out}}{V_{in}} = -g_m r_{DS} \frac{1 - \frac{C_F}{g_m} s}{1 + [r_{DS} + (1 + g_m r_{DS}) R_S] s C_F}$$

$$= -A_{V0} \frac{1 - \frac{C_F}{g_m} s}{1 + [r_{DS} + (1 + A_{V0}) R_S] s C_F}$$

$$f_z = \frac{g_m}{2\pi C_F}$$

$$f_p = -\frac{1}{2\pi R_S A_{V0} C_F} \quad \text{密勒效应}$$

源极接电阻的退化共源放大器

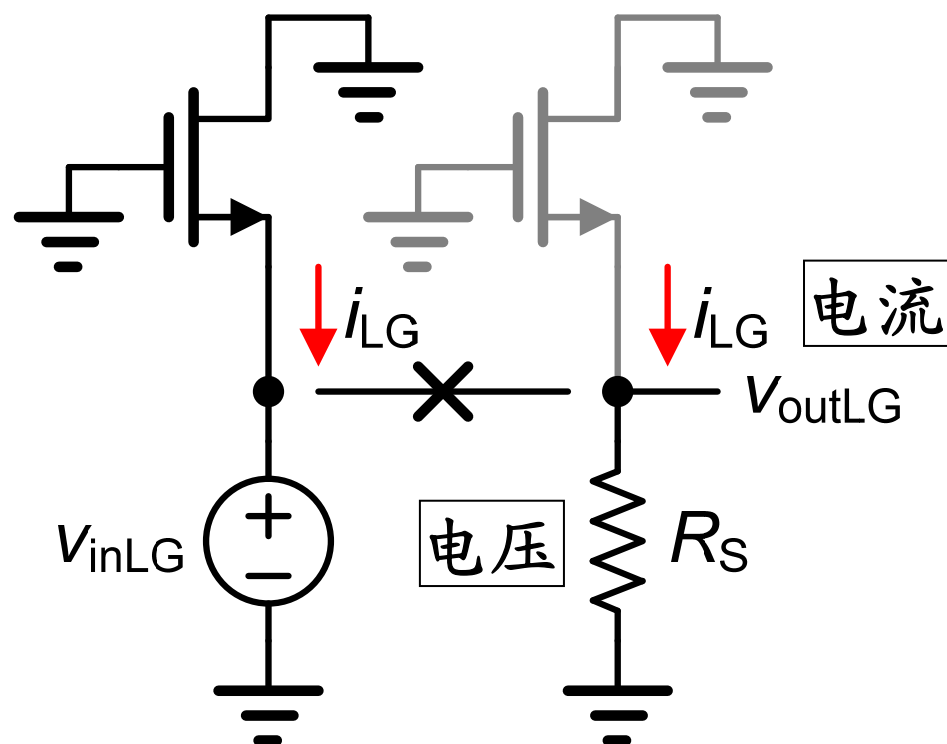


$$g_{mR} = \frac{g_m}{1 + g_m R_S} \approx \frac{1}{R_S}$$

$$R_{outR} = (1 + g_m R_S) r_{DS} + R_S \\ \approx (g_m r_{DS}) R_S$$

$$C_{inR} = \frac{C_{GS}}{1 + g_m R_S}$$

但是， R_S 引入额外的噪声！



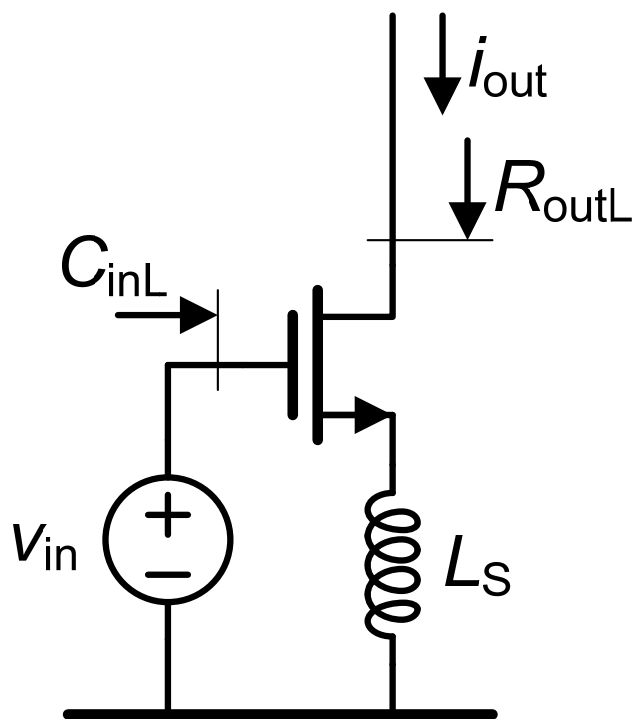
$$i_{LG} = -g_m V_{inLG}$$

$$V_{outLG} = i_{LG} R_S$$

$$A_{LG} = \frac{V_{outLG}}{V_{inLG}} = -g_m R_S$$

串联-串联反馈(电压-电流反馈)

源极接电感的退化共源放大器



$$g_{mL} = \frac{g_m}{1 + g_m L_S s}$$

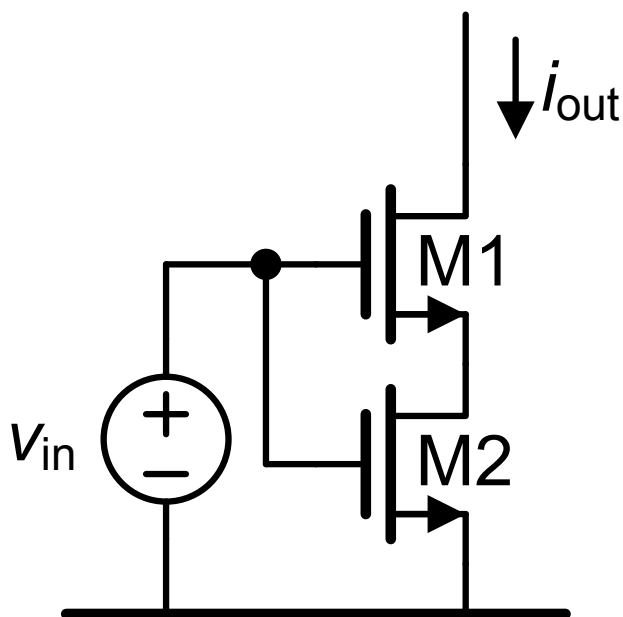
$$R_{outL} = (1 + g_m L_S s) r_{DS} + L_S s$$

$$Z_{inL} = g_m \frac{L_S}{C_{GS}} + \frac{1 + L_S C_{GS} s^2}{C_{GS} s}$$

$$Z_{inL} = L_S \omega_T + L_S s + \frac{1}{C_{GS} s}$$

没有额外的噪声！

源极接线性MOST的退化共源放大器



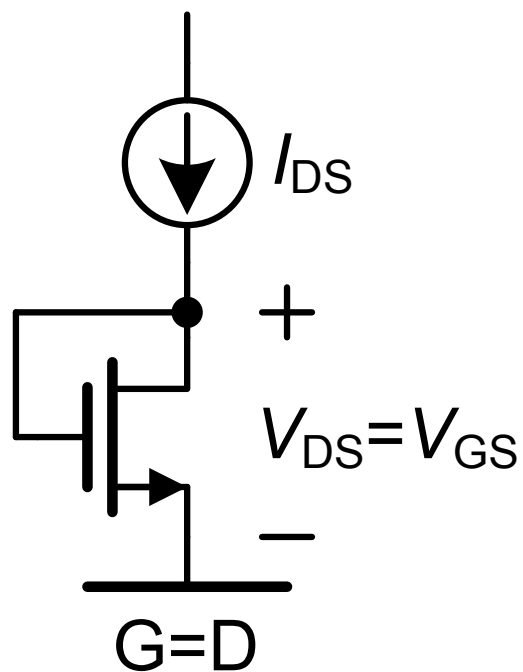
$$V_{DS2} = V_{GS2} - V_{GS1} \approx 0.2 \text{ V}$$

$$r_{DS2} = \frac{1}{KP \cdot W_2/L_2 \cdot (V_{GS2} - V_T)}$$

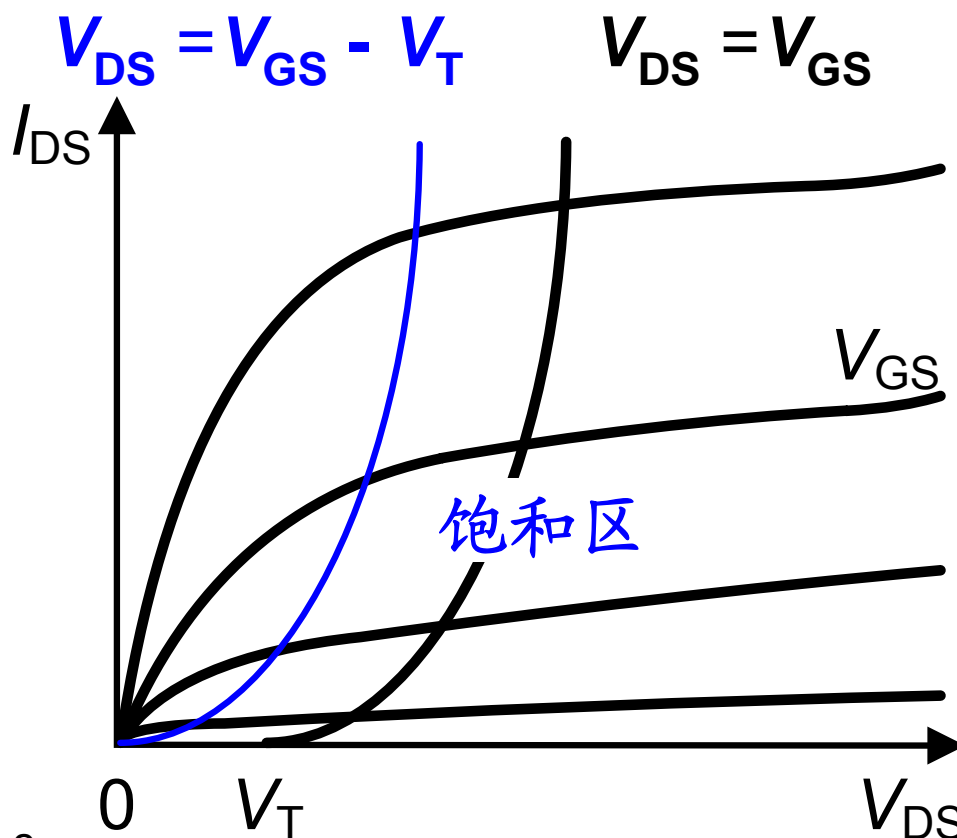
$$R_{outM} = r_{DS1}(1 + g_{m1}r_{DS2}) + r_{DS2}$$

$$C_{inM} = \frac{C_{GS1}}{1 + g_{m1}r_{DS2}} + C_{GS2}$$

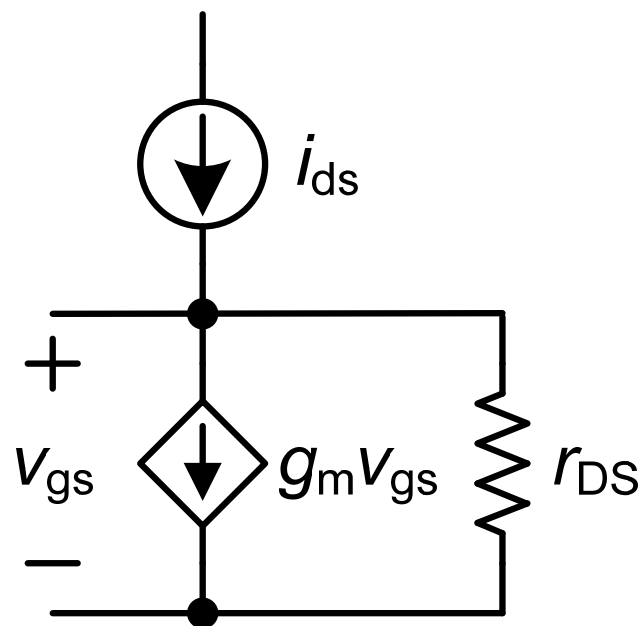
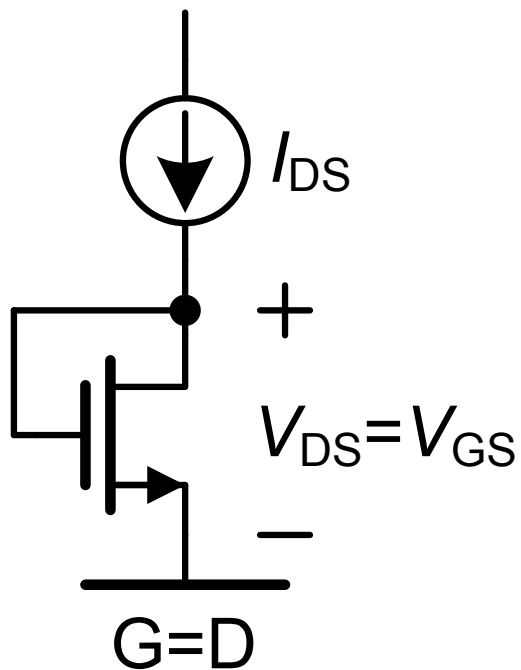
二极管连接MOS： 并联反馈



$$I_{DS} = K'_n \frac{W}{L} (V_{DS} - V_T)^2$$

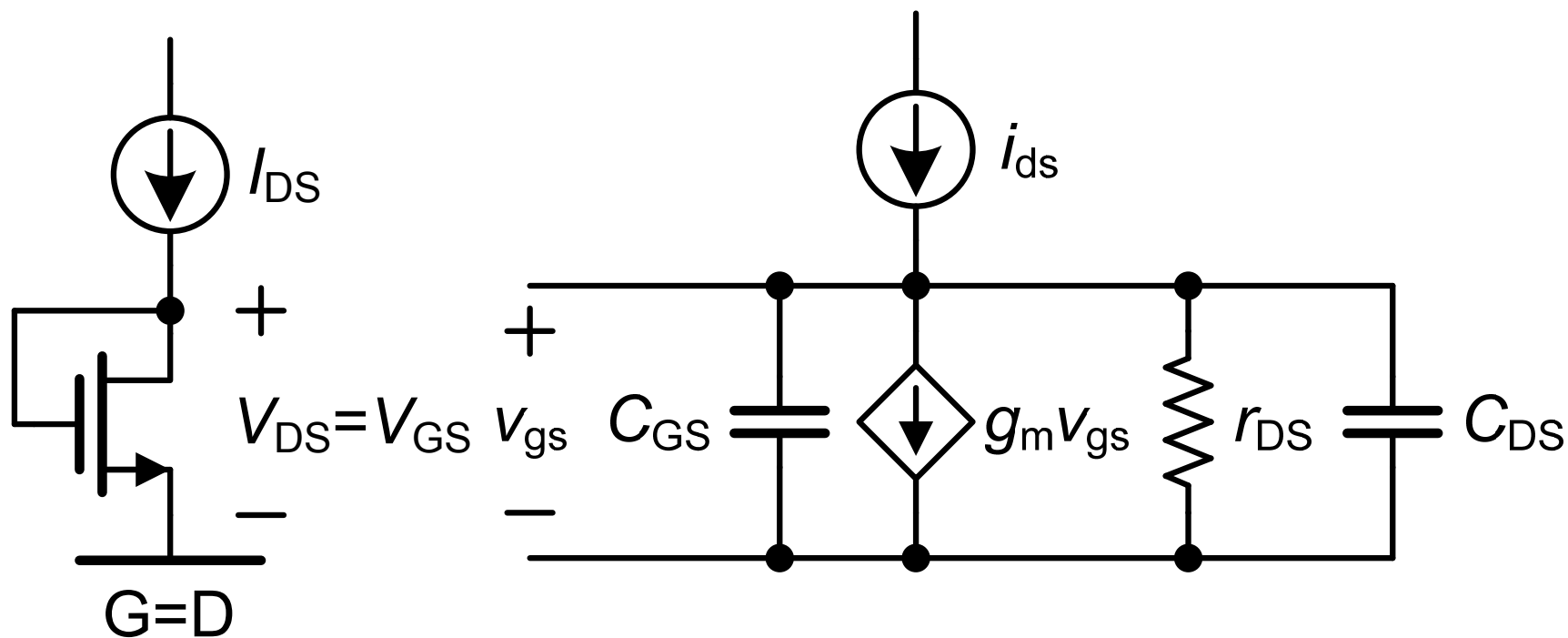


二极管连接MOSFET：小信号模型



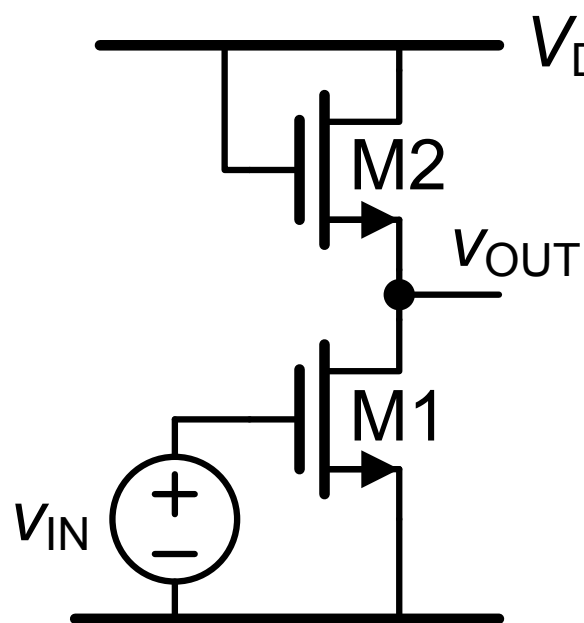
$$r_{out} = 1/g_m // r_{DS} \approx 1/g_m$$

二极管连接MOST：高频特性



$$BW = \frac{g_m}{2\pi(C_{GS} + C_{DS})} \stackrel{C_{GS} \approx C_{DS}}{\approx} \frac{f_T}{2}$$

宽带放大器

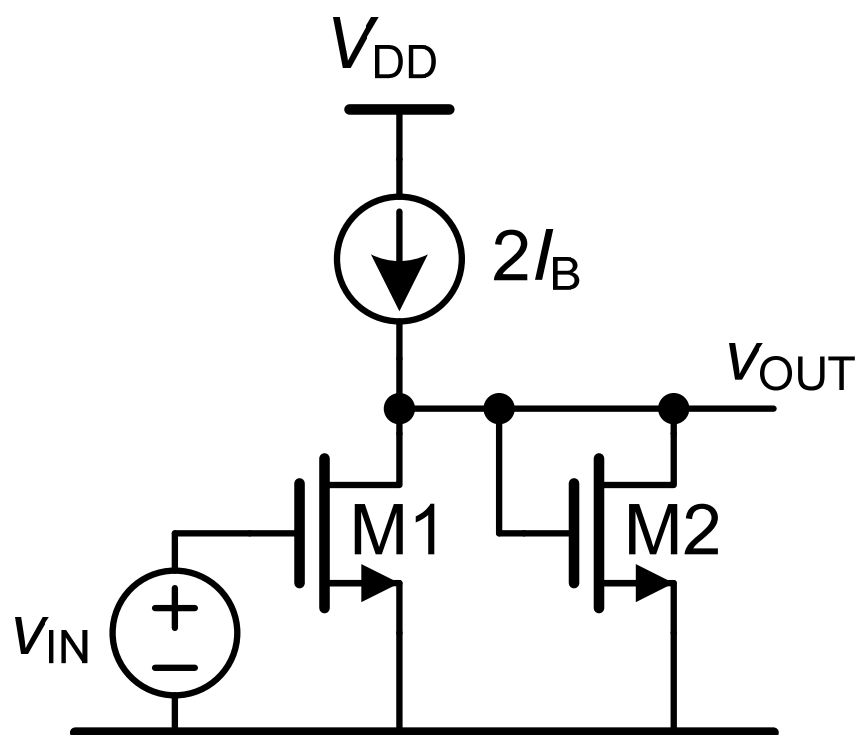


$$V_{OUT} = V_{DD} - V_{GS2}(V_{OUT})$$

$$A_{V0} = \frac{g_{m1}}{g_{m2}} = \sqrt{\frac{(W/L)_1}{(W/L)_2}} = \frac{V_{GS2} - V_T}{V_{GS1} - V_T}$$

$$R_{out} = 1/g_{m2}$$

线性宽带放大器



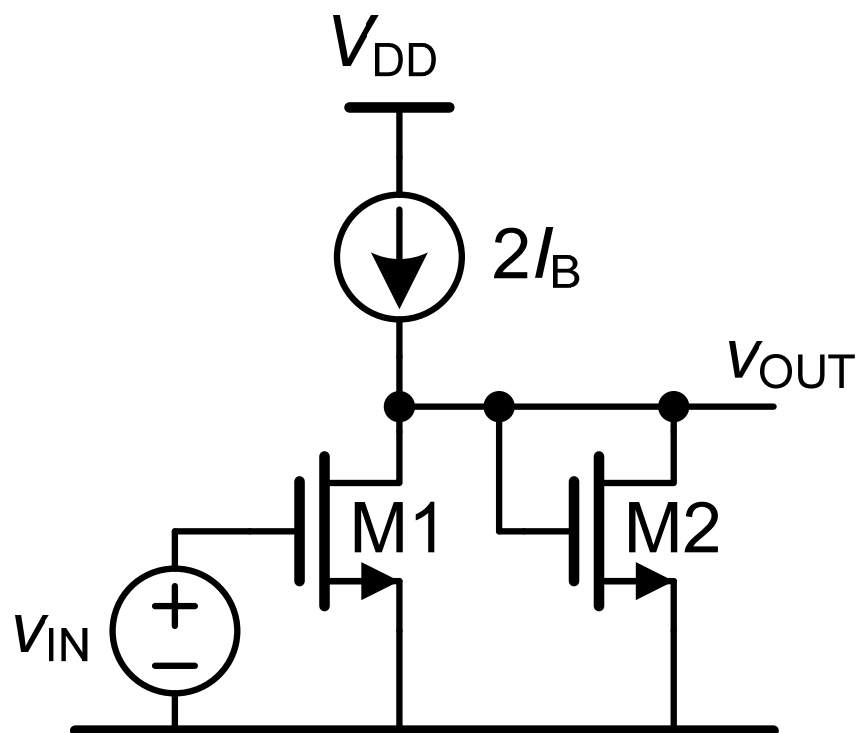
- 只有**NMOS管+电流镜**
- 输入/输出直流电平相同
- 无衬偏效应
- 高电源抑制比(**PSRR**)
- **双倍功耗!**

$$V_{OUT} = V_{GS2}$$

$$R_{out} = 1/g_{m2}$$

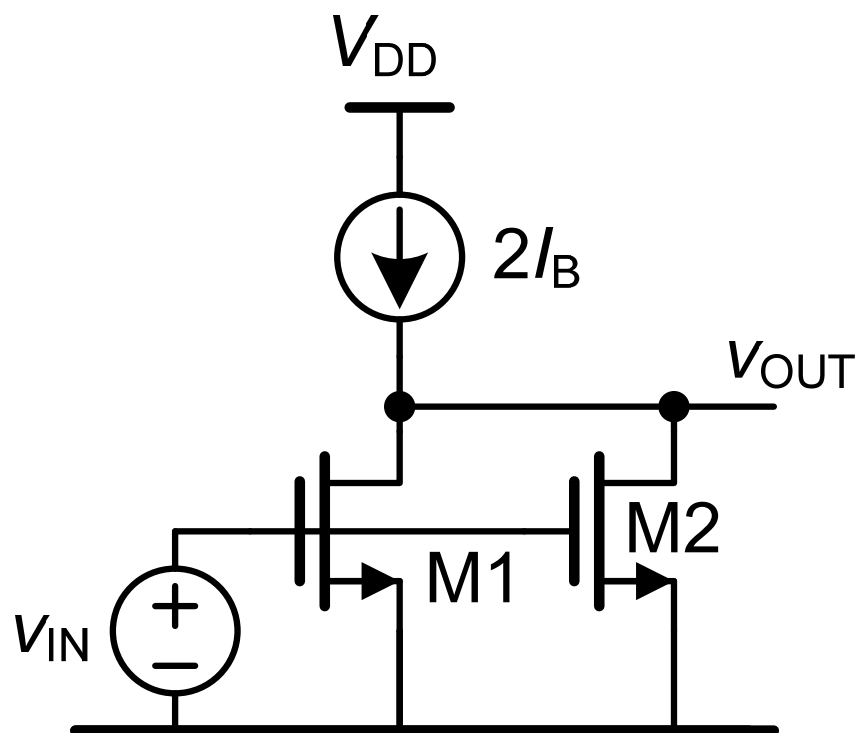
$$A_{v0} = \frac{g_{m1}}{g_{m2}} = \sqrt{\frac{(W/L)_1}{(W/L)_2}} = \frac{V_{GS2} - V_T}{V_{GS1} - V_T}$$

宽带放大器



$$A_{V0} = \frac{g_{m1}}{g_{m2}} = \sqrt{\frac{(W/L)_1}{(W/L)_2}} = \frac{V_{GS2} - V_T}{V_{GS1} - V_T}$$

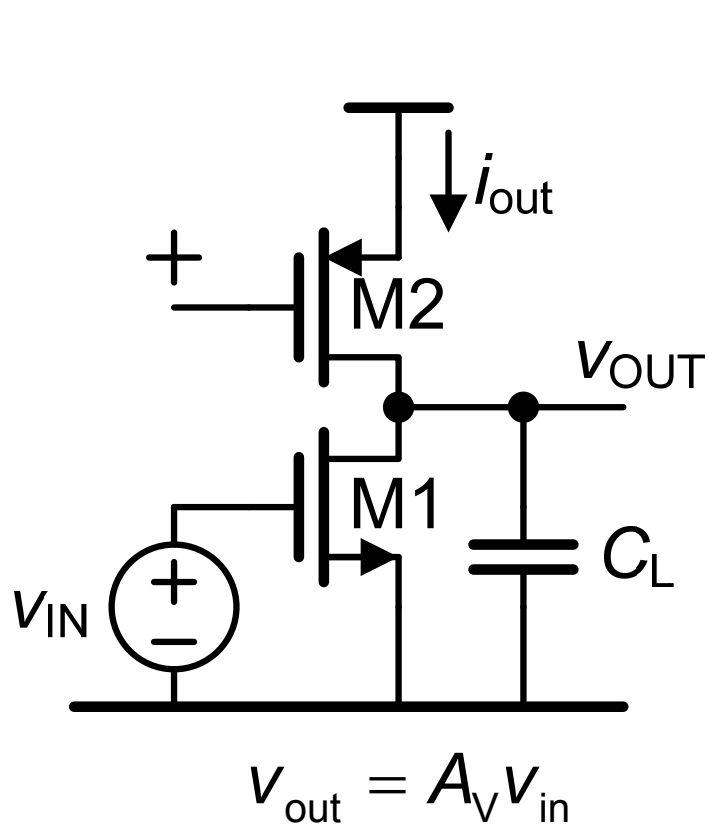
$$R_{out} = 1/g_{m2}$$



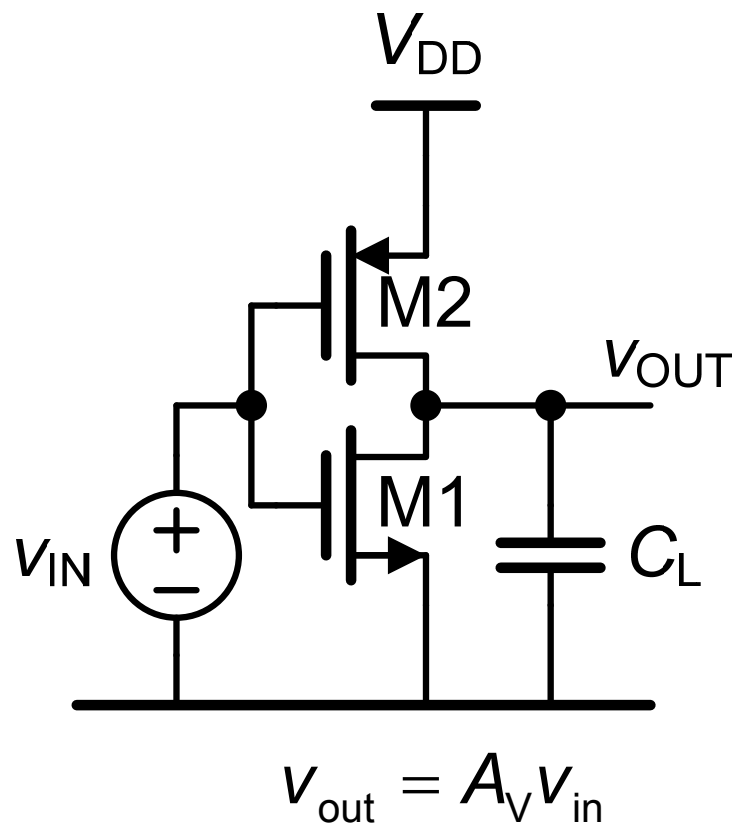
$$A_{V0} = g_m R_{out}$$

$$R_{out} = r_{DS1} // r_{DS2}$$

A类和AB类放大器

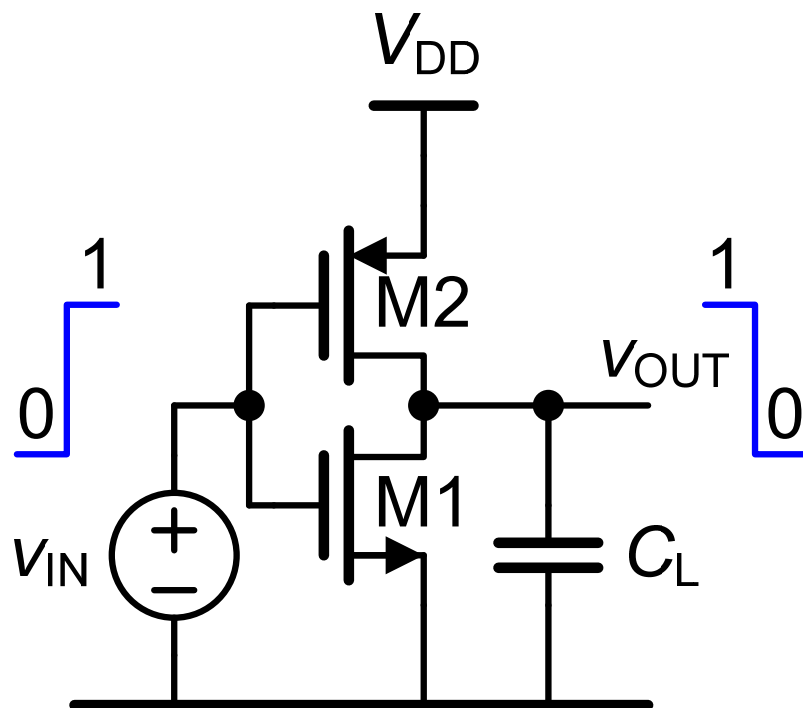


A类

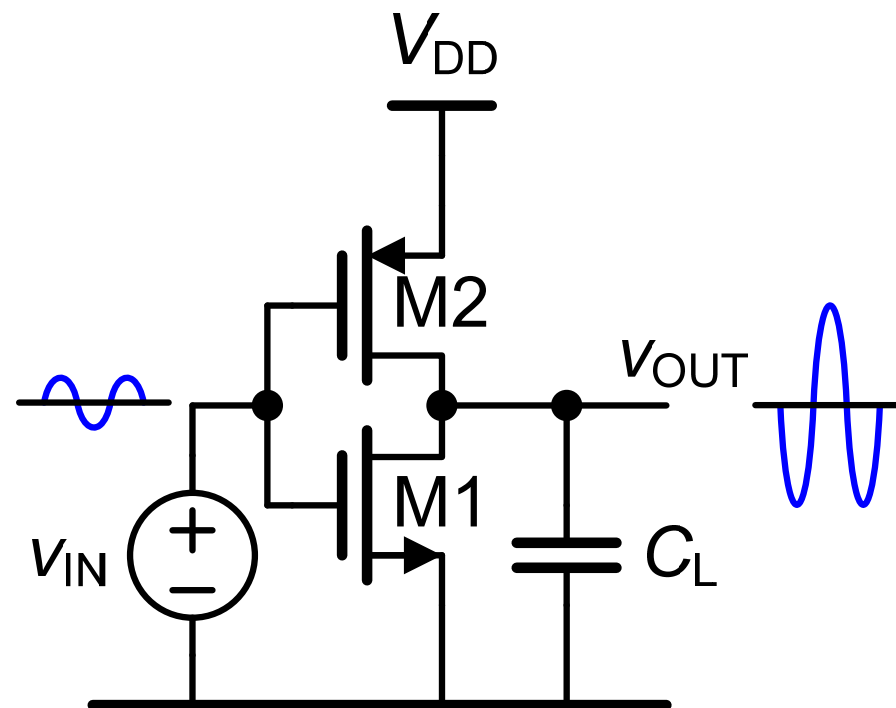


AB类

CMOS反相放大器

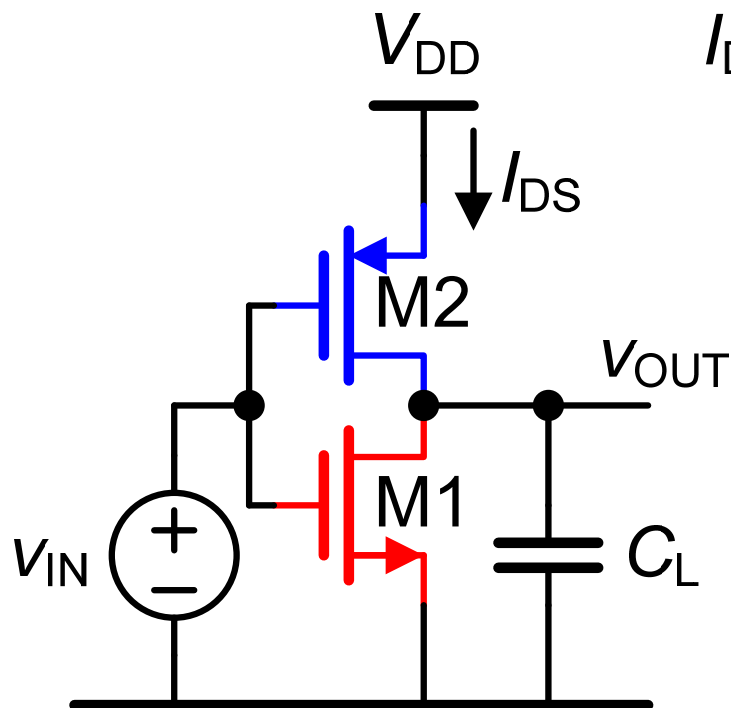


数字反相器

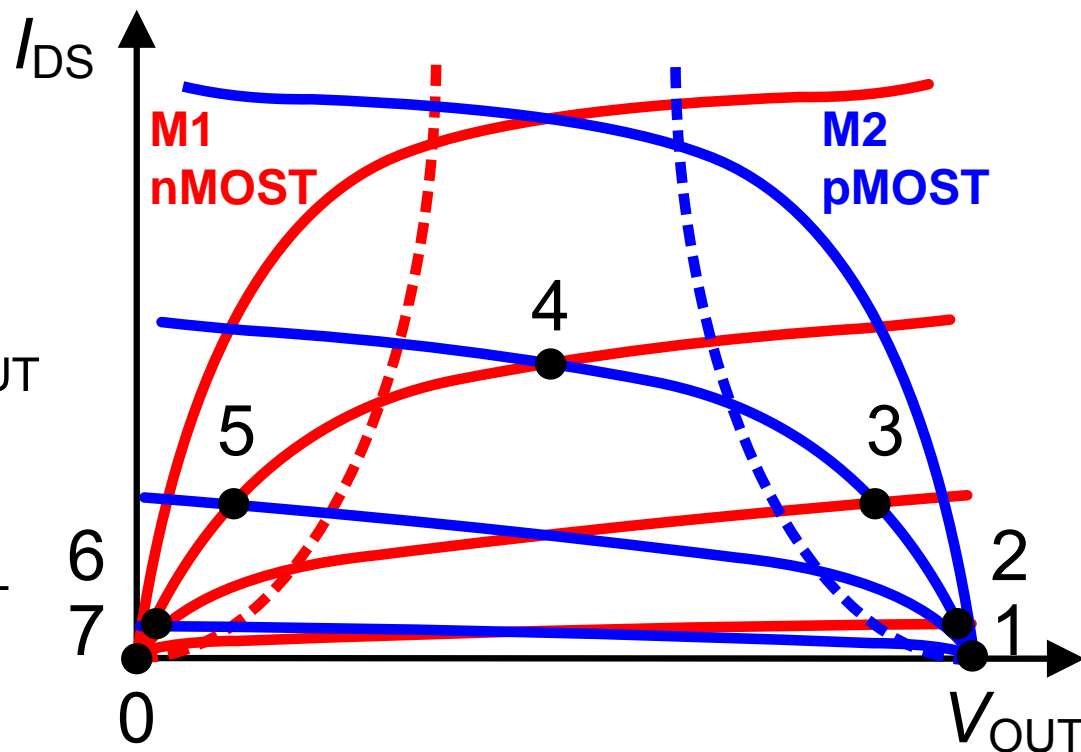


模拟放大器

nMOST和pMOST的工作点



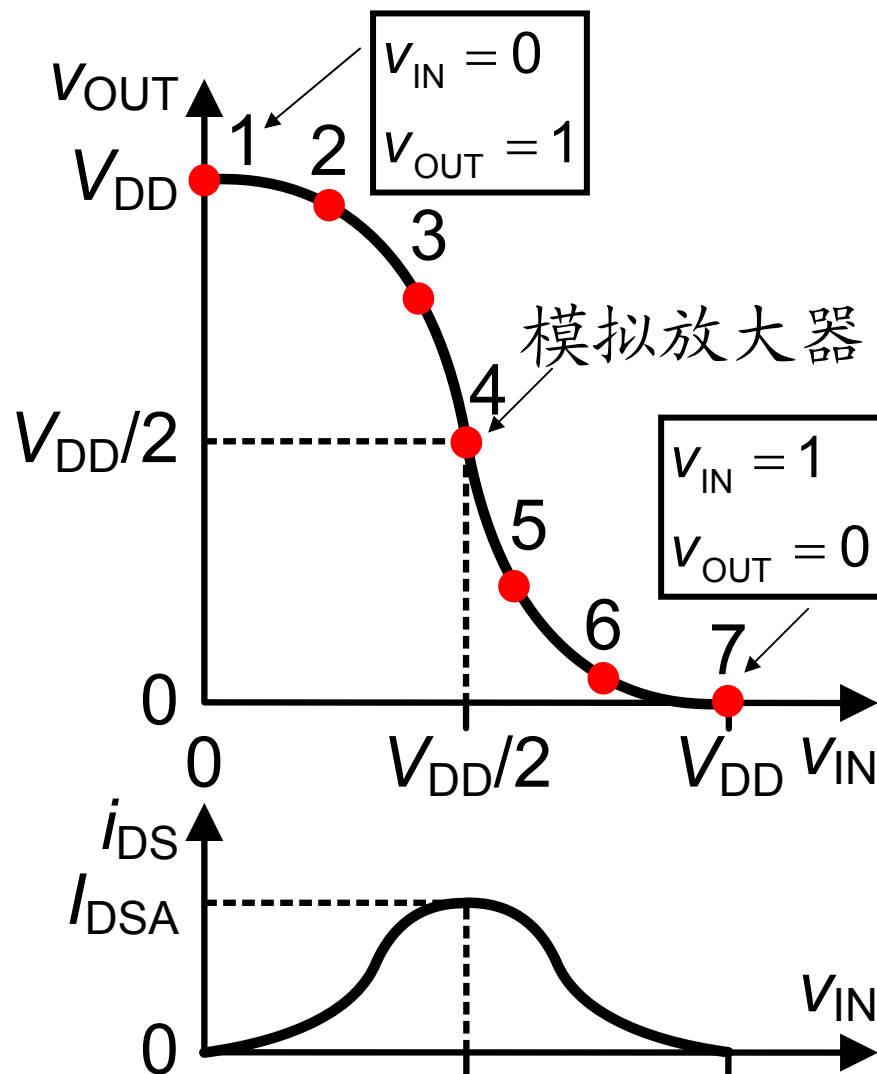
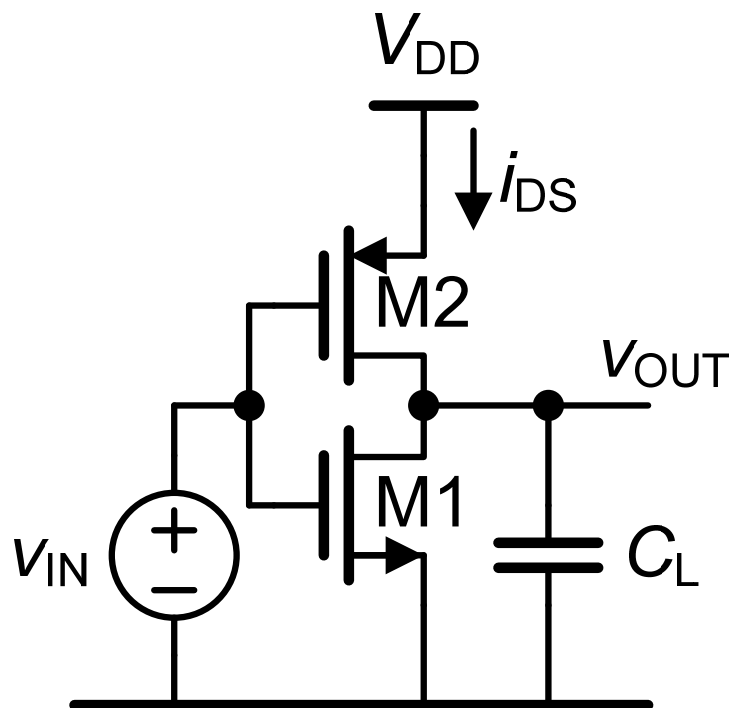
$$\begin{aligned} V_{DD} &= V_{DSn} + V_{DSp} \\ &= V_{GSn} + V_{GSp} \end{aligned}$$



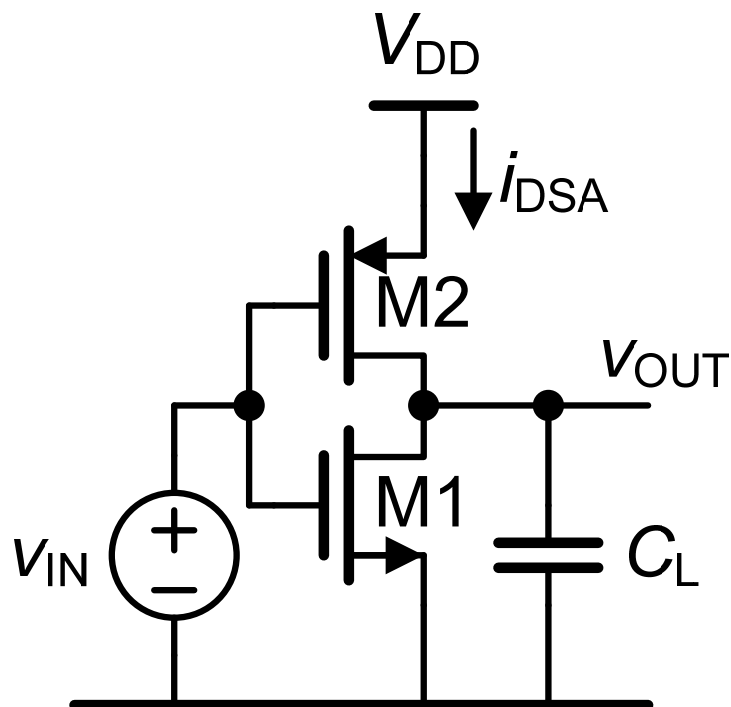
$$\begin{aligned} V_{DSn} &= V_{OUT} \\ V_{GSn} &= V_{IN} \end{aligned}$$

$$\begin{aligned} V_{DSp} &= V_{DD} - V_{OUT} \\ V_{GSp} &= V_{DD} - V_{IN} \end{aligned}$$

传输特性



模拟放大器：直流工作点



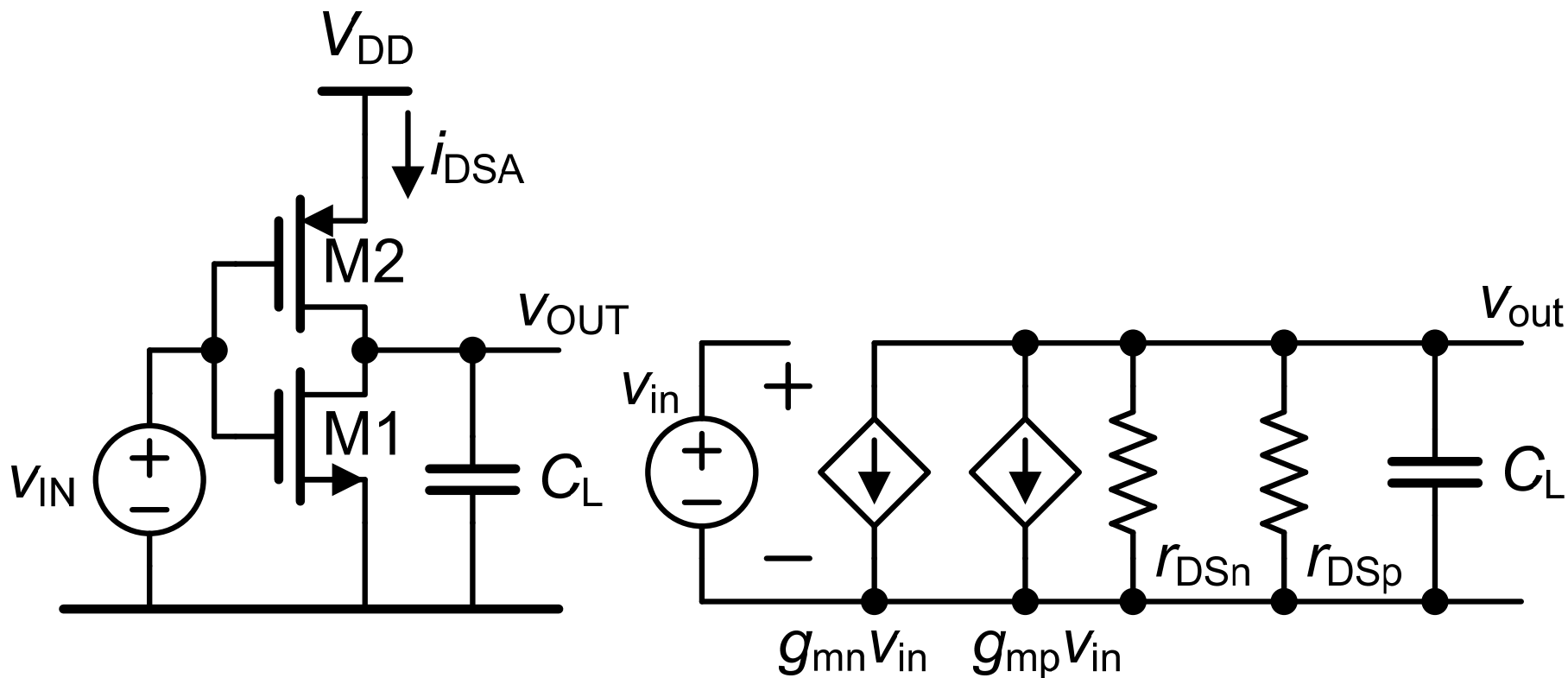
$$\Rightarrow K'_n \frac{W_n}{L_n} = K'_p \frac{W_p}{L_p}$$

$$V_{in} = \frac{V_{DD}}{2} \Rightarrow V_{out} = \frac{V_{DD}}{2}$$

$$\left. \begin{aligned} I_{DSn} &= K'_n \frac{W_n}{L_n} (V_{in} - V_T)^2 \\ I_{DSp} &= K'_p \frac{W_p}{L_p} (V_{DD} - V_{in} - V_T)^2 \end{aligned} \right\}$$

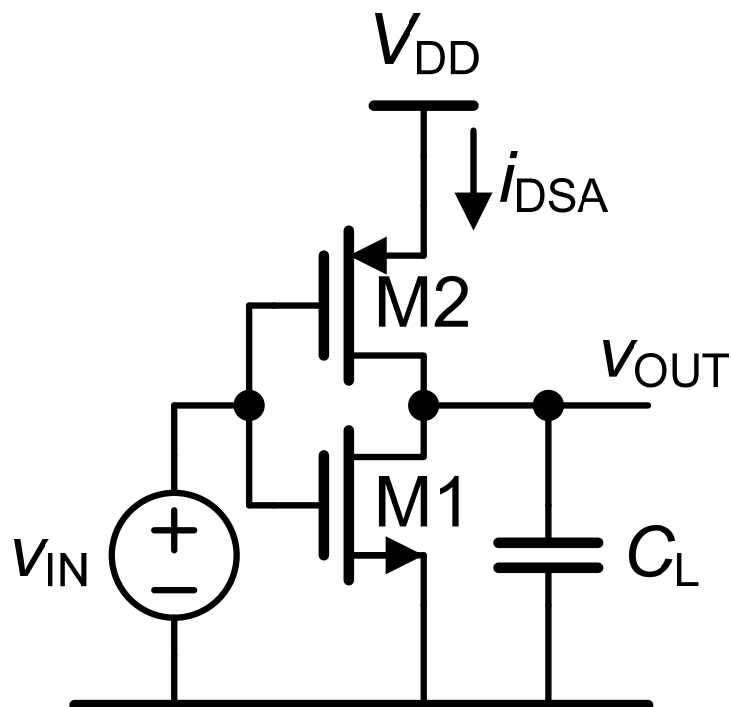
$$I_{DS} = K'_n \frac{W_n}{L_n} \left(\frac{V_{DD}}{2} - V_T \right)^2$$

模拟放大器：交流小信号模型



两个MOST的 $V_{GS} - V_T$ 和 I_{DS} 相等，则： $g_{mn} = g_{mp} = g_m$

模拟放大器：增益 A_V



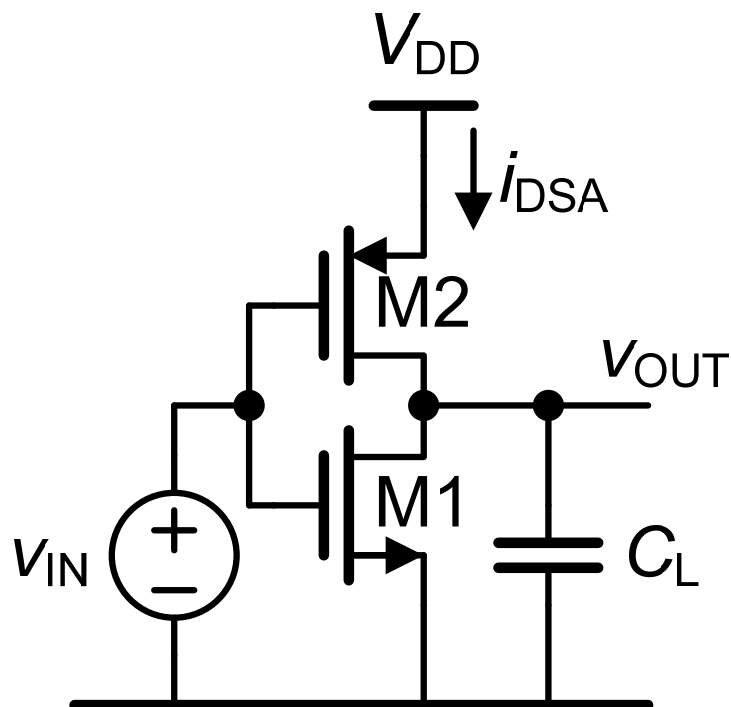
如果 $V_{En}L_n = V_{Ep}L_p = V_E$

$$g_{DSn} = g_{DSp} = g_{DS}$$

$$(g_{DS} = 1/r_{DS})$$

$$A_{V0} = -\frac{2g_m}{2g_{DS}} = -\frac{2V_E}{\frac{V_{DD}}{2} - V_T}$$

模拟放大器: *BW* & *GBW*



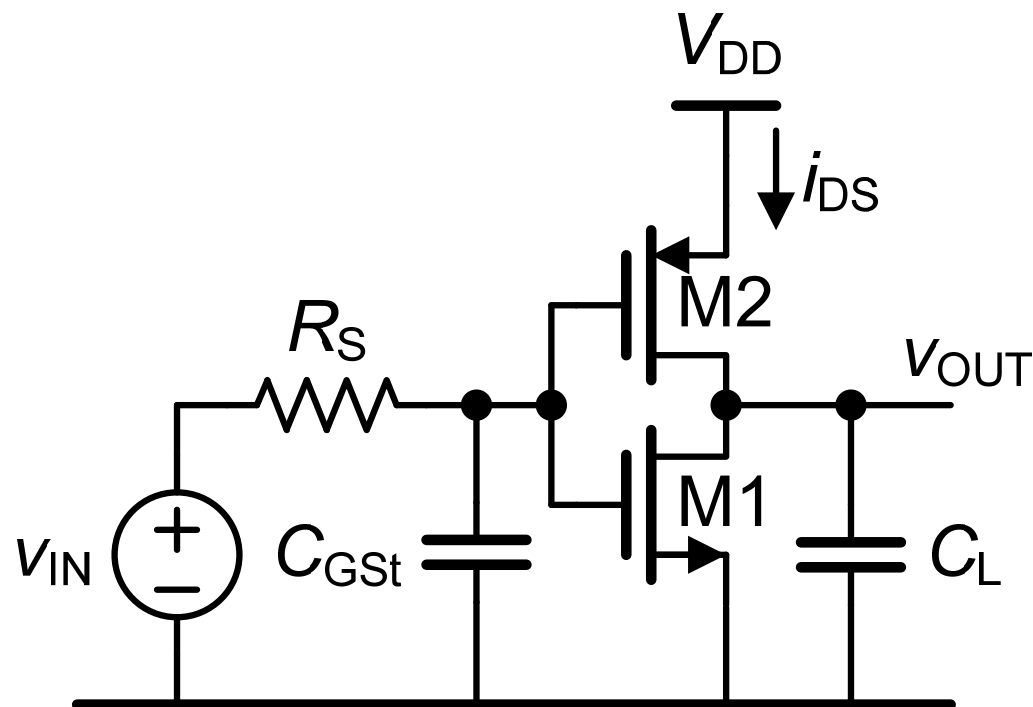
$$A_{V0} = 2g_m R_{out}$$

$$R_{out} = r_{DSn} // r_{DSp} = \frac{r_{DS}}{2}$$

$$BW = \frac{1}{2\pi R_{out} C_L}$$

$$GBW = \frac{2g_m}{2\pi C_L}$$

模拟放大器： C_{GS} 产生的极点



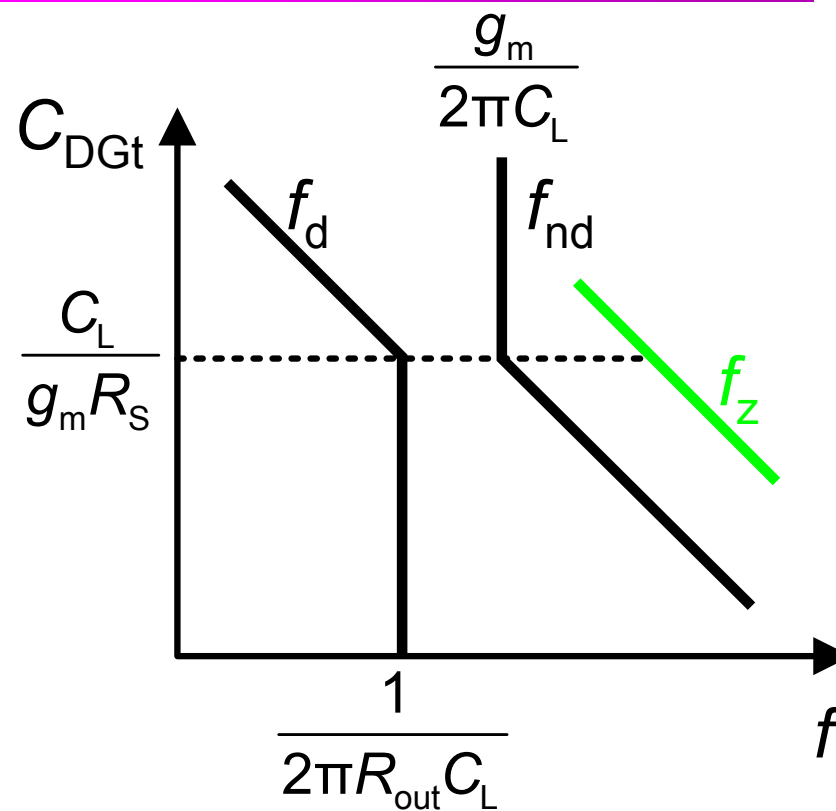
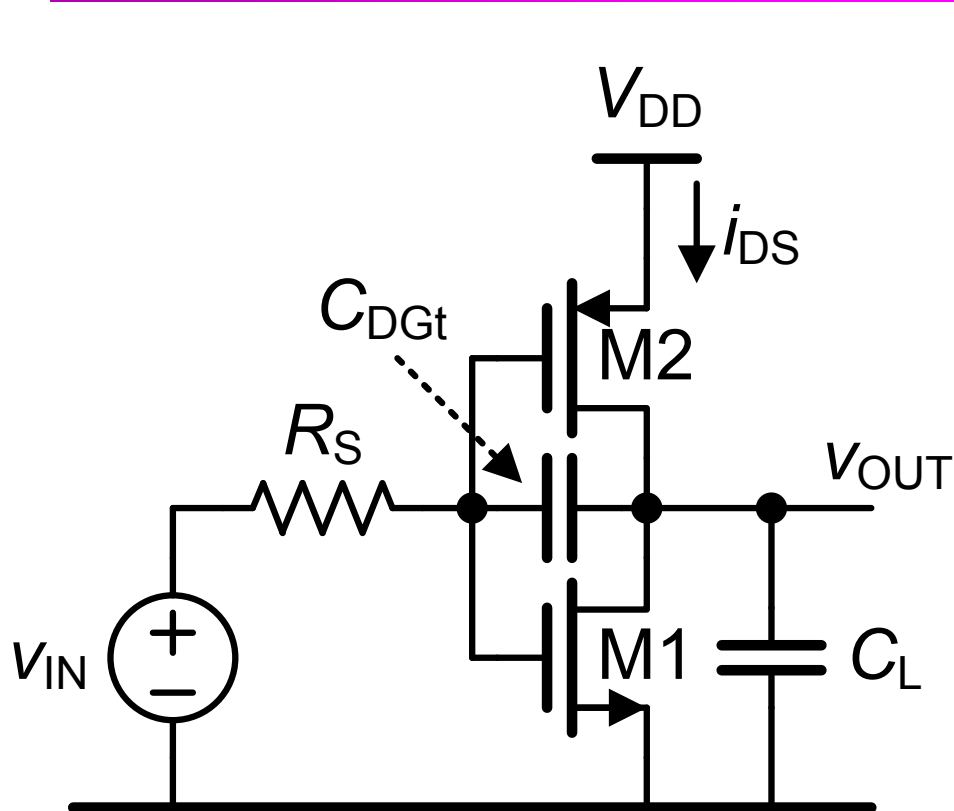
$$A_{V0} = 2g_m R_{out} = g_m r_{DS}$$

$$BW = \frac{1}{2\pi R_S C_{GSt}}$$

$$C_{GSt} = C_{GSn} + C_{GS p}$$

如果 $R_S C_{GSt} > r_{DS} C_L$: $GBW = \frac{f_T}{2} \frac{r_{DS}}{R_S}$

模拟放大器： C_{DGt} 产生的极点



$$A_V = \frac{V_{out}}{V_{in}} = - \frac{A_{V0}(1 - sC_{DGt}/g_m)}{1 + s[R_{out}C_L + R_{out}C_{DGt} + (1 + A_{V0})R_S C_{DGt}] + s^2 R_S R_{out} C_{DGt} C_L}$$

$$A = A_0 \frac{1 - cs}{1 + as + bs^2}$$

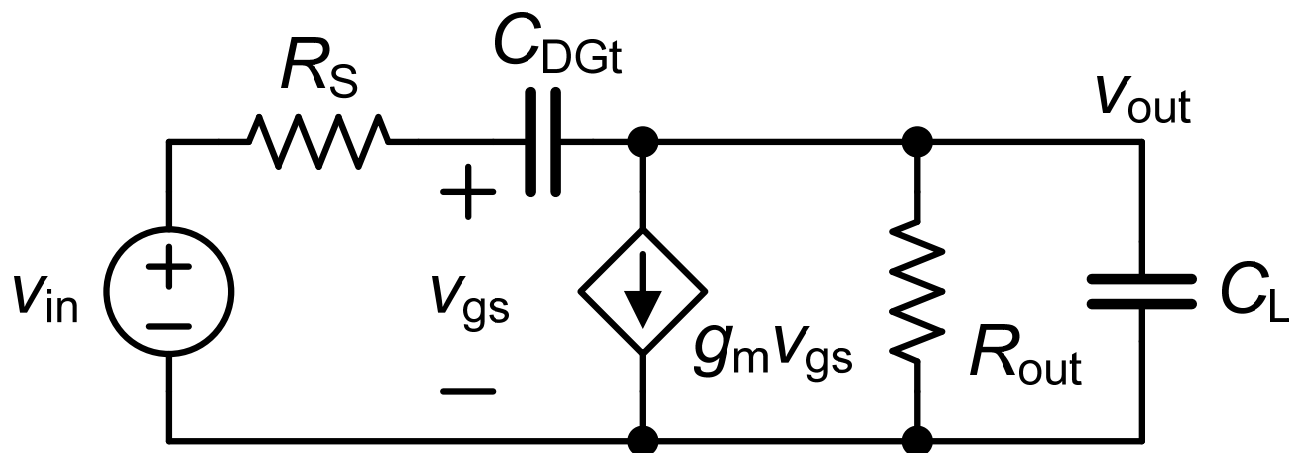
零点 $z = \frac{1}{c}$

极点 $s_1 = -\frac{1}{a} \quad s_2 = -\frac{a}{b}$

如果 $s_2 \gg s_1$:

s 很小
 \Downarrow
 $1 + as + \cancel{bs^2} = 0$
 \Downarrow
 $s_1 = -\frac{1}{a}$

s 很大
 \Downarrow
 $\cancel{1} + as + bs^2 = 0$
 \Downarrow
 $s_2 = -\frac{a}{b}$



$$\frac{V_{in} - V_{out}}{R_S + \frac{1}{sC_{DGt}}} \cdot \frac{1}{sC_{DGt}} + V_{out} = v_{gs} \quad (1)$$

$$\frac{V_{in} - V_{out}}{R_S + \frac{1}{sC_{DGt}}} = g_m v_{gs} + \frac{V_{out}}{R_{out} // \frac{1}{sC_L}} \quad (2)$$

$$g_m = g_{mn} + g_{mp}$$

$$R_{out} = r_{DS1} // r_{DS2}$$

$$A_{v0} = g_m R_{out}$$

将(1) 代入(2)得:

$$A_V = \frac{V_{out}}{V_{in}} = - \frac{A_{V0}(1 - sC_{DGt}/g_m)}{1 + s[R_{out}C_L + R_{out}C_{DGt} + (1 + A_{V0})R_S C_{DGt}] + s^2 R_S R_{out} C_{DGt} C_L}$$

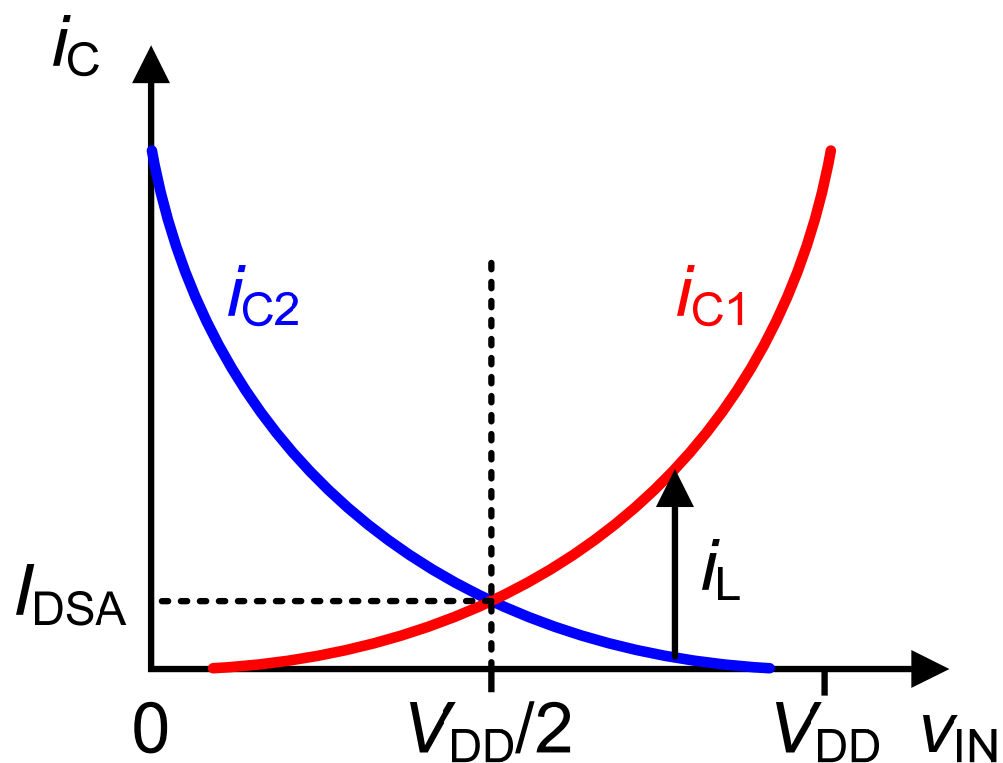
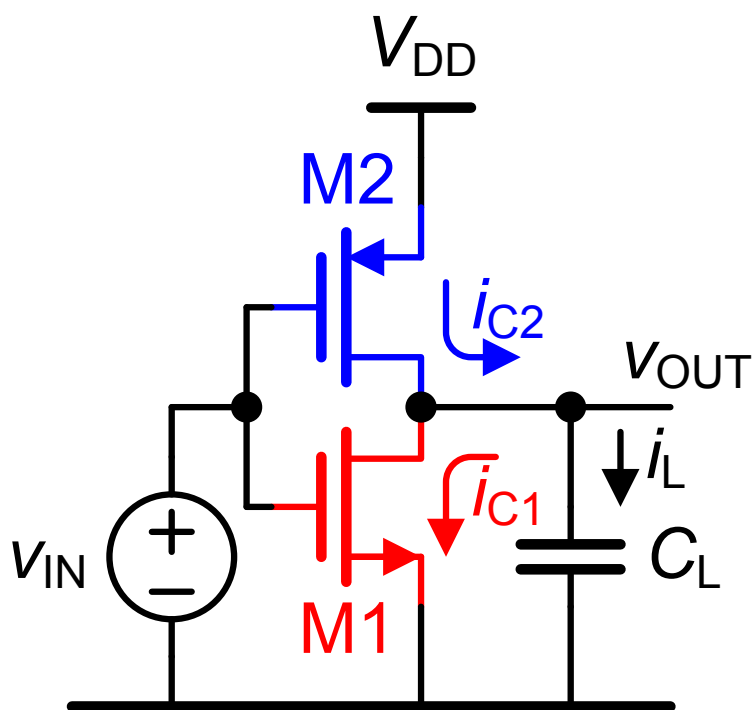
$$f_z = \frac{g_m}{2\pi C_{DGt}}, \quad f_d, \quad f_{nd}$$

$$R_{out}C_L = A_{V0}R_S C_{DGt} \Rightarrow C_{DGt} = \frac{C_L}{g_m R_S}$$

$$C_{DGt} \ll \frac{C_L}{g_m R_S} \quad f_d = -\frac{1}{2\pi R_{out}C_L} \quad f_{nd} = -\frac{1}{2\pi R_S C_{DGt}}$$

$$C_{DGt} \gg \frac{C_L}{g_m R_S} \quad f_d = -\frac{1}{2\pi R_S A_{V0} C_{DGt}} \quad f_{nd} = -\frac{g_m}{2\pi C_L}$$

AB类放大器



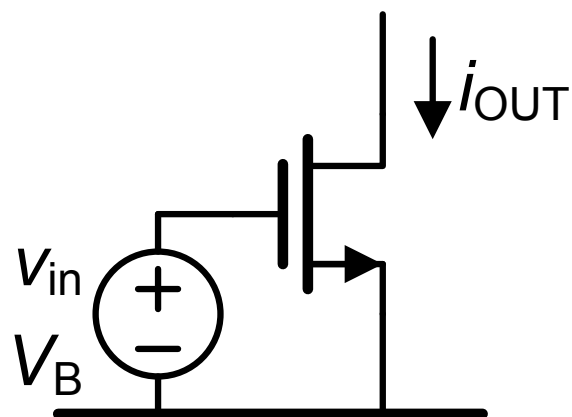
$$i_L = i_{C2} - i_{C1}$$

目录

- 共源放大器
- 源极跟随器
- 共栅放大器

单晶体管级

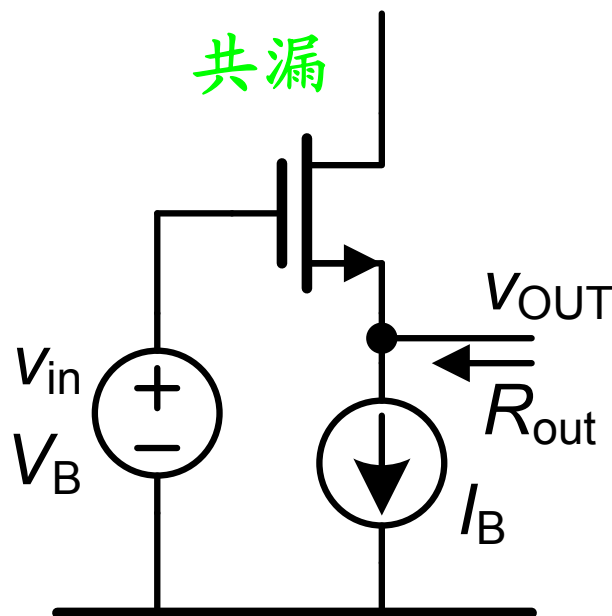
共源



$$i_{out} = g_m v_{in}$$

共源放大器

共漏

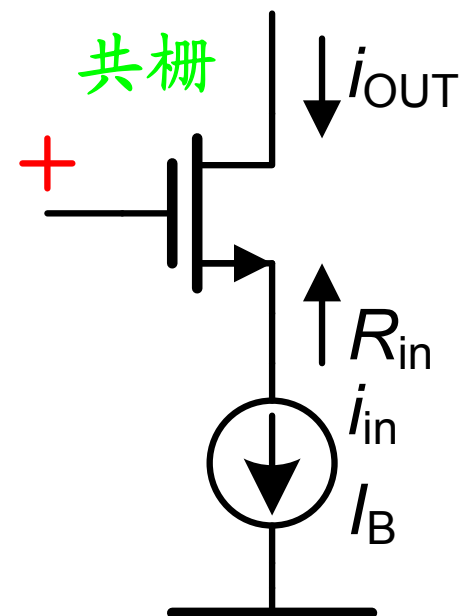


$$V_{out} = V_{in}$$

$$R_{out} \approx 1/g_m$$

源极跟随器
电压缓冲器

共栅



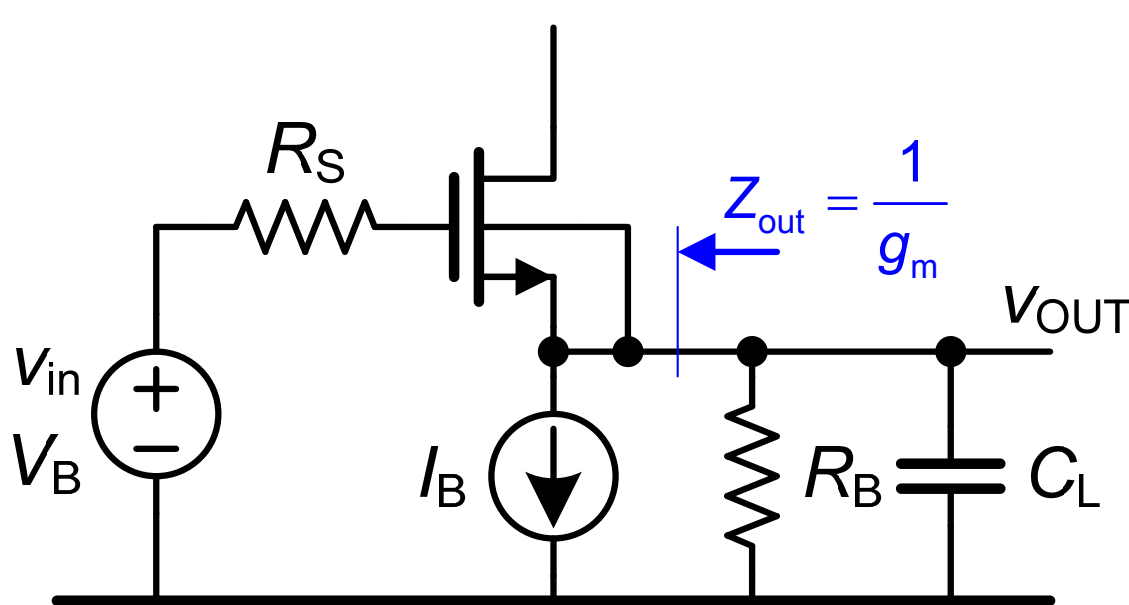
$$i_{out} = i_{in}$$

$$R_{in} \approx 1/g_m$$

共栅放大器
电流缓冲器

源极跟随器： $V_{BS}=0$ V (p阱)

$$\boxed{V_{BS} = 0 \text{ V}} \quad V_T = V_{T0} + \gamma(\sqrt{|2\phi_F|} - 0 - \sqrt{|2\phi_F|}) \Rightarrow V_T = V_{T0}$$



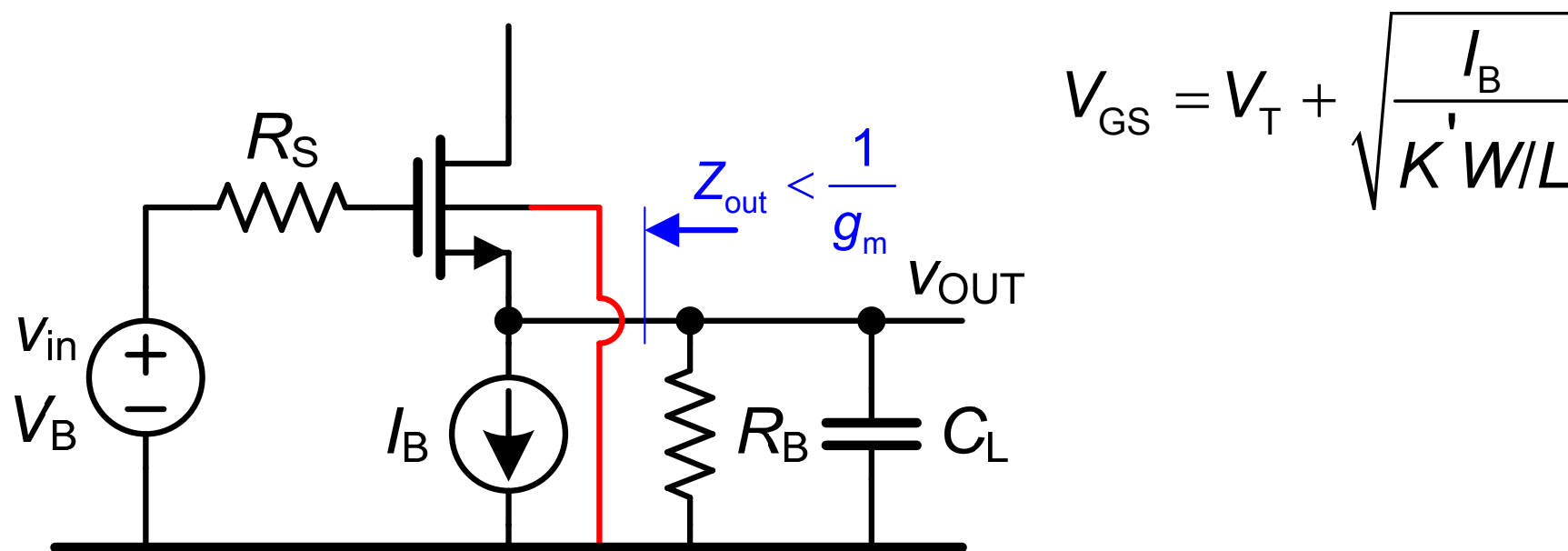
$$V_{GS} = V_{T0} + \sqrt{\frac{I_B}{K'W/L}}$$

如果 $I_B = ct$ ，则 $V_{GS} = ct$

$$V_{OUT} = V_{IN} - V_{GS} \Rightarrow \Delta V_{OUT} = \Delta V_{IN} \Rightarrow \boxed{A_V = 1}$$

源极跟随器： $V_{BS} \neq 0 \text{ V}$ (n阱)

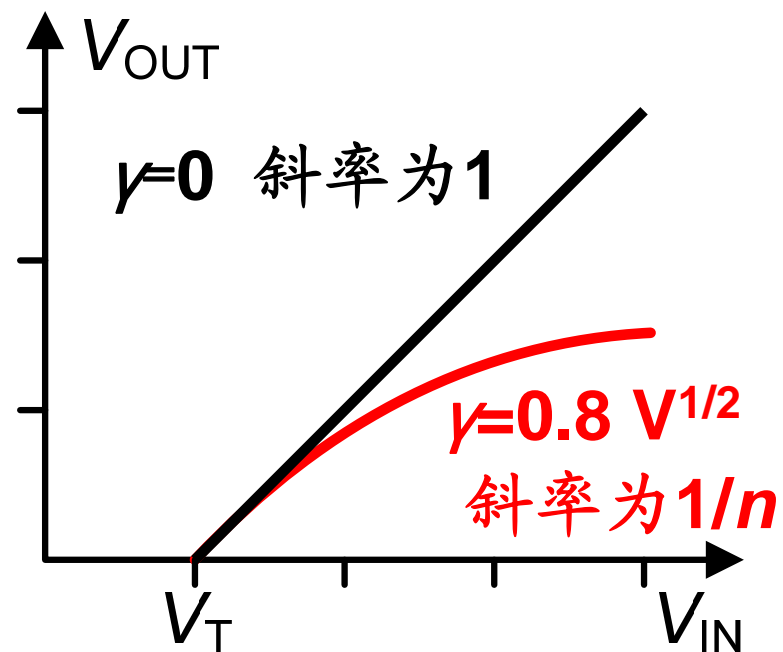
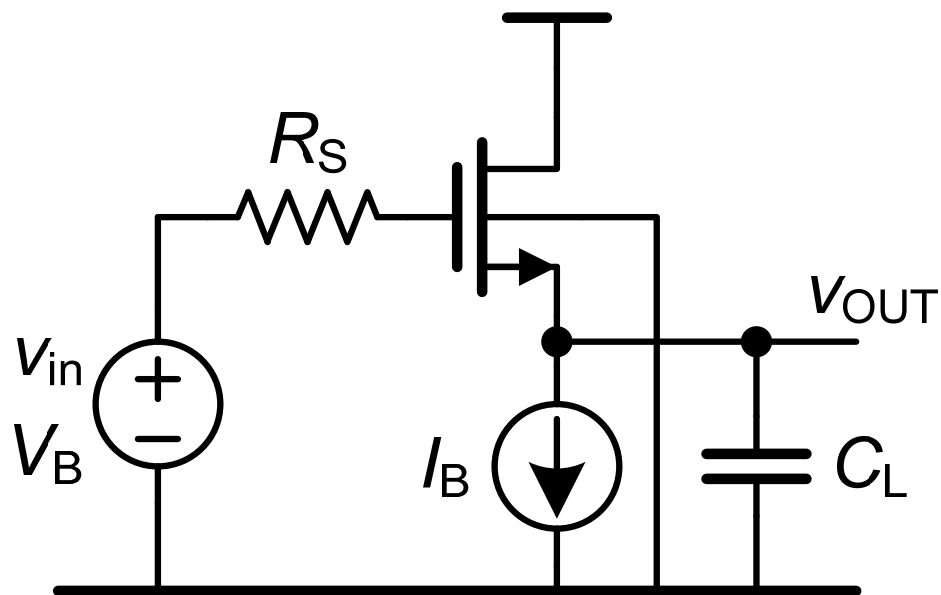
$$\boxed{V_{BS} = -V_{OUT}} \quad V_T = V_{T0} + \gamma(\sqrt{|2\phi_F| + V_{OUT}} - \sqrt{|2\phi_F|})$$



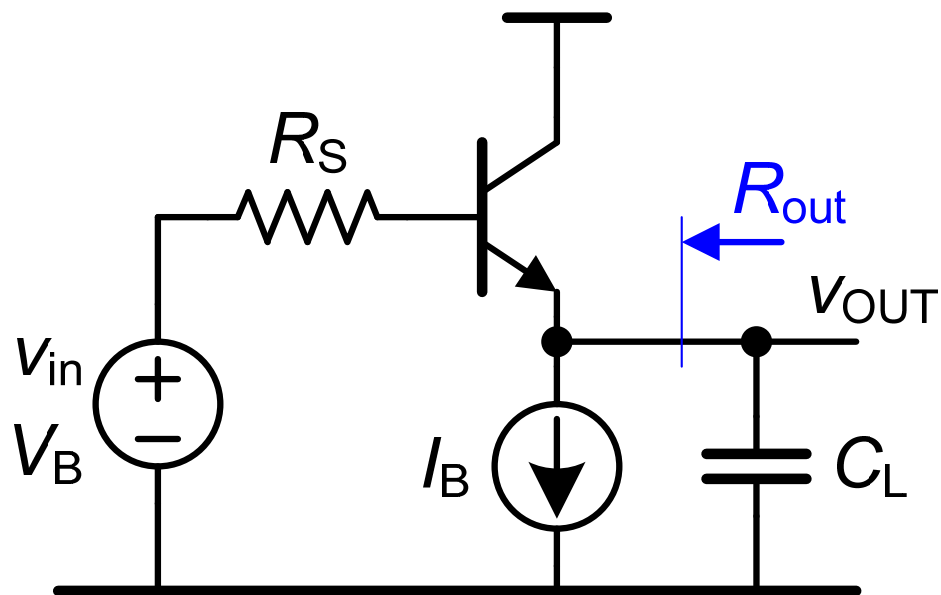
如果 $I_B = ct$, $V_{GS} \neq ct$

$$V_{OUT} = V_{IN} - V_{GS} \Rightarrow \Delta V_{OUT} \neq \Delta V_{IN} \Rightarrow \boxed{A_V = \frac{1}{n}}$$

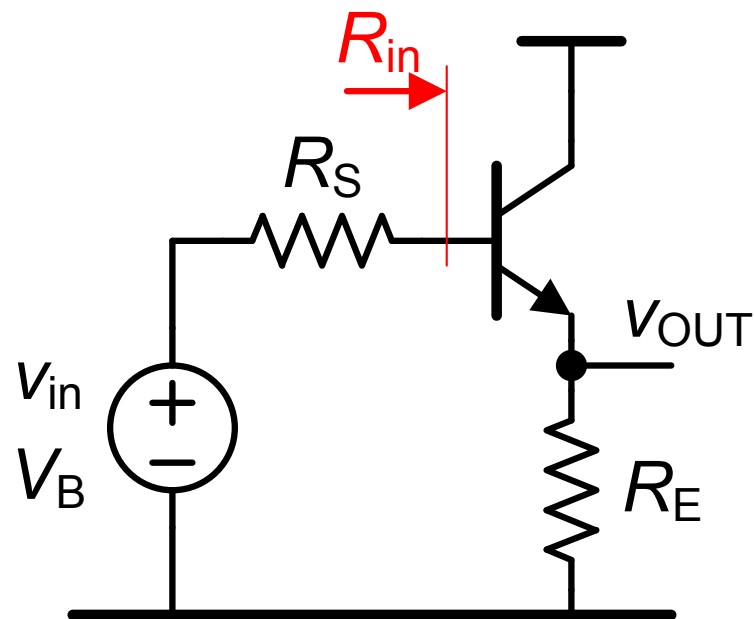
源极跟随器：非线性



射极跟随器



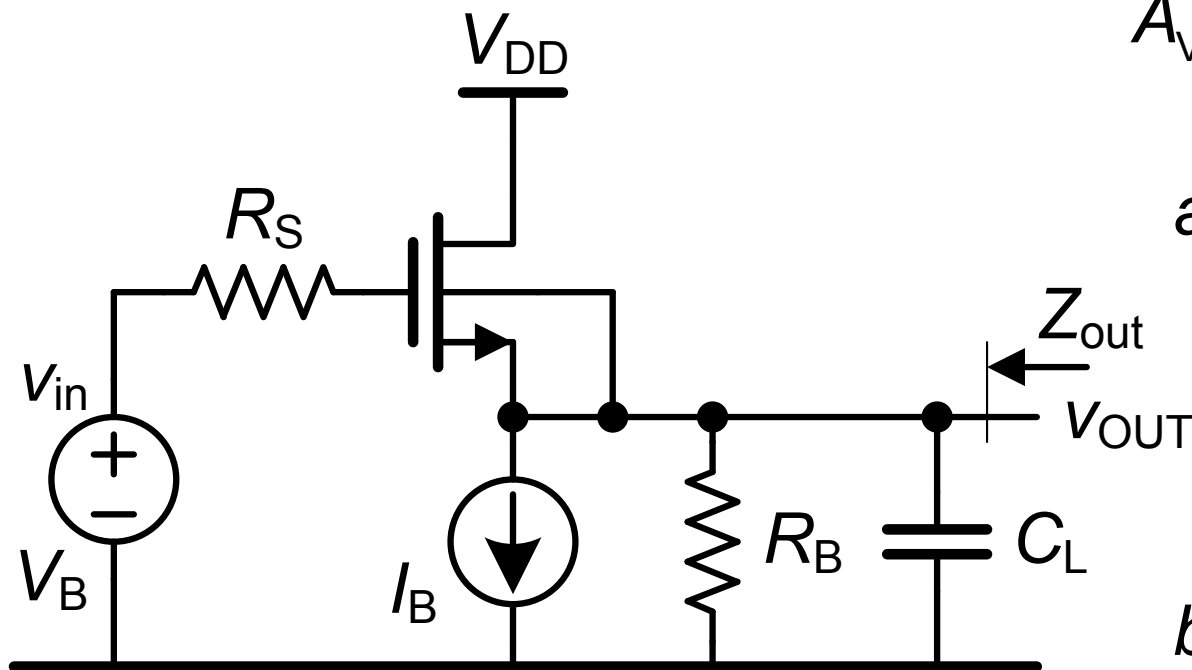
$$A_V = 1 \quad R_{out} = \frac{1}{g_m} + \frac{R_S + r_B}{\beta + 1}$$



$$R_{in} = r_B + r_{\pi} + (\beta + 1)R_E$$

隔离度受限!

接负载电容 C_L 的源极跟随器



$$A_V = \frac{1 + sC_{GS}/g_m}{1 + as + bs^2}$$

$$a = R_S C_{DG} + \frac{C'_{DS}}{g_m} + \frac{C_{GS}}{g_m} \left(1 + \frac{R_S}{r'_{DS}}\right)$$

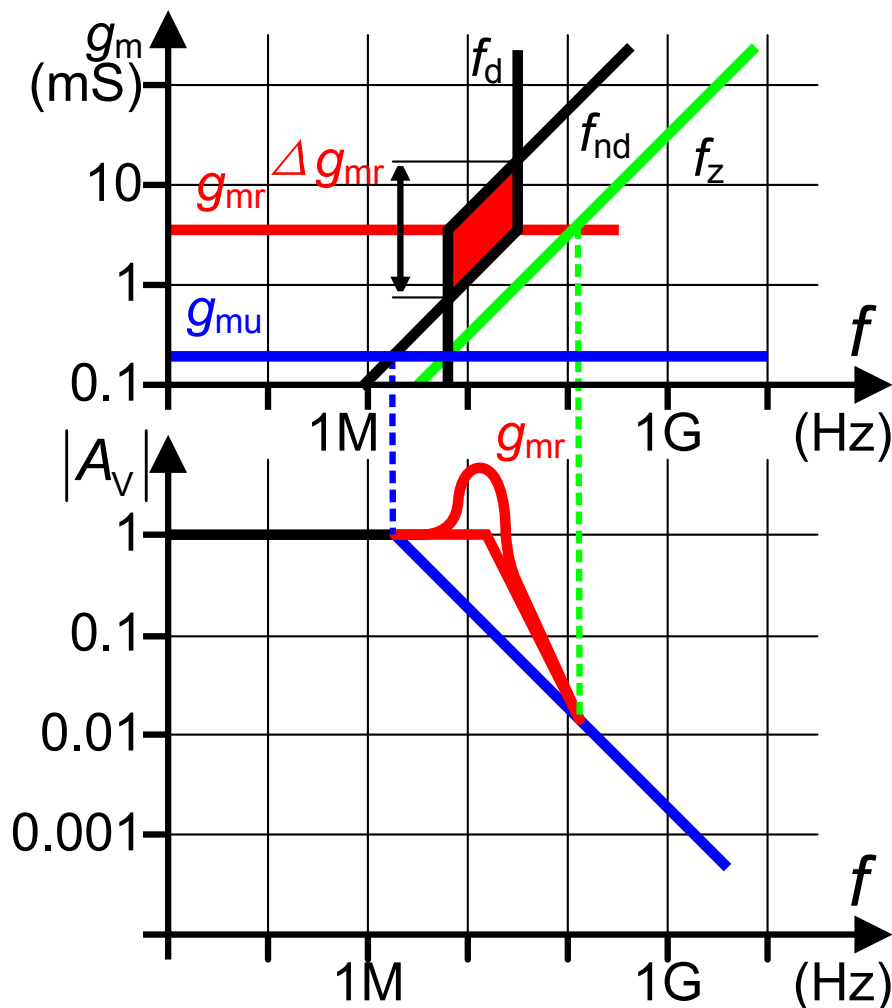
$$b = \frac{R_S C' C'}{g_m}$$

$$r'_{DS} = r_{DS} // R_B$$

$$C'_{DS} = C_L + C_{DS}$$

$$C' C' = C'_{DS} C_{DG} + C'_{DS} C_{GS} + C_{DG} C_{GS}$$

源极跟随器：频响特性随 g_m 的变化



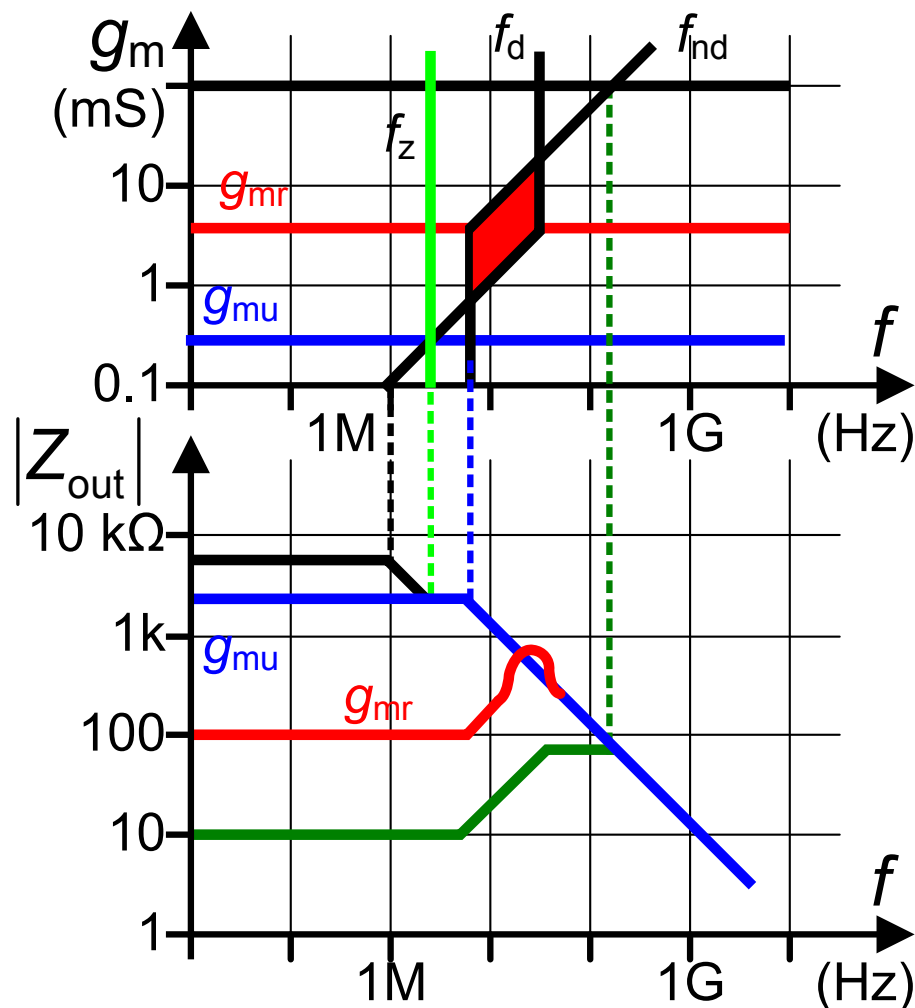
$$g_{mr} = \frac{1}{R_s} \frac{C_L + C_{DS} + C_{GS}}{C_{DG}}$$

$$\Delta g_{mr} = \left(1 + \frac{C_{DGt}}{C_{DG}}\right)^2$$

$$C_{DGt} = \frac{C_{GS} C'_{DS}}{C_{GS} + C'_{DS}}$$

$$g_{mu} \approx \frac{1}{R_s}$$

源极跟随器：输出阻抗随 g_m 的变化



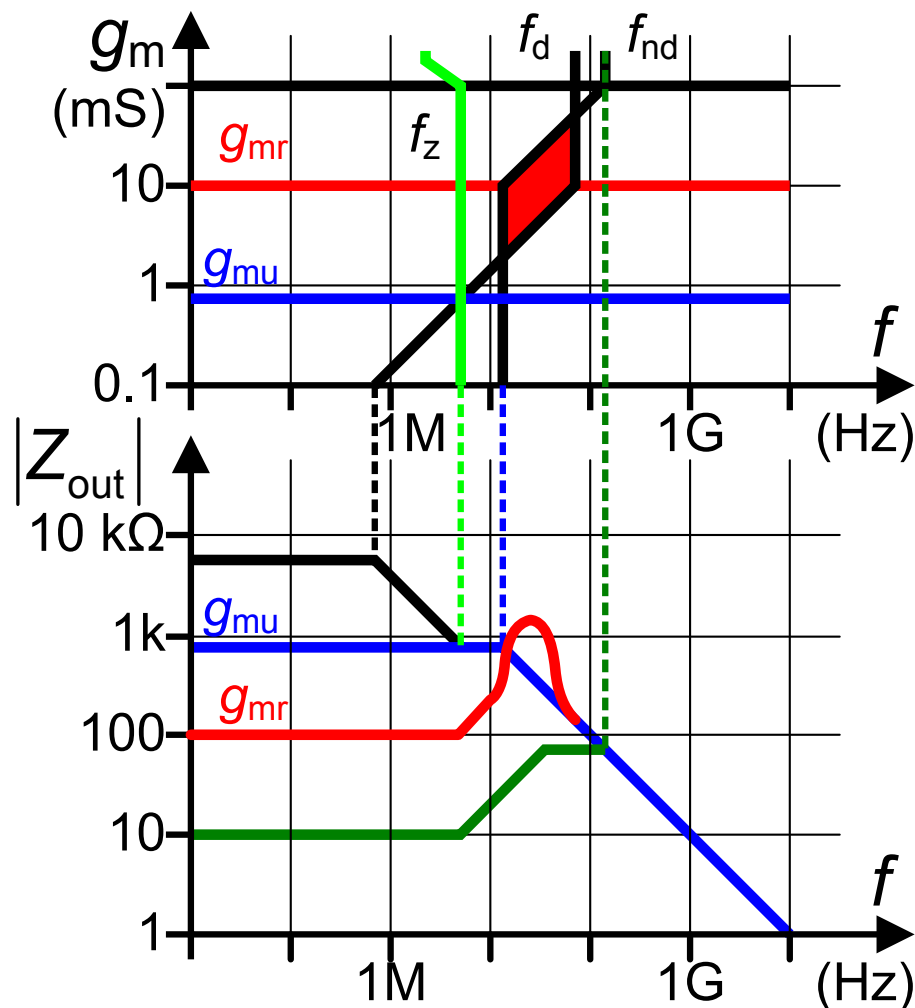
$$g_{mr} = \frac{1}{R_S} \frac{C_{GS} + C'_{DS}}{C_{DG}}$$

$$g_{mu} \approx \frac{1}{R_S} \frac{C_{GS} + C'_{DS}}{C_{DG} + C_{GS}}$$

$$f_z = \frac{1}{2\pi R_S (C_{DG} + C_{GS})}$$

$$f_{d,higm} = \frac{1}{2\pi R_S C_{DG}}$$

射极跟随器：输出阻抗随 g_m 的变化

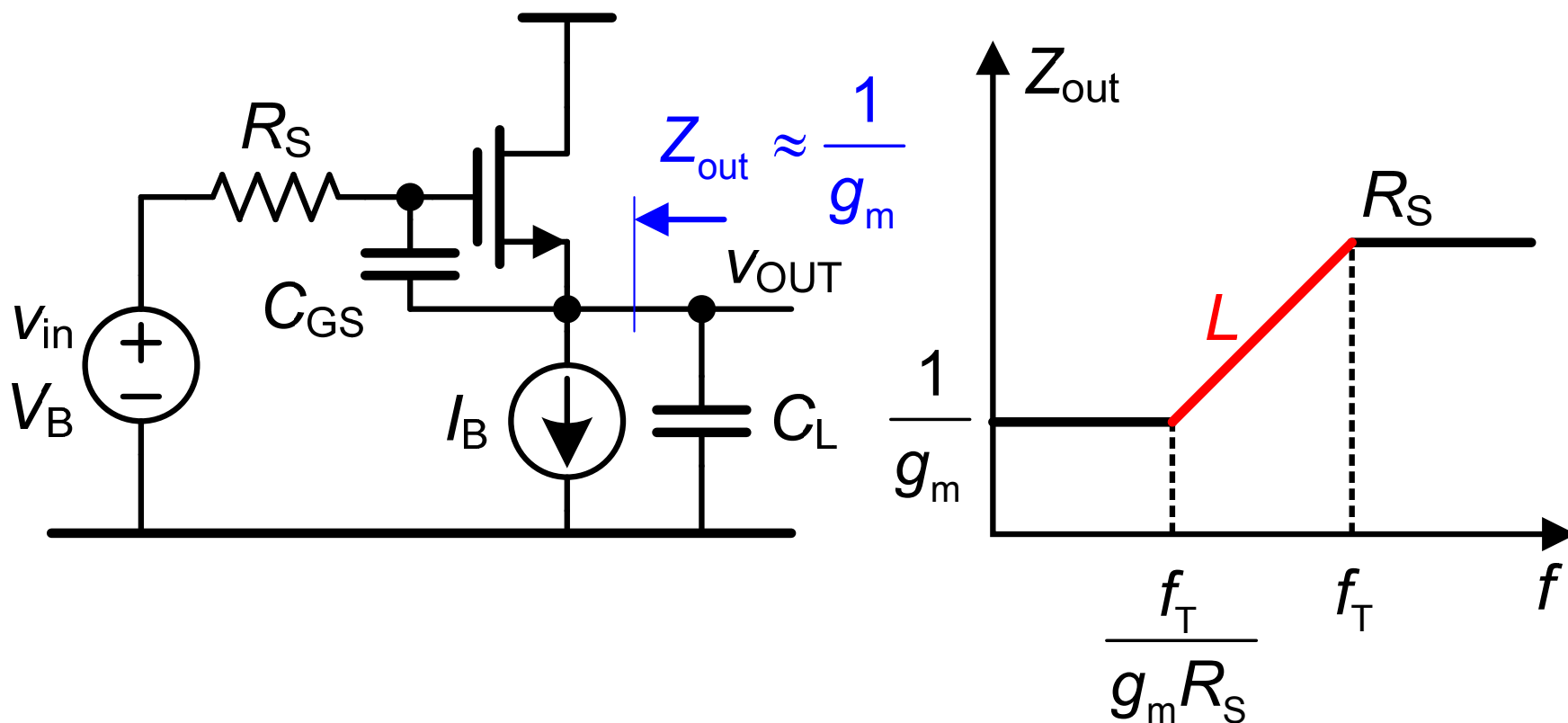


$$g_{mr} = \frac{C_{jE} + C_L}{T_F + R'_S C_\mu}$$

$$g_{mu} \approx \frac{1}{R'_S} \frac{C_{jE} + C_L}{C_{jE} + C_\mu}$$

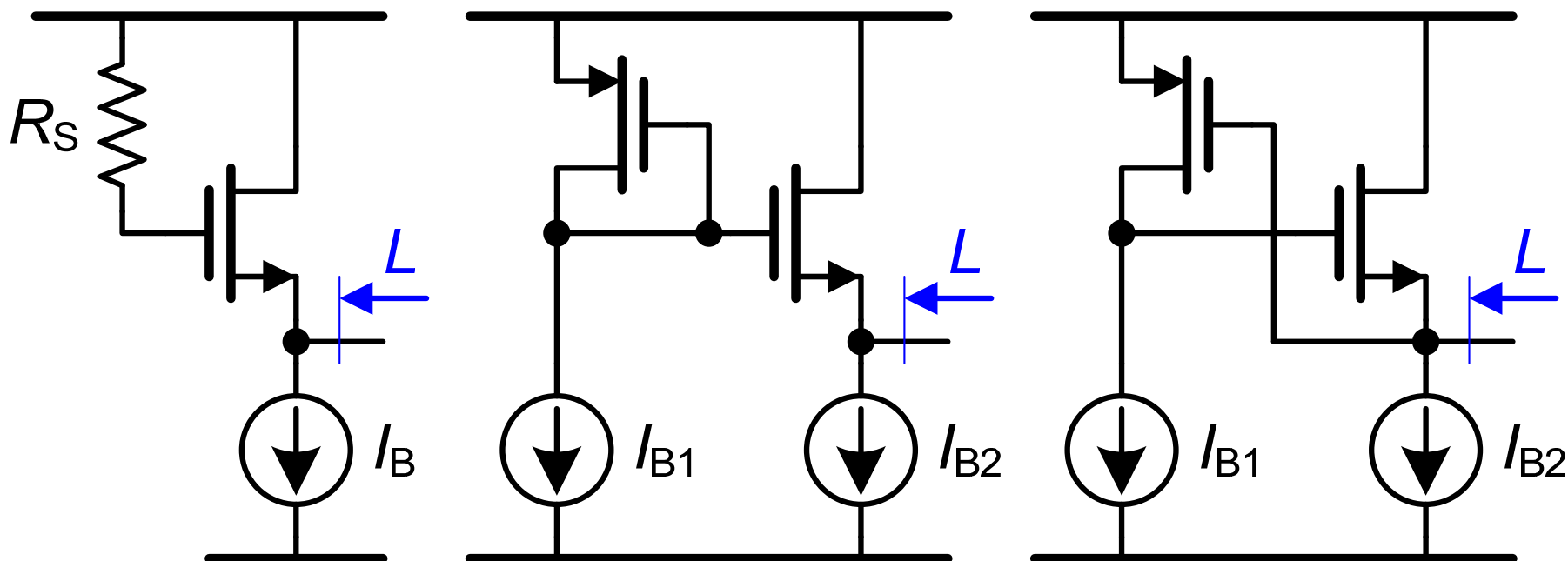
$$f_z = \frac{1}{2\pi(R'_S // r_\pi)(C_\pi + C_\mu)}$$

做为有源电感的源极跟随器 1



$$Z_{out} \approx \frac{1}{g_m} (1 + R_S C_{GS} s) \quad L \approx \frac{R_S}{2\pi f_T} \quad f_T = \frac{g_m}{2\pi C_{GS}}$$

做为有源电感的源极跟随器 2



$$L \approx \frac{R_S}{2\pi f_T}$$

$$V_{DSn} = V_{GSn}$$

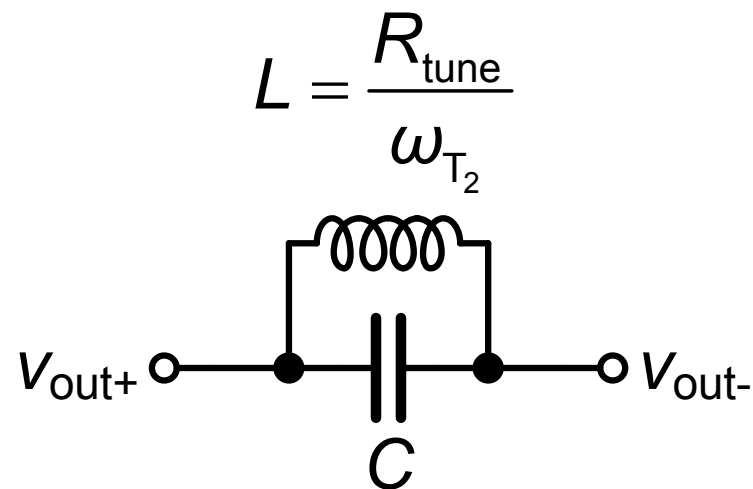
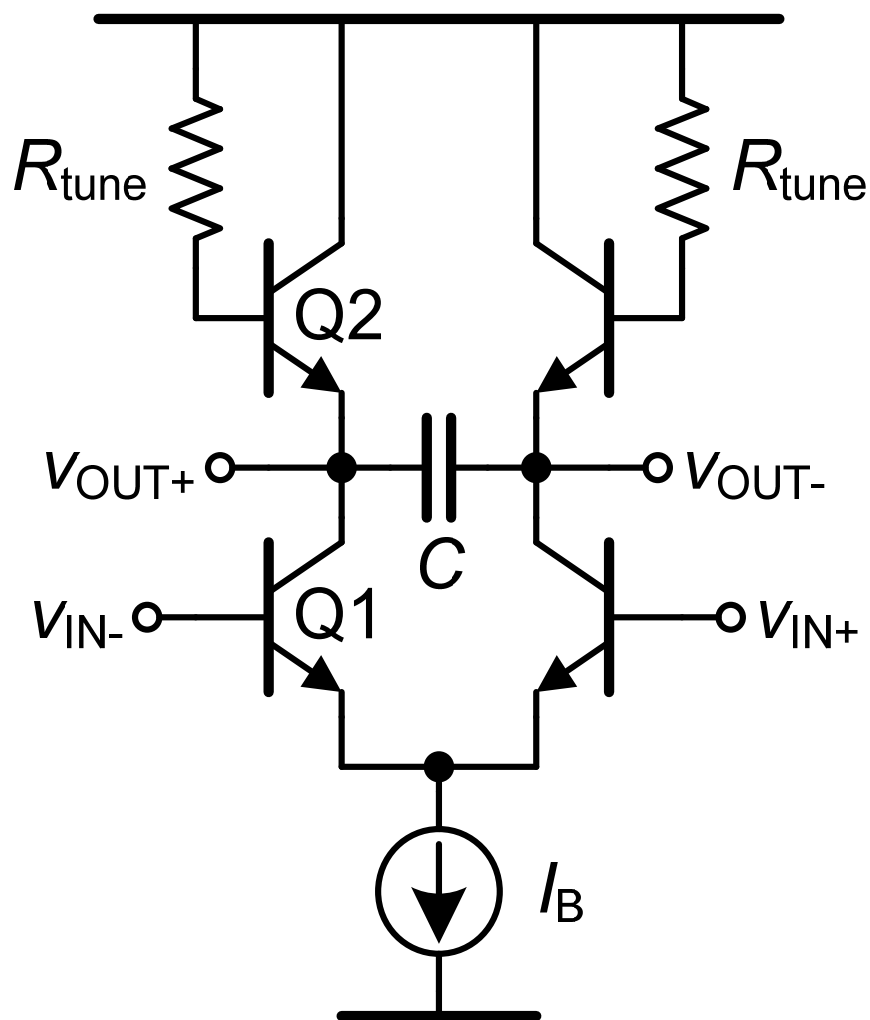
$$L \approx \frac{1/g_{mp}}{2\pi f_{Tn}}$$

$$V_{DSn} = V_{GSn} + V_{GSp}$$

$$L \approx \frac{1/g_{mp}}{2\pi f_{Tn}}$$

$$V_{DSn} = V_{GSp}$$

与电容并联的两端悬浮电感



$$A_v = \frac{g_{m1}}{g_{m2}}$$

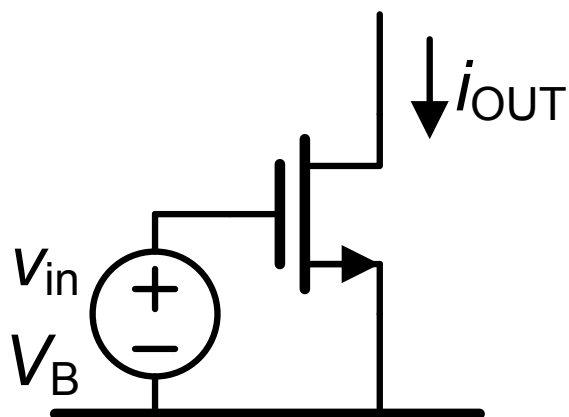
抬升高频特性！

目录

- 共源放大器
- 源极跟随器
- 共栅放大器

单晶体管级

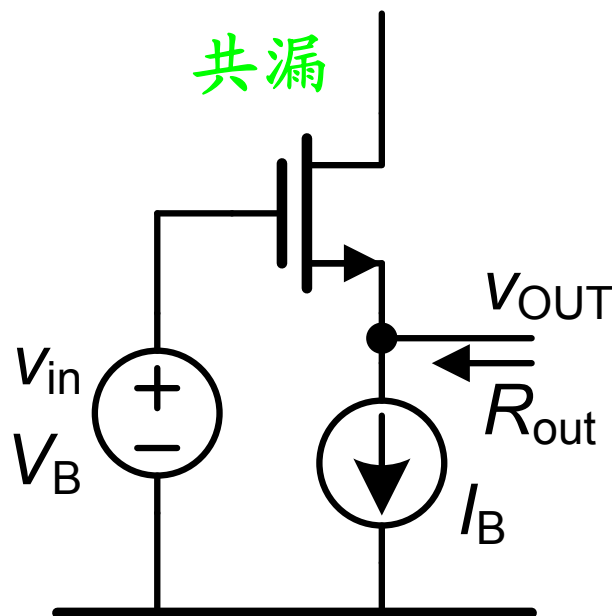
共源



$$i_{out} = g_m v_{in}$$

共源放大器

共漏

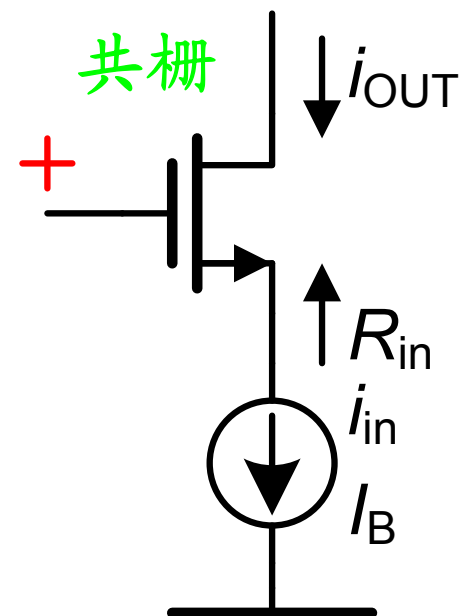


$$V_{out} = V_{in}$$

$$R_{out} \approx 1/g_m$$

源极跟随器
电压缓冲器

共栅

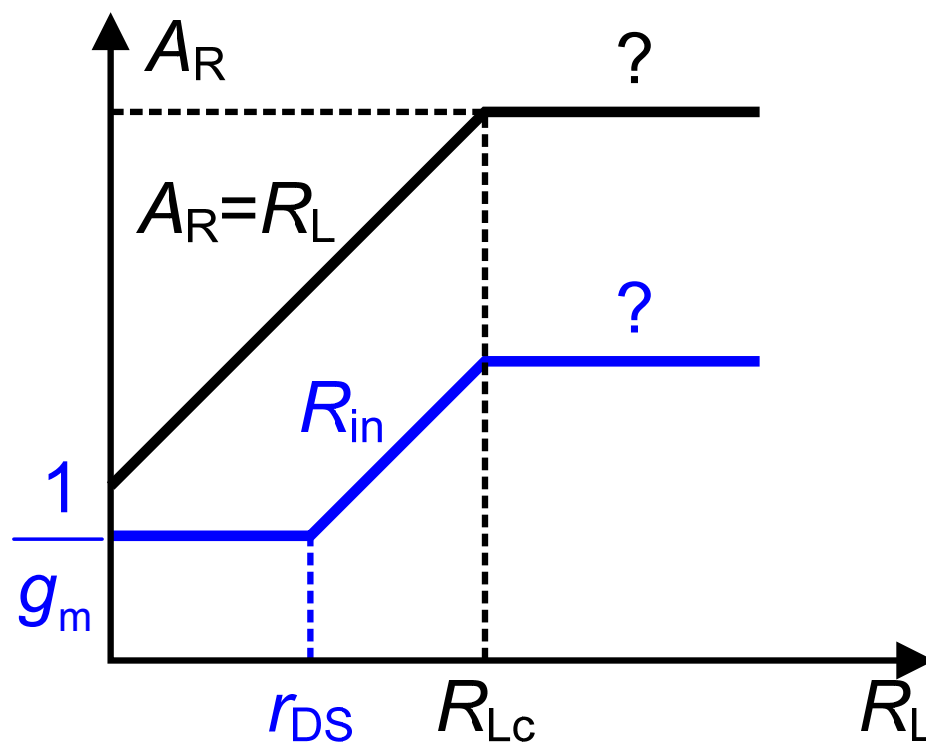
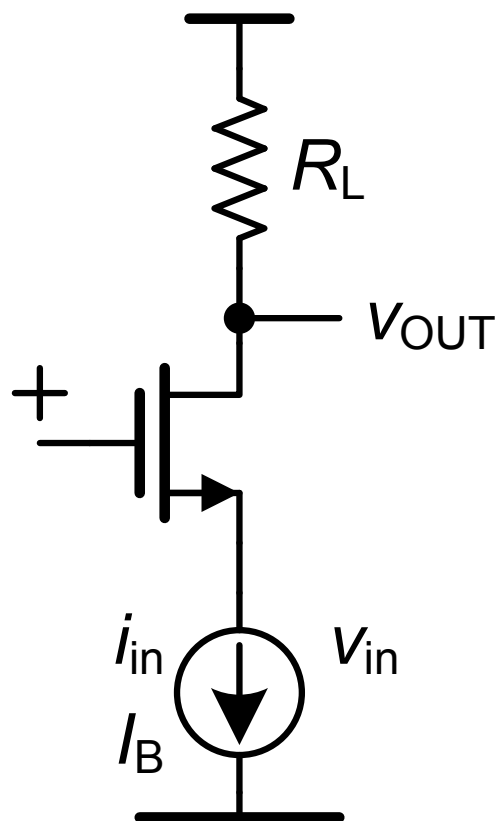


$$i_{out} = i_{in}$$

$$R_{in} \approx 1/g_m$$

共栅放大器
电流缓冲器

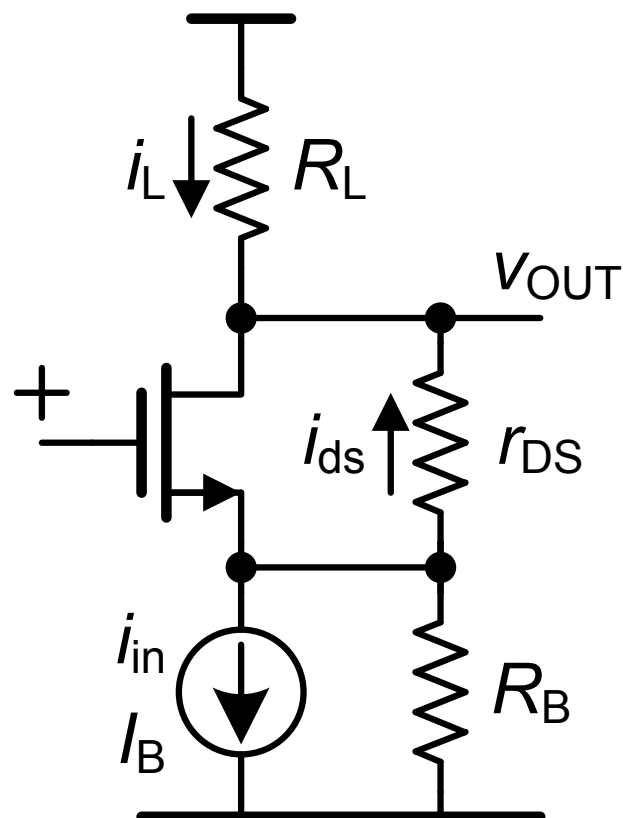
接电阻负载的共栅放大器



$$A_R = \frac{V_{out}}{i_{in}}$$

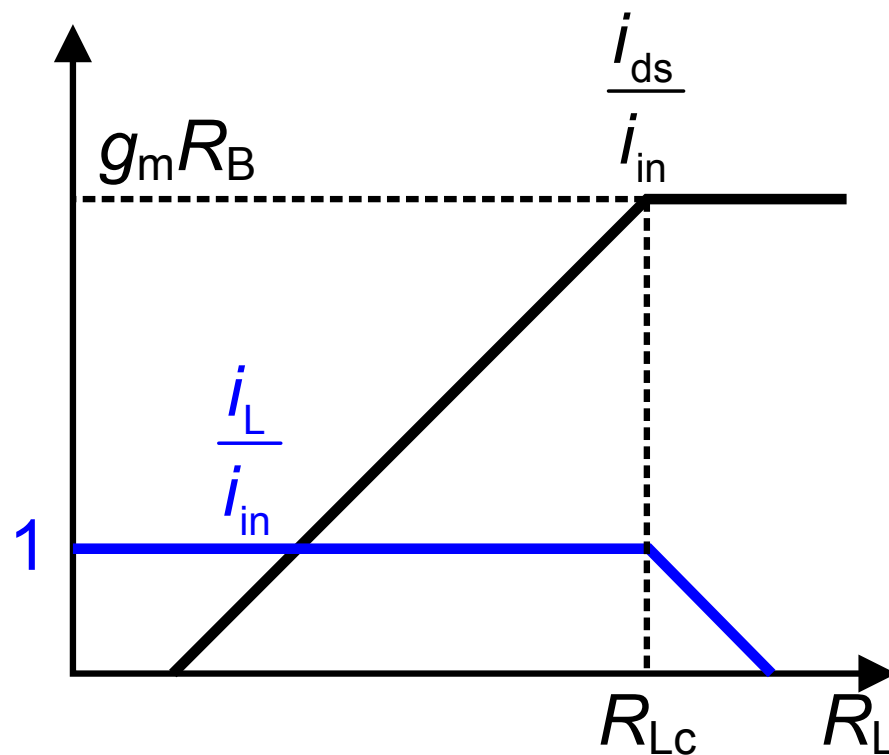
$$R_{in} = \frac{V_{in}}{-i_{in}}$$

共栅放大器：电流增益

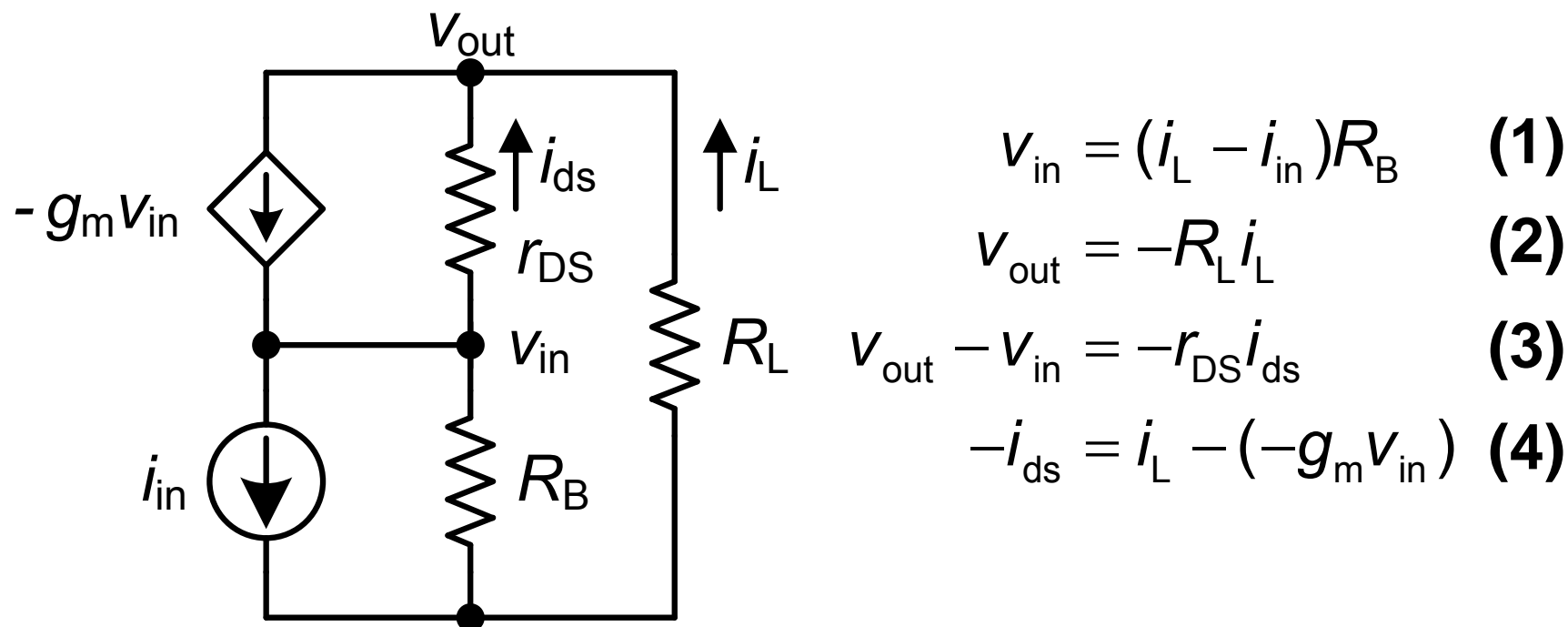


$$\frac{i_{ds}}{i_{in}} = \frac{R_B(g_m R_L - 1)}{R_L + r_{DS} + R_B(1 + g_m r_{DS})}$$

$$\frac{i_L}{i_{in}} = \frac{R_B(1 + g_m r_{DS})}{R_L + r_{DS} + R_B(1 + g_m r_{DS})}$$

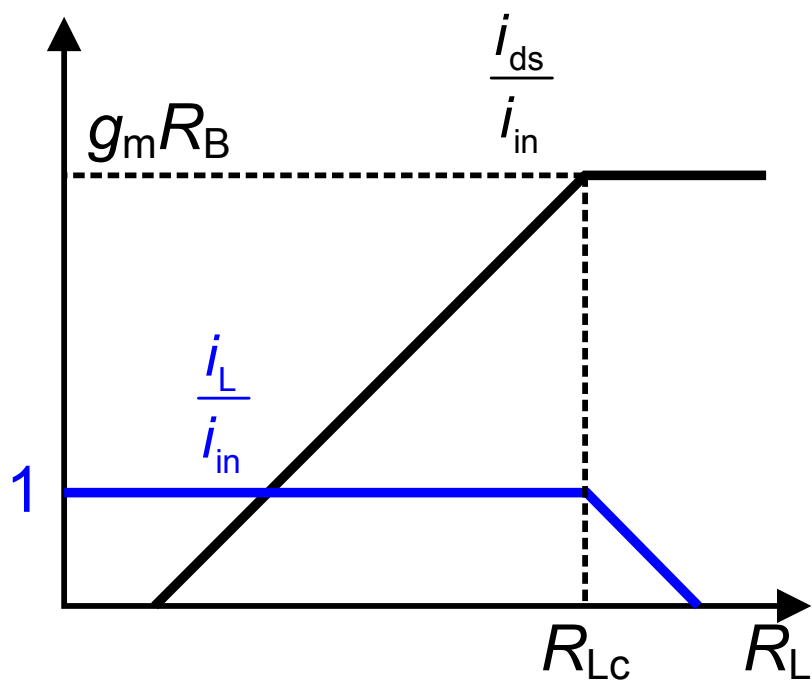


$$R_{Lc} = g_{m1} r_{DS} R_B$$



将(1)代入(4)得 i_{ds} ，再将 i_{ds} 、(1)、(2)代入(3)得：

$$-R_L i_L - (i_L - i_{in})R_B = r_{DS} [i_L - (-g_m (i_L - i_{in})R_B)]$$

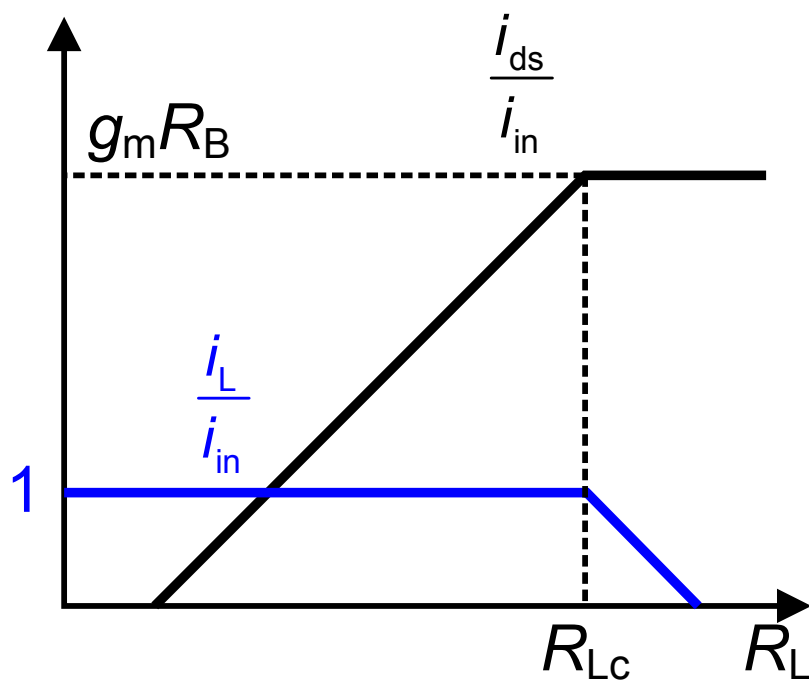


$$\frac{i_L}{i_{in}} = \frac{R_B (1 + g_m r_{DS})}{R_L + r_{DS} + R_B (1 + g_m r_{DS})}$$

$$R_L \ll g_m r_{DS} R_B \quad \frac{i_L}{i_{in}} = 1$$

$$R_L \gg g_m r_{DS} R_B \quad \frac{i_L}{i_{in}} = \frac{g_m r_{DS} R_B}{R_L}$$

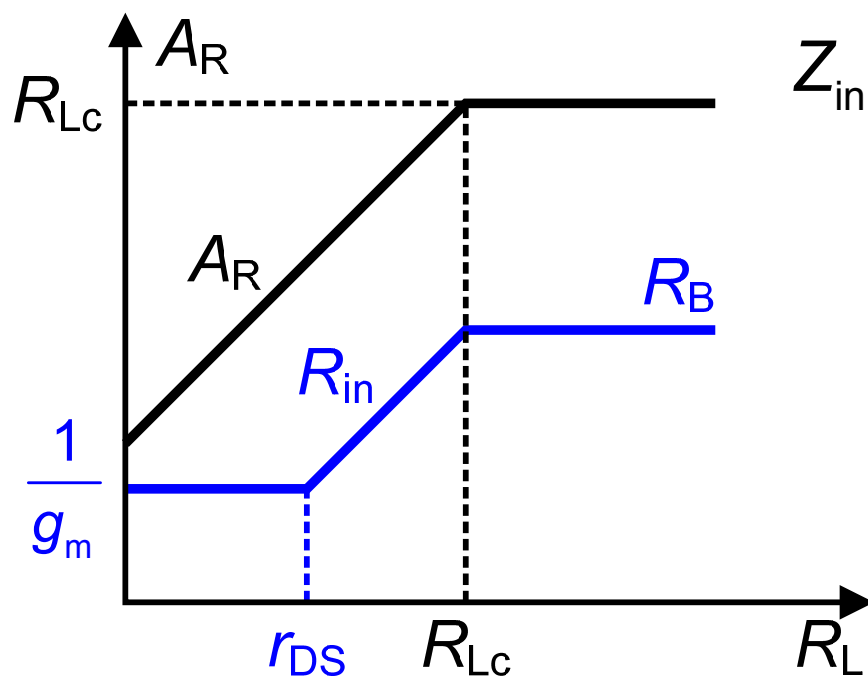
$$\begin{aligned} -i_{ds} &= i_L - (-g_m v_{in}) = i_L + g_m (i_L - i_{in}) R_B \\ &= (1 + g_m R_B) i_L - g_m R_B i_{in} \end{aligned}$$



$$\frac{i_{ds}}{i_{in}} = \frac{R_B (g_m R_L - 1)}{R_L + r_{DS} + R_B (1 + g_m r_{DS})}$$

$$R_L \ll g_m r_{DS} R_B \quad \frac{i_{ds}}{i_{in}} = \frac{R_L}{r_{DS}}$$

$$R_L \gg g_m r_{DS} R_B \quad \frac{i_{ds}}{i_{in}} = g_m R_B$$



$$v_{in} = (i_L - i_{in})R_B$$

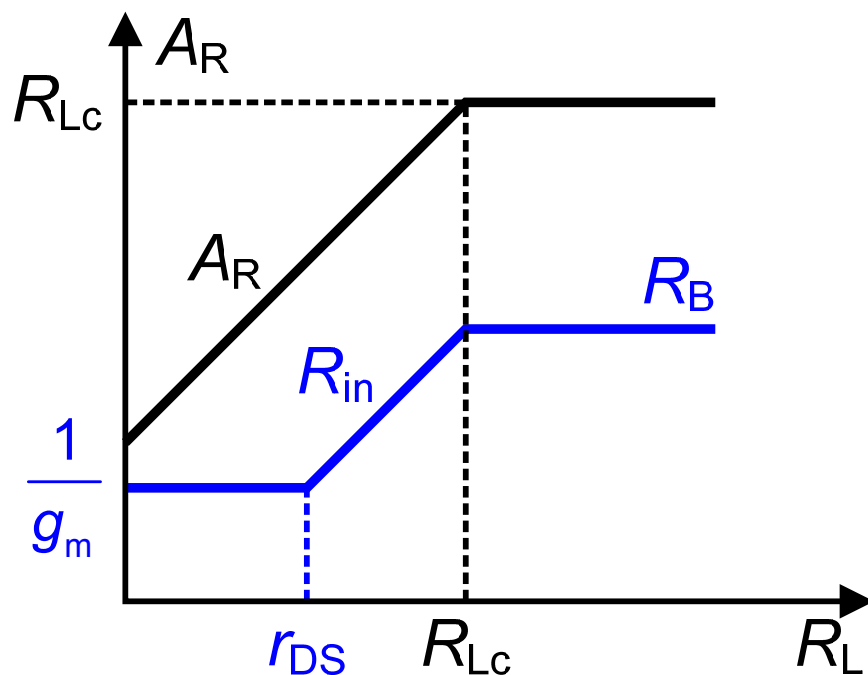
$$Z_{in} = \frac{v_{in}}{-i_{in}} = \frac{R_B(R_L + r_{DS})}{R_L + r_{DS} + R_B(1 + g_m r_{DS})}$$

$$R_L \ll r_{DS} \quad Z_{in} = \frac{1}{g_m}$$

$$r_{DS} < R_L < g_m r_{DS} R_B \quad Z_{in} = \frac{R_L}{g_m r_{DS}}$$

$$R_L \gg g_m r_{DS} R_B \quad Z_{in} = R_B$$

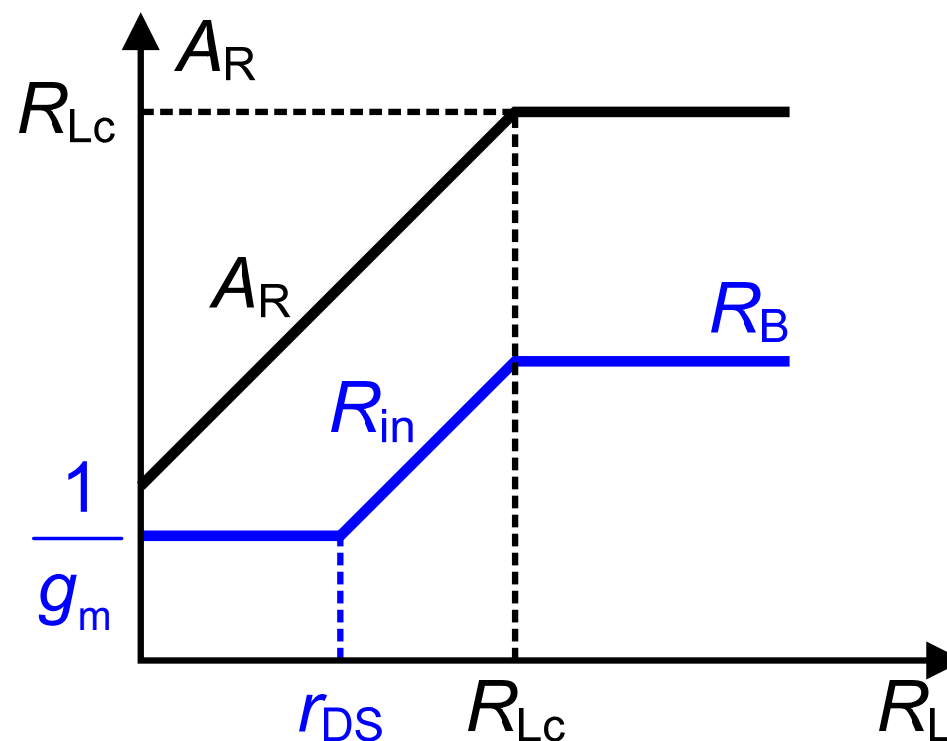
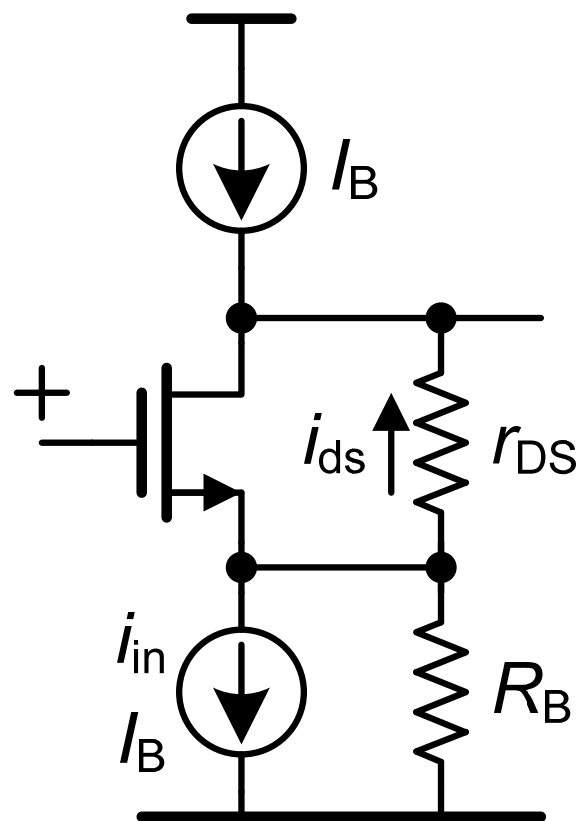
$$A_R = \frac{V_{out}}{i_{in}} = -\frac{R_L i_L}{i_{in}} = -R_L \frac{R_B(1 + g_m r_{DS})}{R_L + r_{DS} + R_B(1 + g_m r_{DS})}$$



$$R_L \ll g_m r_{DS} R_B \quad |A_R| = R_L$$

$$R_L \gg g_m r_{DS} R_B \quad |A_R| = g_m r_{DS} R_B = R_{Lc}$$

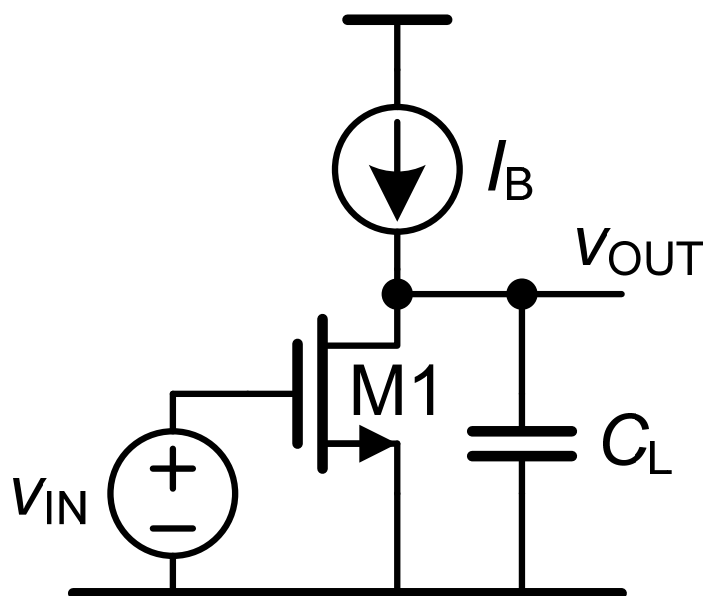
共栅放大器：跨阻增益与输入阻抗



$$A_R = \frac{V_{out}}{i_{in}} \quad R_{in} = \frac{V_{in}}{-i_{in}}$$

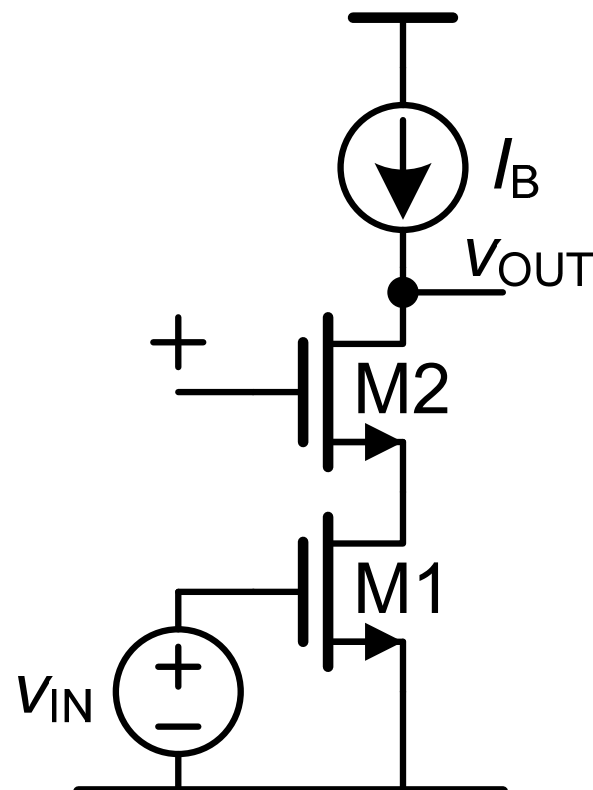
$$R_{Lc} = g_m r_{DS} R_B \approx 100 R_B$$

共源共栅与单管共源放大器 1



$$A_V = (g_m r_{DS})_1$$

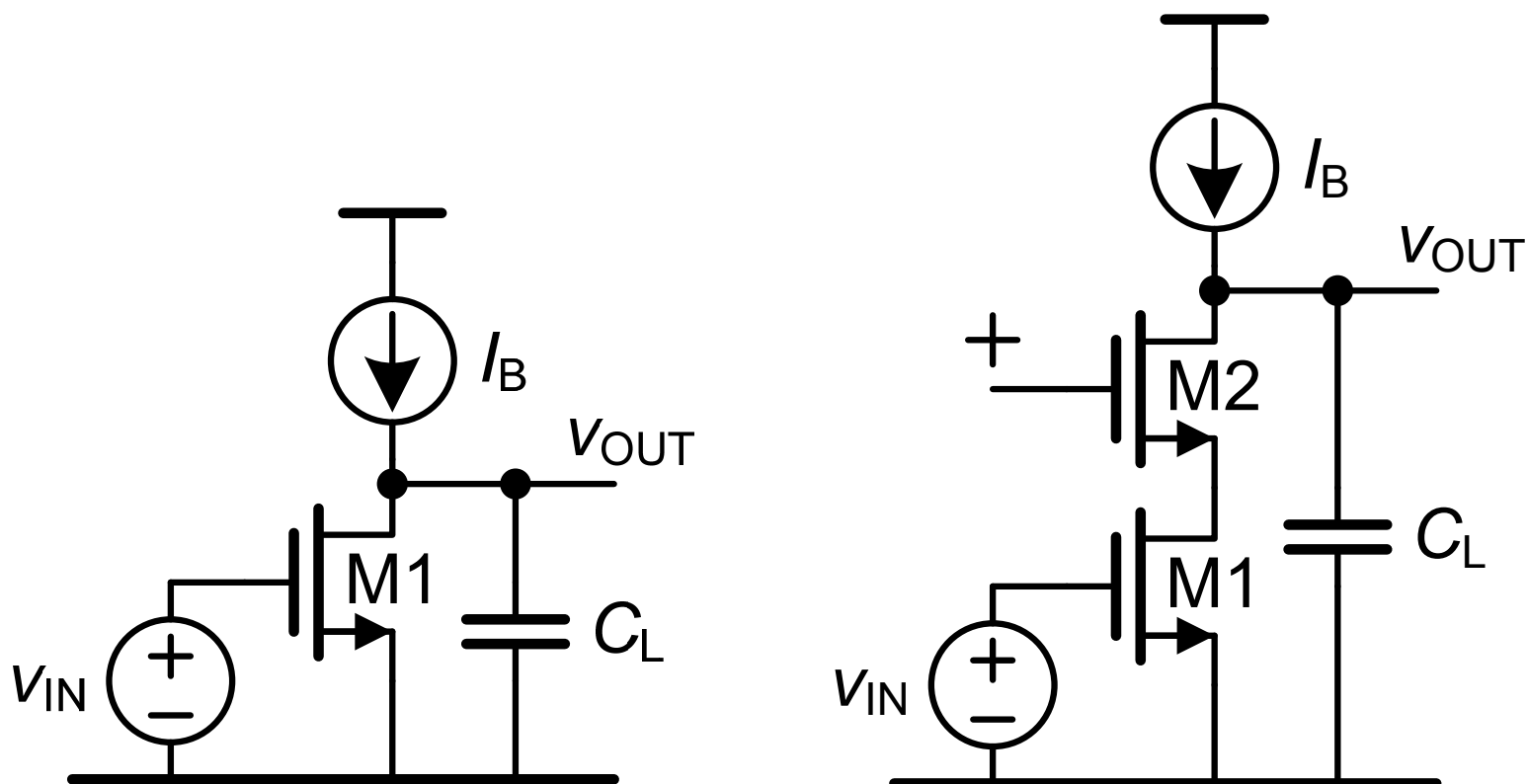
$$R_{out} = r_{DS1}$$



$$A_V = (g_m r_{DS})_1 (g_m r_{DS})_2$$

$$R_{out} = r_{DS1} (g_m r_{DS})_2$$

共源共栅与单管共源放大器 2

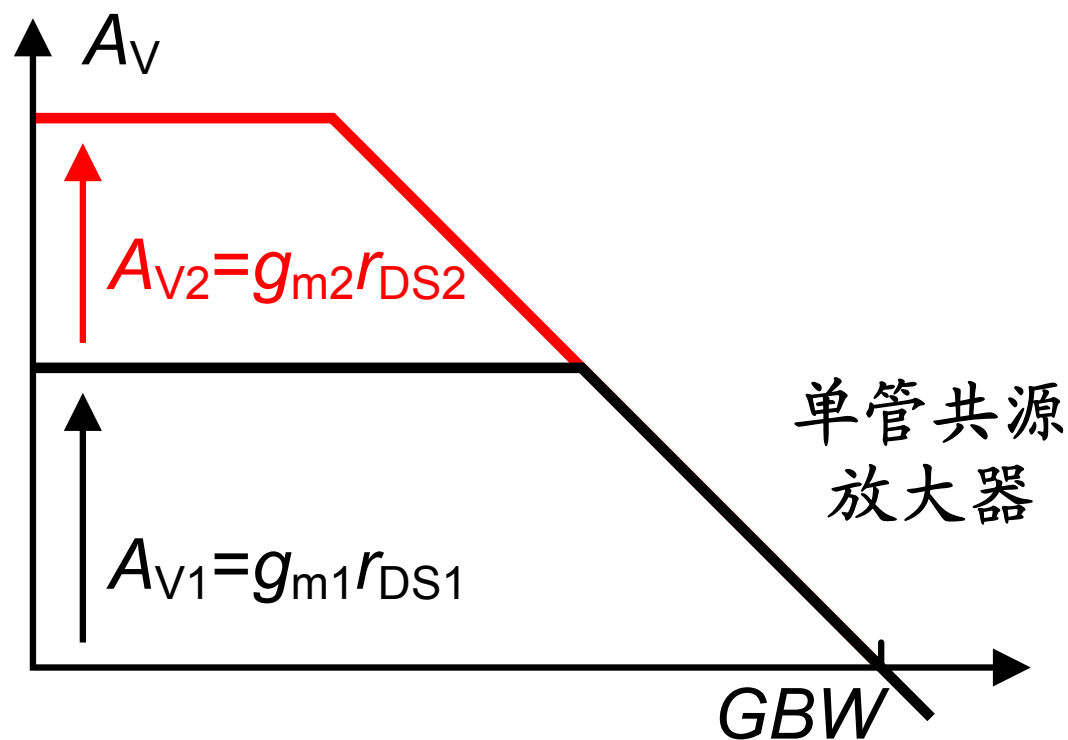
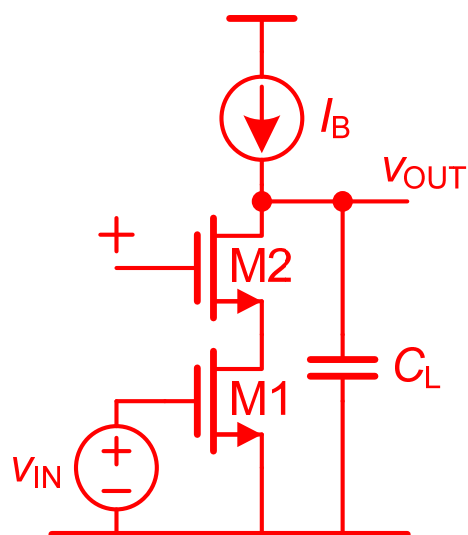
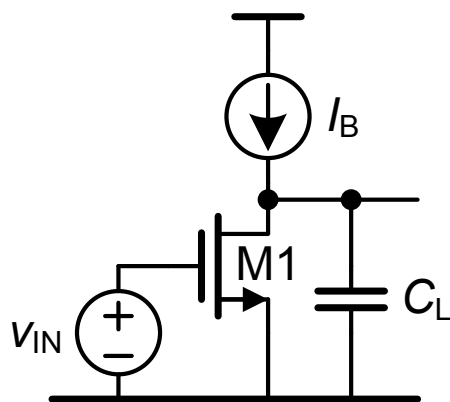


$$BW = \frac{1}{2\pi R_{out} C_L}$$

$$GBW = \frac{g_{m1}}{2\pi C_L}$$

适用于两种结构!

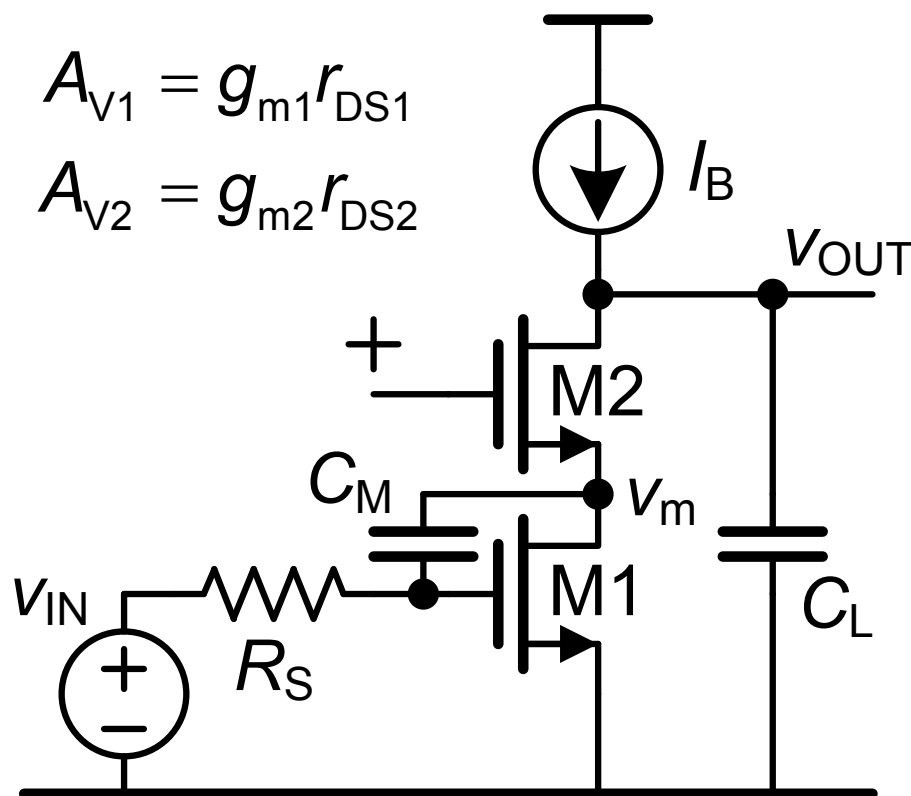
共源共栅与单管共源放大器 3



共源共栅：
低频时具有高增益

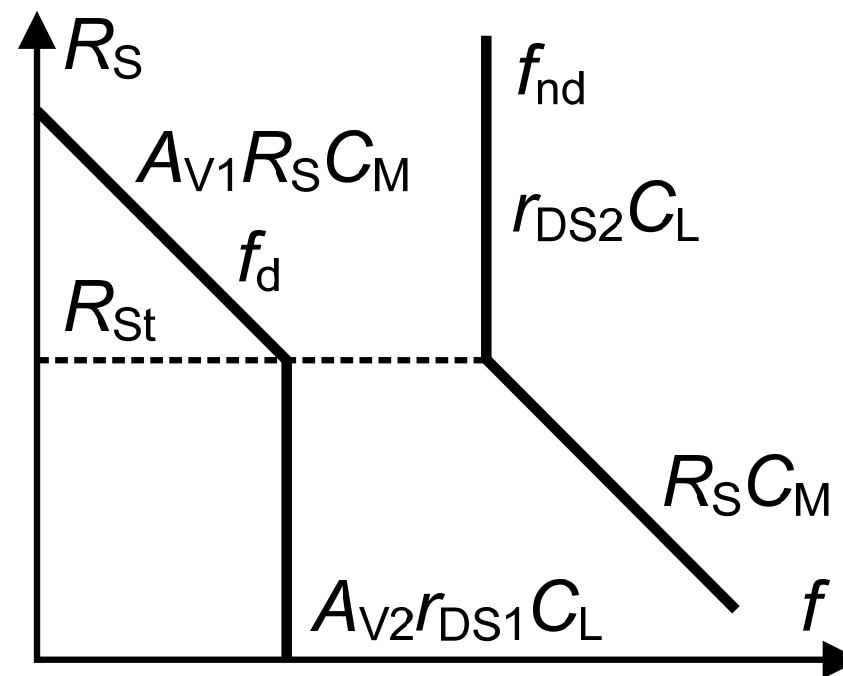
$$GBW = \frac{g_{m1}}{2\pi C_L}$$

共源共栅的密勒效应？

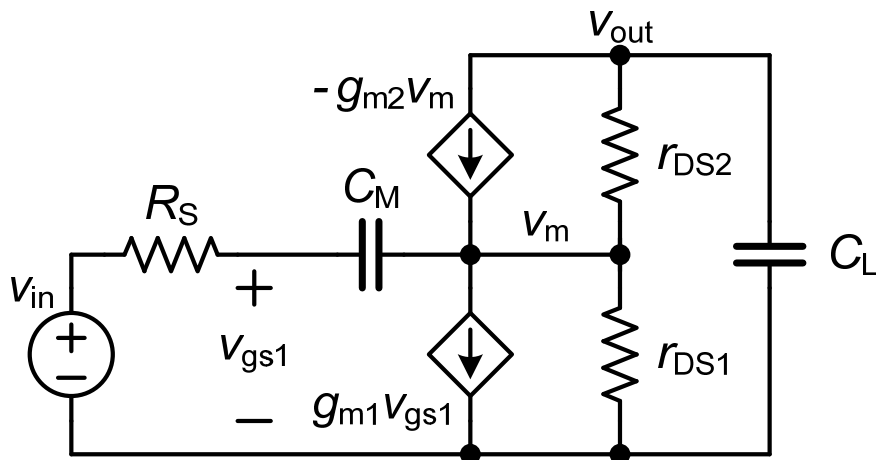


$$A_{V1} = g_{m1} r_{DS1}$$

$$A_{V2} = g_{m2} r_{DS2}$$



$$GBW = \frac{g_{m1}}{2\pi C_L} \quad \text{如果 } R_S < R_{St} = r_{DS2} \frac{C_L}{C_M} \frac{g_{m2}}{g_{m1}}, \text{ 没有密勒效应!}$$



$$\frac{V_{out} - V_m}{r_{DS2}} + (-g_{m2} v_m) = -\frac{V_{out}}{\frac{1}{sC_L}} \quad (1)$$

$$\left(\frac{V_m - V_{in}}{\frac{1}{R_S + \frac{1}{sC_M}}} + v_{in} \right) g_{m1} + \frac{V_m}{r_{DS1}} + \frac{V_m - V_{in}}{\frac{1}{R_S + \frac{1}{sC_M}}} = -\frac{V_{out}}{\frac{1}{sC_L}} \quad (2)$$

将(1) 求 v_m 代入(2)得:

$$A_v = \frac{v_{out}}{v_{in}} = - \frac{g_{m1} r_{DS1} (1 + g_{m2} r_{DS2}) (1 - s C_M / g_{m1})}{1 + as + bs^2}$$

$$a = [r_{DS2} + (1 + g_{m2} r_{DS2}) r_{DS1}] C_L + [r_{DS1} + (1 + g_{m1} r_{DS1}) R_S] C_M$$

$$b = \{r_{DS1} r_{DS2} + R_S [(1 + g_{m1} r_{DS1}) r_{DS2} + (1 + g_{m2} r_{DS2}) r_{DS1}]\} C_L C_M$$

$$A_{V2}r_{DS1}C_L = A_{V1}R_{St}C_M$$

$$\Rightarrow R_{St} = r_{DS2} \frac{C_L}{C_M} \frac{g_{m2}}{g_{m1}}$$

$$f_z = \frac{C_M}{2\pi g_{m1}}$$

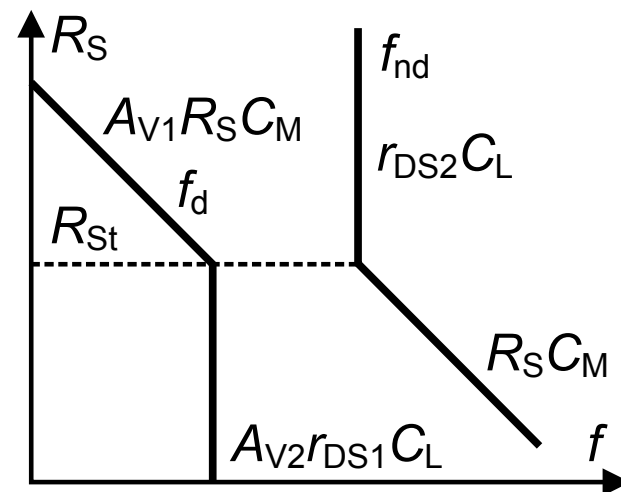
$$\text{当 } R_S \text{ 较小时 } f_d = -\frac{1}{2\pi A_{V2}r_{DS1}C_L}$$

$$\text{当 } R_S \text{ 较大时 } f_d = -\frac{1}{2\pi A_{V1}R_S C_M}$$

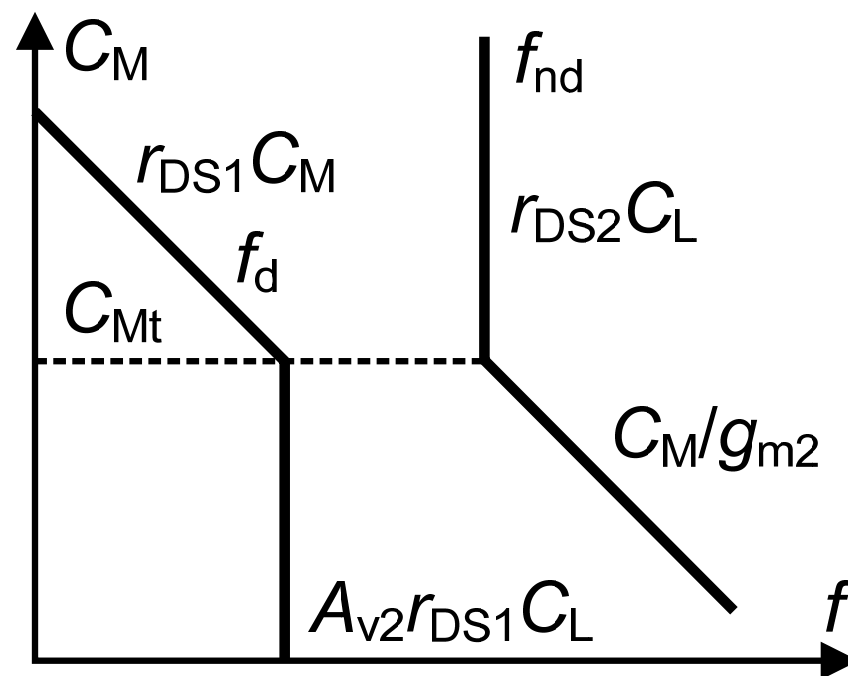
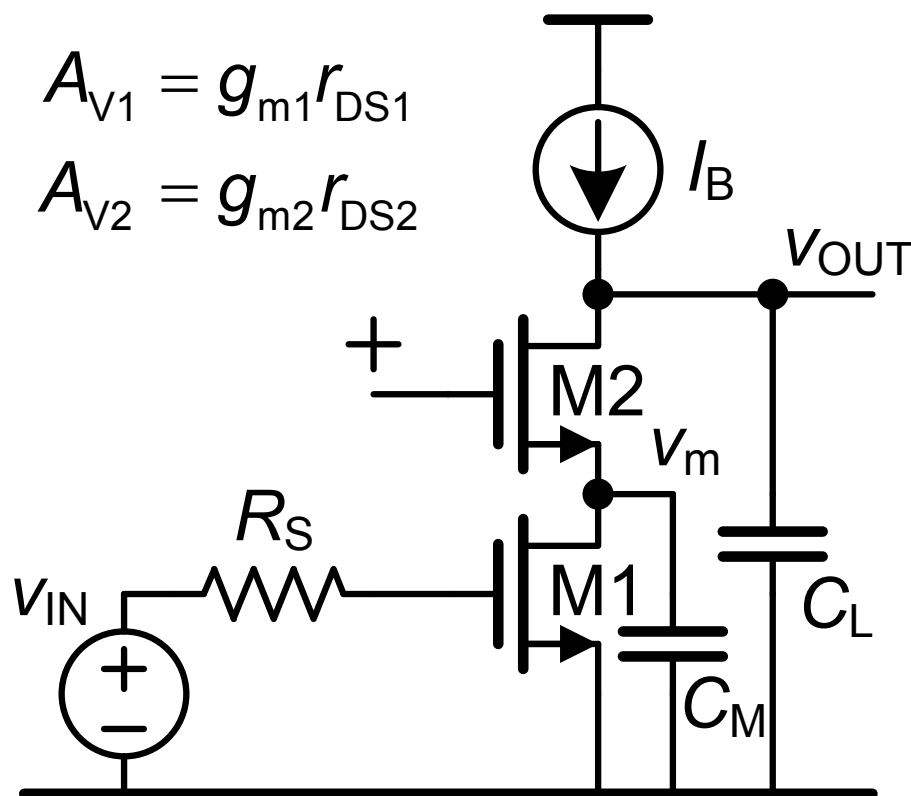
密勒效应

$$f_{nd} = -\frac{1}{2\pi r_{DS2}C_L}$$

$$f_{nd} = -\frac{1}{2\pi R_S C_M} \quad \begin{aligned} A_{V1} &= g_{m1}r_{DS1} \\ A_{V2} &= g_{m2}r_{DS2} \end{aligned}$$

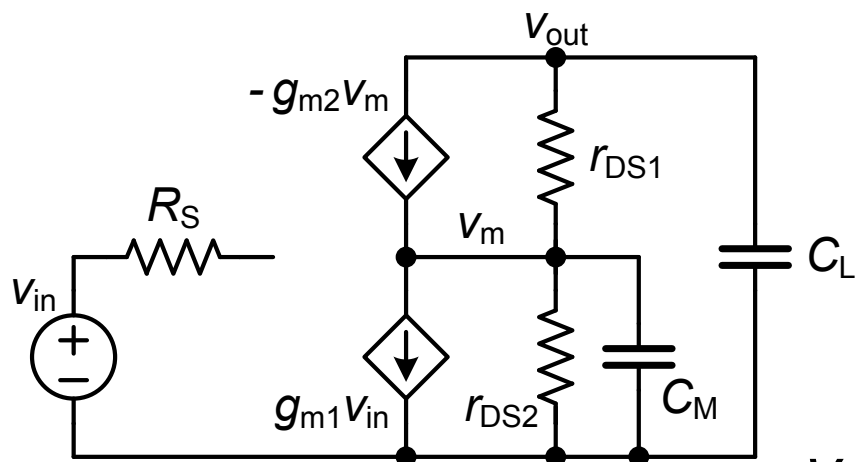


具有中间节点电容 C_M 的共源共栅



$$GBW = \frac{g_{m1}}{2\pi C_L}$$

$$C_{Mt} = g_{m2} r_{DS2} C_L = A_{V2} C_L$$



$$\frac{V_{out} - V_m}{r_{DS2}} + (-g_{m2}V_m) = -\frac{V_{out}}{\frac{1}{sC_L}} \quad (1)$$

$$g_{m1}V_{in} + \frac{V_m}{r_{DS1} // \frac{1}{sC_M}} = -\frac{V_{out}}{\frac{1}{sC_L}} \quad (2)$$

由(1) 求 v_m ，代入(2)得:

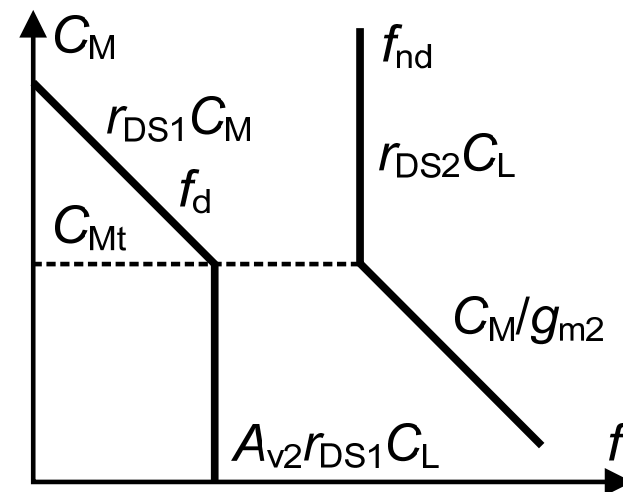
$$A_v = -\frac{g_{m1}r_{DS1}(1 + g_{m2}r_{DS2})}{1 + as + bs^2}$$

$$a = r_{DS2}C_L + r_{DS1}C_M + (1 + g_{m2}r_{DS2})r_{DS1}C_L$$

$$b = r_{DS2}C_L r_{DS1}C_M$$

$$r_{DS1}C_{Mt} = A_{V2}r_{DS1}C_L$$

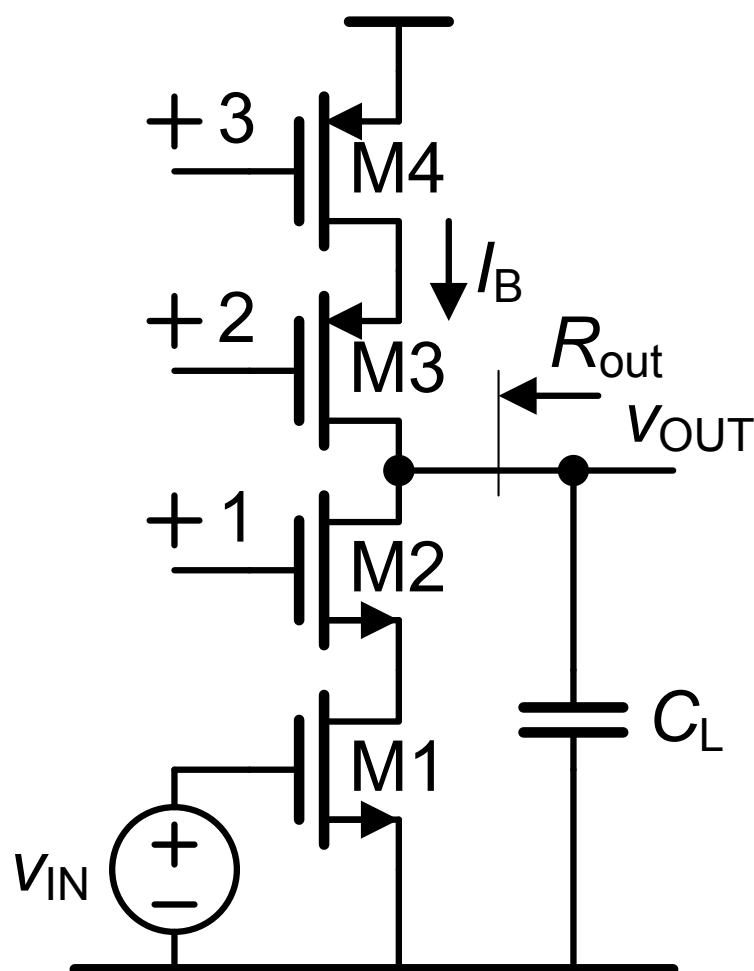
$$\Rightarrow C_{Mt} = A_{V2}C_L$$



$$\text{当 } C_M \text{ 较小时 } f_d = \frac{1}{2\pi A_{V2} r_{DS1} C_L} \quad f_{nd} = \frac{g_{m2}}{2\pi C_M}$$

$$\text{当 } C_M \text{ 较大时 } f_d = \frac{1}{2\pi r_{DS1} C_M} \quad f_{nd} = \frac{1}{2\pi r_{DS2} C_L} \quad \begin{aligned} A_{V1} &= g_{m1} r_{DS1} \\ A_{V2} &= g_{m2} r_{DS2} \end{aligned}$$

套筒式共源共栅



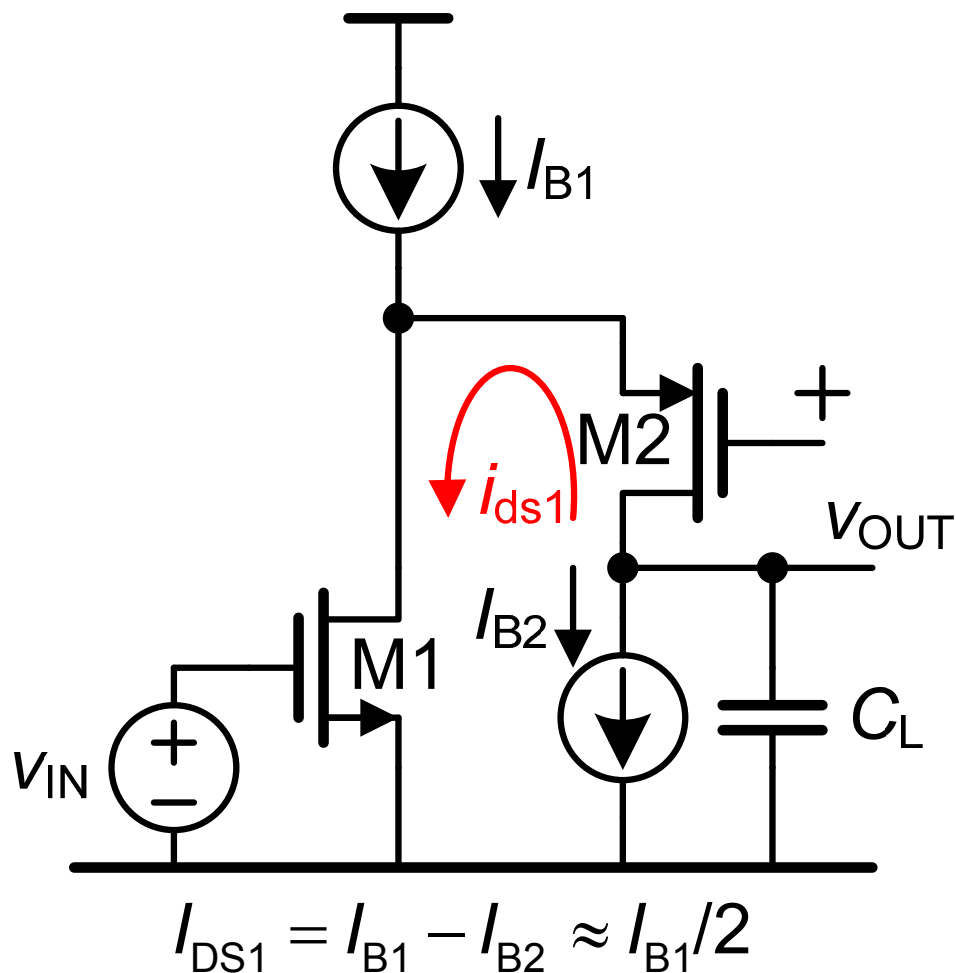
$$A_V = g_{m1} R_{out}$$

$$R_{out} = \frac{1}{2} r_{DS1} g_{m2} r_{DS2}$$

$$BW = \frac{1}{2\pi R_{out} C_L}$$

$$GBW = \frac{g_{m1}}{2\pi C_L}$$

折叠共源共栅



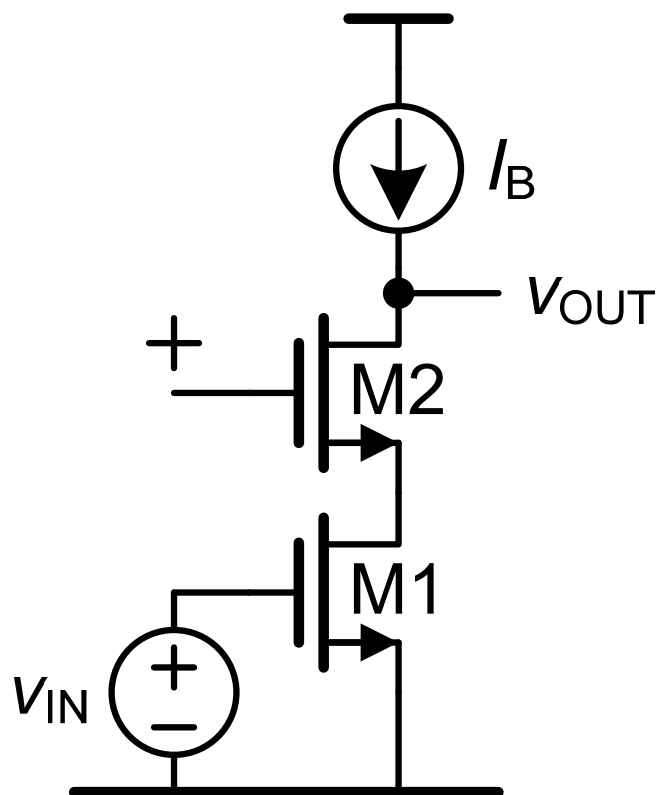
$$A_v = g_{m1} R_{out}$$

$$R_{out} = r_{DS1} g_{m2} r_{DS2}$$

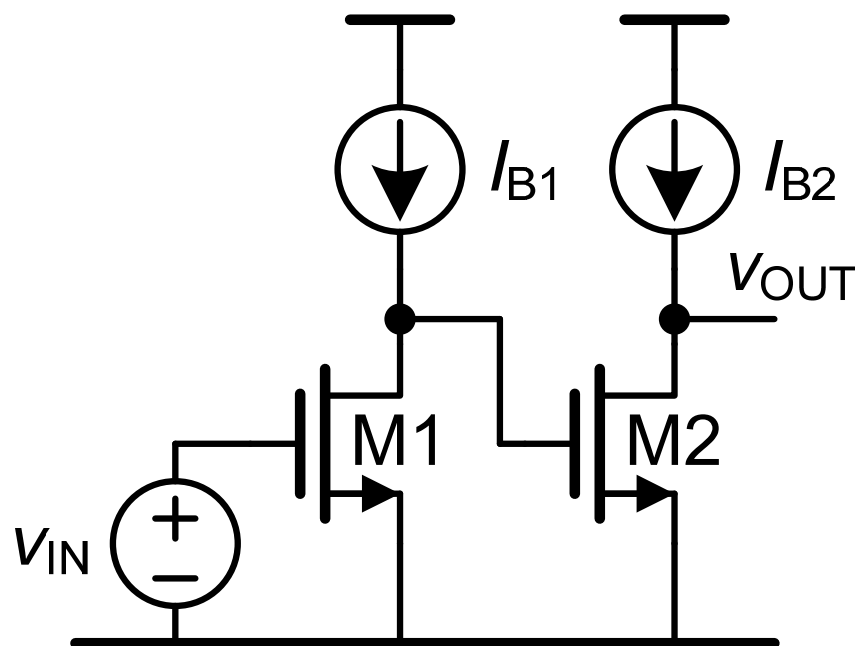
$$BW = \frac{1}{2\pi R_{out} C_L}$$

$$GBW = \frac{g_{m1}}{2\pi C_L}$$

共源共栅与级联

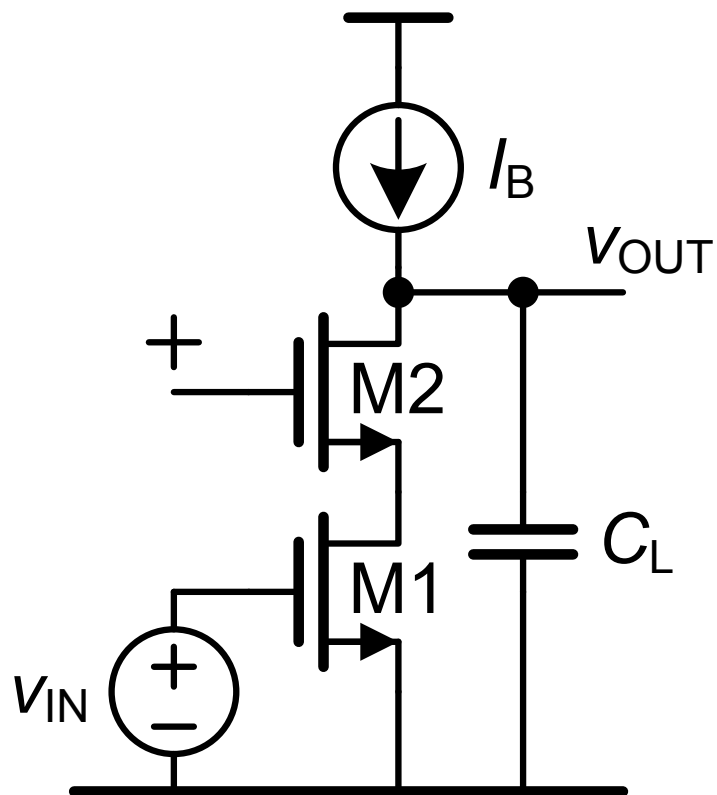


$$A_V = (g_m r_{DS})_1 (g_m r_{DS})_2$$



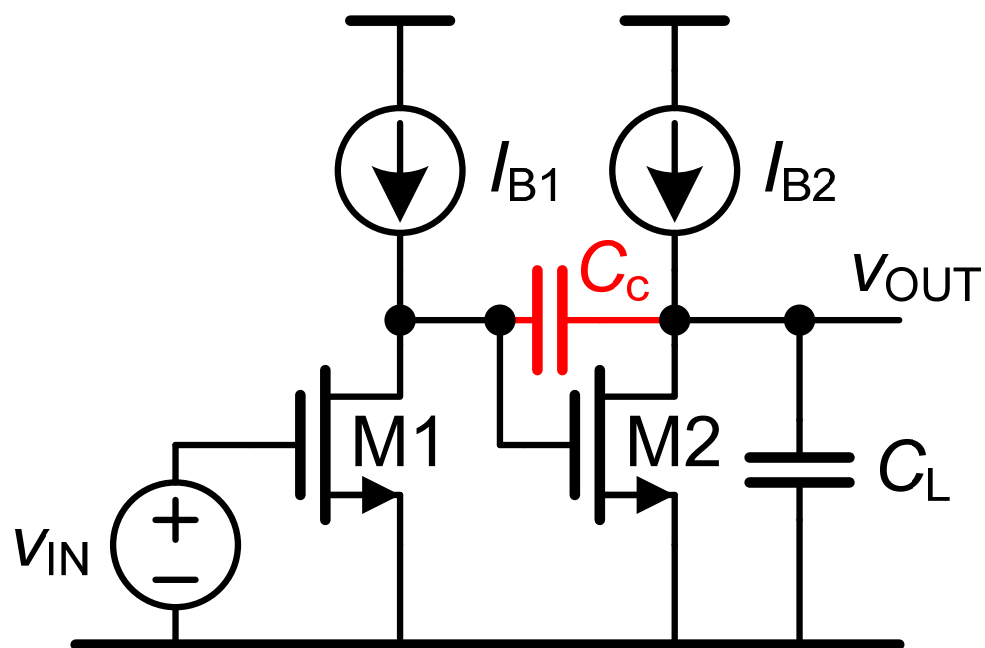
$$A_V = (g_m r_{DS})_1 (g_m r_{DS})_2$$

共源共栅与级联



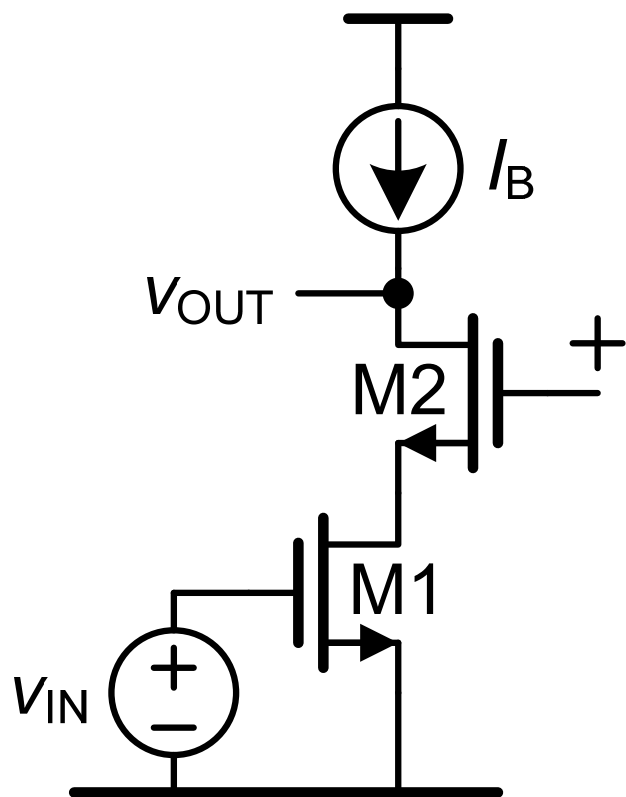
$$GBW = \frac{g_{m1}}{2\pi C_L}$$

两级密勒放大器

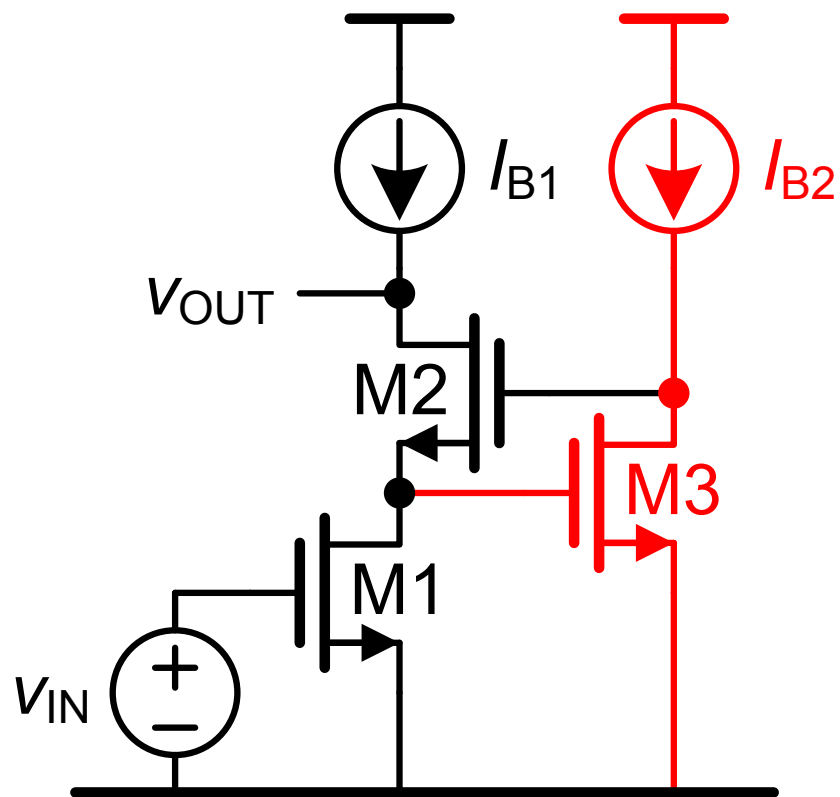


$$GBW = \frac{g_{m1}}{2\pi C_C}$$

调节共源共栅/增益抬升



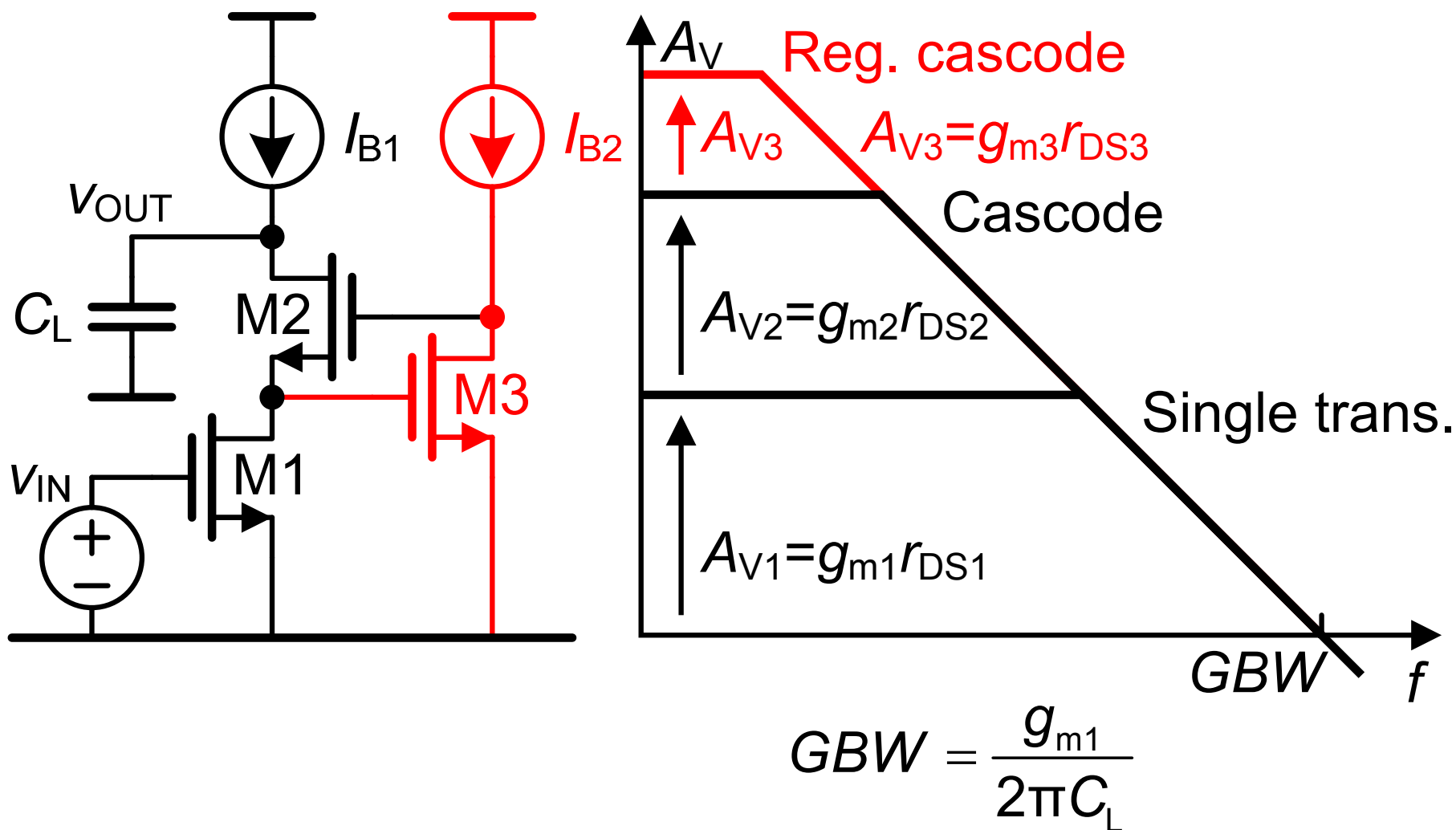
$$A_V = (g_m r_{DS})_1 (g_m r_{DS})_2$$



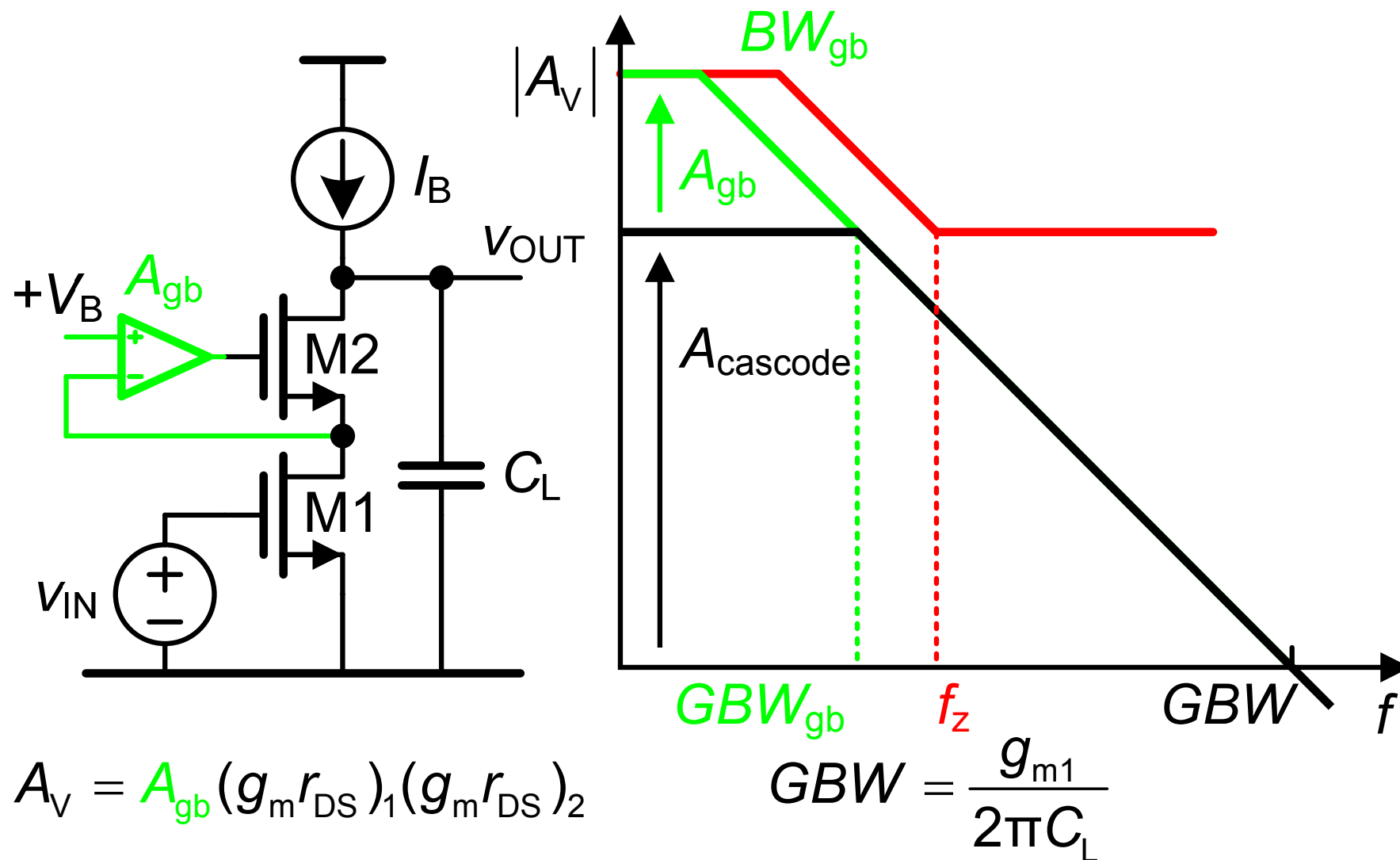
$$A_V = (g_m r_{DS})_1 (g_m r_{DS})_2 (g_m r_{DS})_3$$

Ref.: Hosticka, JSSC Dec.79, pp. 1111-1114; Sackinger, JSSC Febr.90, pp. 289-298;
Bult JSSC Dec.90, pp. 1379-1384

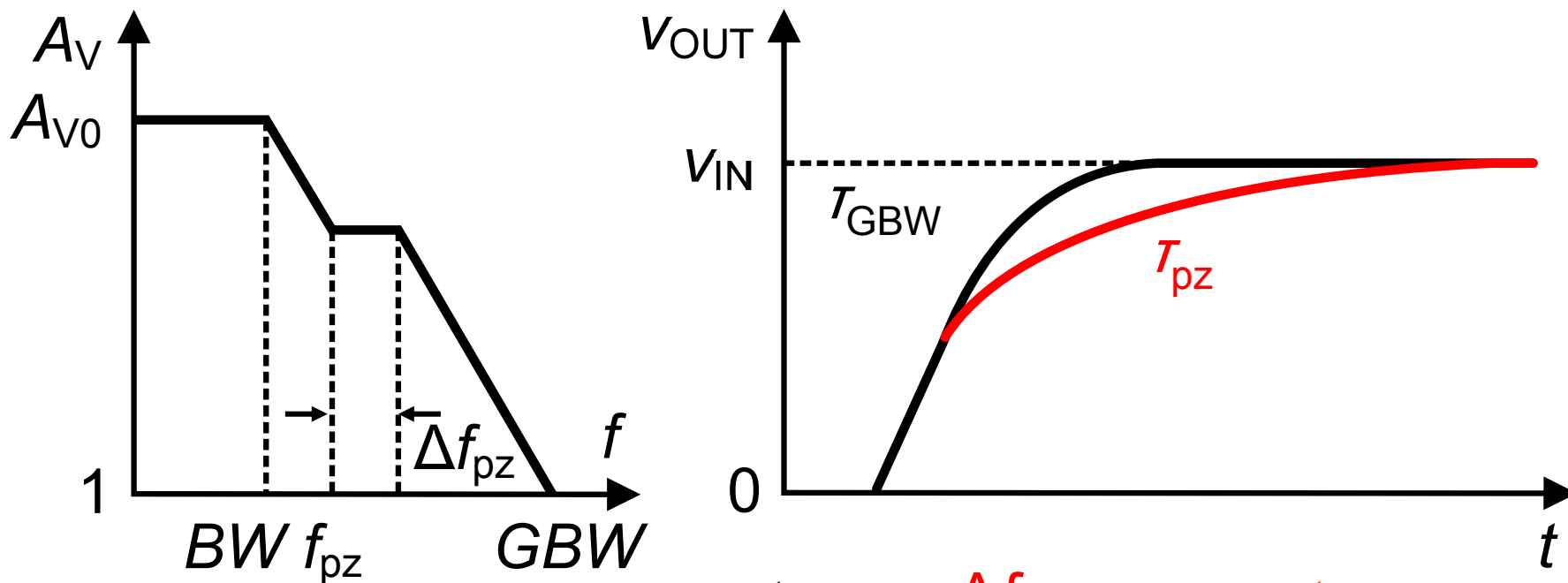
增益抬升，共源共栅和单管放大器



增益抬升



零极点对和建立时间

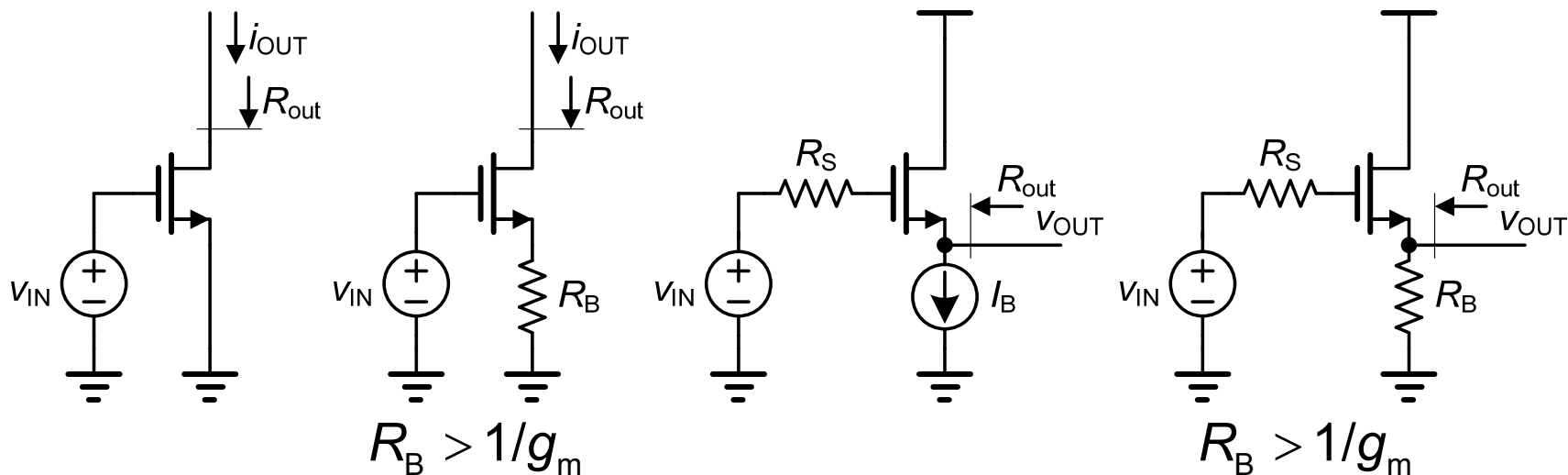


$$v_{OUT} = v_{IN} \left[1 - \exp\left(-\frac{t}{\tau_{GBW}}\right) - \frac{\Delta f_{pz}}{GBW} \exp\left(-\frac{t}{\tau_{pz}}\right) \right]$$

$$f_{pz} = \frac{1}{2\pi\tau_{pz}} \quad GBW = \frac{1}{2\pi\tau_{GBW}}$$

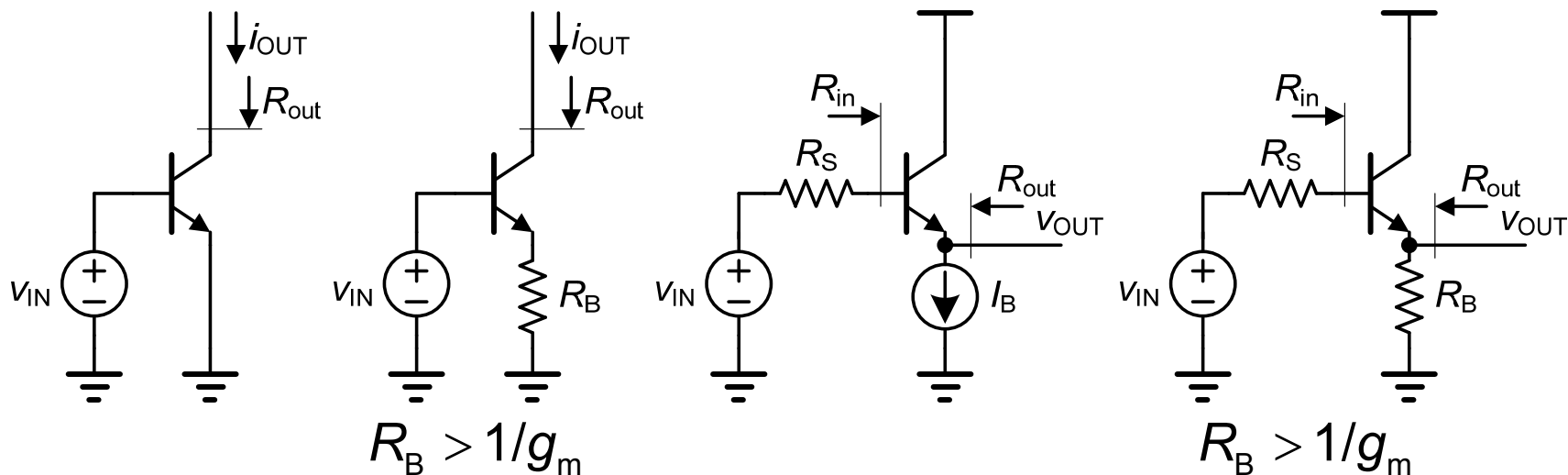
Ref.: Kamath, etal, JSSC Dec.74, pp. 347-352

MOST共源放大器和源极跟随器



A_G	g_m	$1/R_B$	A_V	1	1
R_{in}	∞	∞		∞	∞
R_{out}	r_{DS}	$g_m R_B r_{DS}$		$1/g_m$	$1/g_m$

双极型共射放大器和射极跟随器



$$A_G \quad g_m \quad 1/R_B$$

$$A_V \quad 1 \quad 1$$

$$R_{in} \quad r_B + r_{\pi} \quad r_B + r_{\pi} + (\beta + 1)R_B$$

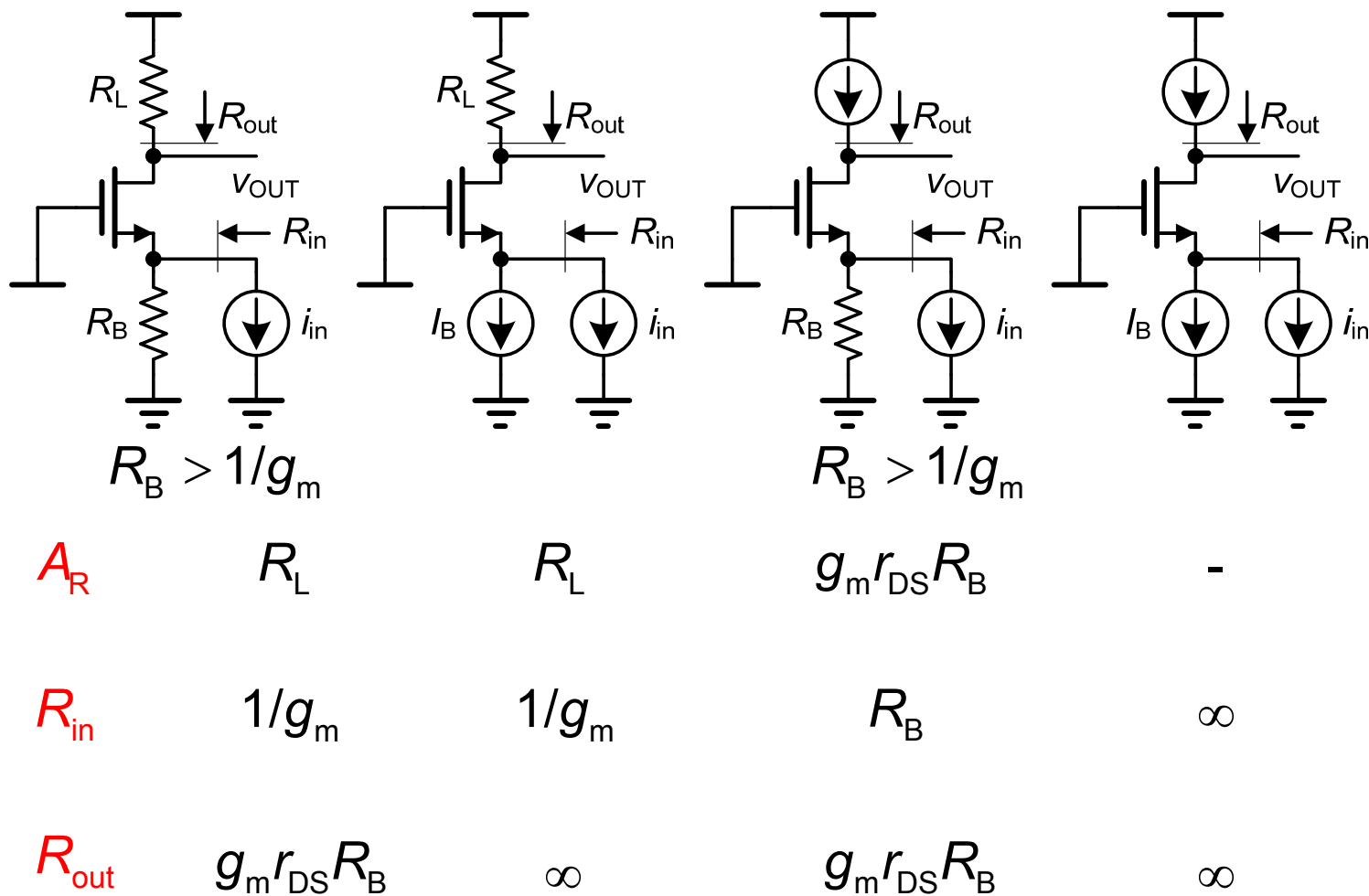
$$r_B + r_{\pi} + (\beta + 1)r_o \quad r_B + r_{\pi} + (\beta + 1)R_B$$

$$R_{out} \quad r_o \quad g_m R_B r_o$$

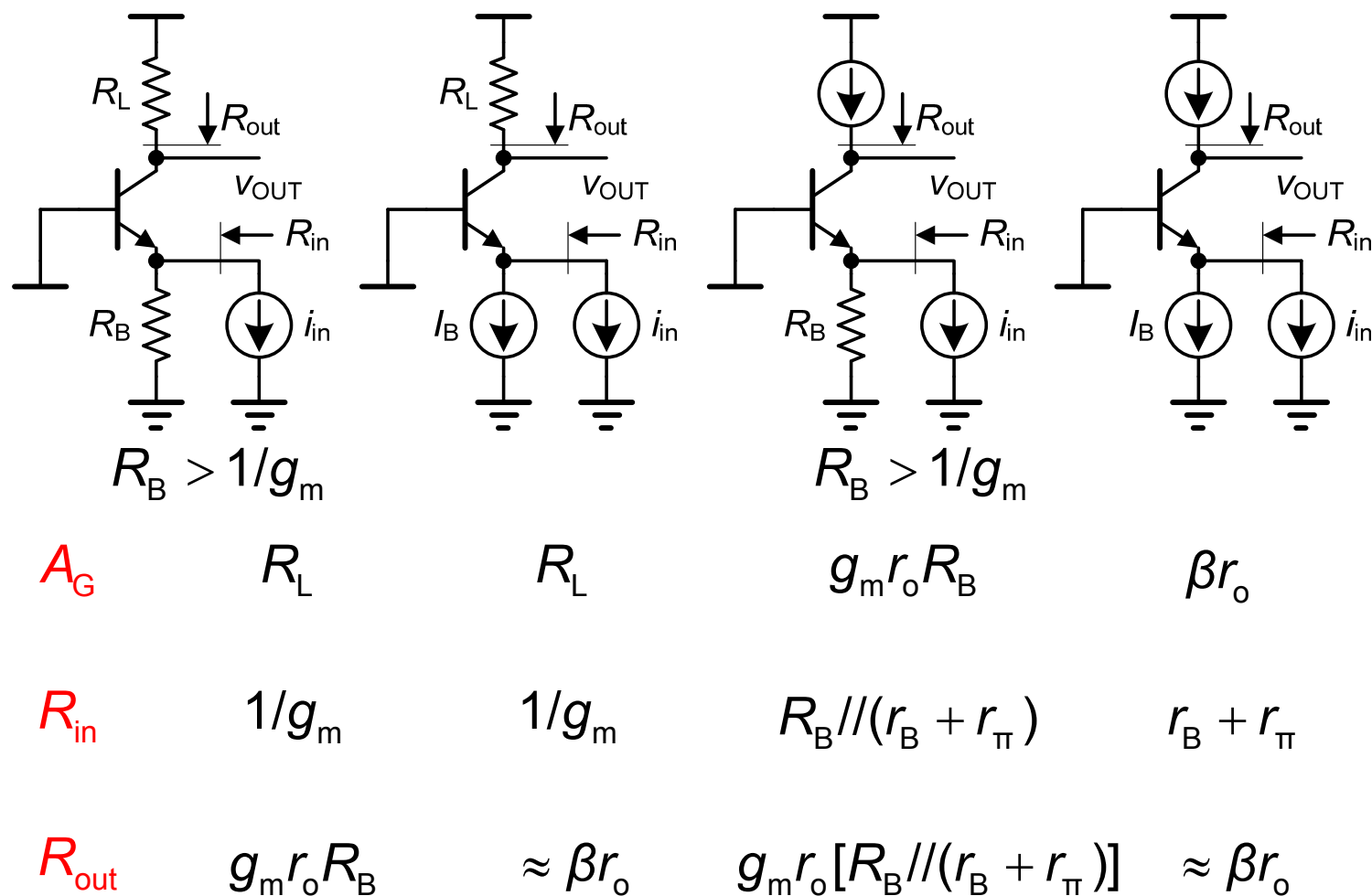
$$\frac{1}{g_m} + \frac{R_S + r_B}{\beta + 1}$$

$$\frac{1}{g_m} + \frac{R_S + r_B}{\beta + 1}$$

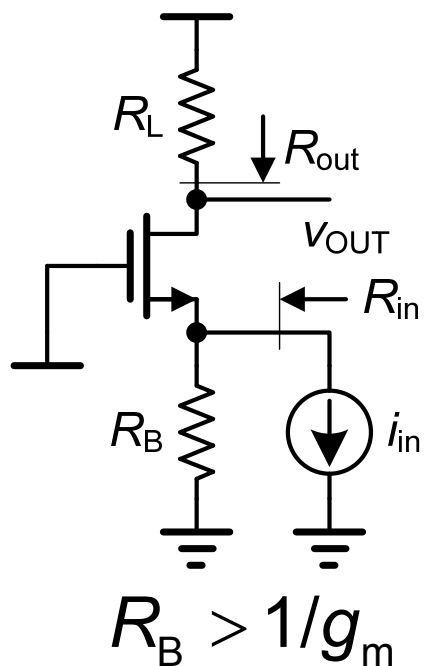
MOST共栅放大器



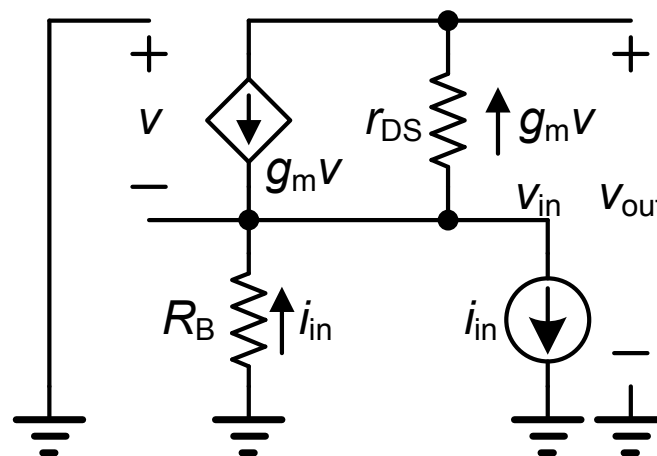
双极型共基放大器



MOST共栅放大器的跨阻 A_R



$$A_R = g_m r_{DS} R_B$$



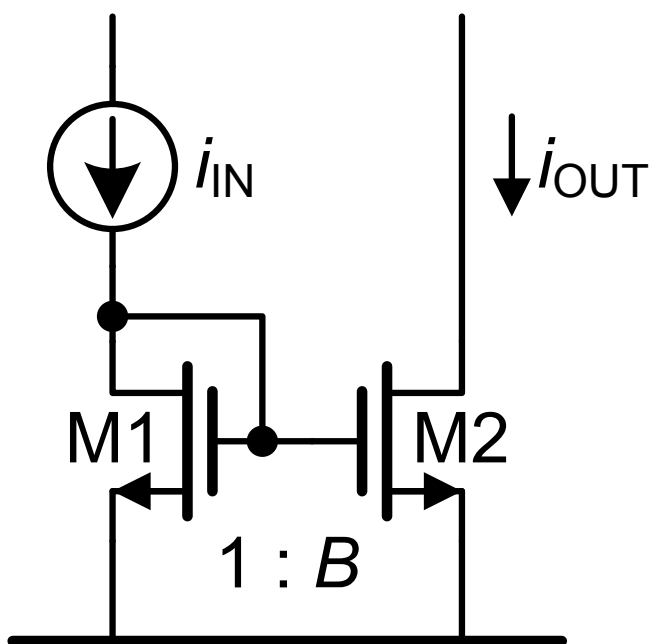
$$\begin{cases} v_{in} = -R_B i_{in} \\ v_{out} = v_{in} - g_m v r_{DS} \\ v = -v_{in} \end{cases}$$

$$v_{out} = -R_B i_{in} (1 + g_m r_{DS}) \quad g_m r_{DS} \gg 1$$

差分电压放大器

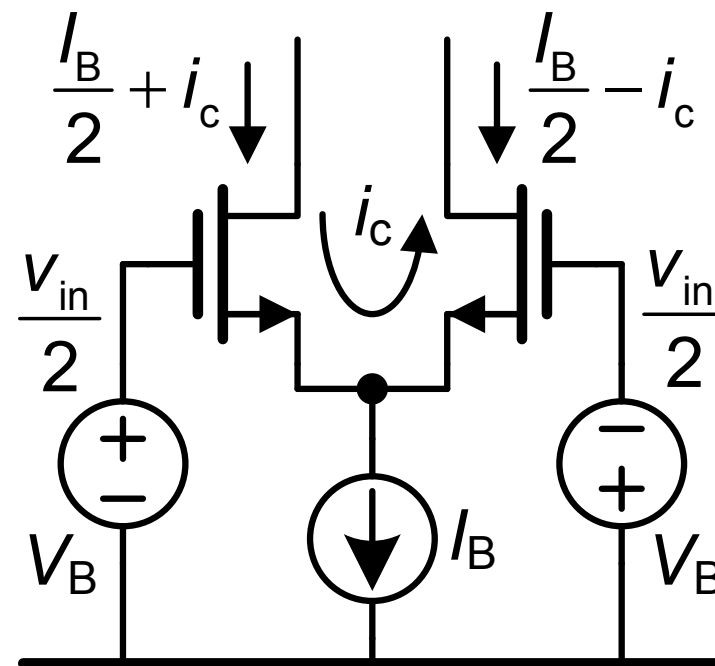
差分电流放大器

双晶体管电路



$$i_{OUT} = B i_{IN}$$

电流镜/放大器



$$i_c = g_m \frac{V_{in}}{2}$$

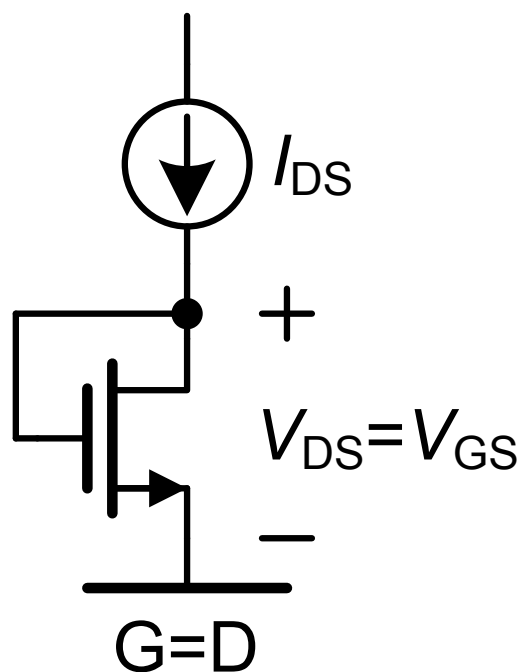
差分电压放大器

目录

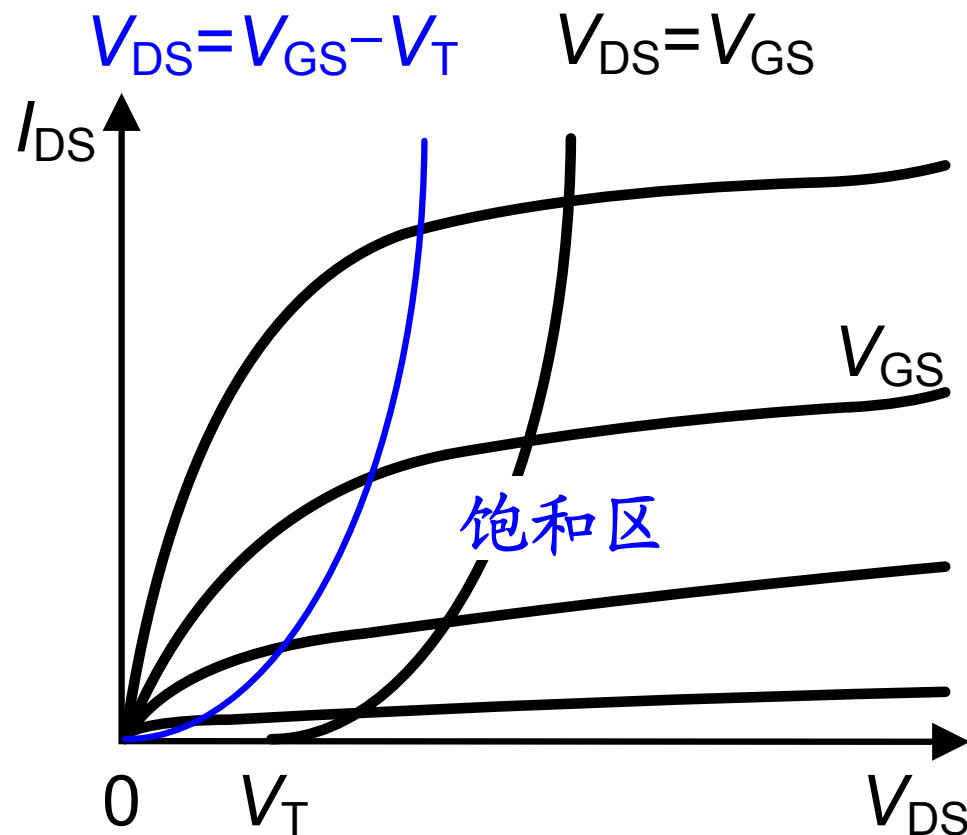
- 电流镜
- 差分对
- 差分电压放大器和差分电流放大器

Ref.: W. Sansen : Analog Design Essentials, Springer 2006

二极管连接的MOS

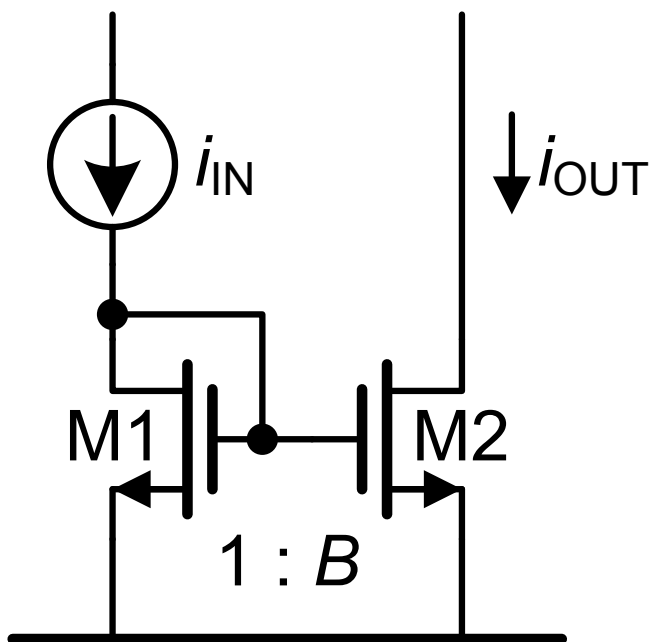


$$I_{DS} = K'_n \frac{W}{L} (V_{GS} - V_T)^2$$

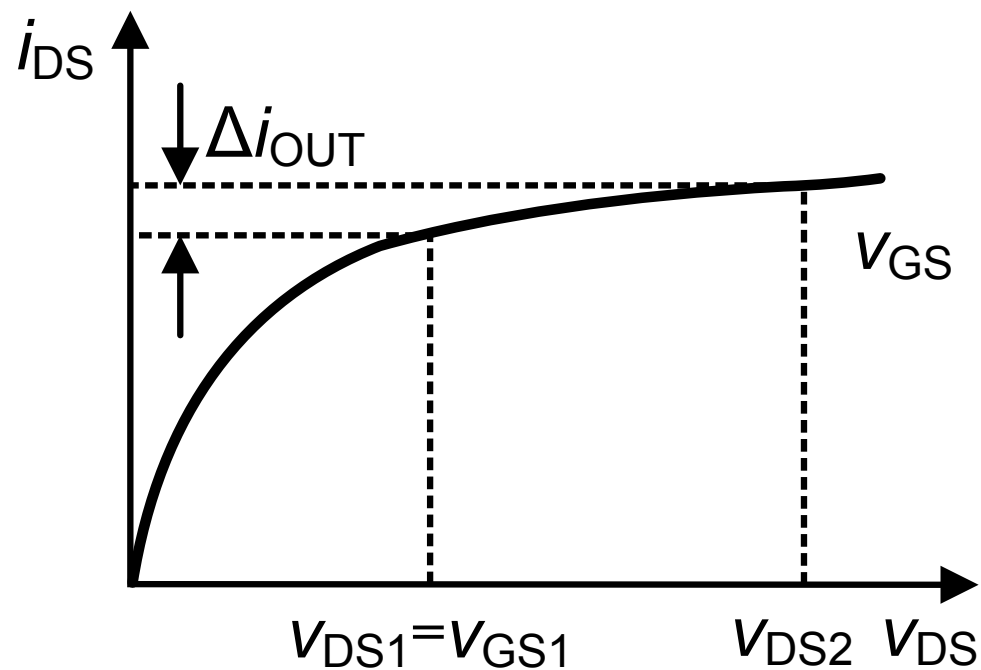


$$g_m = \frac{di_{DS}}{dv_{GS}}$$

电流镜

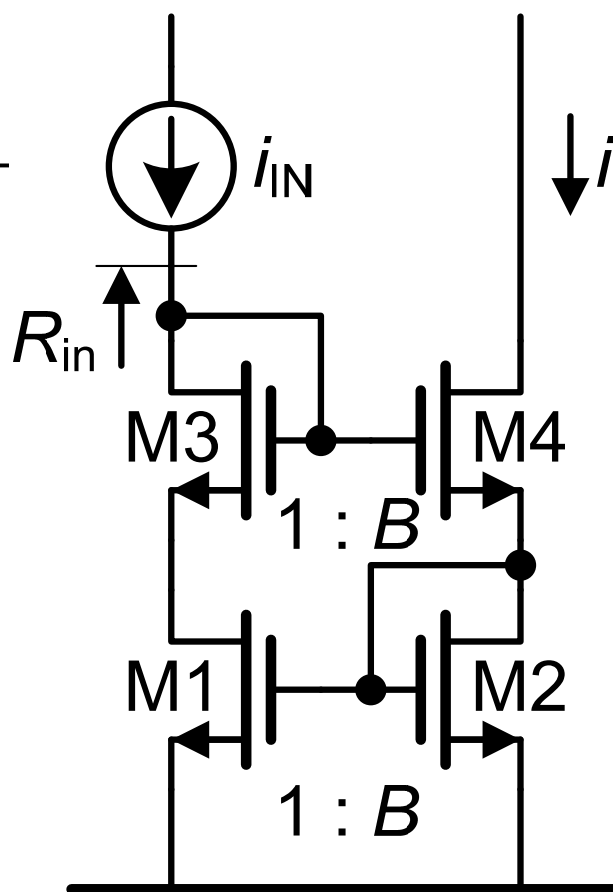
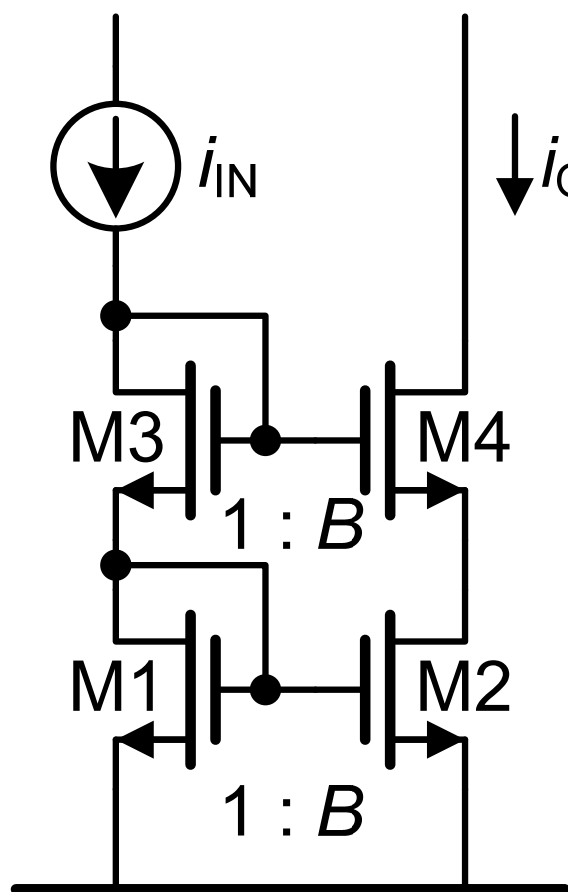


$$i_{OUT} = B i_{IN}$$



$$\frac{\Delta i_{OUT}}{i_{OUT}} = \frac{V_{DS2} - V_{DS1}}{V_E L_2}$$

改进的电流镜



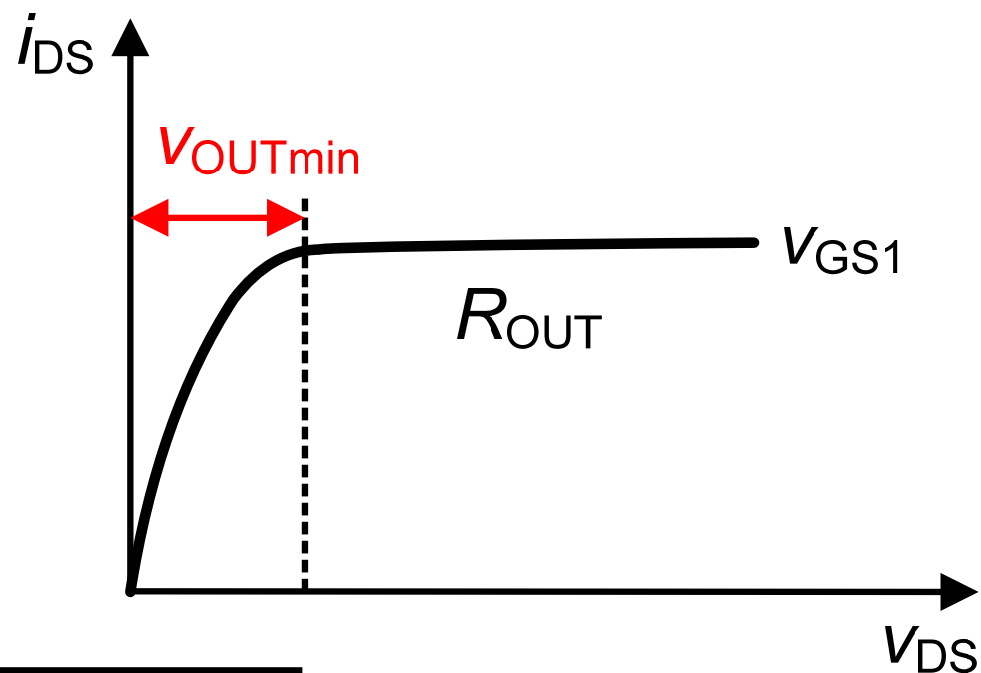
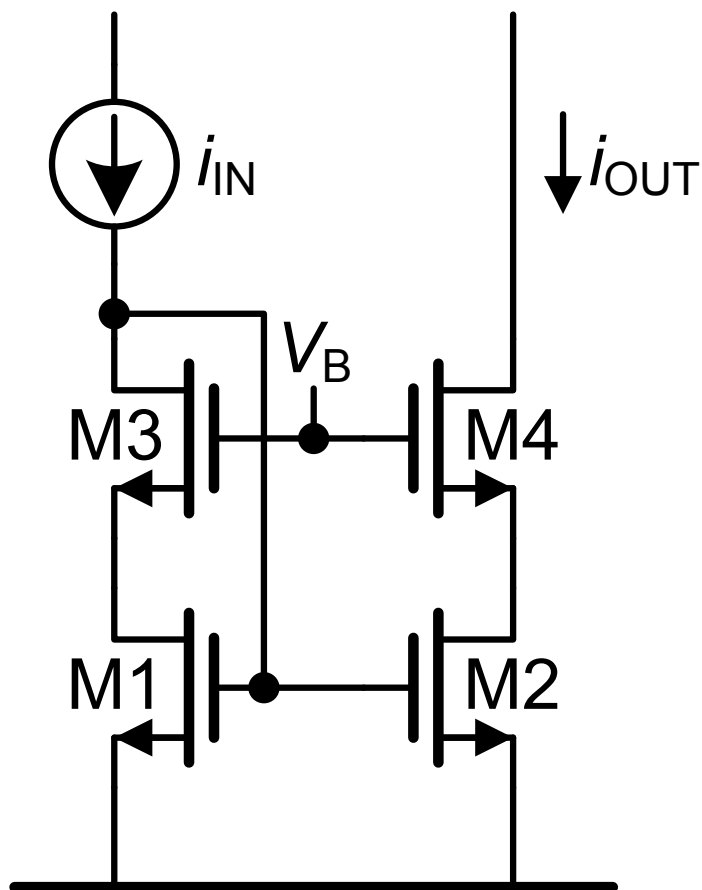
反馈 $T = g_{m1} R_{in}$

$$V_{DS2} = V_{DS1}$$

$$R_{out} = r_{DS2} g_{m4} r_{DS4}$$

$$\begin{aligned} V_{OUTmin} &= V_{GS} + V_{DS} \\ &\approx 0.9 + 0.2 \\ &= 1.1 \text{ V} \\ &\text{太大!!!} \end{aligned}$$

低电压电流镜

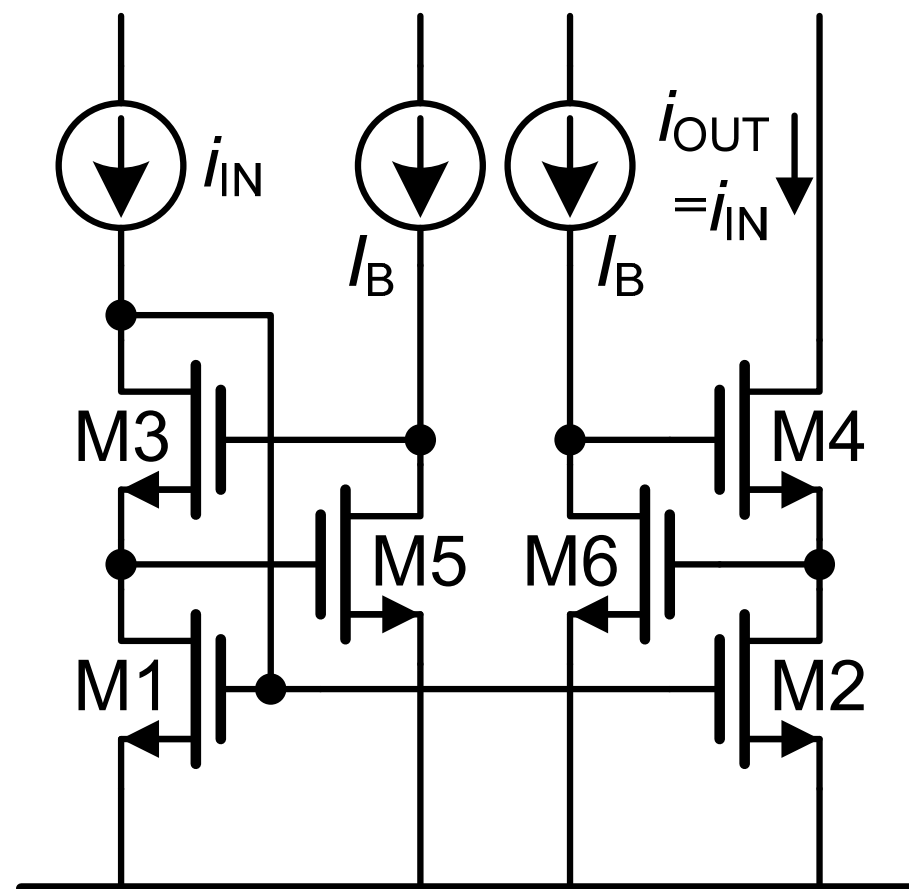
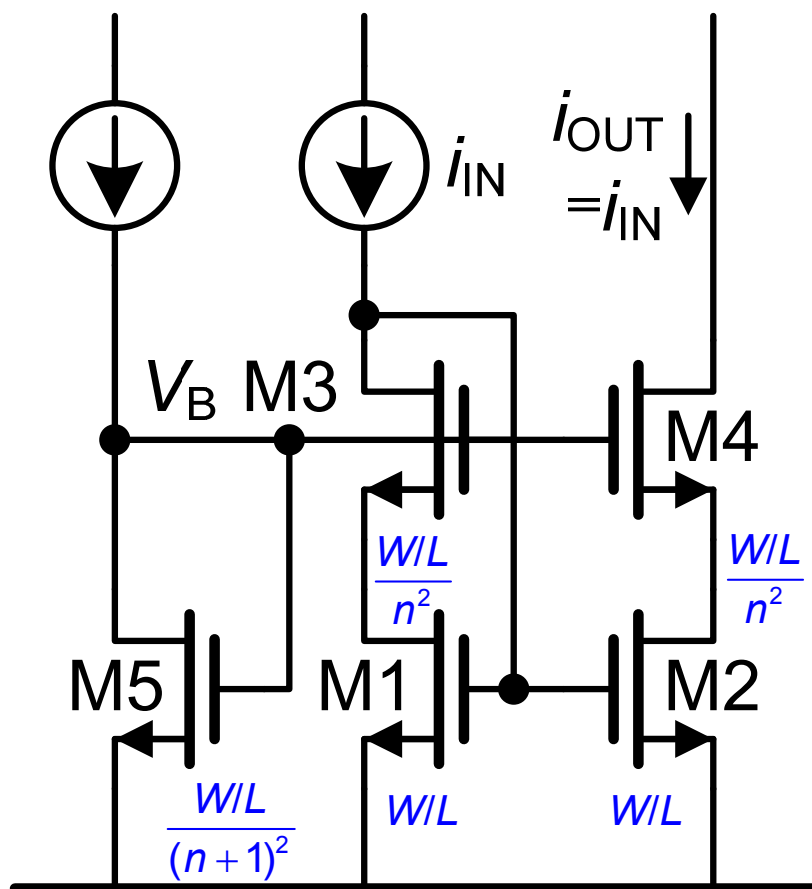


$$\boxed{V_{DS2} = V_{DS1}} \quad R_{out} = r_{DS2} g_{m4} r_{DS4}$$

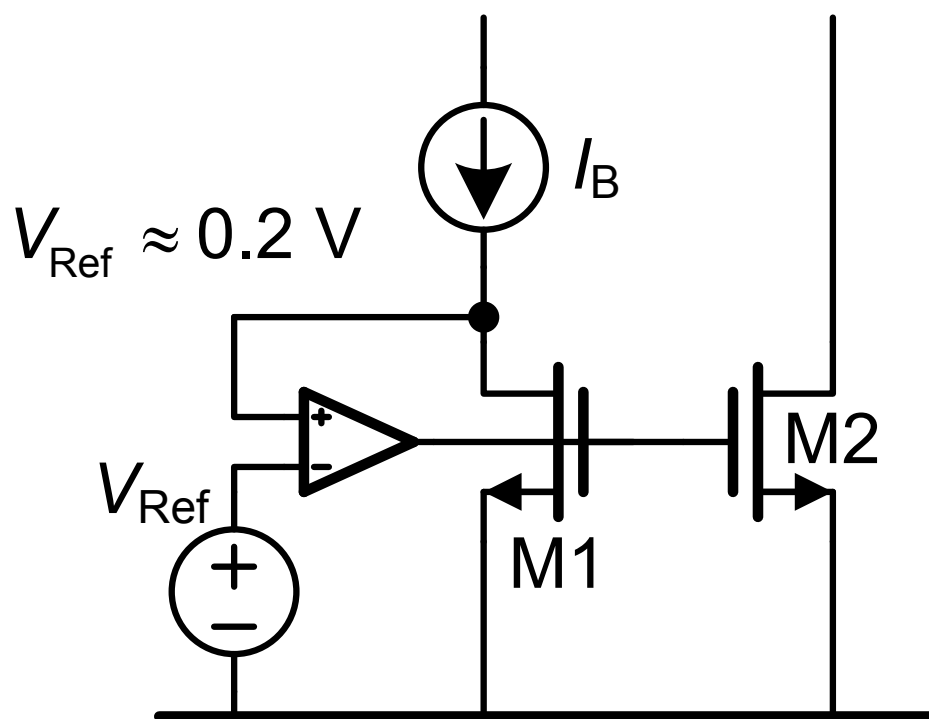
$$V_{OUTmin} = V_{DS2} + V_{DS4}$$

$$\approx 0.2 + 0.2 = 0.4 \text{ V 很小!}$$

低电压电流镜



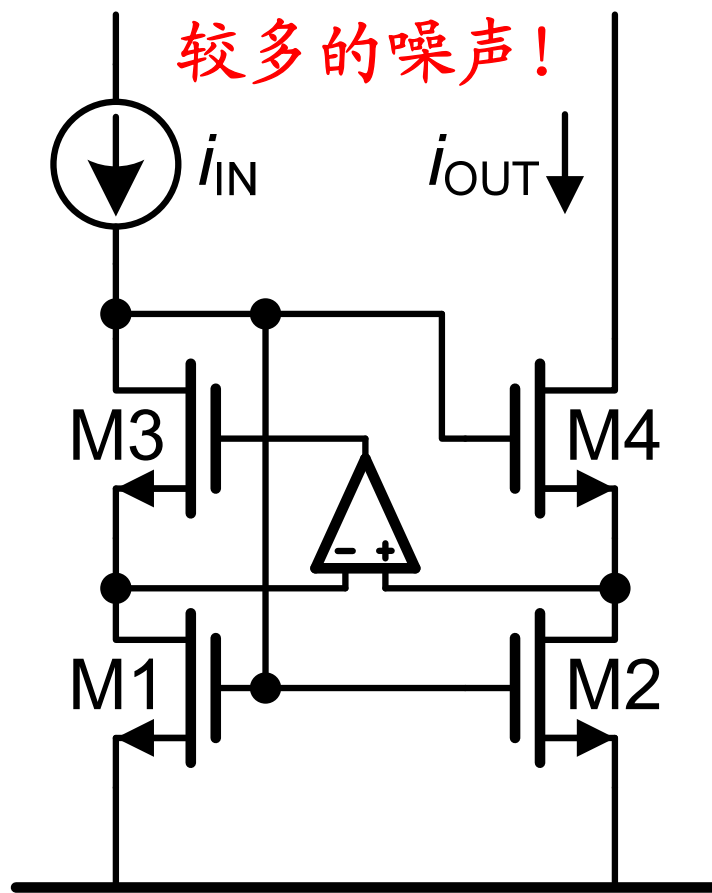
低电压二极管连接的MOST



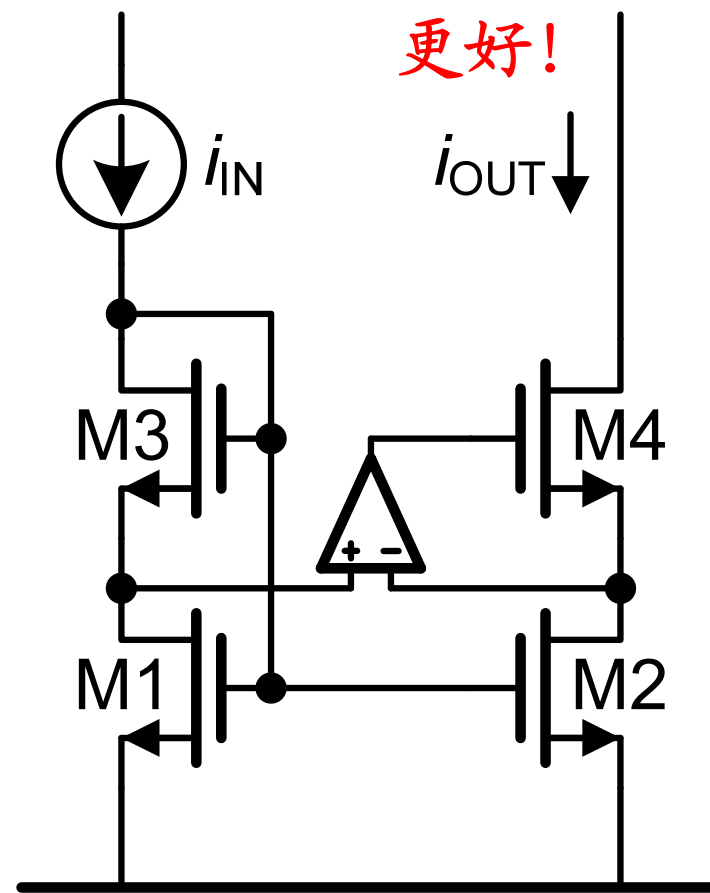
$$V_{DSmin} \approx 0.2 \text{ V}$$

$$R_{out} = r_{DS2}$$

低电压电流镜

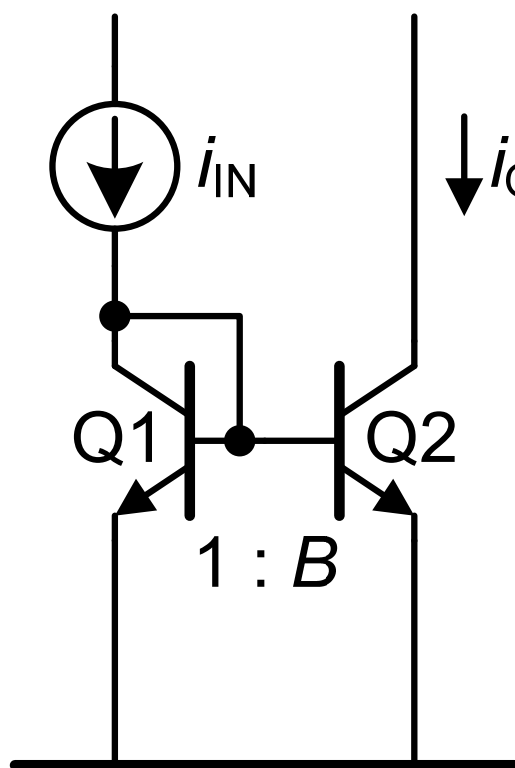


$$V_{OUTmin} \approx 50 \text{ mV}$$

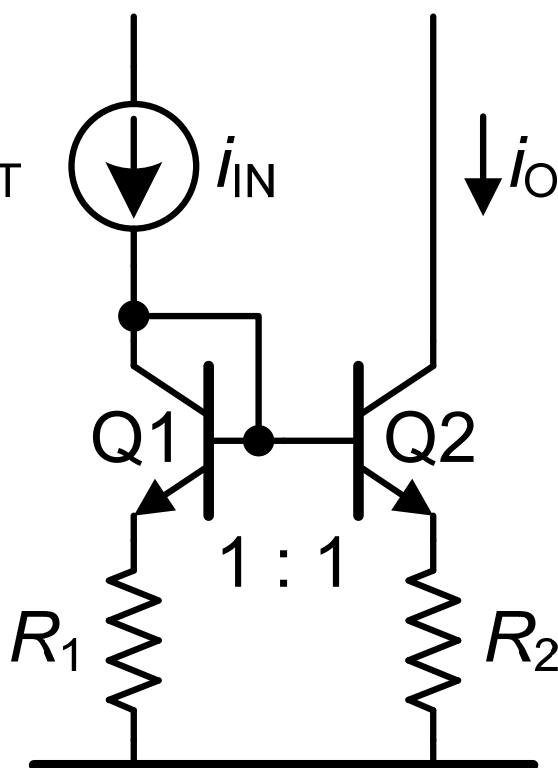


Ref.: Charlon, .., ESSCIRC 2004

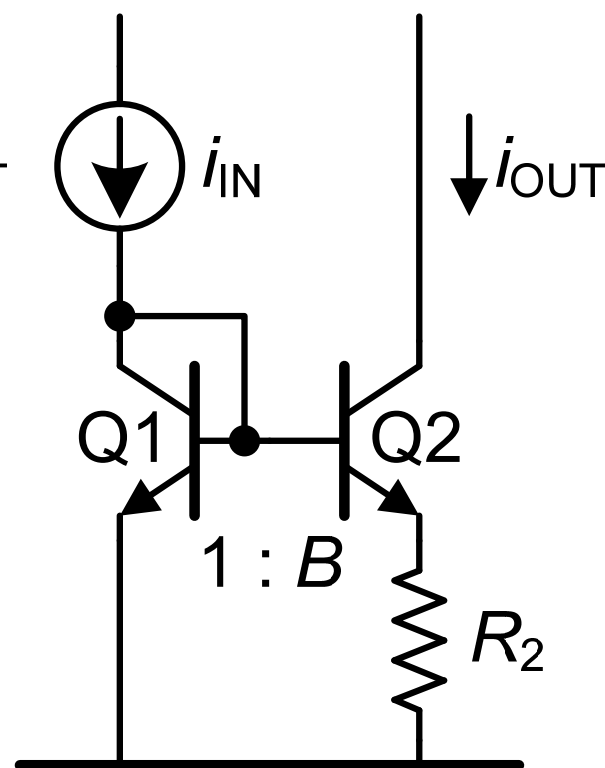
电流镜



$$i_{OUT} = B i_{IN}$$



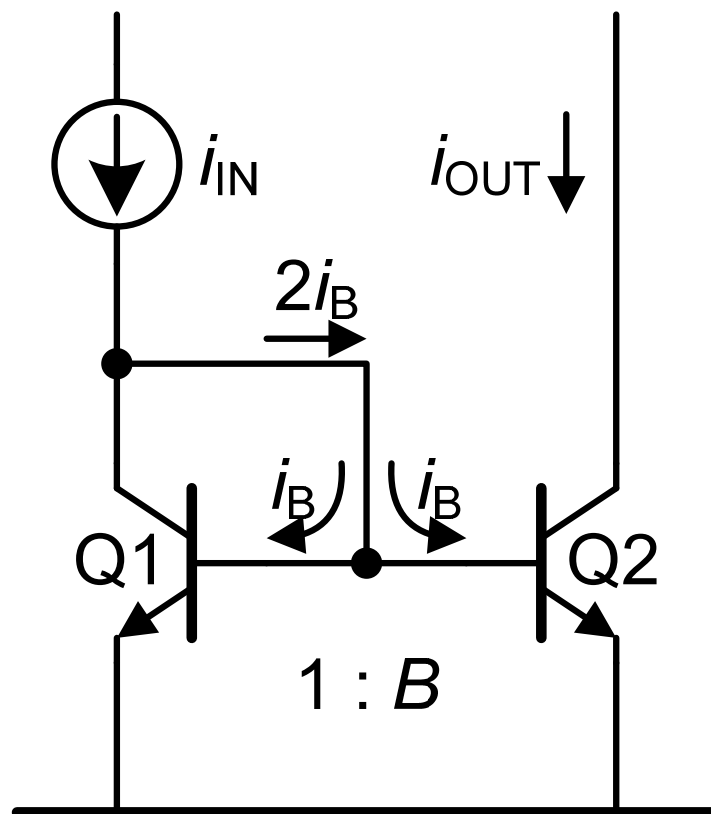
$$\frac{i_{OUT}}{i_{IN}} = \frac{R_1}{R_2}$$



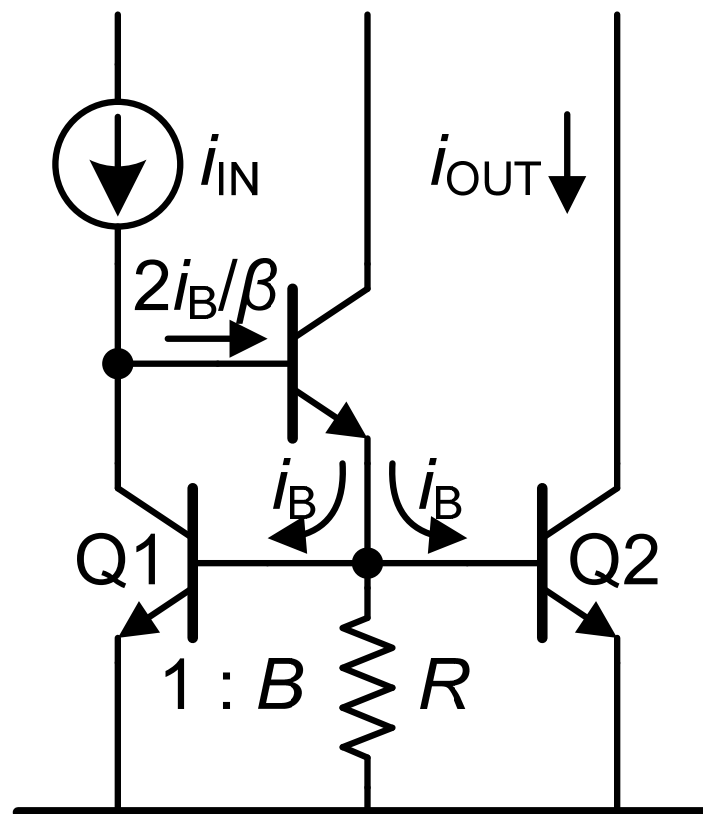
$$i_{OUT} = \frac{kT/q}{R} \ln B \frac{i_{IN}}{i_{OUT}}$$

Ref.: Widlar, JSSC Aug 69, 184-191

改进的电流镜

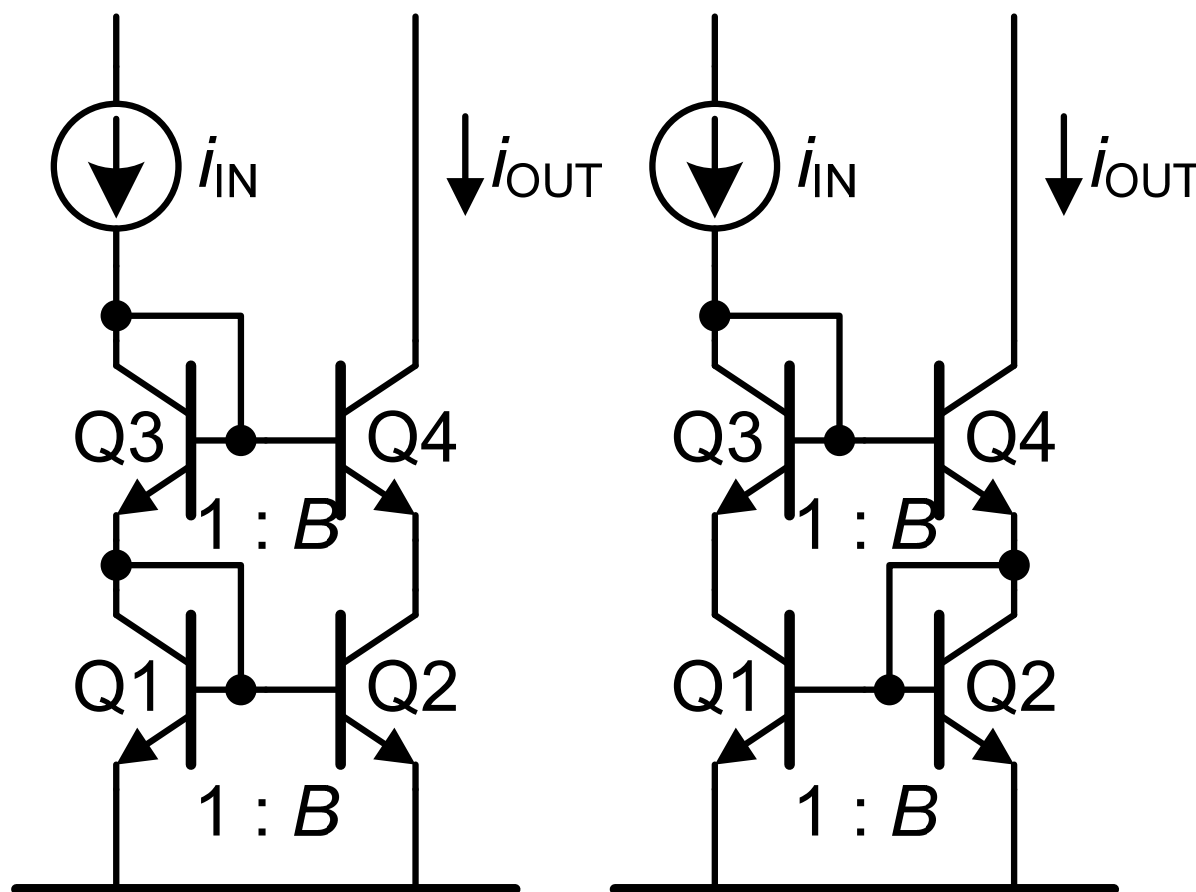


$$\text{误差} \propto \frac{2}{\beta}$$



$$\text{误差} \propto \frac{2}{\beta^2}$$

改进的电流镜



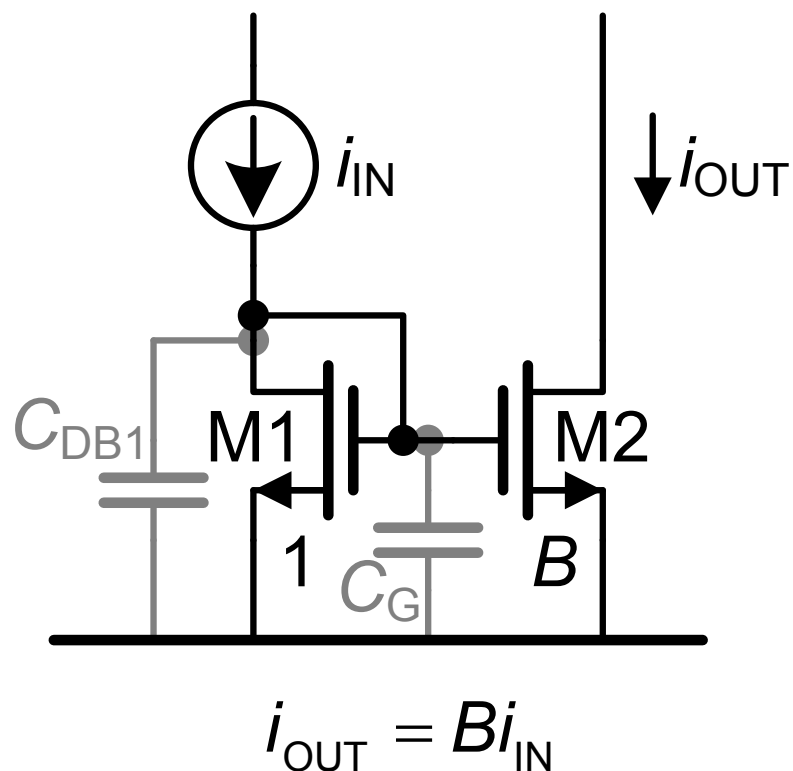
$$V_{CE2} = V_{CE1}$$

$$R_{out} = r_{o2} g_{m4} r_{o4}$$

$$\begin{aligned} V_{OUTmin} &= V_{BE} + V_{CE} \\ &\approx 0.7 + 0.1 \\ &= 0.8 \text{ V} \\ &\text{太大!!!} \end{aligned}$$

Ref.: Wilson, JSSC Dec.68, 341-348

高频时的电流镜



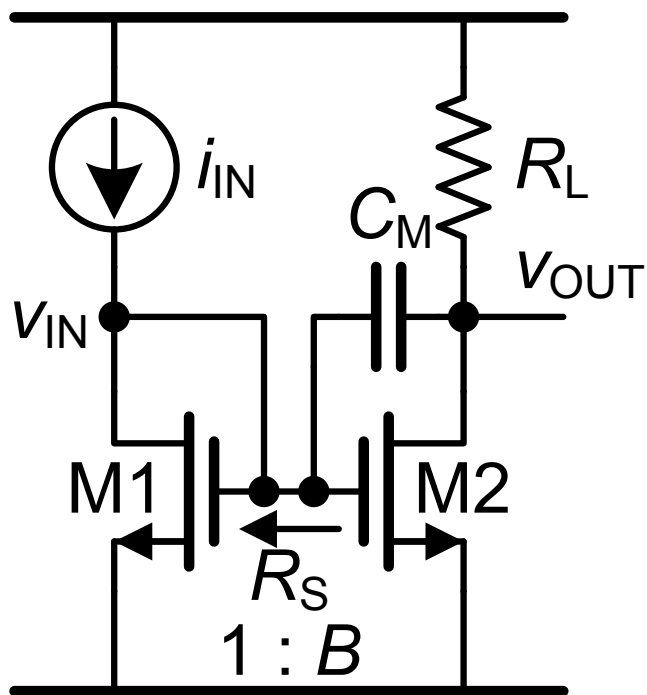
$$R_{out} = r_{DS}$$

$$C_G = (1 + B)C_{GS1} + C_{DB1}$$

$$BW = \frac{g_{m1}}{2\pi(C_G + C_{DS1})} \approx f_T \frac{1}{2 + B}$$

Ref.: Gilbert, JSSC Dec.68, 353-365

电流密勒效应



$$A_1 = B$$

$$R_{in} = \frac{1}{g_{m1}}$$

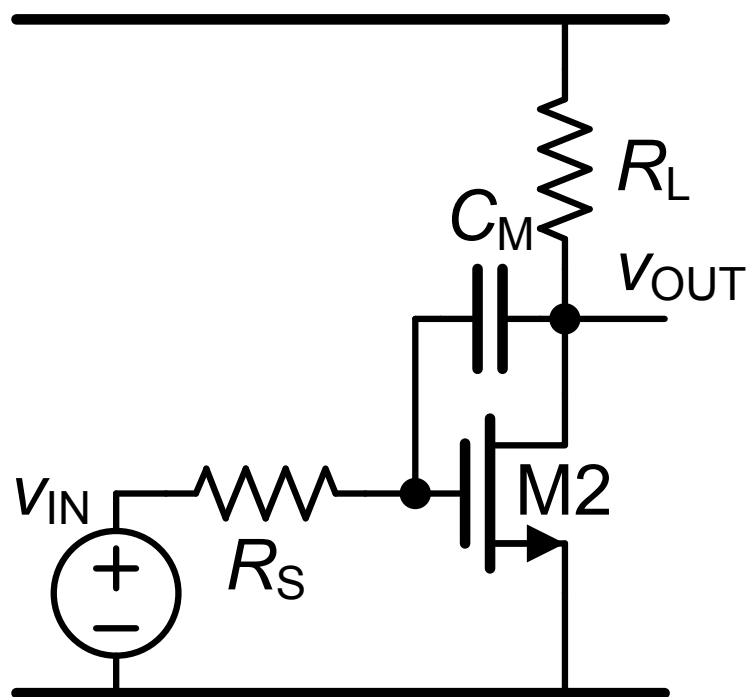
$$R_S = \frac{1}{g_{m1}}$$

$$V_{IN} \approx i_{IN} R_S$$

$$B = \frac{g_{m2}}{g_{m1}}$$

Ref.: Rincon-Mora, JSSC Jan. 2000, 26-32

电流密勒效应的等效电路



密勒效应：

$$f_{-3\text{dB}} = \frac{1}{2\pi R_S A_{V2} C_M}$$

$$R_S = \frac{1}{g_{m1}}$$

$$A_{V2} = g_{m2} R_L$$

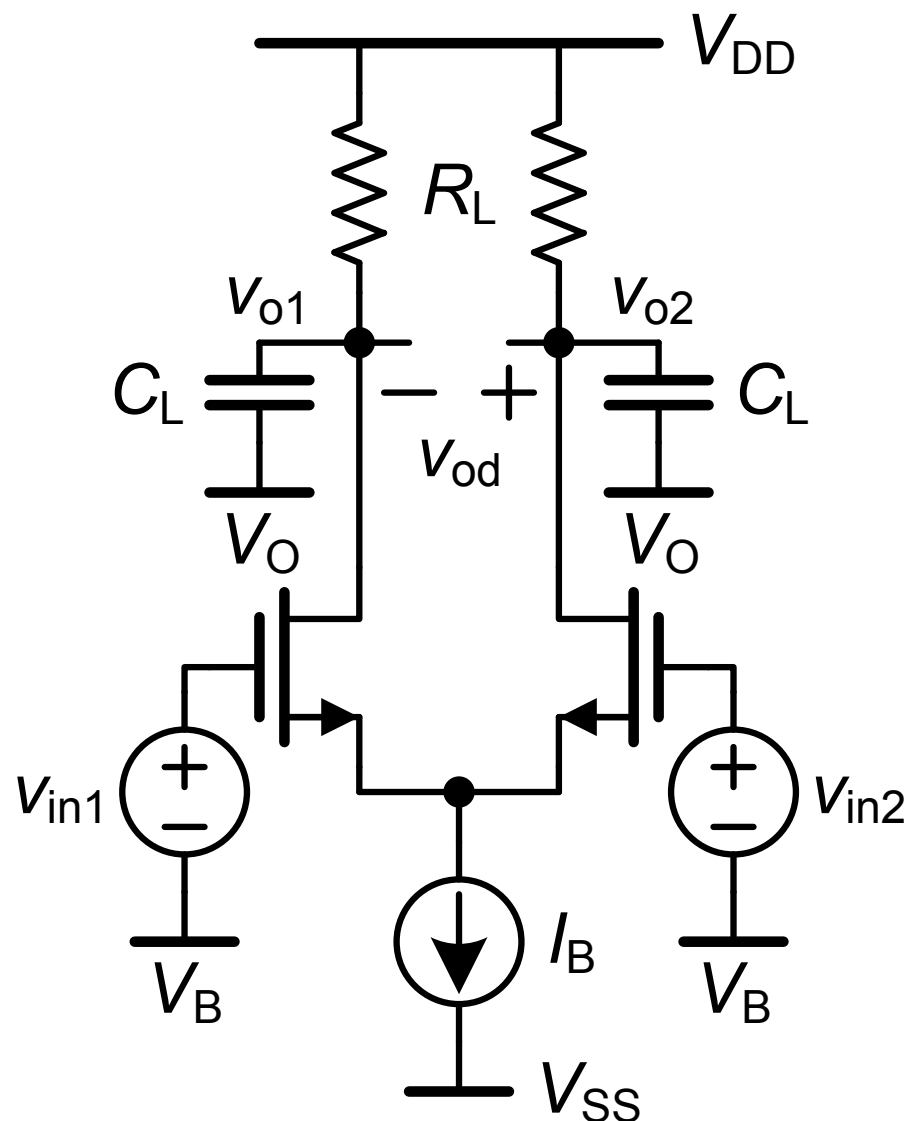
$$f_{-3\text{dB}} = \frac{1}{2\pi (1+B) C_M R_L}$$

$$f_z = -\frac{g_{m2}}{2\pi C_M}$$

目录

- 电流镜
- 差分对
- 差分电压放大器和差分电流放大器

差分电压放大器



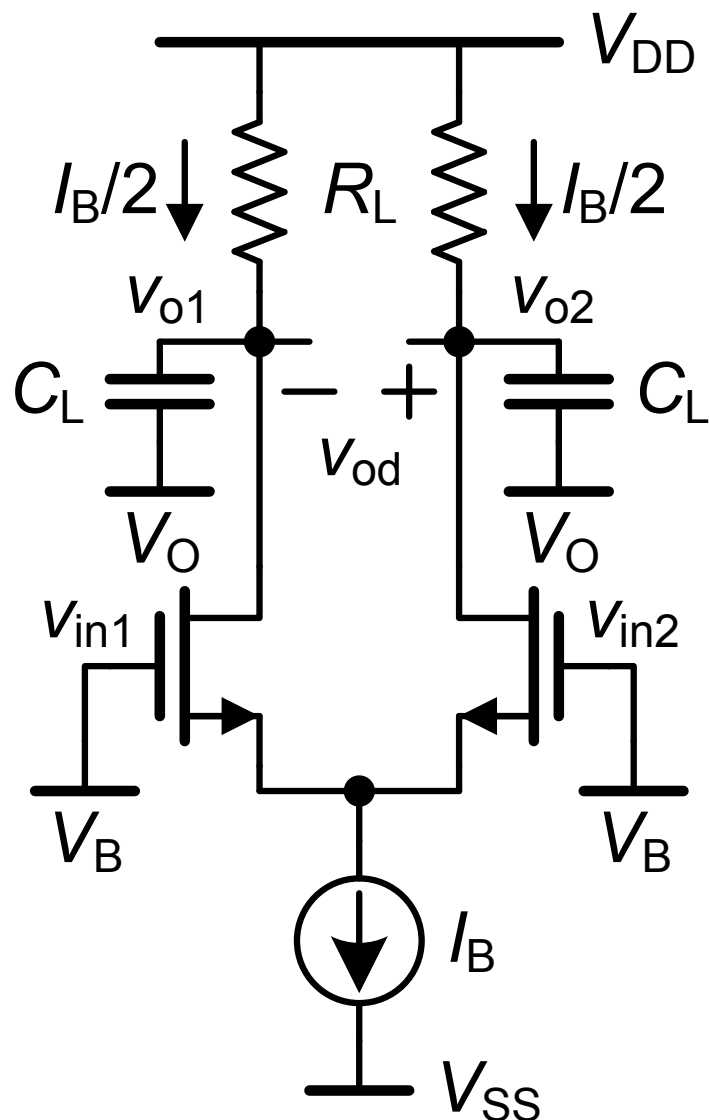
两个相同的晶体管

重新定义 V_{in} 和 V_o :

$$\begin{cases} V_{ind} = V_{in1} - V_{in2} \\ V_{inc} = \frac{V_{in1} + V_{in2}}{2} \end{cases}$$

$$\begin{cases} V_{od} = V_{o1} - V_{o2} \\ V_{oc} = \frac{V_{o1} + V_{o2}}{2} \end{cases}$$

差分电压放大器：直流

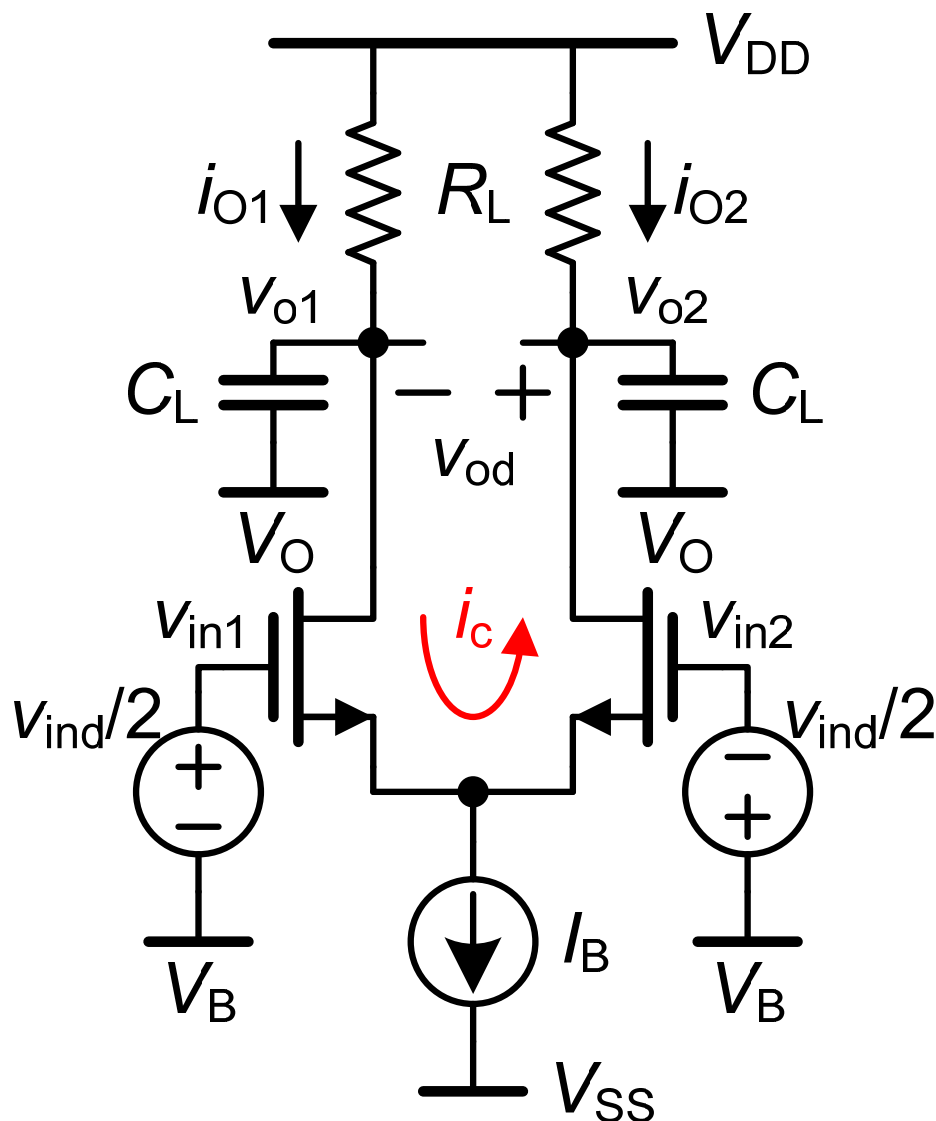


$$V_{in1} = V_{in2} = 0$$

$$V_{o1} = V_{o2} = V_{DD} - R_L I_B / 2$$

$$V_{od} = V_{o1} - V_{o2} = 0$$

差分电压放大器：交流增益



差分输入电压：

$$V_{ind} = V_{in1} - V_{in2}$$

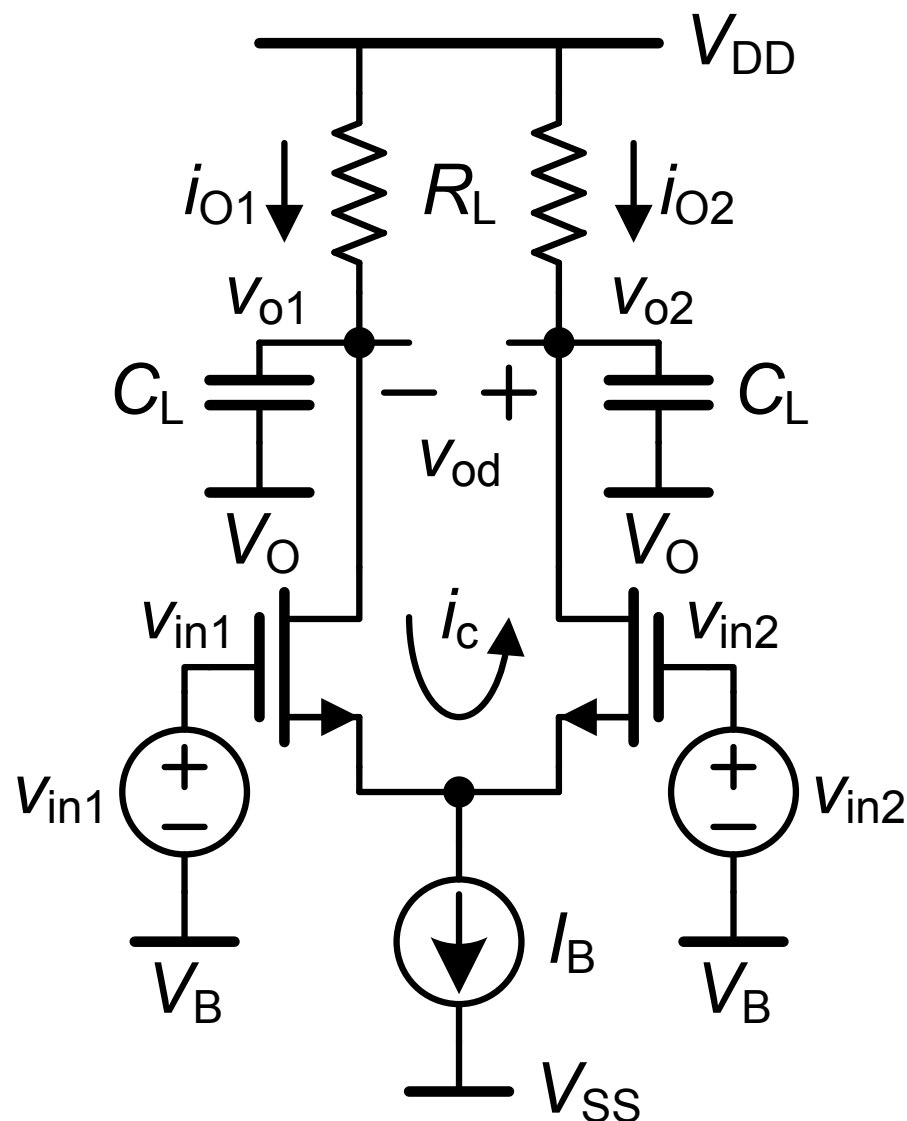
环路电流：

$$i_c = g_m \frac{V_{ind}}{2}$$

$$V_{od} = 2R_L i_c$$

$$A_V = \frac{V_{od}}{V_{ind}} = g_m R_L$$

差分电压放大器



$$A_V = g_m R_L$$

与单个晶体管相同 !!

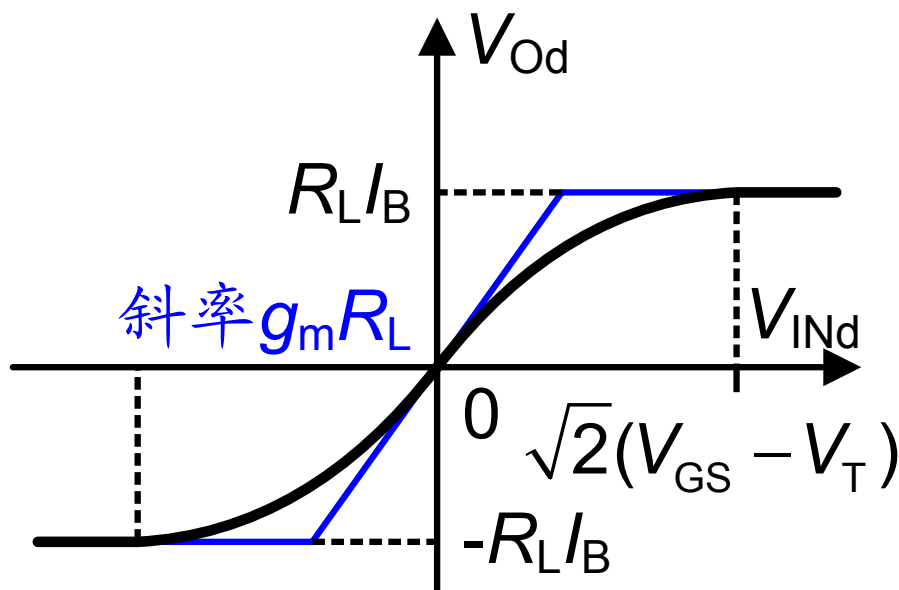
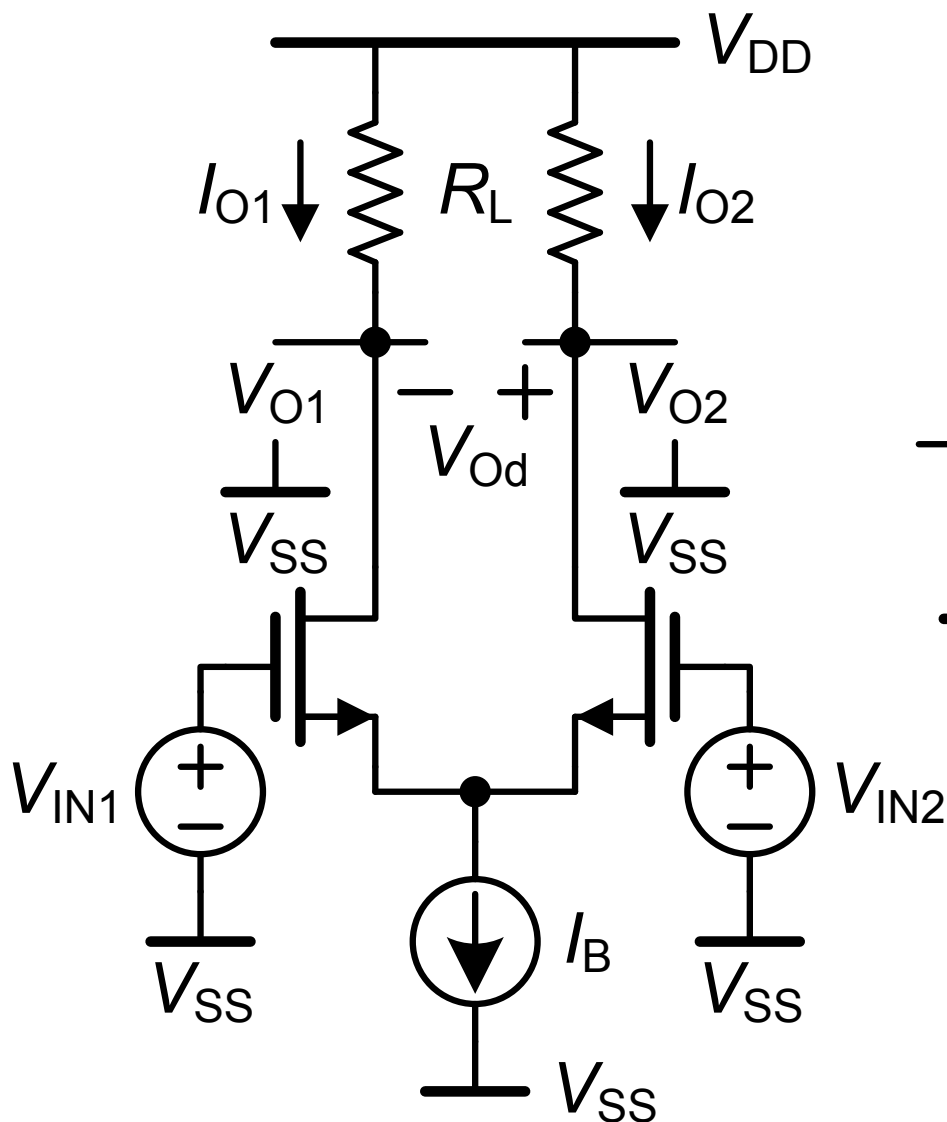
优点:

V_{DD} 的噪声: $PSRR_{DD}$

V_{SS} 的噪声: $PSRR_{SS}$

地噪声: $CMRR$

CMOS差分电压放大器：直流范围



$V_{GS} - V_T$ 决定斜率、
范围...增益!

CMOS差分电压放大器：大信号输入

$$\frac{I_{Od}}{I_B} = \frac{V_{INd}}{V_{GS} - V_T} \sqrt{1 - \frac{1}{4} \left(\frac{V_{INd}}{V_{GS} - V_T} \right)^2}$$

V_{INd} 为差分输入电压

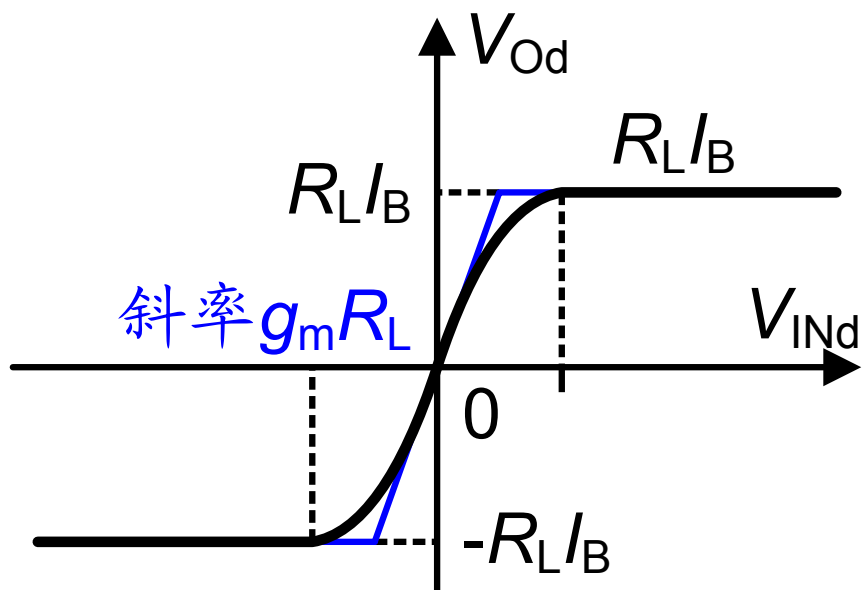
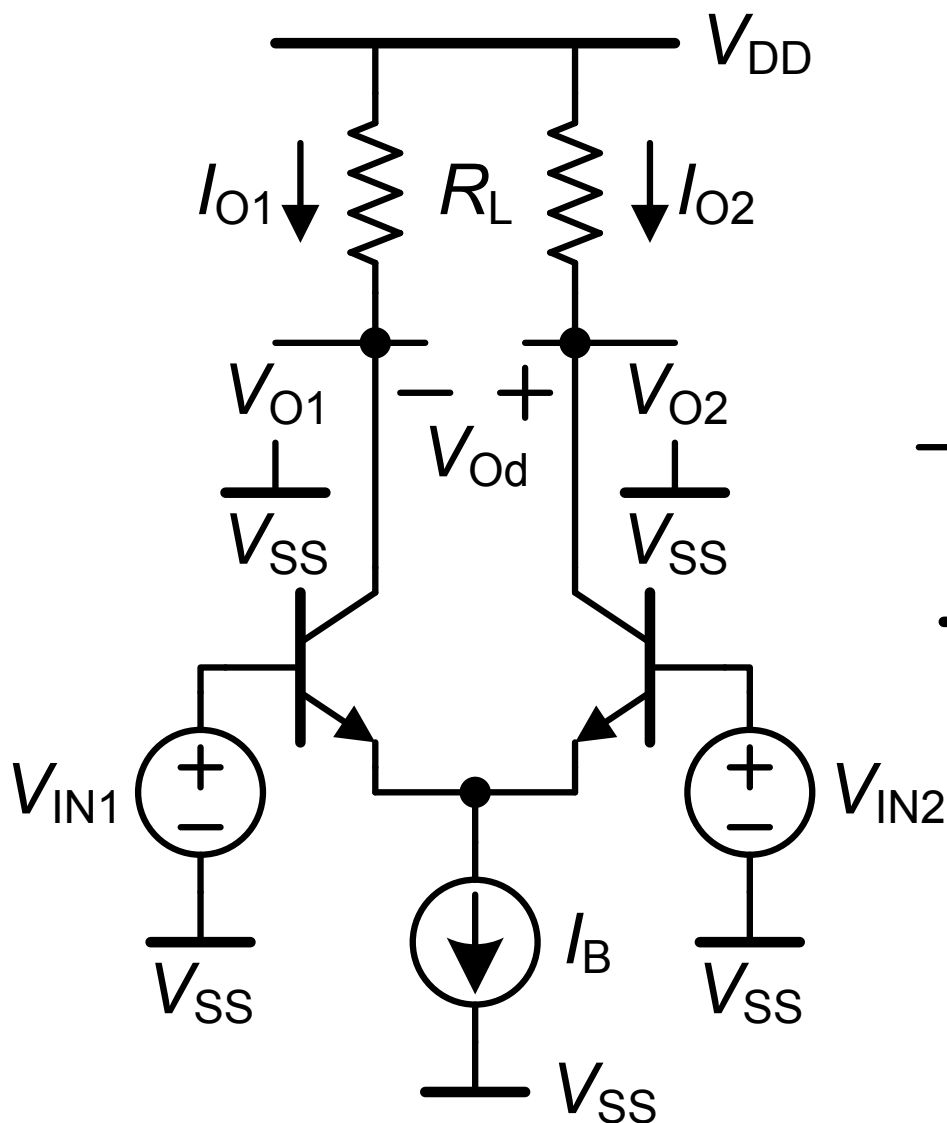
I_{Od} 为差分输出电流

i_{od} 为差分小信号输出电流($g_m v_{ind}$)
或两倍的环路电流($g_m v_{ind}/2$)

I_B 为差分对的总的直流电流

注意：
$$g_m = \frac{I_B}{V_{GS} - V_T} = 2K' \frac{W}{L} (V_{GS} - V_T)$$

双极型差分电压放大器：直流范围



kT/q 决定斜率、
增益、范围

内部 R_E 增加范围！

双极型差分电压放大器：大信号输入

$$\frac{I_{Od}}{I_B} = \tanh \frac{V_{INd}}{2kT/q} \quad \tanh x = \frac{e^x - e^{-x}}{e^x + e^{-x}} = \frac{2e^x - 1}{2e^x + 1}$$

V_{INd} 为差分输入电压

I_{Od} 为差分输出电流

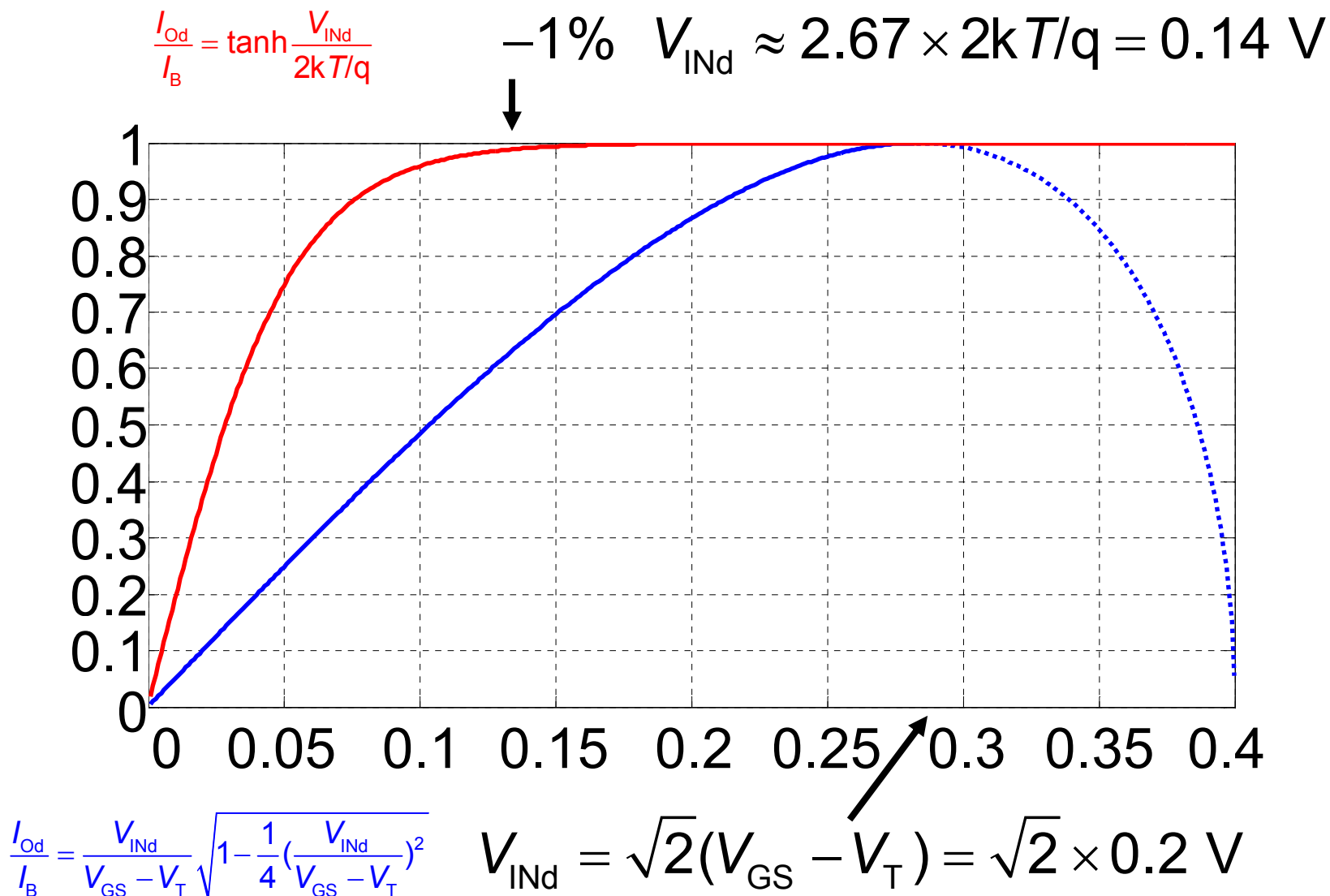
i_{od} 为差分小信号输出电流 ($g_m v_{ind}$)

或两倍的环路电流 ($g_m v_{ind}/2$)

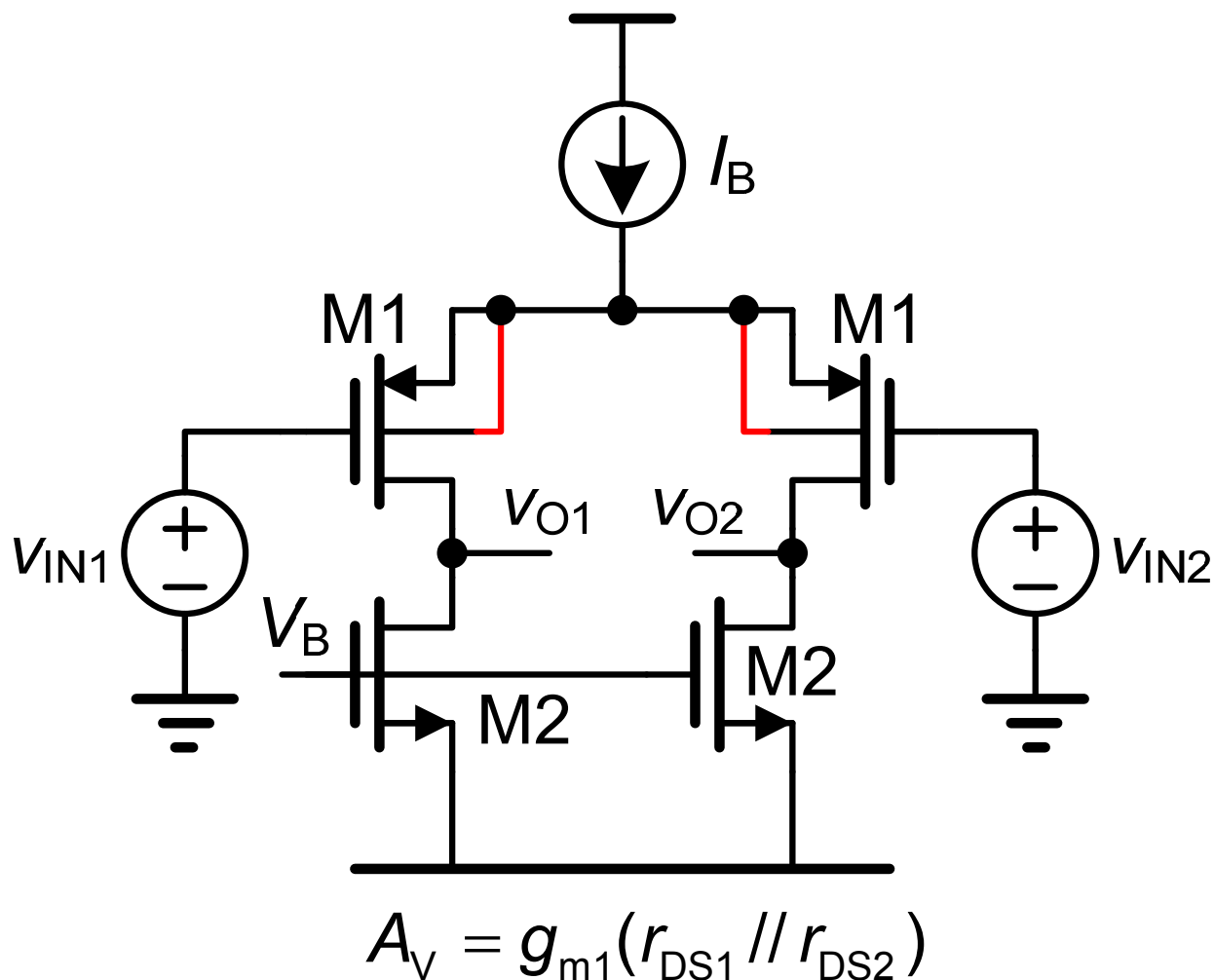
I_B 为差分对的总的直流电流

注意： $g_m = \frac{I_B}{2kT/q}$

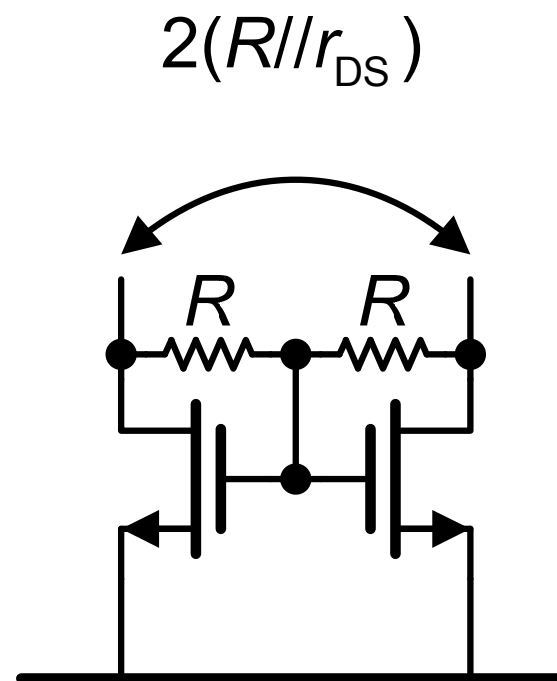
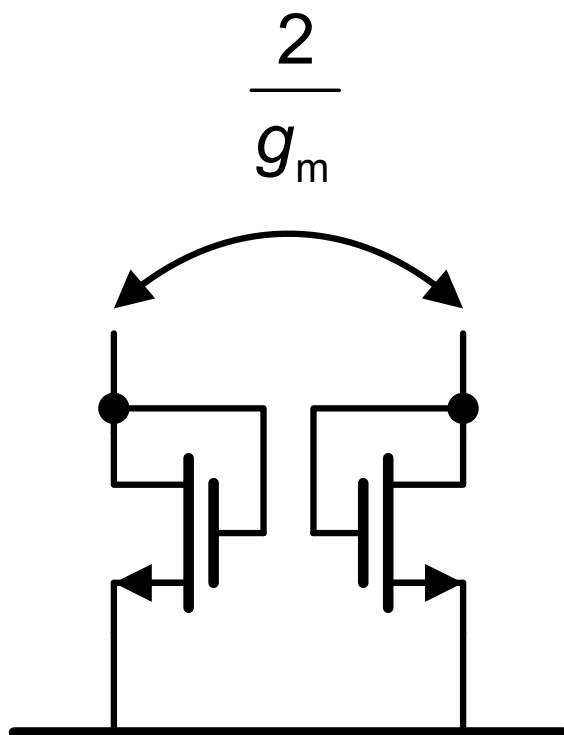
差分电压放大器：转移曲线



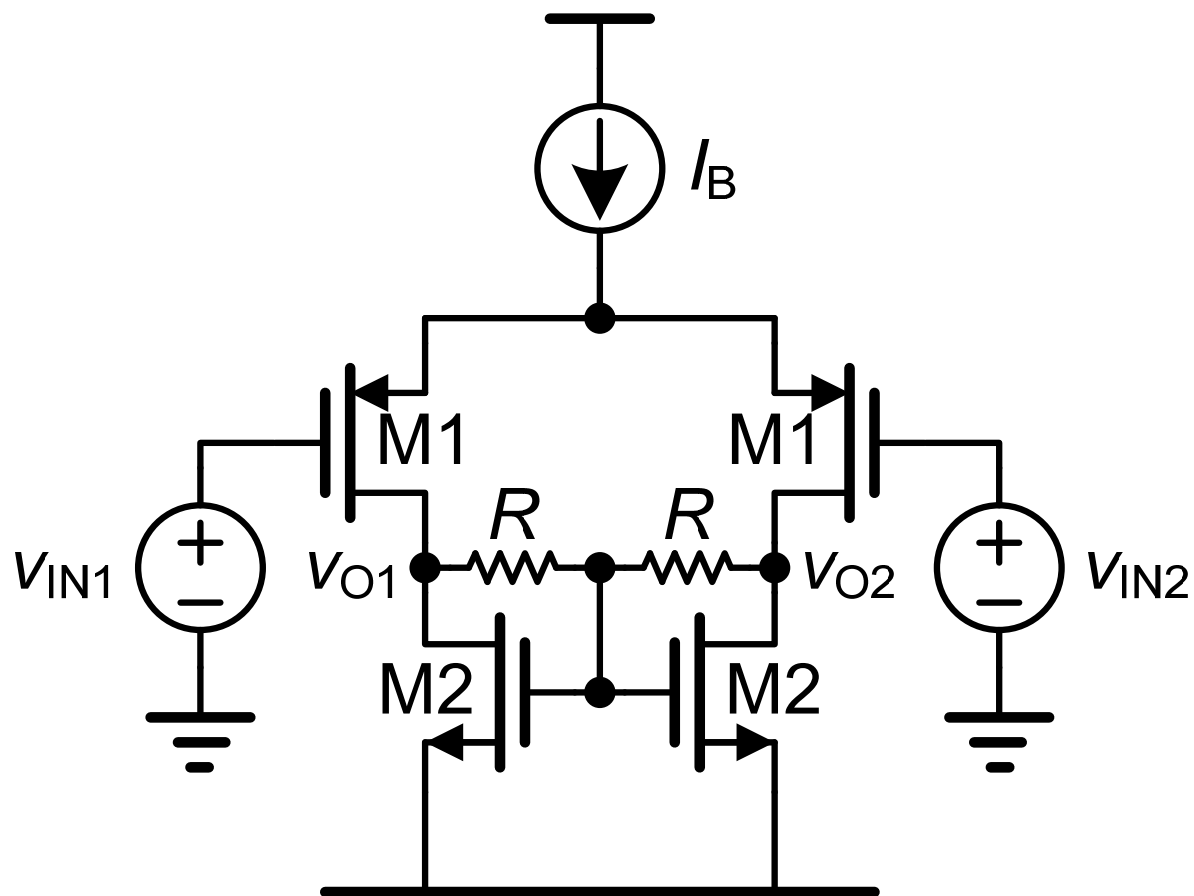
增益为 $g_m r_{DS}$ 的差分电压放大器



接电阻的二极管连接MOST



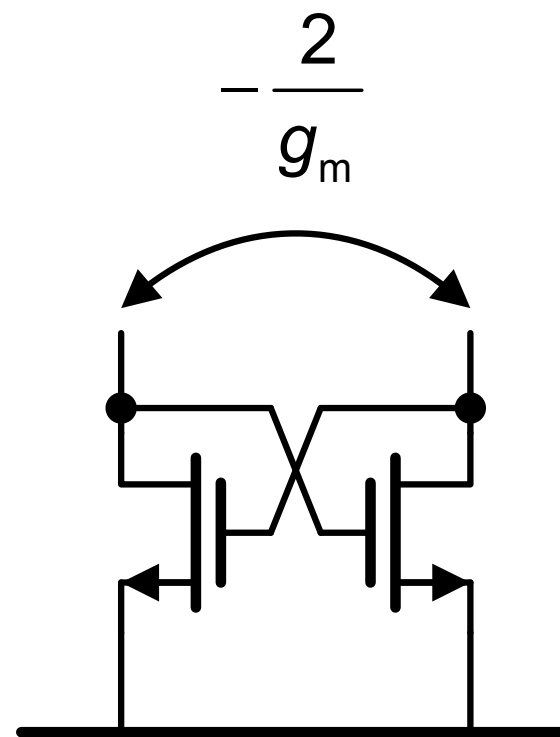
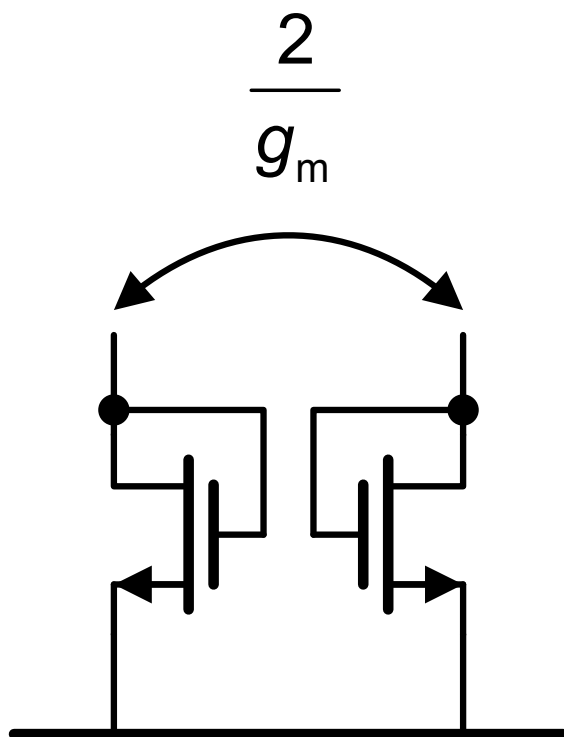
高增益差分电压放大器



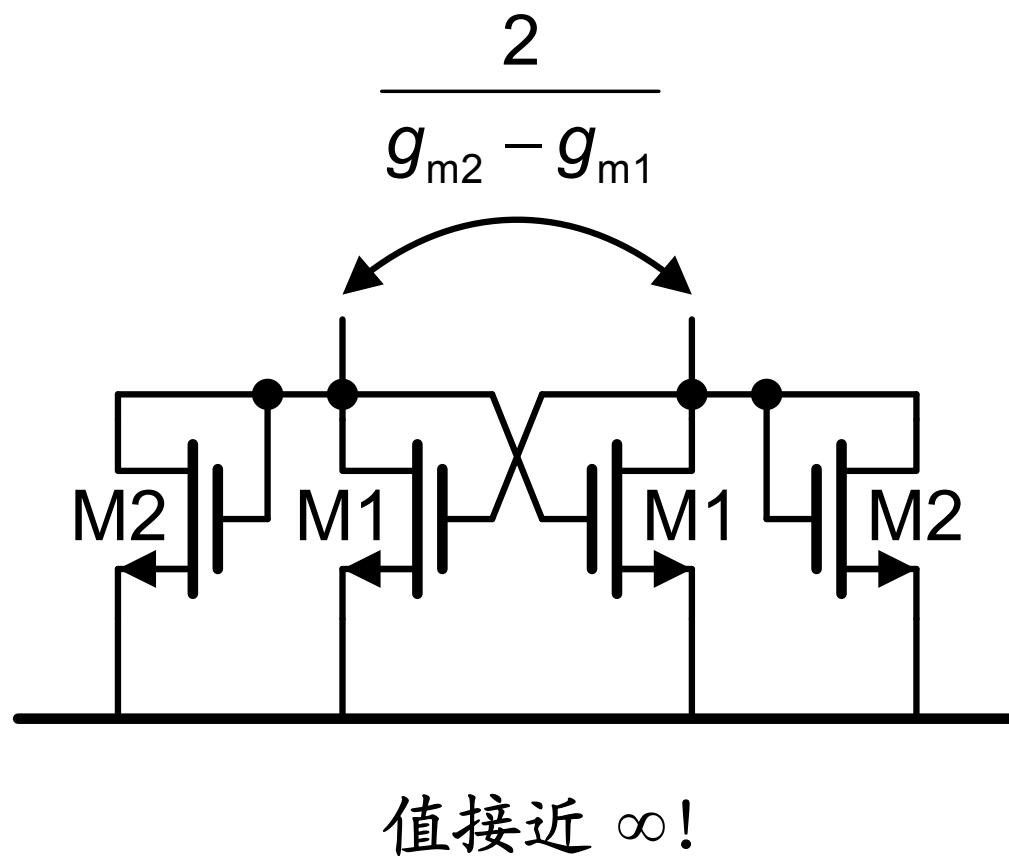
$$A_V = g_{m1}(R // r_{DS})$$

$$r_{DS} = r_{DS1} // r_{DS2}$$

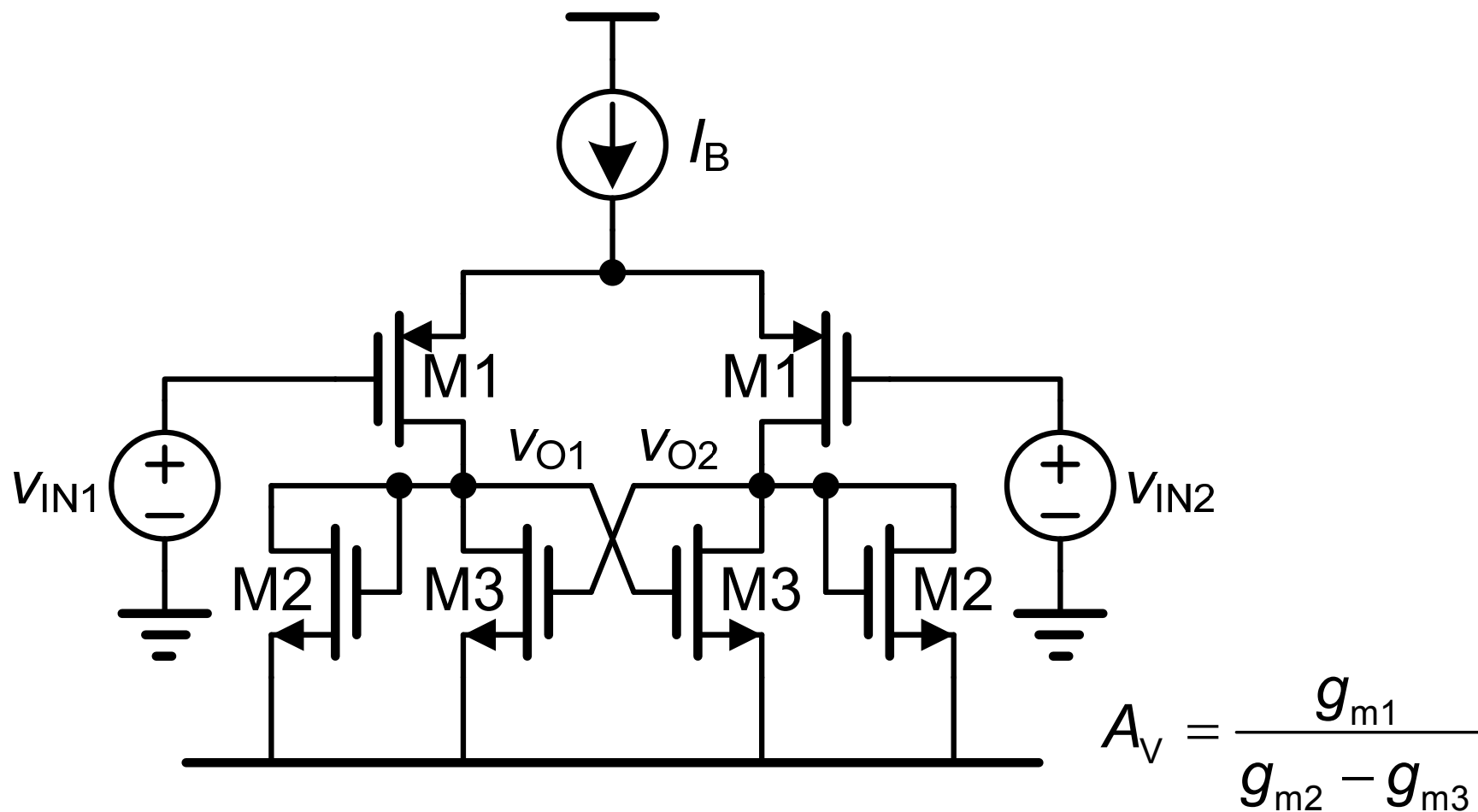
差分二极管连接MOST 1



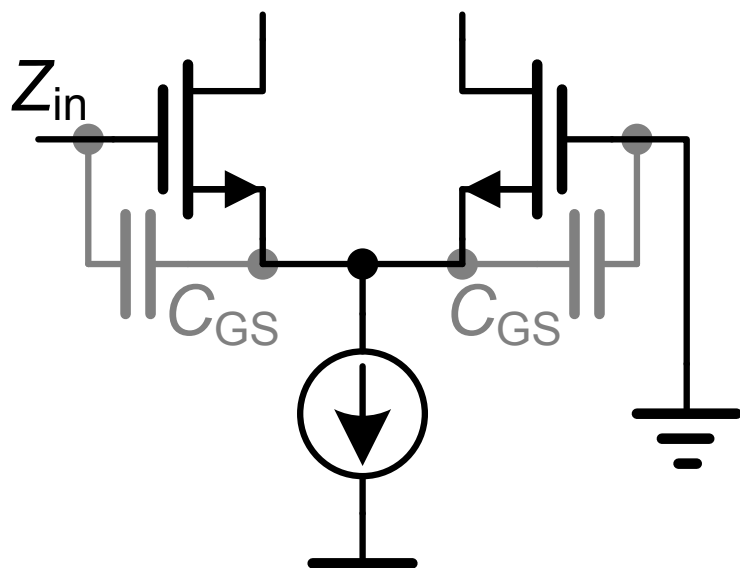
差分二极管连接MOST 2



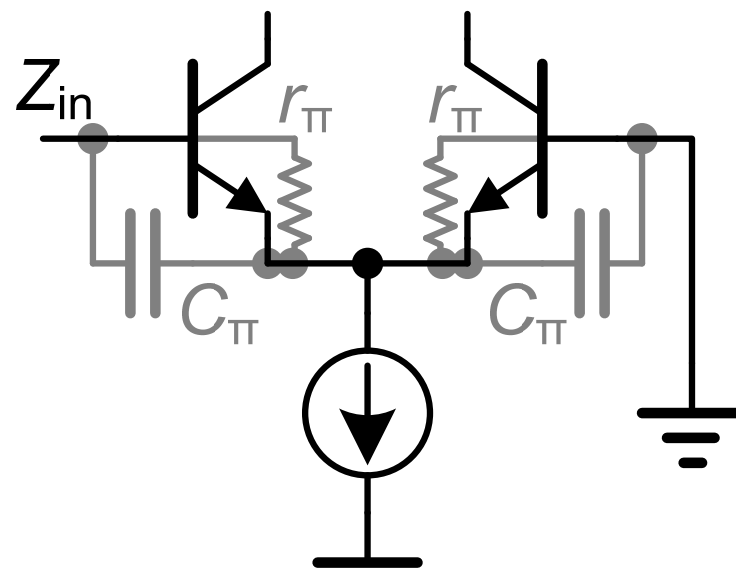
高增益电流抵消技术



输入阻抗

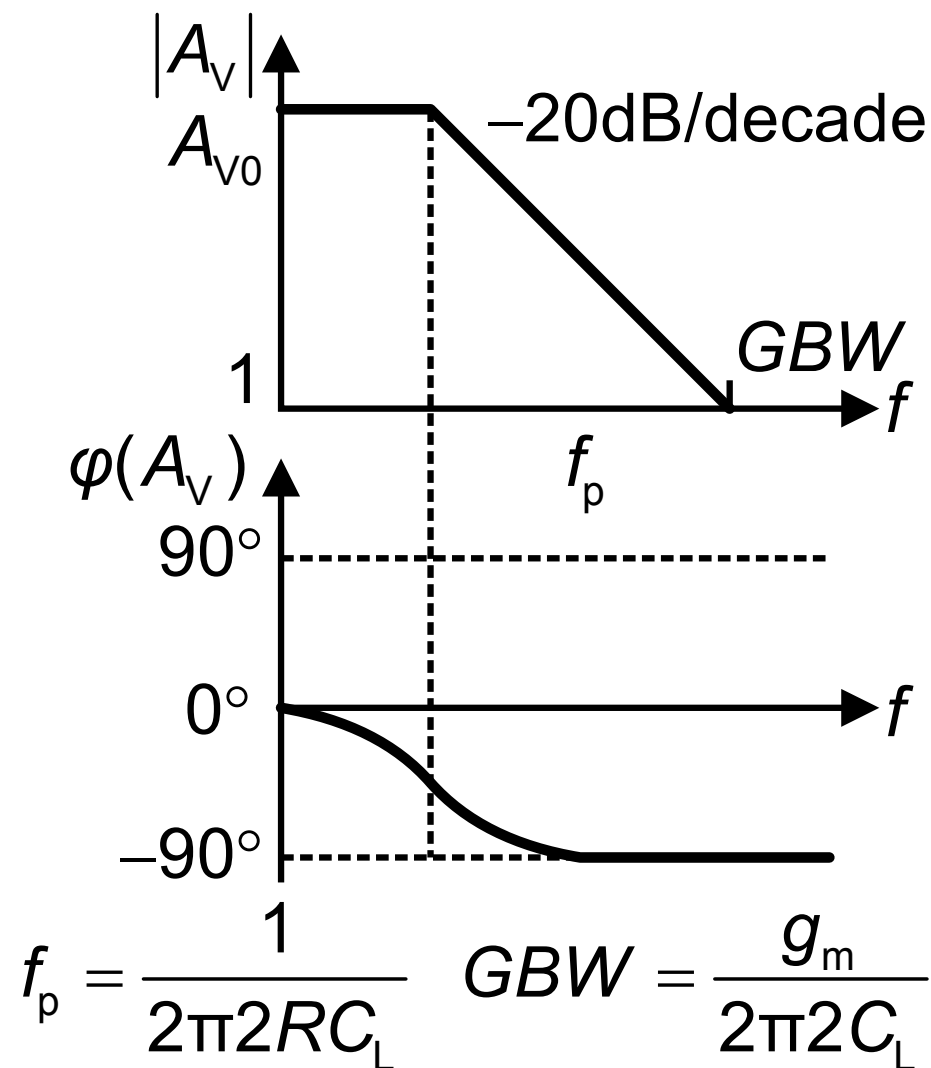
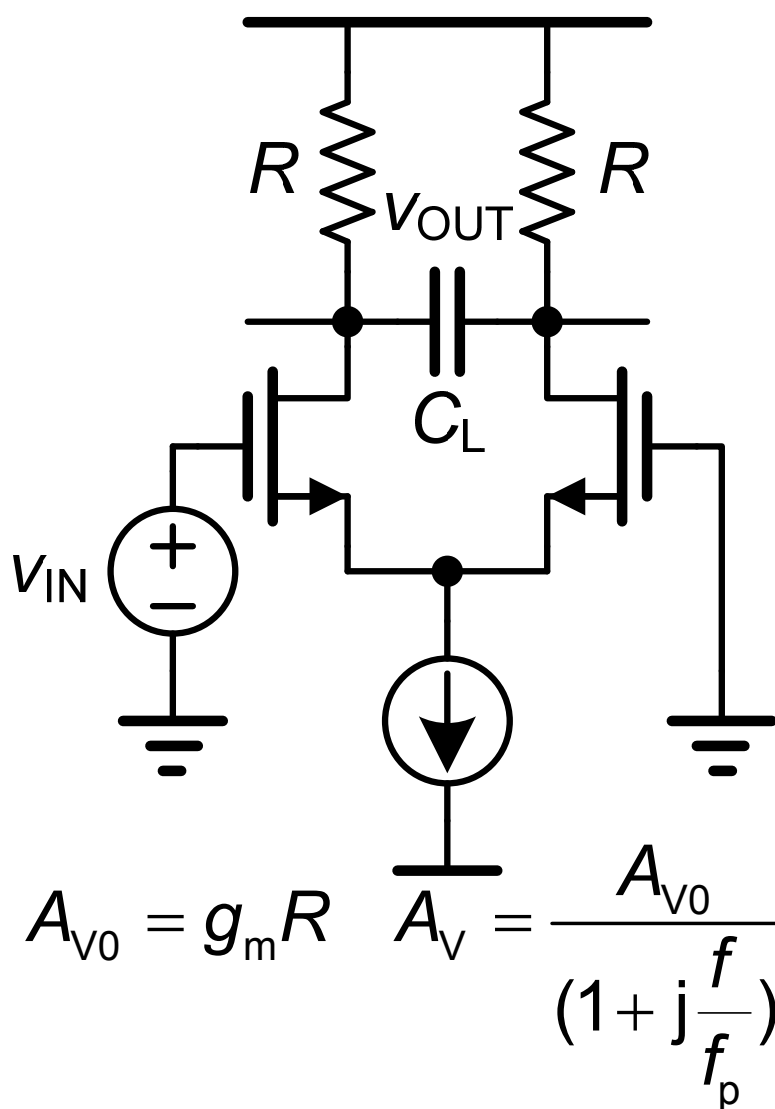


$$C_{in} = \frac{C_{GS}}{2}$$

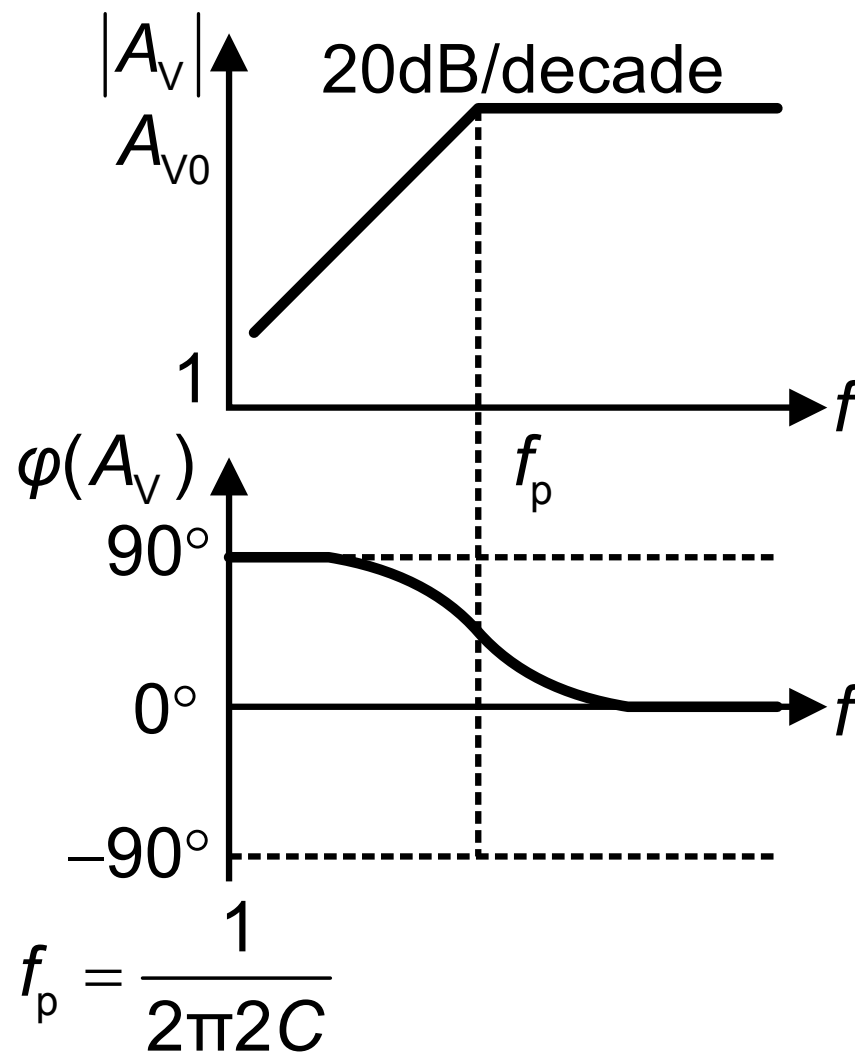
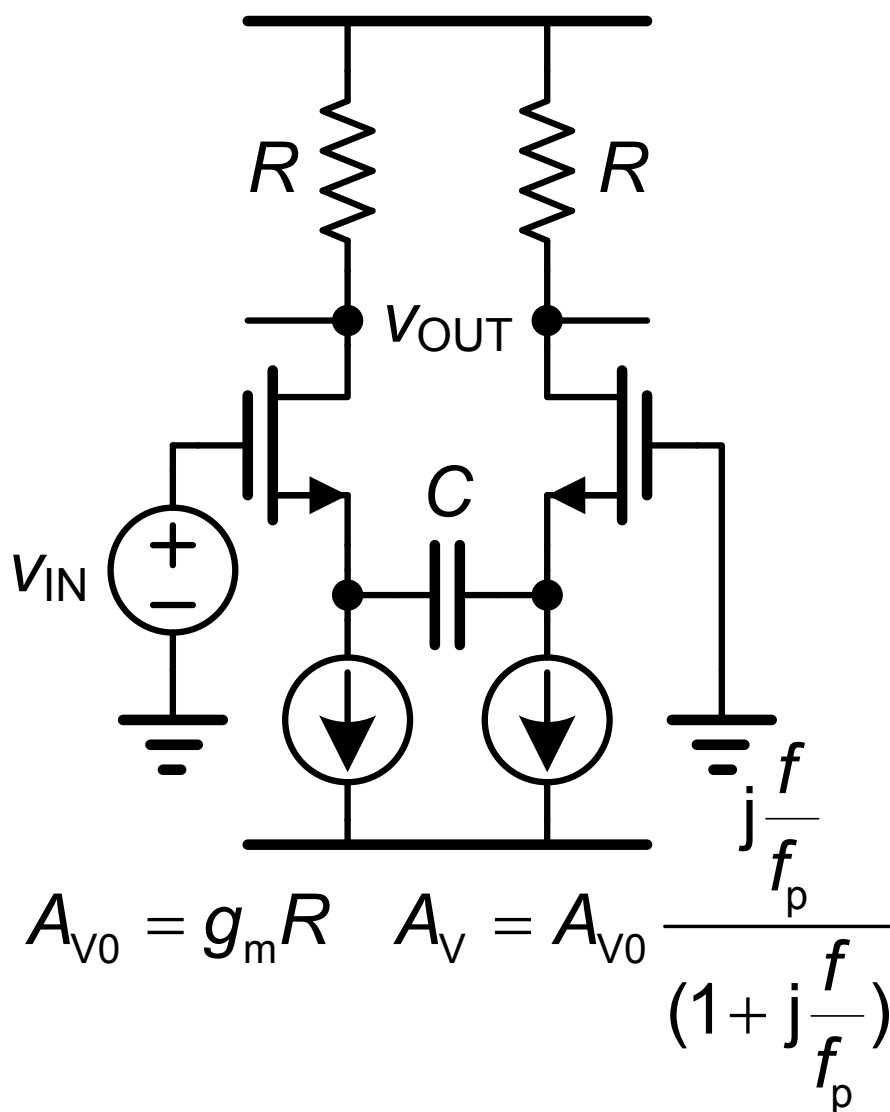


$$R_{in} = 2r_{\pi} \quad C_{in} = \frac{C_{\pi}}{2}$$

低通电压差分放大器

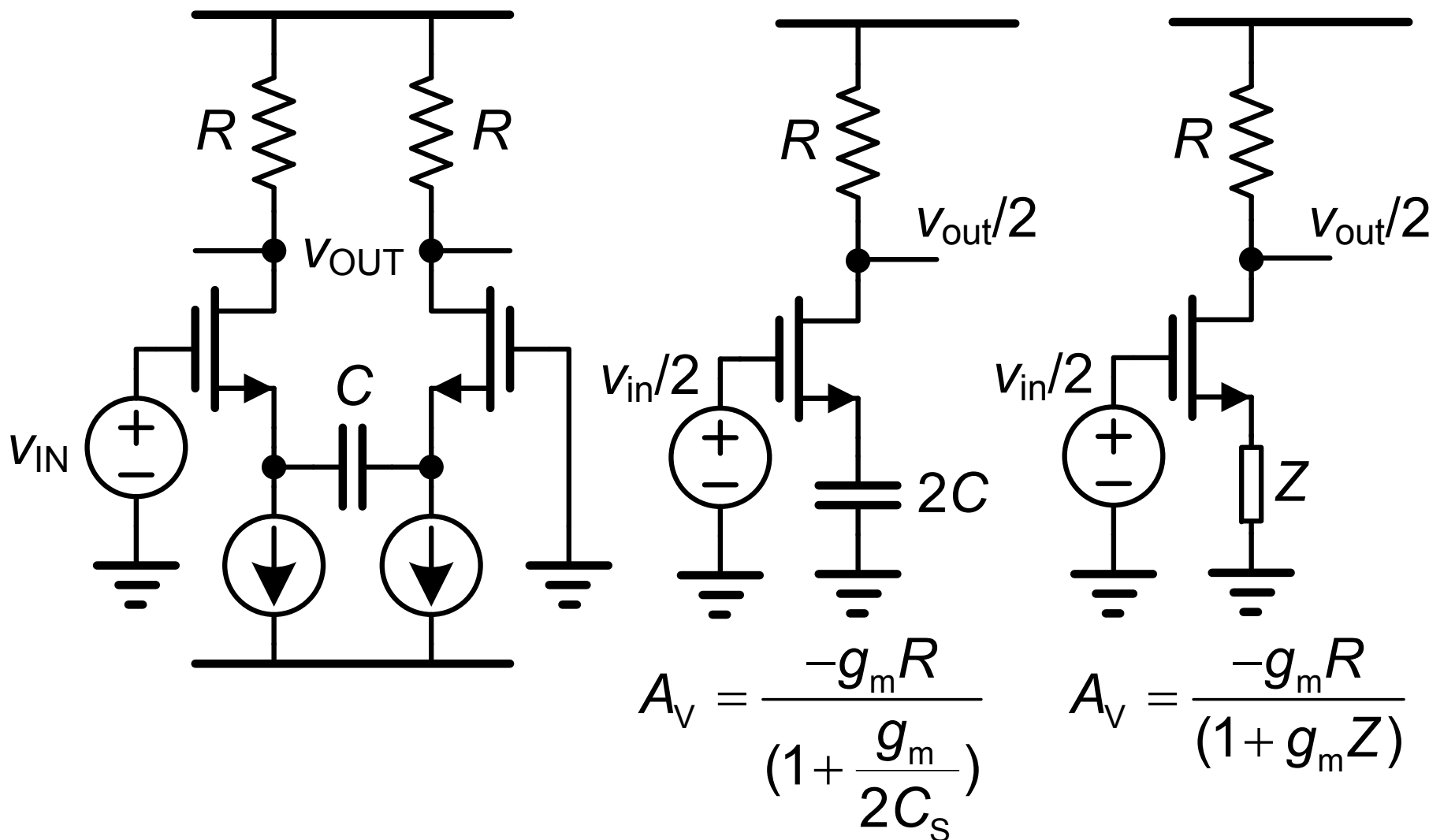


高通电压差分放大器



$$f_p = \frac{1}{2\pi 2C}$$

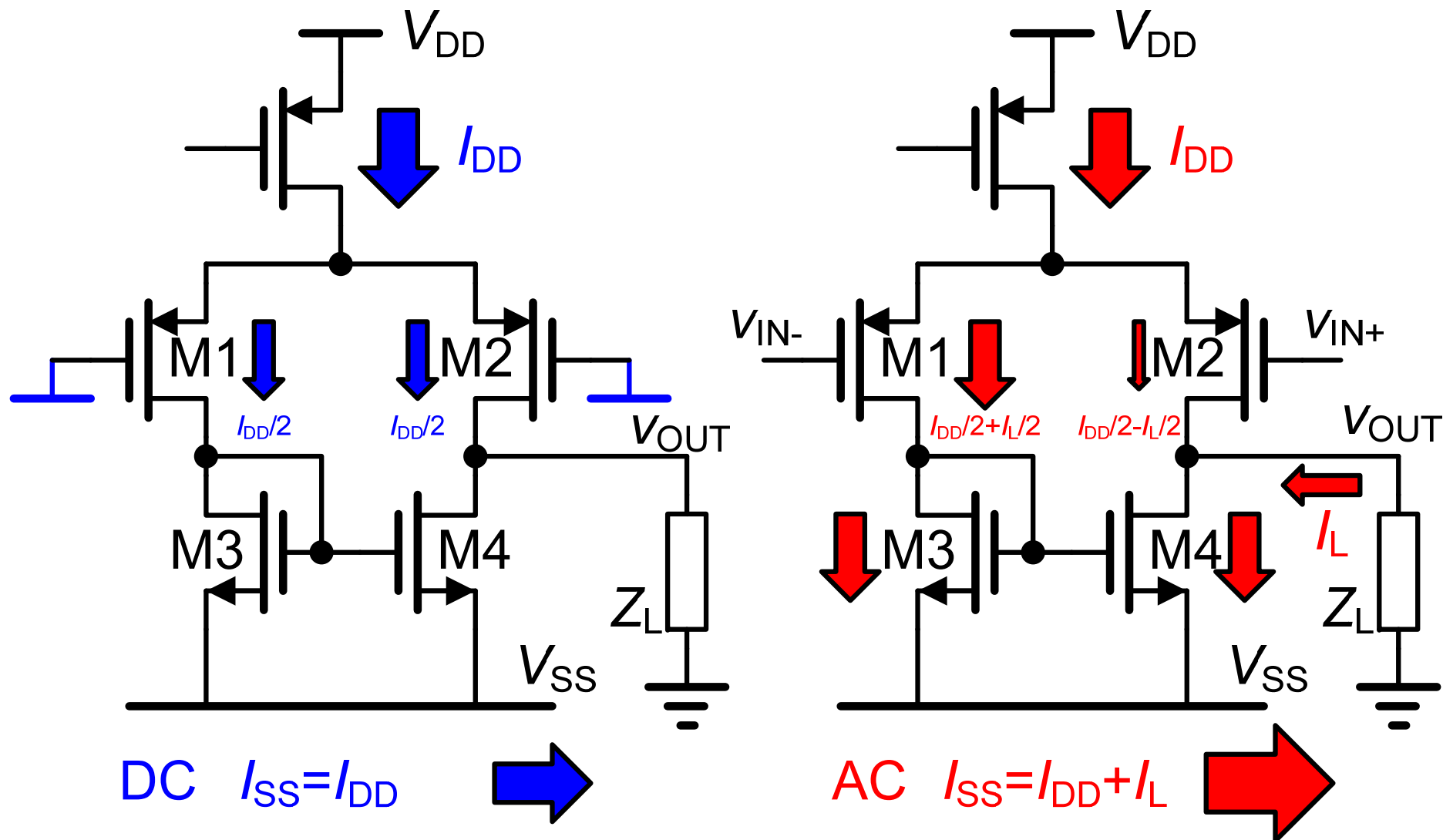
高通差分放大器的计算



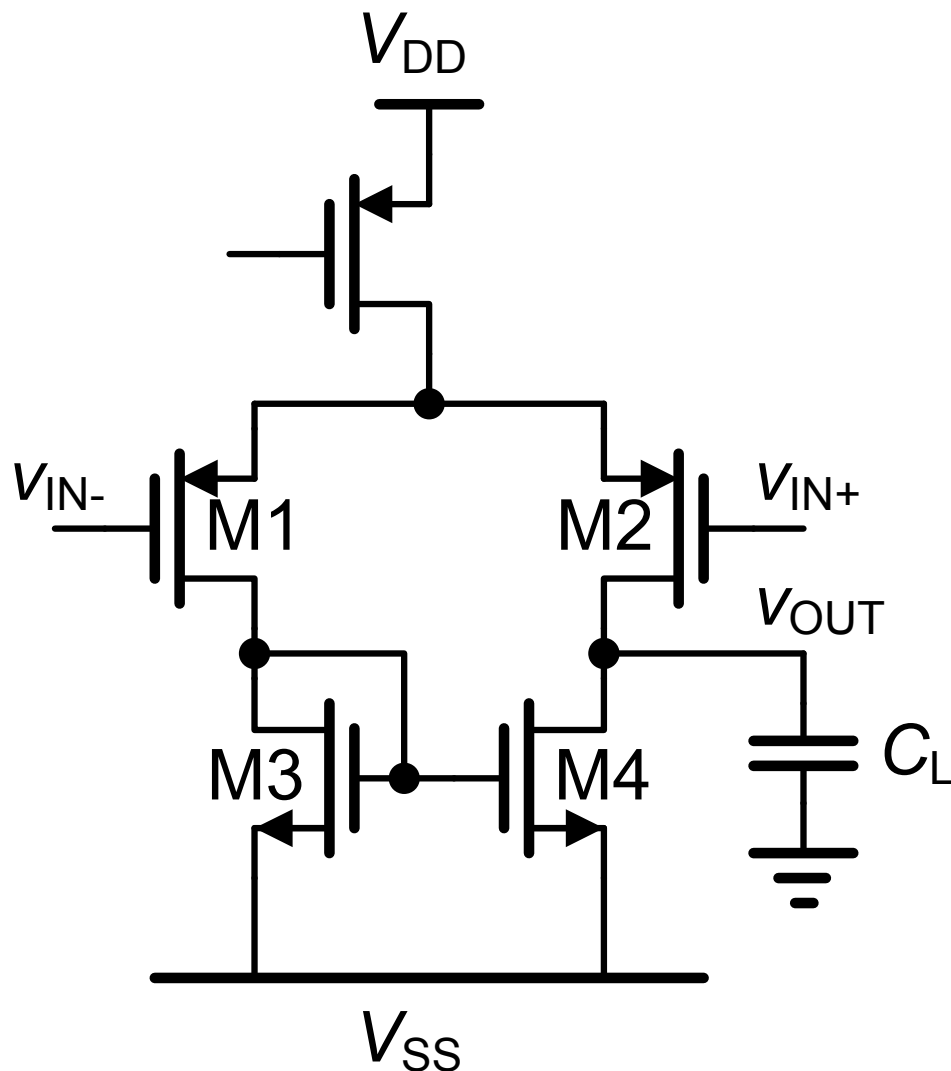
目录

- 电流镜
- 差分对
- 差分电压放大器和差分电流放大器

运算跨导放大器(OTA)



单级OTA



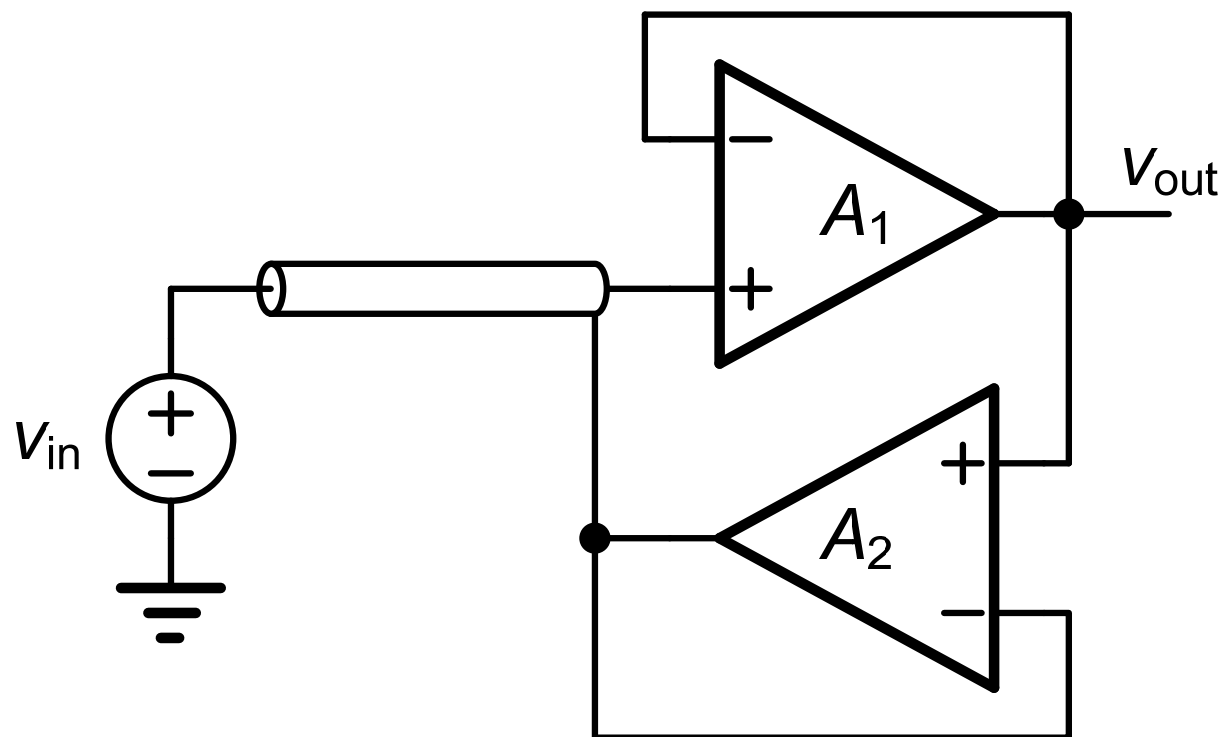
$$A_V = g_{m1} R_{out}$$

$$R_{out} = r_{DS2} // r_{DS4}$$

$$BW = \frac{1}{2\pi R_{out} C_L}$$

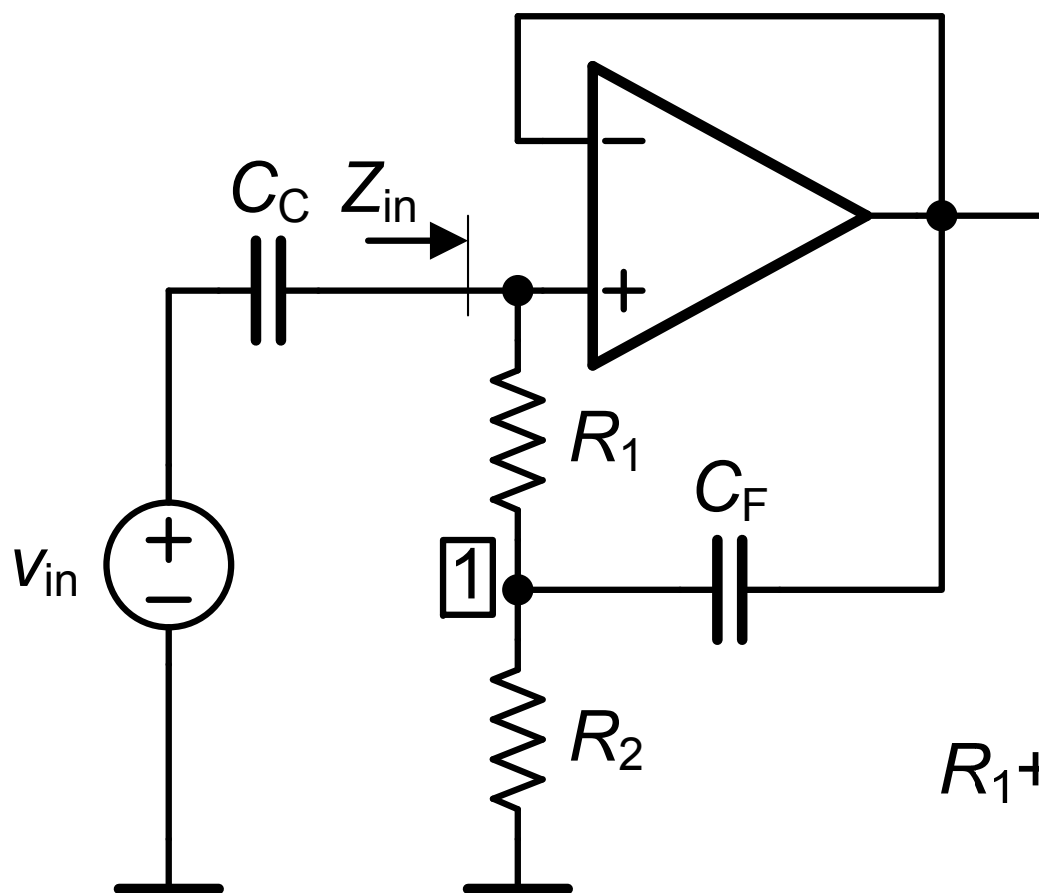
$$GBW = \frac{g_{m1}}{2\pi C_L}$$

电容自举电路



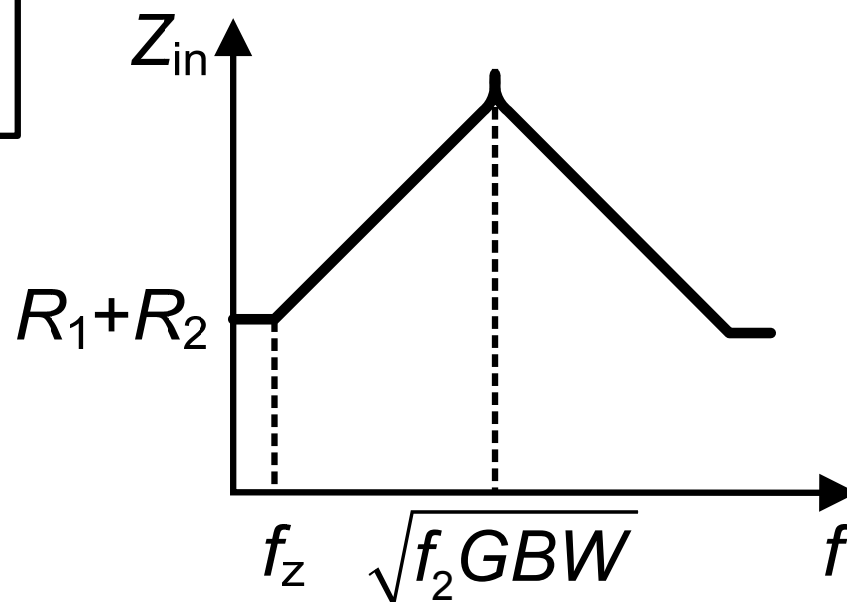
$$C_{\text{coax}} \approx 0 !!!$$

电阻自举电路 1

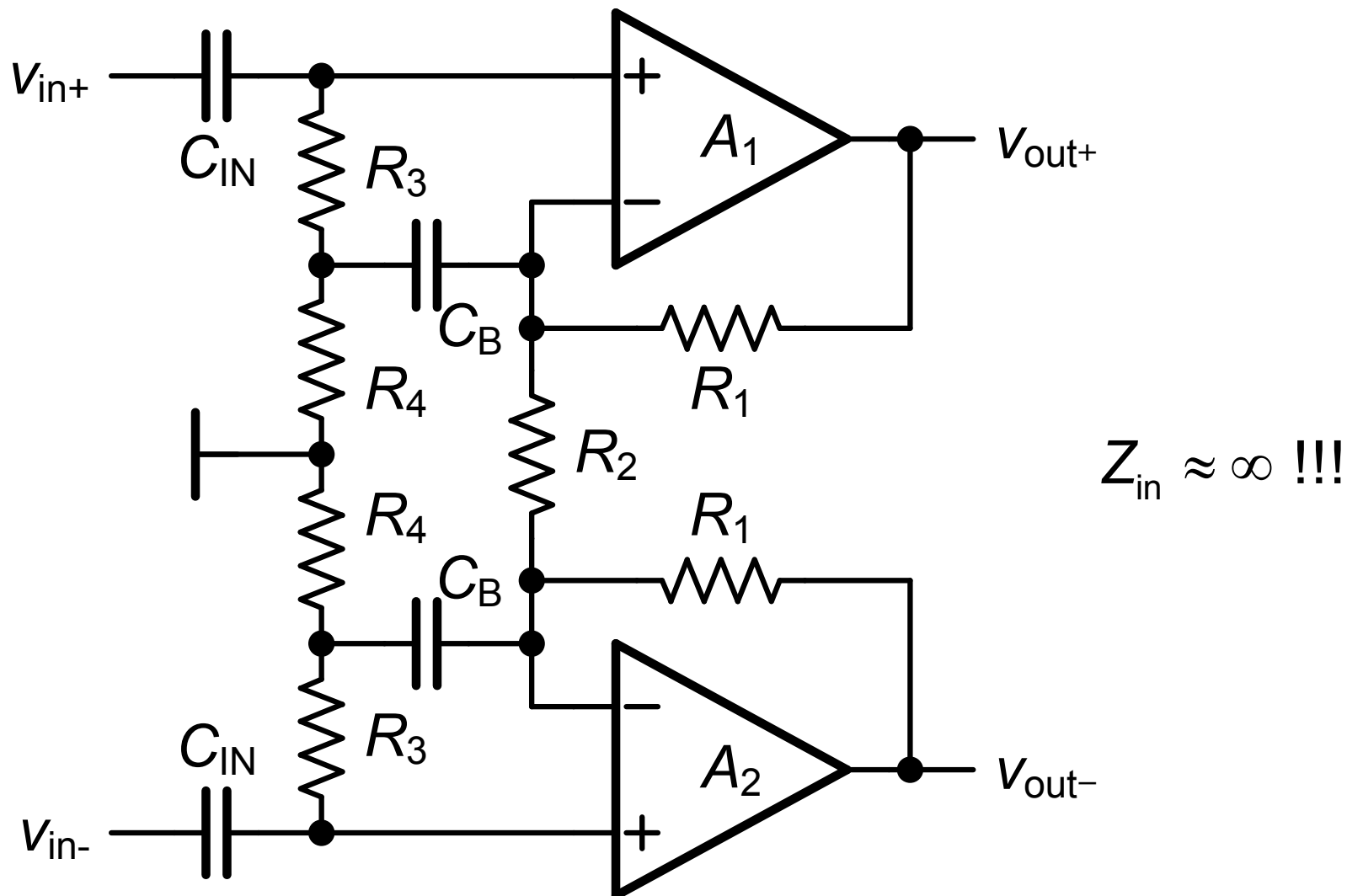


$$f_z = \frac{1}{2\pi(R_1 // R_2)C_F}$$

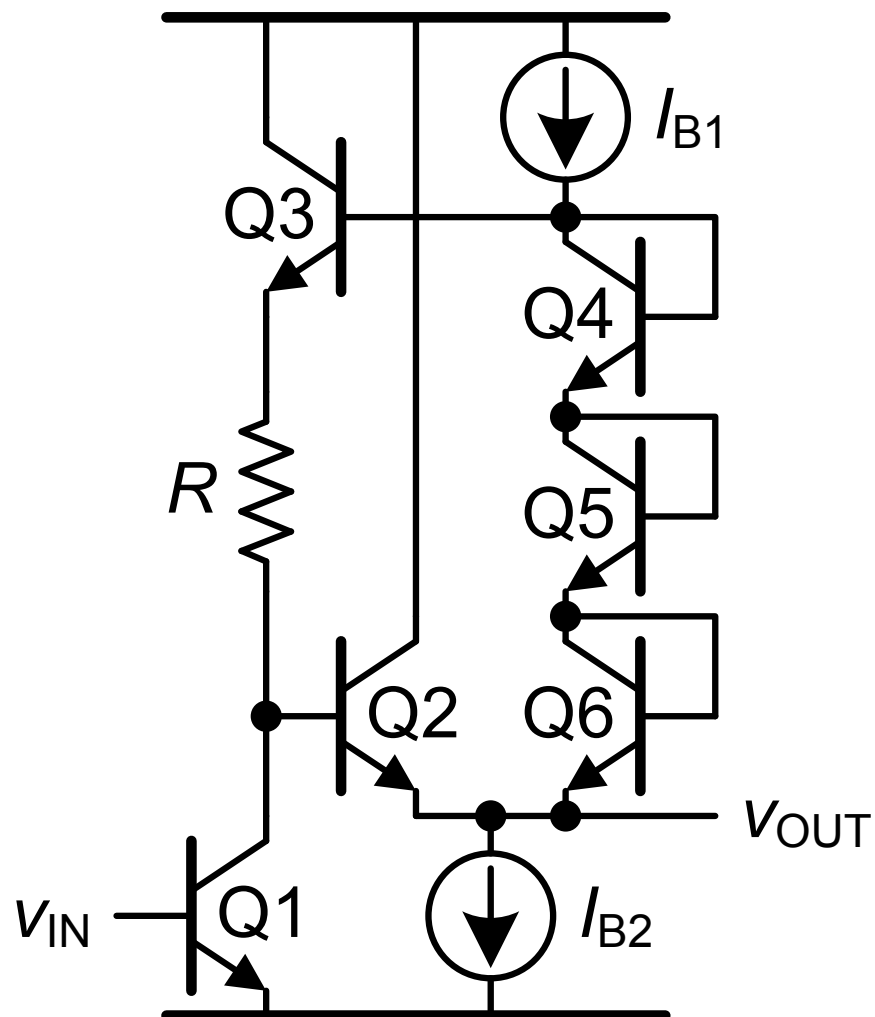
$$f_2 = \frac{1}{2\pi R_2 C_F}$$



电阻自举电路 2



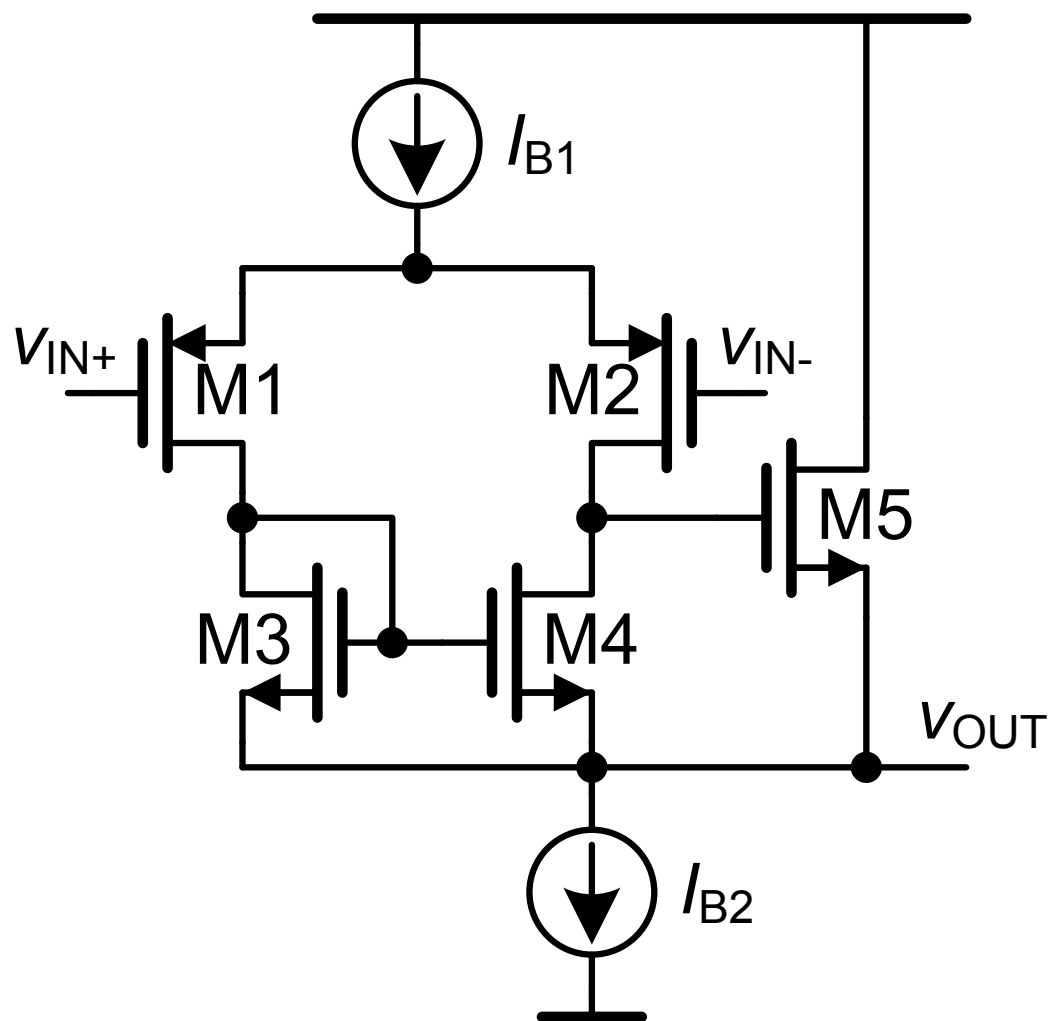
电阻自举电路 3



R 被自举掉了： 增益非常高！

Ref.: Nordholt JSSC June 85, 688-696

电阻自举电路 4

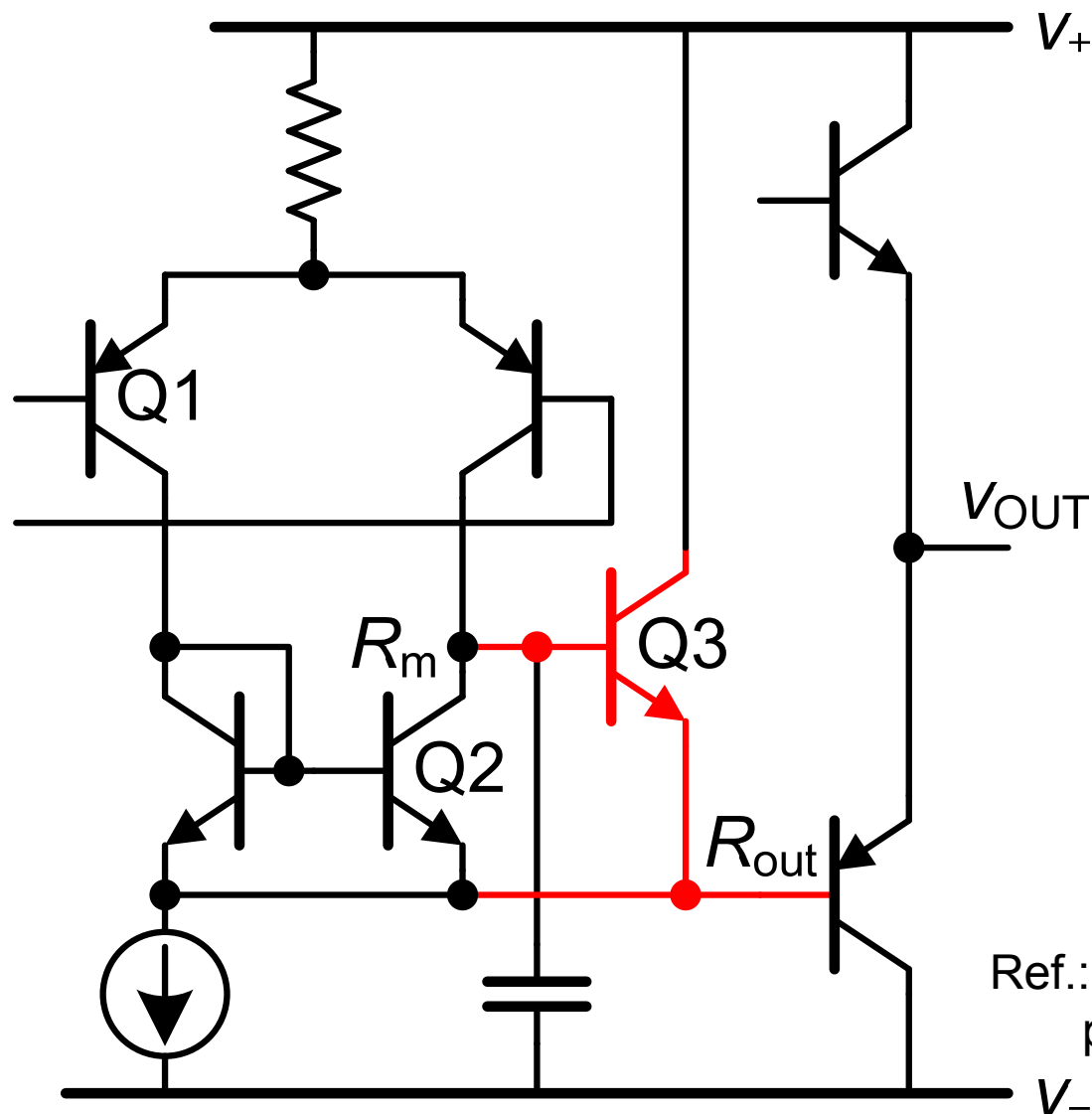


r_{DS4} 被自举掉了!

$$A_v \approx g_{m1} r_{DS2}$$

GBW 相同!

电阻自举电路 5



$$R_m \rightarrow x\beta_3$$

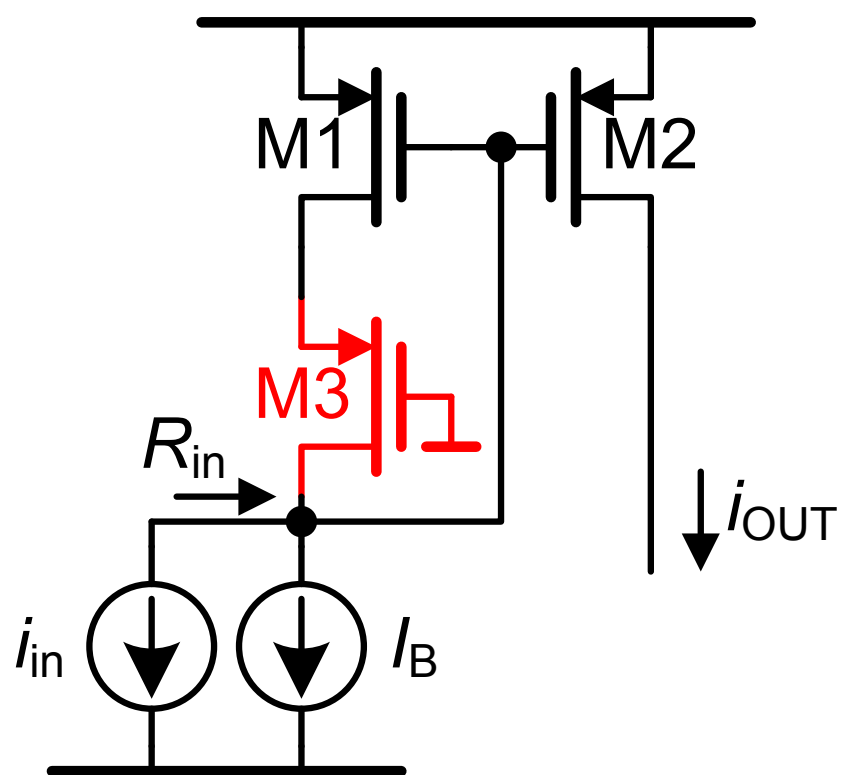
$$R_{out} \rightarrow x \frac{1}{\beta_3}$$

$$A_v \approx g_{m1} r_{o2} x \beta_3$$

*GBW*相同!

Ref.: De Man JSSC June 77,
pp. 217-222 LT1008, LT1012

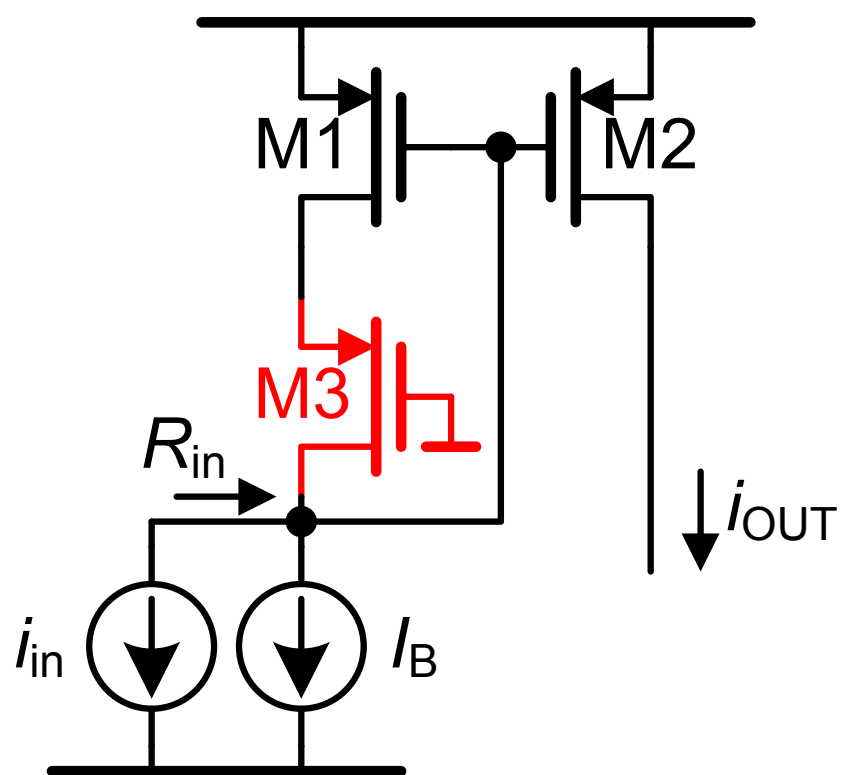
电流差分放大器



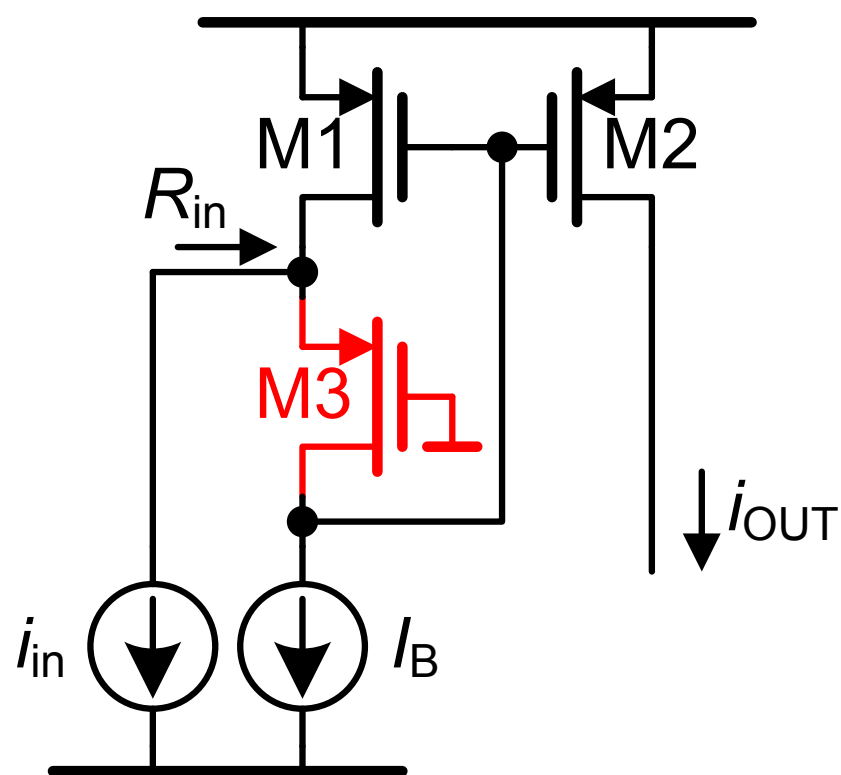
相同！ **M3**未影响其他参数。

$$i_{OUT} = I_B + i_{in} \quad R_{in} = \frac{1}{g_{m1}}$$

电流差分放大器

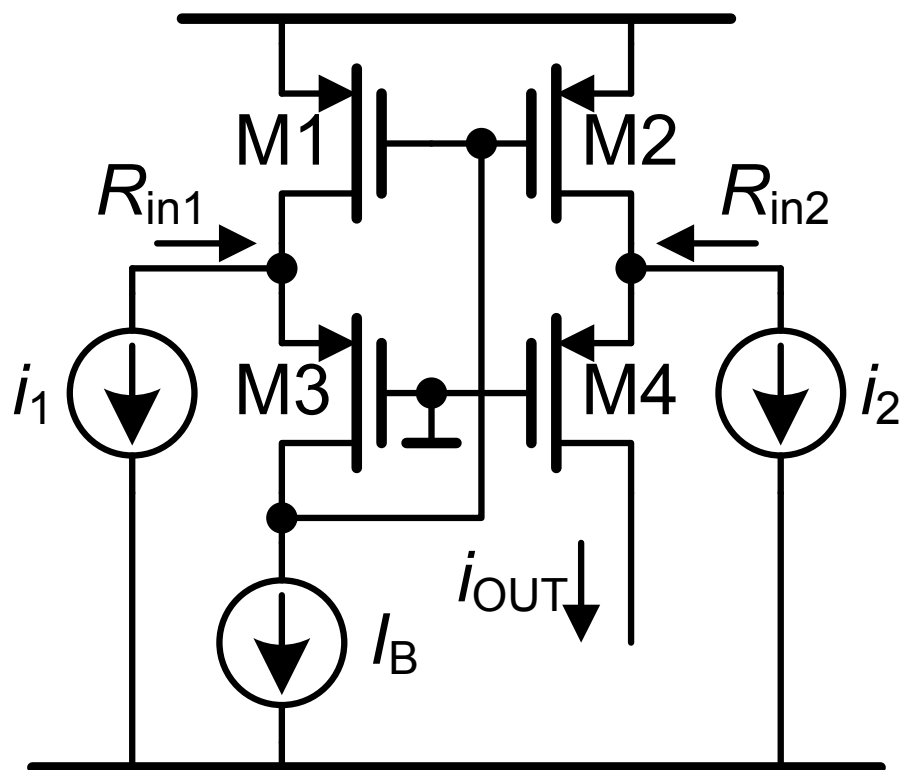


$$i_{OUT} = I_B + i_{in} \quad R_{in} = \frac{1}{g_{m1}}$$



$$R_{in} = \frac{1}{g_{m1}} \frac{1}{g_{m3} r_{DS3}}$$

电流差分放大器



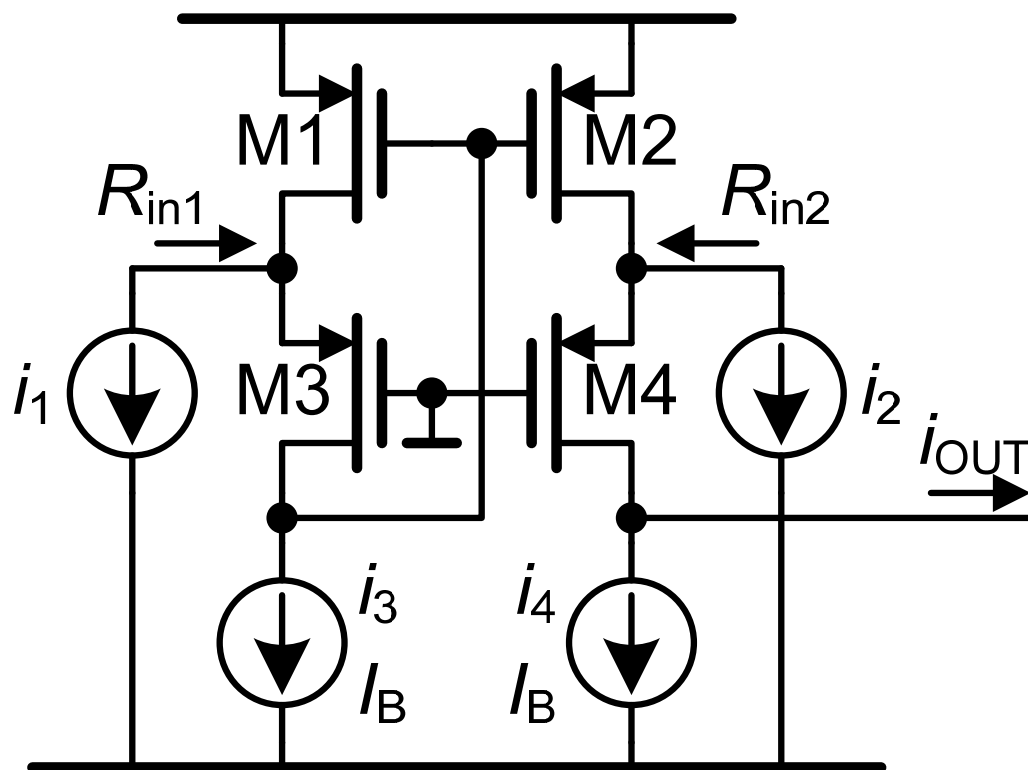
$$i_{OUT} = I_B + i_1 - i_2$$

$$R_{in1} = \frac{1}{g_{m1}} \frac{1}{g_{m3} r_{DS3}}$$

$$R_{in2} = \frac{1}{g_{m4}}$$

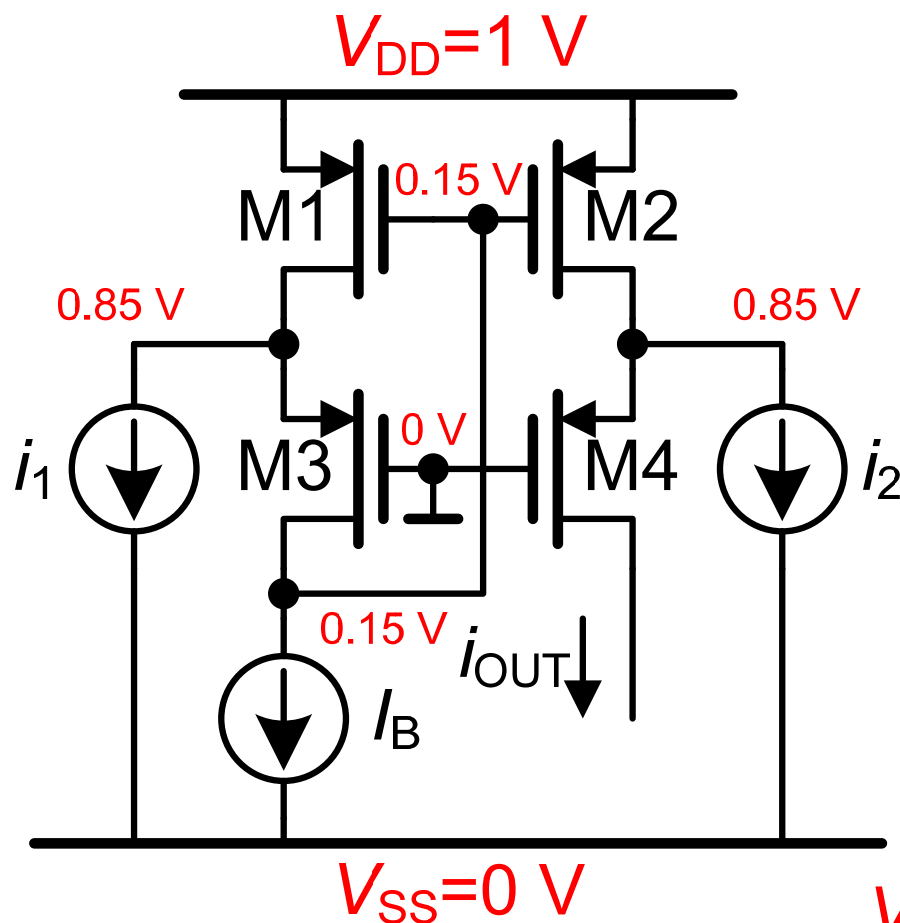
Ref.:Ref. Fischer, JSSC June 87, 330-340

4输入电流放大器



$$i_{OUT} = i_1 - i_2 + i_3 - i_4$$

低电压放大器



$$i_{OUT} = I_B + i_1 - i_2$$

$$V_{GS} = 0.85\text{ V}$$

$$V_{DSsat} = 0.15\text{ V}$$

$$V_{outmax} = 0.7\text{ V}$$

$$V_T = 0.7\text{ V} \Rightarrow V_{DDmin} \approx 1.0\text{ V}$$

$$V_T = 0.3\text{ V} \Rightarrow V_{DDmin} \approx 0.6\text{ V}$$

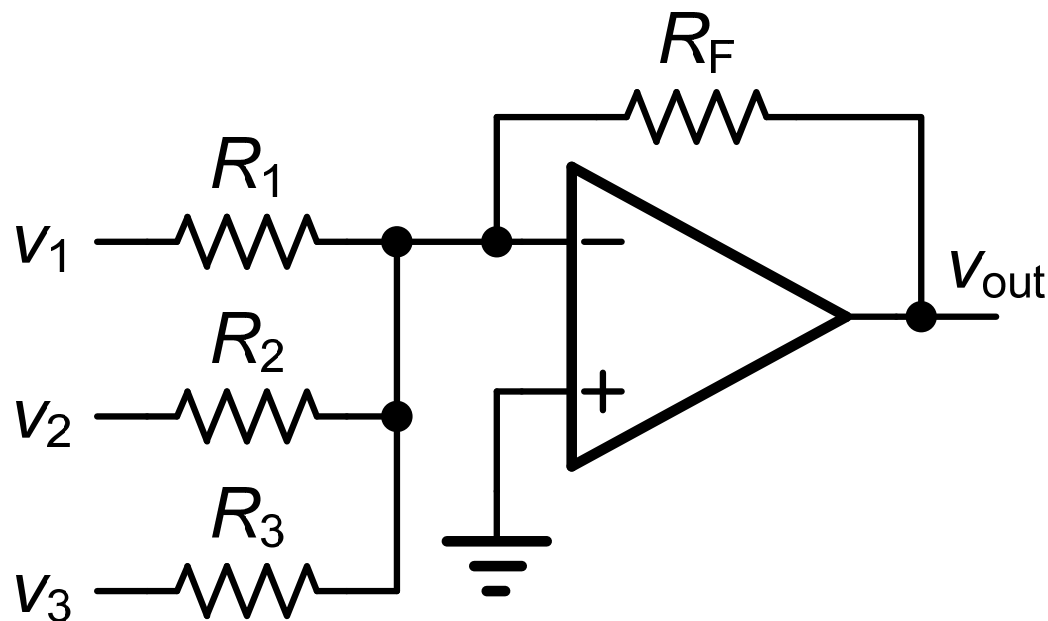
运算放大器的稳定性

目录

- 运算放大器的使用
- 两级运放的稳定性
- 极点分离
- 正零点的补偿
- 三级运放的稳定性

Ref.: W. Sansen : Analog Design Essentials, Springer 2006

运算放大器的运算功能

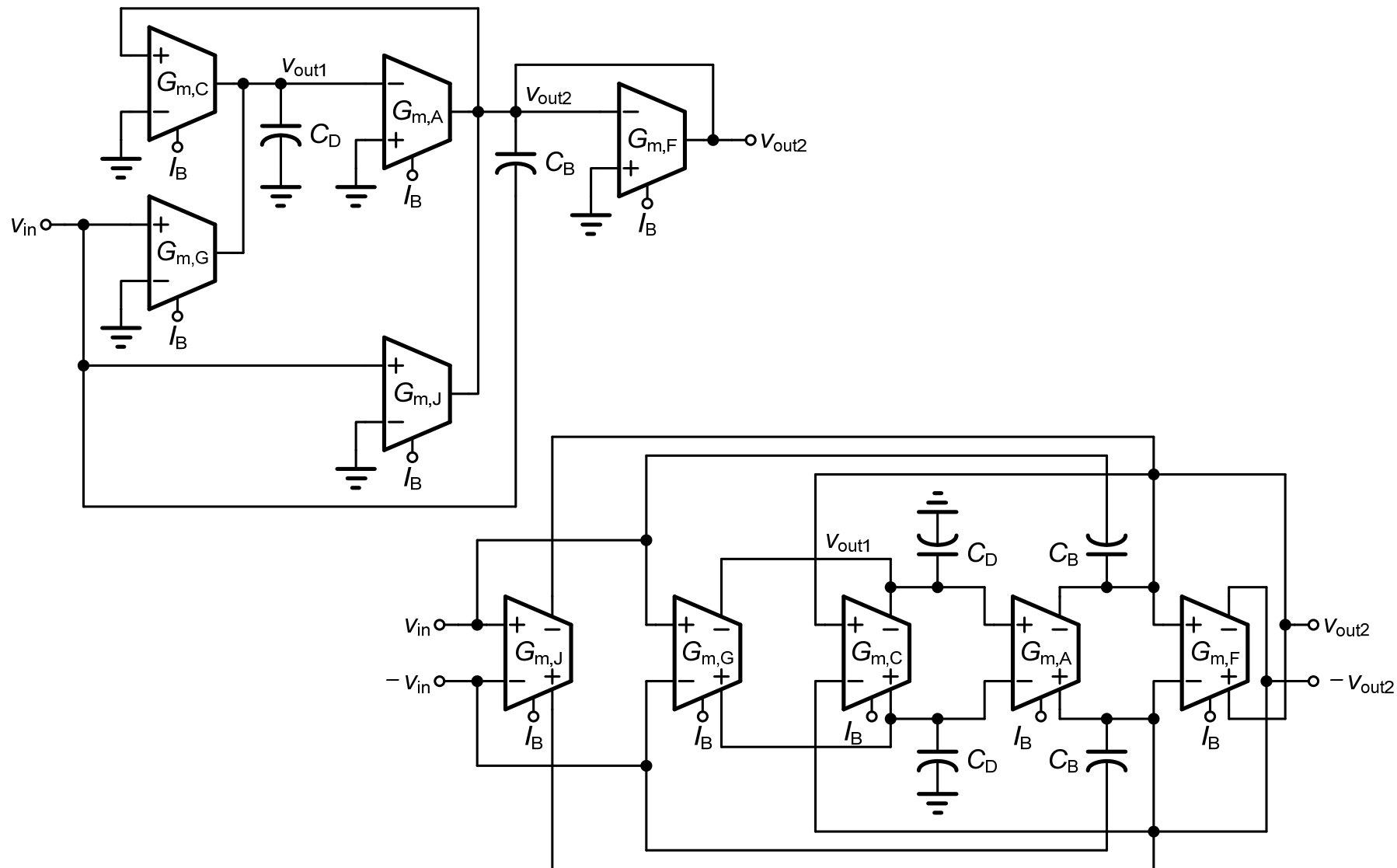


$$-\frac{V_{out}}{R_F} = \frac{V_1}{R_1} + \frac{V_2}{R_2} + \frac{V_3}{R_3}$$

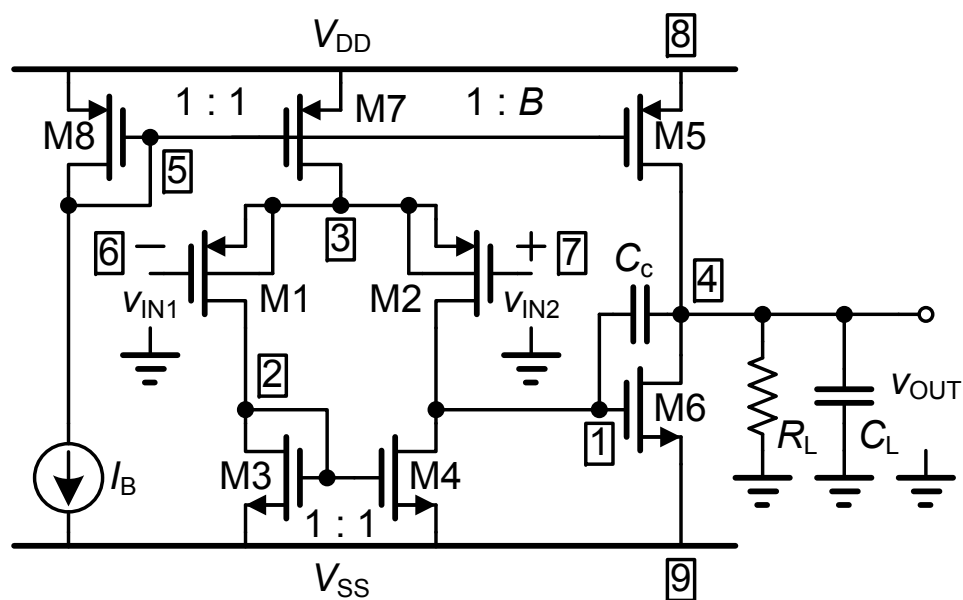
要求： 高增益
高速
低噪声
低功耗

运放性能指标： 高电压增益
差分输入电压 ≈ 0
输入电流 $= 0$
高带宽
增益带宽乘积 **GBW** 非常，非常高！

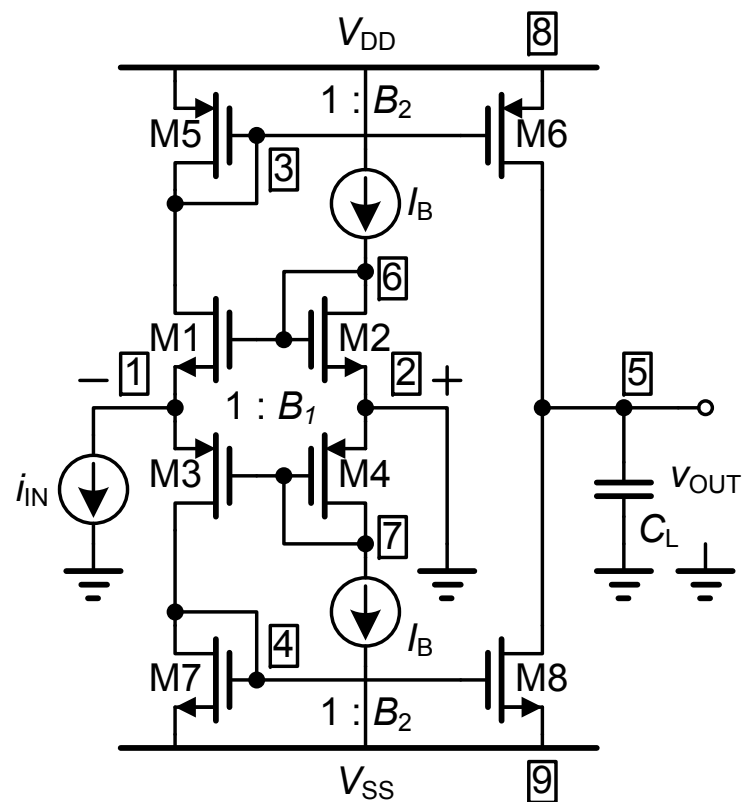
单端？全差分？



电压输入？ 电流输入？



电压输入
电流输出

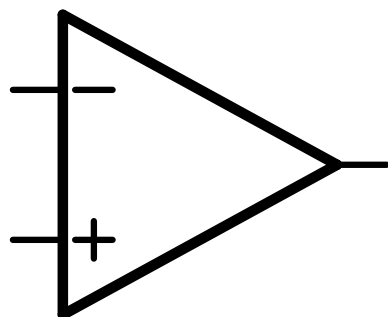


电流输入
电流输出

分类

Opamp

电压
放大器



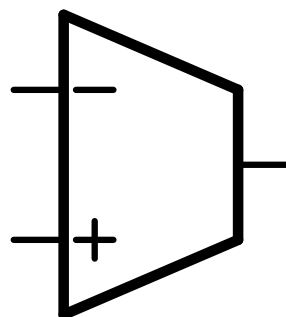
$$A_V = \frac{V_{out}}{V_{in}}$$

$$A_V =$$

GBW

OTA

跨导
放大器

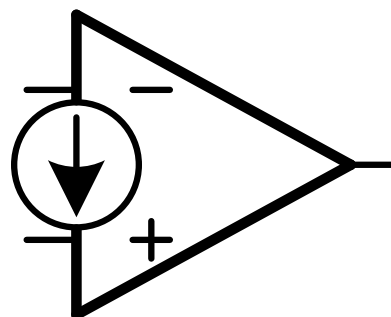


$$A_G = \frac{i_{out}}{V_{in}}$$

$$A_V = A_G R_L$$

OCA

电流
放大器

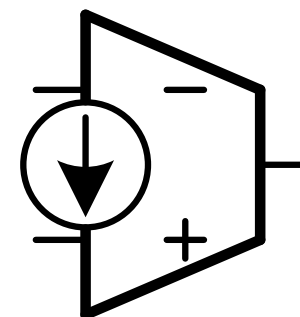


$$A_I = \frac{i_{out}}{i_{in}}$$

$$A_V = A_I \frac{R_L}{R_S}$$

CM amp

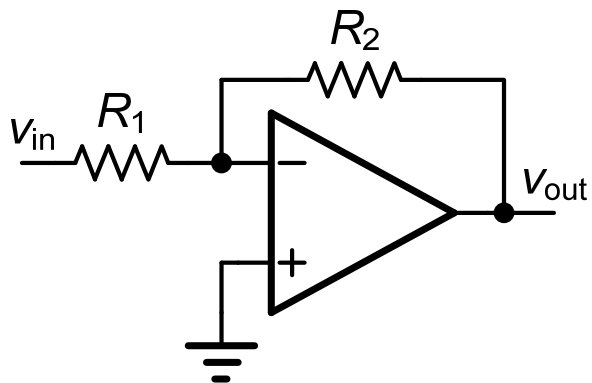
跨阻
放大器



$$A_R = \frac{V_{out}}{i_{in}}$$

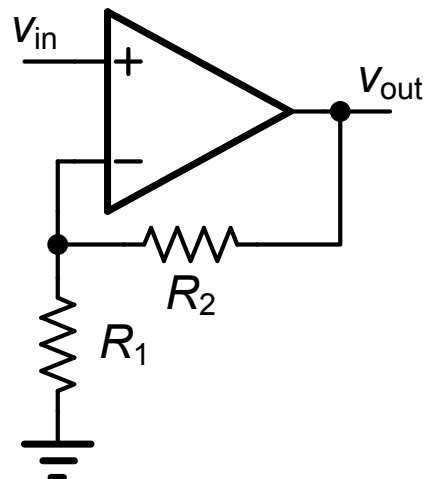
$$A_V = A_R \frac{1}{R_S}$$

反馈结构



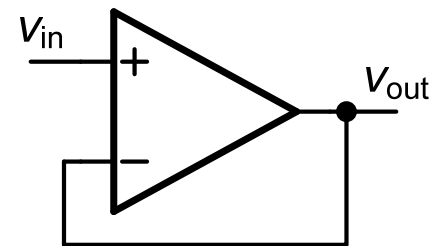
$$A_V = -\frac{R_2}{R_1}$$

$$R_{IN} = R_1$$



$$A_V = 1 + \frac{R_2}{R_1}$$

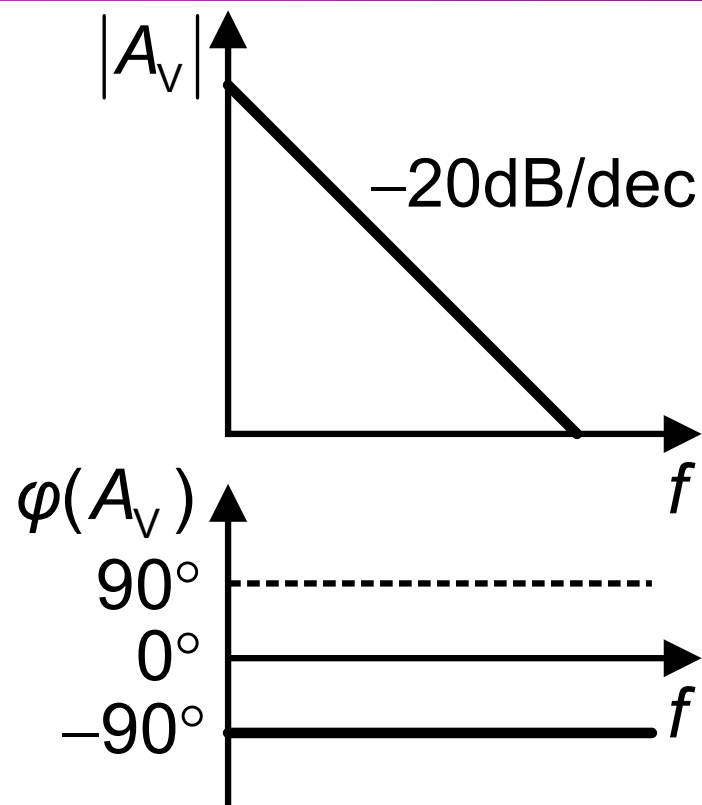
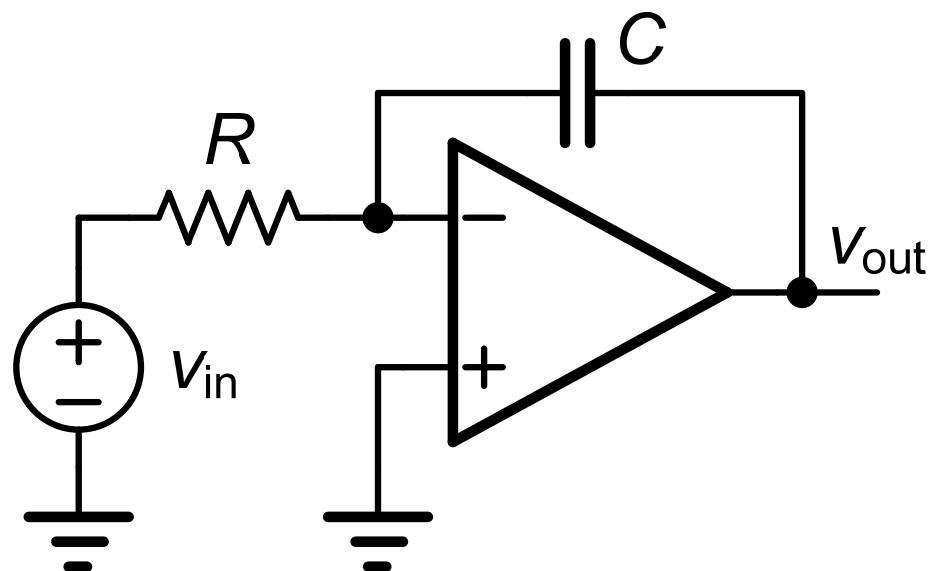
$$R_{IN} = \infty$$



$$A_V = 1$$

$$R_{IN} = \infty$$

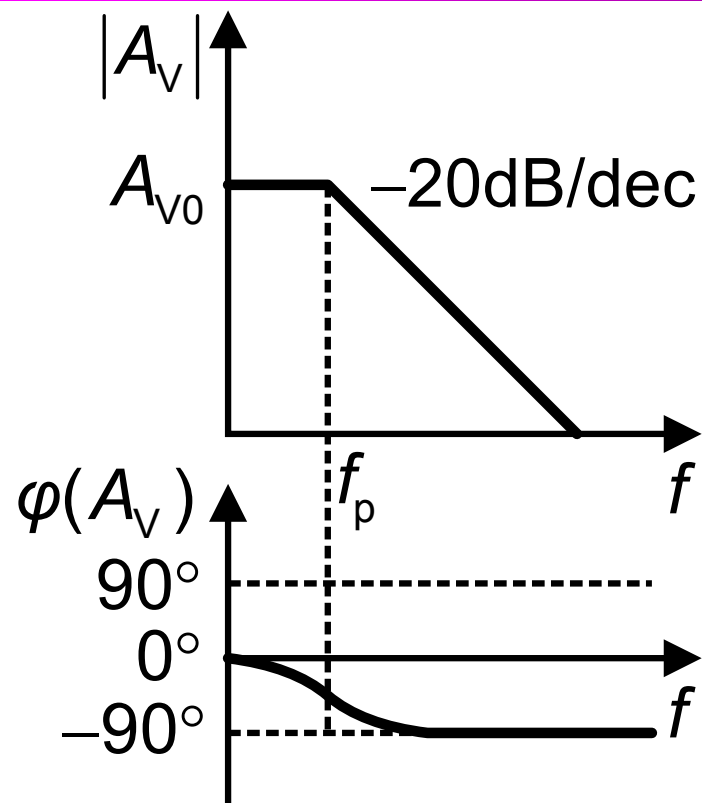
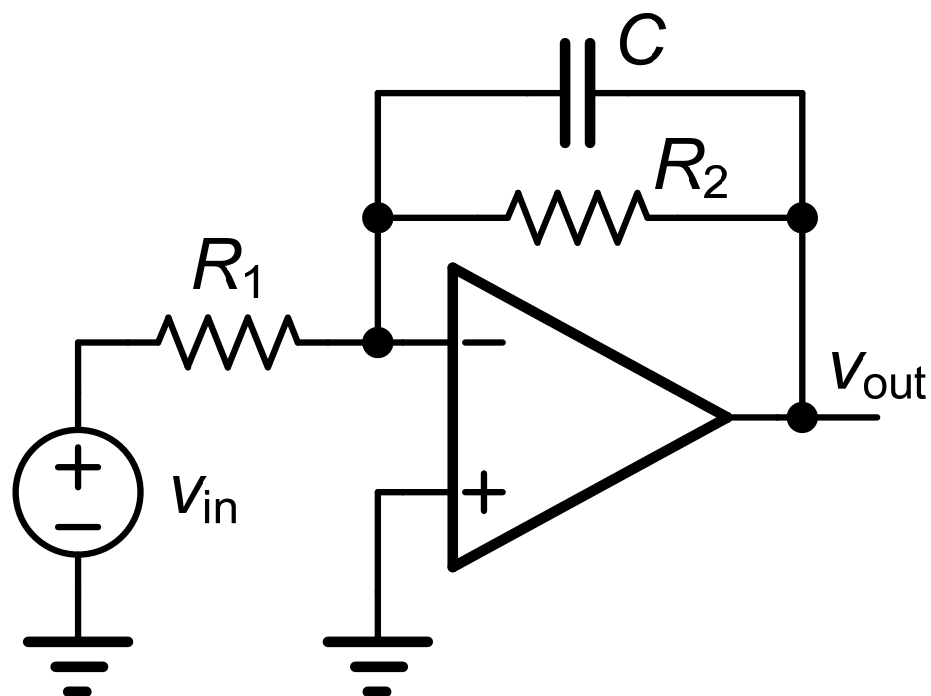
积分器



$$A_v = -\frac{1}{j \frac{f}{f_p}}$$

$$f_p = \frac{1}{2\pi RC}$$

有损积分器：低通滤波器

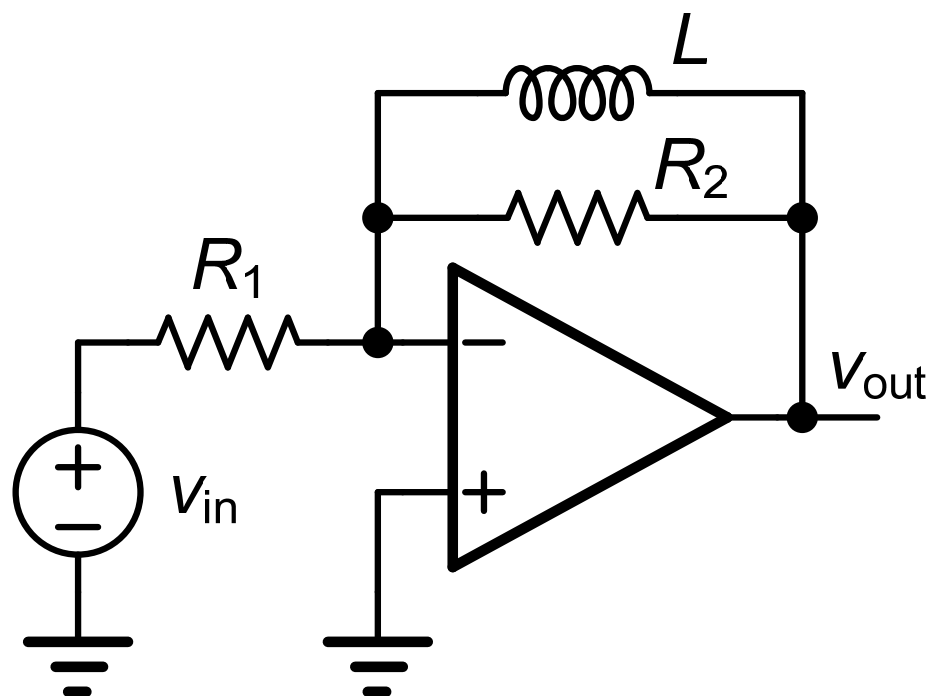


$$A_{v0} = -\frac{R_2}{R_1}$$

$$A_v = A_{v0} \frac{1}{1 + j \frac{f}{f_p}}$$

$$f_p = \frac{1}{2\pi R_2 C}$$

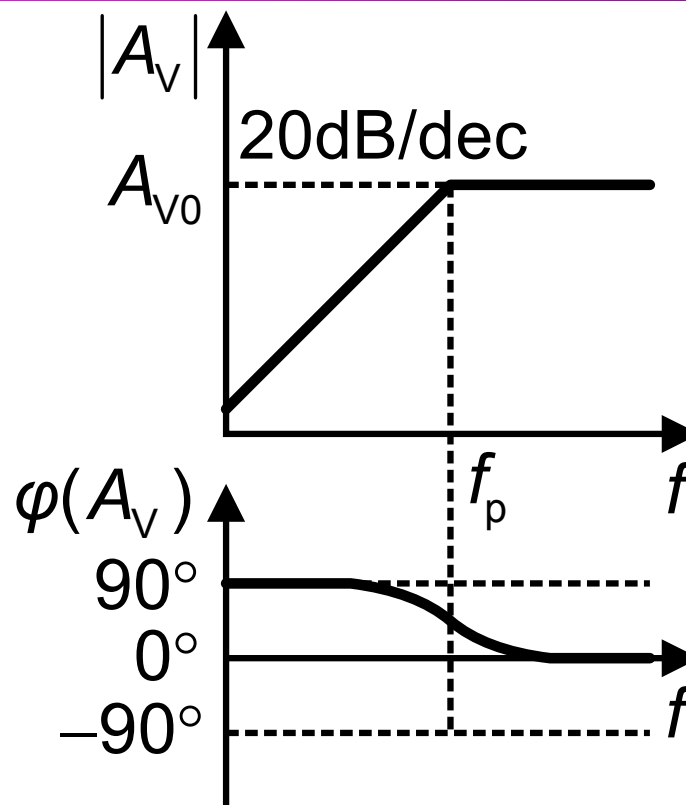
高通滤波器 1



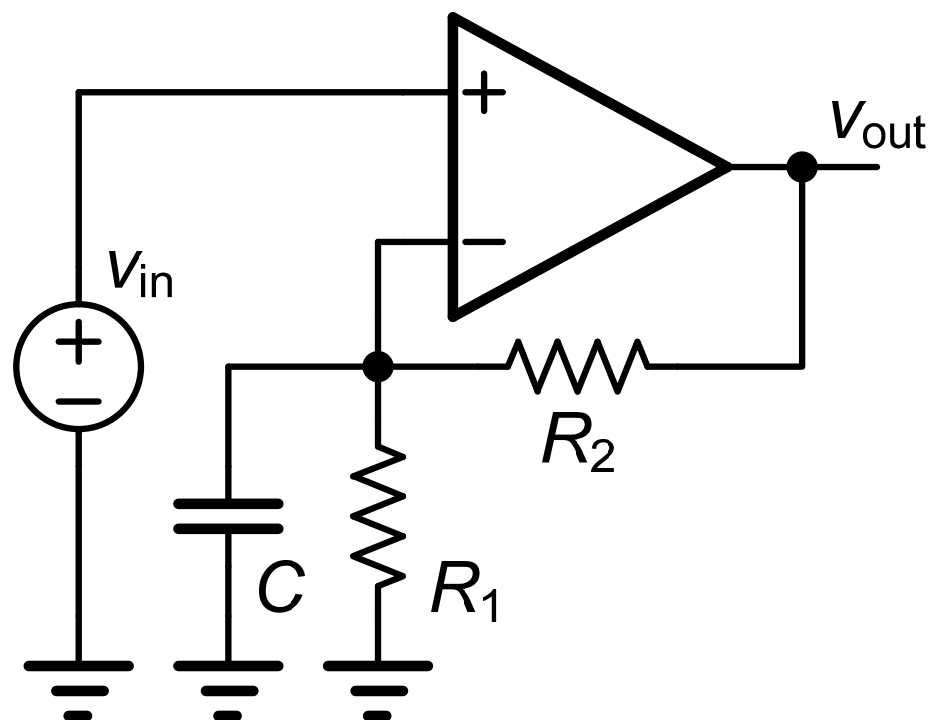
$$A_{V0} = -\frac{R_2}{R_1}$$

$$A_V = A_{V0} \frac{j \frac{f}{f_p}}{1 + j \frac{f}{f_p}}$$

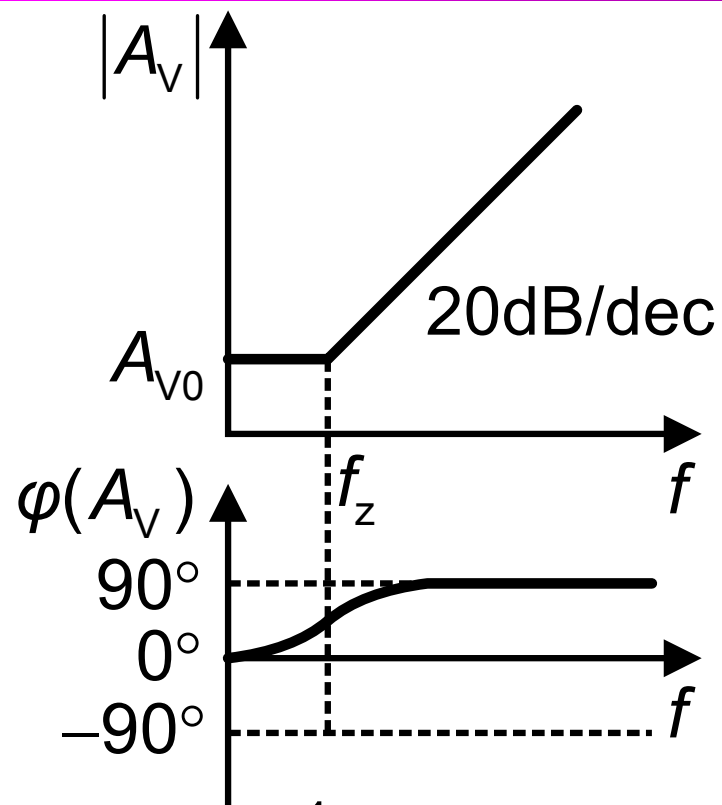
$$f_p = \frac{R_2}{2\pi L}$$



高通滤波器 2



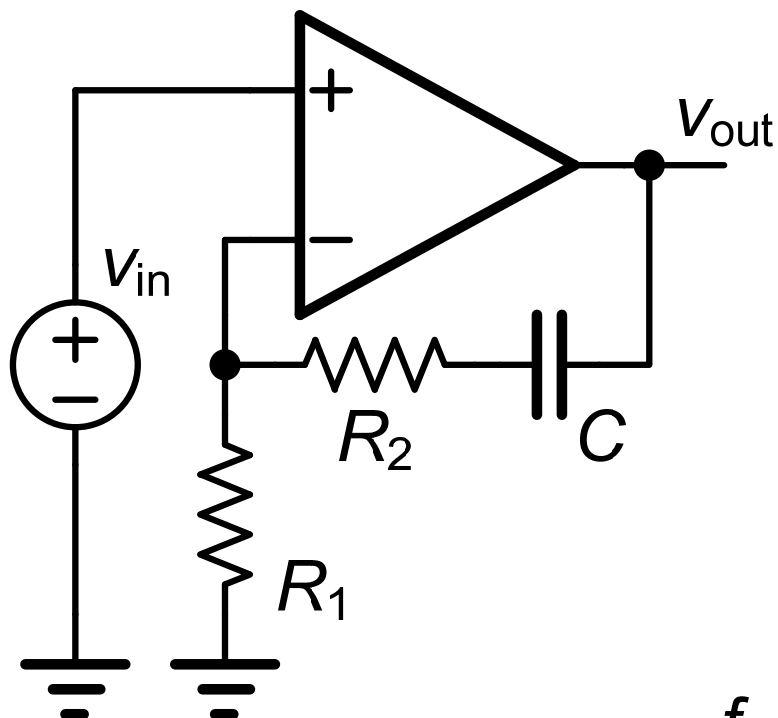
$$A_{V0} = 1 + \frac{R_2}{R_1} \quad A_V = A_{V0} \left(1 + j \frac{f}{f_z} \right)$$



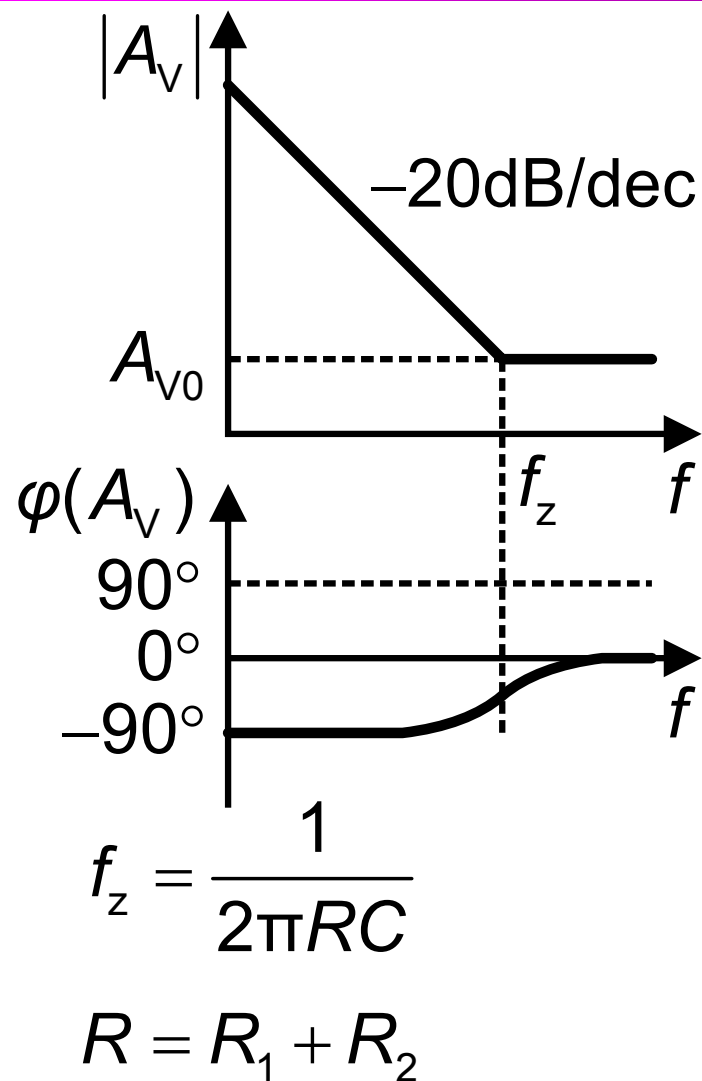
$$f_z = \frac{1}{2\pi RC}$$

$$R = R_1 // R_2 = \frac{R_1 R_2}{R_1 + R_2}$$

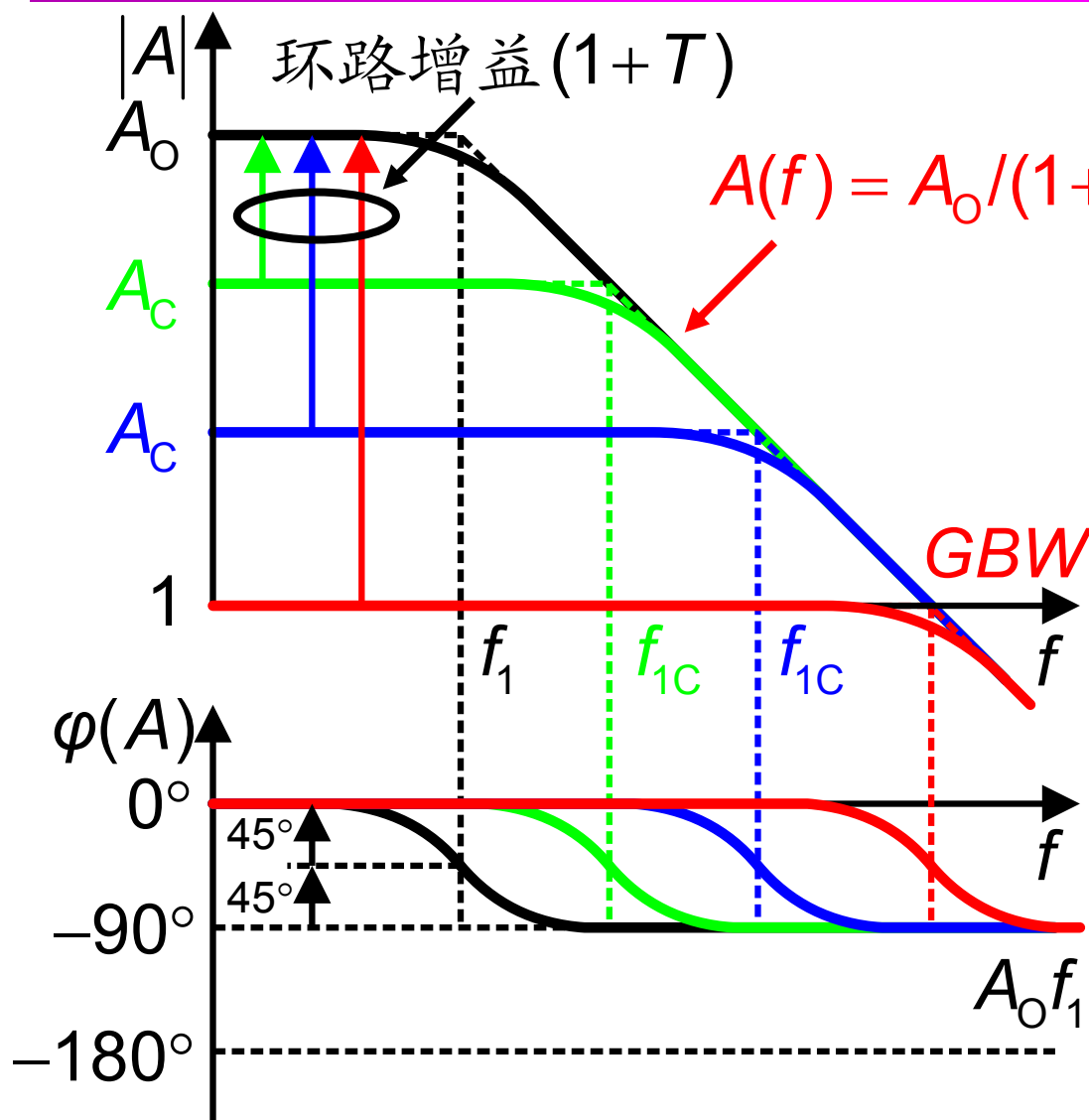
有限衰减的低通滤波器



$$A_{V0} = 1 + \frac{R_2}{R_1} \quad A_V = A_{V0} \frac{1 + j\frac{f}{f_z}}{j\frac{f}{f_z}}$$

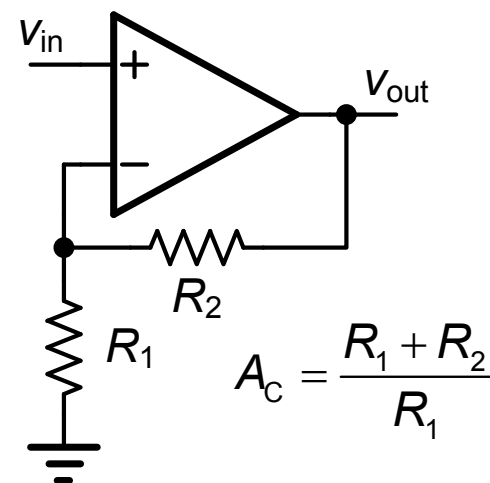


增益和带宽之间的交换

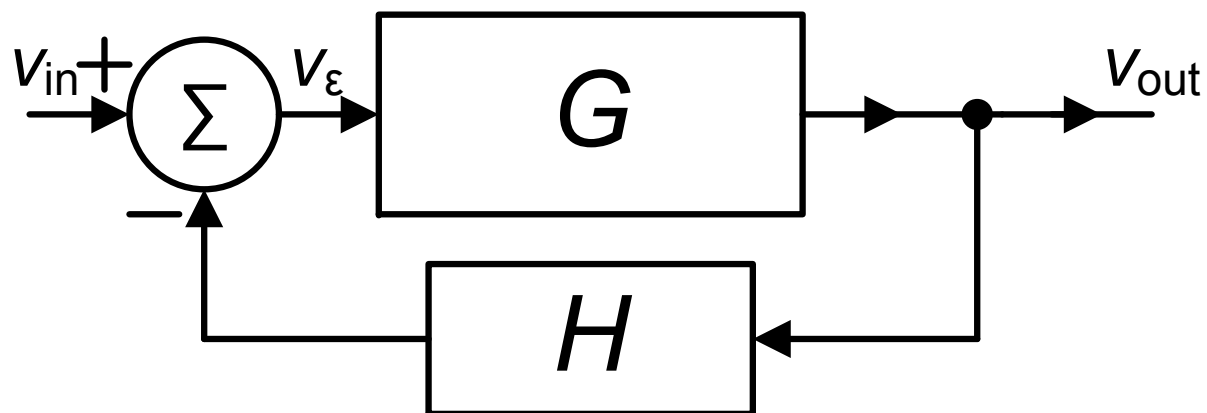


A_O 开环增益

A_C 闭环增益



开环增益和闭环增益

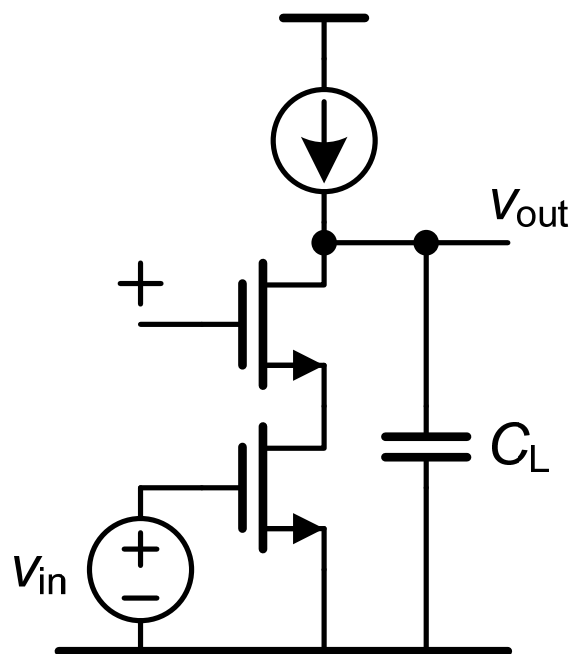


$$\left. \begin{aligned} V_{\varepsilon} &= V_{in} - H V_{out} \\ V_{out} &= G V_{\varepsilon} \end{aligned} \right\} \Rightarrow A_c = \frac{V_{out}}{V_{in}} = \frac{G}{1 + GH} \approx \frac{1}{H}$$

如果环路增益 $GH = T \gg 1$

Ref.: P. Gray, P.Hurst, S.Lewis, R. Meyer: Design of analog integrated circuits, 4th ed., Wiley 2001

运放成为运放的原因？



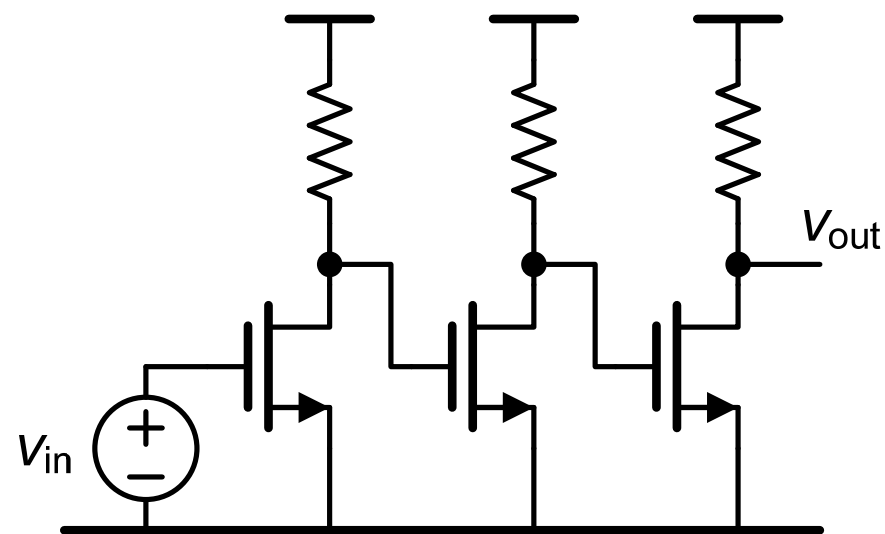
运算放大器

单级点放大器

高阻抗 = 高增益

增益与带宽交换

任何增益下都稳定



宽带放大器

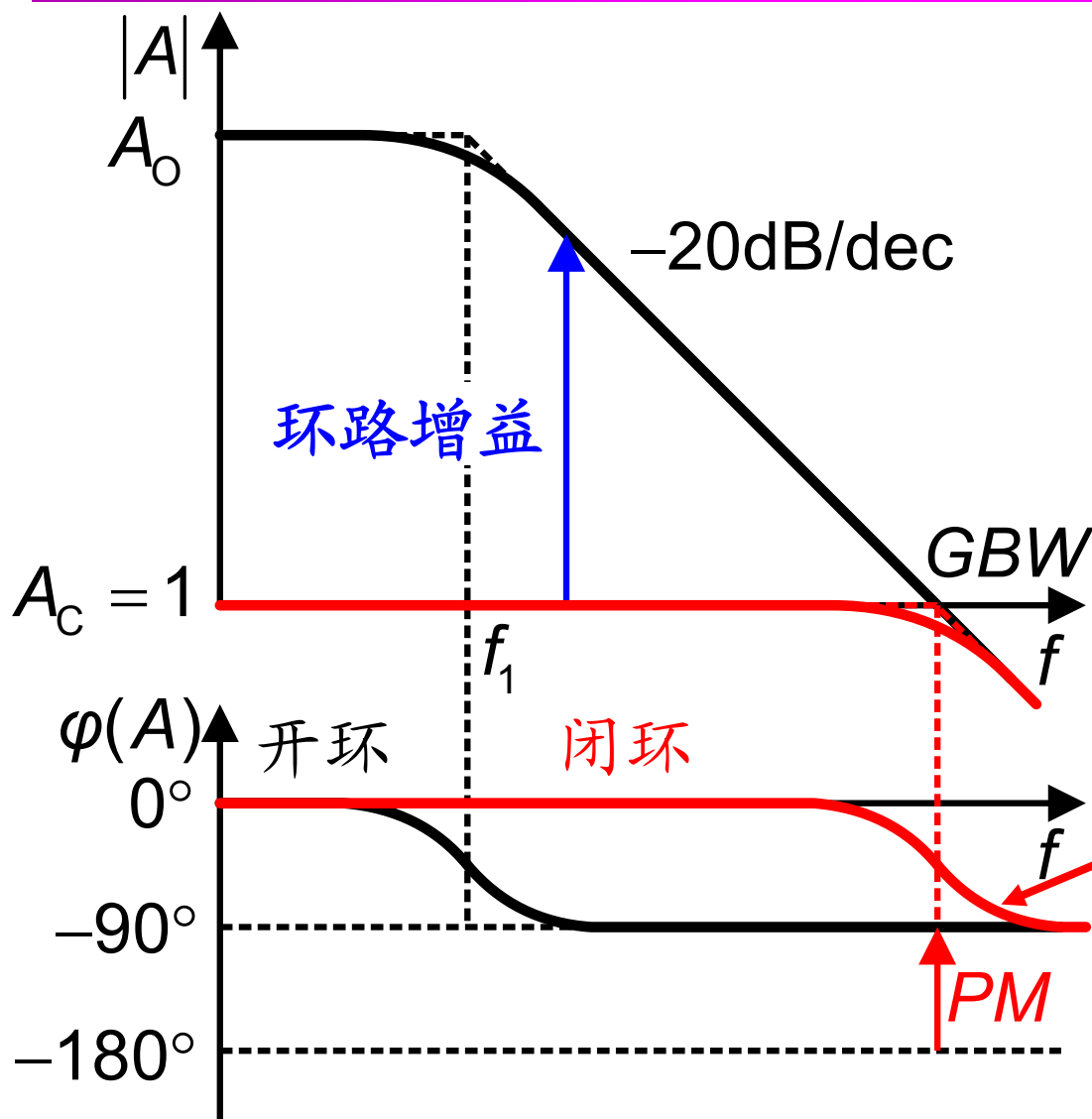
多级点放大器

低阻抗节点

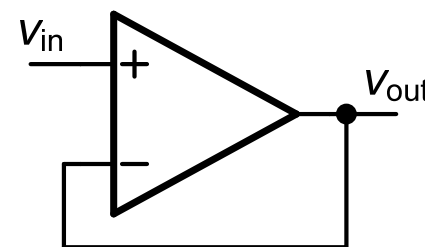
高带宽

只在某些增益下稳定

单极点系统

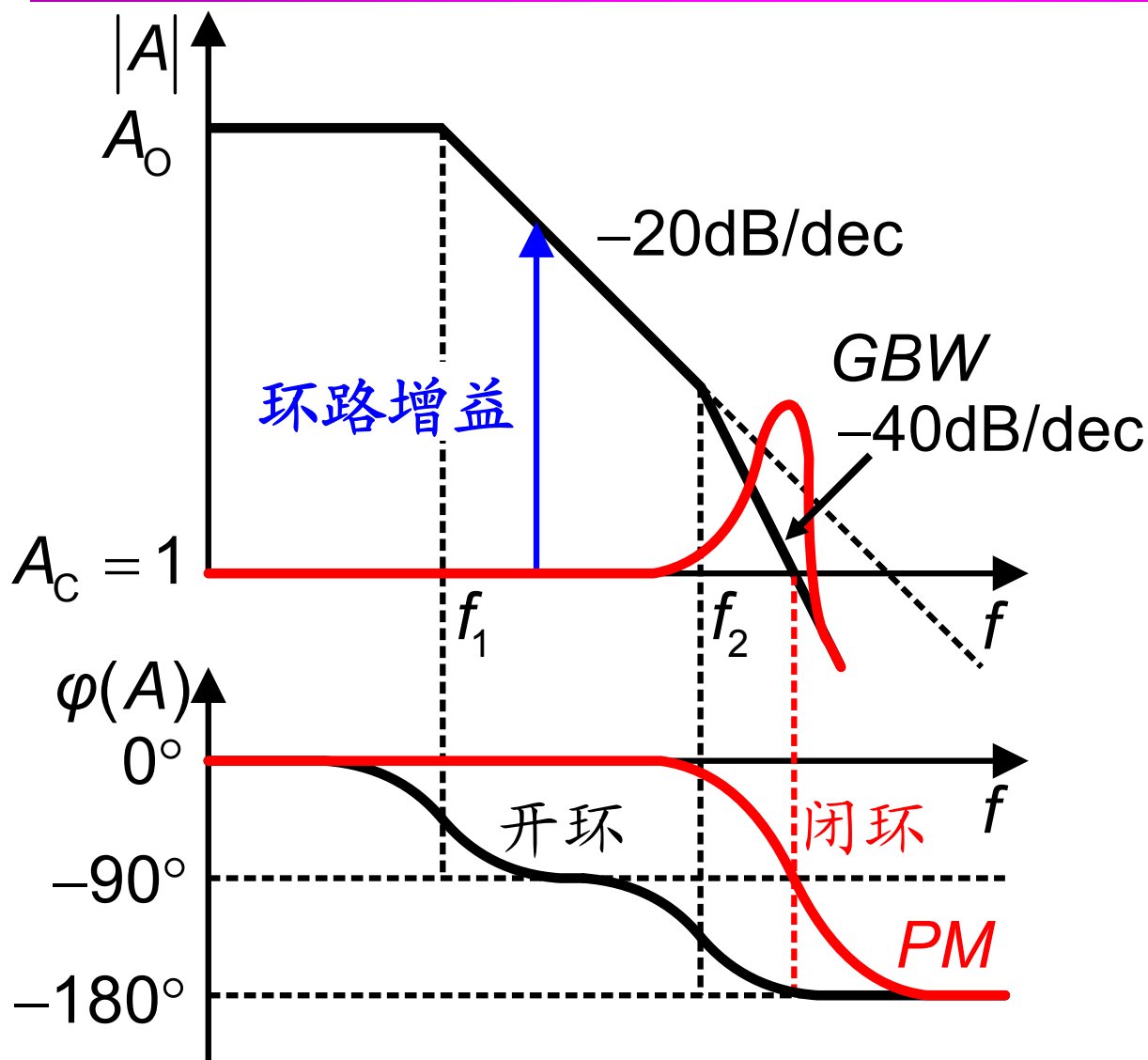


A_O 开环增益
闭环增益 $A_C = 1$



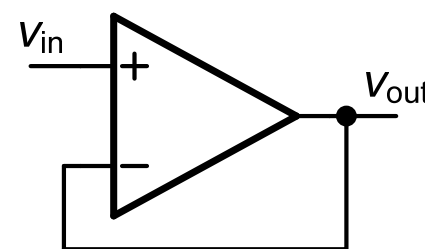
PM相位裕度

双极点系统



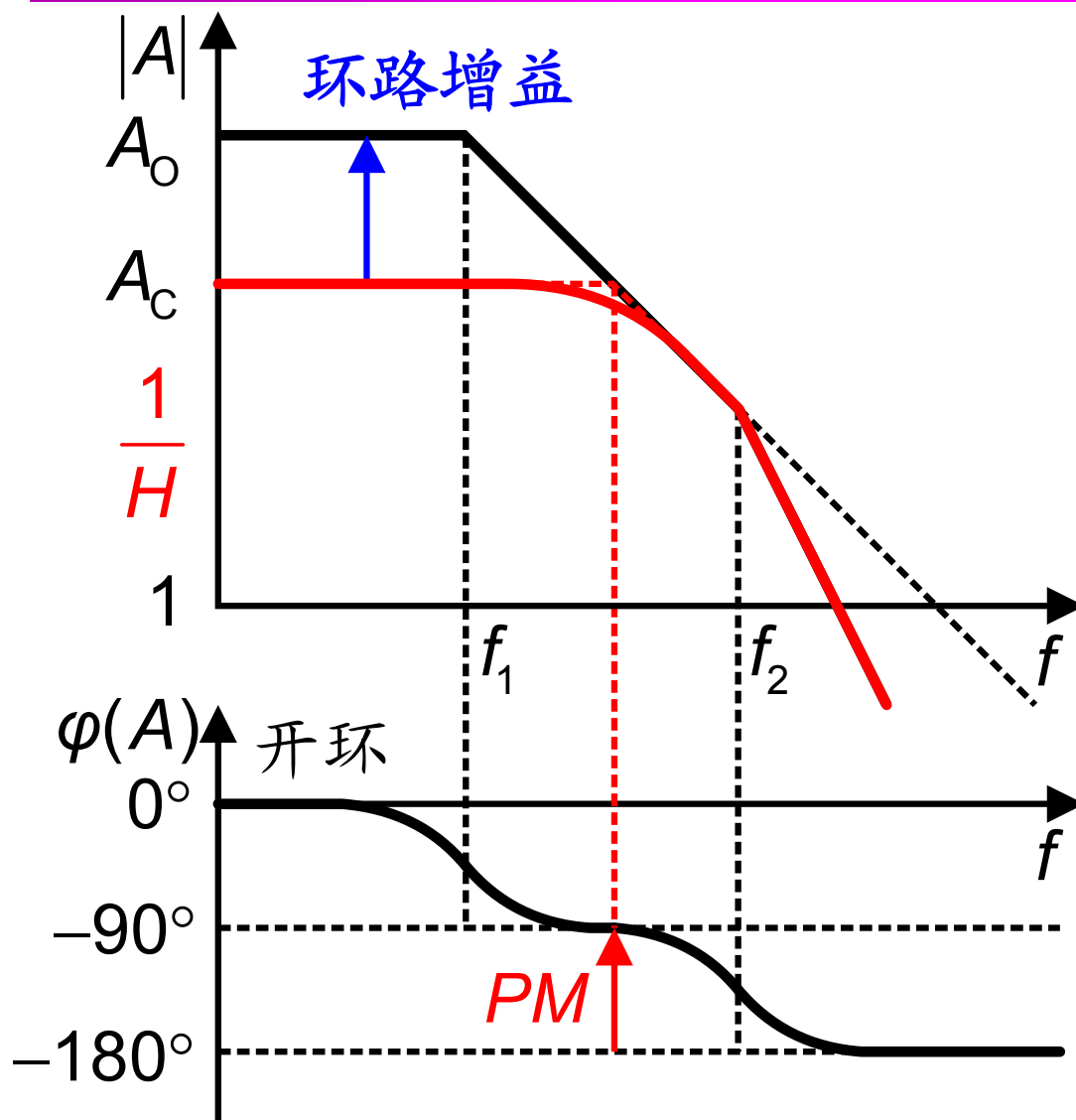
A_O 开环增益

闭环增益 $A_C = 1$



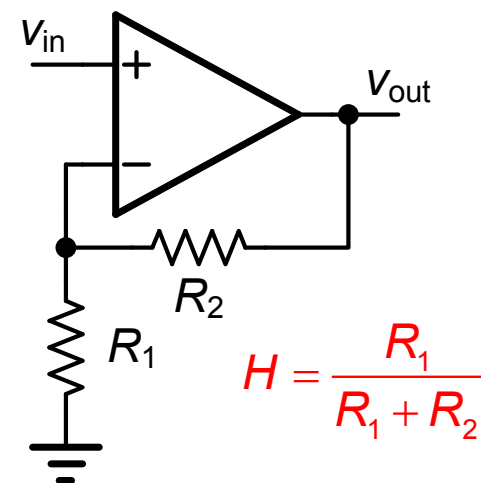
PM 相位裕度

环路增益与相位裕度的关系 1



A_O 开环增益

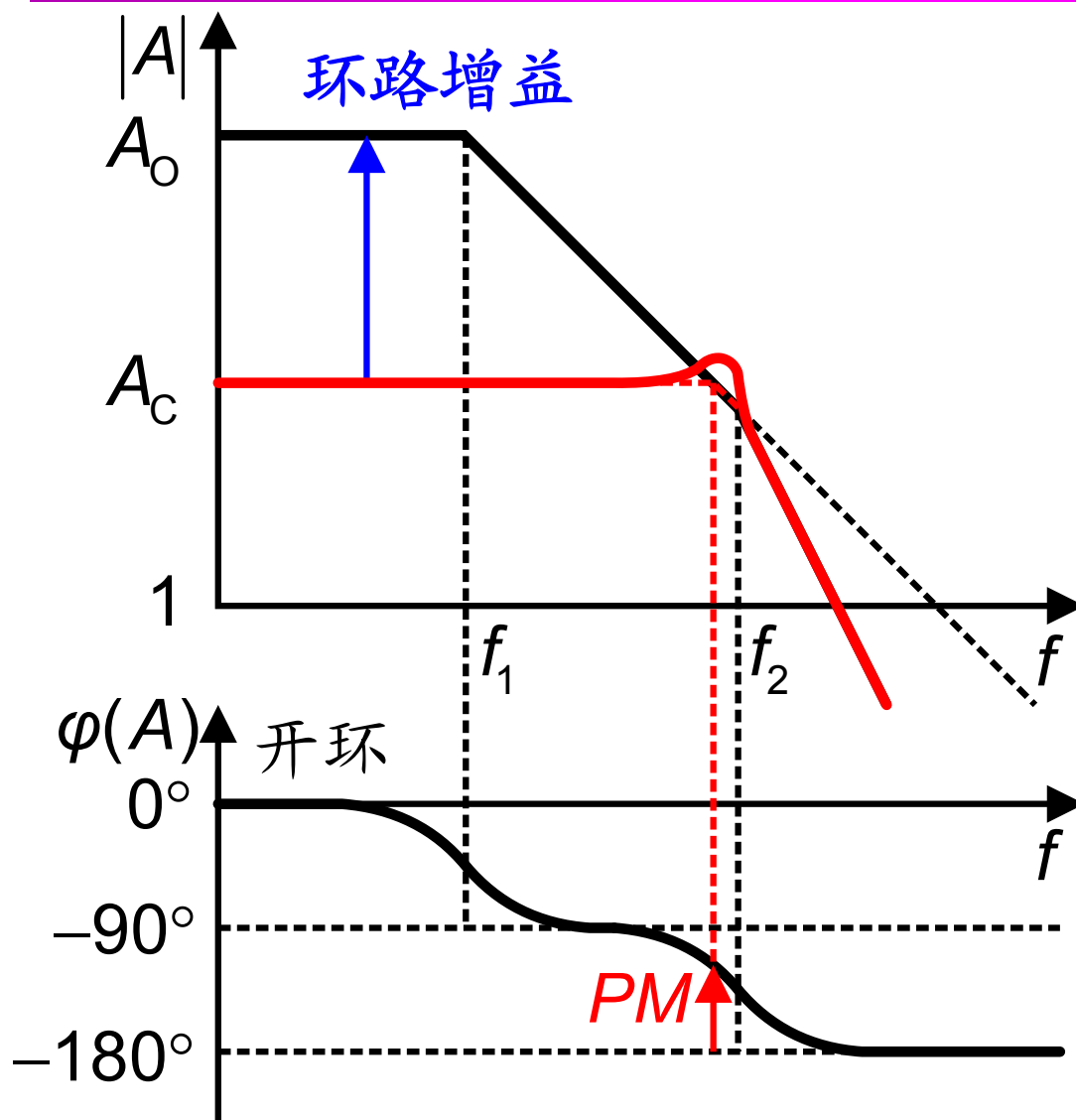
A_C 闭环增益



$$H = \frac{R_1}{R_1 + R_2}$$

PM相位裕度

环路增益与相位裕度的关系 2

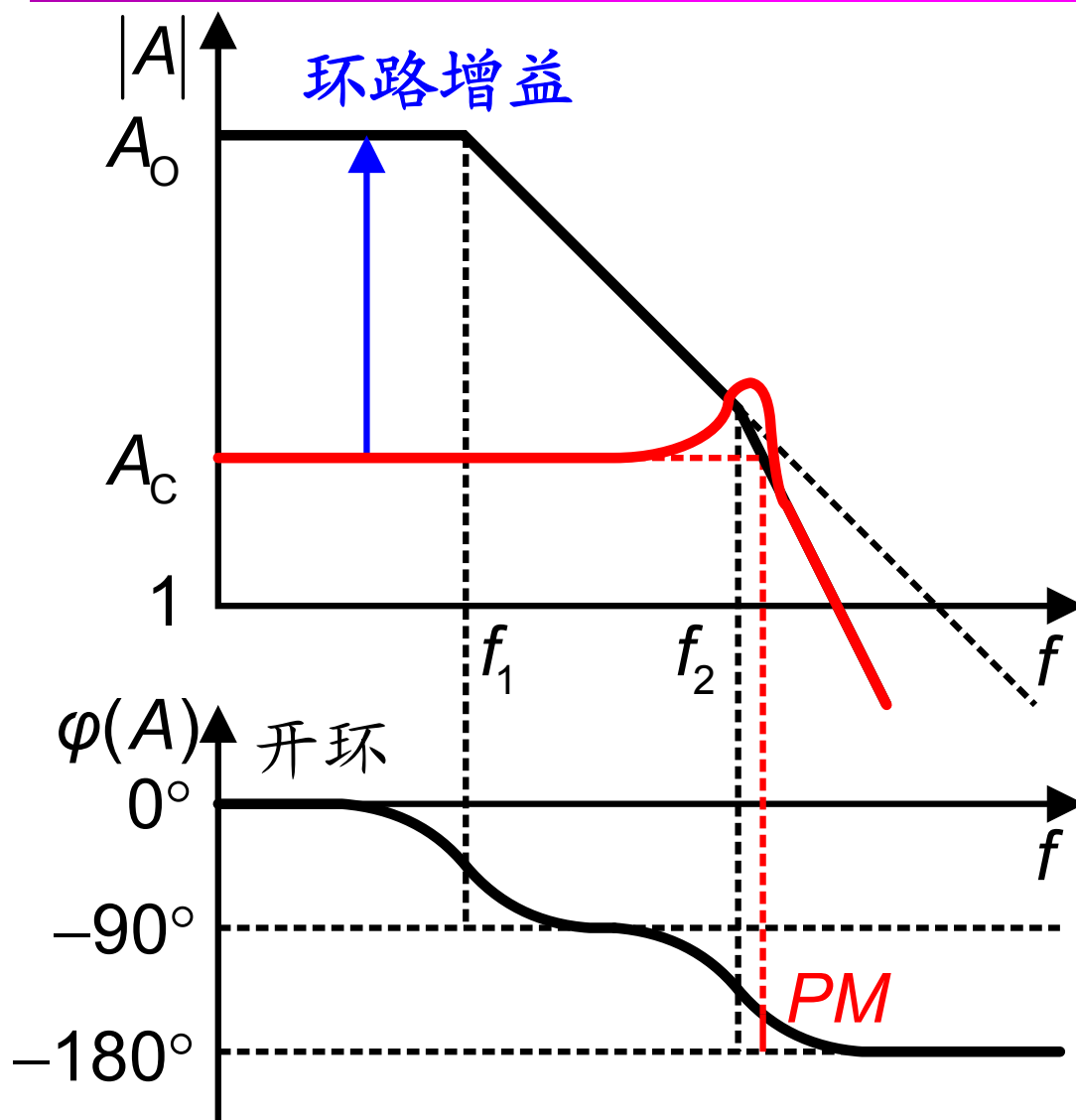


A_O 开环增益

A_C 闭环增益

PM 相位裕度

环路增益与相位裕度的关系 3

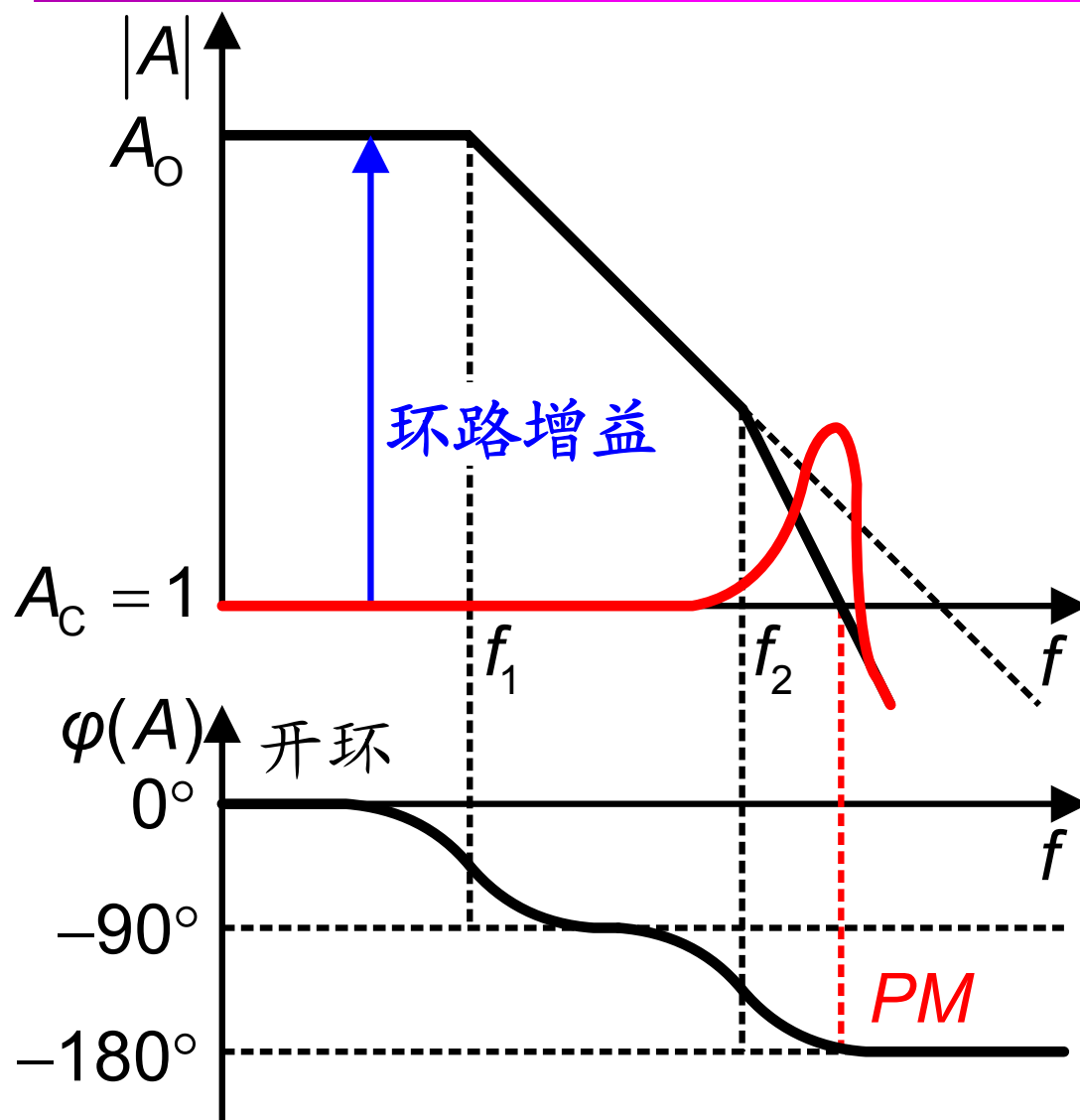


A_O 开环增益

A_C 闭环增益

PM 相位裕度

环路增益与相位裕度的关系 4



A_O 开环增益

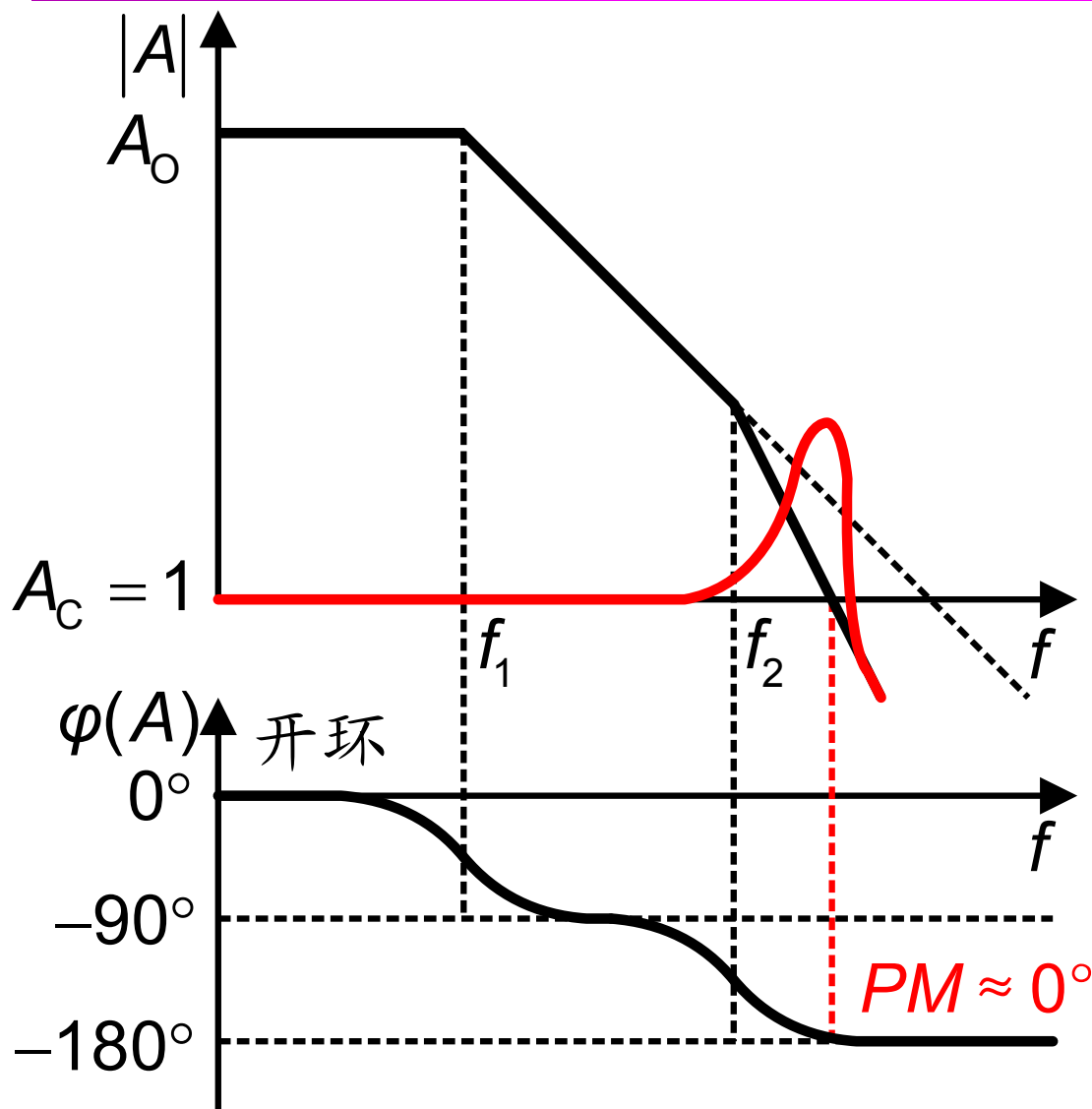
A_C 闭环增益

最坏情况

$A_C = 1$

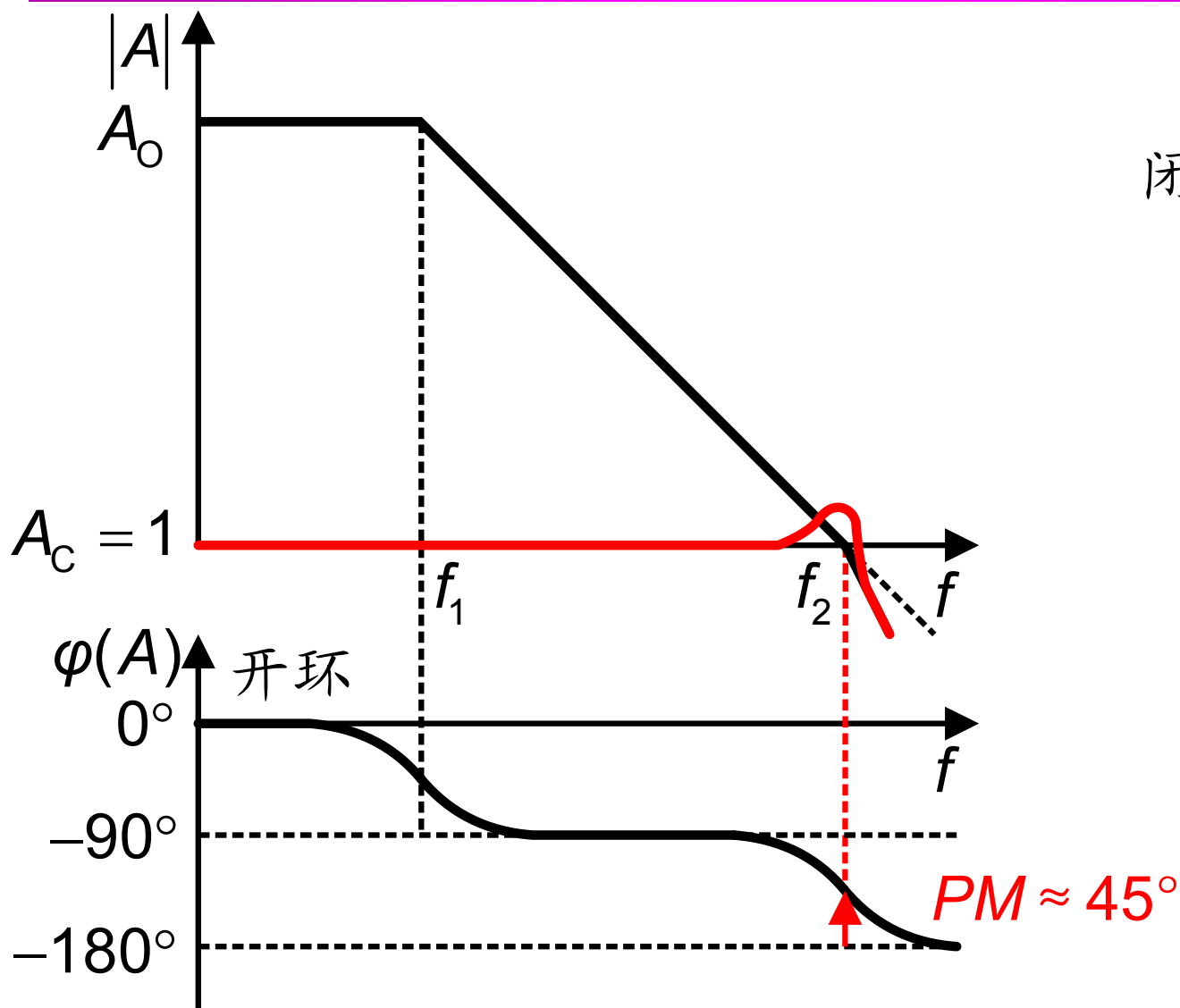
PM相位裕度

当 f_2 频率较低时



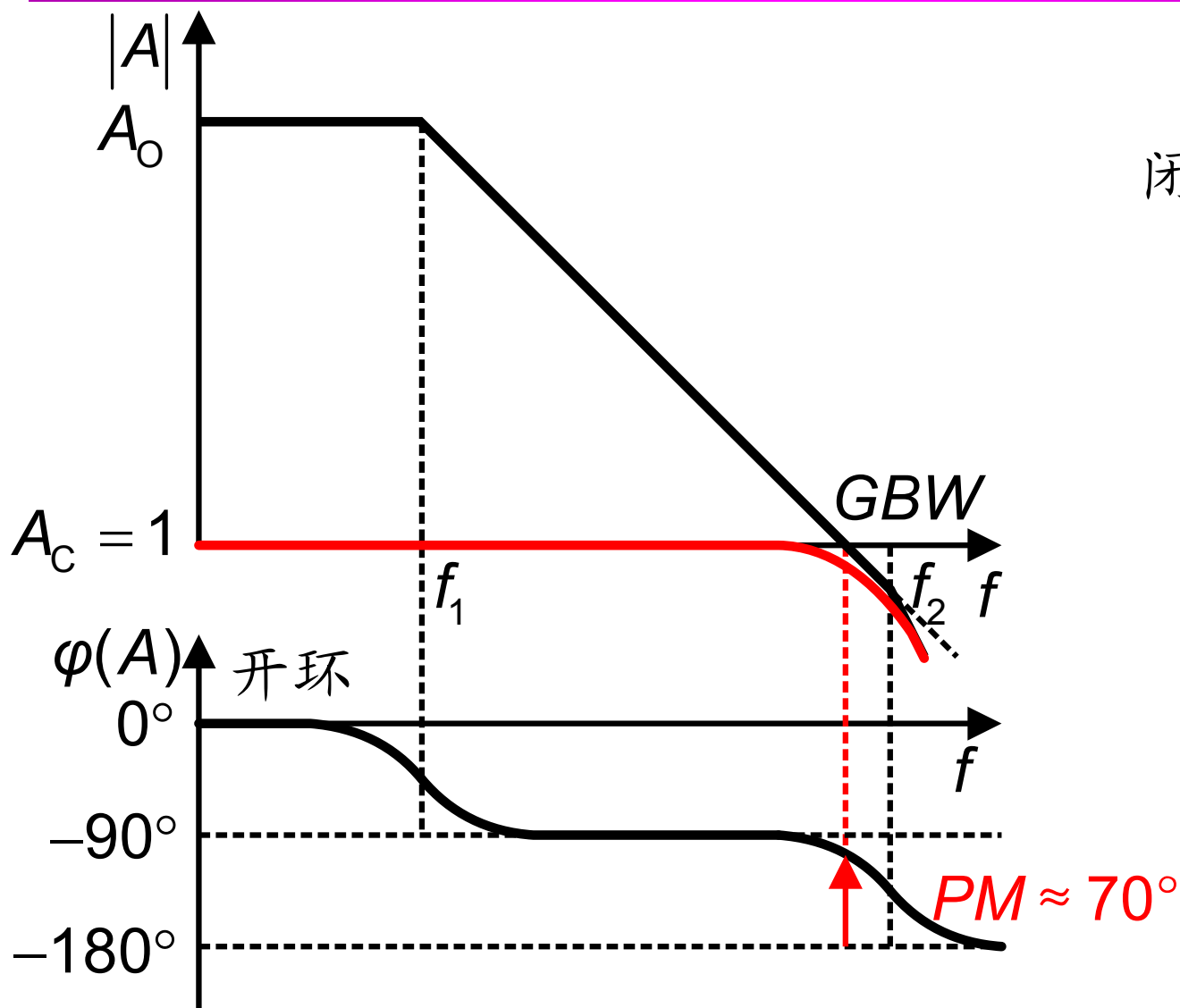
闭环增益 $A_C = 1$

通过增加 f_2 ，提高 PM 。($f_2=GBW$)



闭环增益 $A_C = 1$

通过增加 f_2 ，提高 PM 。($f_2=3GBW$)



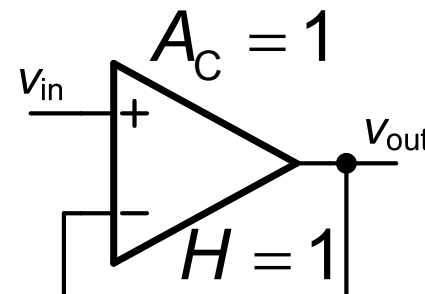
闭环增益 $A_C = 1$

$$f_2 \approx 3GBW$$

$$PM \approx 70^\circ$$

当 $f_2 \approx 3GBW$ 时，计算 PM

开环增益 $A = \frac{A_O}{(1 + j\frac{f}{f_1})(1 + j\frac{f}{f_2})}$



闭环增益 $A_C = \frac{A}{1 + A} \approx \frac{1}{1 + j\frac{f}{GBW} + j^2\frac{f^2}{GBWf_2}}$

$f_r = \sqrt{GBWf_2}$ 自激振荡频率 $\approx \frac{1}{1 + j2\zeta\frac{f}{f_r} + j^2\frac{f^2}{f_r^2}}$

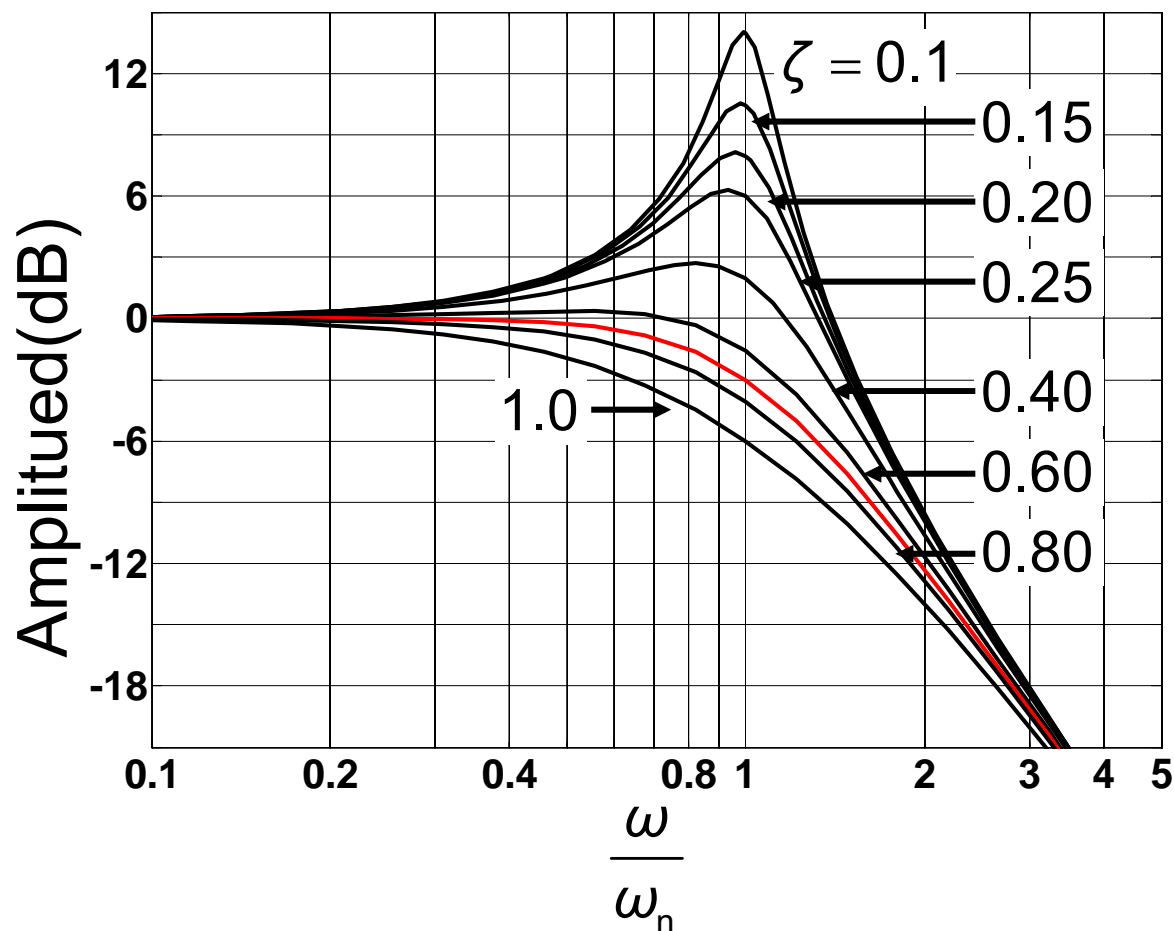
$\zeta = \frac{1}{2}\sqrt{\frac{f_2}{GBW}}$ 阻尼系数(= $1/2Q$)

PM, ζ, P_f 和 P_t

$$f_r = \sqrt{GBW f_2} \quad PM(^{\circ}) = 90^{\circ} - \arctan \frac{GBW}{f_2} = \arctan \frac{f_2}{GBW}$$

$\frac{f_2}{GBW}$	$PM(^{\circ})$	$\zeta = \frac{1}{2} \sqrt{\frac{f_2}{GBW}}$	$P_f(\text{dB})$	$P_t(\text{dB})$
0.5	27	0.35	3.6	2.3
1	45	0.5	1.25	1.3
1.5	56	0.61	0.28	0.73
2	63	$\sqrt{2}/2$	0	0.37
3	72	0.87	0	0.04
4	76	1		
5	79			

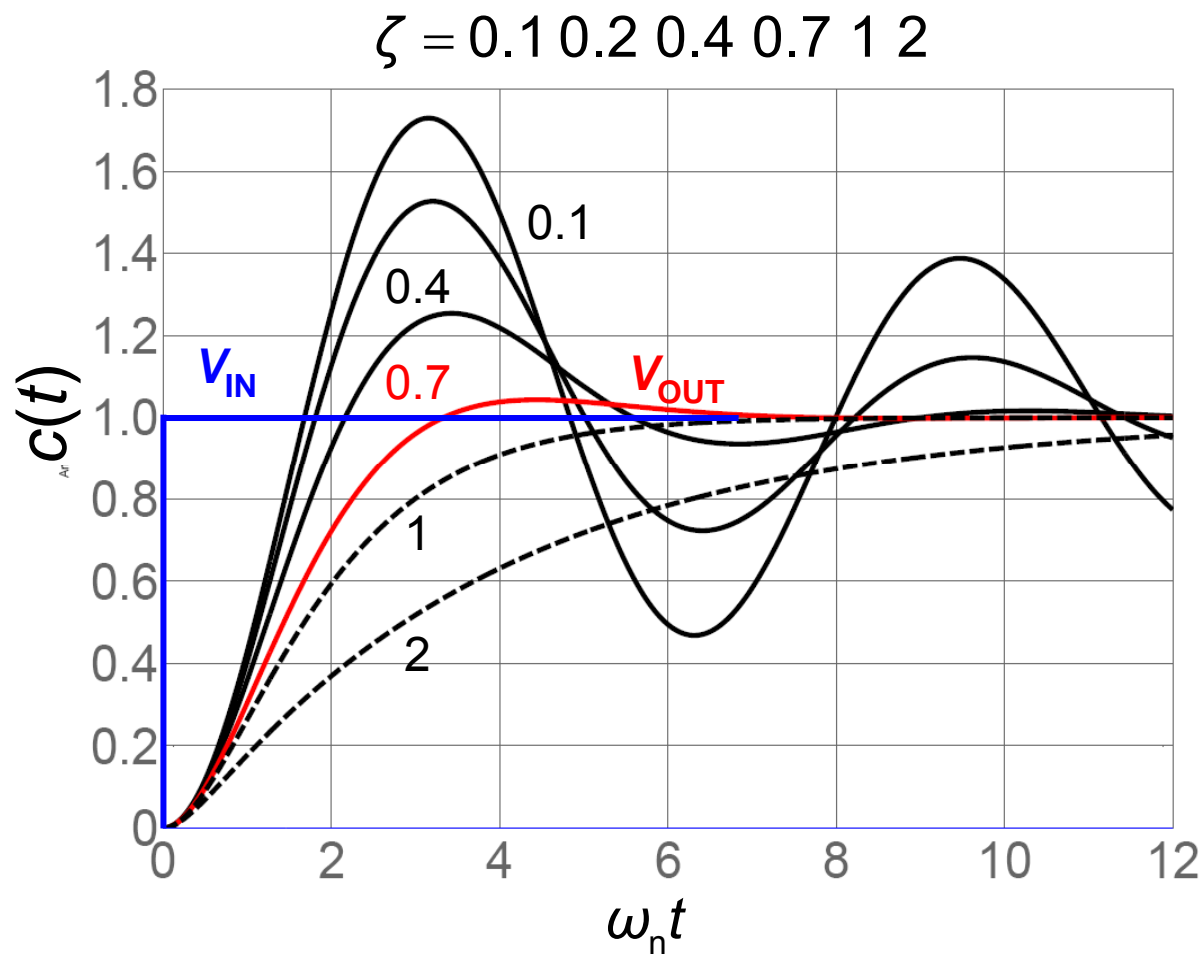
闭环幅度频率响应



$$\zeta = Q = \sqrt{2}/2$$

$$P_f = \frac{1}{2\zeta\sqrt{1-\zeta^2}}$$

闭环阶跃冲击响应



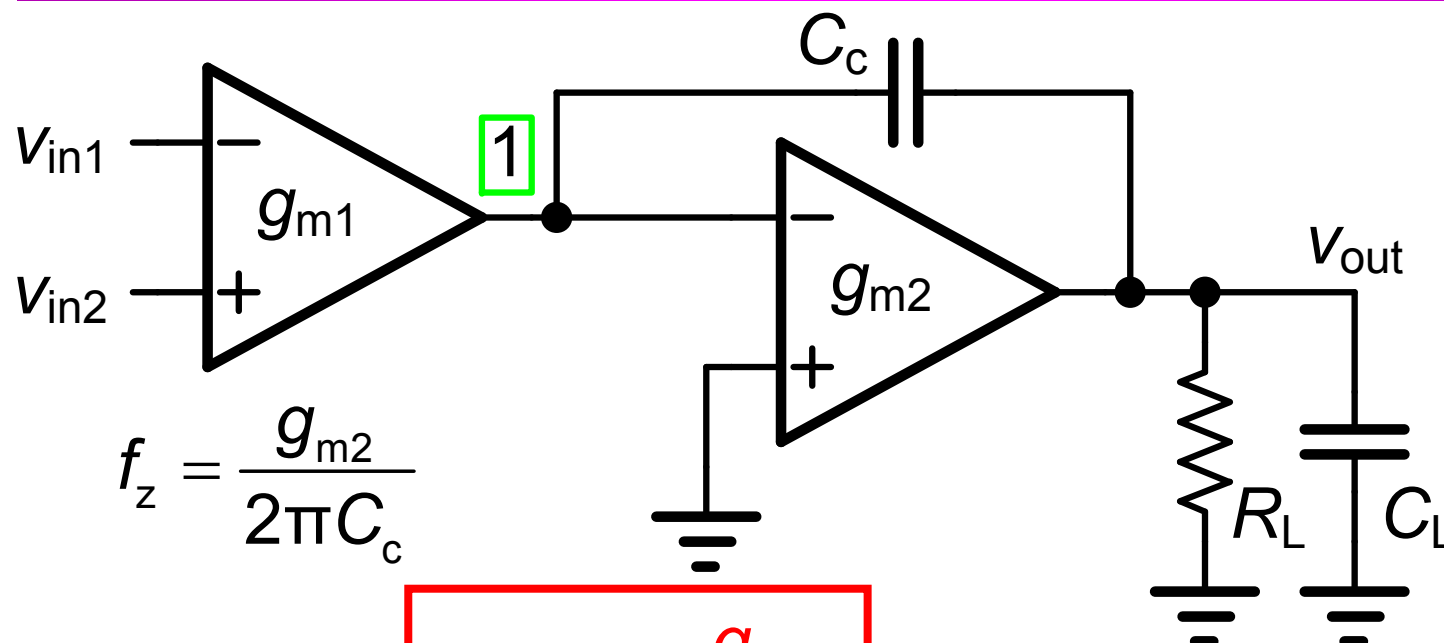
$$\zeta = Q = \sqrt{2}/2$$

$$P_t = 1 + e^{\frac{-\pi\zeta}{\sqrt{1-\zeta^2}}}$$

目录

- 运算放大器的使用
- 两级运放的稳定性
- 极点分离
- 正零点的补偿
- 三级运放的稳定性

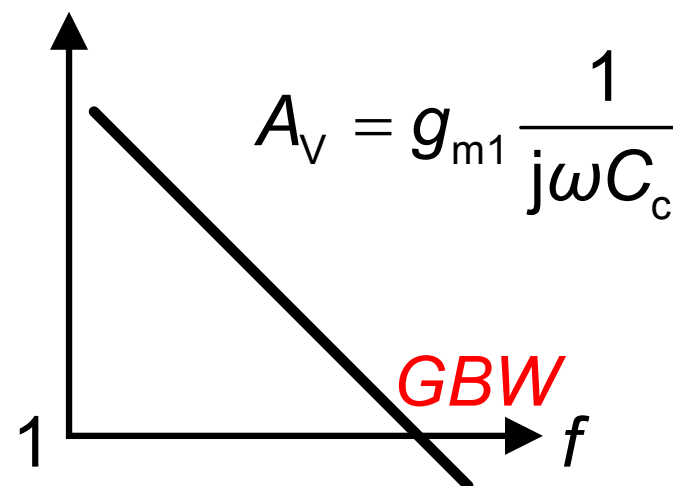
通用两级放大器 1



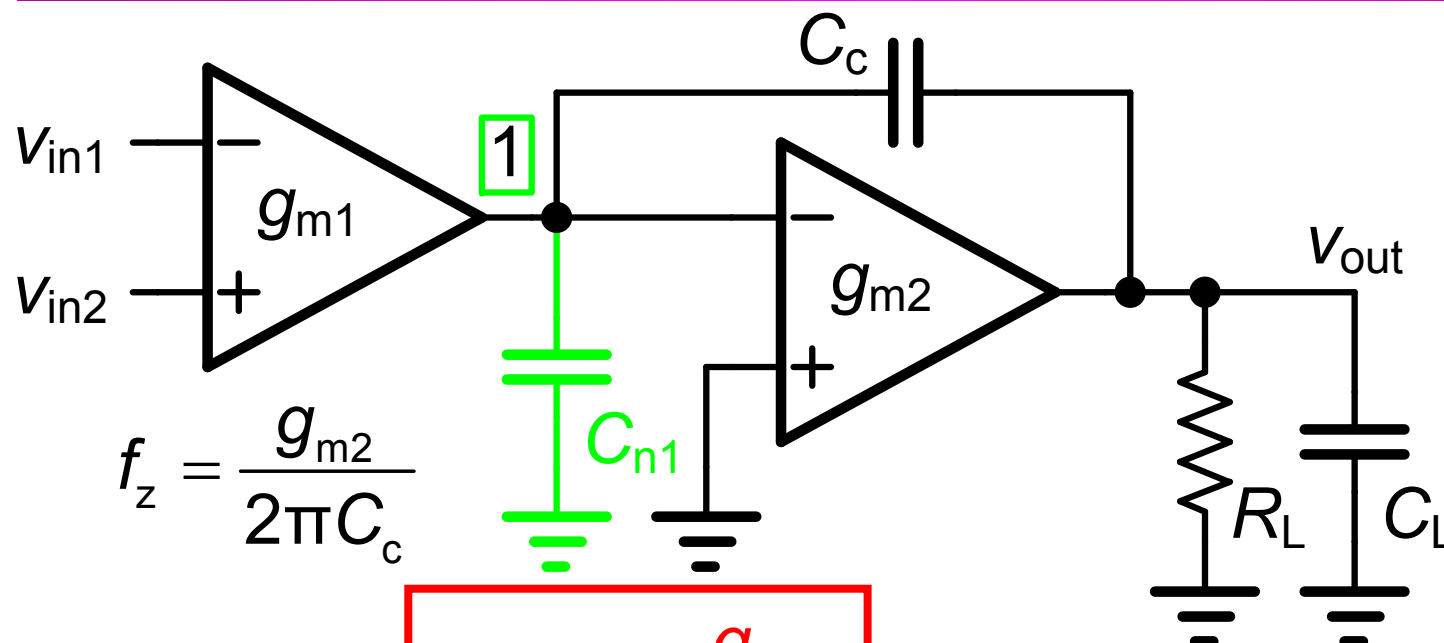
$$|A_v| = 1 \Rightarrow$$

$$GBW = \frac{g_{m1}}{2\pi C_c}$$

$$f_{nd} = \frac{g_{m2}}{2\pi C_L}$$



通用两级放大器 2

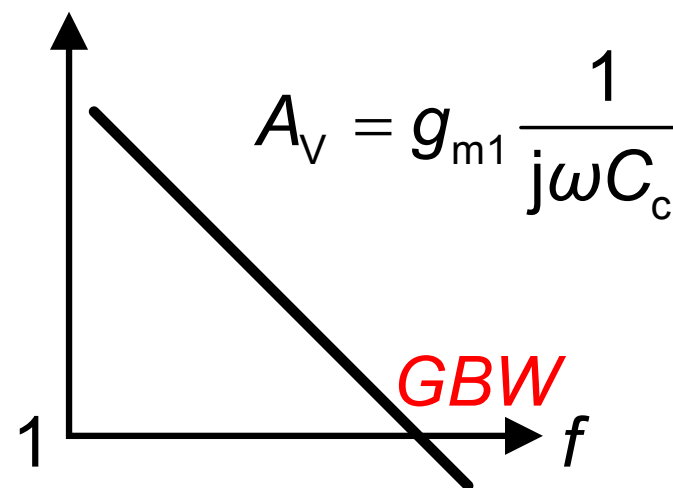


$$f_z = \frac{g_{m2}}{2\pi C_c}$$

$$|A_v| = 1 \Rightarrow$$

$$GBW = \frac{g_{m1}}{2\pi C_c}$$

$$f_{nd} = \frac{g_{m2}}{2\pi C_L} \frac{1}{1 + \frac{C_{n1}}{C_c}}$$



初步设计两级运放

$$GBW = \frac{g_{m1}}{2\pi C_c} \quad f_{nd} = \frac{g_{m2}}{2\pi C_L} \frac{1}{1 + \underbrace{\frac{C_{n1}}{C_c}}_{\approx 0.3}}$$

$$\left. \begin{array}{l} f_{nd} = 3GBW \\ \frac{C_{n1}}{C_c} \approx 0.3 \end{array} \right\} \Rightarrow \boxed{\frac{g_{m2}}{g_{m1}} \approx 4 \frac{C_L}{C_c}} \text{ 第二级需要很大的电流!}$$

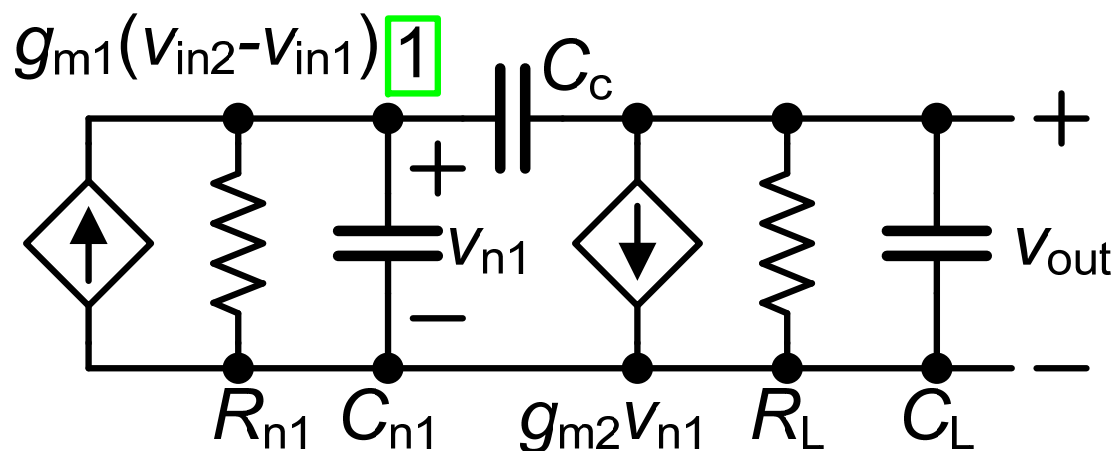
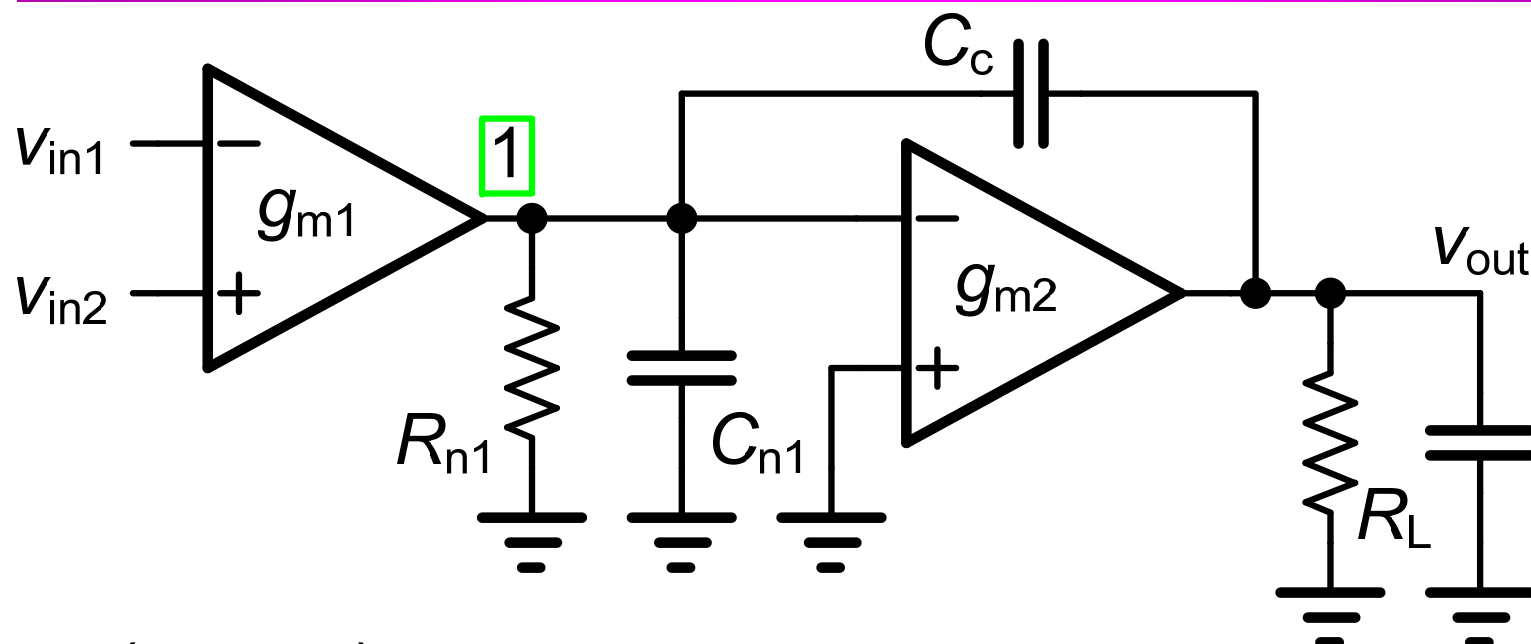
当 $GBW = 100 \text{ MHz}$ 、 $C_L = 2 \text{ pF}$ 时

解：选择 $C_c = 1 \text{ pF}$

目录

- 运算放大器的使用
- 两级运放的稳定性
- 极点分离
- 正零点的补偿
- 三级运放的稳定性

通用两级运放：密勒OTA

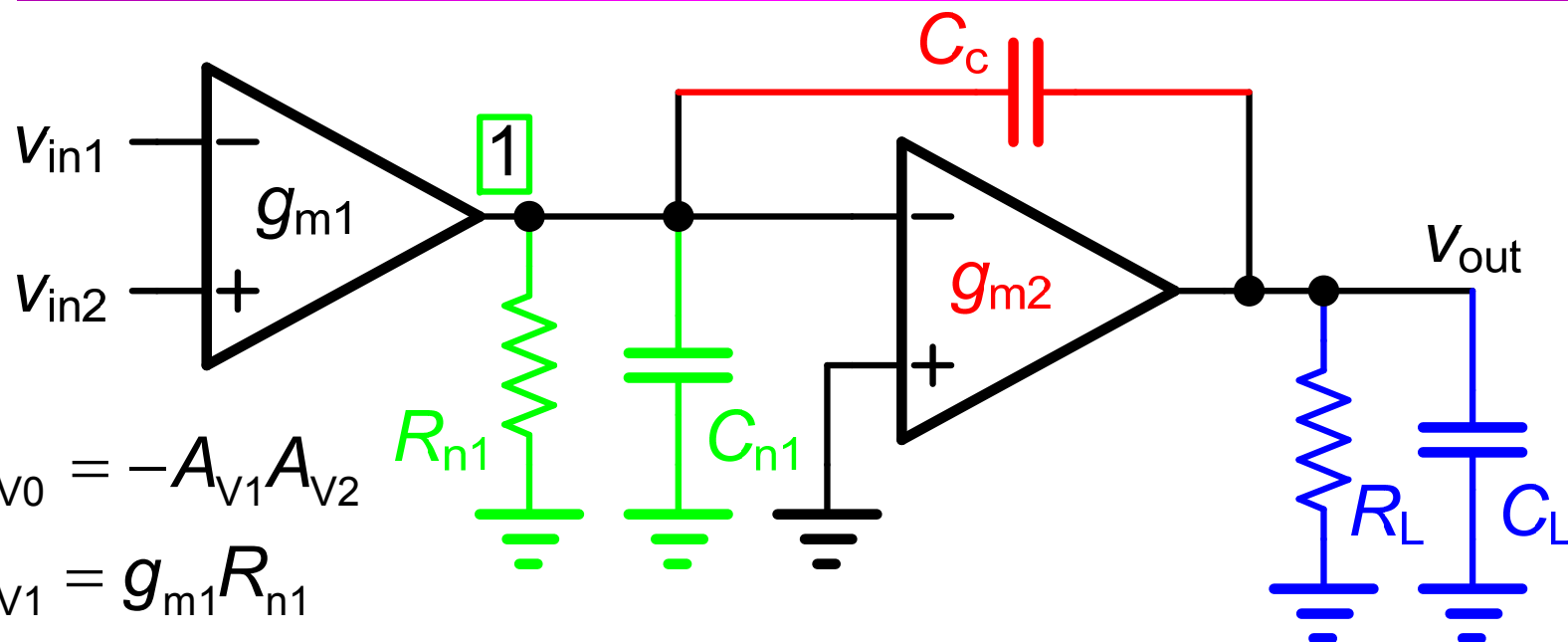


$$A_{V0} = -A_{V1}A_{V2}$$

$$A_{V1} = g_{m1}R_{n1}$$

$$A_{V2} = g_{m2}R_L$$

通用两级运放



$$A_{V0} = -A_{V1}A_{V2}$$

$$A_{V1} = g_{m1}R_{n1}$$

$$A_{V2} = g_{m2}R_L$$

$$1 - \frac{C_c}{g_{m2}}s$$

$$A_V = A_{V0} \frac{1 - \frac{C_c}{g_{m2}}s}{1 + (R_{n1}C_{n1} + R_{n1}C_c + A_{V2}R_{n1}C_c + R_L C_L + R_L C_c)s + R_{n1}R_L C C s^2}$$

$$CC = C_{n1}C_c + C_{n1}C_L + C_c C_L$$

零极点近似

$$A = A_0 \frac{1 - cs}{1 + as + bs^2}$$

零点 $z = \frac{1}{c}$

极点 $s_1 = -\frac{1}{a} \quad s_2 = -\frac{a}{b}$

$$a \uparrow \Rightarrow s_1 \downarrow \text{ and } s_2 \uparrow$$

如果 $s_2 \gg s_1$:

s 很小

$$\Downarrow$$

$$1 + as + \cancel{bs^2} = 0$$

$$\Downarrow$$

$$s_1 = -\frac{1}{a}$$

s 很大

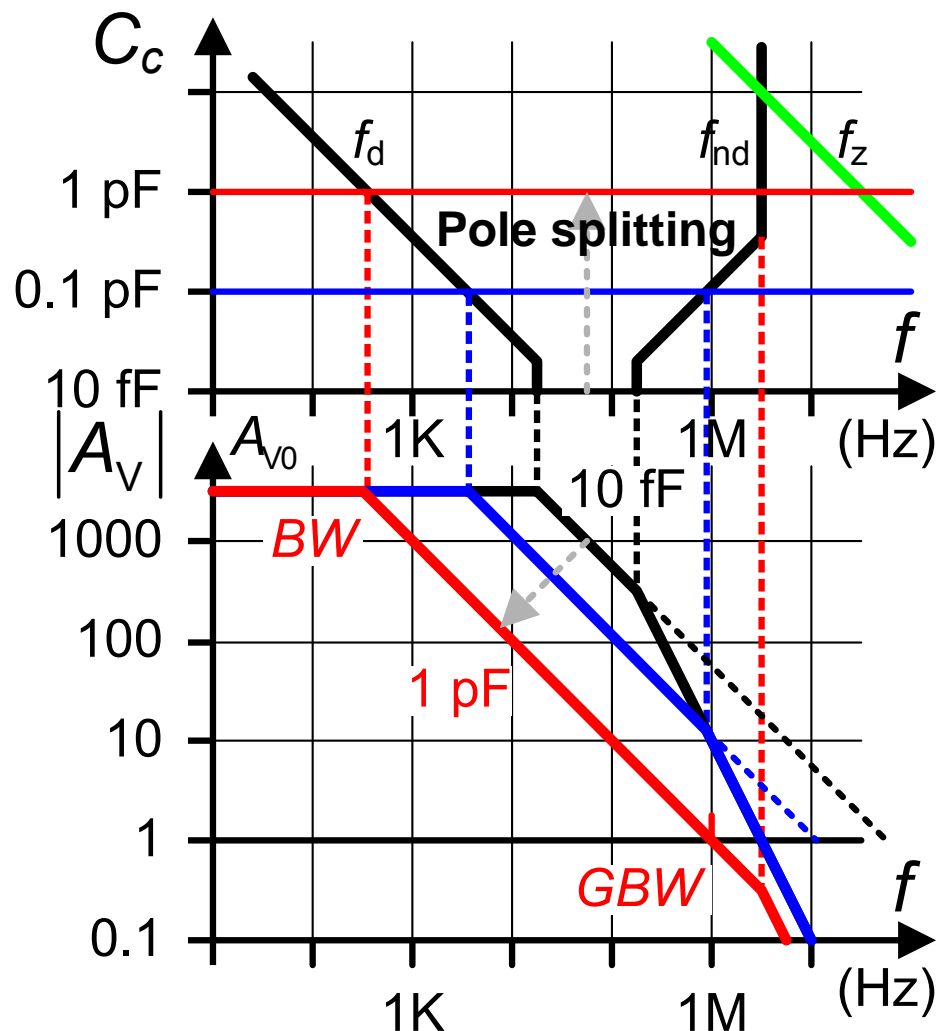
$$\Downarrow$$

$$\cancel{1} + as + bs^2 = 0$$

$$\Downarrow$$

$$s_2 = -\frac{a}{b}$$

密勒OTA：用 C_c 进行极点分离



C_c 取较大值，
进行极点分离：

$$f_d = \frac{1}{2\pi A_{v2} R_{n1} C_c}$$

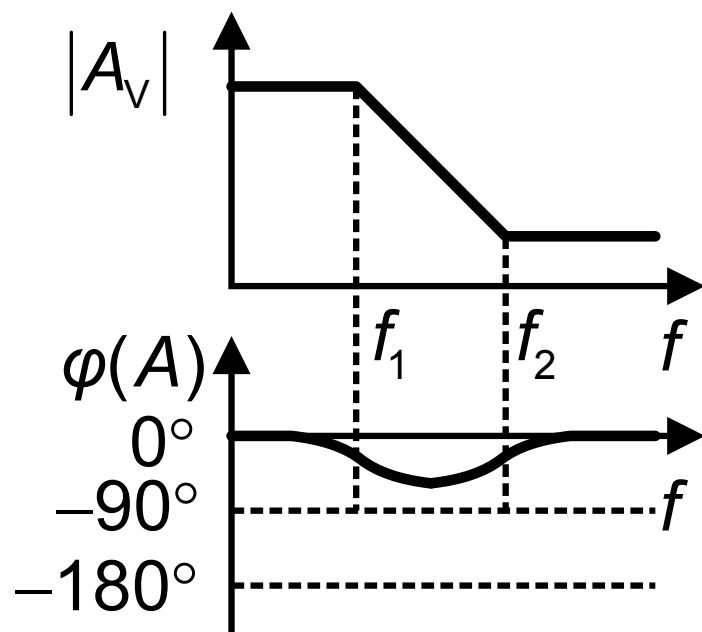
$$f_z = \frac{g_{m2}}{2\pi C_c} \text{ 为正零点!}$$

$$GBW = \frac{g_{m1}}{2\pi C_c}$$

正零点的作用

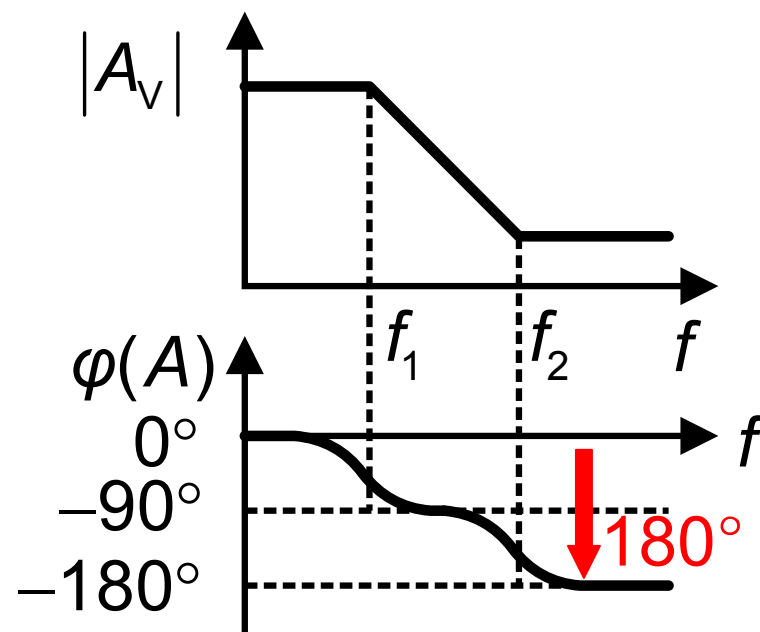
负零点

$$A_V = A_{V0} \frac{1 + jf/f_2}{1 + jf/f_1}$$



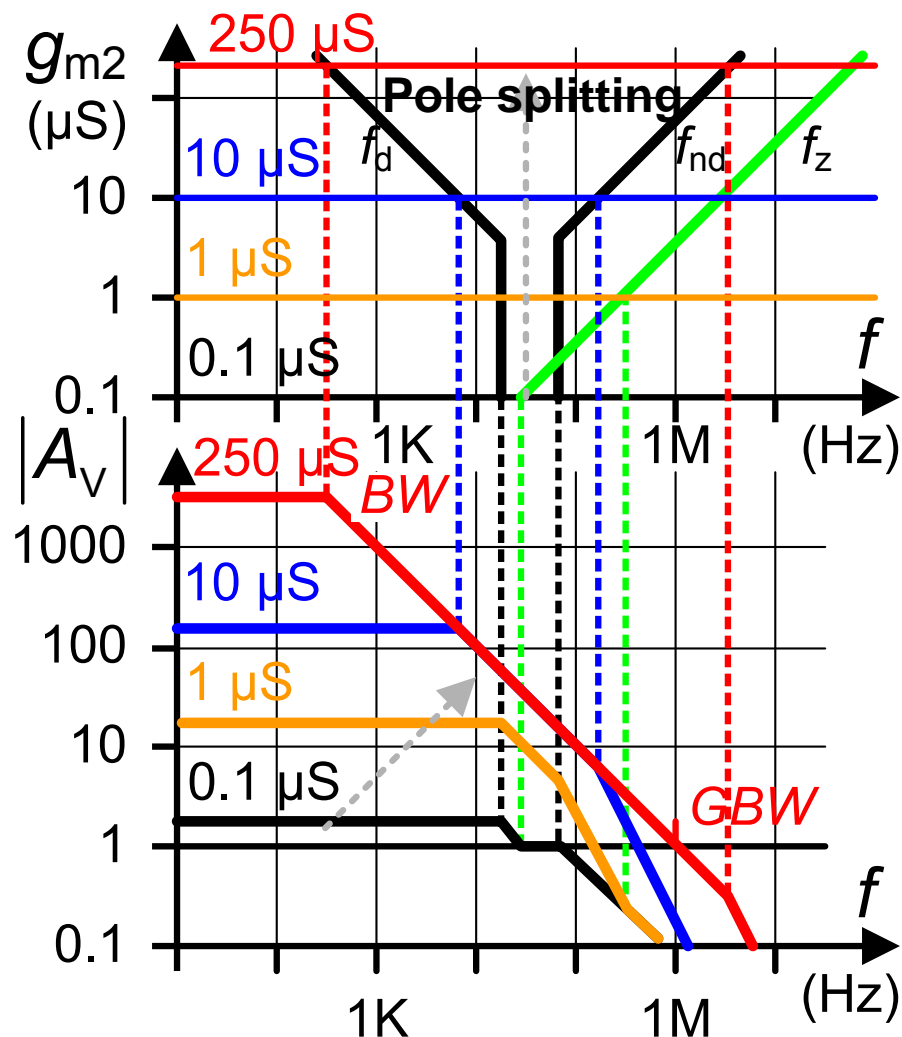
正零点

$$A_V = A_{V0} \frac{1 - jf/f_2}{1 + jf/f_1}$$



对于相位，正零点像一个负极点!!!

密勒OTA：用 g_{m2} 进行极点分离



g_{m2} 取较大值，
进行极点分离：

$$f_d = \frac{1}{2\pi A_{v2} R_{n1} C_c}$$

$$f_z = \frac{g_{m2}}{2\pi C_c} \text{ 为正零点!}$$

$$GBW = \frac{g_{m1}}{2\pi C_c}$$

极点分离的方式

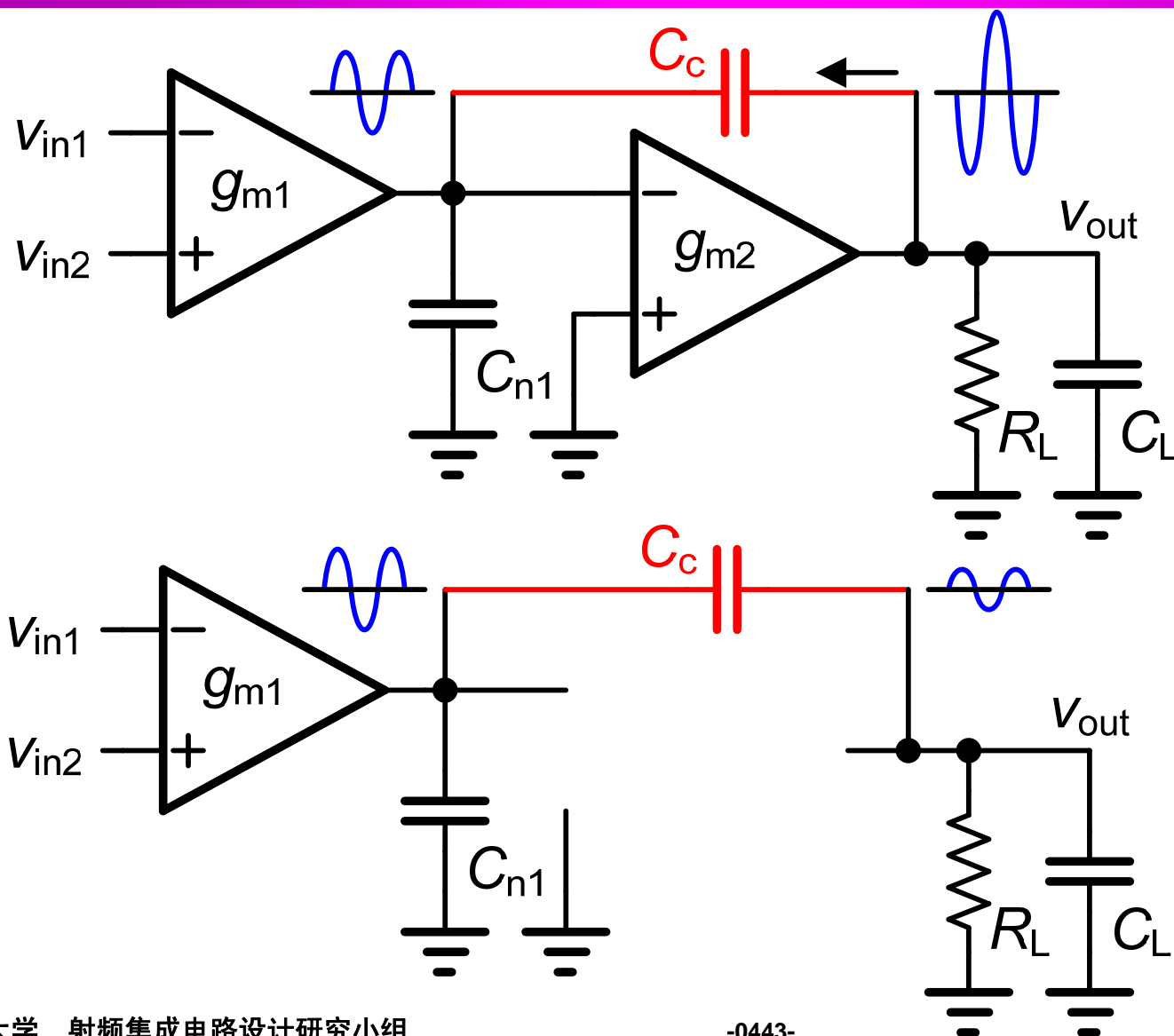
$$\frac{g_{m2}}{g_{m1}} \approx 4 \frac{C_L}{C_c} \quad \text{或表示为} \quad g_{m2} C_c \approx 4 g_{m1} C_L$$

g_{m2} 和 C_c 二者均可

目录

- 运算放大器的使用
- 两级运放的稳定性
- 极点分离
- 正零点的补偿
- 三级运放的稳定性

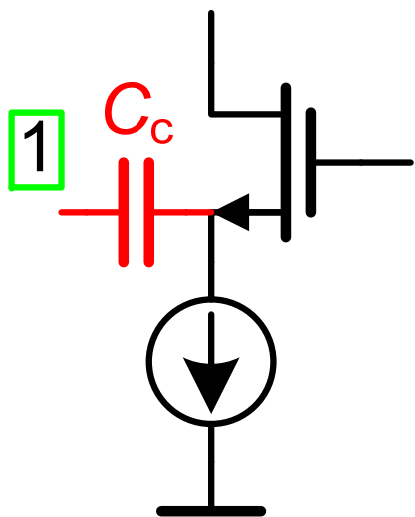
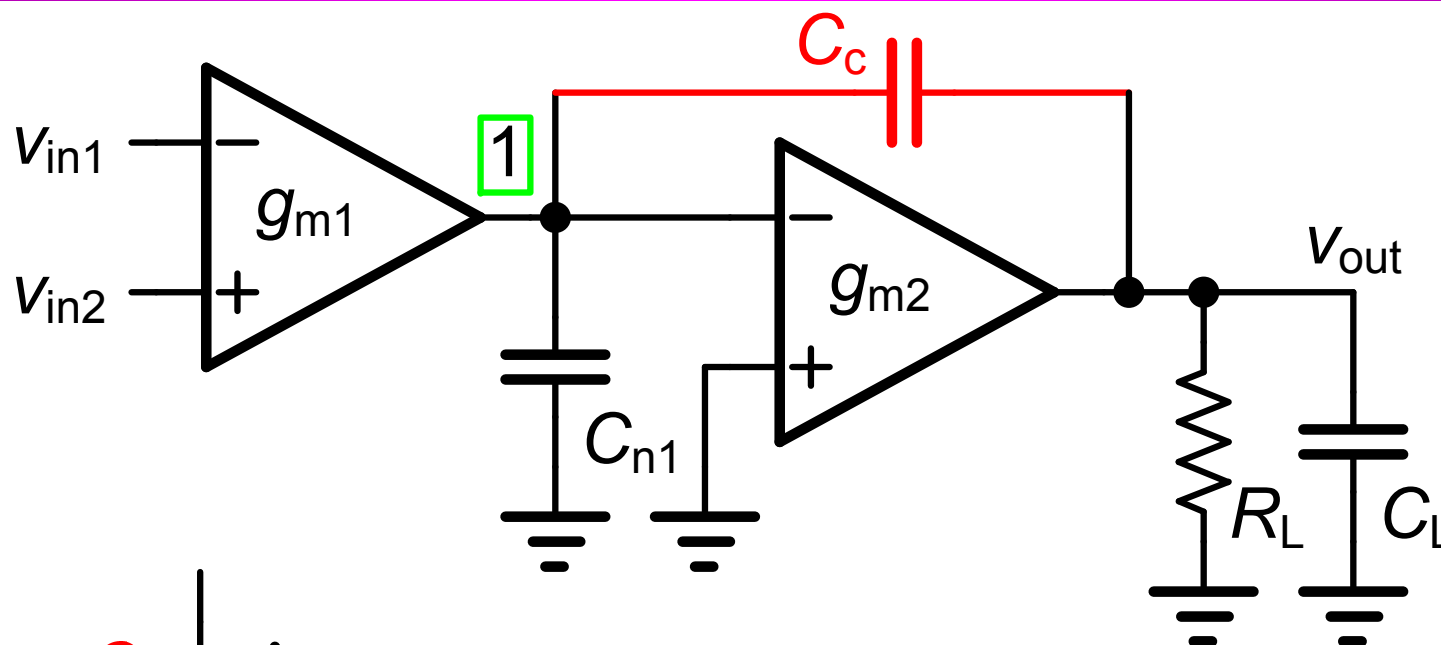
密勒效应的正反馈特性产生正零点



密勒效应为
反馈

正反馈
↓
截断！

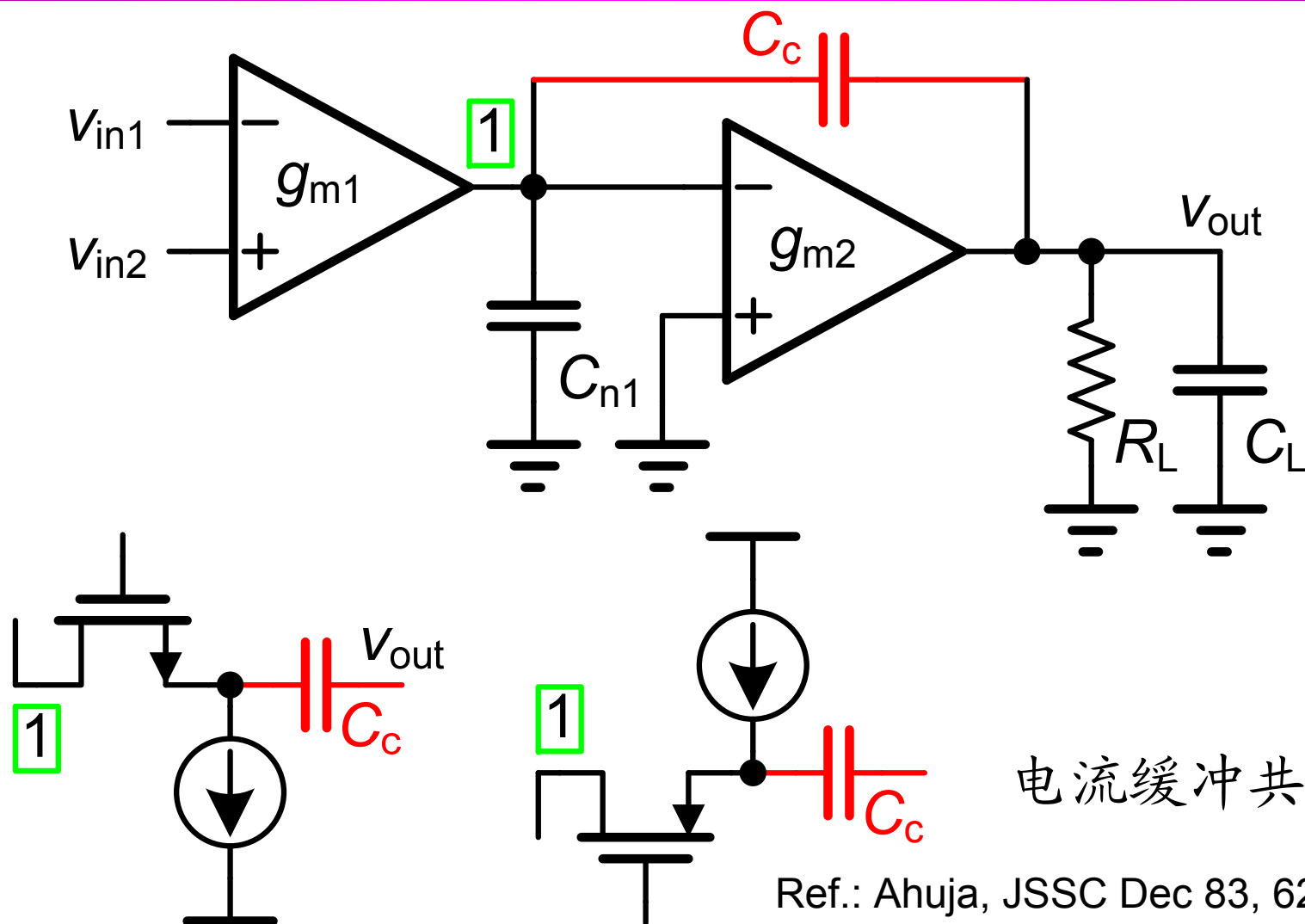
截断正馈通路 1



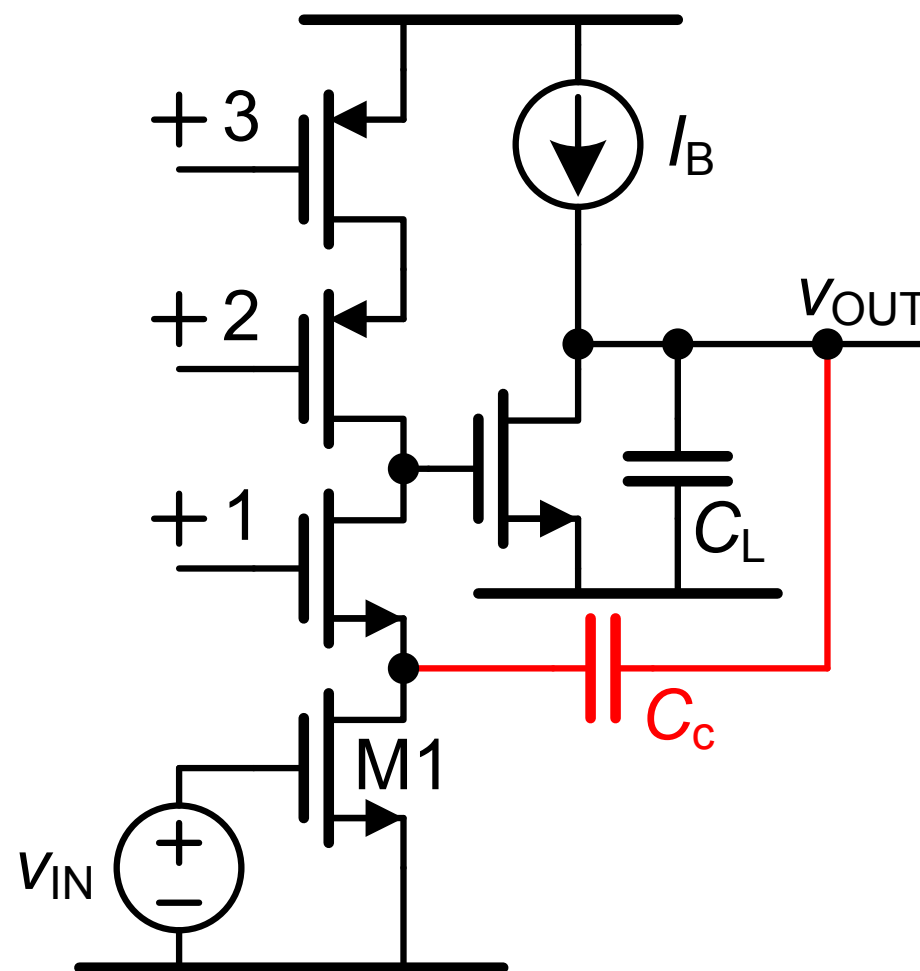
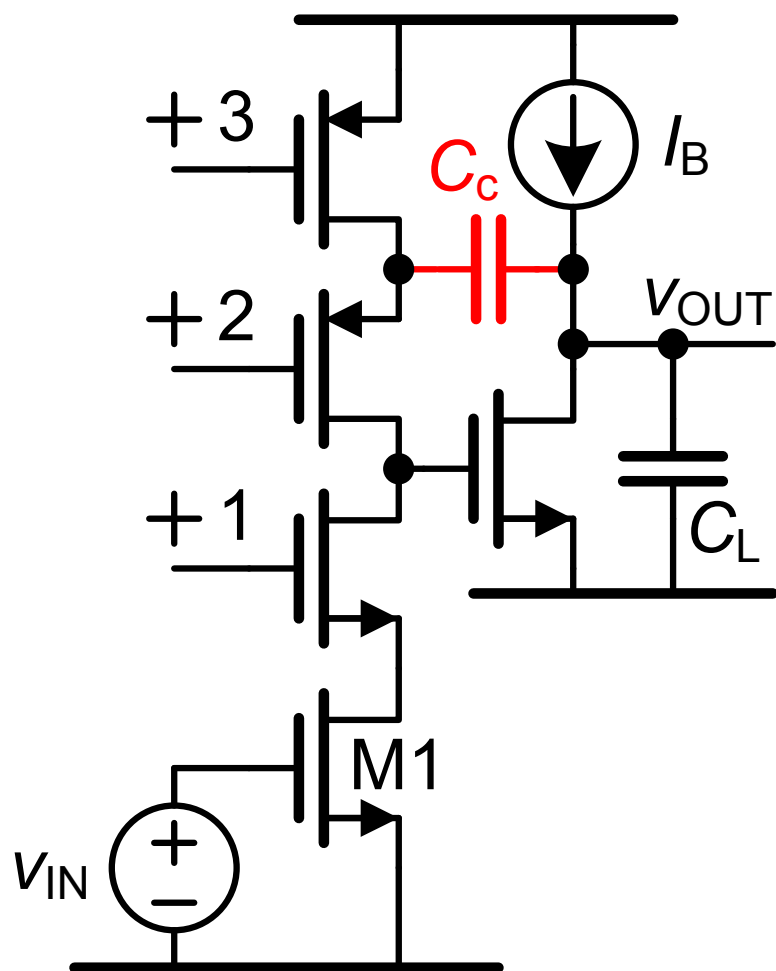
电压缓冲源极跟随器

Ref.: Tsividis, JSSC Dec.76, 748-753

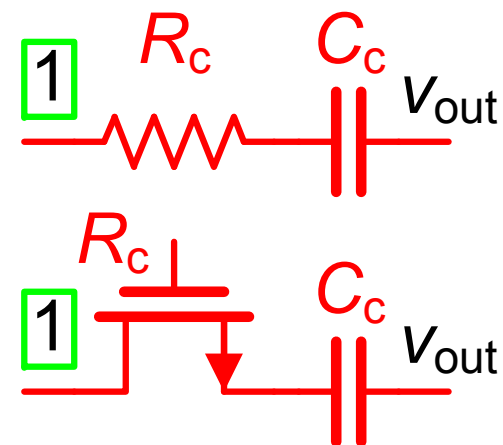
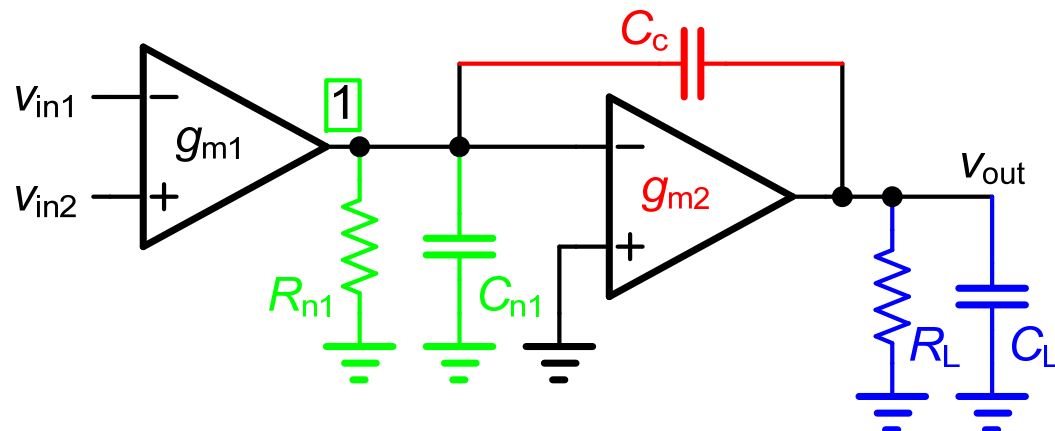
截断正馈通路 2



共源共栅密勒补偿



截断正馈通路 3



$$f_z = \frac{1}{2\pi C_c (1/g_{m2} - R_c)}$$

$R_c = 1/g_{m2}$ 无穷远处零点

$R_c > 1/g_{m2}$ 负零点

Ref.: Senderovics, JSSC Dec 78, 760-766

负零点补偿

$$R_c \gg 1/g_{m2} \Rightarrow f_z = -\frac{1}{2\pi C_c R_c}$$

$$f_z = 3GBW \Rightarrow R_c = \frac{1}{3g_{m1}}$$

选择 $\boxed{\frac{1}{g_{m2}} < R_c < \frac{1}{3g_{m1}}}$

练习：两级运放

已知： $GBW = 50 \text{ MHz}$ 、 $C_L = 2 \text{ pF}$ 和 $V_{GS1} - V_T = 0.2 \text{ V}$

求： I_{DS1} 、 I_{DS2} 、 C_c 和 R_c

$$\text{选择 } C_c = 1 \text{ pF} \Rightarrow g_{m1} = 2\pi C_c GBW = 315 \text{ } \mu\text{S}$$

$$I_{DS1} = 31.5 \text{ } \mu\text{A} \quad 1/g_{m1} \approx 3.2 \text{ k}\Omega$$

$$f_{nd} = 150 \text{ MHz} \Rightarrow g_{m2} = 2\pi C_L 4GBW = 8g_{m1} = 2520 \text{ } \mu\text{S}$$

$$I_{DS2} = 252 \text{ } \mu\text{A} \quad 1/g_{m2} \approx 400 \text{ } \Omega$$

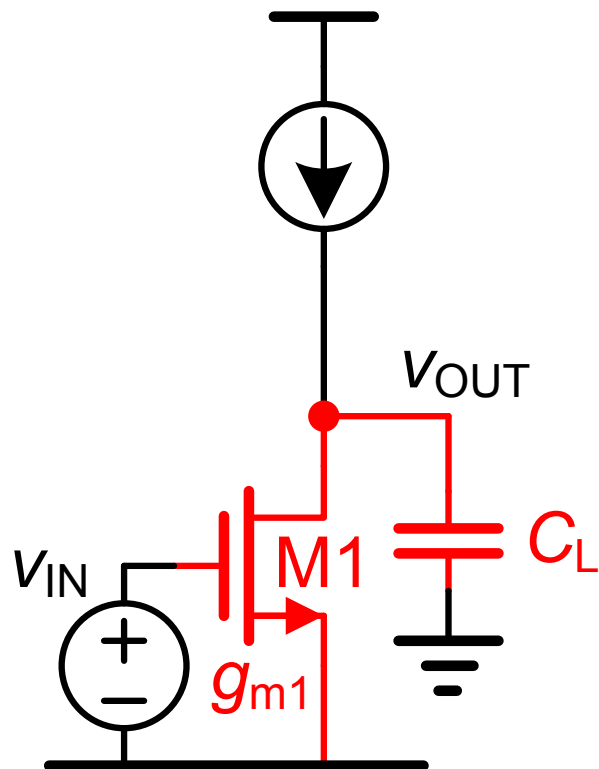
$$\frac{1}{g_{m2}} < R_c < \frac{1}{3g_{m1}} \Rightarrow 400 \text{ } \Omega < R_c < 1 \text{ k}\Omega$$

$$R_c \approx 400\sqrt{2.5} \approx 640 \text{ } \Omega \pm 60\%$$

目录

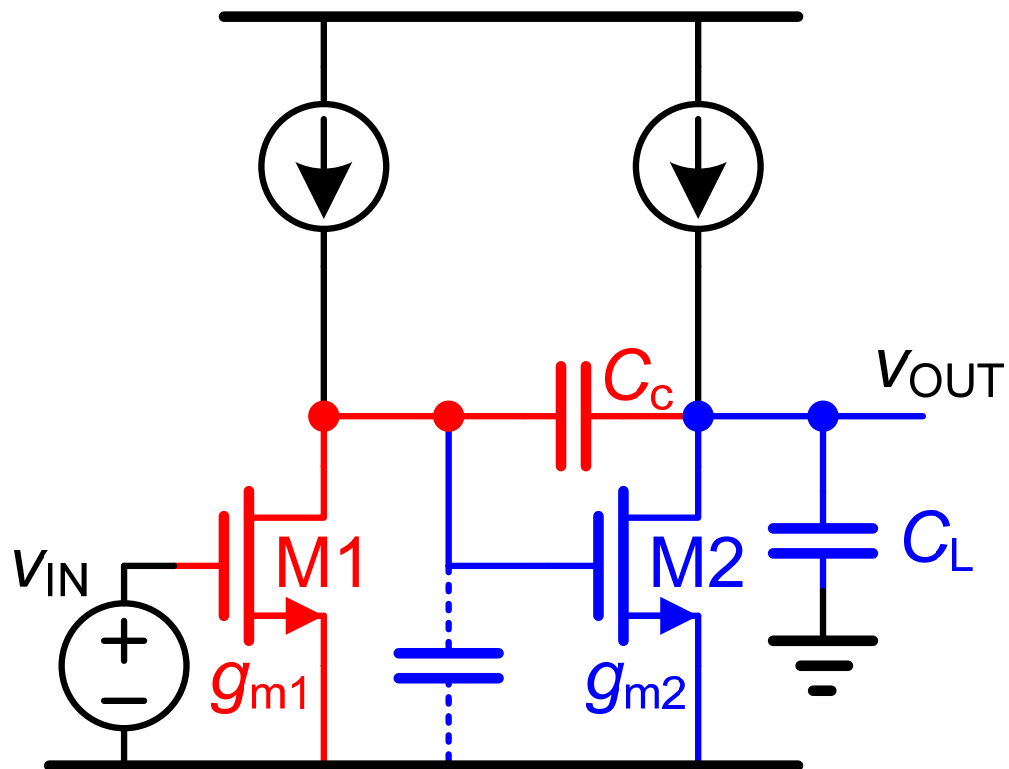
- 运算放大器的使用
- 两级运放的稳定性
- 极点分离
- 正零点的补偿
- 三级运放的稳定性

一级CMOS OTA



$$GBW = \frac{g_{m1}}{2\pi C_L}$$

两级密勒CMOS OTA

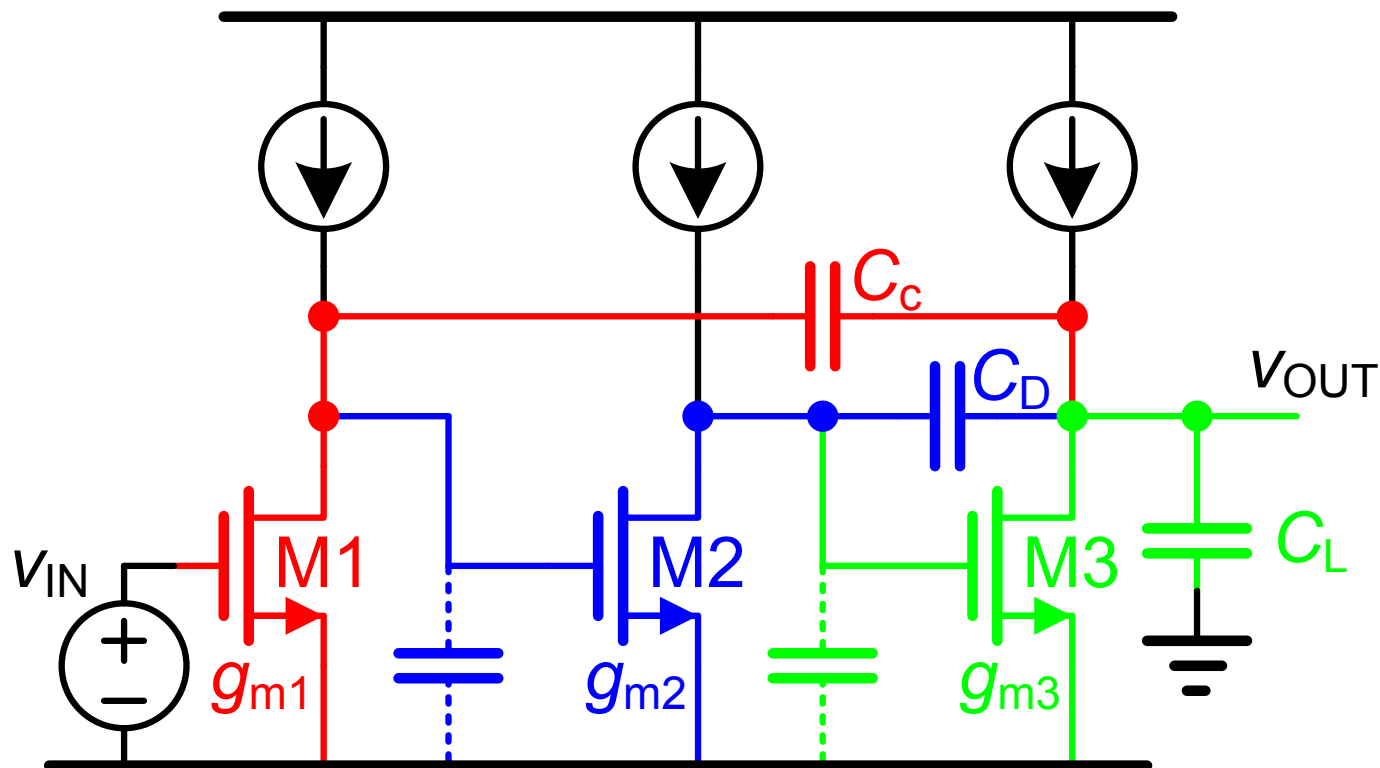


$$GBW = \frac{g_{m1}}{2\pi C_c}$$

$$f_{nd1} = \frac{g_{m2}}{2\pi C_L}$$

$$f_{nd1} = 3GBW$$

三级嵌套密勒CMOS OTA



$$GBW = \frac{g_{m1}}{2\pi C_c}$$

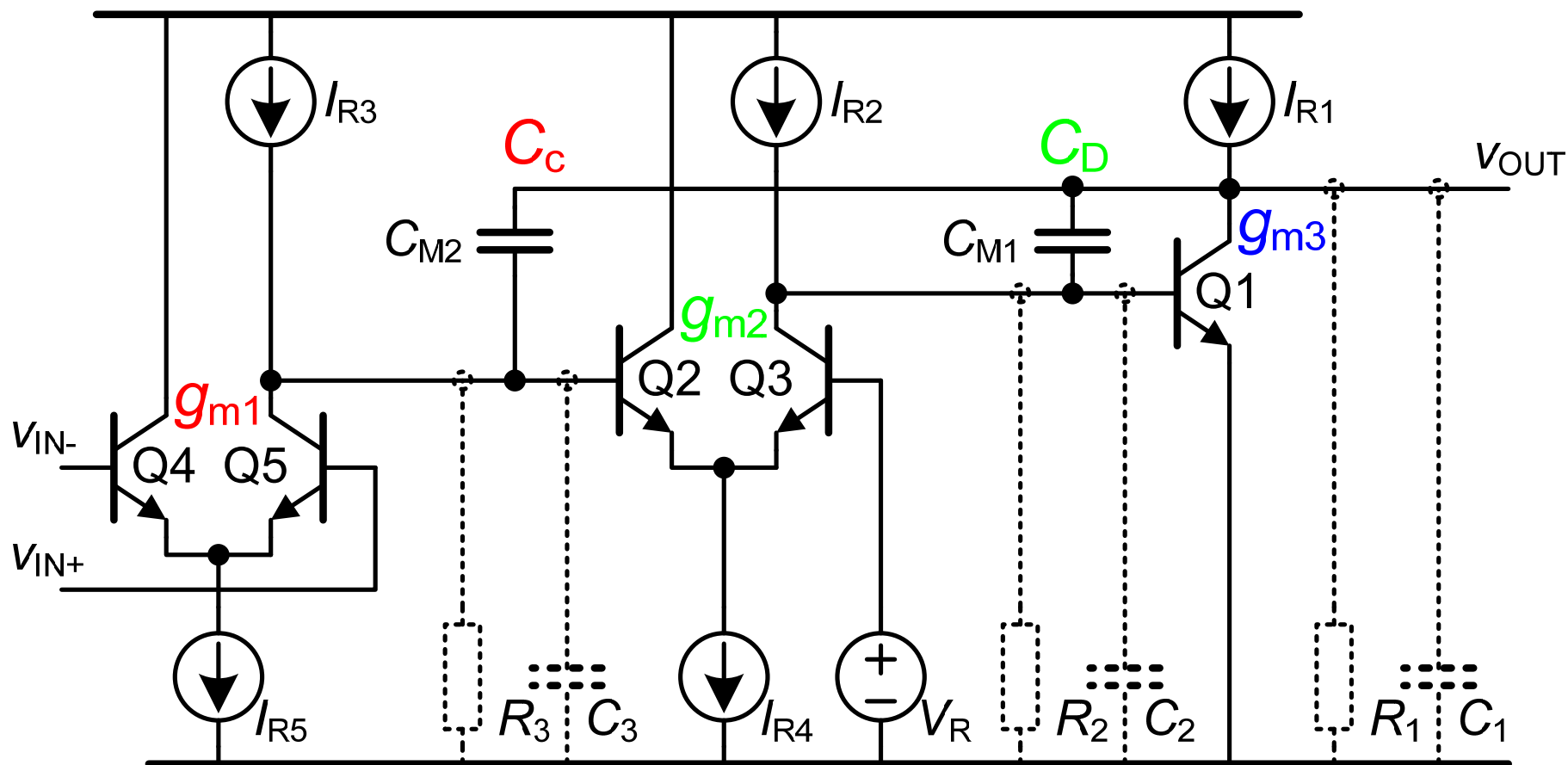
$$f_{nd1} = \frac{g_{m2}}{2\pi C_D}$$

$$f_{nd2} = \frac{g_{m3}}{2\pi C_L}$$

$$f_{nd1} = 3GBW$$

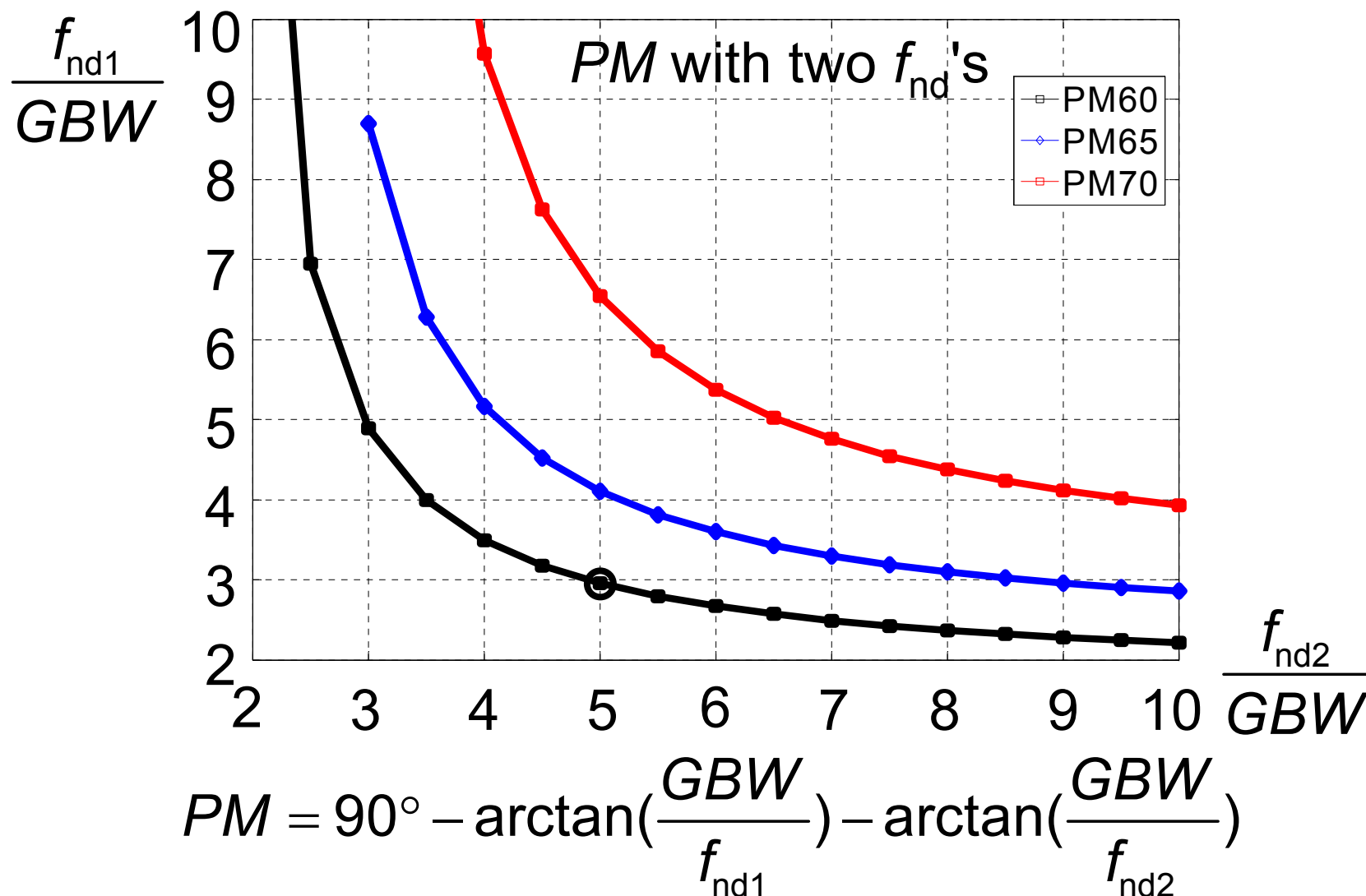
$$f_{nd2} = 5GBW$$

差分对构建嵌套密勒OTA

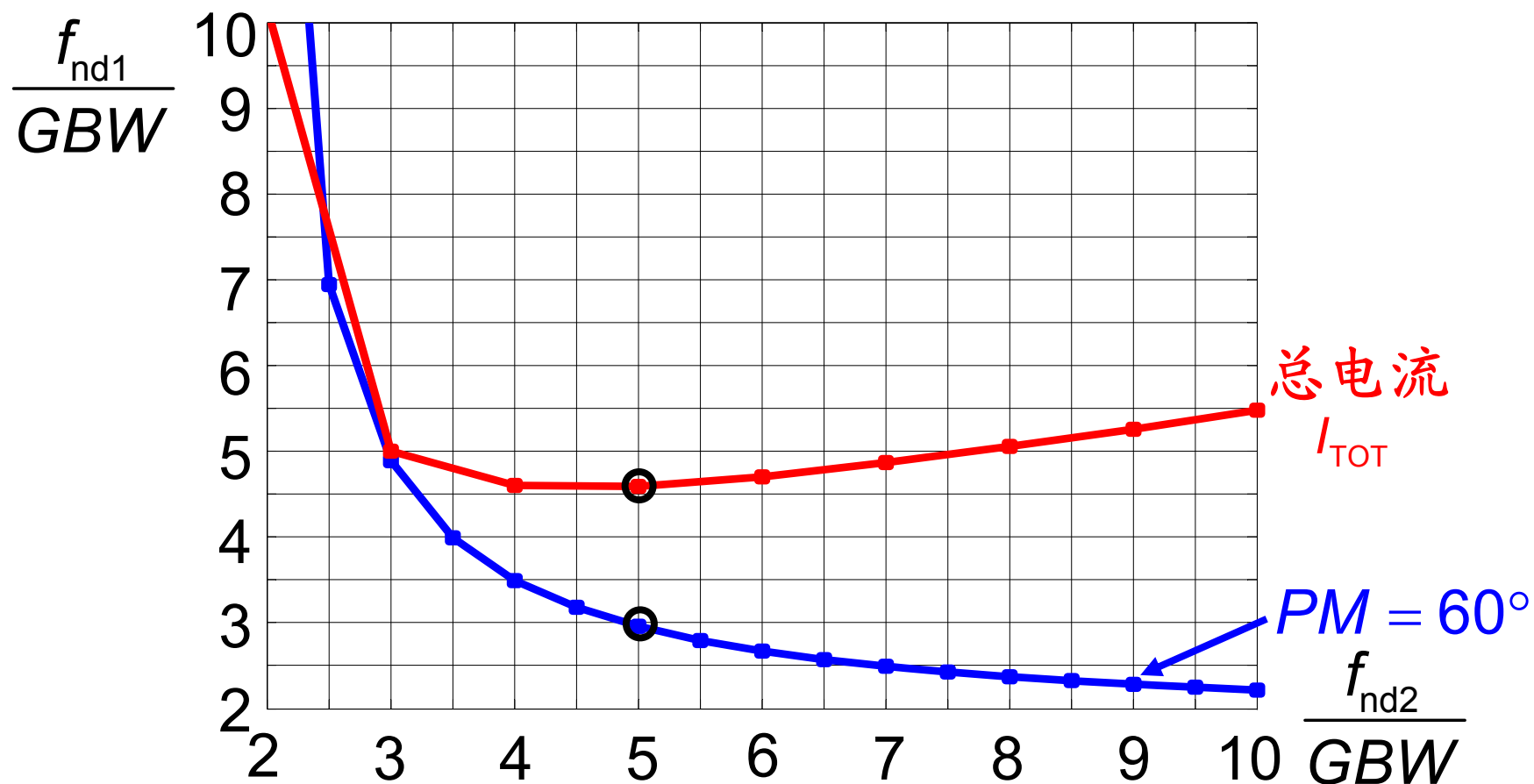


Ref.: Huijsing, JSSC Dec.85, pp.1144-1150

PM与两个非主极点的关系



功耗与两个非主极点的关系



$$I_{TOT} = 2I_{DS1} + 2I_{DS2} + I_{DS3}$$

三级运放的初步设计

$$GBW = \frac{g_{m1}}{2\pi C_c}$$

$$f_{nd1} = \frac{g_{m2}}{2\pi C_D}$$

$$f_{nd2} = \frac{g_{m3}}{2\pi C_L}$$

$$f_{nd1} = 3GBW$$

$$f_{nd2} = 5GBW$$

选择 $C_D \approx C_c \Rightarrow \frac{g_{m2}}{g_{m1}} \approx 3 \quad \frac{g_{m3}}{g_{m1}} \approx 5 \frac{C_L}{C_c}$

输出级需要大电流!

练习：三级运放设计

已知： $GBW = 50 \text{ MHz}$ 、 $C_L = 2 \text{ pF}$ 和 $V_{GS} - V_T = 0.2 \text{ V}$

求： I_{DS1} 、 I_{DS2} 、 I_{DS3} 、 C_c 和 C_D

$$\text{选择 } C_c = C_D = 1 \text{ pF} \Rightarrow g_{m1} = 2\pi C_c GBW = 315 \text{ } \mu\text{S}$$

$$I_{DS1} = 31.5 \text{ } \mu\text{A}$$

$$f_{nd1} = 150 \text{ MHz} \Rightarrow g_{m2} = 2\pi C_D 3GBW = 3g_{m1} = 945 \text{ } \mu\text{S}$$

$$I_{DS2} = 94.5 \text{ } \mu\text{A}$$

$$f_{nd2} = 250 \text{ MHz} \Rightarrow g_{m3} = 2\pi C_L 5GBW = 10g_{m1} = 3150 \text{ } \mu\text{S}$$

$$I_{DS3} = 315 \text{ } \mu\text{A}$$

一/两/三级运放的比较

$$GBW = 50 \text{ MHz} \quad C_L = 2 \text{ pF}$$

单级: $I_{DS1} = 31.5 \text{ } \mu\text{A}$

$$I_{TOT} = 2I_{DS1} = 63 \text{ } \mu\text{A}$$

两级: 选择 $C_c = 1 \text{ pF}$ $I_{DS1} = 31.5 \text{ } \mu\text{A}$ $I_{DS2} = 252 \text{ } \mu\text{A}$

$$I_{TOT} = 2I_{DS1} + I_{DS2} = 315 \text{ } \mu\text{A}$$

三级: 选择 $C_c = C_D = 1 \text{ pF}$

$$I_{DS1} = 31.5 \text{ } \mu\text{A} \quad I_{DS2} = 94.5 \text{ } \mu\text{A} \quad I_{DS3} = 315 \text{ } \mu\text{A}$$

$$I_{TOT} = 2I_{DS1} + 2I_{DS2} + I_{DS3} = 576 \text{ } \mu\text{A}$$

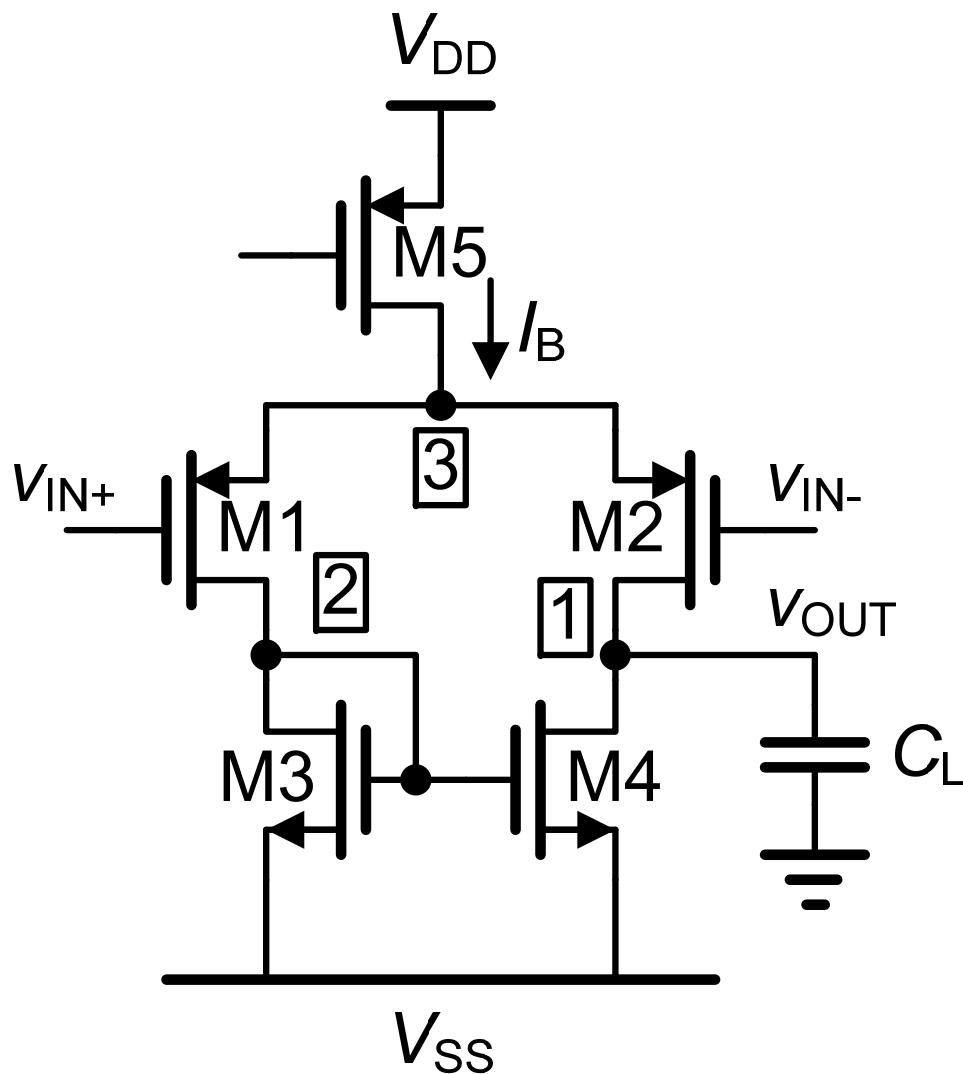
运算放大器的系统设计

目录

- 单级OTA的设计
- CMOS密勒OTA的设计
- GBW 和相位裕度的设计
- 其他指标：输入范围、输出范围、 $SR...$

Ref.: W. Sansen : Analog Design Essentials, Springer 2006

CMOS单级OTA: *GBW*



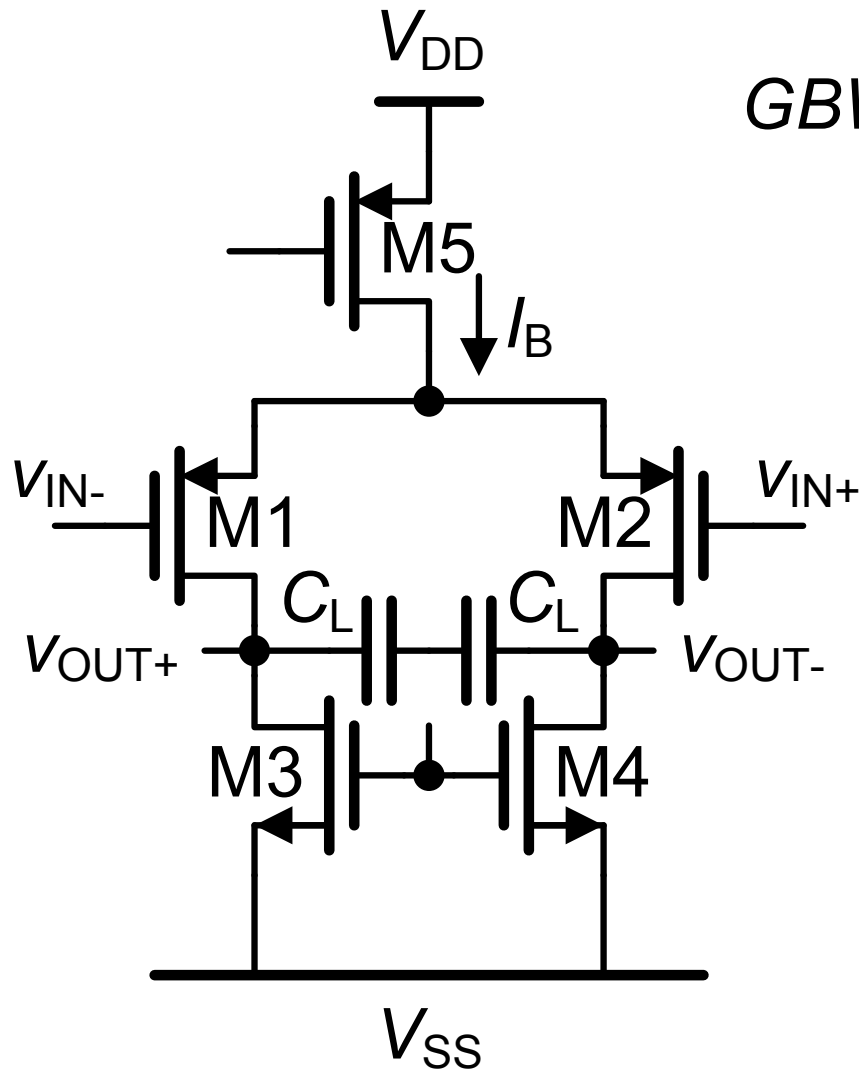
$$A_v = g_{m1} \frac{r_{DS}}{2}$$

如果: $r_{DS2} = r_{DS4} = r_{DS}$

$$BW = \frac{1}{2\pi \frac{r_{DS}}{2} (C_L + C_{n1})}$$

$$GBW = \frac{g_{m1}}{2\pi (C_L + C_{n1})}$$

CMOS OTA: 最大 GBW



$$GBW = \frac{g_{m1}}{2\pi C_L} \quad g_{m1} = \frac{I_B}{V_{GS1} - V_T}$$

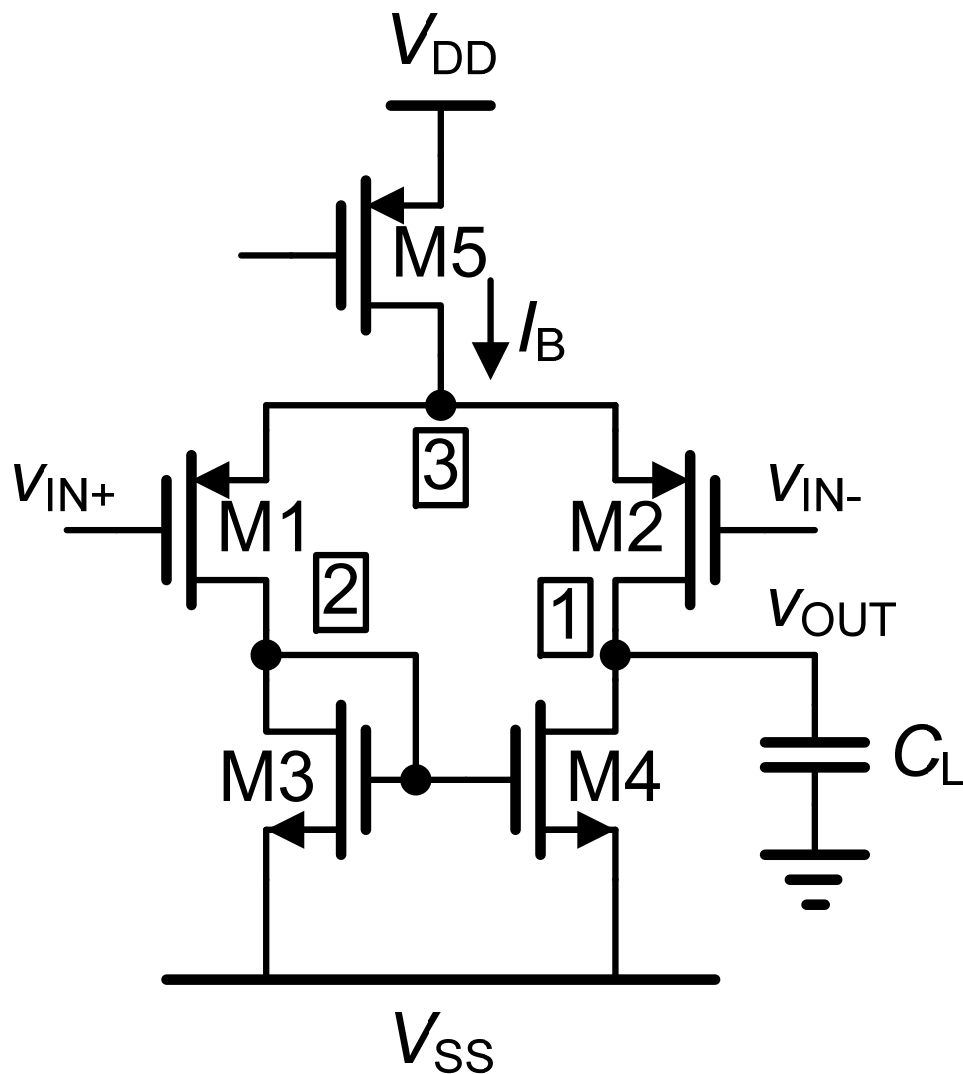
$$GBW_{\max} = \frac{I_B}{V_{GS1} - V_T} \frac{1}{2\pi C_L}$$

$C_L = 1 \text{ pF}$
 $I_B = 10 \text{ } \mu\text{A}$
 $\Rightarrow GBW_{\max} \approx 10 \text{ MHz}$ [8]

$$FOM = \frac{GBW \cdot C_L}{I_B}$$

$= 1000 \text{ MHzpF/mA}$
 [800]

CMOS单级OTA: f_{nd}



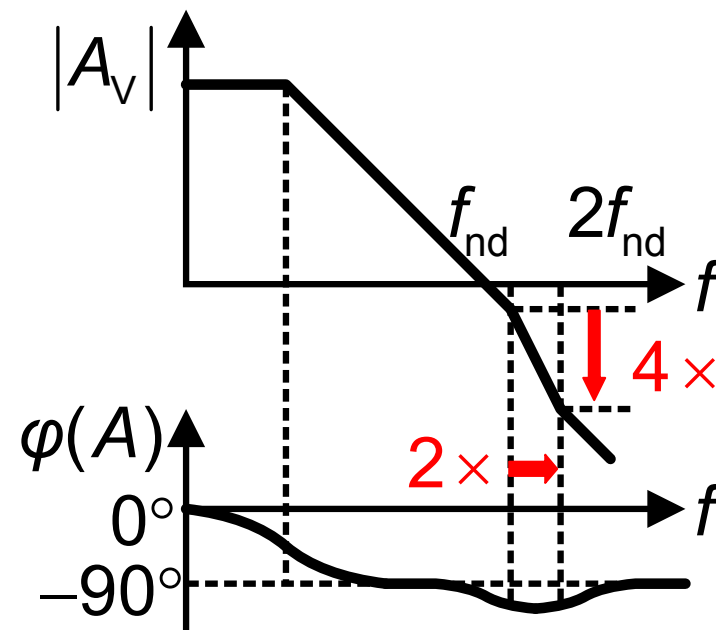
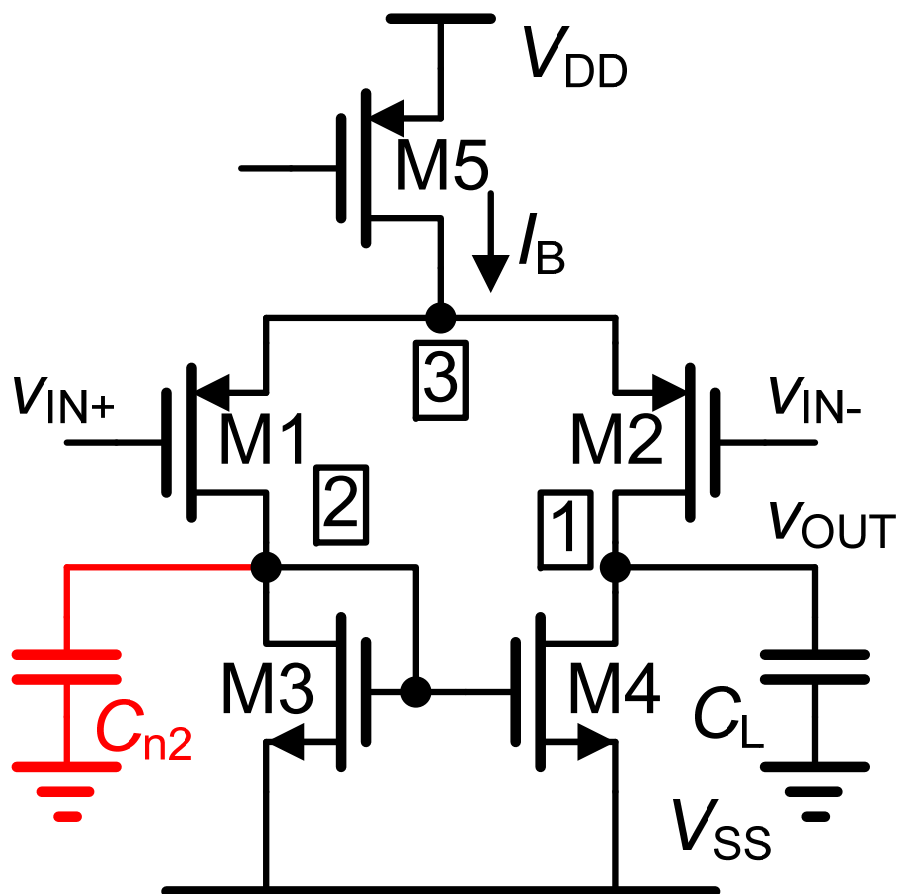
$$GBW = \frac{g_{m1}}{2\pi(C_L + C_{n1})}$$

$$f_{nd} = \frac{g_{m3}}{2\pi C_{n2}}$$

$$C_{n2} \approx 2C_{GS3} + C_{DB3} + C_{DB1} \\ \approx 4C_{GS3}$$

$$f_{nd} \approx \frac{f_{T3}}{4}$$

CMOS OTA: f_{nd}



$$f_{nd} = \frac{g_{m3}}{2\pi C_{n2}}$$

$$PM = 90^\circ - \arctan\left(\frac{GBW}{f_{nd}}\right) + \arctan\left(\frac{GBW}{2f_{nd}}\right) \approx 85^\circ$$

CMOS单级OTA：设计 1

已知： $GBW = 100 \text{ MHz}$ 和 $C_L = 2 \text{ pF}$

工艺： $L_{\min} = 0.35 \text{ } \mu\text{m}$ 、 $K'_n = 60 \text{ } \mu\text{A/V}^2$ 和 $K'_p = 30 \text{ } \mu\text{A/V}^2$

求： I_{DS} 、 W 、 L

$$g_m = 2\pi C_L GBW = 1.2 \text{ mS} \quad V_{GS} - V_T = 0.2 \text{ V}$$

$$I_{DS} = g_m \frac{V_{GS} - V_T}{2} = \frac{g_m}{10} = 0.12 \text{ mA}$$

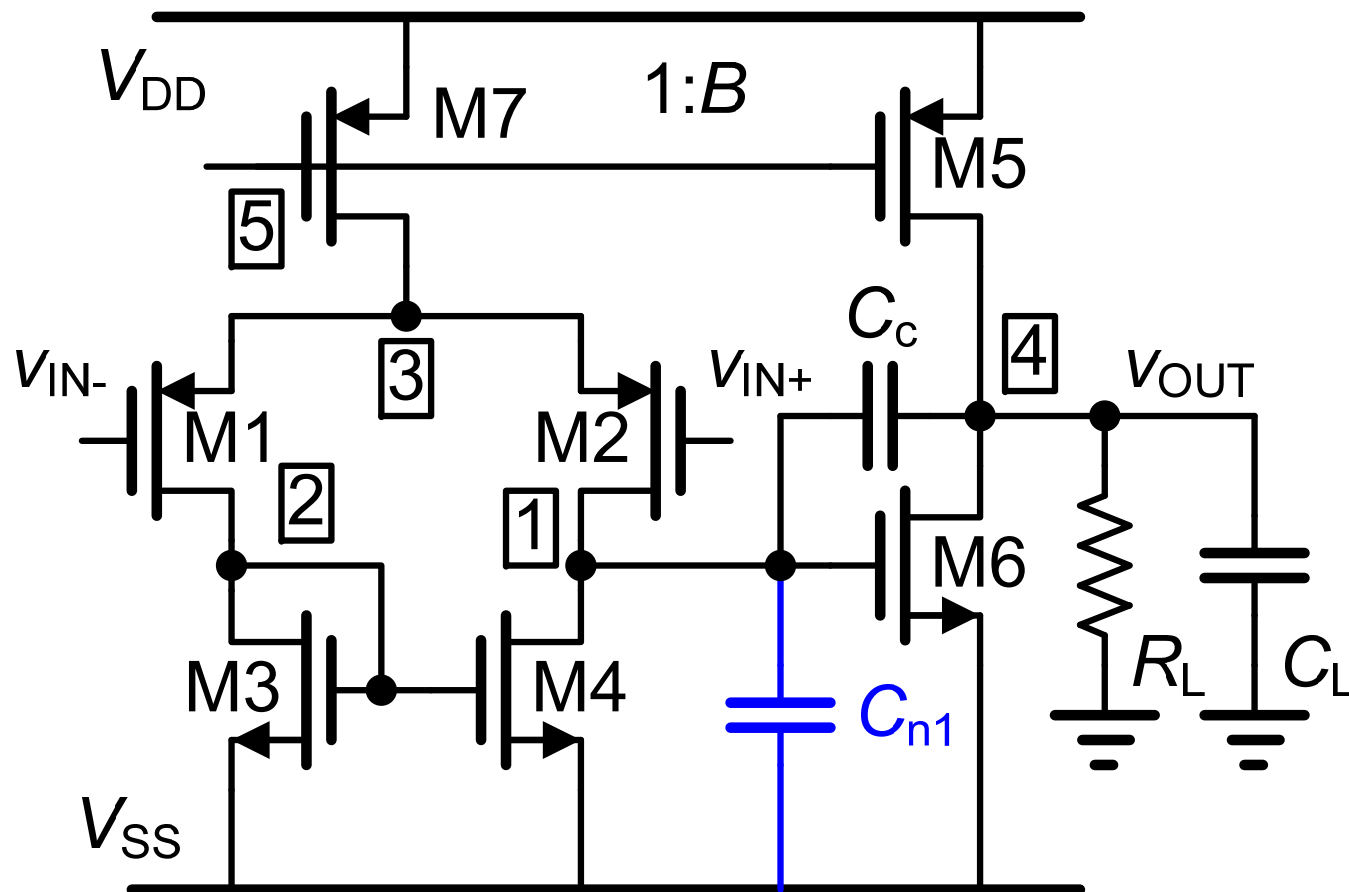
$$\frac{W}{L} = \frac{I_{DS}}{K' (V_{GS} - V_T)^2} = 100 \quad L_p = L_n = 1 \text{ } \mu\text{m} \text{ 考虑增益!}$$

$$W_n = 50 \text{ } \mu\text{m}、W_p = 100 \text{ } \mu\text{m}$$

目录

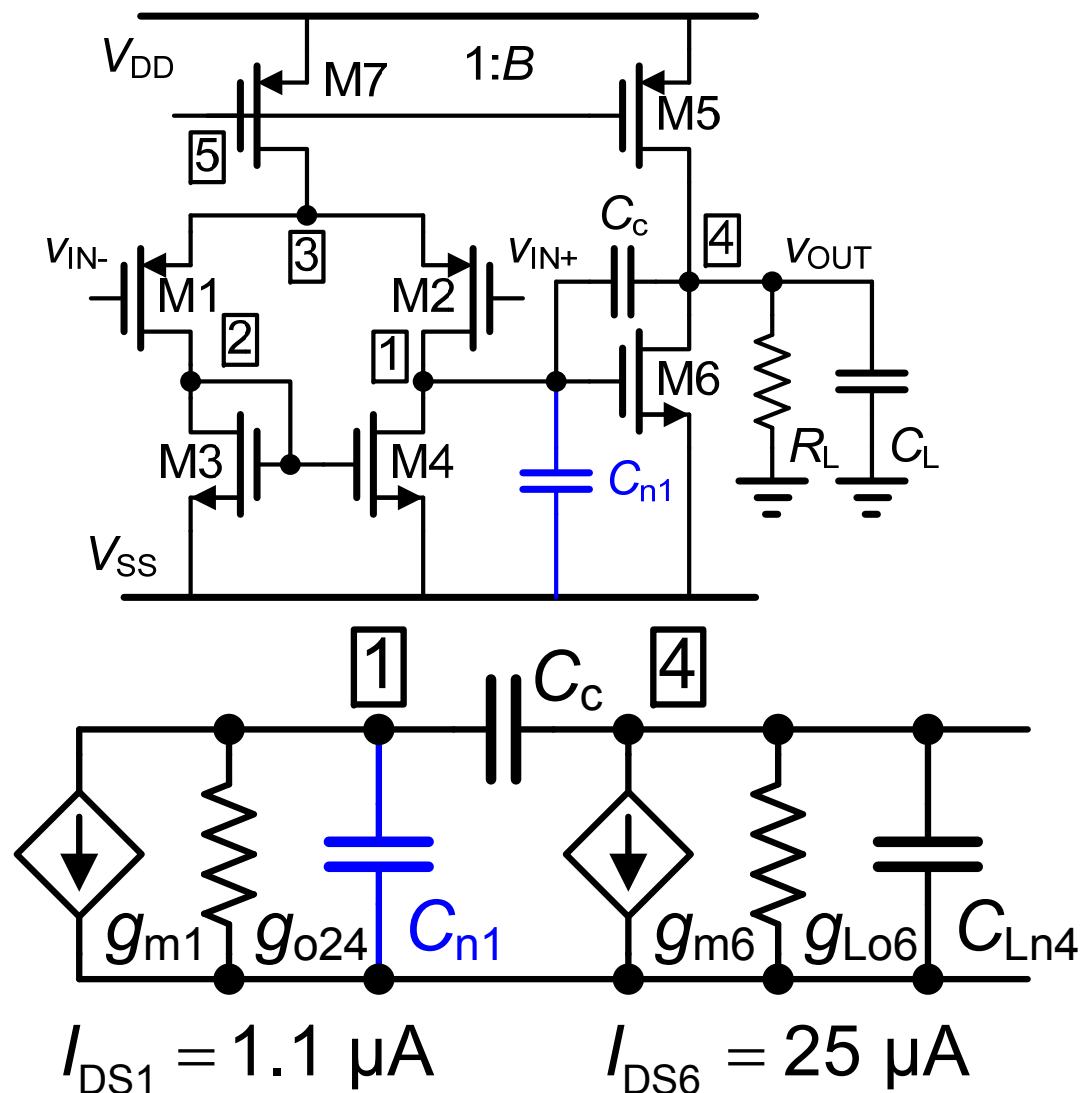
- 单级OTA的设计
- CMOS密勒OTA的设计
- GBW和相位裕度的设计
- 其他指标：输入范围、输出范围、 $SR...$

CMOS密勒OTA



两个节点
 ① ④
 具有高阻抗
 产生两个极点
 用 C_c 进行分离

CMOS密勒OTA：小信号



$$GBW = 1 \text{ MHz}$$

$$C_L = 10 \text{ pF}$$

$$R_L = 10 \text{ k}\Omega$$

$$g_{m1} = 7.5 \text{ }\mu\text{S}$$

$$g_{o24} = 0.03 \text{ }\mu\text{S}$$

$$C_{n1} = 0.37 \text{ pF}$$

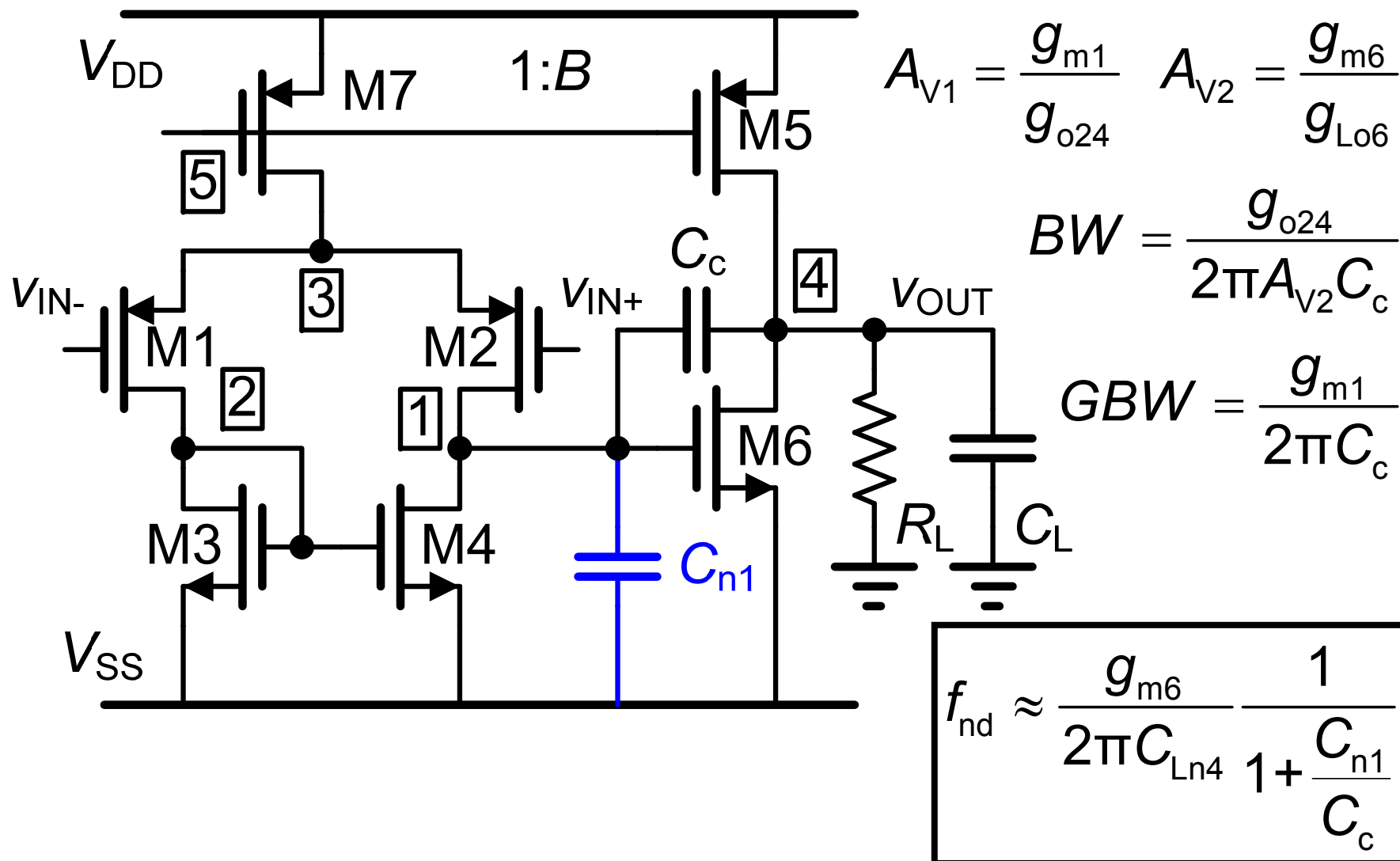
$$C_c = 1 \text{ pF}$$

$$g_{m6} = 246 \text{ }\mu\text{S}$$

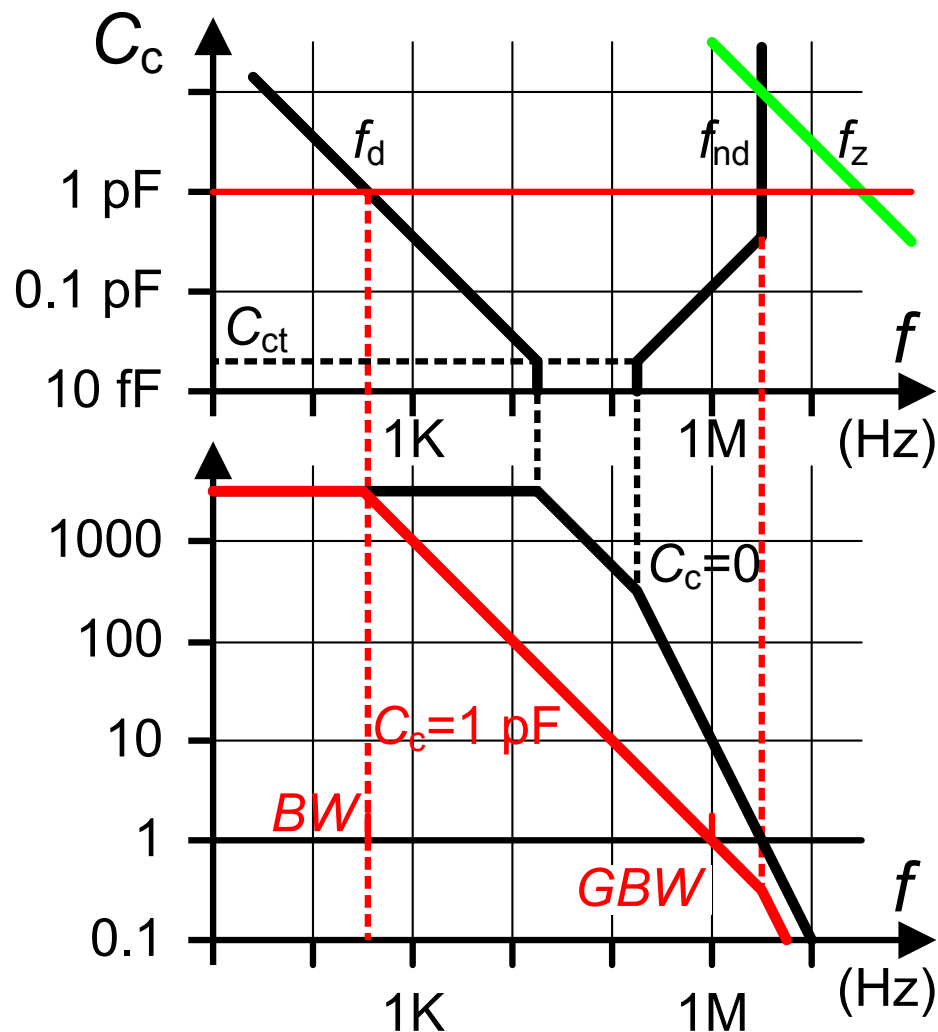
$$g_{Lo6} = 20 \text{ }\mu\text{S}$$

$$C_{Ln4} = 10.2 \text{ pF}$$

CMOS密勒OTA: *GBW*



CMOS密勒OTA：极点和零点



极点分离

从 $C_c \approx \frac{C_{n1}}{A_{V2}} \approx 20 \text{ fF}$ 开始

$C_c = 1 \text{ pF}$ 足够

$$f_z = \frac{g_{m2}}{2\pi C_c}$$

目录

- 单级OTA的设计
- CMOS密勒OTA的设计
- GBW和相位裕度的设计
- 其他指标：输入范围、输出范围、 $SR...$

CMOS密勒OTA：设计规划

$$GBW = \frac{g_{m1}}{2\pi C_c}$$

$$GBW = 100 \text{ MHz} \quad C_L = 2 \text{ pF}$$

$$f_{nd} \approx \frac{g_{m6}}{2\pi C_{Ln4}} \frac{1}{1 + \frac{C_{n1}}{C_c}}$$

两个方程，

三个变量 g_{m1} 、 g_{m6} 、 C_c ？

求解：选择 g_{m1} 或 g_{m6} 或 C_c ？

选择 $C_c=1$ pF 有问题吗？

CMOS密勒OTA设计：参变量 C_c 1

选择 $C_c \approx 3C_{n1}$ 得 $GBW = \frac{g_{m1}}{2\pi C_c}$ 和 $3GBW \approx \frac{g_{m1}}{2\pi C_{Ln4}} \frac{1}{1.3}$

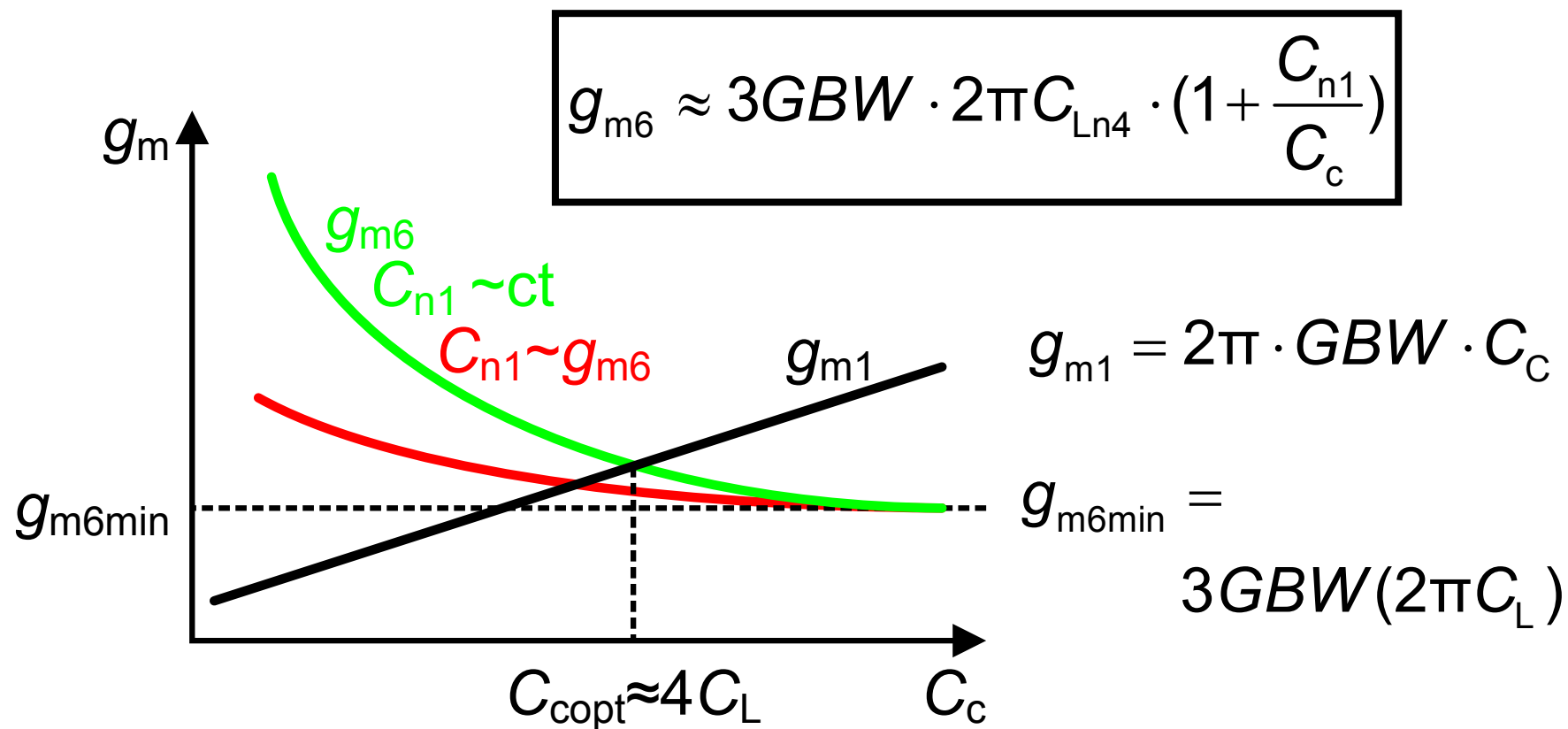
$$\frac{g_{m6}}{g_{m1}} \approx 4 \frac{C_L}{C_c}$$

$$GBW = 100 \text{ MHz} \quad C_L = 2 \text{ pF}$$

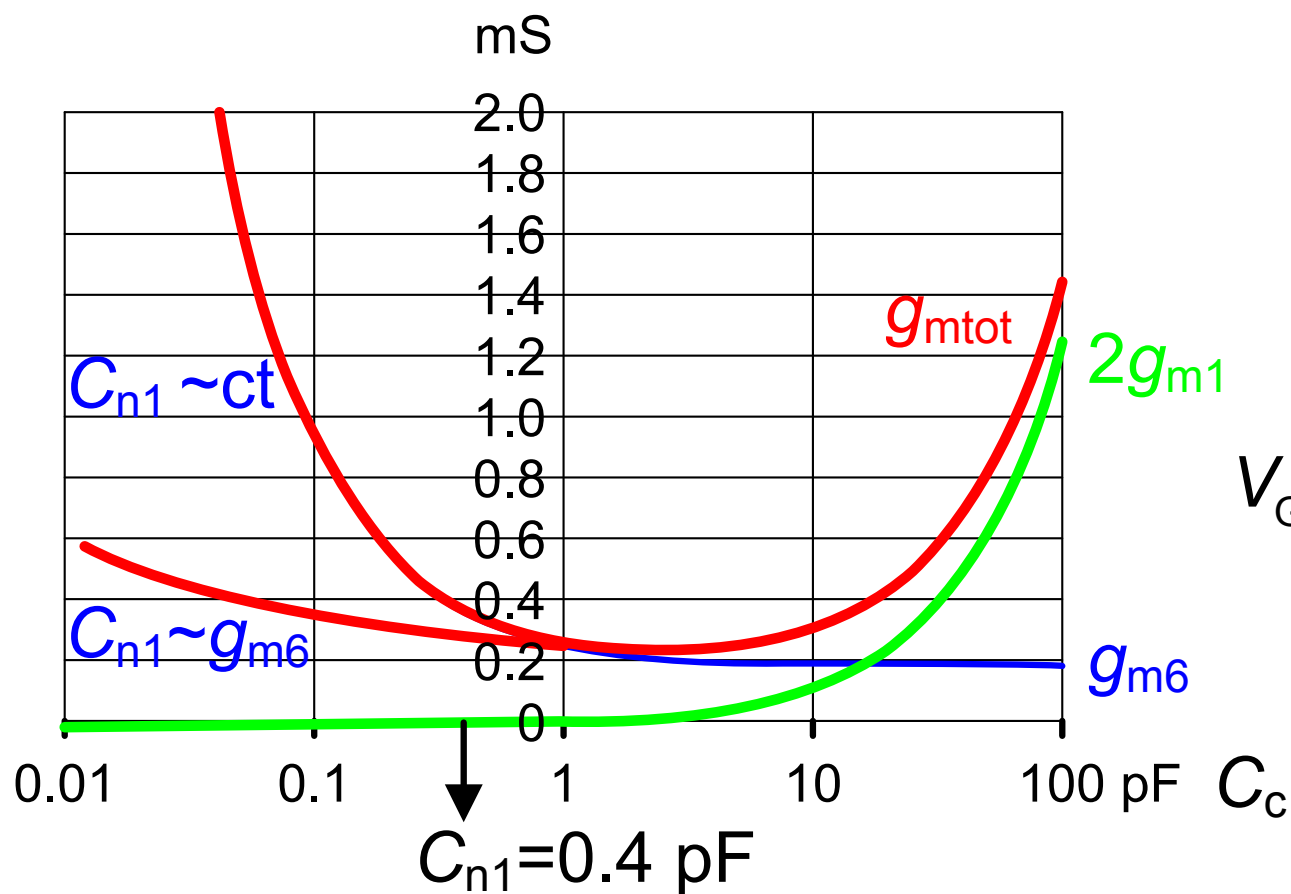
选择 $C_{n1} < C_c < C_L$

选择 $C_c = 1 \text{ pF}$ 得 $g_{m1} = 0.63 \text{ mS}$ 和 $g_{m6} = 5.0 \text{ mS}$

CMOS密勒OTA设计：参变量 C_c 2



1 MHz CMOS密勒OTA: 参变量 C_c



$$GBW = 1 \text{ MHz}$$

$$C_L = 10 \text{ pF}$$

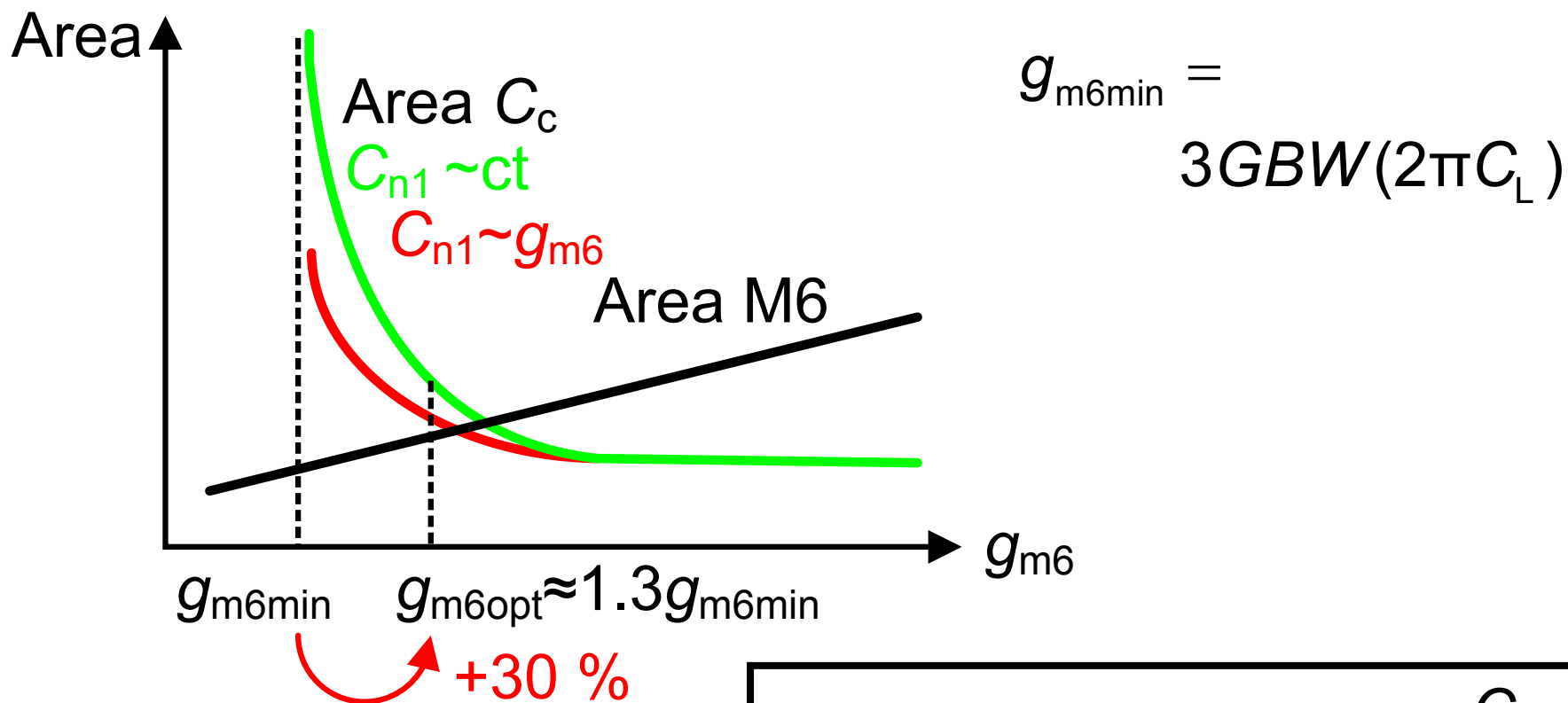
$$C_{n1} = 0.4 \text{ pF}$$

$$K' = 20 \mu\text{A/V}^2$$

$$V_{GS} - V_T = 0.2 \text{ V}$$

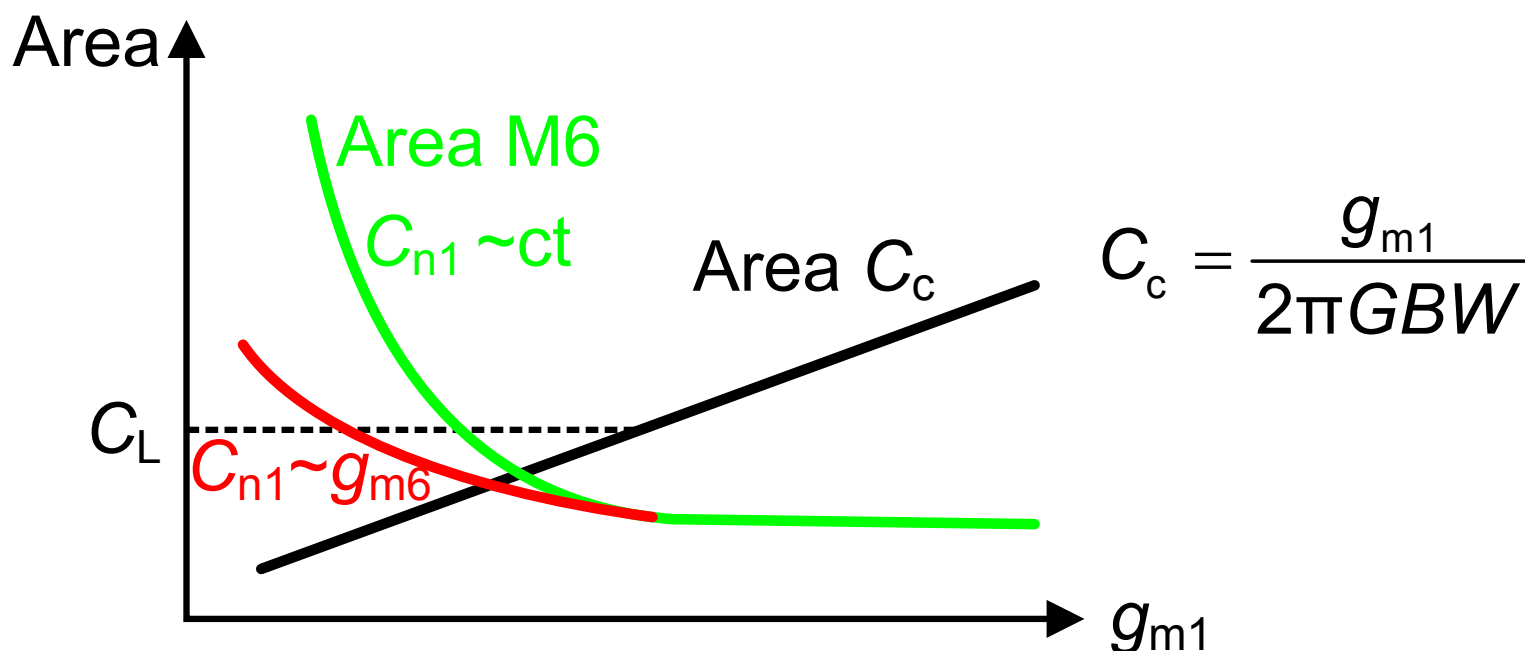
$$L = 10 \mu\text{m}$$

CMOS密勒OTA设计：参变量 g_{m6}



$$g_{m6} \approx 3GBW \cdot 2\pi C_{Ln4} \cdot \left(1 + \frac{C_{n1}}{C_c}\right)$$

CMOS密勒OTA设计：参变量 g_{m1}



$$g_{m6} \approx 3GBW \cdot 2\pi C_{Ln4} \cdot \left(1 + \frac{C_{n1}}{g_{m1}} 2\pi GBW\right)$$

高速密勒OTA的优化设计 1

$$GBW = \frac{g_{m1}}{2\pi C_c}$$

$$C_L = \alpha C_c \quad \alpha \approx 2$$

$$C_c = \beta C_{n1} = \beta C_{GS6} \quad \beta \approx 3$$

$$f_{nd} = \frac{g_{m6}}{2\pi C_L} \frac{1}{1 + C_{n1}/C_c}$$

$$f_{nd} = \gamma GBW \quad \gamma \approx 2$$

$$C_{GS} = kW \quad k = 2 \text{ fF}/\mu\text{m}$$

$$GBW = \frac{f_{nd}}{\gamma} = \frac{g_{m6}}{2\pi C_L} \frac{1}{\gamma(1 + 1/\beta)} = \frac{f_{T6}}{\alpha\beta\gamma(1 + 1/\beta)}$$

$$C_L = \alpha C_c = \alpha\beta C_{n1} = \alpha\beta C_{GS6} = \alpha\beta kW_6 \quad \text{如果 } C_L \uparrow \text{ 则 } W_6 \uparrow$$

高速密勒OTA的优化设计 2

代入 f_{T6} 得

$$f_{T6} = \frac{g_{m6}}{2\pi C_{GS6}}$$

$$f_{T6} = \frac{1}{L_{6min}} \frac{13.5}{1 + 2.8L_{6min}/V_{GST6}}$$

L 的单位为 μm
 f_T 的单位为GHz

$$GBW = \frac{f_{T6}}{\alpha\beta\gamma(1+1/\beta)}$$

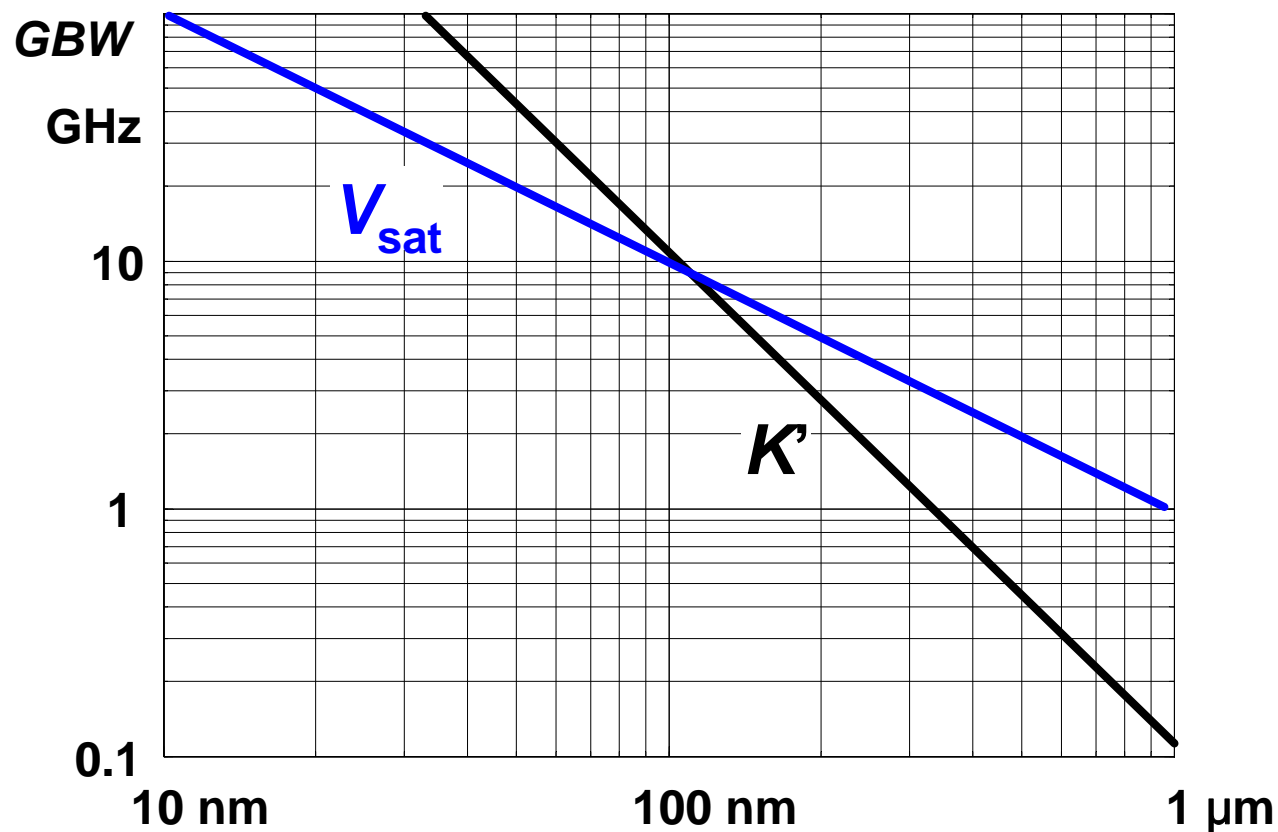
GBW 不是由 C_L 决定，只由 f_T 决定！

f_T 由 L (和 V_{GST})决定!!!

当 $V_{GST}=0.2\text{ V}$ ， $L_{min}<65\text{ nm}$ ；

或 $V_{GST}=0.5\text{ V}$ ， $L_{min}<0.18\text{ }\mu m$ 时，晶体管进入速度饱和区

最大 GBW 与沟道长度 L_{\min}



$$V_{GS} - V_T = 0.2 \text{ V}$$

$$\alpha \approx 2$$

$$\beta \approx 3$$

$$\gamma \approx 2$$

$$16x$$

$$GBW \approx \frac{f_{T6}}{16}$$

高速密勒OTA的设计优化

- 选择 $\alpha \beta \gamma$
- 由给定的 GBW 得到最小的 f_{T6}
- 由选定的 $(V_{GS6} - V_T)$
选择最大沟道长度 L_6 (最大化增益)
- 由 C_L 计算 W_6 ，
确定 I_{DS6}
- 由 α 以及 C_L 计算 C_c
- 由 C_c 计算 g_{m1} 和 I_{DS1}
- 由 g_{m1} 或 C_c 确定噪声

设计练习： $GBW = 0.4 \text{ GHz}$ & $C_L = 5 \text{ pF}$

- 选择 $\alpha \beta \gamma$ $2 \ 3 \ 2$
- 由给定的 GBW 得到最小的 f_{T6} $f_{T6} = 6.4 \text{ GHz}$
- 由选定的 $(V_{GS6} - V_T)$ ，
选择最大沟道长度 L_6 (最大化增益) $L_6 = 0.5 \text{ } \mu\text{m}$
- L_6 取最小沟道长度 L_{\min}
- 由 C_L 计算 W_6 ，
确定 I_{DS6} ($K_n = 70 \text{ } \mu\text{A/V}^2$) $W_6 = 417 \text{ } \mu\text{m}$
确定 C_{n1} ($k = 2 \text{ fF/} \mu\text{m}$) $I_{DS6} = 2.3 \text{ mA}$
 $C_{n1} = 0.83 \text{ pF}$
- 由 α 以及 C_L 计算 C_c $C_c = 2.5 \text{ pF}$
- 由 C_c 计算 g_{m1} 和 I_{DS1} $I_{DS1} = 0.63 \text{ mA}$

低速密勒OTA的优化设计 1

$$GBW = \frac{f_{T6}}{\alpha\beta\gamma(1+1/\beta)}$$

$$\frac{f_T}{f_{TH}} = \sqrt{i}(1 - e^{-\sqrt{i}}) \approx \sqrt{i}(1 - 1 + \sqrt{i}) \approx i \quad \text{当 } i \text{ 较小时}$$

$$f_{TH} = \frac{3}{2} \frac{2\mu k T/q}{2\pi L^2}$$

GBW 不是由 C_L 决定，只由 f_T 决定！
 f_T 由 L 和 i 决定!!!

低速密勒OTA的优化设计 2

- 选择 $\alpha \beta \gamma$
- 由给定的 GBW 得到最小的 f_{T6}
- 由给定的 f_{TH6}
选择最大沟道长度 L_6 (最大增益)
- 计算 i_6
- 由 C_L 计算 W_6 ，
确定 I_{DST6} 和 I_{DS6}
- 由 α 以及 C_L 计算 C_c
- 由 C_c 计算 g_{m1} 和 I_{DS1}
- 由 g_{m1} 或 C_c 确定噪声

设计练习： $GBW = 1 \text{ MHz}$ & $C_L = 5 \text{ pF}$

- 选择 $\alpha \beta \gamma$ $2 \ 3 \ 2$
- 由 $GBW=1 \text{ MHz}$ 得到最小的 f_{T6} $f_{T6} = 16 \text{ MHz}$
- 由给定的 f_{TH6} $f_{TH6} = 2 \text{ GHz}$
 选择最大沟道长度 L_6 (最大增益) $L_6 = 0.5 \text{ } \mu\text{m}$
- 反型系数 i $i = 0.008$
- 由 C_L 计算 W_6 , $W_6 = 417 \text{ } \mu\text{m}$
 确定 I_{DST6} ($K'_n = 70 \text{ } \mu\text{A/V}^2$) $I_{DST6} = 0.33 \text{ mA}$
 确定 I_{DS6} $I_{DS6} = 2.7 \text{ } \mu\text{A}$
 确定 C_{n1} ($k = 2 \text{ fF/} \mu\text{m}$) $C_{n1} = 0.83 \text{ pF}$
- 由 α 以及 C_L 计算 C_c $C_c = 2.5 \text{ pF}$
- 由 C_c 计算 g_{m1} 和 I_{DS1} $I_{DS1} = 1.6 \text{ } \mu\text{A}$

目录

- 单级OTA的设计
- CMOS密勒OTA的设计
- GBW和相位裕度的设计
- 其他指标：输入范围、输出范围、 $SR...$

CMOS密勒OTA：规范 1

1. Introductory analysis

1.1 DC currents and voltages on all nodes

1.2 Small-signal parameters of all transistors

2. DC analysis

2.1 Common-mode input voltage range vs supply Voltage

2.2 Output voltage range vs supply Voltage

2.3 Maximum output current (sink and source)

CMOS密勒OTA：规范 2

3. AC and transient analysis

3.1 AC resistance and capacitance on all nodes

3.2 **Gain** versus frequency : GBW , ...

3.3 **Gainbandwidth** versus biasing current

3.4 Slew rate versus load capacitance

3.5 Output voltage range versus frequency

3.6 Settling time

3.7 **Input** impedance vs frequency (open & closed loop)

3.8 **Output** impedance vs frequency (open & closed loop)

CMOS密勒OTA：规范 3

4. Specifications related to offset and noise

4.1 Offset voltage versus common-mode input Voltage

4.2 CMRR versus frequency

4.3 Input bias current and offset

4.4 Equivalent input noise voltage versus frequency

4.5 Equivalent input noise current versus frequency

4.6 Noise optimization for capacitive/inductive sources

4.7 PSRR versus frequency

4.8 Distortion

CMOS密勒OTA：规范 4

5. Other second-order effects

5.1 Stability for inductive loads

5.2 **Switching** the biasing transistors

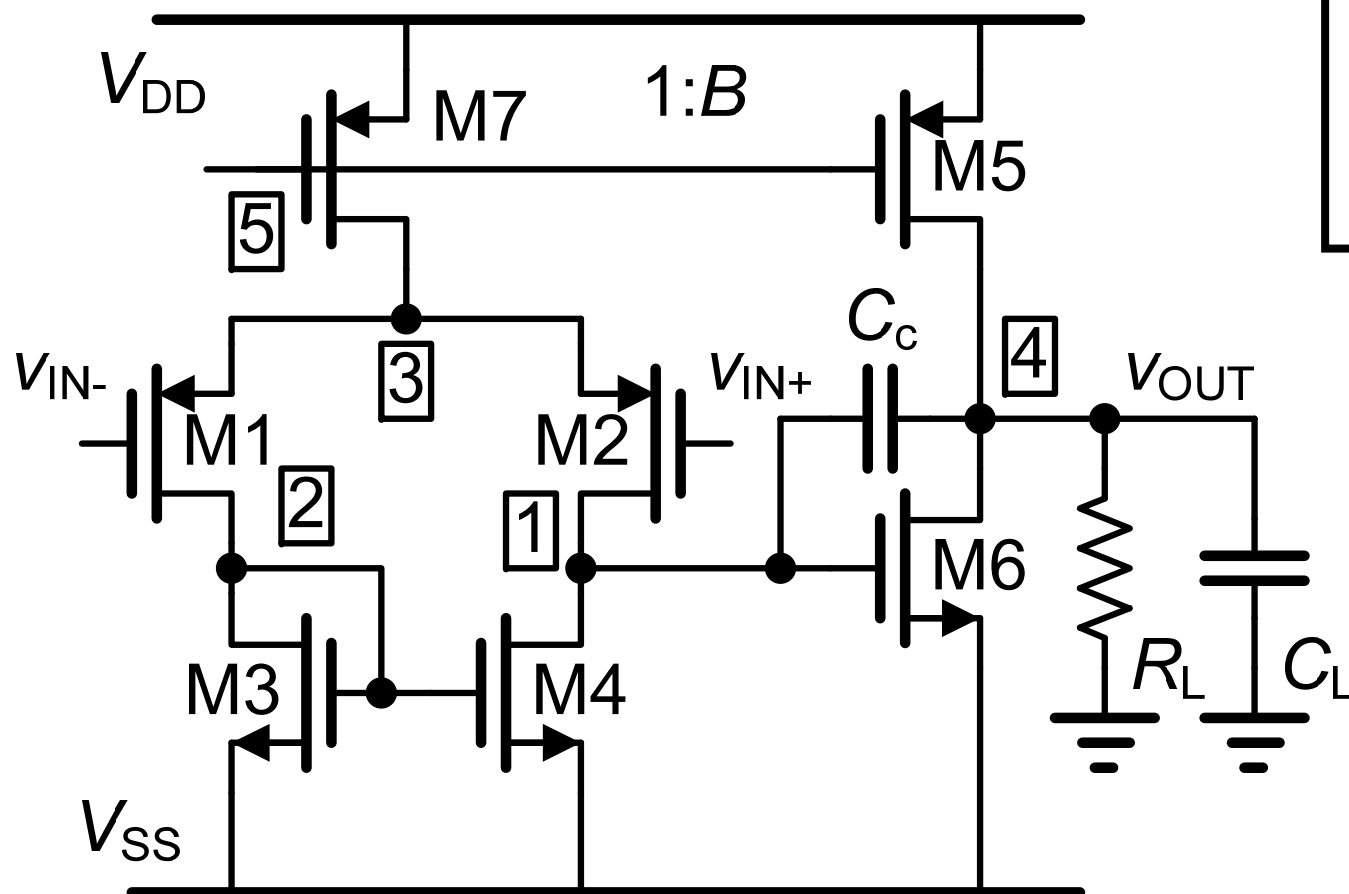
5.3 Switching or ramping the supply voltages

5.4 Different supply voltages, temperatures, ...

MCO: 其他规范

- Common-mode input voltage range
- Output voltage range
- Slew Rate
- Output impedance
- Noise

CMOS密勒OTA



$$GBW = 1 \text{ MHz}$$

$$C_L = 10 \text{ pF}$$

$$R_L = 10 \text{ k}\Omega$$

$$g_{m1} = 7.5 \text{ }\mu\text{S}$$

$$I_{DS1} = 1.1 \text{ }\mu\text{A}$$

$$g_{o24} = 0.03 \text{ }\mu\text{S}$$

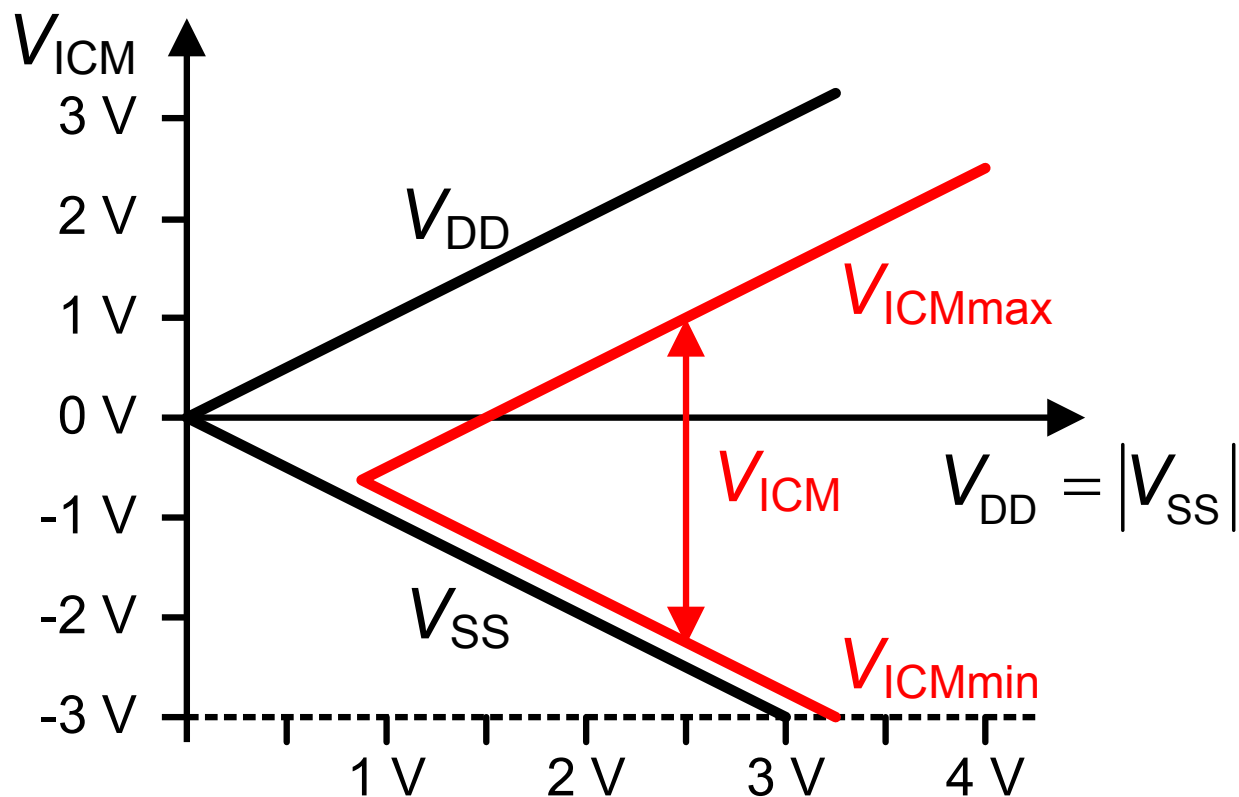
$$g_{m6} = 246 \text{ }\mu\text{S}$$

$$I_{DS6} = 25 \text{ }\mu\text{A}$$

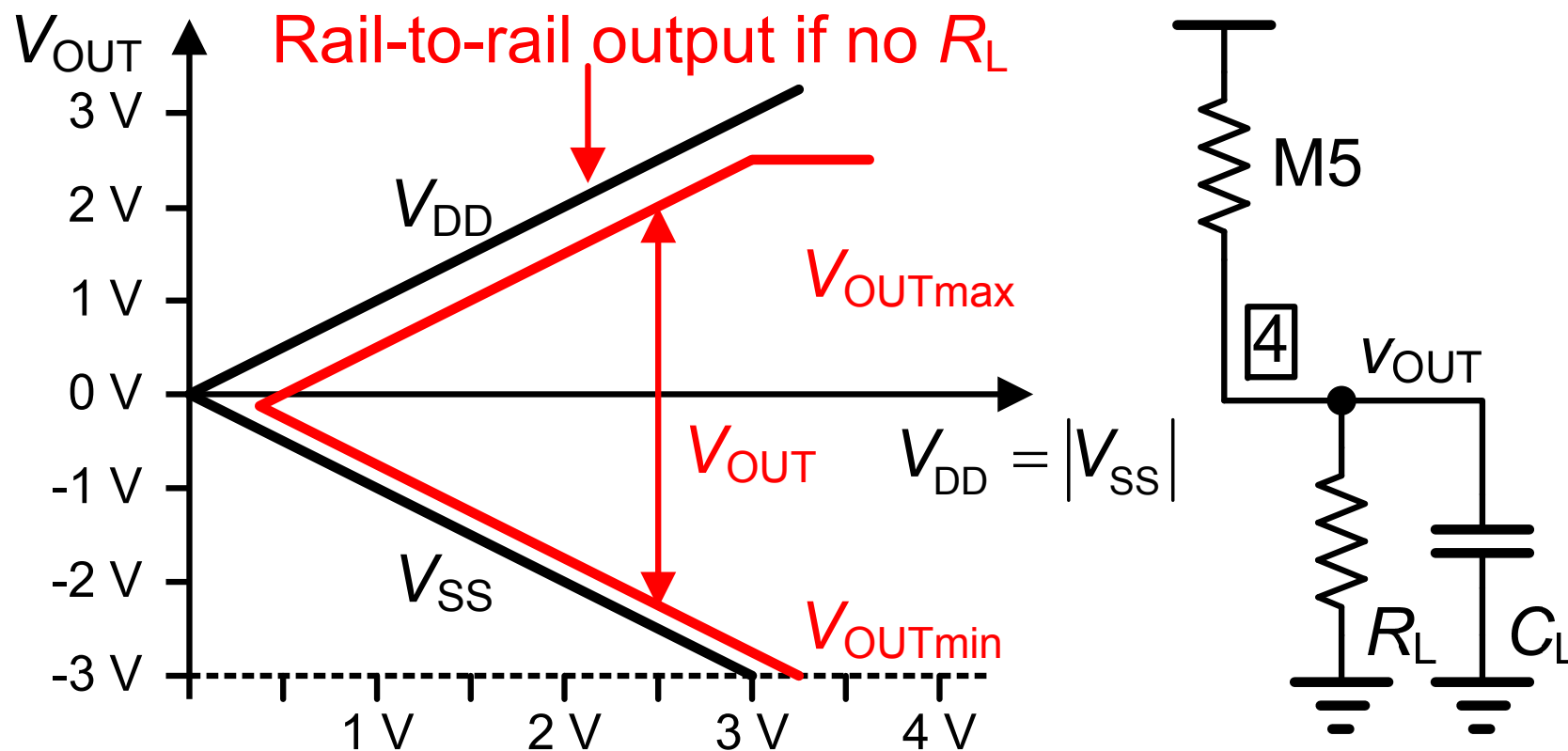
$$C_c = 1 \text{ pF}$$

$$g_{Lo6} = 20 \text{ }\mu\text{S}$$

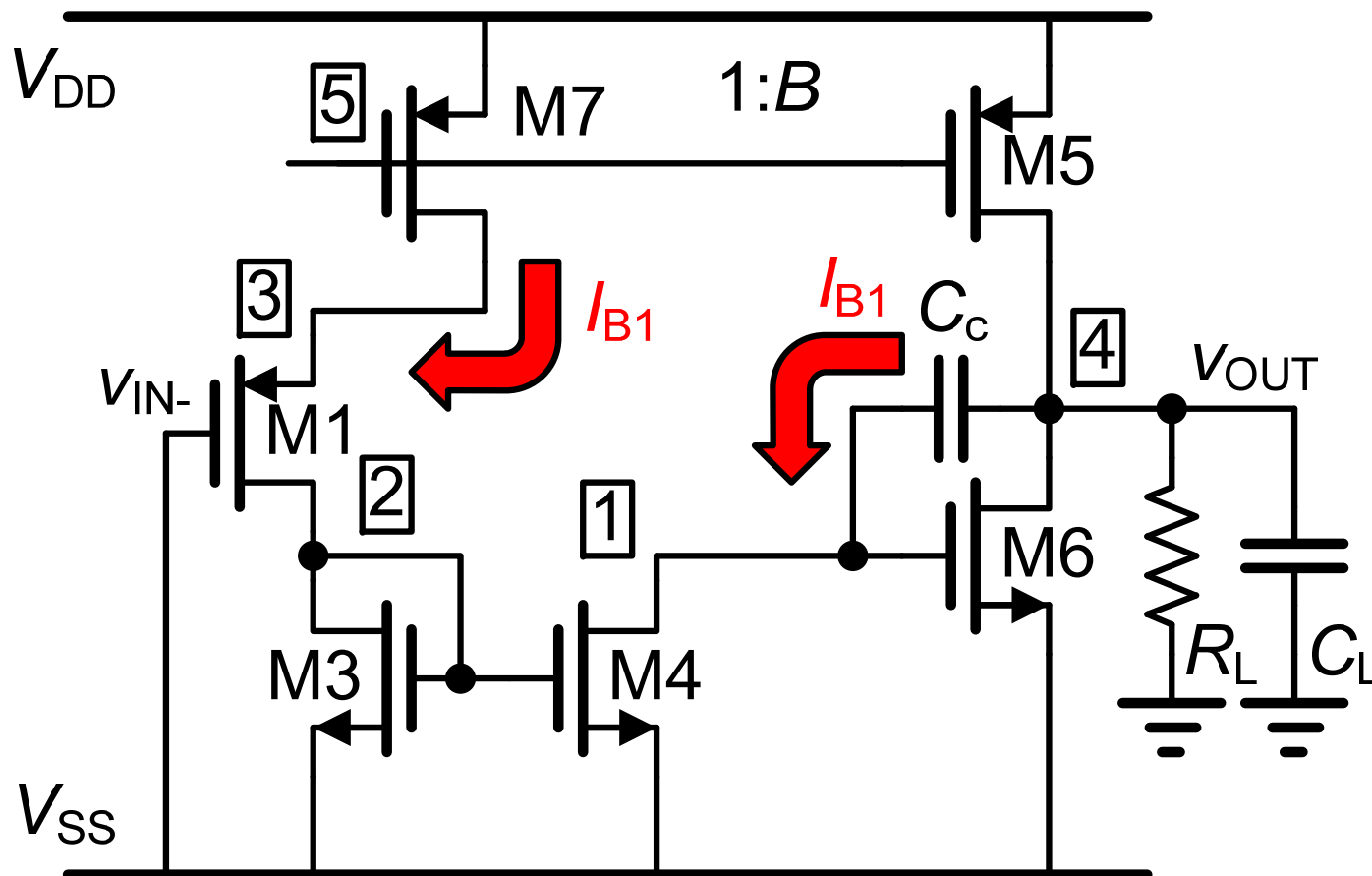
CMOS密勒OTA：共模输入电压范围



CMOS密勒OTA：输出电压范围



CMOS密勒OTA：压摆率 1



开关输入:

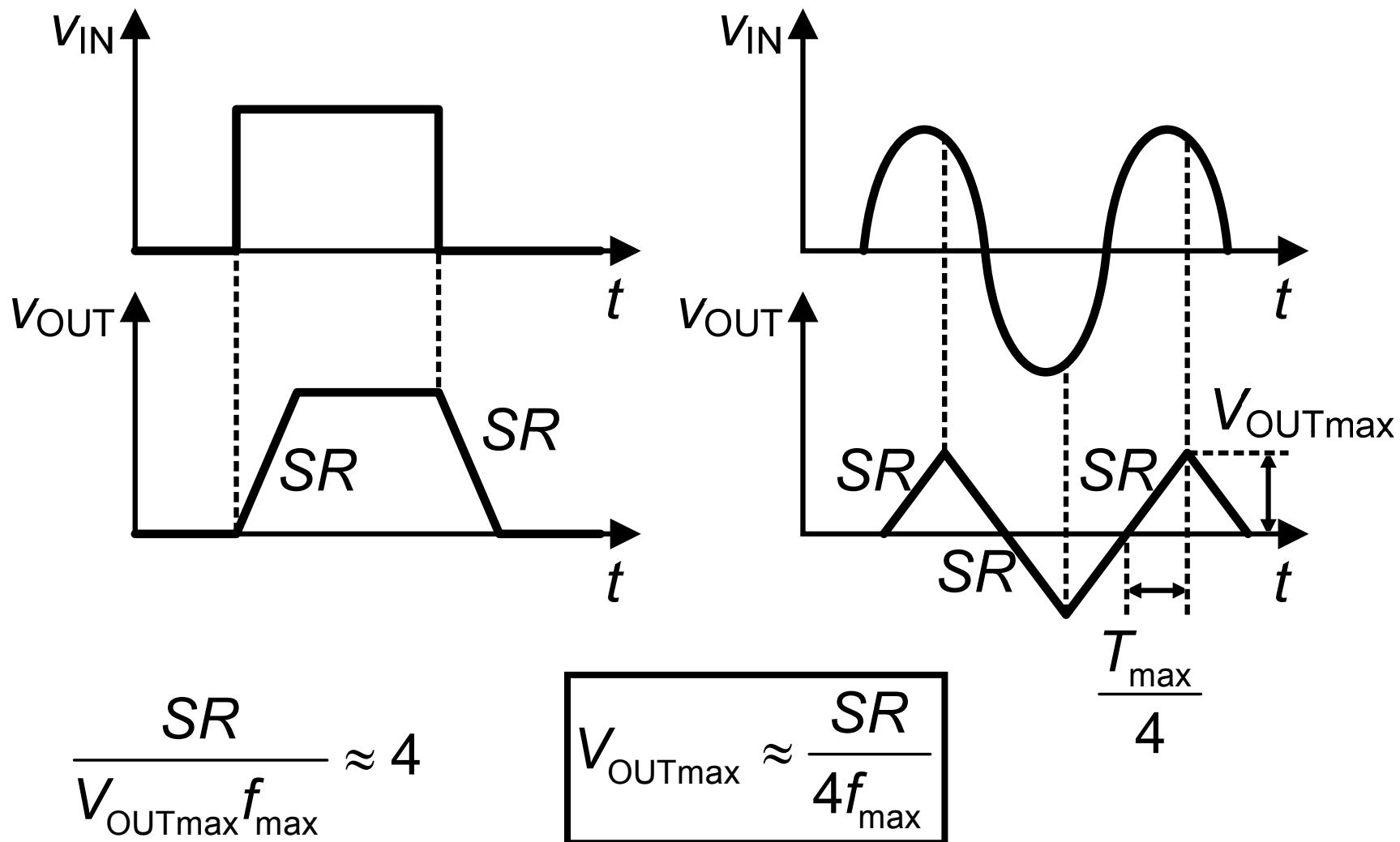
$$V_{IN+} > 1$$

$$V_{IN-} > 0$$

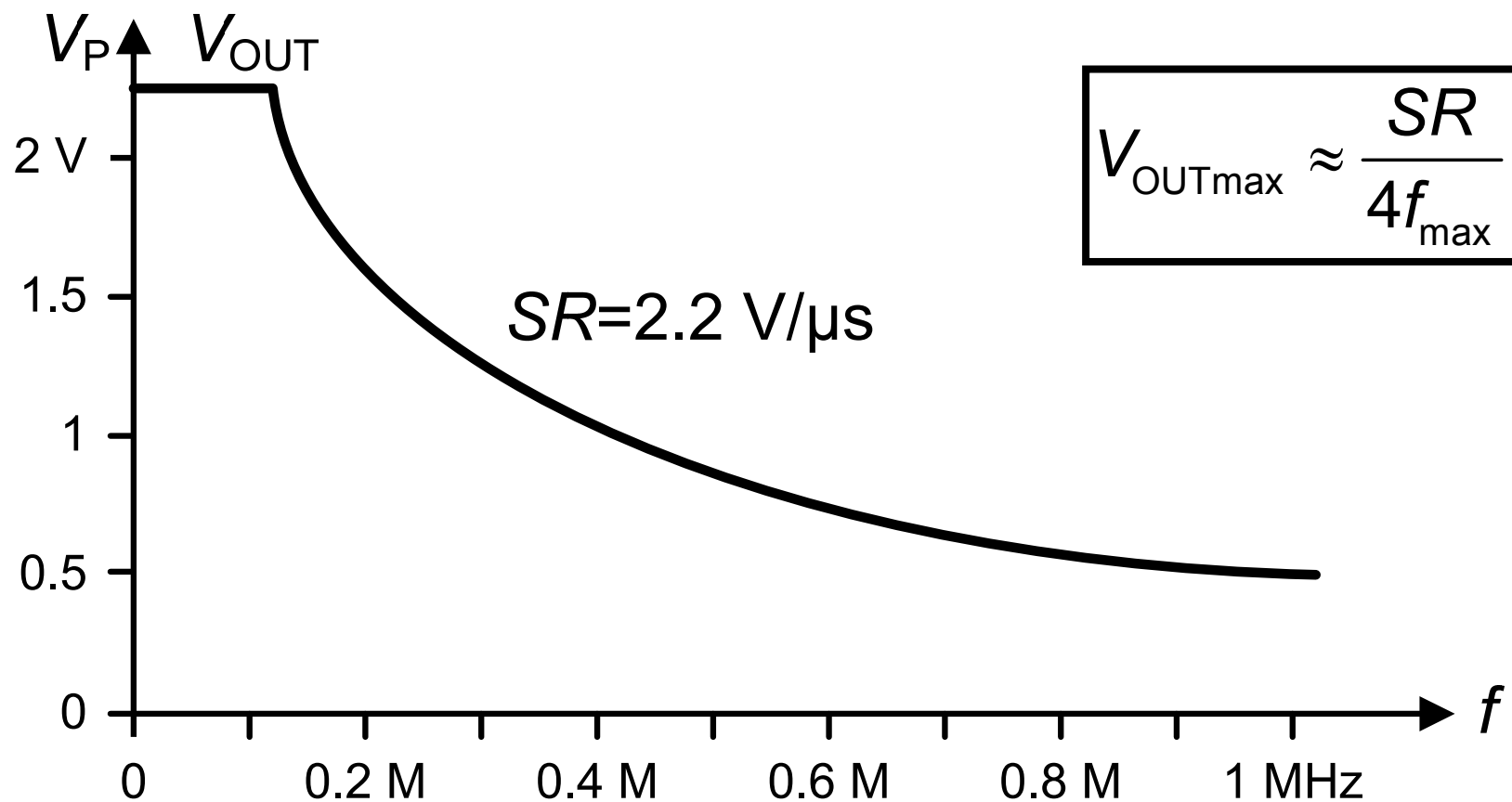
$$SR = \frac{\Delta V_{OUT}}{\Delta t}$$

$$SR = \frac{I_{B1}}{C_C}$$

CMOS密勒OTA: 压摆率 2



CMOS密勒OTA：压摆率 3



GBW与SR的关系

$$\frac{SR}{GBW} = 4\pi \frac{I_{DS1}}{g_{m1}}$$

x 10

$$\frac{I_{DS1}}{g_{m1}} = \frac{V_{GS1} - V_T}{2} \approx 0.1 \dots 0.3 \text{ V} \quad \text{MOST(si)}$$

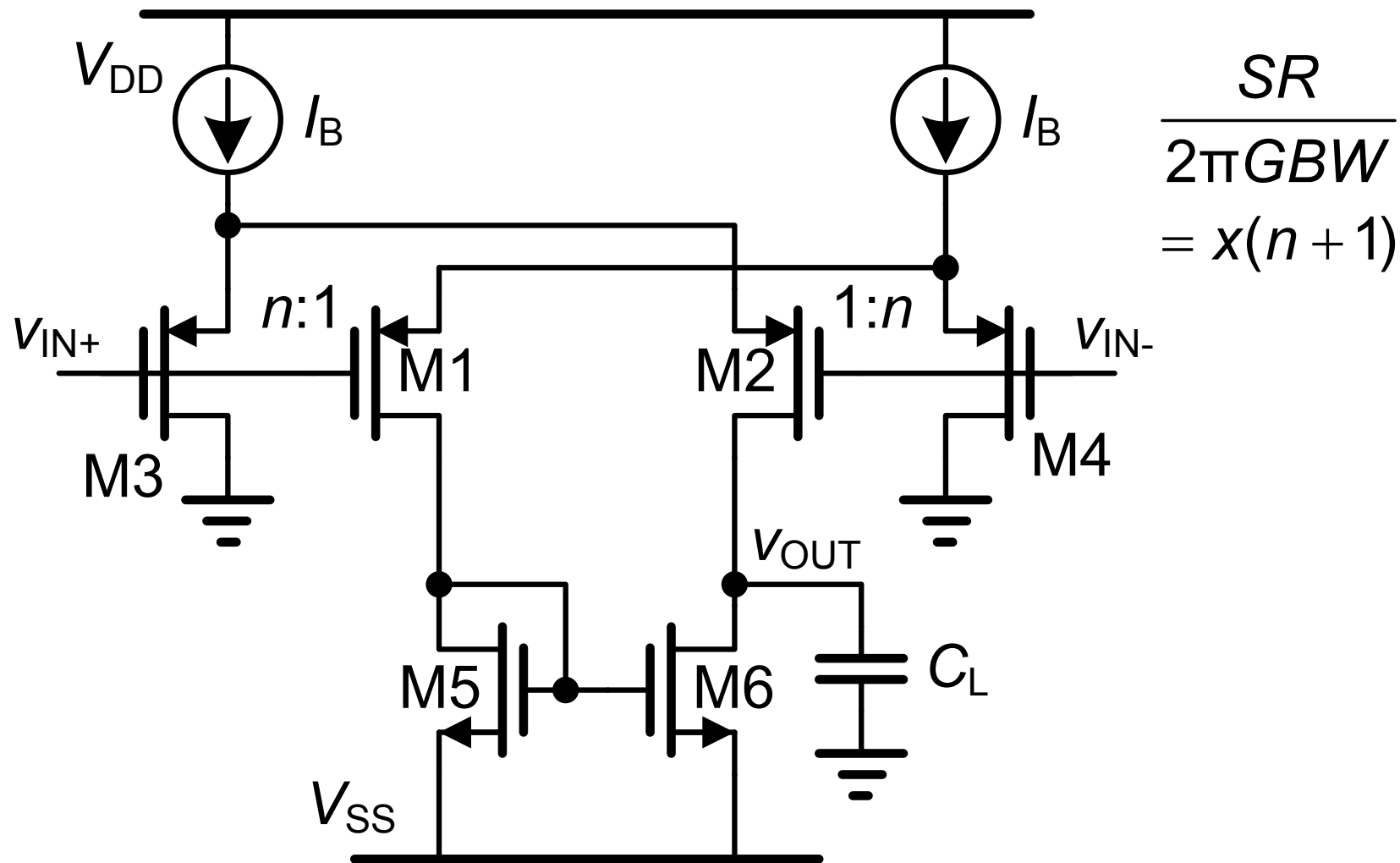
$$\frac{I_{DS1}}{g_{m1}} = \frac{nkT}{q} \approx 30 \dots 50 \text{ mV} \quad \text{MOST(wi)}$$

$$\frac{I_{CE1}}{g_{m1}} = \frac{kT}{q} \approx 26 \text{ mV} \quad \text{Bipolar trans.}$$

$$\frac{I_{CE1}}{g_{m1}} = (1 + g_{m1}R_E) \frac{kT}{q} \approx 0.5 \text{ V} \quad \text{接} R_E$$

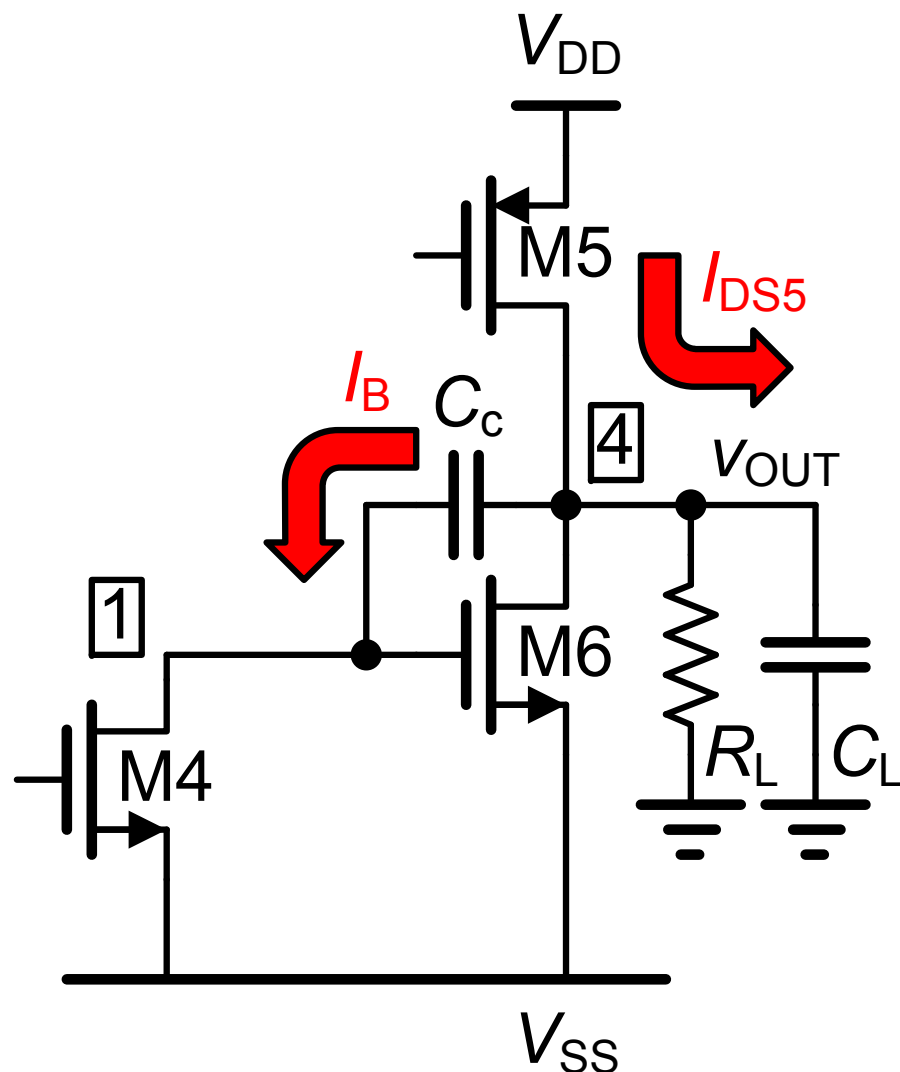
Ref.: Solomon, JSSC Dec 74, 314-332

提高压摆率的方法



Ref.: Schmoock, JSSC Dec.75, 407-411

内部和外部压摆率



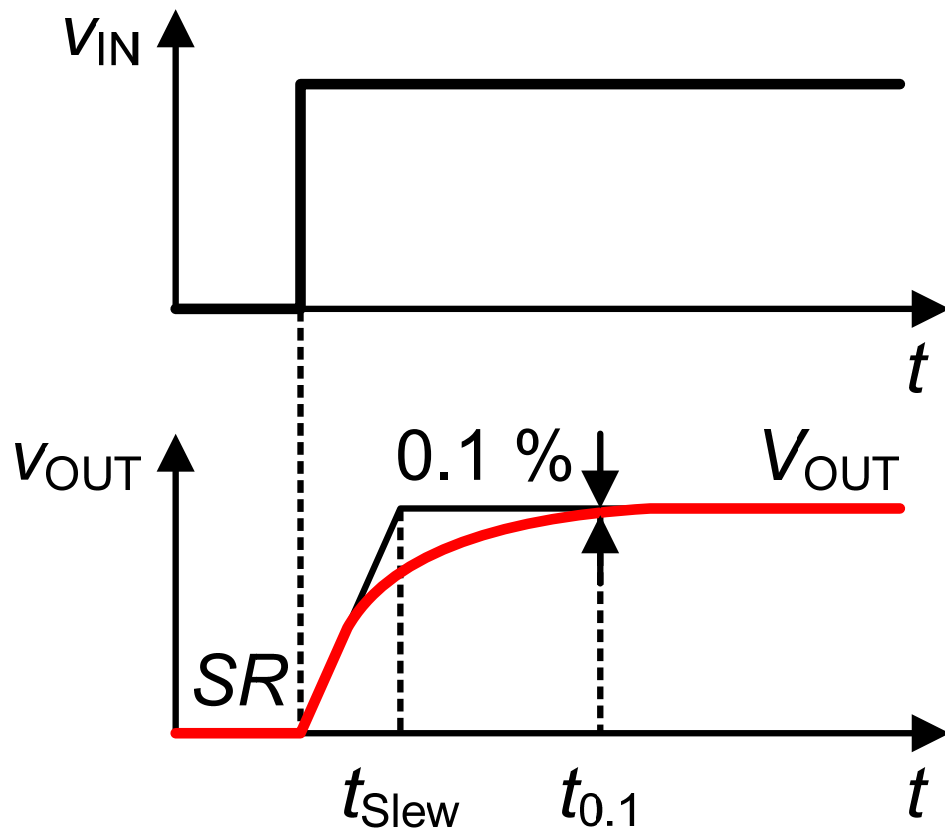
$$SR_{int} = \frac{I_B}{C_c}$$

$$SR_{ext} = \frac{I_{DS5}}{C_L} \text{ 比较大!}$$

$$\frac{g_{m6}}{g_{m1}} = 4 \frac{C_L}{C_c} = \frac{I_{DS5}}{I_{DS1}}$$

$$\frac{I_{DS5}}{C_L} \approx 2 \frac{2I_{DS1}}{C_c}$$

压摆率和建立时间



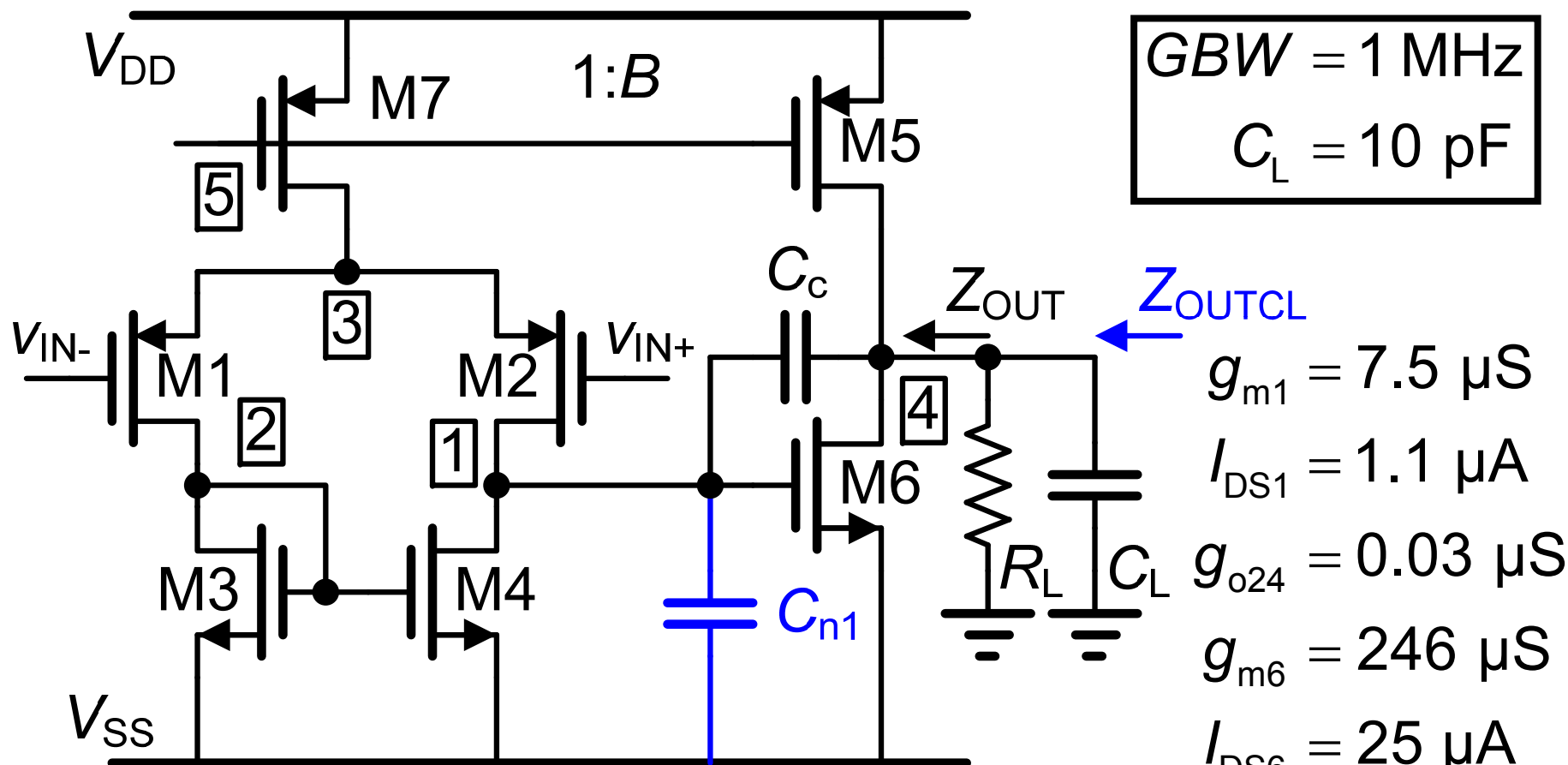
$$t_{TOT} = t_{Slew} + t_{0.1}$$

$$t_{Slew} = \frac{V_{OUT}}{SR}$$

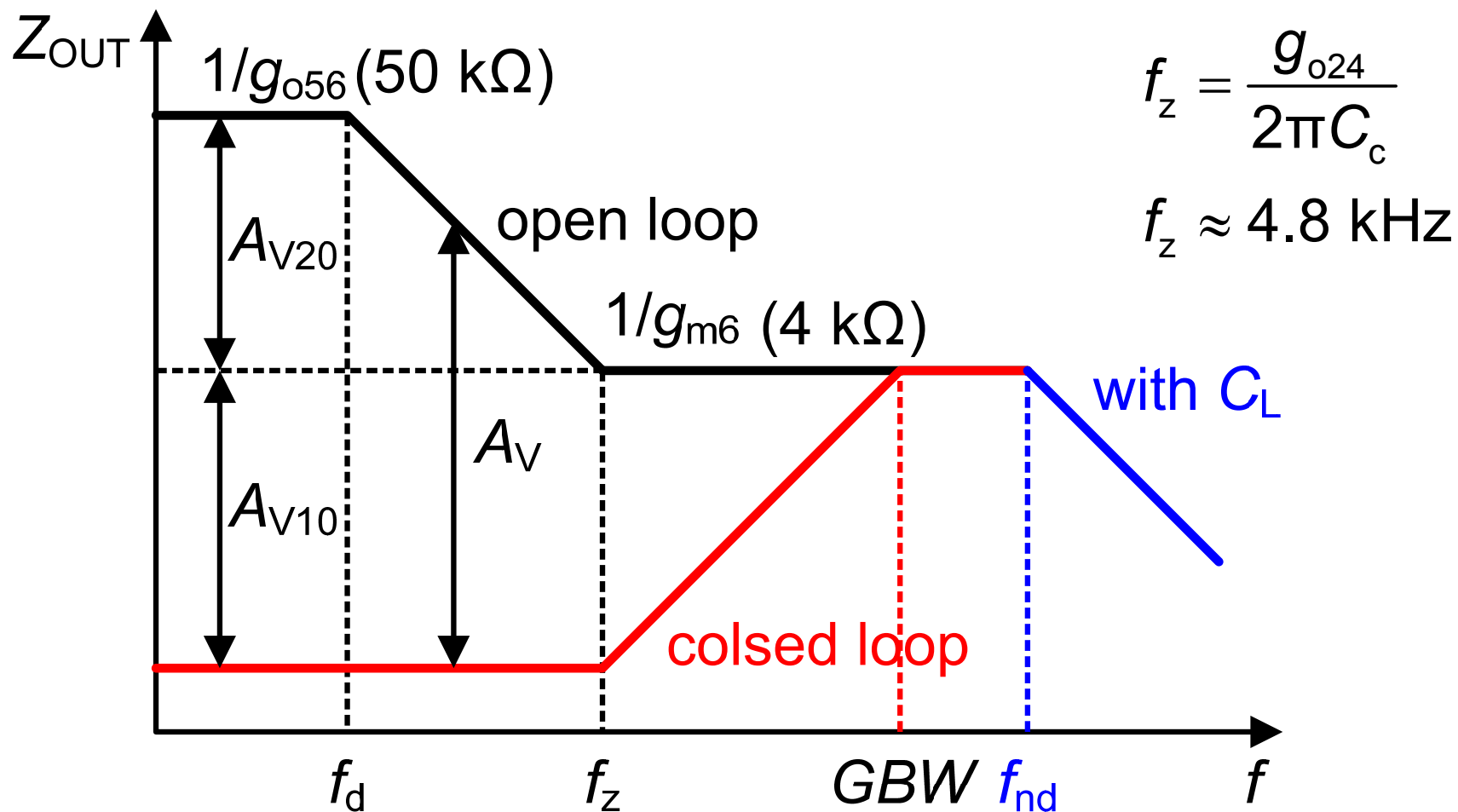
$$t_{0.1} = \frac{7}{2\pi BW}$$

$$\ln(1000) \approx 7$$

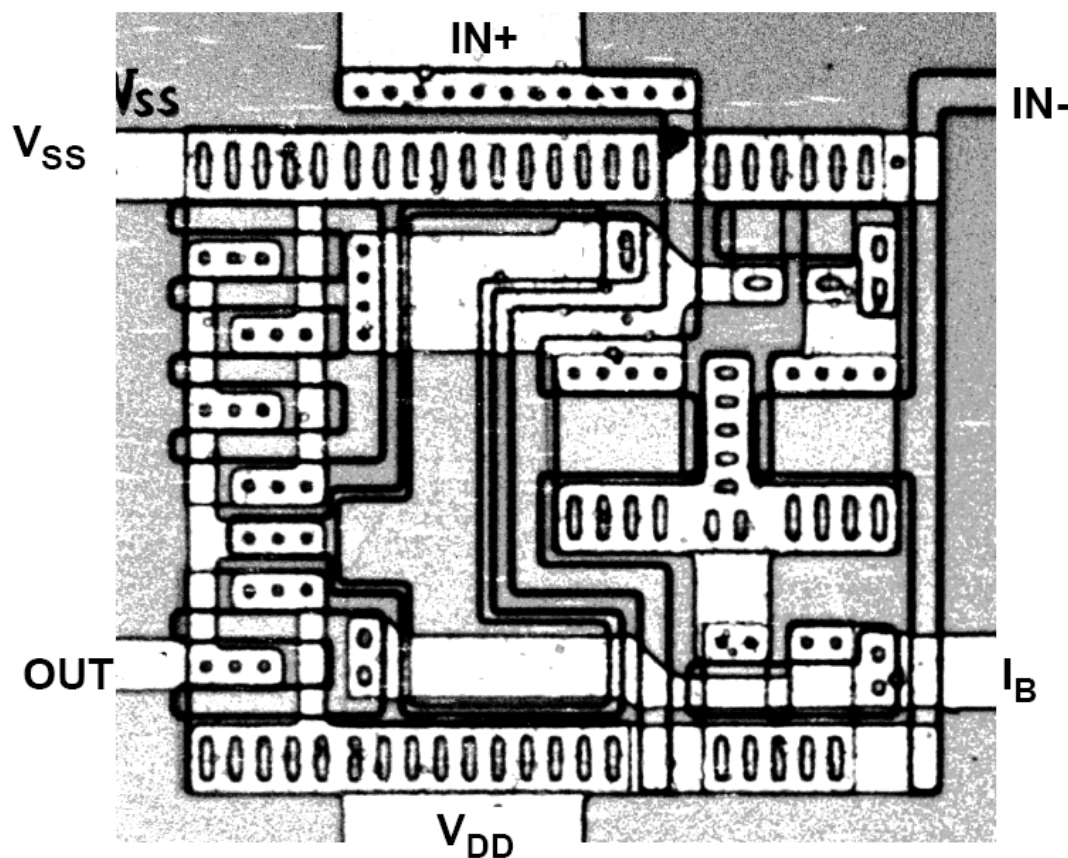
CMOS密勒OTA输出阻抗



CMOS密勒OTA: 输出阻抗 Z_{OUT}



CMOS密勒OTA版图照片



$$GBW = 1 \text{ MHz}$$

$$C_L = 10 \text{ pF}$$

$$SR = 2.2 \text{ V}/\mu\text{s}$$

$$V_{DD} = 5 \text{ V}$$

$$I_{TOT} = 27 \mu\text{A}$$

$$370 \text{ MHzpF}/\mu\text{A}$$

密勒CMOS OTA: 练习

已知 $GBW=50$ MHz 和 $C_L=2$ pF: 选用最小是 I_{DS6} !

工艺参数

$$C_L = 2 \text{ pF}, L_{\min} = 0.5 \text{ } \mu\text{m}, K'_n = 50 \text{ } \mu\text{A/V}^2, K'_p = 25 \text{ } \mu\text{A/V}^2$$

$$C_{GS} = kW (= C_{ox} WL_{\min}) \text{ 和 } k = 2 \text{ fF/}\mu\text{m}$$

$$V_{GS} - V_T = 0.2 \text{ V}$$

求

$$g_{m6}, I_{DS6}, W_6, C_{n1} = C_{GS6}, C_c, g_{m1}, I_{DS1}, \overline{dv_{ineq}^2} \text{ 和 } v_{inRMS}$$

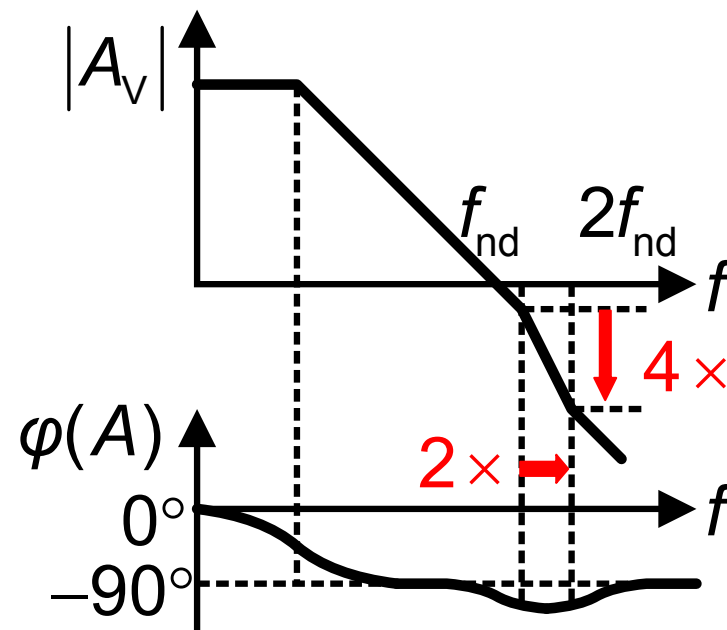
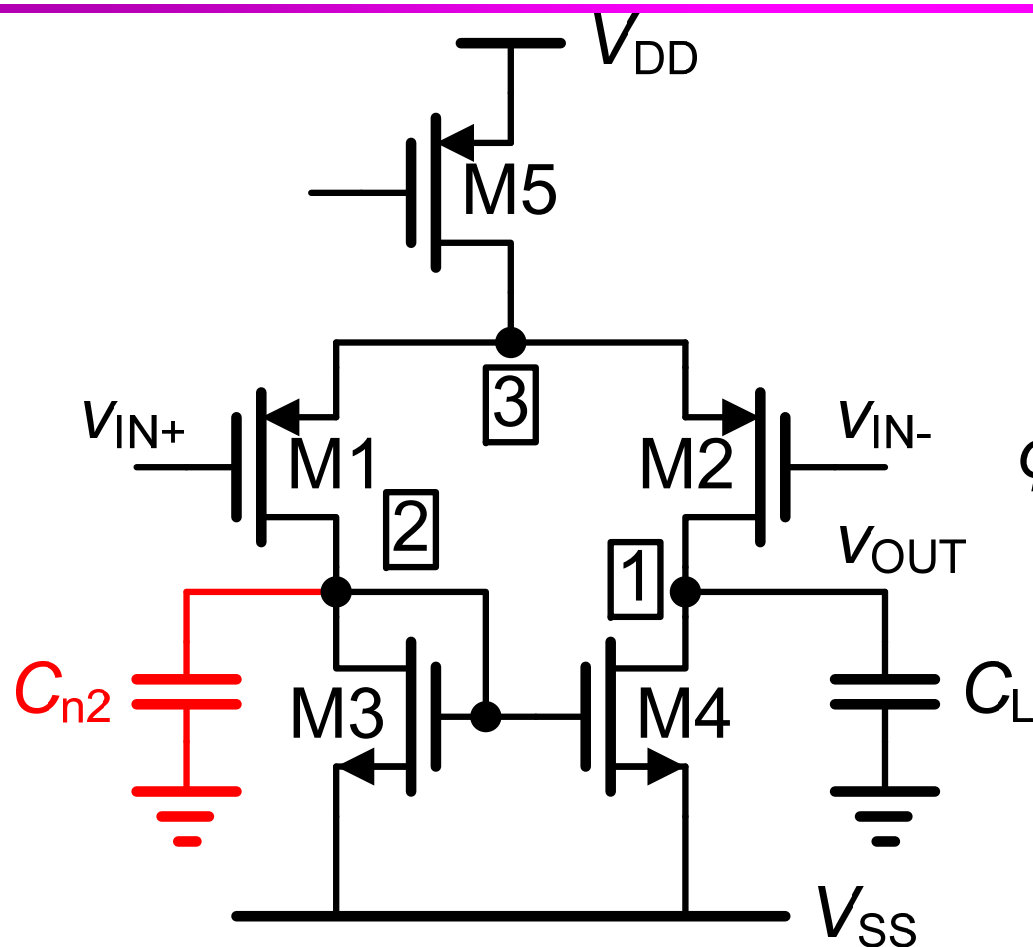
运算放大器的重要结构

目录

- CMOS简单OTA
- CMOS密勒OTA
- CMOS对称OTA
- CMOS折叠共源共栅OTA
- 其他运放

Ref.: W. Sansen : Analog Design Essentials, Springer 2006

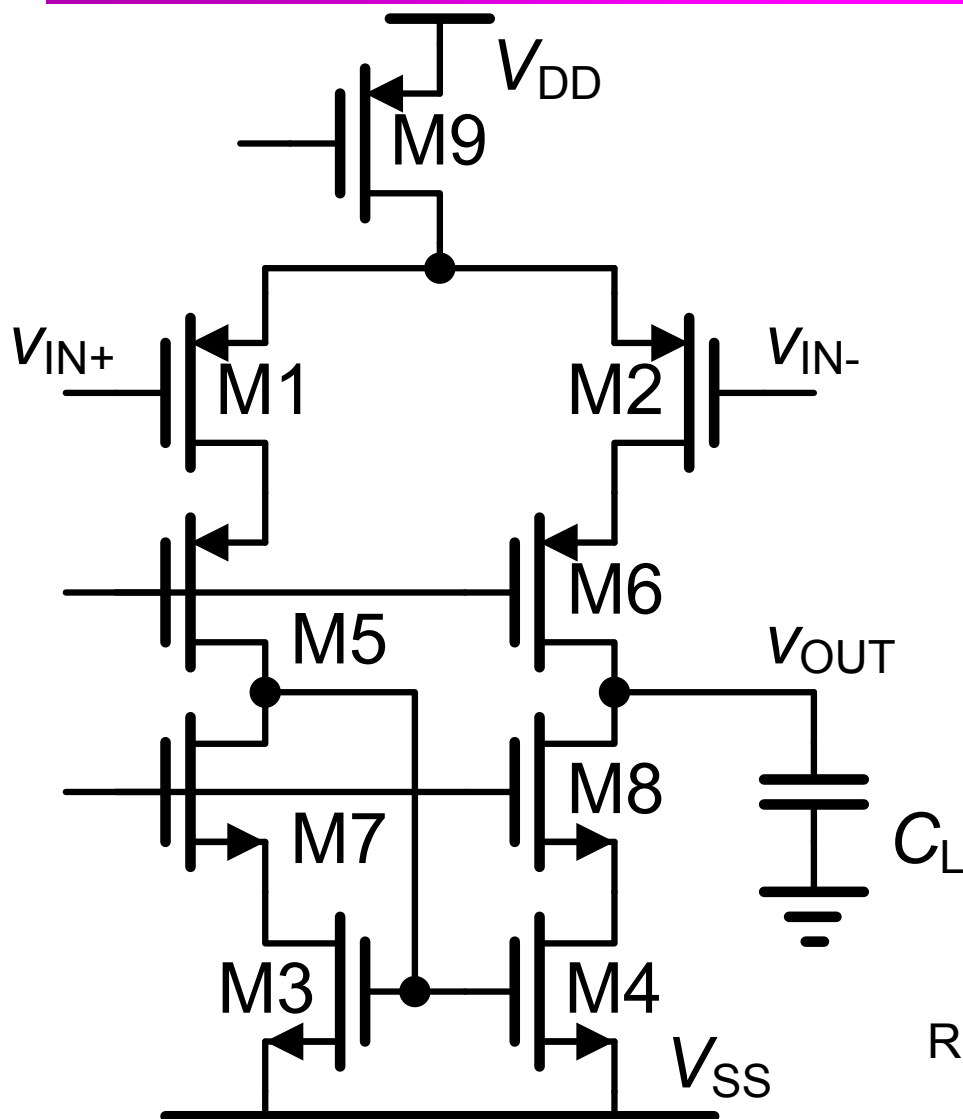
CMOS简单OTA: f_{nd} & f_z



$$f_{nd} = \frac{g_{m3}}{2\pi C_{n2}}$$

$$PM = 90^\circ - \arctan\left(\frac{GBW}{f_{nd}}\right) + \arctan\left(\frac{GBW}{2f_{nd}}\right) \approx 85^\circ$$

CMOS套筒OTA

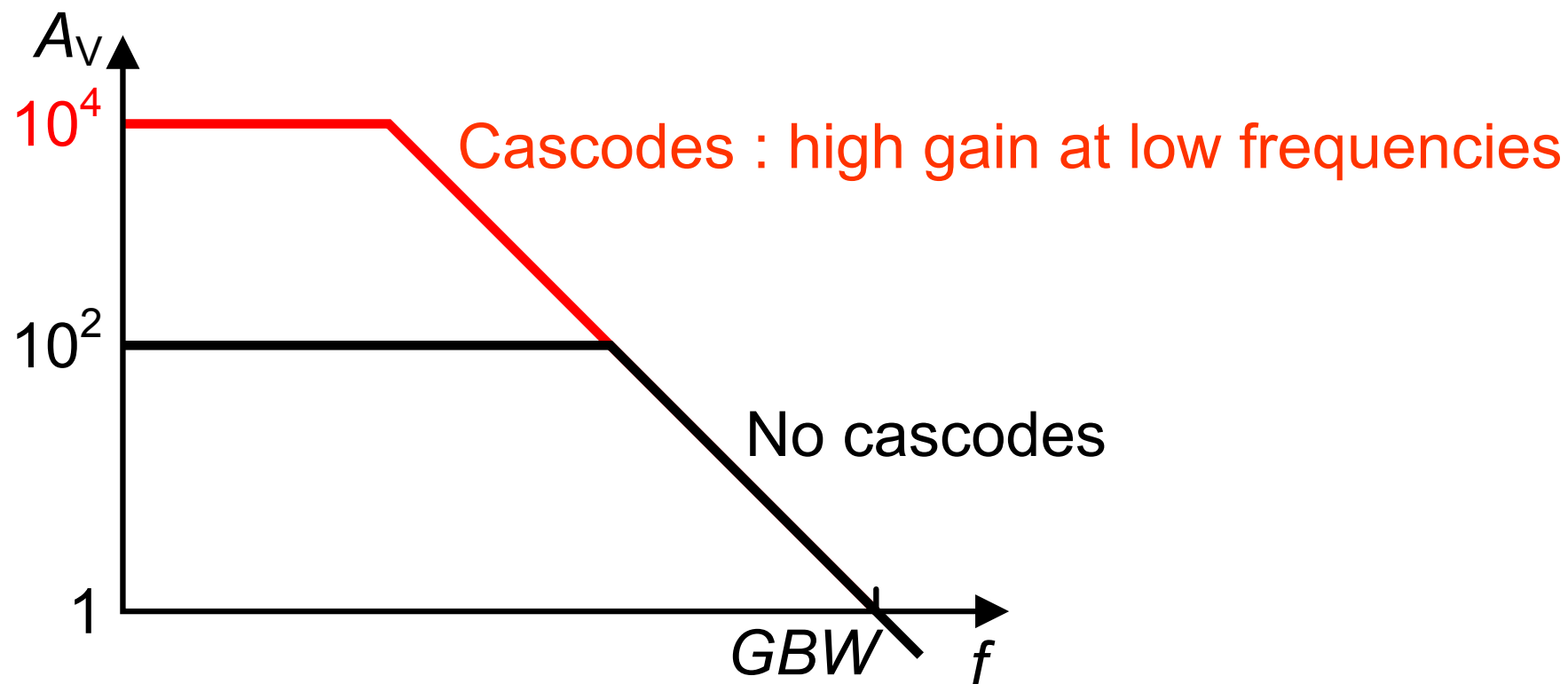


频率较低时
更大增益

$$GBW = \frac{g_{m1}}{2\pi C_L}$$

Ref.: Gulati, JSSC Dec.98, 2010-2019

低频时共源共栅结构提升增益

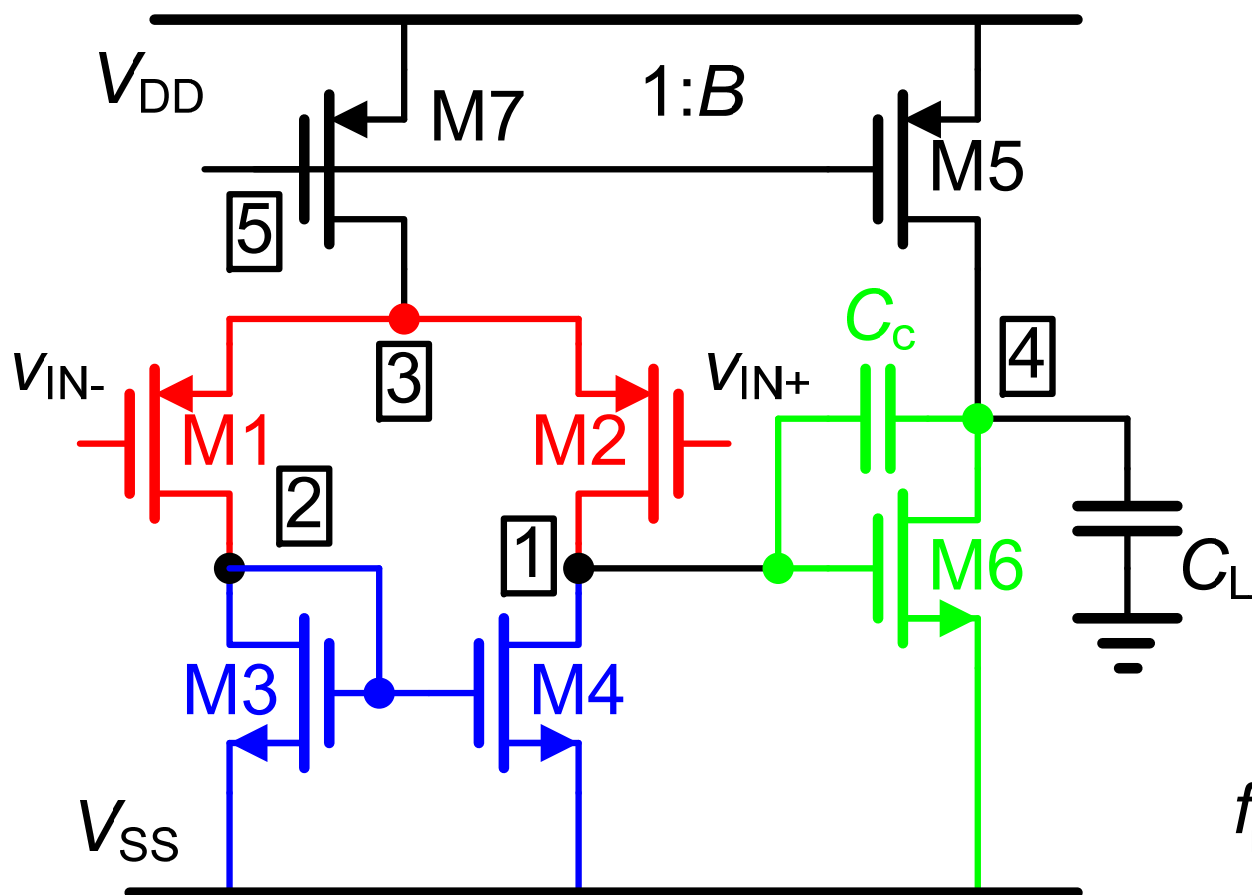


$$GBW = \frac{g_{m1}}{2\pi C_L}$$

目录

- CMOS简单OTA
- CMOS密勒OTA
- CMOS对称OTA
- CMOS折叠共源共栅OTA
- 其他运放

CMOS密勒OTA

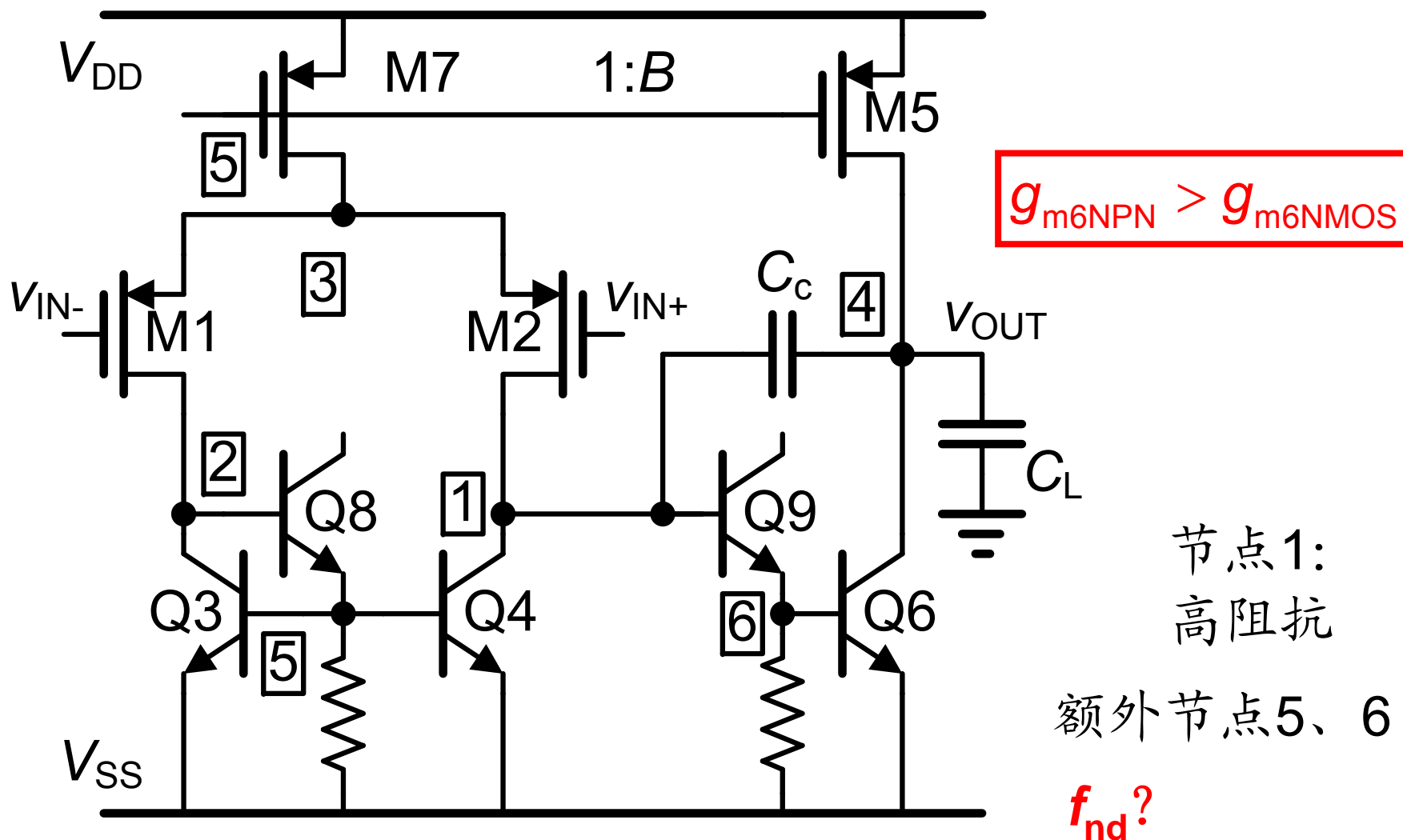


差分对
电流镜
第二级

$$GBW = \frac{g_{m1}}{2\pi C_c}$$

$$f_{nd} = \frac{g_{m6}}{2\pi C_L} \frac{1}{1 + \frac{C_{n1}}{C_c}}$$

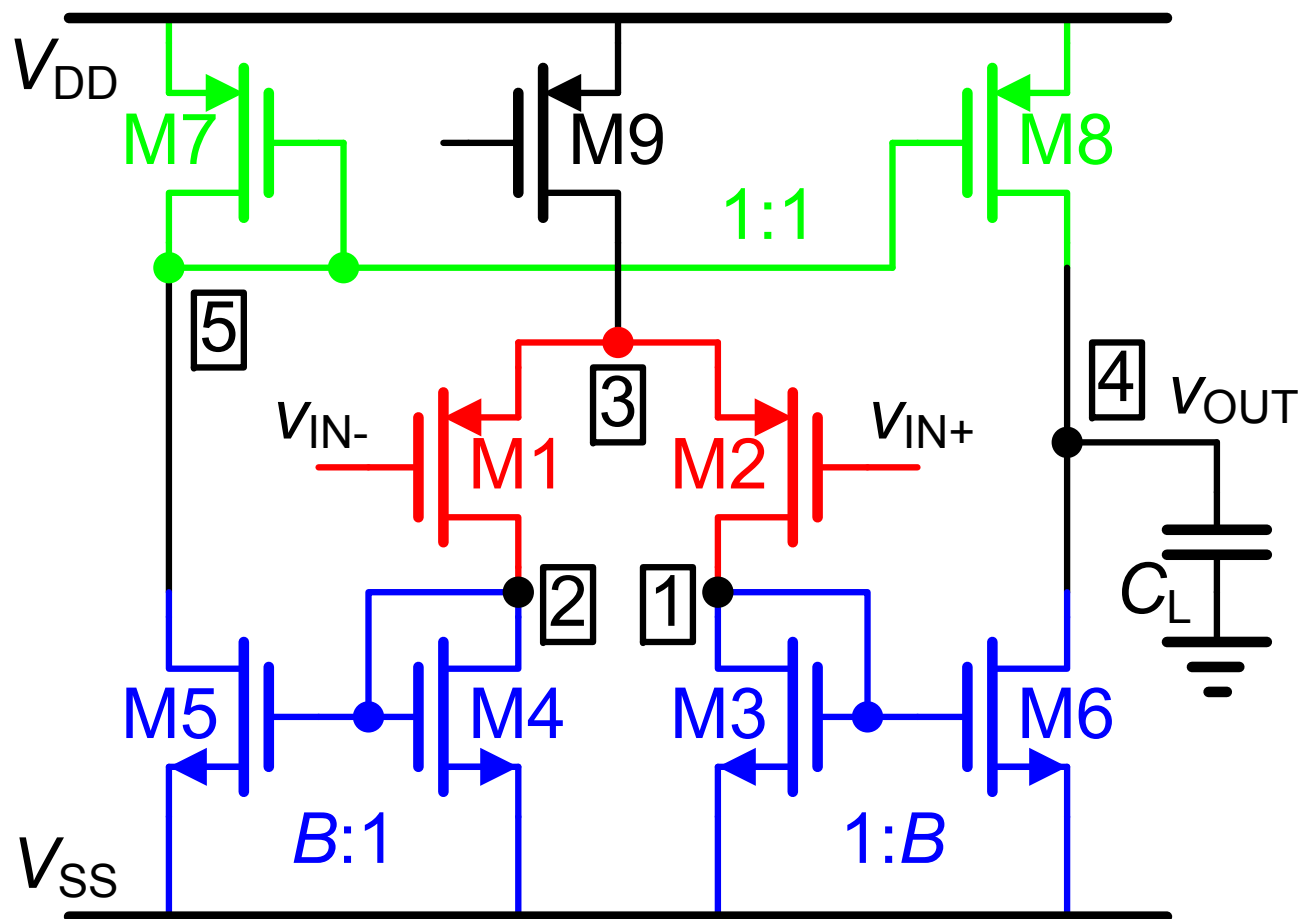
BiCMOS密勒OTA



目录

- CMOS简单OTA
- CMOS密勒OTA
- CMOS对称OTA
- CMOS折叠共源共栅OTA
- 其他运放

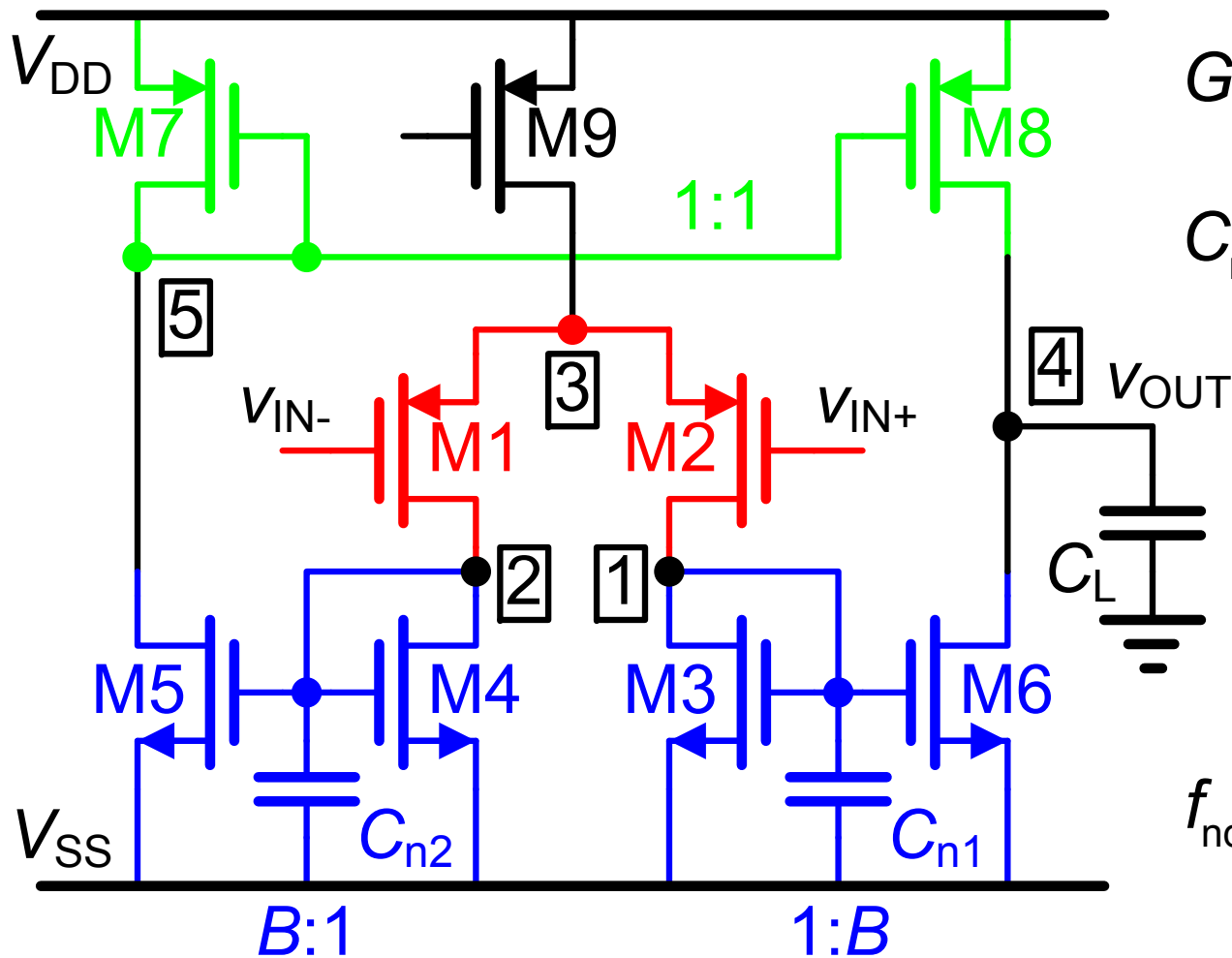
CMOS对称OTA



差分对
3个电流镜

对称:
节点1=节点2
轨到轨输出摆幅

CMOS对称OTA: $f_{nd1,2}$

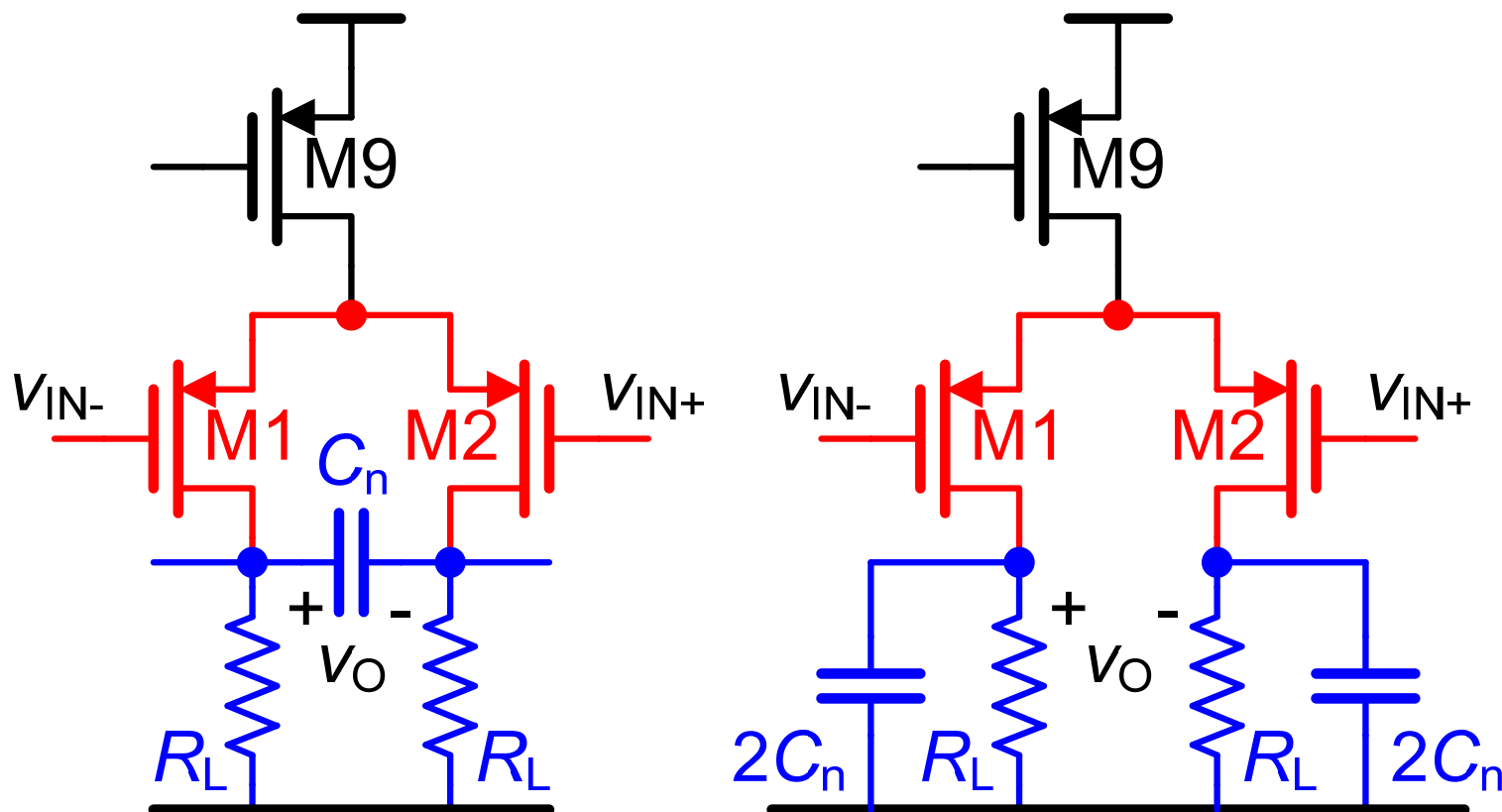


$$GBW = B \frac{g_{m1}}{2\pi C_L}$$

$$C_{n1} = (1 + B)C_{GS4} + C_{DB4} + C_{DB1} \approx (3 + B)C_{GS4}$$

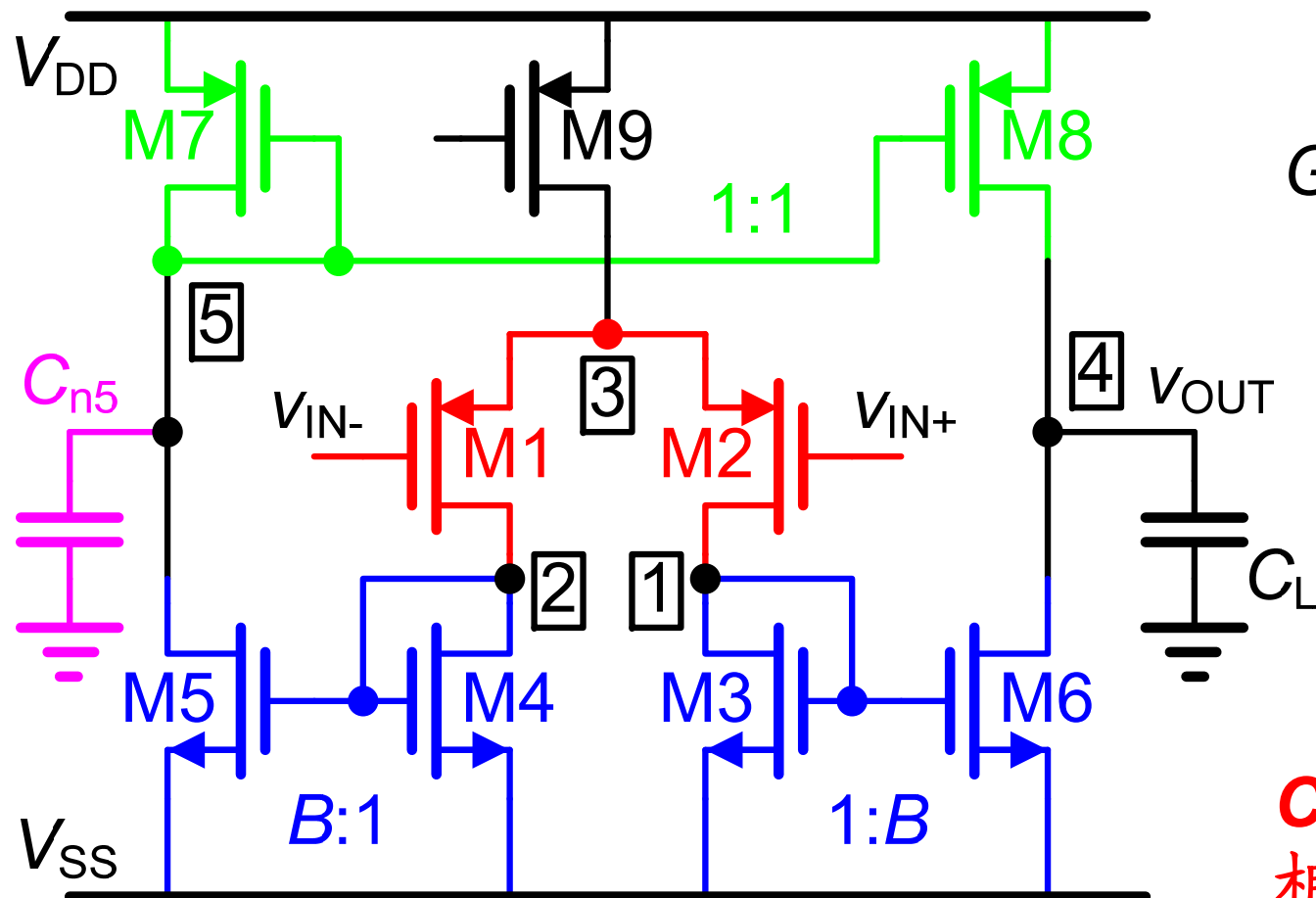
$$f_{nd} = \frac{g_{m4}}{2\pi C_{n1}} \approx \frac{f_{T4}}{3 + B}$$

差分对输出端的极点



一个单极点:
$$f_p = \frac{1}{2\pi 2R_L C_n}$$

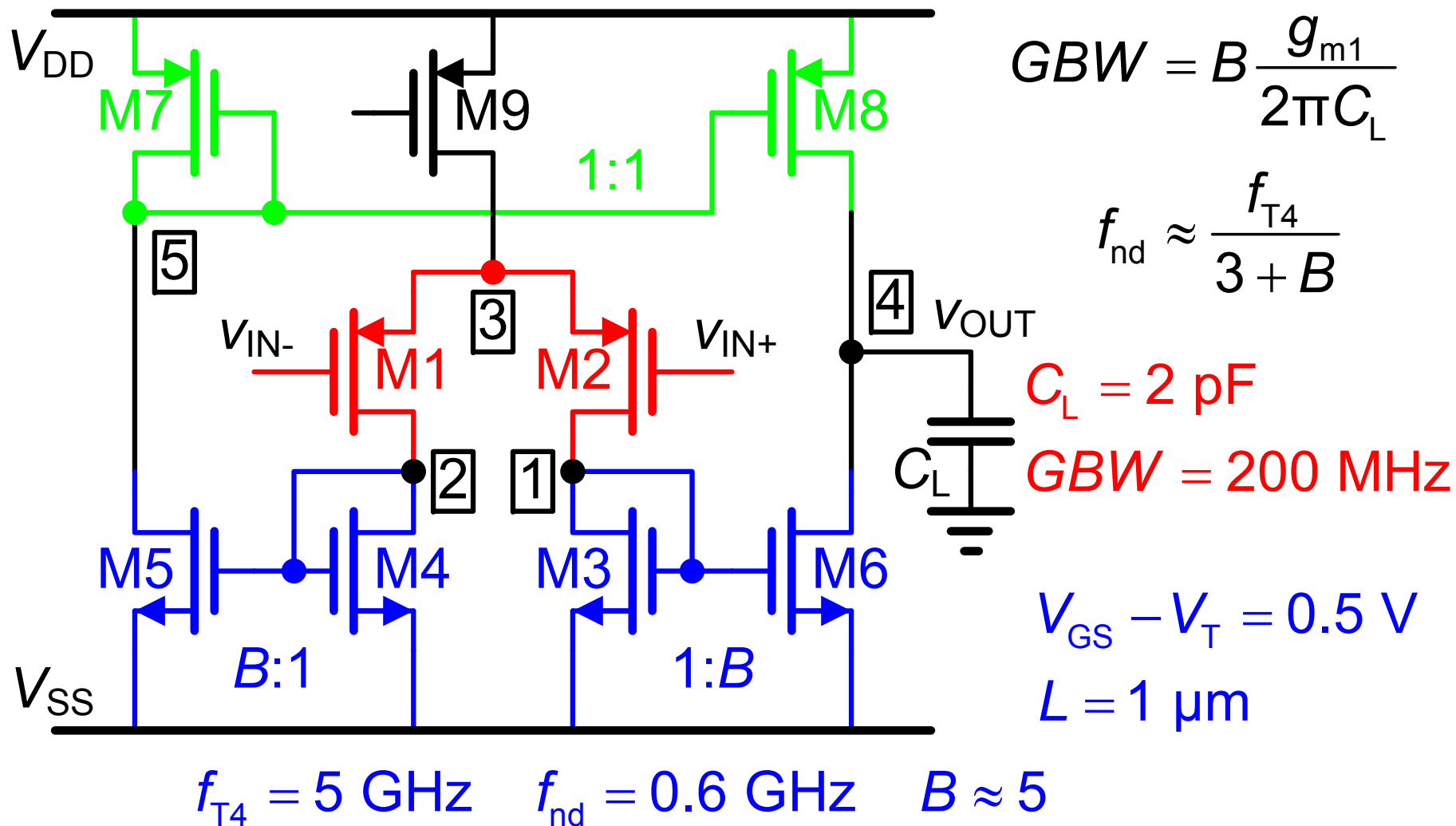
CMOS对称OTA: f_{nd5}



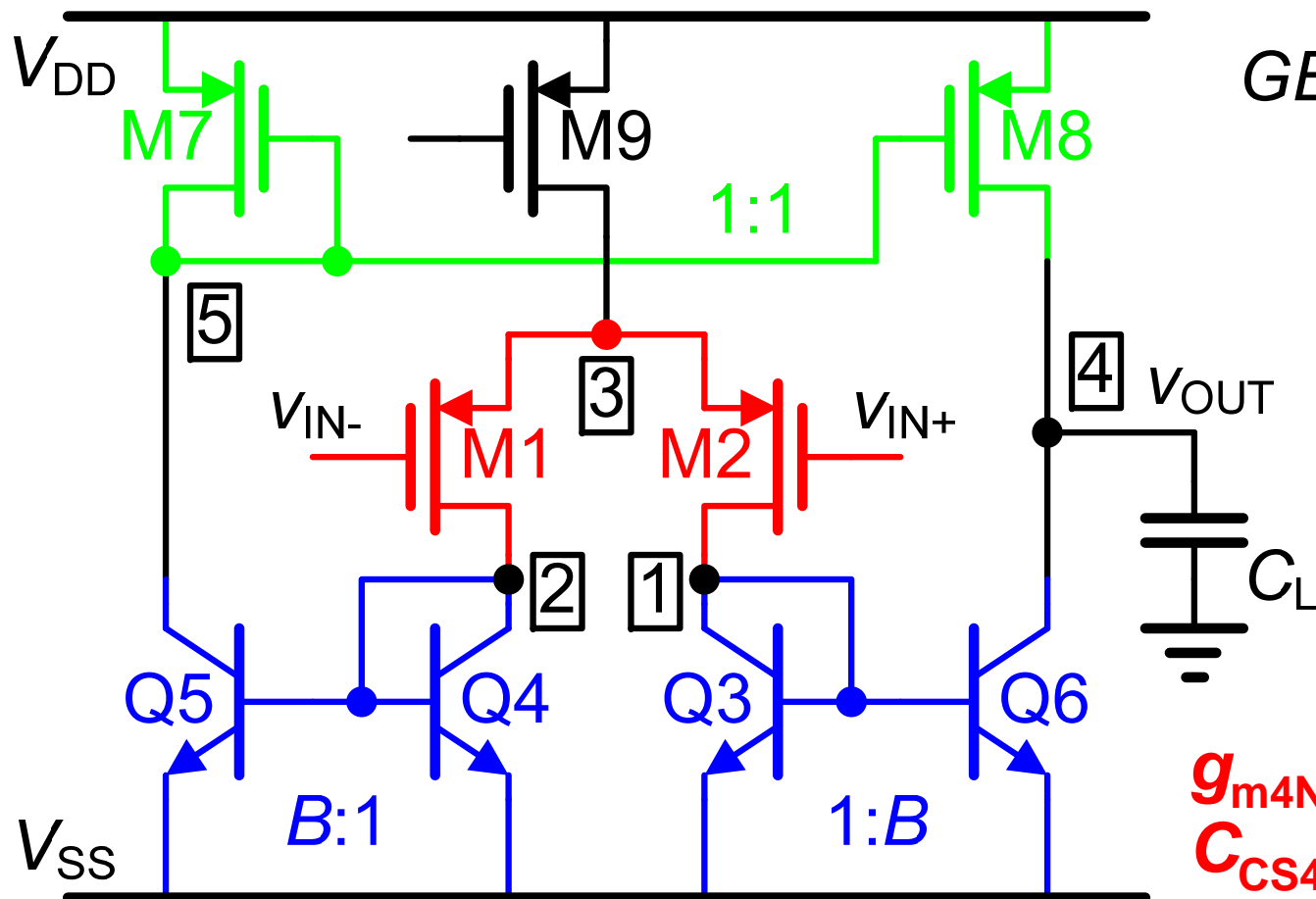
$$GBW = B \frac{g_{m1}}{2\pi C_L}$$

C_{n5} 产生零极点对，
相位恶化 $3...6^\circ$

CMOS对称OTA：设计实例



BiCMOS对称OTA



$$GBW = B \frac{g_{m1}}{2\pi C_L}$$

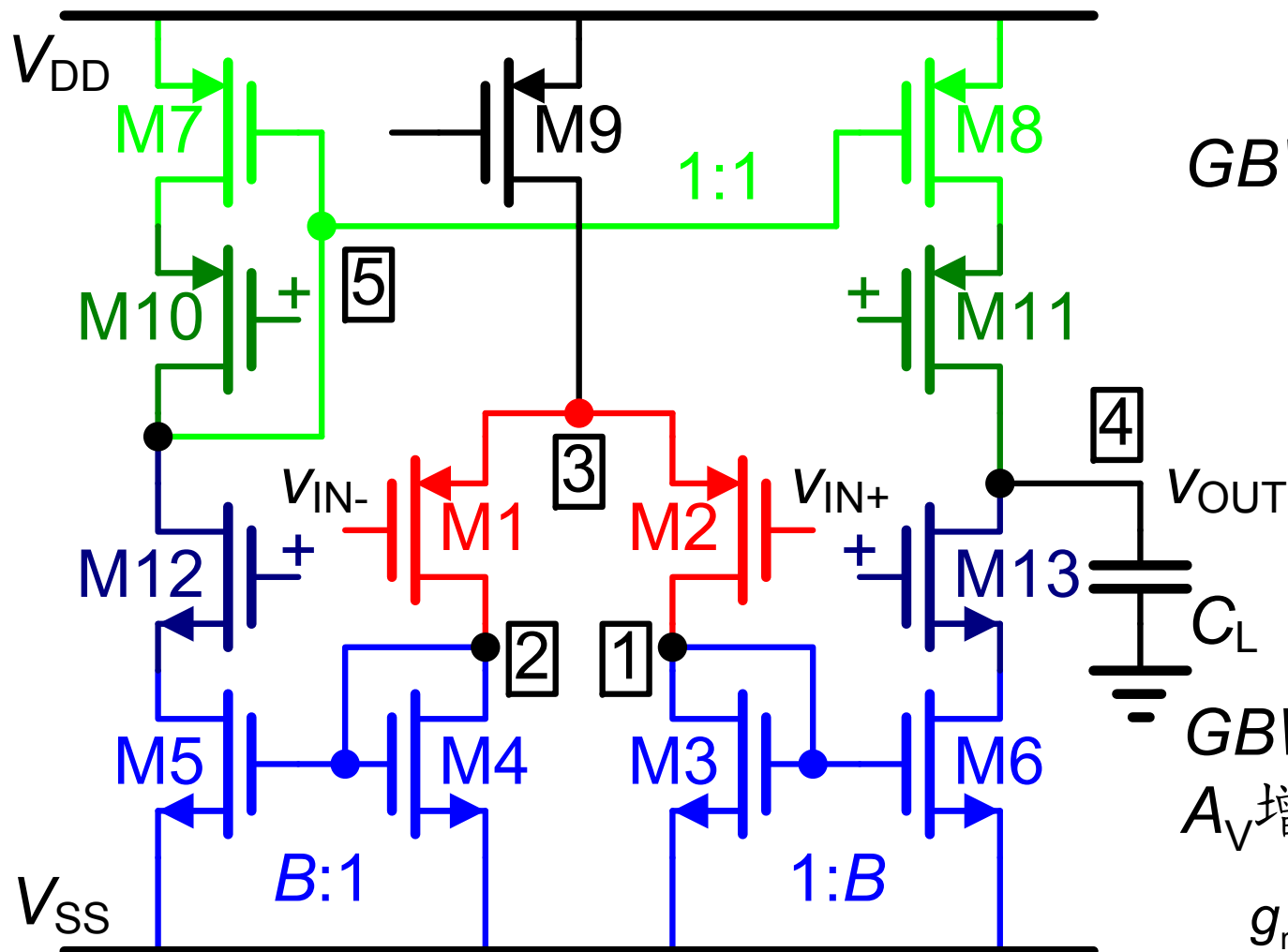
$$f_{nd} \approx \frac{f_{T4}}{3 + B}$$

$$g_{m4NPN} > g_{m4NMOS}$$

$$C_{CS4NPN} > C_{DB4NMOS}$$

BiCMOS > CMOS ?

接共源共栅的CMOS对称OTA

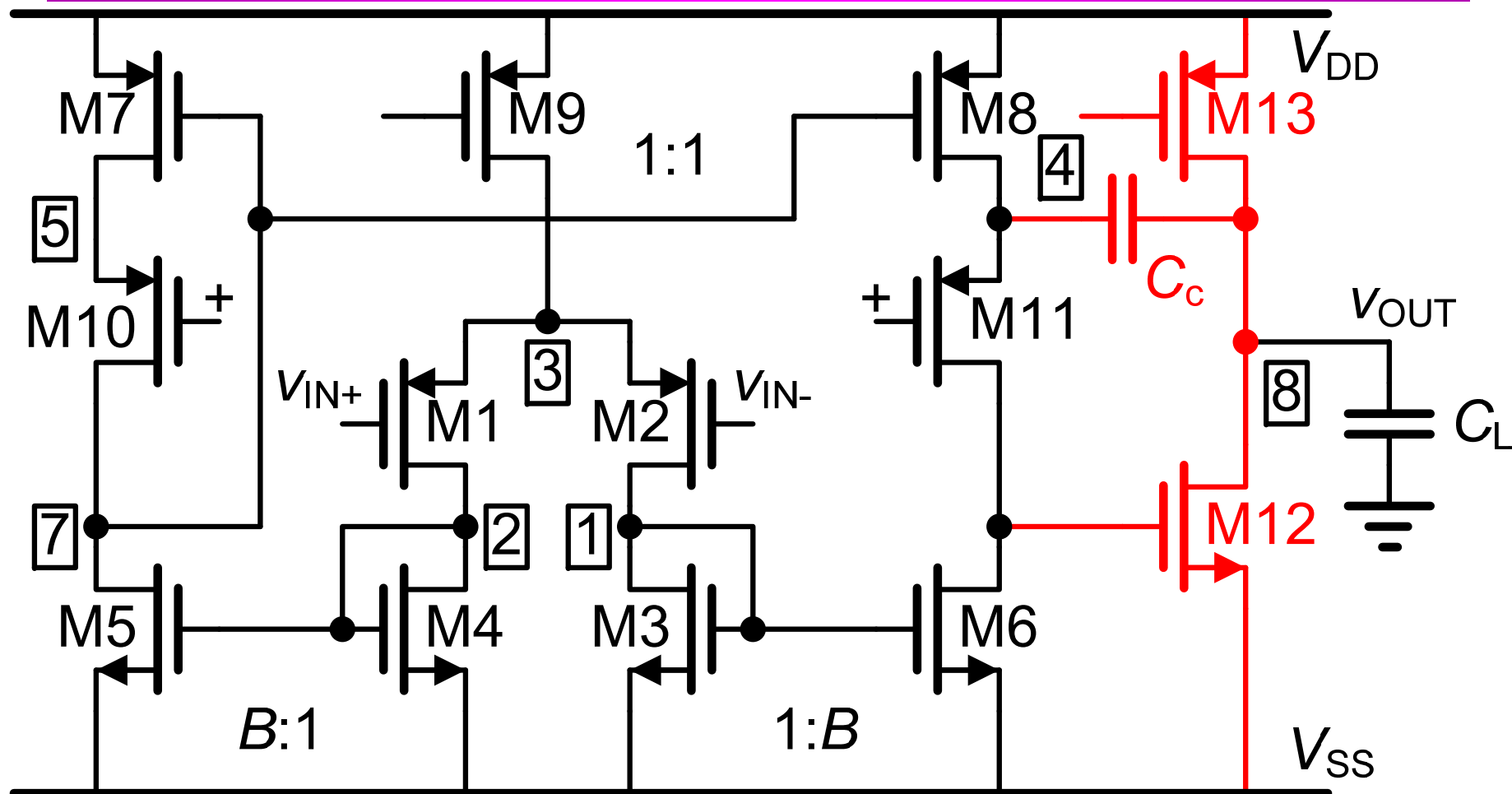


$$GBW = B \frac{g_{m1}}{2\pi C_L}$$

GBW 相同，但是
 A_V 增加100倍!!!

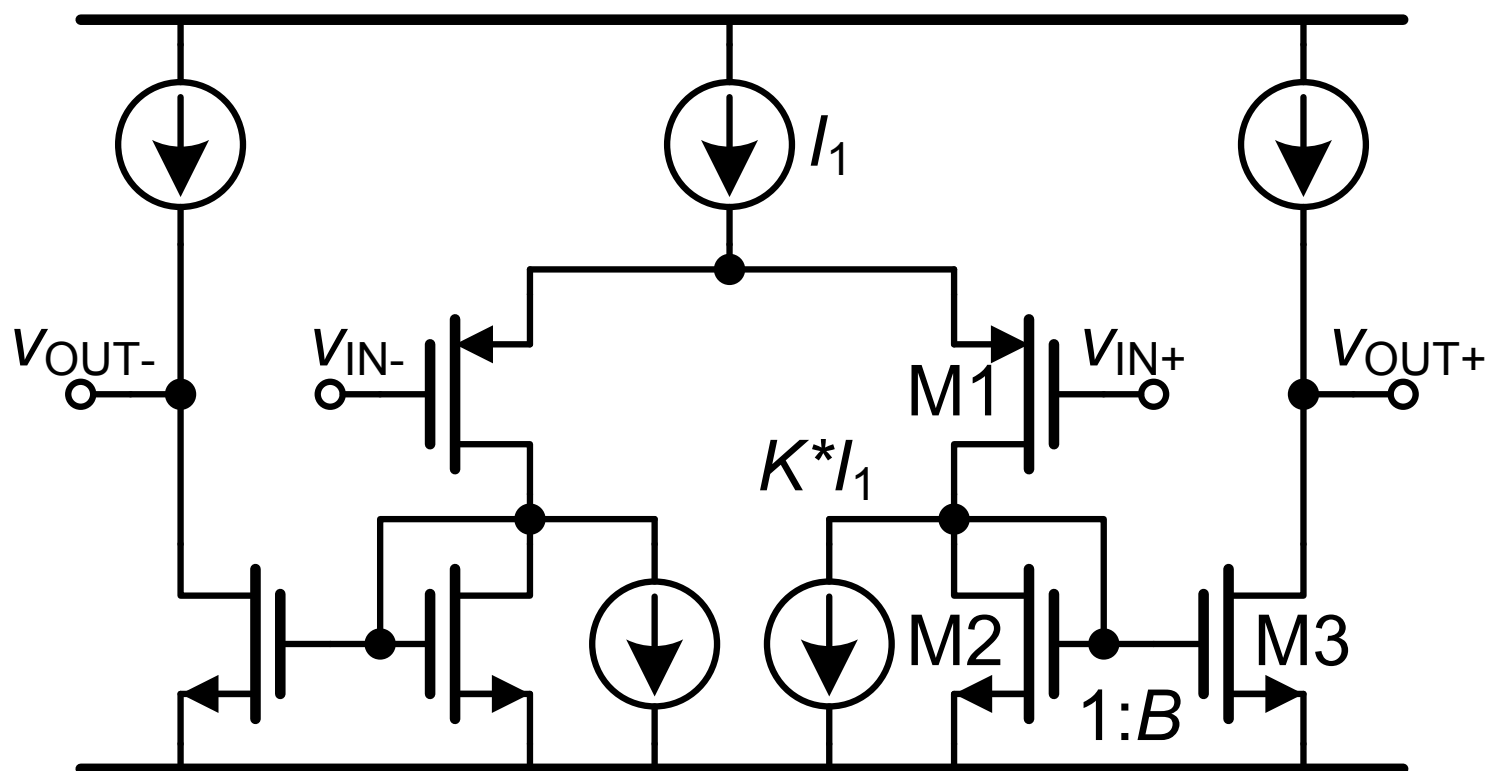
$$g_m r_{DS} \approx 100$$

CMOS对称密勒OTA



$$GBW = B \frac{g_{m1}}{2\pi C_c} \quad \text{没有零点!}$$

抽取电流技术提高增益



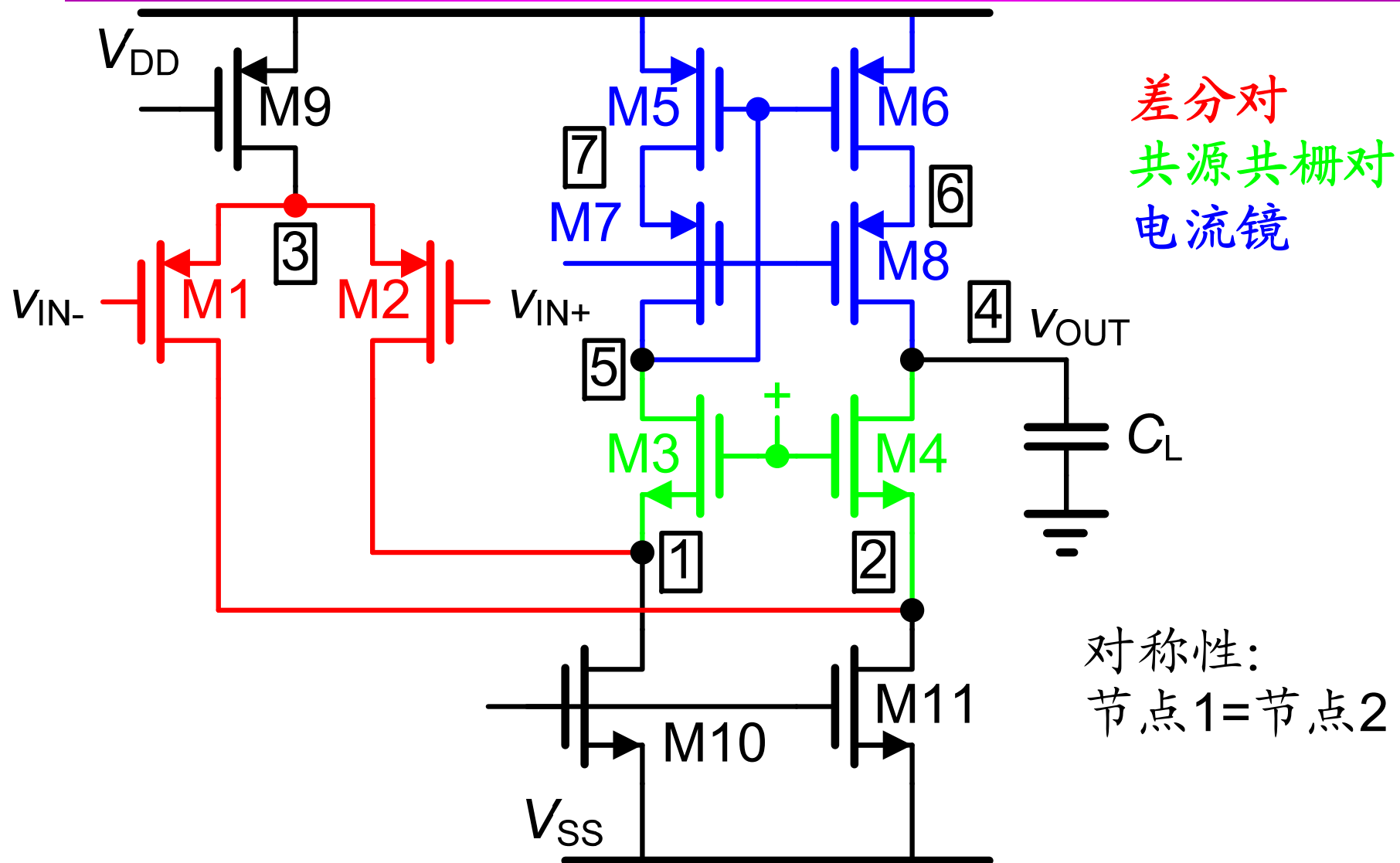
$$A = \frac{2}{(1-k)(V_{GS} - V_T)_1 \cdot \lambda_3} = \frac{A_0}{1-k}$$

Ref.: Yao, ..., JSSC Nov.04, 1809-1818

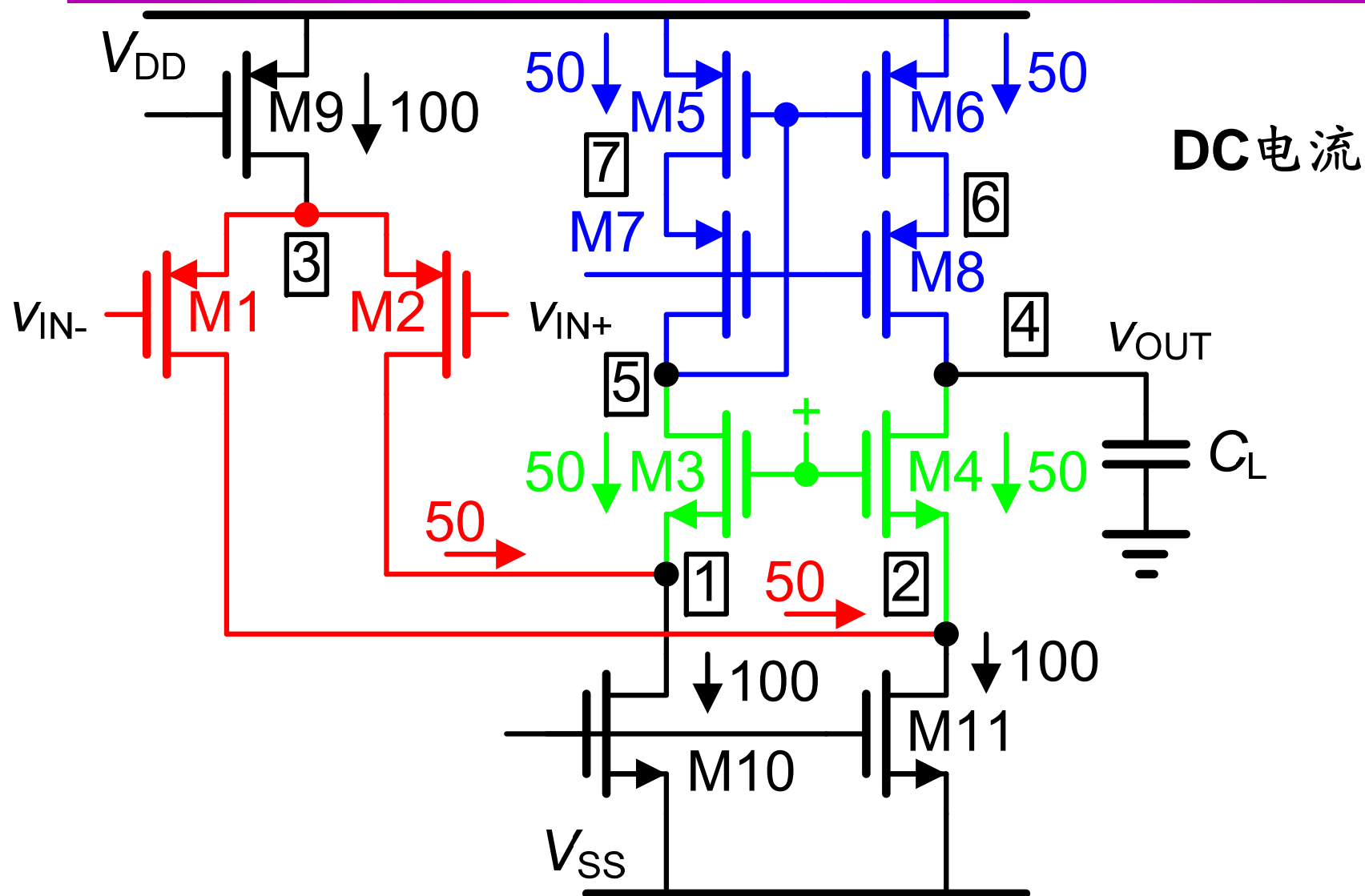
目录

- CMOS简单OTA
- CMOS密勒OTA
- CMOS对称OTA
- CMOS折叠共源共栅OTA
- 其他运放

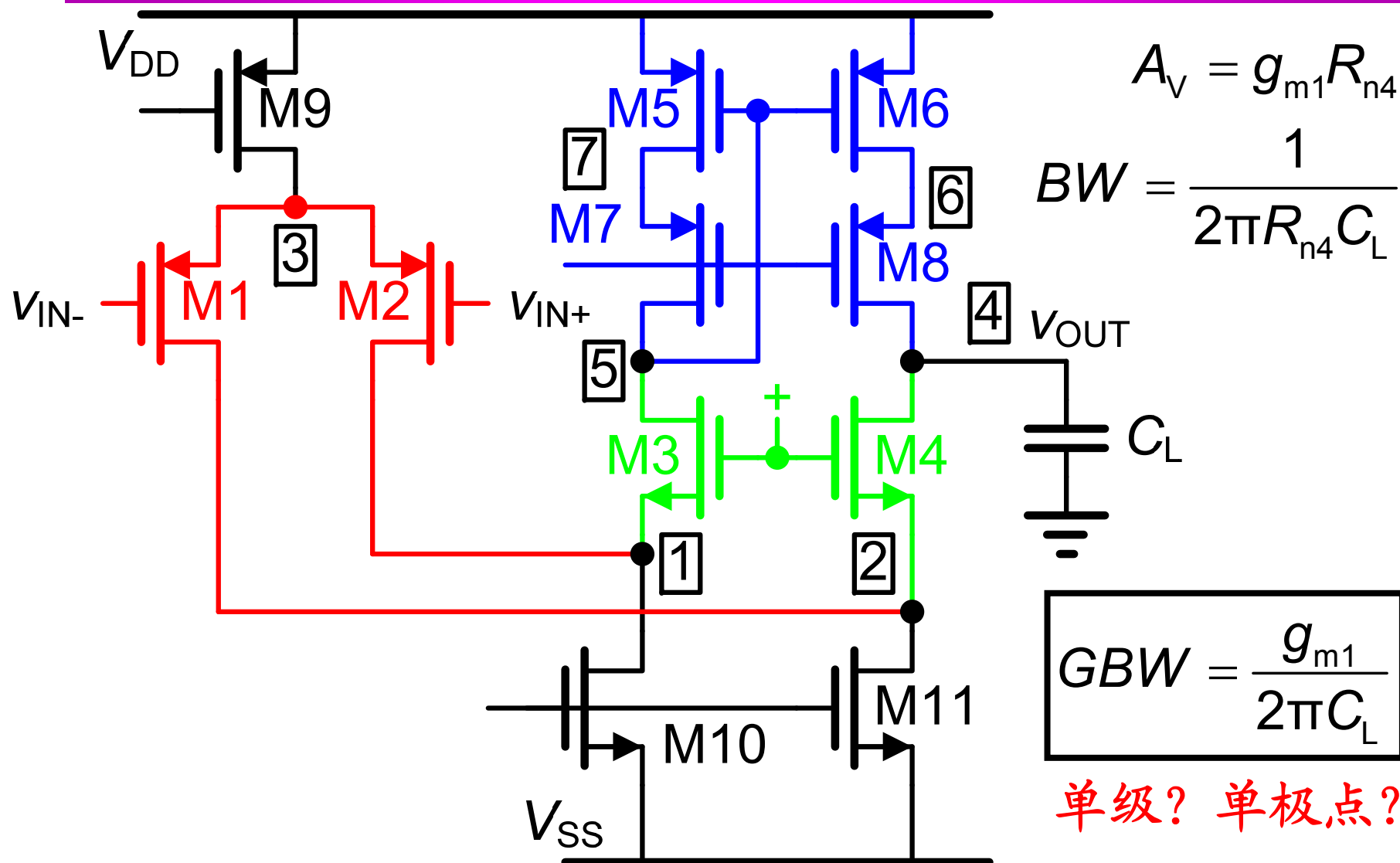
CMOS折叠共源共栅OTA



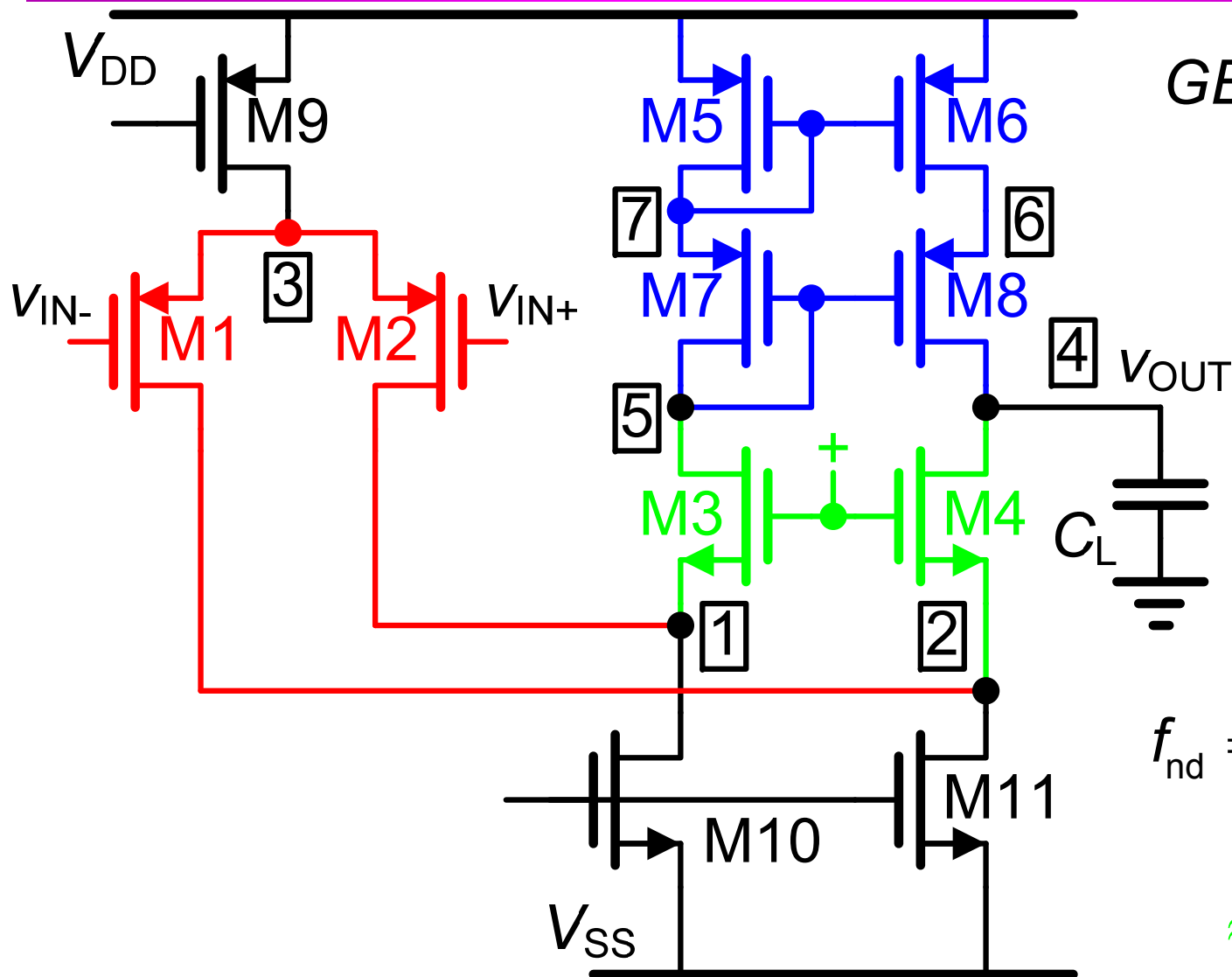
CMOS折叠共源共栅OTA: DC



CMOS折叠共源共栅OTA: AC



CMOS折叠共源共栅OTA: f_{nd}

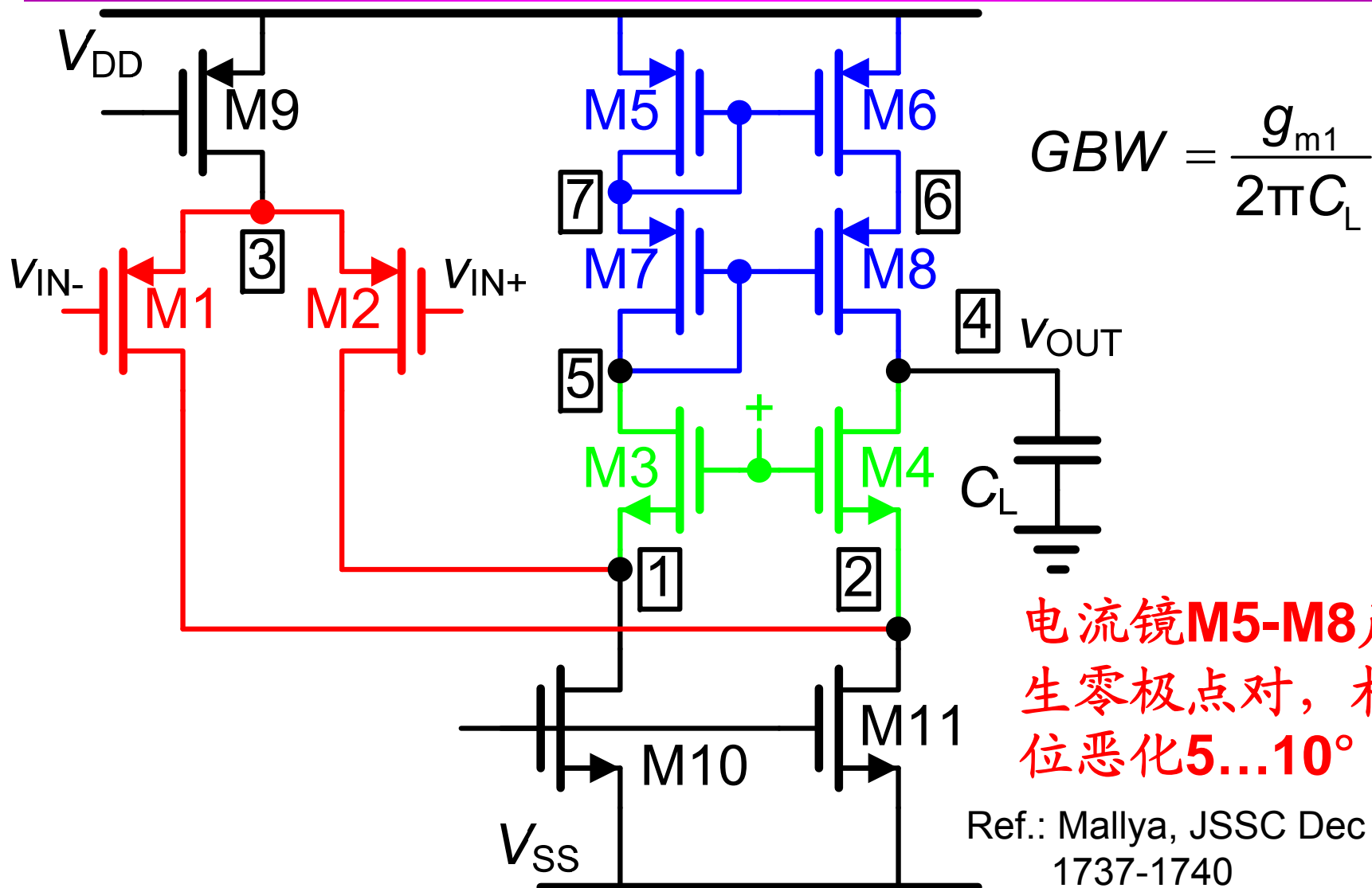


$$GBW = \frac{g_{m1}}{2\pi C_L}$$

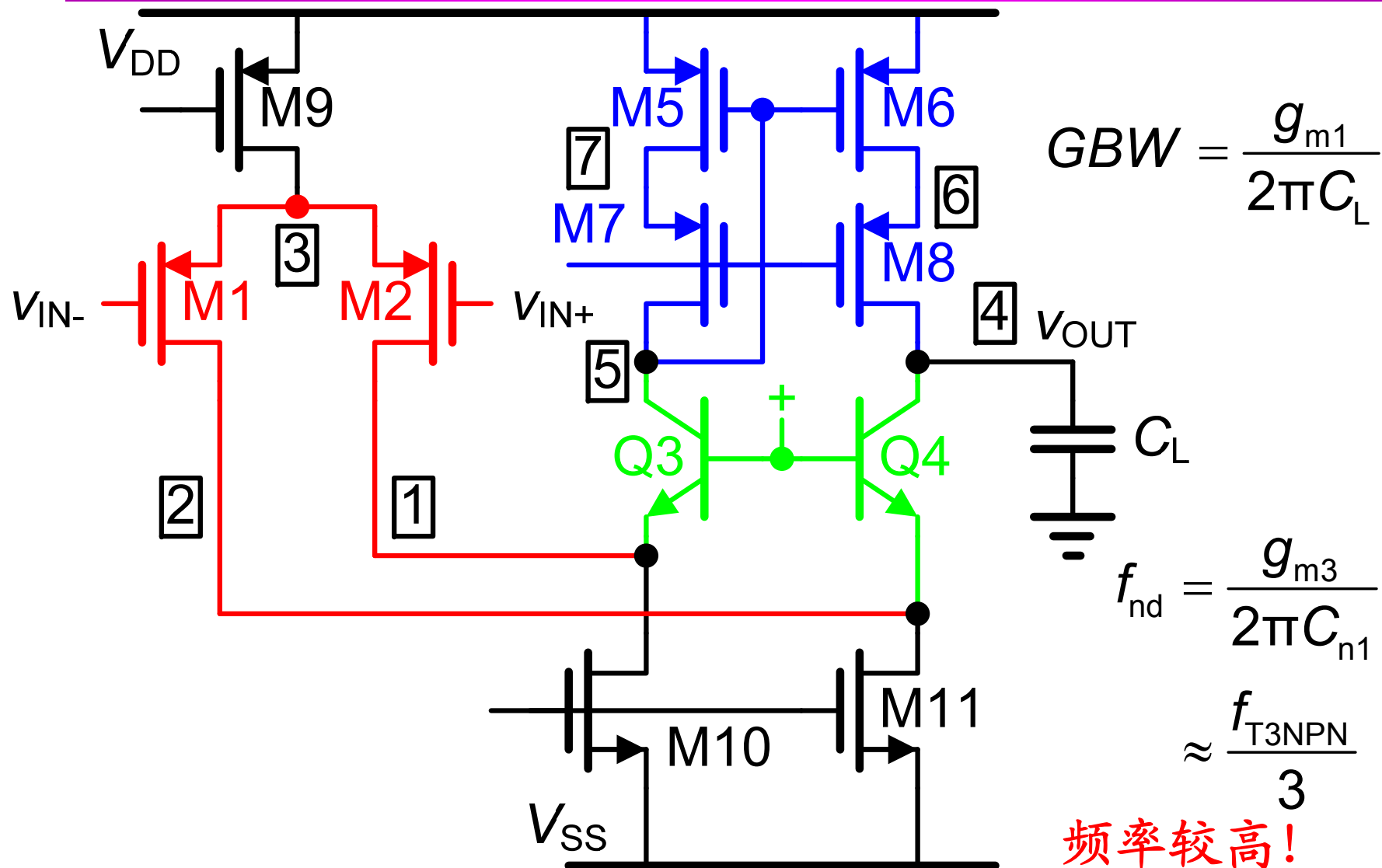
$$C_{n1} = C_{GS3} + C_{DB2} + C_{DB10} \approx 3C_{GS3}$$

$$f_{nd} = \frac{g_{m3}}{2\pi C_{n1}} \approx \frac{f_{T3}}{3} \text{ 高!}$$

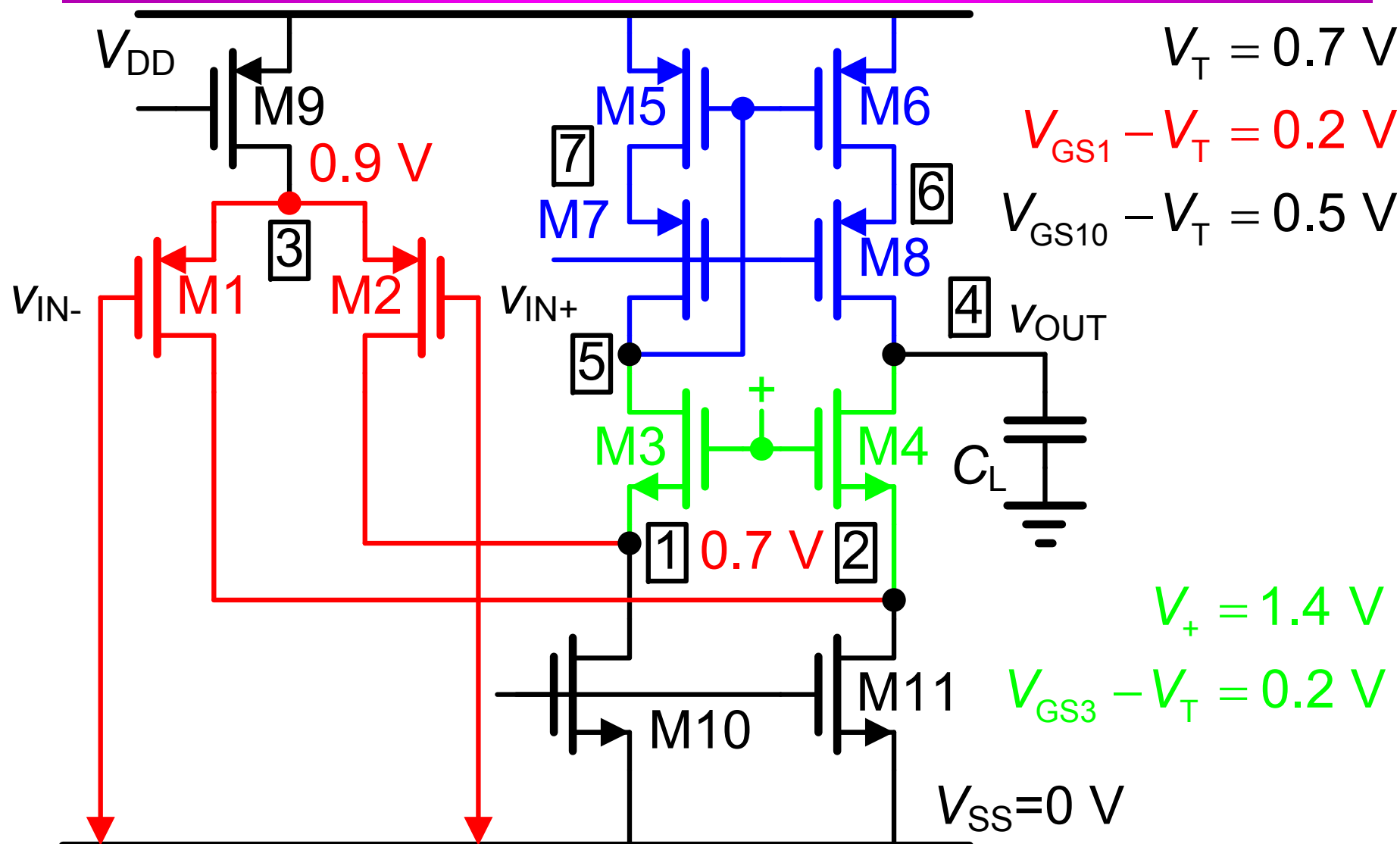
CMOS折叠共源共栅OTA: 零极点对



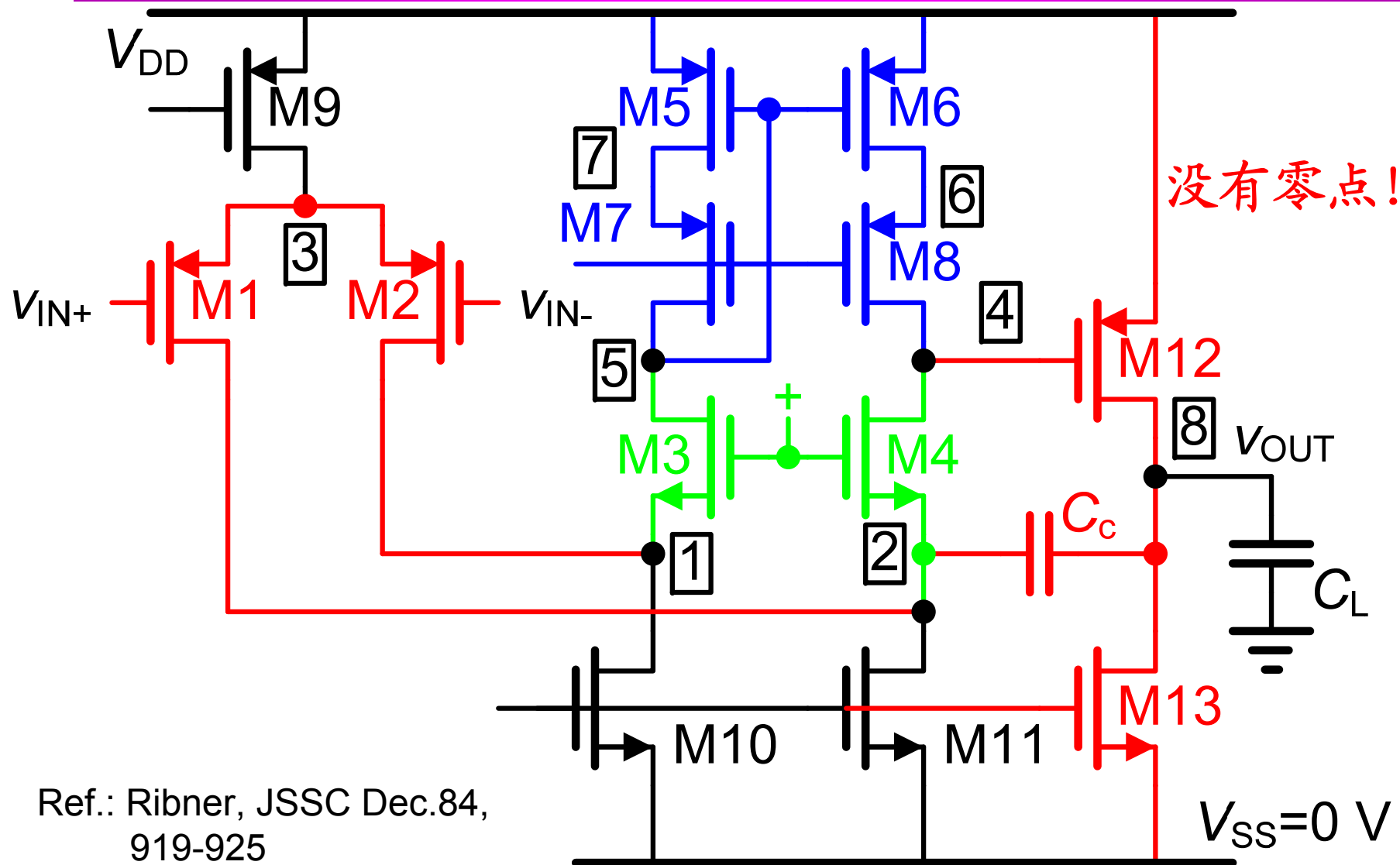
BiCMOS折叠共源共栅OTA



CMOS折叠共源共栅OTA: 输入范围

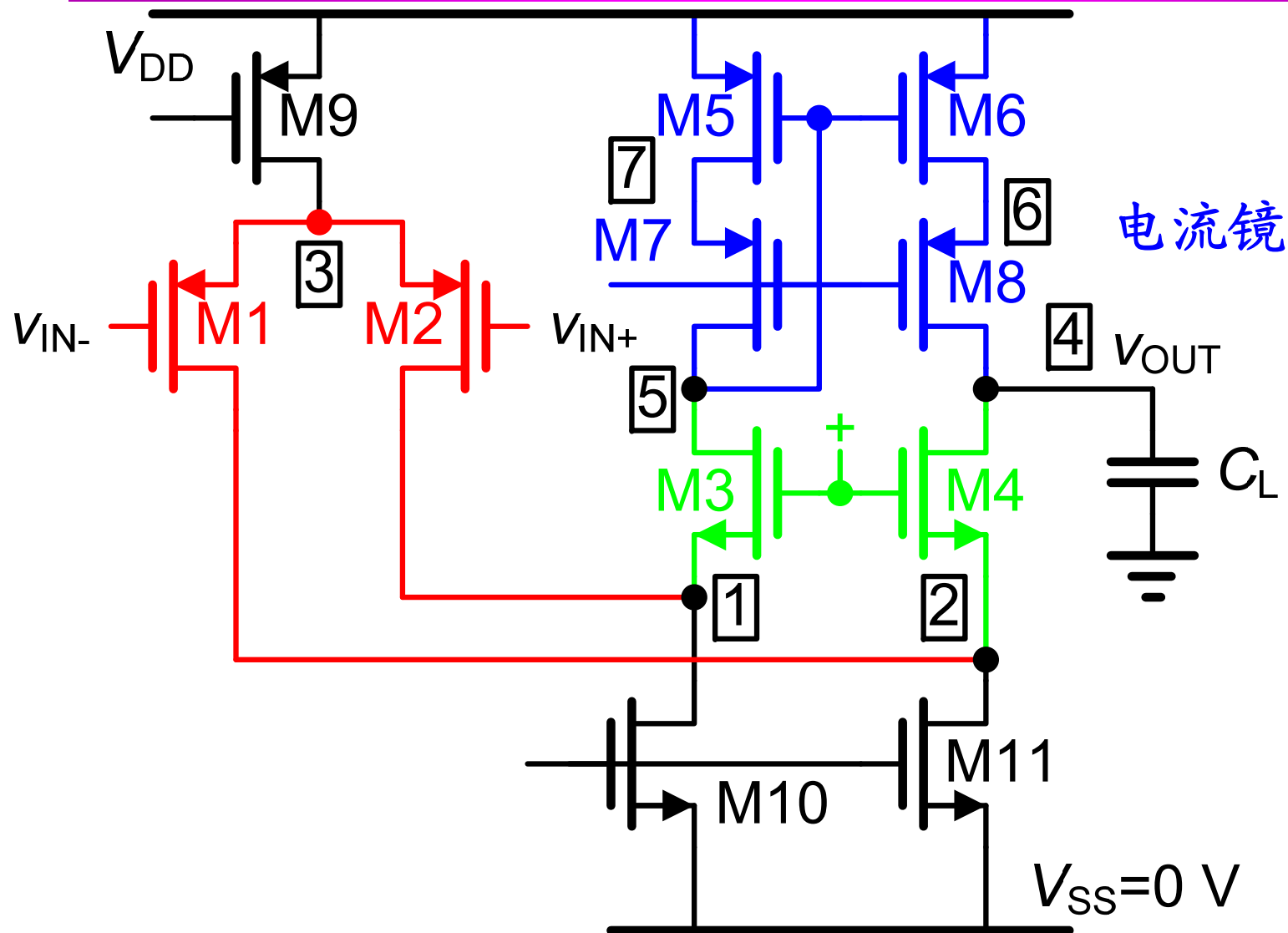


两级折叠共源共栅OTA

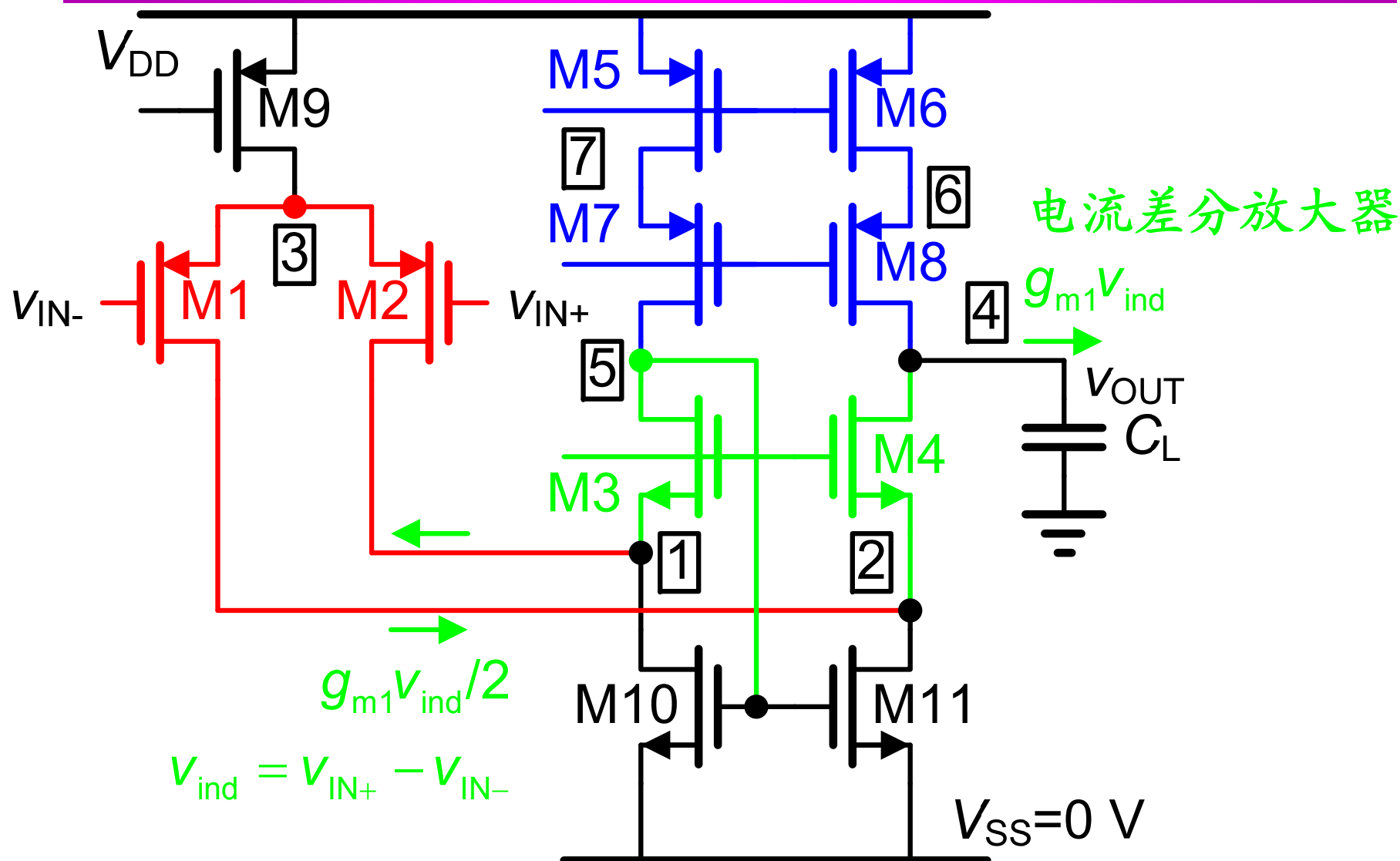


Ref.: Ribner, JSSC Dec.84,
919-925

折叠共源共栅OTA: 电流镜



折叠共源共栅OTA: 差分电流放大器



OTA(放大器)的性能比较

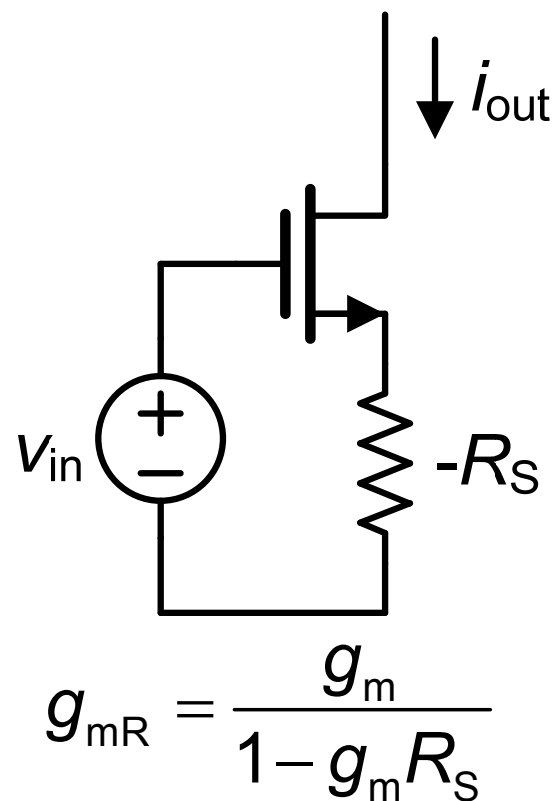
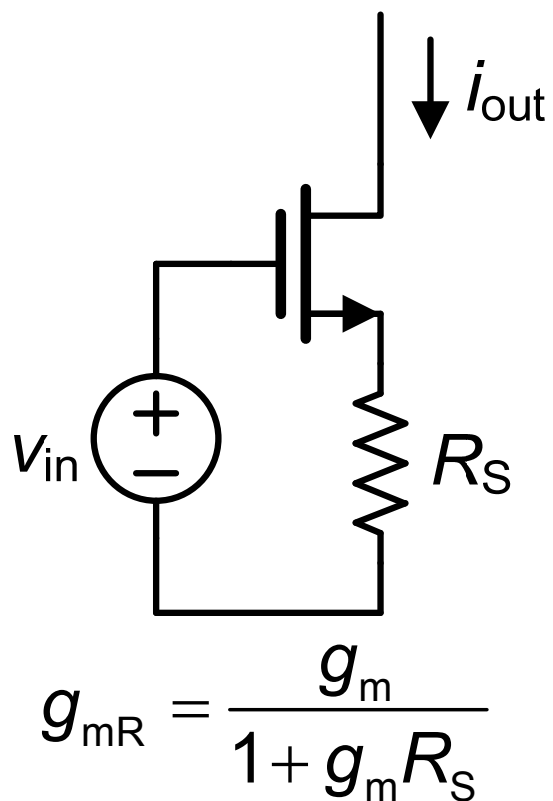
	I_{TOT} mA	$\overline{dv_{in,eq}^2}$	Swing
		$\frac{8/3kTdf}{g_{m1}}$	
简单型 (4管)	0.25	4	avg.
对称型 ($B=3$)	0.33	8	max.
套筒型	0.25	4	small
折叠共源共栅	0.5	8	avg.
两级密勒 ($C_L/C_c=2.5$)	1.1	4	max.

$GBW=100$ MHz $C_L=2$ pF $V_{GS}-V_T=0.2$ V 全差分结构

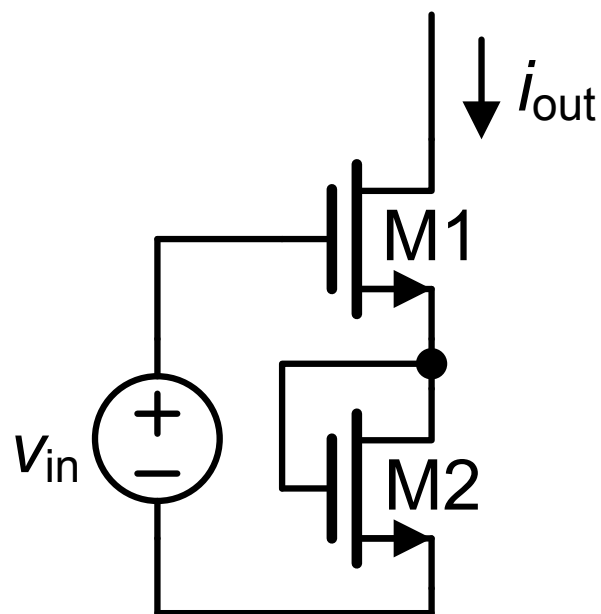
目录

- CMOS简单OTA
- CMOS密勒OTA
- CMOS对称OTA
- CMOS折叠共源共栅OTA
- 其他运放

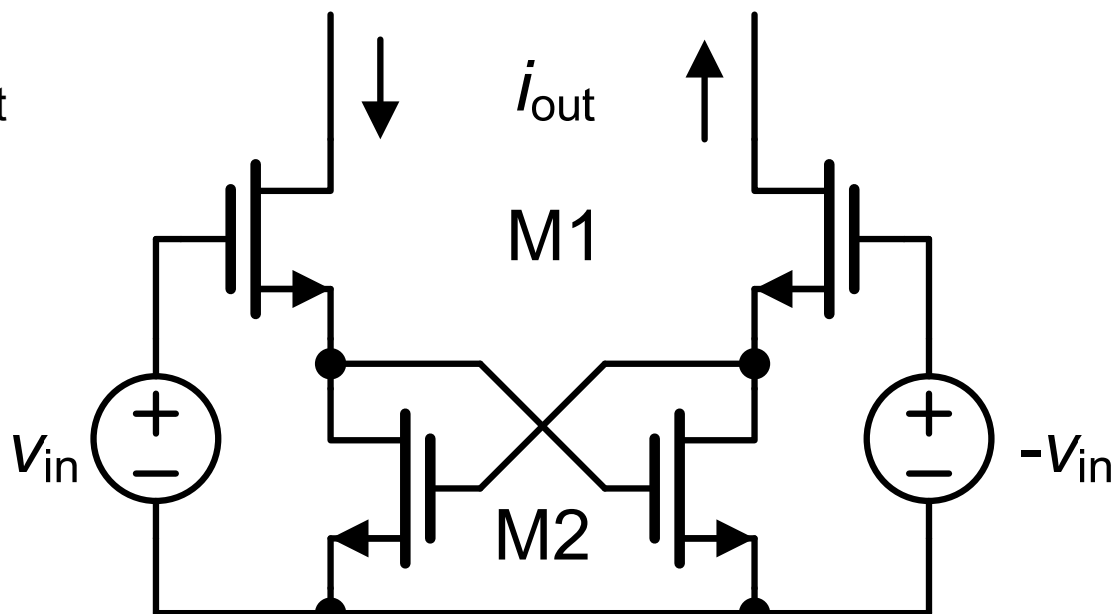
增加输入跨导 - 1



增加输入跨导 - 2

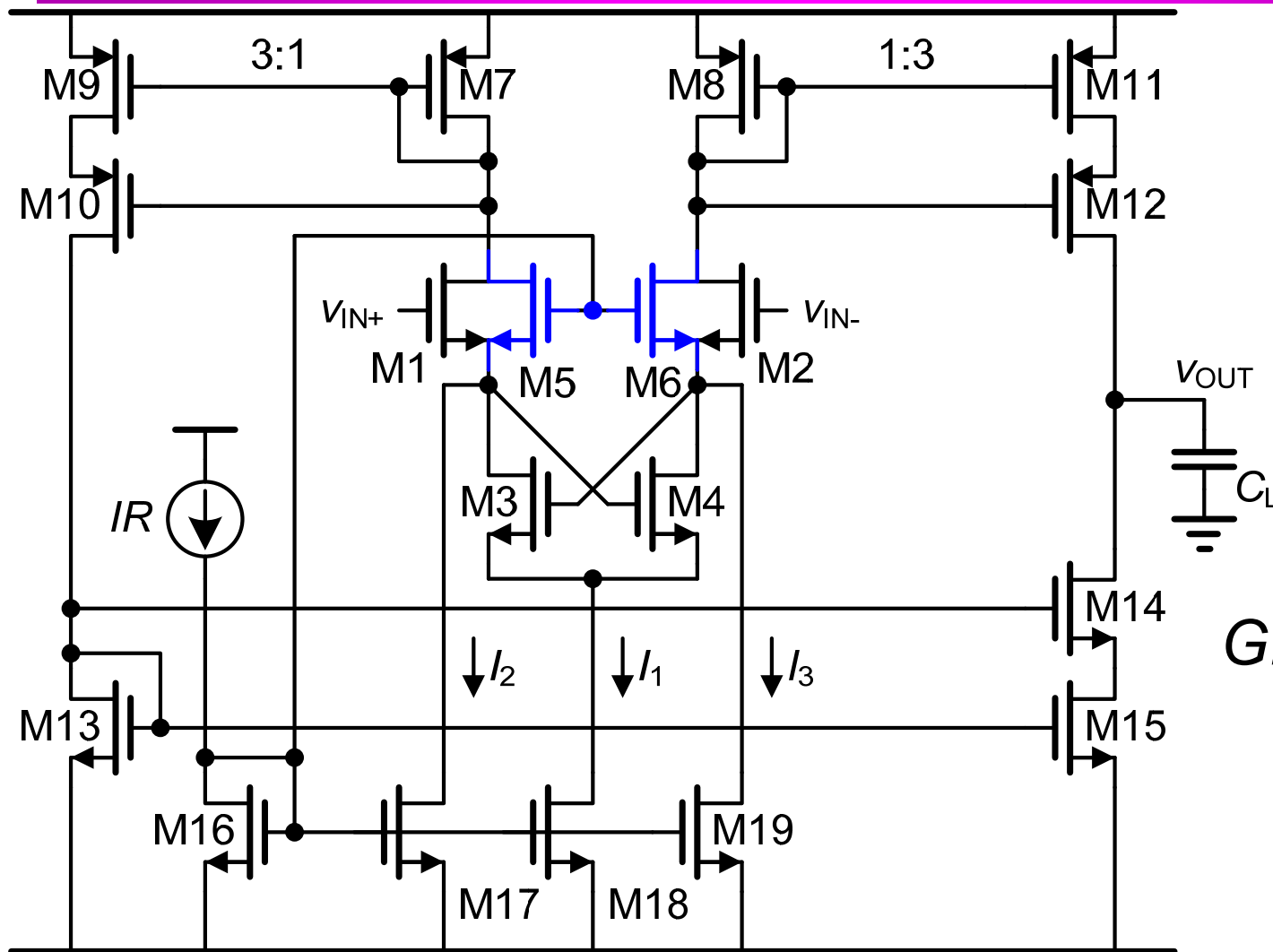


$$g_m = \frac{g_{m1}}{1 + \frac{g_{m1}}{g_{m2}}}$$



$$g_m = \frac{g_{m1}}{1 - \frac{g_{m1}}{g_{m2}}}$$

增加输入跨导 - 3



$$g_m = \frac{g_{m1}}{1 - \frac{g_{m1}}{g_{m3}}}$$

$$g_m \approx 3g_{m1}$$

$$GBW = \frac{3g_m}{2\pi C_L}$$

$$\approx \frac{9g_{m1}}{2\pi C_L}$$

Ref.: Castello, JSSC June 1990, pp. 669-676